

Yuri

FIZYKA

wybór testów z egzaminów wstępnych
na akademie medyczne i kierunki przyrodnicze

Pod redakcją
Andrzejego Persony



WARSZAWA 2000

Redaktor naczelny: dr Andrzej Doroba

Redaktor serii wydawniczej: Andrzej Persona

Projekt okładki: Marek Persona

Recenzenci: Prof. dr hab. Helena Gawda

Prof. dr hab. Paweł Mikołajczak

Autorzy:

Juliusz Ciemniewski

Józef Cudny

Tomasz Gęca

Krysztof Paprocki

Andrzej Persona

Witold Szyszko

Jacek Wiciński

Skład i łamanie: Tomasz Gęca

Wydawca: Oficyna Wydawnictwa Medyk Sp. z o.o.

01-230 Warszawa, ul. Skierkiewicka 16/20

tel./fax: (0-22) 631-13-92 ÷ 95

Druk: Białostockie Zakłady Graficzne S.A.

15-111 Białystok, ul. 1000-lecia PP 2

ISBN 83-87340-32-4

©Copyright Andrzej Persona i „Medyk” Sp. z o.o.

Skład i łamanie: Tomasz Gęca

Wydawca: Oficyna Wydawnictwa Medyk Sp. z o.o.

01-230 Warszawa, ul. Skierkiewicka 16/20

tel./fax: (0-22) 631-13-92 ÷ 95

Druk: Białostockie Zakłady Graficzne S.A.

15-111 Białystok, ul. 1000-lecia PP 2

Od Wydawcy

Studia medyczne, mimo materialnej mizerii zawodów medycznych w Polsce, cieszą się wśród maturzystów wciąż niestabilnym powodzeniem. Słusznie zaliczane są do jednych z najbardziej trudnych i zarazem prestiżowych, a egzamin wstępny stanowi wielkie wyzwanie dla wiedzy, intelektu i ... nerwów kandydatów. Słuszna jest dość powszechna opinia, że aby pomyślnie przejść przez egzaminacyjne sito, nie wystarczy wiedza wyniesiona ze szkoły - trzeba samodzielnie lub pod kierunkiem korepetytora solidnie powtórzyć i rozszerzyć wiadomości z biologii, chemii i fizyki.

Podręcznik, który macie w ręku, jest owocem „ewolucji”, która trwa od dziesięciu już lat. „Wybory testów...” pod redakcją dr. **Andrzeja Persony ukazywały się w Lublinie od 1990 roku w skromnej, skryptowej formie. Znane były jako tzw. „seria z ludzikiem” i ten symbol zachowaliśmy także na obecnych okładkach. Seria wydawnicza „Wybory testów...” wydawana przez Oficynę Wydawniczą „Medyk” od 1997 roku składa się z pięciu tomów: po dwa dotyczące biologii i chemii, jednym z fizyki. Redaktorem całości jest dr n.chem. Andrzej Persona, który jest zarazem jedynym autorem dwóch tomów chemii i współautorem pozostałych, a współautorami nauczyciele akademickcy i licencyjni z lubelskiego środowiska akademickiego. Poszczególne tomy podręczników zawierają wybór pytań testowych z lat 1973 - 1999 (a więc całego okresu testowego egzaminu wstępnego na akademie medyczne), które zostały pogrupowane tematycznie. Przy każdym pytaniu podany jest rok, w którym takie właśnie pytanie pojawiło się na egzaminie, oraz litera określająca wydział lub kierunek studiów (L - Wydział Lekarski AM, F - Wydział Farmaceutyczny AM, MIS MaP - Miedzwydydżałowe Indywidualne Studia Matematyczno-Przyrodnicze UW, AR - Akademia Rolnicza). Autorzy wybórów uznaли za celowe umieszczenie dodatkowo pewnej liczby autorskich pytań uzupełniających, uwzględniających aktualne kierunki zmian programowych w nauczaniu biologii, chemii oraz fizyki. Pytania te można poznąć po braku wspomnianych wyżej odnośników. Corocznie przygotowujemy nowe wydania, w których uwzględniamy pytania testowe z najnowszych egzaminów wstępnych.**

Podręczniki tej serii adresowane są nie tylko do kandydatów na studia medyczne, dla których stanowią cenną pomoc w zapoznaniu się z wymaganiami dotyczącymi nie tylko zakresu materiału, ale i samej formy egzaminu. Ze względu na tendencję rozszerzającą się na kierunki biologiczne wielu szkół wyższych dotyczącej się na kierunku klasycznej formy egzaminu testami - materiał zawarty w tych podręcznikach będzie bardzo pomocny nie tylko dla kandydatów na medycynę.

Charakterystyczną cechą niektórych pytań testowych jest to, że różnice

ponieźdy poszczególnymi odpowiedziami nie zawsze są ostro zdefiniowane. W dotychczasowej praktyce egzaminacyjnej zdarzało się już nieraz, że błędnie sformułowane pytania były *post factum* umieważniane (niekiedy po procesach sądowych). Odpowiadając na tego typu „podchwytliwe” pytania należy wybrać najlepszy lub najbliższy wariant odpowiedzi, a odzucać inne, które zawierają część prawdy lub posiadają cechy prawidłowości, ale w zdecydowanie mniejszym zakresie. Nie trzeba też kryć faktu, że z biegiem lat pytania testowe stają się coraz bardziej „wymyślne” i coraz większej wprawy potrzeba, by przebrnąć przez wszystkie zastawione pułapki.

Seria „Wybór testów...” zawiera tylko pytania i na koniec każdej książki naprawne odpowiedzi. Aby umieć samemu znaleźć właściwe odpowiedzi trzeba solidnie powtórzyć i pogłębić materiał z każdego przedmiotu. Wielką pomocą w tym będzie druga seria podręczników przygotowana w naszym wydawnictwie. Chodzi o repetytoria z zakresu biologii, chemii i fizyki. W ich opracowywaniu i wydawaniu mamy wielkie doświadczenie, sięgające lat 70-tych, kiedy to na łamach ówczesnego „Nowego Medyka” drukowaliśmy kolejne odcinki repetytorium z biologii autorstwa dra n.med. Jacka Danowskiego. Obecnie mamy już kompletną serię „Repetytoria...” na którą składają się dwutomowa „Biologia – repetytorium dla kandydatów na akademię medyczną” autorstwa dra n.med. Jacka Danowskiego, „Chemia – repetytorium dla kandydatów na akademię medyczną” autorstwa prof. dr hab. n.chem. Tadeusza Gałamona oraz „Fizyka – repetytorium dla kandydatów na studia medyczne i kierunki przyrodnicze” pod redakcją dra Andrzeja Persony. Te podręczniki również są systematycznie wzawiasiane i z tej okazji uzupełniane.

W ten sposób oficyna wydawnicza „Medyk” może zaofferować kandydatom na studia medyczne i przyrodnicze komplet potrzebnych podręczników. Są one do nabycia w księgarniach medycznych i oświatowych na terenie całego kraju. Choć nie jesteśmy na tym rynku sami, to nasze książki wyróżniają się nie tylko najwyższą jakością ale również przystępymi cenami. Prosimy zapylać o to Waszego nauczyciela i sprawdzić w najbliższej księgarni.

Każdy, kto solidnie przestudiuje oferowane przez nas podręczniki, może mieć pewność, że odniesie sukces na egzaminie wstępny. A więc powodzenia i do milego spotkania już w gronie studentów!

Dr Andrzej Doroba

Prezes Zarządu „Medyk” Sp. z o.o.
Redaktor Naczelny Oficyny Wydawniczej

1. KINEMATYKA PUNKTU MATERIAŁOWEGO

1. Dane są dwa wektory \mathbf{a} i \mathbf{b} o długościach odpowiednio 3 cm i 4 cm. Jeżeli wypadkowy wektor ma długość 1 cm, to wektor \mathbf{a} to:

A) mają zwrot i kierunek ten sam, a różne punkty przyłożenia

B) mają zwroty przeciwe, a kierunki takie same, lecz różne punkty przyłożenia

C) mają zwroty takie same, a kierunki przeciwe

D) mają zwroty przeciwe, kierunki takie same i ten sam punkt przyłożenia

2. Jeżeli kat między wektorami \mathbf{a} i \mathbf{b} (z poprzedniego zadania) wynosi 90° (rys.), a to wypadkowy wektor tworzy z wektorem \mathbf{a} kat, którego sin α wynosi:

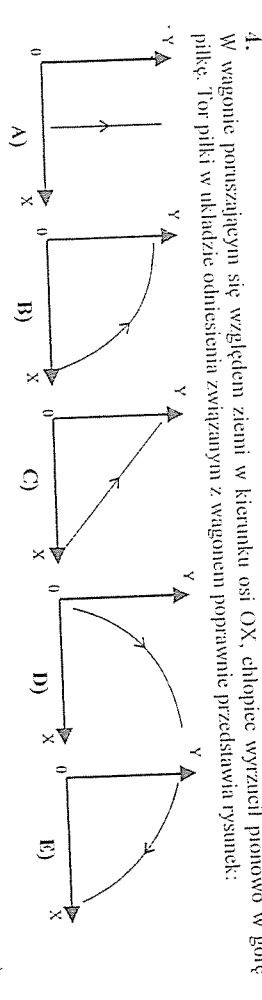
A) 1 B) 0,5 C) 0,8 D) 0,6

3. Po winiącej płynie granolionowej idzie wzdluz promienia młotka ze stałą prędkością względem płyty. Torem młotka mówiąc jest:

A) prosta B) spirala C) okrąg

D) okrąg lub spirala względem układu odniesienia związanego z płytą

E) spirala względem układu odniesienia związanego ze stołem i prosta względem układu odniesienia zwanego z płytą



4. W wagonie poruszającym się względem ziemi w kierunku osi OX, chłopiec wyruścił pionowo w góre piłkę. Tor piłki w układzie odniesienia zwanym z wagonem poprawnie przedstawia rysunek:

- A) $x = 1 - s$ B) $x = s - 1$ C) $x = s + 1$ D) $x = \frac{1}{2}(s + 1)$

5. 1984/l. Samochód jedzie po drodze równolegle do toru kolejowego, w tym samym kierunku co pociąg o godzinę przed nim. Podczas wyprzedzania samochód pociąg przejechał drogi równą:

- A) $s = 1 - s$ B) $x = s - 1$ C) $x = s + 1$ D) $x = \frac{1}{2}(s + 1)$

6. 1980/l. Samochód pokonał odległość między miejscowościami M i N w ciągu 1,5 godzin, jadąc przez pół godziny ze średnią prędkością 70 km/h i przez 1 godzinę z prędkością średnią 40 km/h. Prędkość średnia samochodu na całej trasie wynosiła:

- A) 57,5 km/h B) 55 km/h C) 50 km/h D) 38 km/h

7. 1982/l. Motocyklista przejechał połowę drogi z prędkością v_1 , a drugą połowę z prędkością v_2 . Średnia prędkość motocyklisty przejechali motocyklistą na wartość:

- A) $V_{\text{śr}} = \frac{s}{2v_1} + \frac{s}{2v_2}$ B) $V_{\text{śr}} = \frac{s}{v_1 + v_2}$ C) $V_{\text{śr}} = \frac{2v_1 v_2}{v_1 + v_2}$ D) $V_{\text{śr}} = \frac{v_1 + v_2}{2}$

8. 1982/F

Dwa ciała poruszają się ruchem jednostajnym wzduż tej samej linii prostej. Gdy zwróciły ich prędkości są przeciwnie, odległość między nimi maleje o 4 metry w ciągu jednej sekundy, a gdy są zgodne - o 4 metry w ciągu 10 sekund. Prędkości V_1 i V_2 tych ciał mają wartości:

- A) 2 m/s
 B) 3 m/s
 C) $2,5 \text{ m/s}$
 D) $2,2 \text{ m/s}$
- A) 2 m/s
 B) 1 m/s
 C) $1,5 \text{ m/s}$
 D) $1,8 \text{ m/s}$

9. 1978/L

Dwa mijające się pociągi o długościach $l_1 = 150\text{m}$ i $l_2 = 200\text{m}$ mają stałe i równe co do wartości prędkości. Pasażer siedzący w wagonie pierwszego pociągu widzi drugi pociąg w czasie $t = 10\text{s}$, nie zmieniając kierunku obserwacji. Wynika z tego, że:

- A) $v_1 = 35 \text{ m/s}$

- B) $v_1 = 20 \text{ m/s}$

- C) $v_1 = 15 \text{ m/s}$

- D) $v_1 = 10 \text{ m/s}$

10.

Korzystając z wykresu przedstawiającego zależność prędkości ciała od czasu – odległość od punktu startu w jakiej znajduje się ciało po 4s wynosi:

- A) 0 m
 B) 10 m
 C) 30 m

- D) 20 m

- E) 5 m

11. 1993/L

Na podstawie przedstawionego wykresu można powiedzieć, że średnia prędkość ciała w tym ruchu wynosi:

- A) $5,0 \text{ m/s}$
 B) $5,3 \text{ m/s}$
 C) $5,5 \text{ m/s}$

- D) $6,0 \text{ m/s}$

- E) $6,5 \text{ m/s}$

12. 1998/L

Wykres przedstawiająca zależność położenia od czasu dwóch ciał I i II, w tym samym układzie odniesienia. Prędkość ciała I względem ciała II na wartość:

- A) 1 m/s
 B) 6 m/s
 C) 26 m/s
 D) 31 m/s

- E) 60 m/s

13. 1991/L

pierwsze 30 km przebywa kolarz w czasie 3 godzin . Średnia prędkość kolarza w czasie 4 godzin wynosiła:

- A) 15 km/h

- B) 20 km/h

- C) 30 km/h

- D) 26 km/h

- E) 30 km/h

14. 1992/L

Wykres przedstawia zależność prędkości ciała od czasu. W czasie pierwszych czterech sekund ruchu ciało to poruszało się ze średnią prędkością równą:

- A) $7,5 \text{ m/s}$
 B) 25 m/s
 C) 10 m/s

- D) 20 m/s

- E) 15 m/s

15.

Pociąg o długości 120 m porusza się ruchem jednostajnym z prędkością 18 km/h . Czas w jakim pociąg będzie znajdował się na moście, którego długość wynosi 480 m jest równy:

- A) $3,3 \text{ s}$

- B) 120 s

- C) 96 s

- D) 75 s

16.

Pociąg jadący ze średnią prędkością 50 km/h przebywa pewną trasę w ciągu 3 godzin . Średnia prędkość z jaką musiałby pokonać tę trasę w ciągu 2 godzin wynosi:

- A) 50 km/h

- B) 75 km/h

- C) 150 km/h

- D) brak poprawnej odpowiedzi

17.

Na wykresie przedstawiona jest zależność drogi od czasu dla dwóch ciał I i II. Ciało II w czasie 3s ruchu przebyło drogę równą:

- A) $2,5 \text{ m}$

- B) 5 m

- C) $7,5 \text{ m}$

- D) 10 m

18.

Nieprawda jest że:

- prędkość średnia i chwilowa w ruchu jednostajnym po linii prostej mają tę samą wartość
- drogi przebyte w ruchu jednostajnym w tych samych odstępach czasu są jednakowe
- ruch jednostajny może odbywać się tylko po linii prostej
- zwiększenie dwa razy wartości średniej prędkości w ruchu jednostajnym prostoliniowym spowoduje zatrzymanie wzrostu drogi w tym samym czasie

- A) a, b, c

- B) c, d

- C) b, d

- D) a, b, d

19.

Dwa ciała A i B rozpoczęły jednocześnie ruch w tym samym kierunku (rys.). Po 2s miedzy nimi wynosi:

- A) 30 m

- B) 0 m

- C) 5 m

- D) 10 m

20.

Dwa ciała poruszają się ruchem jednostajnym po linii prostej z prędkosciami V_1 i V_2 (rys.). Prędkość ciała I względem ciała II jest równa wyrażeniu:

- C) $0,5(V_1 - V_2)$

- D) $0,5(V_1 + V_2)$

21.

Prędkość średnia człowieka, który biegł 100 m z prędkością 5 m/s , a następnie szedł przez 80 s z prędkością 1 m/s wynosiła:

- A) 6 m/s^1

- B) 3 m/s^1

- C) 10 m/s^1

- D) $1,8 \text{ m/s}^1$

22.

Ciało poruszając się ruchem jednostajnym po linii prostej przebyło w trzeciej sekundzie ruchu drogę 5 m . Droga jaką przebyło to ciało w pierwszej sekundzie ruchu wynosiła:

- A) 3 m

- B) 5 m

- C) 1 m

- D) 15 m

23.

Z płynącej rzeki motorówka wypadło wiadro. Po upływie 30 sekund zaauważono jego brak. Natychmiast zawrócono motorówkę i płynąc z ta samą prędkością wzgórkiem wiodącym wzdłuż rzeki wyniosło: przesuwania wiroska w wodzie wynosi:

- A) $7,5 \text{ m/s}$

- B) 25 m/s

- C) 10 m/s



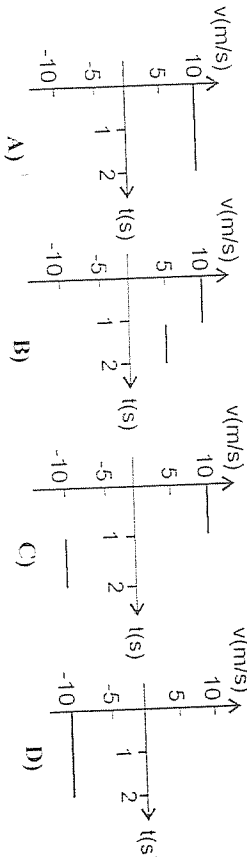
- A) mniej niż 60 s.
 B) więcej niż 60 s.
 C) 60 s.
 D) mniej niż 60 s, jeżeli motorówka najpierw płynęła w góre rzeki
 E) więcej niż 60 s, jeżeli motorówka najpierw płynęła w dół rzeki

Poniższy tekst dotyczy pytań 24 i 25.

Na wykresie przedstawiono zależność położenia X od czasu t (rys.) dla pewnego punktu materialnego poruszającego się wzdłuż osi OX .

24. Droga przebyta przez punkt materialny w czasie 2s wynosi:
- A) 20 m
 B) 10 m
 C) 5 m
 D) 0 m

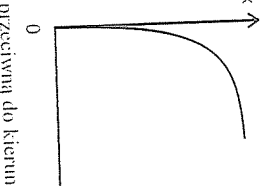
25. Wartość średniej prędkości ruchu punktu materialnego przedstawia wykres.



26. 1992-94/MIS Mał
- Dwie miejscowości A i B leżą wzdłuż nurtu rzeki oraz położone są równolegle do rzeki kanałem. Podróż statkiem o stałej prędkości względem wody na trasie A-B-A będzie:
- A) trwać dłużej rzeką niż kanałem.
 B) trwać krócej rzeką niż kanałem.

27. 1999/J.
- Wykres przedstawia zależność położenia x ciała od czasu t . Siatka dzia³aj±ca na to cia³o:
- A) jest stała i przeciwna do wektora prędkości,
 B) jest stała i zgoda na wektor prędkości,

- C) pocz±tkowo maleje, pó±niej ro¶nie, D) pocz±tkowo ro¶nie, pó±niej maleje.

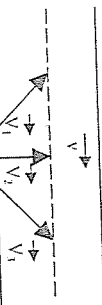


- 28.
- Po trawie, płynącej względem brzegu z prędkością V_1 , idzie fiskak w stronę przeciwną do kierunku prądu rzeki, następnie zawraca i wędruje na poprzednie miejsce z tą samą prędkością V_2 względem trawy. Wypadkowe przemieszczenie fiska w kierunku odniesienia zwanego zbiornikiem jest:

- A) zwrocone w dół rzeki niezależnie od wartości prędkości V_1 i V_2
 B) zwrocone w dół rzeki, jeżeli $V_2 > V_1$
 C) zwrocone w góra rzeki, jeżeli $V_2 > V_1$
 D) równe zeru

29. 1986/I.
- Rysunek pokazuje wektory prędkości: łódka L_1 , L_2 i L_3 względem wody w trzecie oraz wody względem brzegu. Która łódka przepływa w natkrotszym czasie na drugi brzeg?

- A) L_1
 B) L_2
 C) L_3
 D) wszystkie łódki przepływają w tym samym czasie



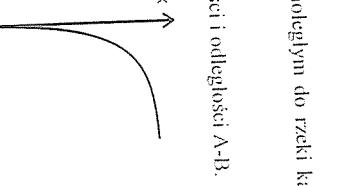
30. 1983/I.
- Samochód przejechał 4 km w kierunku południowym, a następnie 3 km w kierunku na wschód. Droga i przemieszczenie samochodu wynoszą:
- A) 7 km i 5 km
 B) 5 km i 3 km
 C) 7 km i 4 km
 D) 5 km i 1 km

31. 1983/I.
- Samolot porusza się dokładnie w kierunku północnym z prędkością v_1 względem Ziemi. Podczas lotu wieje zachodni wiatr z prędkością v_2 . Przy bezwietrznej pogodzie samolot ten poruszałby się z prędkością o wartości:
- A) v_1
 B) $\sqrt{v_1^2 + v_2^2}$
 C) $v_1 + v_2$
 D) $\sqrt{v_1^2 - v_2^2}$

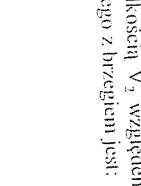
32. 1979/I.
- W wagonie poruszającym się po prostym torze z prędkością $v_w = 14,4$ km/h toczy się kulkę z prędkością $v_k = 3$ m/s, w kierunku prostopadlym do kierunku ruchu wagonu. Prędkość kulki względem Ziemi wynosi:
- A) 17,4 m/s
 B) 7 m/s
 C) 5 m/s
 D) 3 m/s

33. 1984/I.
- Składanie prędkości stosuje się do prędkości:
- A) różnych punktów materialnych i określonych w tym samym przedziale czasu
 B) tego samego punktu materialnego i określonych w różnych przedziałach czasu
 C) różnych punktów materialnych i określonych w różnych przedziałach czasu
 D) tego samego punktu materialnego i określonych w różnych przedziałach czasu

- 34.
- O przyspieszeniu ciała w ruchu jednostajnie zmiennym prostoliniowym można powiedzieć, że:
- A) jest wprost proporcjonalne do przyspieszenia prędkości i odwrotnie proporcjonalne do czasu w którym ten przyspieszenie nastąpił
 B) nie zależy ani od przyspieszenia prędkości, ani od czasu w którym ten przyspieszenie nastąpił
 C) wyraża przyspieszenie prędkości przypadającej na jednostkę czasu
 D) poprawne są s膰dy wyrażone w B i C
 E) poprawne s膰dy wyrażone w A i C



35. 1984/I.
- Srednia prędkość ruchu przedstawionego na wykresie w czasie 12 s wynosiła:
- A) $v_s = 0$ m/s
 B) $v_s = 2,5$ m/s
 C) $v_s = 3$ m/s
 D) $v_s = 5$ m/s



36. 1989/I.
- Samochód rusza z przyspieszeniem 2 m/s^2 . Po 4s jego prędkość i przebyta droga będą równe:
- A) 8 m/s i 20 m
 B) 8 m/s i 16 m
 C) 32 m/s i 16 m
 D) 32 m/s i 20 m

37. 1986/L

Ciało porusza się wzdłuż prostej. Wykres przedstawia w funkcji czasu odległość ciała od punktu odniesienia O leżącego na prostej. Wartość prędkości tego ciała maleła w przedziałach czasu:

- A) Δt_1 i Δt_2
B) Δt_2 i Δt_3
C) Δt_2 i Δt_4
D) Δt_4 i Δt_5

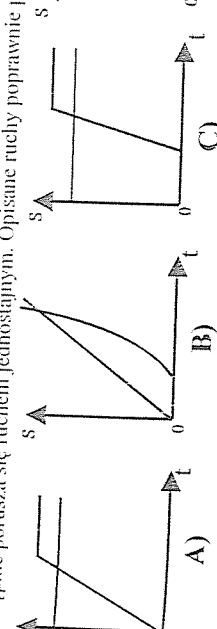
38. 1989/F

Rysunek przedstawia zależność prędkości ciała do czasu. Ruchem jednostajnie opóźnionym ciało to:

- A) poruszało się w czasie Δt_1
B) poruszało się w czasie Δt_2
C) poruszało się w czasie Δt_3
D) nie poruszało się w żadnym ze wskazanych przedziałów czasu

39. 1988/L

Obok przystanku autobusowego przejechał samochód ze stałą prędkością 20 m/s. Po upływie 2 min. z tego przystanku wyrusza w tym samym kierunku autobus, który w ciągu 10 s osiąga prędkość 25 m/s, a następnie porusza się ruchem jednostajnym. Opisane ruchy poprawnie przedstawia rysunek:



40. 1983/L

Rysunek przedstawia wykresy prędkości dwóch pojazdów. Wskaz błędnie odczytaną informację z tego wykresu:

- A) w czasie pierwszych pięciu sekund ruchu pojazd I przebył drogę 2 razy dłuższą niż pojazd II
B) prędkości pojazdów zwiększały się w koncu 5-tej sekundy ruchu
C) przyspieszenie pojazdu I wynosi 0 m/s^2 , a pojazdu II wynosi 3 m/s^2
D) pojazd I i II spotkają się w koncu 5-tej sekundy ruchu

41. 1988/L

Wykres przedstawia zależność wartości prędkości od czasu dla dwu ciał. Porównując drogi s_1 i s_2 przebyte przez te ciała w czasie T otrzymujemy zależność:

- A) $s_2/s_1 = 1$
B) $s_2/s_1 = 2$
C) $s_2/s_1 = 3$
D) $s_2/s_1 = 4$

42.

W ciągu czterech sekund od chwili rozpoczęcia ruchu jednostajnie przyspieszonego ciała przebywa drogę 48 m. W pierwszej sekundzie ciało pokonało drogę:
A) 6 m
B) 3 cm
C) 2 m
D) 3 m
E) nie można obliczyć drogi, gdyż nie podano prędkości poczatkowej.

43. 1986/L

Samochód rusza się w piątej sekundzie ruchu jednostajnie przyspieszonego przebywa drogę 4,5 m. Przyspieszenie samochodu wynosi:

- A) $0,5 \text{ m/s}^2$
B) 1 m/s^2
C) 2 m/s^2
D) 5 m/s^2
E) 4 m/s^2

44. 1989/L

Ciało rusza ruchem jednostajnie przyspieszonym i w czasie czterech pierwszych sekund porusza się ze średnią prędkością 5 m/s. Przyspieszenie ciała jest równe:

- A) 5 m/s^2
B) $2,5 \text{ m/s}^2$
C) $1,25 \text{ m/s}^2$
D) $0,8 \text{ m/s}^2$

45. 1983/L

Zależność drogi od czasu dla ciała będącego w ruchu wyraża równanie: $s = 5t^2 + 3t + 4$. Wartości fizyczowe prędkości poczatkowej i przyspieszenia tego ciała wynoszą:

- A) $v_0 = 3$, $a = 10$
B) $v_0 = 4$, $a = 10$
C) $v_0 = 3$, $a = 5$
D) $v_0 = 4$, $a = 5$

46.

Ciało porusza się ruchem opisanym równaniem:

$$s(t) = 2t + t^2$$

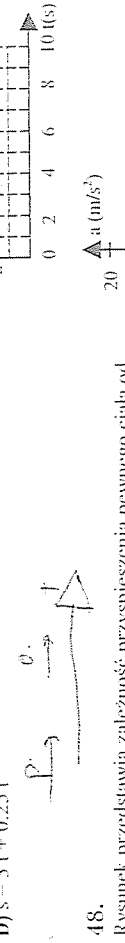
Wartości chwilowej prędkości w końcu 5-tej sekundy ruchu i wartość średniej prędkości w czasie 5-ciu sekund wynoszą odpowiednio:

- A) 12 m/s
B) 12 m/s
C) 7 m/s
D) 2 m/s

47. 1979/L

Dla poruszającego się ciała, którego prędkość w funkcji czasu przedstawiono na wykresie, zależność drogi od czasu jest opisana wzorem:

- A) $s = 1,5t + 3t^2$
B) $s = 3t + 1,5t^2$
C) $s = 1,5t + 0,5t^2$
D) $s = 3t + 0,25t^2$



48.

Rysunek przedstawia zależność przyspieszenia pewnego ciała od czasu ($V_0=0$). Prędkość ciała po 8s wynosi:

- A) 40 m/s
B) 20 m/s
C) 0 m/s
D) 80 m/s
E) 35 m/s



49.

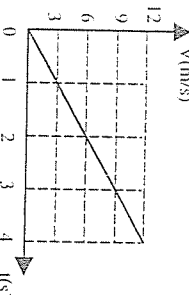
Pewne ciało przebyło drogę S w czasie t ruchem jednostajnie przyspieszonym bez prędkości poczatkowej. Porusza się tym samym ruchem, droga dwa razy dłuższa przebieże w czasie:

- A) 2t
B) $(\sqrt{2}/2)t$
C) $\sqrt{2}t$
D) $(\sqrt{2}/2)t$
E) t

50. 1989/I.

Z wykresu zależności prędkości klocka od czasu (rys.) wynika, że przebył on w przedziale czasu $\Delta t = (2s; 4s)$ drogę równą:

- A) 9m
B) 12m
C) 18m
D) 24m

**51. 1988/I/F.**

Ciało rusza z miejsca ze stałym przyspieszeniem 4 m/s^2 i porusza się przez 5s. Średnia prędkość tego ciała jest równa:

- A) 20 m/s
B) 10 m/s
C) 5 m/s
D) 4 m/s

52. 1992-94/MIS MaP

W ruchu jednostajnie przyspieszonym z prędkością początkową równą zero stosunek długości dróg przebytech w kolejnych jednostkach czasu wynosi:

- A) 1:2:3:4,
B) stały,
C) 1:4:8:16,
D) 1:3:5:7.

53.

O prędkości ciała w ruchu jednostajnie zmiennym można powiedzieć, że:

- A) jest wprost proporcjonalna do kwadratu czasu
B) nie zależy od czasu
C) jest liniowa funkcją czasu
D) jest odwrotnie proporcjonalna do czasu

54.

Dwa ciała ruszają z miejsca ruchem jednostajnie przyspieszonym. Stosunek przyspieszeń ich ruchu jest 2:3, stosunek czasów trwania ich ruchu jest 3:4. Stosunek dróg przebytech przez te ciała wynosi:

- A) 3:8
B) 1:2
C) 2:1
D) 8:1

55.

Droga jaką przebędzie ciało poruszające się ruchem jednostajnie przyspieszonym w czasie $t=5\text{s}$, jeżeli jego prędkość końcowa wynosi $V=20 \text{ m/s}$, a prędkość początkowa jest równa zero wynosi:

- A) 50m
B) 100m
C) 75m
D) 25m
E) 35m

56.

Z wykresu przedstawionego na rysunku wynika, że maksymalne przyśpieszenie ma wartość:

- A) 5 m/s^2
B) 2.5 m/s^2
C) 0 m/s^2
D) 0.5 m/s^2

57.

Średnia wartość prędkości z poprzedniego zadania w czasie 4 s wynosi:

- A) 10 m/s
B) 5 m/s

58. 1991/I.
Sanki, ruszające z miejsca, zjeżdżają z góry ze stałym przyspieszeniem i w ciągu pierwszych czterech sekund pokonują drogę 12 metrów. Prędkość równa 9m/s osiągnęła po czasie:

- A) 3 s
B) 4 s
C) 5 s
D) 6 s

59.

Ciało ruszyło z miejsca ruchem jednostajnie przyspieszonym uzyskując w końcu pierwszej i drugiej sekundy prędkości odpowiednio 1 m/s i 2 m/s . Wartość przyspieszenia jest równa:

- A) 1 m/s^2
B) 4 m/s^2
C) 5 m/s^2
D) 3 m/s^2

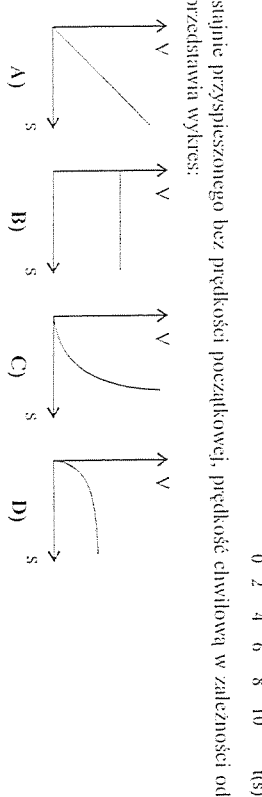
60. 1998/I.

Ciało rusza z miejsca w chwili $t=0$ i przyspiesza tak, jak pokazuje wykres. Prędkość ciała po dziesięciu sekundach ruchu wynosi:

- A) 8 m/s
B) 15 m/s
C) 20 m/s
D) 20 m/s

61.

Na rysunku przedstawiono bez prędkości początkowej, prędkość chwilową w zależności od przebytej drogi. Przedstawia wykres:

**62.**

Ciało rusza z miejsca ruchem jednostajnie przyspieszonym osiągając prędkość 10 m/s po pięciu sekundach. Jaka droga przebyło to ciało w piątej sekundzie?

- A) 50m
B) 25m
C) 18m
D) 4,5m
E) 9m

63.

Na drodze 100m prędkość ciała poruszającego się ruchem jednostajnie opóźnionym zmalała z 30 m/s do 10 m/s . Przyspieszenie ciała wynosiło:

- A) -4 m/s^2

B) 4 m/s^2

C) 5 m/s^2

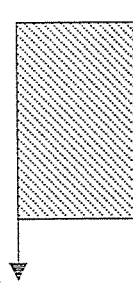
D) -5 m/s^2

E) -8 m/s^2

64. 1990/I/F.

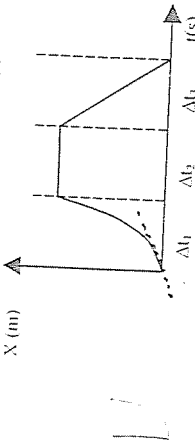
Wykres przedstawia zależność przyspieszenia a od czasu t w pewnym ruchu prostoliniowym. Zakresowane pole jest równe hektowu:

- A) przebytej drodze
B) przyrostowi prędkości
C) prędkości średniej
D) prędkości końcowej

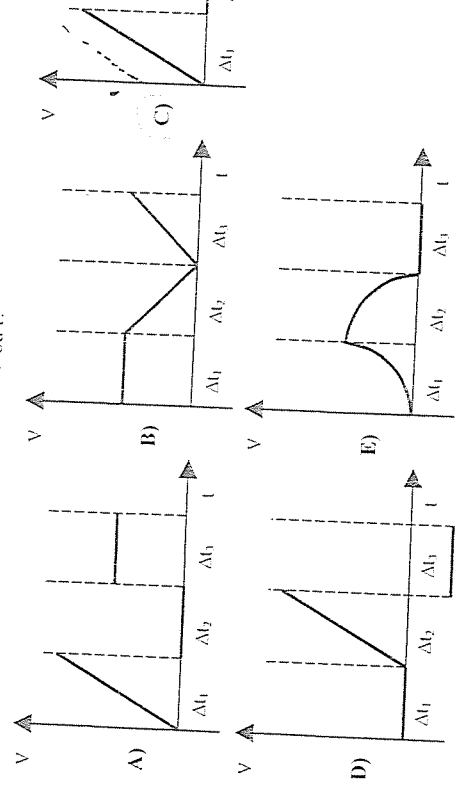


66.

Zależność położenia od czasu dla ruchu pewnego ciała przedstawia wykres.

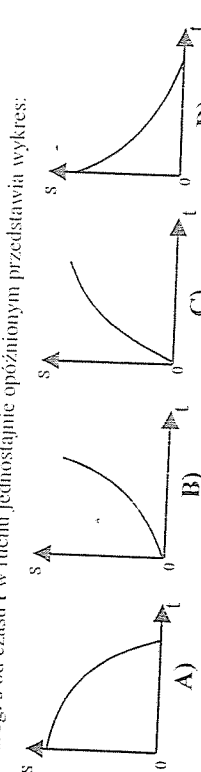


Który z wykresów przedstawia zależność V od t ?



67. 1990/L

Zależność drogi s od czasu t w ruchu jednostajnie opóźnionym przedstawia wykres:



Wykres przedstawia zależność przyspieszenia od czasu w ruchu pewnego ciała.

- W którym momencie prędkość ciała była największa?
- w chwili t_1
 - w chwili t_2
 - w chwili t_3
 - w chwili t_4

69. 1995/MIS MaP

Prędkość kątowa wskaźówki minutowej jest większa od prędkości kątowej wskaźówki godzinowej zegara:

- 12 razy
- 24 razy
- 60 razy
- 6 razy

70. 1988/L

Wskaźówka minutowa zegara jest 1,5 razy dłuższa od wskaźówki godzinowej. Stosunek prędkości linowej jej końca do prędkości linowej końca wskaźówki godzinowej wynosi:

- 6
- 9
- 12
- 18

71. 1999/L

Ustawiona poziomo płytę obraca się dookoła pionowej osi ze stałą prędkością kątową 4 rad/s . Kąt, który jest równy:

- 0
- 2 m/s^2
- 4 m/s^2
- 8 m/s^2

72. 1988/P

Jesli ciało porusza się ruchem jednostajnym po okręgu, to jego przyspieszenie jest:

- równie zero
- stałe co do wartości
- stałe co do kierunku
- stałe co do wartości i kierunku

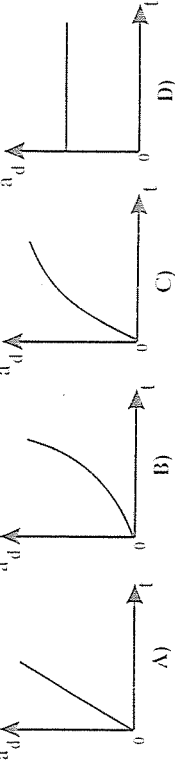
73.

Punkt materialny obiega okrąg ruchem jednostajnie przyspieszonym ($a > 0$). Wektor wypadkowego przyspieszenia dosrodkowego tworzy z wektorem prędkości liniowej kąt α :

- $\alpha = 0^\circ$
- $\alpha = 90^\circ$
- $0^\circ < \alpha < 90^\circ$
- $\alpha = 180^\circ$

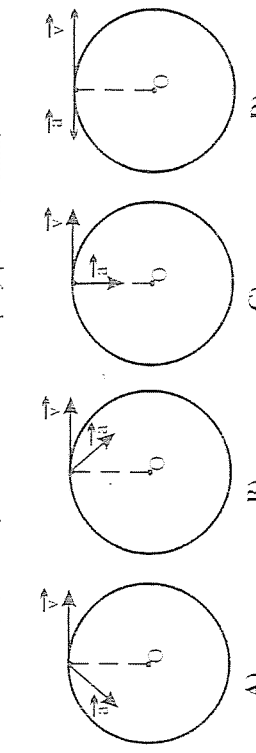
74. 1987/L

Ciało porusza się po okręgu ruchem jednostajnie przyspieszonym bez prędkości początkowej. Wartość prędkości początkowej i kąta opisującego zmianę prędkości w czasie według wykresu:



75.

Punkt materialny porusza się po okręgu ruchem jednostajnie opóźnionym. Który rysunek poprawnie przedstawia chwilowe przyspieszenie ciała?



76.

Punkt materialny rozpoczyna ruch ($V_0 = 0$) po okręgu o promieniu $r = 10 \text{ cm}$ ze stałą co do wartości prędkości liniowej $a_s = 5 \text{ cm/s}^2$. Przyspieszenie dosrodkowe będzie równe co do wartości przyspieszenia liniowego po czasie:

- 1 s
- 2 s
- $\sqrt{2} \text{ s}$
- $2\sqrt{2} \text{ s}$

77.

Punkt materialny obiega okrąg o promieniu $r = 0,1$ m ze stałą prędkością $v = 3,14 \text{ m/s}$. W ciągu czasu $t = 1 \text{ min}$ punkt materialny obiega okrąg:

- A) 5 razy B) 30 razy C) 314 razy D) 300 razy

78.

Wektor prędkości liniowej \vec{v} tworzy z wektorem przyspieszenia \vec{a} kąt α (rysunk). Stosunek przyspieszenia liniowego do przyspieszenia oszczędzeniowego wynosi:

- A) $\sin \alpha$ B) $\cos \alpha$ C) $\operatorname{tg} \alpha$ D) $\operatorname{ctg} \alpha$

79.

Punkt materialny obiega okrąg o promieniu $r = 0,1$ m ze stałą prędkością $v = 3,14 \text{ m/s}$. W ciągu czasu $t = 1 \text{ min}$ punkt materialny obiega okrąg:

- A) 5 razy B) 30 razy C) 314 razy D) 300 razy

80.

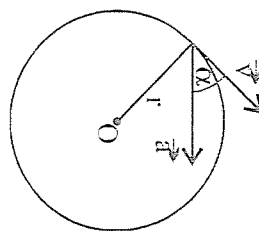
Ciało porusza się ruchem jednostajnym prostolinijnym od punktu K do L (rys.). Na ciało działają dwie siły; jedną z nich jest sila \vec{F} , a drugą:

- A) \vec{F}_1

- B) \vec{F}_2

- C) \vec{F}_3

- D) \vec{F}_4

**81.**

Na ciało masie $m=10\text{kg}$ działa sila o wartości 100N pod kątem $\alpha=30^\circ$ (rys.). Naciśk ciało na podłożo wynosi:

- A) 100 N

- B) 200 N

- C) 150 N

- D) 50 N

82.

Aby klocek pozostawał w spoczynku, jeżeli $F_1=10 \text{ N}$, $F_2=5 \text{ N}$ (rys.) kąt α ma wartość (tarcie pomijamy):

- A) 60°

- B) 30°

- C) 45°

- D) 90°

83.

Prędkość jaką ciało o masie $m=2\text{kg}$ osiągnie po czasie $t=4\text{s}$ od chwili rozpoczęcia ruchu, jeżeli jednymi działającymi na nie silami są sily \vec{F}_1 i \vec{F}_2 (patrz rysunek) wynosi:

- A) $4/\text{s}$

- B) 6 m/s

- C) 10 m/s

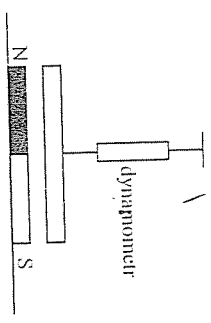
- D) 1 m/s

- E) 3 m/s

84.

1986/l. Dwie sztabki żelaza o masie $0,1 \text{ kg}$ każda ustawiono jak pokazuje rysunek. Sztabka leżąca na stole jest magnesem. Dynamometr wskazuje siłę $F = 1,5 \text{ N}$. Wartość siły naciśku na stół wynosi:

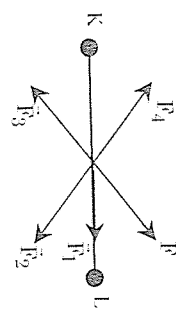
- A) $0,5 \text{ N}$
- B) 1 N
- C) $0,1 \text{ N}$
- D) $1,5 \text{ N}$

**2. DYNAMIKA PUNKTU MATERIAŁNEGO****79.**

1982/l.

W dwóch interwałach czasowych, o których jeden spoczywa a drugi porusza się ze stałą prędkością badano nach punktu materialnego wyznaczając: prędkość v , przyspieszenie a i drogę s . Uzyskane wyniki v , a , s były:

- A) wszystkie takie same
B) wszystkie różne
C) v i s takie same, a - różne
D) a w obu układach takie samo, v i s - różne

**80.**

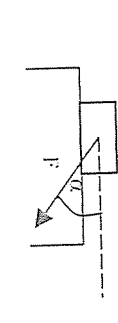
1990/l. Ciało porusza się ruchem jednostajnym prostoliniowym od punktu K do L (rys.). Na ciało działają dwie siły; jedną z nich jest sila \vec{F} , a drugą:

- A) \vec{F}_1

- B) \vec{F}_2

- C) \vec{F}_3

- D) \vec{F}_4

**81.**

Na ciało masie $m=10\text{kg}$ działa sila o wartości 100N pod kątem $\alpha=30^\circ$ (rys.). Naciśk ciało na podłożo wynosi:

- A) 100 N

- B) 200 N

- C) 150 N

- D) 50 N

82.

Aby klocek pozostawał w spoczynku, jeżeli $F_1=10 \text{ N}$, $F_2=5 \text{ N}$ (rys.) kąt α ma wartość (tarcie pomijamy):

- A) 60°

- B) 30°

- C) 45°

- D) 90°

83.

Prędkość jaką ciało o masie $m=2\text{kg}$ osiągnie po czasie $t=4\text{s}$ od chwili rozpoczęcia ruchu, jeżeli jednymi działającymi na nie silami są sily \vec{F}_1 i \vec{F}_2 (patrz rysunek) wynosi:

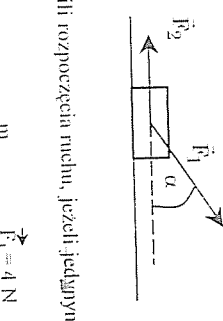
- A) $4/\text{s}$

- B) 6 m/s

- C) 10 m/s

- D) 1 m/s

- E) 3 m/s



1992-94/MIS MaP
Wektor przyspieszenia nie może być skierowany:

- A) równolegle do wektora prędkości,

- B) prostopadle do wektora prędkości,

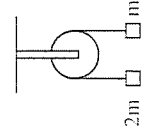
- C) równolegle do wektora działającej siły wypadkowej,

- D) prostopadle do wektora działającej siły wypadkowej.

86. 1991/L.

Wartość siły działającej na ciało o masie 2 kg w drugiej sekundzie ruchu przedstawionego na wykresie wynosi:

- A) $0,4 \text{ N}$
B) $2,5 \text{ N}$
C) 5 N
D) 10 N



87. 1990/L.

Na spoczywające ciało o masie 2 kg zaczęła działać stała siła wypadkowa o wartości 30 N . W czasie pierwszych dziesięciu sekund ruchu, ciało to przebędzie drogę równą:

- A) 15 m
B) 75 m
C) 150 m
D) 750 m

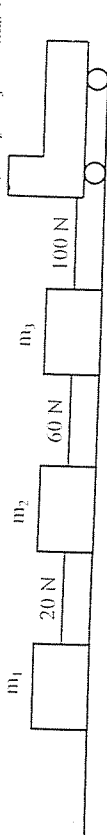
88. 1997/L.

Do dwóch ciał połączonych linką przyłożono siłę $F = 100 \text{ N}$ (rys.). Masy ciał wynoszą: $m_1 = 6 \text{ kg}$, $m_2 = 4 \text{ kg}$. Na ciało o masie m_2 działa siła F_x (tarcie ponijąty):

- A) 40 N
B) 50 N
C) 60 N
D) 100 N

89. 1987/L.

Na rysunku podano wartości sił naprzeciwnych sznurki, którymi połączone są sanki ciągnięte przez samochód. Jeżeli siły oporu działania na sanki można pominać, to stosunek $m_1 : m_2 : m_3$ ich mas wynosi:



90. 1997/L.

Jeżeli przesuwany wózek o masie 20 kg po płaskiej powierzchni ruchem jednostajnym, to należy działać na niego siła 10 N . Jaka siła należy działać na ten wózek, aby (w tych samych warunkach) poruszał się on z przyspieszeniem 2 m/s^2 ?

- A) 20 N
B) 30 N
C) 40 N
D) 50 N

91. 1994/L.

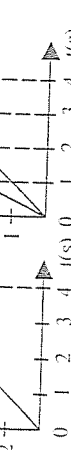
Jeżeli zaniedbany tarcie, masę bloczków i liny to przyjmując $g = 10 \text{ m/s}^2$ przyspieszenie układu mas (rysunek) wynosi:

- A) $2,5 \text{ m/s}^2$
B) $3,3 \text{ m/s}^2$
C) 5 m/s^2
D) $7,5 \text{ m/s}^2$
E) 10 m/s^2

92. 1984/L.

Jeżeli na ciało o masie $m = 1 \text{ kg}$ działa siła zależna od czasu (wykres I), to przyspieszenie tego ciała przedstawia półprosta (wykres II):

- A) 1
B) 2
C) 3
D) 4



93. 1991/L.

Przyspieszenie w ruchu układu przedstawionego na rysunku (tarcie i masę bloczka zaniedbuję) wynosi:

- A) około $3,3 \text{ m/s}^2$
B) około $4,9 \text{ m/s}^2$
C) około $6,6 \text{ m/s}^2$
D) około $9,8 \text{ m/s}^2$

94. 1987/L.

Przez nieruchomy blok przerzucono nieważką linię. Na jednym końcu liny unicowano ciało o masie m spoczywające na podłodze. Czy małpka o masie m trzymająca za drugi koniec liny może podnieść to ciało:

- A) nie może
B) będzie się wspinać po linie ruchem jednostajnym
C) może, jeżeli będzie się wspinać po linie ruchem przyspieszonym
D) może, jeżeli będzie się wspinać po linie ruchem opóźnionym

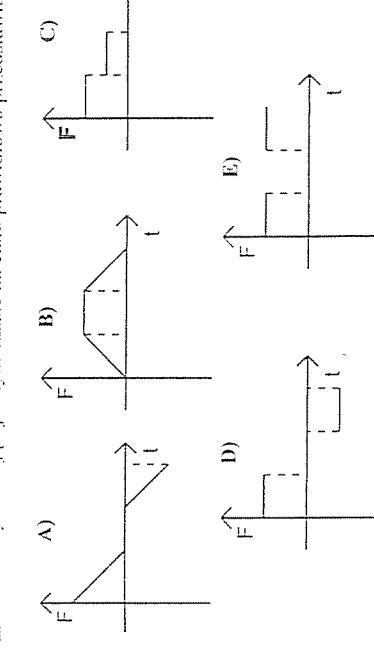


95. 1993/L.

Wykres przedstawia zależność prędkości ciała od czasu trwania ruchu t:



Zależność siły działającej w tym czasie na ciało prawidłowo przedstawiono na wykresie:



96. 1997/L.

Wózek o masie 2 kg poruszał się po torze płaskim bez tarcia z prędkością 4 m/s . Po przyłożeniu siły hamującej F (rys.) zatrzymał się po przebyciu drogi 8 m . Jaka była wartość siły hamującej?

- A) 2 N
B) 4 N
C) 16 N
D) 32 N

97. 1991/L.

Spontowice o masie 60 kg wspina się pionowo po linie z przyspieszeniem $0,5 \text{ m/s}^2$. Napięcie liny wynosi około:

- A) 360 N
B) 570 N
C) 600 N
D) 630 N

98. 1993/I.

Ciało o ciężarze $P = 12 \text{ N}$ zawieszone na nitce podnoszono w górę z przyspieszeniem $a = 3/4 g$. Naprężenie niti było równe około:

- A) 21 N B) 15 N C) 12 N D) 9 N E) 3 N

99. 1986/I.

Dwa identyczne wózki ruszają z miejsc pod działaniem sił, jak pokazuje rysunek. Czasy t_1 i t_2 po jakich dojadą do krawędzi stołu, przebywając jednakoowe drogi (bez tarcia) spełniają zależność:

- A) $t_1 > t_2$
B) $t_1 = t_2$
C) $t_1 < t_2$
D) $t_1 > t_2$ w zależności od promieni kół wózków

100. 1983/I.

Przez bloczek przerzucono nić, na której końcach zawieszono dwa ciężarki o masach $M > m$. Jeżeli pominiemy ciężar bloczka i nici oraz zaniedbamy tarcie, to przyspieszenie tych ciężarków możemy wyrazić wzorem:

- A) $a = (M - m)g / (M + m)$
B) $a = (M + m)g / (M - m)$
C) $a = mg / (M + m)$
D) $a = m g / (M - m)$

101. 1992-94/MiS MaP

Po gładkiej poziomej powierzchni może przesuwać się bez tarcia masa M ciągnięta przez nię, na której zawieszona jest masa $m = 0,5 M$ (rysunek). Tarcie blozka M pomijamy, g jest przyspieszeniem ziemińskim. Przyspieszenie masy M wynosi:

- A) $g/3$
B) $g/2$
C) $2g/3$
D) g

102.

Na nieważkich nóżkach zawieszono dwie masy (rys.). Nuciące nitki N_1 i N_2 spełniają zależność:

- A) $N_1 = N_2$
B) $N_1 = 3 N_2$
C) $N_1 = 1/3 N_2$
D) $N_1 = 2 N_2$

103. 1987/I.

Układ przedstawiony na rysunku był w równowadze. Następnie jeden z dwóch obciążników o jednakowych masach podwieszono w punkcie A, a drugi unieszczeno w wibratorze. Zaniedbując siły oporu można stwierdzić, że wiadomo:

- A) nadal pozostanie w spoczynku
B) zaczęcie opadanie ruchem jednostajnym
C) zaczęcie opadanie ruchem przyspieszonym
D) zacząć ruch się

104. 1992-94/MiS MaP

W układzie przedstawionym na rysunku bloczek i linka łącząca masy są nieważkie. Przy założeniu braku tarcia przyspieszenie jest równe:

- A) g
B) $\frac{1}{2}g \cdot \left(1 - \frac{\sqrt{2}}{2}\right)$
C) $\frac{1}{2}g \cdot \left(1 + \frac{\sqrt{2}}{2}\right)$
D) $\frac{\sqrt{2}}{2}g$

105. 1988/I.

Tranwaj jadąc z prędkością $8,5 \text{ m/s}$, jeżeli podczas hamowania siła oporu równa jest $0,25$ ciężaru tramwaju, to zatrzyma się on po upływie:

- A) 3,4 s
B) 4,2 s
C) 34 s
D) 42 s

106. 1989/I.

Jednorodna lina o masie 2 kg zawieszona na sznurze podnosząco do góry z przyspieszeniem 2 m/s^2 , to naprężenie sznura wyniesie około:

- A) 2 N
B) 4 N
C) 20 N
D) 24 N

107. 1994/I.

Jednorodna lina o masie m przerzucono przez blok obracający się bez tarcia. Jeżeli lina umieszczena jest niesymetrycznie (rys.), to koniec liny A będzie poruszał się ruchem:

- A) jednostajnym
B) jednostajnie przyspieszonym
C) jednostajnie opóźnionym
D) niejednostajnie przyspieszonym
E) niejednostajnie opóźnionym

108. 1999/I.

Układ ciężarków o masach $m_1 = 2 \text{ kg}$ i $m_2 = 3 \text{ kg}$ (rys.) w chwili poczatkowej jest w spoczynku i zaczyna poruszać się. Ciężarik o masie m_1 uzyska energię kinetyczną $E_k = 16 \text{ J}$ po czasie równym (tarcie pominięty, $g = 10 \text{ m/s}^2$):

- A) 1 s
B) 2 s
C) 3 s
D) 4 s

109. 1996/I.

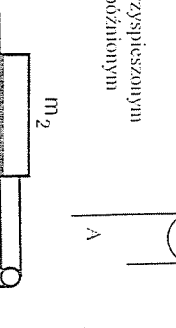
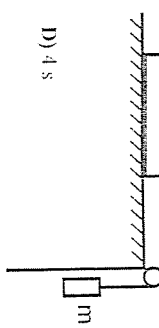
Zależność przyspieszenia ciała od czasu przedstawia wykres. Po upływie 4 s pod ciałem o masie 1 kg zmieni się:

- A) 0 kg m/s
B) 4 kg m/s
C) 8 kg m/s
D) 12 kg m/s

110. 1992-94/MiS MaP

Po ciału rośnie proporcjonalnie do czasu. Ciało porusza się ruchem:

- A) jednostajnym
B) jednostajnie opóźnionym
C) jednostajnie przyspieszonym
D) jednostajnym po okręgu



113. 1979/L

Na cienkiej nitce a zawieszono kulę o masie 2 kg. Z dolu kuł umocowano drugi odciętek b w takiż samej nitki. Następnie próbowano zerwać nitki ciągnącej kulę b w dół i stwierdzono, że:

- A) przy nagiętym szarpieniu zerwał się nitka a
B) przy nagiętym szarpieniu zerwał się nitka b
C) przy wolnym zwiększanym działającym silą zerwał się nitka b
D) niezależnie od sposobu przyłożenia siły zawsze zerwał się nitka b

114. 1985/L

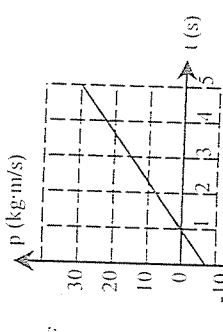
Nit poruszająca się z prędkością V cięto, zaczęła działać w kierunku ruchu stała siła F. Prędkość ciała wrośnie n razy po upływie czasu:

- A) $t = \frac{mVh}{F}$
B) $t = \frac{mV(n-1)}{F}$
C) $t = \frac{FnV}{n}$
D) $t = \frac{Fn(V-1)}{n}$

115. 1984/L

Wykres przedstawia zmianę pędu ciała o masie m = 10 kg. Siła F działająca na ciało i przyspieszenie a tego ciała mają wartości:

- A) F = 3 N; a = 0,3 m/s²
B) F = 6 N; a = 0,6 m/s²
C) F = 7,5 N
D) F = 10 N;
a = 1 m/s²

**116.**

Zależność siły działającej na ciało od czasu przedstawia rysunek. Zmiana pędu ciała w ciągu 5 s od chwili rozpoczęcia ruchu wynosi:

- A) 25 N·s
B) 50 N·s
C) 100 N·s
D) 50 kg·m/s
E) poprawne są odpowiedzi B i D

117. 1999/L

Wykres przedstawia zależność przyspieszenia a od czasu t, ciała o masie m = 0,5 kg i prędkości początkowej v₀ = 10 m/s. Zależność pędu p od czasu t przedstawia wykres:

**118.** 1982/L

Na toczący się po boisku z prędkością v = 20 m/s piłkę o masie m = 1 kg zadziałała siła o popędzie 15 N skierowana przeciwnośnie do zwrotu prędkości piłki. W wyniku tego prędkość piłki będzie miała wartość:

- A) v = 35 m/s
B) v = 15 m/s
C) v = 5 m/s
D) v = -5 m/s

119. 1999/L

Wagonik o masie m₁, jadący z prędkością v₁ = 5 m/s, zderzył się z nieruchomym wagonikiem o masie m₂ = 2 · 10³ kg. Po zderzeniu wagoniki poruszały się razem z prędkością mniejszą o Δv = 2 m/s od prędkości pierwszego wagonika. Masa m₁ wagonika była równa:

- A) 2 · 10³ kg
B) 2,5 · 10³ kg
C) 3 · 10³ kg
D) 5 · 10³ kg

120. 1983/L

Na wózku o masie 200 kg stojącym na pozionym torze wskaakuje chłopiec chłopiec o masie 50 kg biegający z prędkością 4 m/s skierowaną równolegle do toru. Jeżeli chłopiec zatrzyma się na wózku, to wózek uzyska prędkość:

- A) 0,5 m/s
B) 0,8 m/s
C) 1,25 m/s
D) 1 m/s

121. 1995/MIS MaP

Na wózku stoją dwa zbiorniki połączone przewodem z zaworem. W jednym ze zbiorników jest woda, drugi jest pusty. Czy wózek poruszy się gdy otworzymy zawór? Tużecz ponijamy.

A) nie, bo siły wewnętrzne układu nie mogą wprowadzić ciała w ruch
B) tak, w prawo bo pęd wody uderzy w ściankę prawego zbiornika
C) tak, w lewo bo siły wewnętrzne układu nie mogą zmienić położenia centrum masy układu
D) wózek zacznie się poruszać raz w lewo, raz w prawo, bo woda zacznie się poruszać ruchem drgającym

122.

Poruszająca się poziomo kula o masie m w trakcie lotu rozrywa się na dwie jednakowe masy (patrz rysunek). Korzystając z zasad zachowania pędu i wiedząc, że jeden kawałek uzyskuje w chwili wybuchu prędkość skierowaną pionowo do dołu, drugi na w tym momencie prędkość skierowaną jak:

- A) półprosta 1
B) półprosta 4
C) półprosta 2
D) półprosta 5
E) półprosta 3

123.

Spoczywająca kula o masie m rozywa się na dwie części o masach 2/3 m, 1/3 m (tys.). Przyrosty pędów części 1 i 2 są:

- A) części 1 dwa razy większe niż 2
B) części 2 dwa razy większe niż 1
C) części 1 i 2 razy większe niż 2
D) jednakowe

124.

Na poziomo poruszający się z prędkością V₁ = 10 m/s wózek o masie m₁ = 5 kg spadła pionowo cegla o masie m₂ = 3 kg. Po tym wydłużeniu prędkość wózka i cegły wynosiła:

- A) 0 m/s
B) 10 m/s
C) 6,25 m/s
D) 5,05 m/s
E) 1 m/s

125. 1993/L

Chłopiec biegający z prędkością V wskoczył do nieruchomej łódki i nadął jej prędkość $1/3 V$. Masa m_2 łódki i masa chłopca maja spełnione zależności:

- A) $m_2 = m_1$ B) $m_2 = 2m_1$ C) $m_2 = 1/2 m_1$ D) $m_2 = 3m_1$

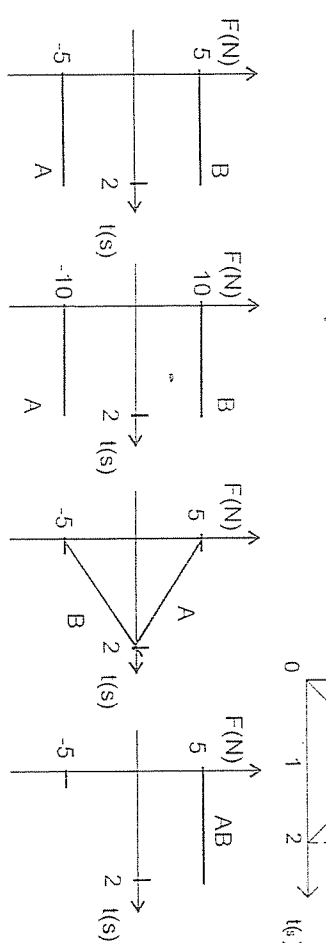
126. 1977/L

Wykres przedstawia przebieg zmian prędkości ciała w wybranym przedziale czasu. Analizując przełykny zmiany prędkości stwierdzamy, że sila o wartości malejącej działała na ciało:

- A) w czasie Δt_1
B) w czasie Δt_2
C) w czasie Δt_3
D) w czasie Δt_2 i Δt_3

127.

Z wykresu wynika, że siły działające na ciało A i B poprawnie przedstawia rysunek:



- A) B) C) D)

128. 1990/L
Jedźce masły obu ciał z poprzedniego zadania były jednakowe i równe 1 kg, to drogi przebyte przez te ciała w czasie drugiej sekundy ruchu wynoszą odpowiednio:

- ciało A ciało B
A) 10 m 10 m
B) 2,5 m 7,5 m
C) 7,5 m 2,5 m
D) 20 m 20 m

129. 1993/L

Dwie kulki o masach 0,4 kg i 0,6 kg poruszają się naprzeciw siebie z jednakowymi prędkościami V . Prędkość kul po zderzeniu niesprzestępnie wynosi:

- A) zero B) 0,2 V C) 0,4 V D) 0,6 V E) V

130. 1988/L

Porównując przyspieszenia a_1 i a_2 klocków o masach $m_1 = m$ i $m_2 = 2m$ zatrzymujących się swobodnie z równi pochyłych (rys.) otrzymujemy zależność:

- A) $a_2 = 0,5 a_1$
B) $a_2 = a_1$
C) $a_2 = 2 a_1$
D) $a_2 = 4 a_1$

131. 1996/L

Po poziomej powierzchni porusza się klocki (rysunek). M oznacza masę zawieszoną na niewidocznej nici, a m masę klocka, przy czym $M > m$; opór bloczka pomijany. Jeżeli współczynnik tarcia między klockiem i podłożem wynosi 1, przyspieszenie grawitacyjne g , to przyspieszenie układu a można wyznaczyć ze wzoru:

- A) $a = \frac{Mg}{m} f$ B) $a = \frac{M+m}{m} g$ C) $a = \frac{mg}{M+m} f$ D) $a = \frac{M-fm}{M+m} g$

132. 1989/L

Ciało zauważające się bez tarcia z równi tworzącej z poziomem kat 30 stopni w czasie czterech pierwszych sekund porusza się ze średnią prędkością równej:

- A) 4 m/s B) 5 m/s C) 10 m/s D) 20 m/s

133. Ciało zauważające się swobodnie z równi pochyłej ostatecznie przyspieszenie 2 razy mniejsze od przyspieszenia ziemińskiego. Kat pod jakim jest nachylona równa wynosi:

- A) 90° B) 60° C) 30° D) 45°

134.

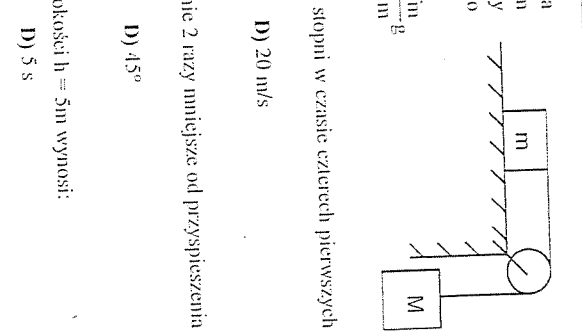
Czas potrzebny do przebycia równej (z poprzedniego zadania) o wysokości $h = 5m$ wynosi:

- A) 1 s B) 4 s C) 2 s D) 5 s

135.

Sila F , jaka należy działać na ciało o masie $m = 1\text{ kg}$ (tys.) aby poczuło się ruchem jednostajnie przyspieszonym z przyspieszeniem $a = 1\text{ m/s}^2$ wynosi:

- A) 1 N B) 2 N C) 3 N D) 0 N



136. 1996/L
Ciało, któremu nadano prędkość 6 m/s porusza się po poziomej powierzchni i do chwili zatrzymania się (pod wpływem siły tarcia) przebywa drogę 18 m . Współczynnik tarcia ciała o podłożu wynosi około:

- A) 0,05 B) 0,10 C) 0,15 D) 0,20

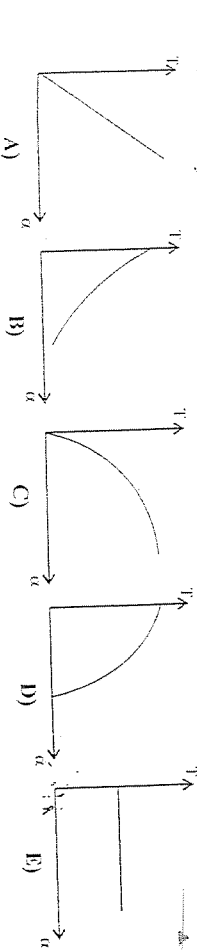
137.

Ciało o masie $m = 5\text{ kg}$ porusza się po poziomym torze ruchem jednostajnym. Jeżeli działająca na ciało sila $F = 10\text{ N}$, to współczynnik tarcia kinetycznego f wynosi:

- A) 1 B) 1/5 C) 5 D) 10 E) 0

138.

Zależność siły tarcia T na równi pochyłej od kąta nachylenia przedstawia wykres:



139. 1986/l.

Współczynnik tarcia klocka o masie 1 kg o pionową ścianę jest równy 0,1. Aby klock przestał niemieruchomy należał go docisnąć do ściany siła równa co najmniej:

- A) 0,1 N B) 1 N C) 10 N D) 100 N

140.

Mięszy pionowy listwany drevniakim (rys.) spada swobodnie klock K o masie m. Jeżeli współczynnik tarcia statycznego klocka o listwie wynosi f, to minimalna siła F, jaką należy docisnąć listwę do klocka aby pozostawał w spoczynku, jest równa wyrażeniu:

- A) $m g f$ B) $m g/f$ C) $m g/2f$ D) $2m g/f$

141. 1987/l.

Klock o masie m porusza się ruchem jednostajnym po poziomej powierzchni pod wpływem siły F (rys.). Współczynnik tarcia klocka o podłożu jest równy f. Wartość siły tarcia działającej na klockę wynosi:

- A) $f m g$ B) $f \sin \alpha$ C) $f F \cos \alpha$ D) $f \cos \alpha$

142. 1989/l.

Ciało poruszające się po poziomej powierzchni z predkością poczatkową v_0 zatrzymuje się po przejściu drogi s. Współczynnik tarcia ciała o tej powierzchni jest równy:

- A) $\frac{v_0^2}{2gs}$ B) $\frac{2v_0^2}{gs}$ C) $\frac{g v_0^2}{2s}$ D) $\frac{gs}{2v_0^2}$

143.

Jeżeli masa ciała m=2kg, działające na nie siła F=10N, współczynnik tarcia $\mu = 0,2$, a kąt $\alpha = 30^\circ$ (rys.) to siła tarcia T wynosi około:

- A) $T=3,5\text{ N}$ B) $T=3\text{ N}$ C) $T=4\text{ N}$
D) ponieważ ciało spoczywa siła tarcia nie działa

144. 1997/l.

Z wysokości 100 m spada kula o masie 4 kg. Z jaką predkością uderzy w ziemię, jeżeli przyjmiemy, że średnia wartość siły oporu powietrza wynosi 8 N ? ($g = 10\text{ m/s}^2$)

- A) 20 m/s B) 40 m/s C) 100 m/s D) 200 m/s

145. 1999/l.

Wzdłuż równej pochyłej, o kącie nachylenia 30° , wciągano ciało ruchem jednostajnym w górę, działającą siłą 15 N. Masa ciała była równa (tarcię pominiąć, $g=10\text{ m/s}^2$):

- A) 0,7 kg B) 1,7 kg C) 3,0 kg D) 5,0 kg

146.

Z wierzchołka równej pochyłej o wysokości 20 m i kącie nachylenia 30° zaczyna zsuwać się swobodnie klock. Podstawię równej klock osiągnie po czasie: (przyspieszenie ziemskie 10 m/s^2)

- A) $2\sqrt{2}\text{ s}$ B) 4 s C) $\frac{4\sqrt{3}}{3}\text{ s}$ D) 2 s

147.

Dwa ciała o masach m i 2m zsuwają się z równej pochyłych (rysunek) o kątach nachylenia $\alpha_1 = 30^\circ$ i $\alpha_2 = 60^\circ$ oraz współczynnikach tarcia $f=0,5$. Stosunek przyspieszeń a_1/a_2 wynosi:

- A) 1 B) $\frac{1 - \sqrt{3}}{\sqrt{3} - 1}$ C) $\frac{\sqrt{3} - 1}{1 - \frac{\sqrt{3}}{2}}$ D) $\frac{\sqrt{3}}{2}$ E) 2

**148.** 1994/l.

Z równej pochyłej o wysokości h = 1 m zsuwa się klock ze stałą prędkością V = 1 m/s w czasie 2 s. Współczynnik tarcia klocka wynosi:

- A) $2\sqrt{2}$ B) $\sqrt{3}$ C) $\sqrt{3}/2$ D) $1/2$ E) $1/\sqrt{3}$

149. 1987/l.

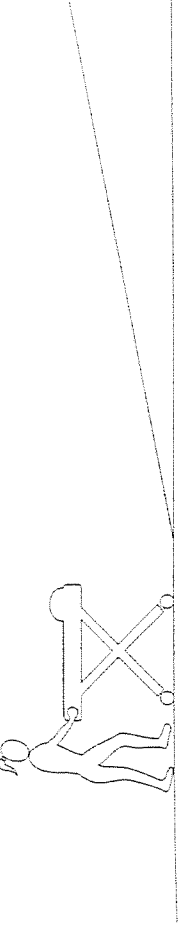
Dwa klocki o masach $m_1 = m$ i $m_2 = 2m$ zsuwają się swobodnie z tej samej równej odrzyniemy:

- A) $a_2 = 0,5 a_1$,
B) $a_2 = 0,5 a_1$,
C) $a_2 = a_1$,
D) $a_2 = a_1$,

150. 1979/l.

Pokonując siłę tarcia T = 100 N, pielęgniarka pcha wózek po torze poziomym. Pchając wózek ruchem jednostajnym po pochyłej o tej samej nawierzchni, pielęgniarka będzie działać silę:

- A) 100 N B) 200 N C) 300 N D) 400 N

**151.** 1988/l.

Klock o masie m = 1 kg zsuwa się z równej nachylonej pod kątem = 30 stopni do poziomu z przyspieszeniem a = $\frac{1}{4}g$. Współczynnik tarcia kinetycznego klocka o równie wynosi:

- A) 0,25 B) 0,5 C) $\sqrt{3}/3$ D) $\sqrt{3}/6$

152.

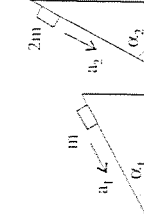
Jaki warunek musi być spełniony, aby ciało mogło zsunąć się po równej pochyłej o kącie nachylenia do poziomu α , jeśli maksymalna wartość współczynnika tarcia statycznego wynosi?

- A) $\tan \alpha < f$ B) $\sin \alpha > f$ C) $\tan \alpha \geq f$ D) $\operatorname{ctg} \alpha \geq f$

153. 1988/l.

Dwa ciała o masach m i 2m zsuwają się z równej pochyłych (rysunek) o kątach nachylenia $\alpha_1 = 30^\circ$ i $\alpha_2 = 60^\circ$ oraz współczynnikach tarcia $f=0,5$.

- A) 2 B) 4 C) $\frac{4\sqrt{3}}{3}$ D) 2



153. 1995/I.

Klocek leżący na poziomej powierzchni popchnięto nadając mu prędkość, której zależność od czasu ilustruje wykres. Współczynnik tarcia klocka o powierzchnię wynosi około:

- A) 0,10 C) 0,20
B) 0,15 D) 0,25

154. 1988/F

Wiatro napelnione wodą, z otworem w dnie i ściance bocznej, spada swobodnie do dolu. Woda:

- A) w dół przyspiesza
B) nie wyleje się z wiatra
C) będzie się wylewać tylko bocznym otworem
D) będzie się wylewać tylko otworem w dnie

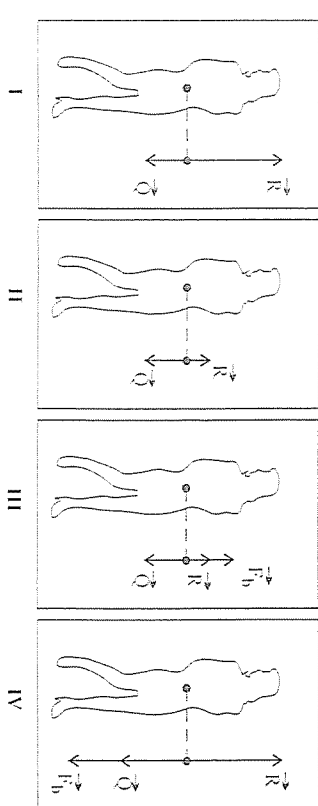
155. 1986/F

W szybkobieżnej windzie na dynamometrze stoi człowiek o masic 80 kg, wskazanie dynamometru wynosi 1000 N. Winda pomaszu się:

- A) w dół przyspiesza
B) do góry przyspiesza
C) w dół hamuje
D) tak jak podano w punkcie B i C

Poniższy tekst i rysunki dotyczą zadań 156 i 157

Winda hamuje jadąc do góry. \vec{Q} - sila ciężkości, \vec{R} - sila sprężystości podłoga, \vec{i}_b - sila bezwładności



156.

Ktory rysunek poprawnie przedstawia siły działające na pasażera windy, z punktu widzenia układu odniesienia związanego z ziemią?

- A) I C) III
B) II D) IV

157.

Z punktu widzenia układu odniesienia związanego z windą:

- A) I C) III
B) II D) IV

158. 1982/I.

Winda porusza się w góre z przyspieszeniem $a < 0$. Pasażer o masicie m wywiera na podłogę windy podczas tego ruchu siłę o wartości:

- A) $F = mg - |ma|$ B) $F = ma - mg$
C) $F = mg + |ma|$ D) $F = mg - ma$

159.

Winda porusza się ruchem jednostajnym z prędkością $V = 2m/s$ pionowo w góre. Umieszczona w windzie waga sprężynowa, na której znajduje się ciasto o masicie $m = 5kg$ wskaże:

- A) 5 N C) 60 N
B) 50 N D) 40 N

160.

Klocek może zsunąć się z równi pochyłej bez tarcia. Jeżeli równia porusza się z przyspieszeniem a w kierunku poziomym (tys.), to ciało nie zsuwa się. Wartość przyspieszenia wynosi:

- A) $a = \frac{g}{2}$ B) $a = g \sin \alpha$ C) $a = g \tan \alpha$

D) wartość przyspieszenia zależy od masy ciała

161. 1992-94/MIS MatP

W windzie na wiatrku sprężynowej leży masa 100 kg. Winda urwala się w trakcie jej swobodnego spadania waga wskaże:

- A) zero newtonów B) $490 \frac{1}{2}$ newtona C) 981 newtonów D) 1962 newtony

162.

Czy możliwe jest, aby ciało w sytuacji przedstawionej na rysunku spoczywało względem platformy?

- A) możliwe, jeśli współczynnik tarcia ciała o platformę wynosi $f = \frac{a}{g}$
B) możliwe, jeśli platforma porusza się z przyspieszeniem $a > \frac{g}{b}$
C) możliwe, jeśli współczynnik tarcia ciała o platformę wynosi $f = \frac{g}{a}$
D) niemożliwe, ciało zawsze zsunie się w dół

163. 1988/I.

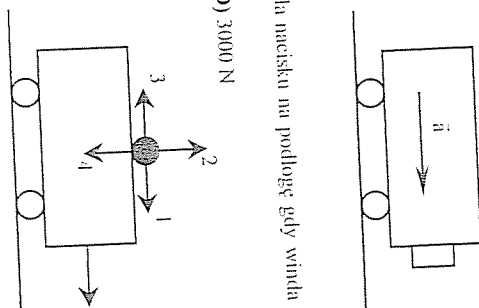
W kabiniie windy znajdują się pasażerowie o łącznej masicie 150 kg. Sila nacisku na podłogę gdy winda rusza z przyspieszeniem $0,5 \text{ m/s}^2$ kolejno w góre i w dół, różni się o:

- A) 75 N C) 150 N E) 225 N

B) 150 N D) 300 N

164.
Na poruszającym się ruchem zmiennym wózku w kierunku zaznaczonym strzałką, z $\alpha < 0$, znajduje się kula. Sila bezwładności działająca na tą kulę na zwrot wektora:

- A) 1 C) 4
B) 2 D) nieoznaczonego na rysunku
C) 3 E)



165. 1998/I.

Na ciało poruszające się po okręgu o promieniu r z prędkością v stałą wartość F . Wartość pędu tego ciała przedstawia wyrażenie

- A) $\frac{rv^2}{v}$ B) $\frac{v^2r}{v}$ C) $\frac{2rv^2}{v}$ D) $\frac{v^2r}{2v}$

166. 1996/I.

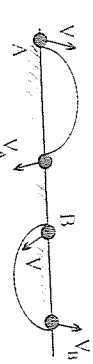
Ciało o masicie 1kg porusza się po okręgu o promieniu 0,5 m pod działaniem siły dośrodkowej o wartości 8N. Prędkość linowa tego ciała jest równa:

- A) 2m/s C) 6 m/s
B) 4 m/s D) 8 m/s

167.

Dwa jednakowe ciało A i B ruszyły z prędkością V po dwóch torach o takich samych kształtach w płaszczyźnie pionowej, jeżeli współczynnik tarcia wynosi f , to prędkości z jaką opuszczały tor sprawdzają warunk:

- A) $V_A = V_B$ C) $V_A < V_B$
B) $V_A > V_B$ D) $V_A = V_B = V$



183.

Nadaje ciału prędkość V wykonano pracę W . Zależność prędkości V jaka uzyskuje ciało od wykonanej pracy $V_0 = 0$ przedstawia:

- A) krzywa 1
- B) krzywa 2
- C) prosta 3
- D) krzywa 4
- E) prosta 5

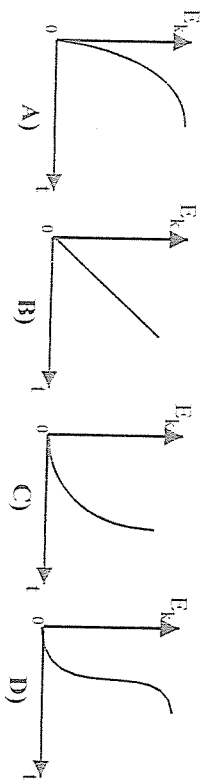
184. 1991/1.

Ciało o masicie 10kg podniesiono na wysokość 1m z przyspieszeniem 2m/s^2 . Wykonano przy tym pracę:

- A) 1200J
- B) 200J
- C) 100J
- D) 1000J

185. 1998/1.

Który z wykresów przedstawia zależność energii kinetycznej od czasu dla ciała ruszającego się z miejsca i poruszającego się ruchem jednostajnie przyspieszonym?

**186.**

Ciało porusza się pod wpływem stałej siły. Jeżeli prędkość poczatkowa była równa zero, to prace wykonane w pierwszej i długiej sekundzie ruchu mają się do siebie jak:

- A) $1/4$
- B) $1/2$
- C) $1/3$
- D) $1/8$

187.

Aby jednorodny szesciernik o bokach $a = 1\text{m}$ i masicie $m = 100\text{ kg}$ przewrócić z jednego boku na drugi trzeba wykonać pracę równą około:

- A) 200J
- B) 400J
- C) 0J
- D) 100J

188.

Jaką minimalną pracę trzeba wykonać, aby z sześciu klocków o masicie m i wysokości h każdy, leżących na jednym poziomie złożyćować konstrukcję jak na rysunku?

- A) 12mgh
- B) 10mgh
- C) 13mgh
- D) 5mgh
- E) 6mgh

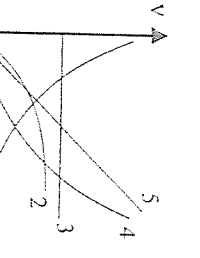
189. 1995/1.

Ciało o masicie m posiada energię kinetyczną E_k . Pod tego ciało można wyrazić wzorem:

- A) $\sqrt{\frac{2E}{m}}$
- B) E/m
- C) $2E/m$
- D) $\sqrt{2E \cdot m}$

190. 1993/1.

Zależność energii kinetycznej E_k ciała poruszającego się po okręgu od działającej na to ciało siły dośrodkowej F najlepiej przedstawić wykres:

**191.**

Po skoku wałek o 50% pędu początkowego. W tym samym czasie energia kinetyczna:

- A) porastała bez zmiany
- B) wzrosła o $1/2$ energii kinetycznej początkowej
- C) zmalała o $5/4$ energii kinetycznej początkowej
- D) wzrosła o $5/4$ energii kinetycznej początkowej

192. 1989/1.

Pociąg o masicie 2500t postąda w pewnej chwili pęd równy $5 \cdot 10^7 \text{ kg} \cdot \text{m/s}$. Gdyby jako hamulec udało się zastosować zespół prądnic napędzanych energią kinetyczną pociąg, a ich sprawność była równa 1, to można by – zatrzymując pociąg za pomocą tego oryginalnego hamulca – uzyskać energię elektryczną o wartości:

- A) $5,0 \cdot 10^8 \text{J}$
- B) $2,5 \cdot 10^8 \text{J}$
- C) $5,0 \cdot 10^7 \text{J}$
- D) $2,5 \cdot 10^7 \text{J}$

193. 1997/1.

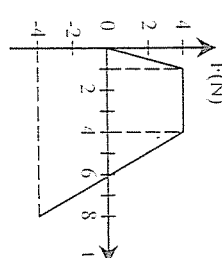
Sprinter wystartował z przyspieszeniem 2m/s^2 . Jeżeli masa sprintera wynosi 80 kg , to po 5 sekundach jego energia kinetyczna w ruchu postępowym będzie równa:

- A) 160J
- B) 400J
- C) 4000J
- D) 8000J

194. 1986/1.

Na ciało o masicie 2 kg poruszające się z prędkością 5 m/s zaczęła w chwili $t = 0$ działać niezrównoważona zmiana siła F (wykres). W czasie piątej i szóstej sekundy od chwili rozpoczęcia działania siły:

- A) energia kinetyczna ciała i jego pęd rosły
- B) energia kinetyczna ciała i jego pęd maleły
- C) malał pęd ciała, a jego energia kinetyczna rosła
- D) rosił pęd ciała, a jego energia kinetyczna malała

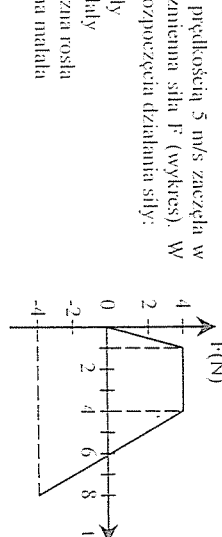
**195. 1978/1.**

Moc potrzebna do poruszania pojazdu o masicie m z prędkością v po poziomej drodze, jeśli współczynnik tarcia wynosi f , jest określona zależnością:

- A) $P = m g f v$
- B) $P = m f v$
- C) $P = m g v / f$
- D) $P = m g f / v$

196.

Jeżeli siła poruszająca pojazd jest wprost proporcjonalna do prędkości, to zależność mocy rozwijanej przez silnik pojazdu od jego prędkości poprawnie przedstawi wykres:



197. 1989/L

Jeżeli pęd ciała zmienia się w czasie tak jak podaje wykres (rys.), to stosunek energii kinetycznej tego ciała w chwili $t = 8$ s do energii kinetycznej w chwili $t = 4$ s wynosi:

- A) 1/2
B) 1/4
C) 1/8
D) 1/16

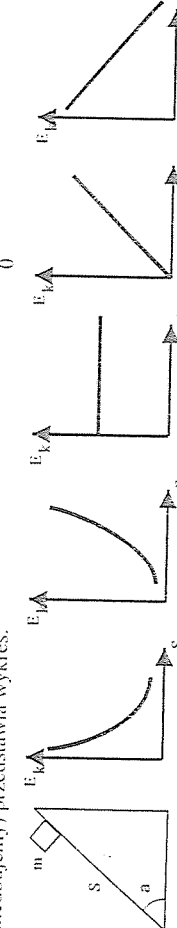
198. 1989/L

Dwie kulki o masach $m_1 = m$ i $m_2 = 3m$ mają takie same pędy. Energia kinetyczna E_1 i E_2 tych kulek spełniają zależność:

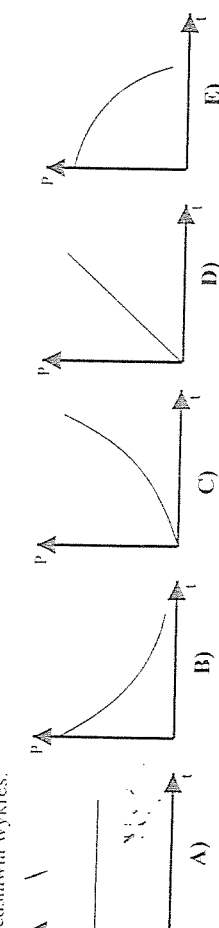
- A) $E_2 = E_1 / 3$
B) $E_2 = E_1 / 9$
C) $E_2 = E_1 / \sqrt{3}$
D) $E_2 = E_1$

199.

Zależność energii kinetycznej zauważającego się z równi pochyłej ciała od przebytej drogi S (tarcie zamieblający) przedstawia wykres:

**200.**

Szybkość zmiany energii kinetycznej P ciała spadającego w próżni w pobliżu powierzchni Ziemi przedstawia wykres:

**201.** 1994/L

W Z dziala o masie 1000 kg wystrzelono pocisk o masie 1 kg, którego prędkość w chwili wyłotu z lufy wynosi 500 m/s. Energia kinetyczna odrzutu działa wynosi:

- A) 125 J
B) 250 J
C) 500 J
D) 1000 J
E) 2000 J

202.

Ciało o masie 5kg podniesiono na wysokość 2m wykonując pracę 3000J. Przyrosty energii potencjalnej i kinetycznej ciała wynoszą odpowiednio:

- A) 150 J i 150 J
B) 200 J i 100 J
C) 100 J i 200 J

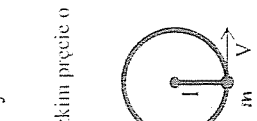
203. 1986/L

Klocek ważący dwukrotnie po równi pochyłej na wysokość h . Raz przy jej nachyleniu do poziomu pod kątem α_1 i następnie pod kątem $\alpha_2 < \alpha_1$. Prace wykonane przeciwko siłce grawitacji W_{g1} i W_{g2} oraz tarcia W_{tr1} i W_{tr2} spełniają zależność:

- A) 2 m/s
B) $\sqrt{5}$ m/s
C) 5 m/s
D) 10 m/s
E) 25 m/s

204. 1986/L

Dwa ciała o masach $m_A = 2$ m/s (rys.) zaczynają równocześnie zsuwać się bez tarcia wewnątrz półkuli. Po niesprzyjającym zderzeniu ciała:



A) pozostały w punkcie O
B) przemieszczały się razem w stronę punktu Y
C) przemieszczały się razem w stronę punktu X
D) wróciły do swoich początkowych pozycji

205. 1994/L

Jaka najmniejsza prędkość liniowa należy nadać ciału zamocowanemu na sztywnym i nieważkim pręcie o długości (rys.), aby osiągnęło ono położenie szczytowe:

- A) \sqrt{gl}
B) $\sqrt{2gl}$
C) $2\sqrt{gl}$
D) $3\sqrt{gl}$
E) $4\sqrt{gl}$

206. 1995/L

Kulkę o masie m , zawieszoną na nierożagliwej nici, odchyłono od położenia równowagi o kąt 90° , a następnie puśczeno swojądrodnicę. Napięcie nici w najniższym punkcie toru kulki jest równe (g – przyspieszenie ziemskie, opór powietrza pomijany):

- A) mg
B) $1,5 mg$
C) $2,5 mg$
D) $3 mg$

207. 1992/L

Kamień rzucony pionowo w górę. Zależność energii kinetycznej E_k kamienia od wysokości h podczas wznoszenia przedstawia wykres:

- A) a
B) b
C) c
D) d
E) e

208. 1985/L

Po kolistym torze (rys.) z punktu A zsuwa się ciało o masie m . Maksymalny numer ciala na podłożu jest równy:

- A) 3 m g
B) 2 m g
C) m g
D) 4 m g

209. 1993/L

Jeżeli ciało o masie 2 kg wybrane pionowo do góry posiada na wysokości 1 m energię kinetyczną 5 J, to prędkość początkowa tego ciała była równa:

- A) 2 m/s
B) $\sqrt{5}$ m/s
C) 5 m/s
D) 10 m/s
E) 25 m/s



211. 1990/l.

Ciało o masie m spada swobodnie z wysokości h (tys.). Szybkość zmian energii potencjalnej na trzech kolejnych odcinkach drogi $s_1 = s_2 = s_3 = 1/3 h$ jest:

- A) jednakowa
B) największa na drodze s_1
C) najmniejsza na drodze s_2
D) najmniejsza na drodze s_3

212.

Stalowa kula spada swobodnie z wysokości h . W wyniku doskonale sprężystego odnięcia się od poziomej płaszczyzny kula wznieś się ponownie na wysokość:

- A) h
B) $h/2$
C) $2h$
D) $h/4$

213.

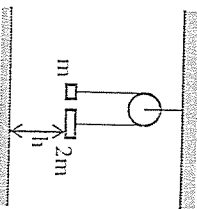
Pęd kulki z poprzedniego zadania bezpośrednio po odniesieniu się wynosi:

- A) $\sqrt{2mgh}$
B) \sqrt{mgh}
C) $2m\sqrt{gh}$
D) $m\sqrt{2gh}$

214.

ile wynosi energia kinetyczna klocka o masie m w chwili, gdy klocki o masie m spadają na sznurku. Początkowo oba klocki spoczywają:

- A) mgh
B) $(1/3)mgh$
C) $2mgh$
D) $(1/2)mgh$
E) $(3/2)mgh$

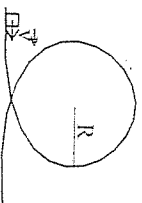


215. 1990/l.

Stalowa kula spadająca swobodnie z wysokości 10 m traci 50% energii mechanicznej w wyniku zderzenia z poziomym podłożem. Pędkość, z jaką kula odbija się od podłożu wynosi około:

- A) $10\sqrt{2}$ m/s
B) 10 m/s
C) $\frac{10}{\sqrt{2}}$ m/s
D) 5 m/s

216. Jaką minimalną prędkość v musi mieć małe ciało, aby mogło zakreślić pętlę o promieniu R ?
- A) $v = \sqrt{gR}$
B) $v = \sqrt{2gR}$
C) $v = \sqrt{3gR}$



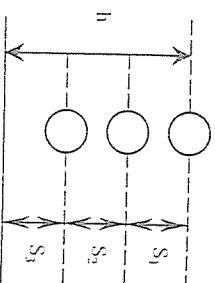
217.

Pędkość ciała z poprzedniego zadania po powrocie na poziom odniesienia wynosi:

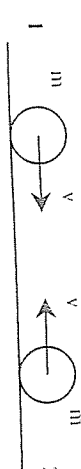
- A) v
B) $2v$
C) $\frac{3}{2}v$
D) $\frac{5}{2}v$
E) $\frac{1}{2}v$

218. 1998/l.
Uwieszona na sznurku kula o masie 0,2 kg porusza się w płaszczyźnie pionowej po okręgu o promieniu 0,5 m z prędkością 5 m/s. Wartość siły napinającej sznurek w najniższym położeniu kulki jest równa ($g=10 \text{ m/s}^2$, masę sznurka pomijamy):

- A) 2 N
B) 8 N
C) 10 N
D) 12 N



220. Dwie kulki o tych samych masach m i prędkościach v zderzają się doskonale sprężyste. O energach kinetycznych i pędach tych kul po zderzeniu możemy powiedzieć, że:



- A) energia kinetyczna i pęd mają wartość zero
B) energia kinetyczna jest różna od zera a pęd jest równy zero
C) energia kinetyczna i pęd po zderzeniu mają takie same wartości jak przed zderzeniem
D) energia kinetyczna i pęd po zderzeniu są mniejsze niż przed zderzeniem
E) wszystkie odpowiedzi są fałszywe

221. Energia wewnętrzna kul (z poprzedniego pytania) jest po zderzeniu:

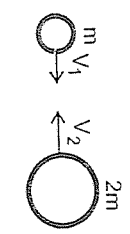
- A) mniejsza niż przed zderzeniem
B) większa niż przed zderzeniem
C) mniejsza kulki 1, a większa kulki 2
D) większa kulki 1, a mniejsza kulki 2
E) jest taka sama

222. Dwie kulki o masach m i $2m$ zderzają się doskonale niesprężyste (tys.).

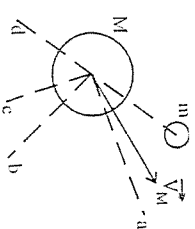
jeżeli po zderzeniu kulki pozostaną w spoczynku to stosunek ich prędkości v_1/v_2 przed zderzeniem wynosi:

- A) $\sqrt{2}$
B) $\frac{1}{2}$
C) $\frac{\sqrt{2}}{2}$
D) 2

223. Rysunek przedstawia układ trzech kultek. Kulki 2 i 3 spoczywają. Jeżeli zderzenie 1 i 2 kulki jest doskonale sprężyste centralne, to w wyniku zderzenia centralnego niesprężystego kulki 2 i 3 (kulki te lążą się) prędkość wynosi:



- A) V
B) $V/\sqrt{5}$
C) $V/4$
D) 0



224. Prędkości kul 2 i 3 (z poprzedniego zadania) po zderzeniu centralnym doskonale sprężystym wynoszą odpowiednio:

- A) $\frac{V}{2}$

- B) $3V$

- C) $\frac{V}{1,5}$

- D) brak poprawnej odpowiedzi

225.

Po pionowym precie o wysokości $h = 5\text{ m}$ zsuwa się pierścień (rys.). Jeżeli praca sił tarcia pierścienia o pręt jest równa liczbowo $3/4$ jego energii potencjalnej, to prędkość w chwili zderzenia pierścienia z podłożem wynosi około:

- A) 5 m/s B) 10 m/s C) $\sqrt{50}\text{ m/s}$ D) $\sqrt{5}\text{ m/s}$

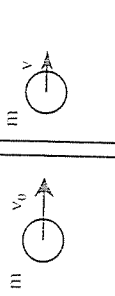
226.

Kula o masie m i prędkości v_0 przechodząc przez przeszkodę **P** traci 75% energii kinetycznej. Prędkość v po przejściu przez przeszkodę stanowi:

- D) $150\% v_0$
E) $50\% v_0$

227.

Dwie kulki puszczone z tej samej wysokości (rysunek). Pomijając opór powietrza stwierdzić, że:
 A) obie spadają z tym samym przyspieszeniem
 B) przyspieszenie kulki 1 jest mniejsze od przyspieszenia kulki 2
 C) przyspieszenie kulki 1 jest większe od przyspieszenia kulki 2
 D) może zająć przypadek B lub C
 E) żadna z tych odpowiedzi nie jest poprawna



228.

Prędkości końcowe V_1 i V_2 (patrz zadanie 227) są:

- A) $V_1 > V_2$
B) $V_2 > V_1$
C) $V_1 = V_2$
D) $V_1 = V_0$
E) $V_2 = V_0$

229.

Z tej samej wysokości rzucono pionowo dwa ciała z taką samą prędkością poczatkową v_0 , jedno w górę, drugie w dół. Ciało te oddalają się od siebie z prędkością v :

- A) $v = -2g t$
B) $v = 2v_0$
C) $v = g t$
D) $v = g t$

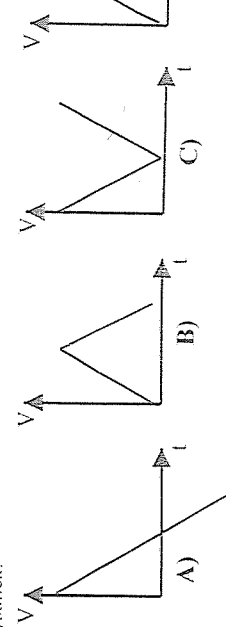
230.

Na niewielkiej nici o długości l zawieszone jest ciało o masie M . Pociąk o masie m poruszaający się z prędkością v uderza w wiszące ciało i wbija się. Ciało wznowi się na wysokość h . Jak zmieni się h gdy długość nici zostanie podwojona?

- A) zmniejszyła się
B) wzrosła
C) nie zmieniła się
D) zmniejszyła się o tyle, o jaki zmieniła się prędkość ciało

231.

Kamień został wyrzucony pionowo do góra. Zależność prędkości od czasu dla tego ruchu przedstawia rysunek:



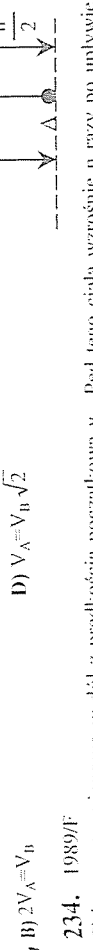
232.

Po pionowym precie o wysokości $h = 5\text{ m}$ zsuwa się pierścień (rys.). Jeżeli praca sił tarcia pierścienia o pręt jest równa liczbowo $3/4$ jego energii potencjalnej, to prędkość w chwili zderzenia pierścienia z podłożem wynosi około:

- A) 5 m/s
B) 10 m/s
C) $\sqrt{50}\text{ m/s}$
D) $\sqrt{5}\text{ m/s}$

233.

Zależność wysokości h od czasu t w swobodnym spadku ciał, poprawnie przedstawia wykres:



234.

Ciało rzucono pionowo w dół z prędkością poczatkową v_0 . Pod względem prędkości w punktach A i B swobodnie spadające kulki spełniają zależność:

- A) $V_A = V_B$
B) $2V_A = V_B$
C) $2V_A = \sqrt{2}V_B$
D) $V_A = \sqrt{2}V_B$

235.

Ciało spada swobodnie. Zależność energii potencjalnej ciała od czasu spadania przedstawia wykres:



236.

Ciało ruszono swobodnie z punktu A (rys.). W punkcie B, leżącym na wysokości $h=5\text{ m}$, ciało miało prędkość $v=10\text{ m/s}$ ($g=10\text{ m/s}^2$). Odległość punktu A od Ziemi wynosi:

- A) 10 m
B) 15 m
C) 20 m
D) 25 m

237.

Wysokość na jaką dotarło ciało rzucone pionowo do góry, jeżeli spadło na ziemie po upływie 4 s wynosi:

- A) 80 m
B) 40 m
C) 20 m
D) 160 m

238.

Ciało spada swobodnie z wysokości h . Stosunek energii potencjalnej tego ciała do jego energii kinetycznej w połowie wysokości jest równy:

- A) 1
B) 2
C) 1/2
D) 4
E) 1/4

239. 1999/L

Ciało spadło swobodnie z wysokości 40 m. Związek między energią kinetyczną E_k ciała a jego energią potencjalną E_p po upływie dwóch sekund ruchu, przedstawia wykres ($g = 10 \text{ m/s}^2$):

- A) $E_k = \frac{1}{4} E_p$ B) $E_k = \frac{1}{2} E_p$ C) $E_k = E_p$ D) $E_k = 2 E_p$

240. 1998/L

Pilka o masie 2 kg spadła swobodnie z wysokości 20 m. Energia kinetyczna piłki będzie równa energii potencjalnej na wysokości:

- A) 15 m B) 10 m C) 5 m D) 4 m

241. 1983/L

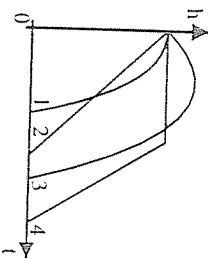
Dwa ciała upuszczono swobodnie z tej samej wysokości 20 m. Energia kinetyczna piłki będzie równa energii ruchu będąc wzgledem siebie:

- A) w spoczynku B) oddalały się ruchem jednostajnym C) oddalały się ruchem jednostajnie przyspieszonym D) zbliżały się ruchem jednostajnym
 Do głębszej studii w pewnym niewielkim odstępie czasu puszczeno swobodnie bez prędkości początkowej dwa kamicę. Będą się one poruszać wzgledem siebie:
 A) ruchem jednostajnie przyspieszonym C) ruchem jednostajnie opóźnionym
 B) ruchem jednostajnym D) spoczywają wzgledem siebie

243. 1988/F

Z helikoptera, wznoszącego się pionowo ze stałą prędkością na wysokość 400 m wypiął przedniot, jego odległość od Ziemi h w funkcji czasu, licząc od chwili opuszczenia helikoptera poprawnie przedstawiła wykres:

- A) 1 C) 3
 B) 2 D) 4

**244.** 1983/L

Z balonu wznoszącego się pionowo ku górze ruchem jednostajnym z prędkością V upuszczono swobodnie kamień. Ruch kamienia względem balonu opisuje równanie:

- A) $S = Vt$ B) $S = gt^2/2$ C) $S = Vt + gt^2/2$ D) $S = -Vt + gt^2/2$

245. 1988/F

Poisk wstrzelono pionowo ku górze nadając mu prędkość 40 m/s. W ciągu pierwszych pięciu sekund ruchu pocisk przebył drogę równą:

- A) 75 m B) 80 m C) 85 m D) 125 m

246. 1990/F

Wykres na rysunku przedstawia opis ruchu ciała wystrzelonego pionowo do góry. Na osi odciętych jest czas, a na osi rzędnych:

- A) położenie C) prędkość
 B) przyspieszenie D) energia kinetyczna

247.

Ciało rzucone pionowo do góry osiągnęło wysokość maksymalną po czasie t . Stosunek energii potencjalnej ciała do jego energii kinetycznej po czasie $\frac{1}{2}t$ wynosi:

- A) 1 B) 3 C) 2 D) $\frac{4}{3}$

248.

Zależność energii potencjalnej ciała od czasu dla rzutu pionowego w górę przedstawia wykres:

- A) 1
 B) 2
 C) 3
 D) 4

249. 1976/L

Z wysokości h upuszczono na ziemię kulę, a równocześnie z ziemi wyznaczono pionowo drugą kulę, nadając jej prędkość początkową konieczną do osiągnięcia wysokości h . Kule te miały się na wysokości:

- A) 0,25 h B) 0,50 h C) 0,75 h D) zaledwie od stosunku mas tych kul

250. 1977/L

Spadanie ciała z wysokości H w próżni trwało 10 s. Po pierwszych 5 sekundach ruchu ciało znalazło się na wysokości:

- A) $\frac{1}{16} H$ B) $\frac{1}{4} H$ C) $\frac{1}{2} H$ D) $\frac{3}{4} H$
 A) $4\sqrt{2} \cdot t$ B) $4t$ C) $2\sqrt{2} \cdot t$ D) $2t$ E) $\sqrt{2} \cdot t$

251. 1992/L

Ciało spadło swobodnie z wysokości h w czasie t . Czas swobodnego spadania tego ciała z wysokości 2h jest równy:

- A) $4\sqrt{2} \cdot t$ B) $4t$ C) $2\sqrt{2} \cdot t$ D) $2t$ E) $\sqrt{2} \cdot t$

252. 1985/L

Dwa ciała o różnych masach podniesiono na jednakową wysokość i jednocześnie puszczeno. Siła oporu powietrza była dla obydwu ciał taka sama i niezależna od czasu:

- A) szybciej spadnie ciało o mniejszej wadze
 B) ciało o masie mniejszej spadnie pierwsze
 C) spadną jednocześnie
 D) nie znając wysokości nie można określić czasu spadania

253. 1999/L

Podeczas spadania ciała o masie $m = 0,5 \text{ kg}$ działa na nie siła oporu powietrza $F = 1 \text{ N}$. Przyspieszenie grawitacji spadania ciała wynosi ($g = 10 \text{ m/s}^2$):

- A) $7,5 \text{ m/s}^2$ B) 8 m/s^2 C) $8,5 \text{ m/s}^2$ D) 9 m/s^2

254. 1992-94/MIS/MaP

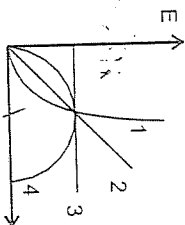
W przodzie, z pewnej wysokości puszczeno swobodnie dwa ciała. Jedno pionowo w dół, drugiemu nadano prędkość poziomą V :

- A) ciało puszczone swobodnie spadnie pierwsze
 B) wynik zależy od poziomej prędkości początkowej
 C) ciało, któremu nadano prędkość poziomą spadnie wcześniejszej
 D) oba spadną razem

255.

Dwie kulki rzucono jednocześnie z jednakowymi prędkosciami $V = 5 \text{ m/s}$ w kierunku poziomym (rys.). Jeżeli czas lotu kulki 2 był dłuższy o 2 sekundy niż 1, to kulki te spadły w odległości od siebie równej:

- A) około 5 m
 B) około 10 m
 C) nie można obliczyć gdyż nie podano wysokości z jakich spadają ciała
 D) 0 m

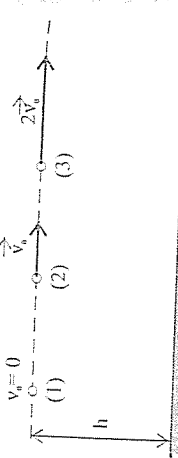


256.

O czasach lotu w próżni trzech kulek przedstawionych na rysunku można powiedzieć, że:

- A) $t_1 = t_2 = t_3$
- B) $t_1 < t_2 = t_3$
- C) $t_1 < t_2 < t_3$
- D) $t_1 < t_2 < t_3$

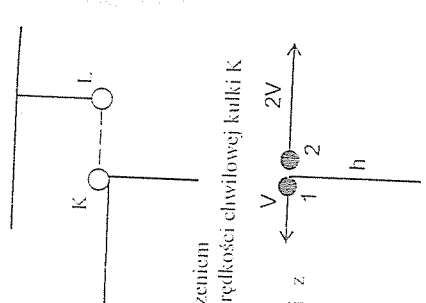
E) najsilniejszej kulce o najmniejszej masicie, a najkrócej o masie największej



257. 1986I.

W chwili $t = 0$ kulce K nadano prędkość w kierunku pozycyjnym, a lateż przepalone kulce, na której wisiała kulka L (rys.). Zakładając, że poczatkowa odległość kulki jest mniejsza od zasięgu rzutu kulki K oraz ponajwiększy opór powietrza możliwy stwierdzić, że kulka K:

- A) trafi w kulkę L tylko przy dużej prędkości
- B) nie trafi w kulkę L, ponieważ jej tor jest parabolą
- C) zawsze trafi w kulkę L, ponieważ obie spadają z tym samym przyspieszeniem
- D) nie trafi w kulkę L, gdyż prędkość chwilowa kulki L jest mniejsza od prędkości chwilowej kulki K



258.

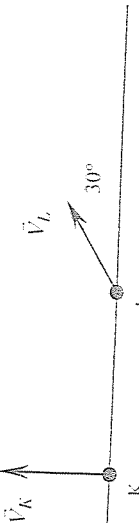
Z tej samej wysokości wystrzelono poziomo jednocześnie dwie kulki z prędkościami V i $2V$. Jeżeli pominiemy opór powietrza to:

- A) obie kulki spadną w tym samym czasie, z tym samymi prędkościami końcowymi
- B) druga spadnie szybciej niż pierwsza
- C) zasięg kulki 2 jest 2 razy większy od zasięgu kulki 1
- D) kulka 2 spadła z przyspieszeniem dwa razy większym niż kulka 1

259. 1987L.

Ciąłkom K i L nadano prędkości o takich samych wartościach skierowane tak jak na rysunku. Porównując maksymalne wysokości h_K i h_L osiągnięte przez ciąża (przy zaniedbaniu oporów ruchu) otrzymujemy relacje:

- A) $h_K = h_L$
- B) $h_K = 2h_L$
- C) $h_K = 3h_L$
- D) $h_K = 4h_L$



260. 1993I.

Z wysokości h wystrzelono poziomo ciążę o masie m . Zasięg rzutu jest równy wysokości. Zakładając brak oporu powietrza, można stwierdzić, że prędkość poczatkowa rzucanego ciała spełnia związek:

- A) $V_0 = \sqrt{hg}/2$
- B) $V_0 = \sqrt{hg}$
- C) $V_0 = 2\sqrt{hg}$
- D) $V_0 = 4\sqrt{hg}$
- E) $V_0 = 4\sqrt{2hg}$

261. 1989I.

Jeżeli po oznaczeniu pęd poczatkowy ciała wystrzelonego ukośnie pod kątem 60° do poziomu, to pęd p w najwyższym punkcie toru jest równy:

- A) $p = p_0$
- B) $p = \frac{3}{2} p_0$
- C) $p = \frac{2}{3} p_0$
- D) $p = \frac{1}{2} p_0$
- E) $p = 2p_0$

262.

Kula rzucana ukośnie z prędkością V tak, że składowe pozioma i pionowa mają taką samą wartość. Które z poniższych stwierdzeń jest (są) prawdziwe:

- A) $\alpha_1 = 10^\circ$
- B) $\alpha_1 = 30^\circ$
- C) $\alpha_1 = 25^\circ$
- D) $\alpha_1 = 45^\circ$
- E) $\alpha_2 = 20^\circ$
- F) $\alpha_2 = 60^\circ$
- G) $\alpha_2 = 75^\circ$
- H) $\alpha_2 = 90^\circ$

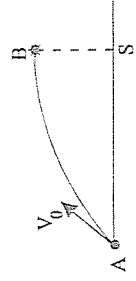
263. 1985L.

Dla ciąża rzuconego w polu grawitacyjnym Ziemi otrzymano przedstawiony na rysunku wykres zależności energii kinetycznej tego ciała od czasu. Ciąża to zostało rzucone:

- A) pionowo w dół, przy czym odbiło się ono spłynięciem od podłoża
- B) pionowo w góry
- C) skosnie w góry
- D) mógł zajść przypadek B lub C

WAAGA!
Poniższy tekst i rysunek odnoszą się do zadania nr 264 i 265.

Z jednego z punktu A (por. rys.) eksplodował w najwyższym punkcie swego toru pocisk wystrzelony z punktu A. Po jego wybuchu zmianie oznaczające się na dwie części o jednakowych masach, jedna z nich spadła w punkcie A



264. 1980L.

Po lewej części pocisku, równy w chwili wybuchu $mv/2$, uległ w czasie wybuchu zmianie o: A) $p = mv/2$

B) $p = mv$

C) $p = mv/2$

D) $p = -mv$

E) 4 AS

265. 1980L.

Odległość miejscą upadku drugiej części pocisku, liczona od punktu A, powinna osiągnąć wartość równą: A) AS

B) 2 AS

C) 3 AS

D) 2 : 3

266. 1994L.

Ciało wystrzelono z prędkością V_0 pod kątem 60° do poziomu. Stosunek pędów w najwyższym punkcie toru do pędu poczatkowego wynosi:

A) 1 : 4

B) 1 : 3

C) 1 : 2

D) 2 : 3

267. 1981F.

Dwie kulki rzucono ukośnie pod różnych kątami α_1 i α_2 z tą samą prędkością. Jeśli zasięg obu rzutów był taki sam, to kąty te mogły wynosić:

A) $\alpha_1 = 10^\circ$

B) $\alpha_1 = 30^\circ$

C) $\alpha_1 = 25^\circ$

D) $\alpha_1 = 45^\circ$

E) $\alpha_2 = 20^\circ$

F) $\alpha_2 = 60^\circ$

G) $\alpha_2 = 75^\circ$

H) $\alpha_2 = 90^\circ$

268.

W rzucie ukośnym (patrz rysunek) energia kinetyczna jest najmniejsza:

- A) w punkcie A
- B) w punkcie B
- C) w punkcie C
- D) poprawne są odpowiedzi A i C
- E) poprawne są odpowiedzi A i B

269. 1985/L

Torem cząstki poruszającej się ruchem, w którym wektor przyspieszenia $\ddot{\mathbf{a}} = \text{const.}$ jest:

- A) prosta
- B) okrąg
- C) prosta lub okrąg
- D) prosta lub parabola

270. 1995/MIS/Mat

Na wysokości $H=100$ m nad poziomem gruntu ustawiona jest wystrzelona z rakiety. Po uruchomieniu silnika rakietnego doznaje stałego przyspieszenia $\ddot{\mathbf{a}} = \mathbf{g}$ (gdzie $\mathbf{g} = 10 \text{ m/s}^2$ – przyspieszenie ziemijskie), skierowanego równolegle do poziomu. Jaka droga przebiega rakietą do chwili zetknięcia się z jednorodnym gruncem, jeżeli opór powietrza pomijany, a pole przyspieszenia ziemskiego uznajemy za

- A) 200 m
- B) $100\sqrt{2}$ m
- C) $200\sqrt{2}$ m
- D) 420 m

271.

Ciało o masie m wystrzelono ukośnie i uzyskano maksymalny zasięg Z . Jeżeli pominiemy opór powietrza, to praca, jaką wykonano podczas wystrzelenia ciała, jest równa wyrażeniu:

- A) mgZ
- B) $mZ/2$
- C) $mZ/g/2$
- D) brak poprawnej odpowiedzi

272.

Trzy kulce o masach m_1 , $m_2=2m_1$ i $m_3=3m_1$ znajdujące się w półzni na wysokości h trzucono nadając im jednakowe co do wartości prędkości (rysunek). Prędkości końcowe tych kul spełniają relacje:

- A) $v_3 > v_2 > v_1$
- B) $v_3 > v_1 > v_2$
- C) $v_2 = v_3 > v_1$
- D) $v_1 = v_2 = v_3$
- E) $v_1 > v_2 = v_3$

**273.** 1982/L

Była szwajcara obraca się ruchem jednostajnie zmiennym. Wszystkie punkty tej bryły mają:

- A) jednakowe prędkości liniowe
- B) jednakowe prędkości kątowe
- C) różne przyspieszenia kątowe
- D) różne okresy obrotu
- E) poprawne są odpowiedzi A i C

**274.** 1985/L

Jedeli szybko wiruje surowe jajko na ulamek sekundy zatrzymać i puścić, to będzie ono:

- A) nieruchome
- B) wirować w tym samym kierunku
- C) wirować w kierunku przeciwnym
- D) wirować w tym samym kierunku lub pozostać w spoczynku w zależności od masy jajka

275.

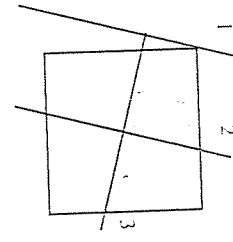
O momencie bezwładności ciała decyduje:

- A) masa ciała i jego prędkość kątowa
- B) masa ciała i jego prędkość linowa
- C) moment działający sił
- D) masa ciała i jej rozmiarczenie względem danej osi obrotu
- E) moment działających sił i przyspieszenie kątowe

276. 1988/F

Zaznaczone na rysunku osie 1, 2, 3 leżą w płaszczyźnie jednorodnego kwadratu o środku w punkcie S. Momenaty bezwładności kwadratu względem tych osi I_1 , I_2 , I_3 spełniają zależność:

- A) $I_1 > I_2 > I_3$
- B) $I_1 < I_2 < I_3$
- C) $I_1 > I_2 = I_3$
- D) $I_1 < I_2 = I_3$

**277.** 1982/L

Cztery jednakowe kulki, każda o masie m , połączono czterema nieważkimi prztami tak, że znajdują się w wierzchołkach kwadratu. Traktując kulki jako punkty materialne, moment bezwładności otrzymanego układu względem osi obrotu przedstawionej na rysunku wynosi:

- A) $\frac{1}{2} ma^2$
- B) $4 ma^2$
- C) ma^2
- D) $\frac{\sqrt{2}}{2} ma^2$

278.

Słosunek mas dwóch kul wynosi $\frac{m_1}{m_2} = \frac{1}{2}$, zaś stosunek ich promieni $\frac{r_1}{r_2} = 2$. Momenaty bezwładności I_1 i I_2 względem osi przebiegającej przez ich środki spełniają warunek:

- A) $I_2=2I_1$
- B) $I_1=2I_2$
- C) $I_2=\frac{1}{2}I_1$
- D) $I_1=\frac{1}{2}I_2$
- E) poprawne są odpowiedzi B i C

Pracai, jaką należy wykonać, aby koło zamachowe o momencie bezwładności 1 kg m^2 rozpoczęć tak, by wykonywało 60 obrotów w ciągu jednej minuty wynosi około:

- A) 600 J
- B) 60 J
- C) 300 J
- D) 20 J

280. 1983L

Na jednorodnym płycie o długości l_1 umieszczono kulki o niewielkich rozmiarach (rys.) i masach $m_1 = 1\text{kg}$, $m_2 = 2\text{m}_1$, $m_3 = 3\text{m}_1$. Jeżeli momenty bezwadności pierścieni I_1 , I_2 , I_3 to:

- $I_1 > I_2 < I_3$
- $I_1 < I_2 > I_3$

281.

Moment bezwadności cienkiej obręczy o mase \mathbf{m} i promieniu \mathbf{r} (patrz rysunek) względem osi prostopadłej do płaszczyzny wyznaczonej przez obręcz i przechodzącej przez punkt leżący na obręczy \mathbf{p} wynosi:

- A) \mathbf{mr}^2
 B) $2\mathbf{mr}^2$
 C) $\frac{\mathbf{mr}^2}{2}$
 D) $2\mathbf{mr}$
 E) \mathbf{mr}

282. 1992-94/MIS MaP

Z jednorodnego kraążka 1 o mase M i promieniu R wycięto kraążek 2 o promieniu $r=R/2$, którego środek znajdował się w odległości r od środka kraążka 1 (styczny wewnętrznej). Kraążek 2 doklejono do kraążka 1, tak że otwór po wycięciu i doklejeniu kraążek są symetryczne względem środka kraążka 1. Ille wynosi moment bezwadności otrzymanego układu względem osi prostopadłej do jego powierzchni i przechodzącej przez środek kraążka 1?

- A) MR^2
 B) $0.5 MR^2$
 C) $(9/16)MR^2$
 D) $(7/16)MR^2$

283.

Energia kinetyczna ciała obracającego się nieniżej przedstawionym wzrostu 4 - krotnie. W tym samym czasie przyspieszenie kątowe:

- A) nie uległo zmianie
 B) wzrostu 4 - krotnie
 C) zmniejszało 2 - krotnie
 D) wzrostu 2 - krotnie

284.

Punkt materialny o mase $m = 1\text{kg}$ obiega okrąg o promieniu $r = 1\text{m}$ ruchem jednostajnym z prędkością kątową $\omega = 2\text{s}^{-1}$. Moment siły dośrodkowej względem środka okręgu wynosi:

- A) 1 Nm
 B) 0 Nm
 C) 4 Nm
 D) 10 Nm

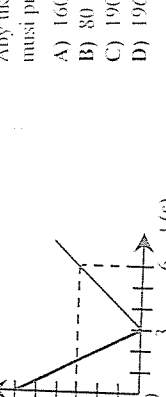
285. 1987L

Na położoną na poziomej powierzchni stołu szpulce nawinięto nici (rys.). Na koniec nici może działać sila w jedynym z zaznaczonych kierunków. Szpulka będzie się obracać jak zaznaczono na rysunku, jeżeli sila będzie działać:

- A) w kierunku z zaznaczonych kierunków
 B) w kierunku 1
 C) w kierunku 2
 D) w kierunku 3

286. 1986 i 287

Zależność przekształci kątowej bryły sztywnej od czasu przedstawia wykres:



286.

Przyspieszenia kątowe w przedziale czasu od 0 do końca trzeciej sekundy oraz w następujących trzech sekundach ruchu wynoszą odpowiednio:

- | | | | |
|----|--------------------|-----|----------------------|
| A) | $2 \frac{1}{s^2}$ | i | $0.5 \frac{1}{s^2}$ |
| B) | $-2 \frac{1}{s^2}$ | i | $-0.5 \frac{1}{s^2}$ |
| C) | $2 \frac{1}{s^2}$ | i | $0.5 \frac{1}{s^2}$ |
| D) | $1 \frac{1}{s^2}$ | i | $2 \frac{1}{s^2}$ |
| E) | $-2 \frac{1}{s^2}$ | i | $1 \frac{1}{s^2}$ |

287.

Momenty sił jakie działają na bryłę w tych przedziałach czasu przy założeniu, że jej moment bezwadności wynosi $5\text{kg} \cdot \text{m}^2$ mają wartości:

- | | | | |
|----|--------|-----|---------|
| A) | 10 Nm | i | 2.5 Nm |
| B) | -10 Nm | i | -2.5 Nm |
| C) | -10 Nm | i | 5 Nm |
| D) | 5 Nm | i | 0.5 Nm |
| E) | 0.5 Nm | i | 5 Nm |

288.

Wałec o mase m i promieniu r wiruje wokół osi O pod wpływem siły F . Przyspieszenie kątowe wałca wyrażone jest wzorem:

- | | | | | | |
|----|-----------------|-----|-----------------|-----|-----------------|
| A) | $\frac{F}{m}$ | i | $\frac{2F}{mr}$ | i | $\frac{mr}{4F}$ |
| B) | $\frac{4F}{mr}$ | i | $\frac{2F}{mr}$ | i | $\frac{mr}{4F}$ |

289.

Sosanka sił działających na bryłę sztywną wynosi 1:2 (rys.). Jeżeli bryła obraca się nieniżej jednostajnym wokół osi O prostopadłej do płaszczyzny rysunku, to przenieś r_1 i r_2 spełniają warunek:

- A) $r_1 = r_2$
 B) $r_1 = 2r_2$
 C) $2r_1 = r_2$
 D) $r_1 = 4r_2$

290.

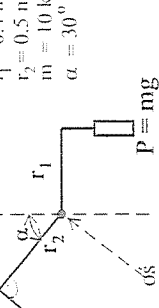
Wartość momentu siły dla przypadku pokazanego na rysunku, gdzie $r = 1\text{m}$, $F = 10\text{N}$ i $\alpha = 45^\circ$ wynosi:

- | | | | |
|----|-------|-----|-------|
| A) | 5 Nm | i | 10 Nm |
| B) | 10 Nm | i | 5 Nm |

291.

Aby układ pokazany na rysunku pozostał w równowadze, sila F musi przyjmować wartość:

- | | | | |
|----|-------|-----|-------|
| A) | 160 N | i | 196 N |
| B) | 80 N | i | 98 N |
| C) | 190 N | i | 196 N |
| D) | 196 N | i | 98 N |



292. 1984/F

Koło zamachowe w kształcie pierścienia o promieniu $r = 0,3\text{ m}$ i masie $m = 50\text{ kg}$ obraca się z częstotliwością $n = 20\text{ s}^{-1}$. Aby koło zatrzymało się w czasie 20 s musi zatrzeć moment siły hamującej równy okolo:

- A) 28 N s B) 28 N m C) 14 N s D) 14 N m

293. 1986/F

Pręt ma swobodę obrotu wokół osi prostopadłej do płaszczyzny rysunku przebiegającej przez punkt O. Przyspieszenie kątowe, jakie uzyska pręt pod działaniem kolejno sił F_1, F_2, F_3 spełniają zależność:

- A) $f_1 = f_2 = f_3$
 B) $f_1 = f_2 < f_3$
 C) $f_1 < f_2 < f_3$
 D) $f_1 < f_2 = f_3$

294. 1992-94/MIS MatP

Po równi pochyłej o kątę nachylenia α stacza się bez posążgu wzduż kierunku największego spadku jednorodny pierścień i jednorodny krążek o różnych masach i promieniach:

- A) szybciej stoczy się pierścień
 C) oba stoczą się jednocześnie
 B) szybciej stoczy się krążek
 D) rezultat zależy od kąta α

295. 1991/L

Wałec o masie m , promieniu r i momencie bezwładności $(1/2)mr^2$ stacza się bez posążgu z równi pochyłej o wysokości h . Pędkość jaką osiągnie ten wałec u podstawy równej wyniesie: (g -przyspieszenie ziemskie)

- A) $\sqrt{4/3gh}$
 B) $\sqrt{2gh}$
 C) $\sqrt{(3/4)gh}$
 D) \sqrt{gh}

296.

Wałec stacza się bez posążgu z równi pochyłej. Chwilowe przyspieszenie kątowe ϵ ruchu wałca nadaje moment:

- A) zwiększa tylko siły tarcia
 B) zwiększa tylko siły ciężkości
 C) wypadkowej siły tarcia i ciężkości
 D) siły tarcia lub siły ciężkości w zależności od wyboru osi obrotu
 E) wszystkie odpowiedzi są fałszywe

297. 1992-94/MIS MatP

Z wierzchołka równej pochyłej puszczonego jednocześnie klocków i kulki stacza się bez oporów i bez posążgu. Podstawę równej wzewnej osiągnie:

- A) klocki C) kula

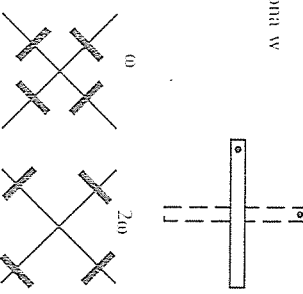
Linią o długości 1 m i ciężarze 1 N ustawiona pionowo została obrócona w położenie poziome. Zmiana energii potencjalnej linijki wynosi:

- A) 1 J B) $0,5\text{ J}$ C) 10 J D) $0,1\text{ J}$ E) $0,1\text{ J}$

298.

Linią o długości 1 m i ciężarze 1 N ustawiona pionowo została obrócona w odległość nias od osi obrotu i równocześnie zwiększyły dwa razy prędkość kątową, to energia kinetyczna tego układu wzrosła:

- A) 2 razy B) 4 razy C) 8 razy D) 16 razy

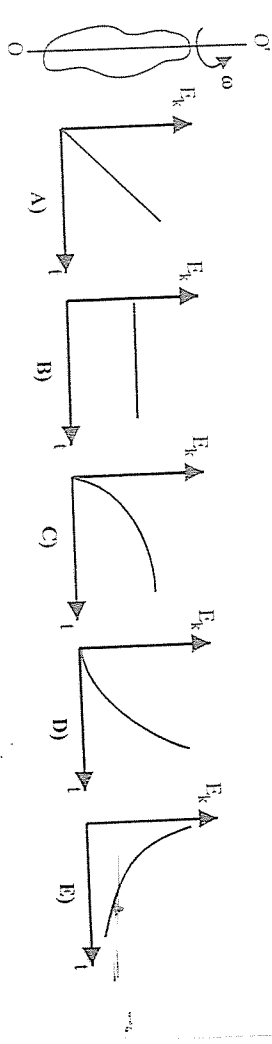
**300.**

Jedeli bryła sztywna winie wokół stałej osi i względem tej osi ma moment pędu \mathbf{L} , a moment bezwładności \mathbf{I} , to okres obrotu bryły względem tej osi wynosi:

- A) $\frac{1 \cdot \mathbf{I}}{2\mathbf{L}}$
 B) $2\mathbf{I} \cdot \frac{\mathbf{L}}{1}$
 C) $2\mathbf{I} \cdot \frac{1}{\mathbf{L}}$
 D) $2\mathbf{I} \cdot \mathbf{I} \cdot \mathbf{L}$
 E) $\frac{2\mathbf{I}}{1 \cdot \mathbf{L}}$

301.

Bryła sztywna o momencie bezwładności I_0 obraca się wokół osi $00'$ ruchem jednostajnie przyspieszonym z przyspieszeniem kątowym $\epsilon = \text{const}$. Zależność energii kinetycznej ruchu obrotowego E_k od czasu obrotu przedstawia wykres:

**302.**

Jesli E oznacza energię kinetyczną winiącej bryły sztywnej, I moment bezwładności bryły, to moment pędu L tej bryły określa wzór:

- A) $L=2IE$
 B) $L_I = \sqrt{\frac{2E}{I}}$
 C) $L_I = \sqrt{\frac{1}{2E}}$
 D) $L_I = \sqrt{\frac{E}{2I}}$
 E) żaden z nich

303. 1983/L

Kula i wałec o jednakowych promieniach stacza się bez posążgu z tej samej wysokości na równi pochyłej:

- A) przy koncu równej kula i wałec będą miały jednakowe prędkości
 B) przy koncu równej kula będzie miała większą prędkość niż wałec
 C) przy koncu równej kula będzie miała mniejszą prędkość niż wałec
 D) nie można oszacować prędkości tych ciał przy koncu równej, jeżeli nieznane są masy tych ciał

304. 1988/F

Dwa jednorodne walce o promieniach $R_1 = R$ i $R_2 = 2R$ staczały się bez posążgu z równi pochyłych o takich samych wysokościach. Stosunek prędkości środków mas tych walców u podstaw równej wyraża się wzorem:

- A) $V_2 / V_1 = 1/4$
 B) $V_2 / V_1 = 1/2$
 C) $V_2 / V_1 = 1$
 D) $V_2 / V_1 = 2$

Na równi pochyłej położono szescian, wałec i kulę. Wszystkie ciała wykonane są z tego samego materiału i posiadają tę samą masę. Jeżeli nie występuje tarcie pomiędzy powierzchnią równi i poruszającymi się pojedynczymi ciałami, to u podstawy równi:

- A) najwyższej znajdzie się kula
 B) najwyższej znajdzie się wałec
 C) najwyższej znajdzie się szescian
 D) jednocześnie znajdą się kula i wałec
 E) wszystkie ciała znajdują się jednocześnie

306. 1978/L

Energia kinetyczna cienkościennnej rurki o masie $4g$ toczej się bez poślizgu po poziomej powierzchni z przedkością 2 cm/s jest równa:

- A) $0,8 \cdot 10^{-6} \text{ J}$ B) $1,6 \cdot 10^{-6} \text{ J}$ C) 8 J D) 16 J

307. Na szczytce równi pochyłej polożono obręcz, walec i kulę. Wszystkie ciała posiadają tą samą masę i takie same średnice. Zaktualizując, że ciała staczą się bez poślizgu u podstawy równi ciała posiadają będą taką samą:

- A) energię kinetyczną
B) energię kinetyczną ruchu obrotowego
C) energię kinetyczną ruchu postępowego

D) prędkość liniową środka mas
E) prędkość kątową

308. 1987/L

Cienkościenna rurka toczy się bez poślizgu po poziomej powierzchni. Energia kinetyczna jej ruchu postępowego E_p i energia kinetyczna ruchu obrotowego E_0 spełniają związek:

- A) $E_0/E_p = 1/2$ B) $E_0/E_p = 1$ C) $E_0/E_p = \sqrt{2}$ D) $E_0/E_p = 2$

309.

Podczas wykonywania pięciu zauważań prędkości kątowej łyżwiarza obliczany wykorzystuje:

- A) zasadę zachowania momentu pędu
B) III zasadę dynamiki Newtona
C) zjawisko odrywu

310.

Moment bezwładności łyżwiarza w poczatkowej fazie pięciu wynosi I_0 . Zaniedbując opory ruchu moment bezwładności został zmniejszony czterokrotnie. Energia kinetyczna łyżwiarza:

- Dziesiąta dwukrotnie
Przynajmniej czterokrotnie
Wzrosła dwukrotnie

311. 1989/F

Jeżeli odległość między dwoma kulkami o różnych masach, umieszczonych na cienkim pręcie i wirujących wokół osi O (rys.) wzrośnie dwukrotnie, to energia kinetyczna układu kulek:

- A) zmniejszy się dwukrotnie
B) wzrośnie dwukrotnie
C) nie zmieni się

312.

Odcieńcie $1/4$ długości jednorodnego pręta o długości l , spowoduje przesunięcie środka masy tego pręta o:

- A) $\frac{1}{4}l$ B) $\frac{1}{2}l$ C) $\frac{1}{8}l$ D) $2l$ E) $\frac{3}{4}l$

313. 1992-94/MIS MaP

Lyżwiarz wykonujący pięciu przejaga ręce do tułowia i dzięki temu:

- A) zmniejsza swój moment bezwładności i powiększa częstotliwość obrotów
- B) powiększa swój moment bezwładności i zmniejsza częstotliwość obrotów
- C) zmniejsza swój moment bezwładności i zmniejsza częstotliwość obrotów
- D) powiększa swój moment bezwładności i powiększa częstotliwość obrotów

314. 1992-94/MIS MaP

Wirujące gwiazdy przyjmują kształt:

- A) kuli
B) elipsoidy obrotowej o osi większej równoległej do osi obrotu
C) elipsoidy obrotowej o osi mniejszej równoległej do osi obrotu
D) geoidy

315. 1991/L

Tancerka wykonując pięciu zbliża ramiona do tułowia. Energia kinetyczna tancerki:

- A) maleje
B) rośnie
C) nie zmienia się
D) rośnie lub maleje w zależności od szybkości zbliżenia ramion

316.

Dwie kulki o masie $0,1 \text{ kg}$ każda obracają się wokół osi OO' (rys.). Momen bezwładności układu kulki (kulki traktować jako masy punktowe) jest równy:

- A) $2,5 \cdot 10^{-4} \text{ kg m}^2$

- B) $5 \cdot 10^{-4} \text{ kg m}^2$

- C) 1 kg m^2

- D) $5 \cdot 10^{-4} \text{ kg m}^2$

317.

Jeżeli kulki wykonują pełny obrotu w ciągu 1 s , to energia kinetyczna ruchu obrotowego układu z poprzedniego zadania wynosi około:

- A) $2,5 \cdot 10^3 \text{ J}$

- B) $2,5 \cdot 10^4 \text{ J}$

- C) $4,9 \cdot 10^3 \text{ J}$

- D) $4,9 \cdot 10^4 \text{ J}$

318.

Pręt wiruje w płaszczyźnie poziomej względem osi obrotu O. Jeżeli $OA = 0,5 \text{ OB}$ to prawidłej jest ze:

- A) prędkość liniowa punktów A i B są równe co do wartości
B) prędkość kątowa punktu A jest większa od prędkości kątowej punktu B
C) przyspieszenia liniowe (styczne) punktów A i B są jednakowe i różne od zera
D) przyspieszenie liniowe punktu B jest dwa razy większe od przyspieszenia liniowego punktu A

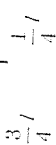
319.

W spoczywającej windzie na równoważni zawieszono dwie masy (rys.). Jeżeli winda jedzie w dół ruchem jednostajnie opóźnionym z $a < g$ to:

- A) masy będą padać w równowadze
B) przeważy masa m
C) przeważy masa $2m$
D) będą wirować w płaszczyźnie pionowej

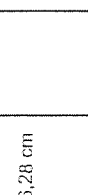
320.

Z ciemkiej blachy wykonano dwie rurki o wymiarach jak na rysunku.



$3,14 \text{ cm}$

$6,28 \text{ cm}$



1

Momenty bezwładności rurek względem osi X, (l_1 i l_2) spełniają relację:

A) $I_1 = I_2$

B) $I_1 = 4 I_2$

C) $I_1 = 2 I_2$

D) $I_1 = \pi I_2$

321.

Jeżeli rurki z poprzedniego zadania staczą się bez poślizgu z równi pochyłej (rys.), to prędkości kątowe u podstawy równi ω_1 i ω_2 spełniają warunek:

A) $2\omega_1 = \omega_2$

B) $\omega_1 = \omega_2$

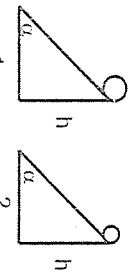
C) $\omega_1 = 4\omega_2$

D) $\omega_1 = 2\omega_2$

322.

Momenty pędów i przyspieszenia kątowe jakie uzyskują rurki przy końcu równi pochyłej z poprzedniego zadania spełniają warunki:

momenty pędów	przyspieszenia kątowe
$b_1 : b_2$	$\omega_1 : \omega_2$
$2 : 1$	$1 : 2$
$1 : 1$	$1 : 1$
$1 : 1$	$1 : 2$
$1 : 2$	$1 : 1$



323. 1992-94/MiS MaP

Jednorodny walec o momencie bezwładności $I=\mu R^2/2$ położono na równi pochyłej o kącie nachylenia α . Współczynnik tarcia postawięgo walca o równi wynosi μ . Walce może stać się po równi bez poślizgu:

A) zawsze

B) jeśli $\mu > \operatorname{tg} \alpha$

C) jeśli $\mu < \operatorname{tg} \alpha$

D) jeśli $\operatorname{tg} \alpha \leq 3\mu$

324. 1984/1

Cienkościenna rura toczy się po równi. Stosunek energii kinetycznej ruchu obrotowego wokół osi rury do energii kinetycznej jej ruchu poziomowego wynosi:

A) 2

B) 1

C) 1/2

D) 1/4

325. 1989/1.
Abi zwiększyć z f_1 do f_2 częstotliwość obrótów bryły sztywnej o momencie bezwładności I należy wykonać pracę równą:

A) $2\Gamma^2(f_2^2 - f_1^2)$

B) $4\Gamma^2(f_2^2 - f_1^2)^2$

C) $4\Gamma^2(f_2^2 - f_1^2)$

D) $\Gamma^2(f_2^2 - f_1^2)$

326. 1989/1.

Na każdy z dwóch blokzków o momentach bezwładności I_1 i $I_2=2I_1$ zaczęły działać siły o momentach odpowiednio, M_1 i $M_2=2M_1$. Porównując momenty pędów blokzków I_1 i I_2 po tym samym czasie od rozpoczęcia przez nie ruchu otrzymujemy:

A) $I_2=0,5I_1$

B) $I_2=2I_1$

C) $I_2=I_1$

D) $I_2=4I_1$

327.

Na jednorodny walec nawinięto nitę, której koniec zacépiono na stałej. Przyspieszenie liniowe środka masy walec wynosi:

A) $a = g$

B) $a = \frac{1}{2}g$

C) $a = \frac{1}{4}g$

D) $a = \frac{2}{3}g$

E) $a = \frac{1}{3}g$



4. POLE GRAVITACYJNE

328. 1985/1.

Układ stanowi jednorodna kula o masie M i jednorodny preł o masie m . W położeniu przedstawionym na rysunku sila wzajemnego oddziaływania grawitacyjnego tych ciał jest:

A) $F = GMm/r^2$

C) $F = GMm/(r-R)^2$

D) $F = GMm/(r+R)^2$

329.

Cztery identyczne kulki (dwie z nich są jednakowo wydrążone) przyciągają się parami silami grawitacyjnymi. Kulki te znajdują się w tej samej odległości od siebie. O siłach działających między kulkami możemy powiedzieć, że:

A) są jednakowe

B) $F_1 > F_2$

D) mogą ale nie muszą być równe

E) brak poprawnej odpowiedzi

C) $F_1 < F_2$ F) $F_1 = F_2$ G) $F_1 = F_2$ H) $F_1 = F_2$ I) $F_1 = F_2$ J) $F_1 = F_2$ K) $F_1 = F_2$ L) $F_1 = F_2$ M) $F_1 = F_2$ N) $F_1 = F_2$ O) $F_1 = F_2$ P) $F_1 = F_2$ Q) $F_1 = F_2$ R) $F_1 = F_2$ S) $F_1 = F_2$ T) $F_1 = F_2$ U) $F_1 = F_2$ V) $F_1 = F_2$ W) $F_1 = F_2$ X) $F_1 = F_2$ Y) $F_1 = F_2$ Z) $F_1 = F_2$ AA) $F_1 = F_2$ BB) $F_1 = F_2$ CC) $F_1 = F_2$ DD) $F_1 = F_2$ EE) $F_1 = F_2$ FF) $F_1 = F_2$ GG) $F_1 = F_2$ HH) $F_1 = F_2$ II) $F_1 = F_2$ JJ) $F_1 = F_2$ NN) $F_1 = F_2$ OO) $F_1 = F_2$ PP) $F_1 = F_2$ QQ) $F_1 = F_2$ RR) $F_1 = F_2$ SS) $F_1 = F_2$ TT) $F_1 = F_2$ UU) $F_1 = F_2$ VV) $F_1 = F_2$ WW) $F_1 = F_2$ XX) $F_1 = F_2$ YY) $F_1 = F_2$ ZZ) $F_1 = F_2$ AA) $F_1 = F_2$ BB) $F_1 = F_2$ CC) $F_1 = F_2$ DD) $F_1 = F_2$ EE) $F_1 = F_2$ FF) $F_1 = F_2$ GG) $F_1 = F_2$ HH) $F_1 = F_2$ II) $F_1 = F_2$ JJ) $F_1 = F_2$ NN) $F_1 = F_2$ OO) $F_1 = F_2$ PP) $F_1 = F_2$ QQ) $F_1 = F_2$ RR) $F_1 = F_2$ SS) $F_1 = F_2$ TT) $F_1 = F_2$ UU) $F_1 = F_2$ VV) $F_1 = F_2$ WW) $F_1 = F_2$ XX) $F_1 = F_2$ YY) $F_1 = F_2$ ZZ) $F_1 = F_2$ AA) $F_1 = F_2$ BB) $F_1 = F_2$ CC) $F_1 = F_2$ DD) $F_1 = F_2$ EE) $F_1 = F_2$ FF) $F_1 = F_2$ GG) $F_1 = F_2$ HH) $F_1 = F_2$ II) $F_1 = F_2$ JJ) $F_1 = F_2$ NN) $F_1 = F_2$ OO) $F_1 = F_2$ PP) $F_1 = F_2$ QQ) $F_1 = F_2$ RR) $F_1 = F_2$ SS) $F_1 = F_2$ TT) $F_1 = F_2$ UU) $F_1 = F_2$ VV) $F_1 = F_2$ WW) $F_1 = F_2$ XX) $F_1 = F_2$ YY) $F_1 = F_2$ ZZ) $F_1 = F_2$ AA) $F_1 = F_2$ BB) $F_1 = F_2$ CC) $F_1 = F_2$ DD) $F_1 = F_2$ EE) $F_1 = F_2$ FF) $F_1 = F_2$ GG) $F_1 = F_2$ HH) $F_1 = F_2$ II) $F_1 = F_2$ JJ) $F_1 = F_2$ NN) $F_1 = F_2$ OO) $F_1 = F_2$ PP) $F_1 = F_2$ QQ) $F_1 = F_2$ RR) $F_1 = F_2$ SS) $F_1 = F_2$ TT) $F_1 = F_2$ UU) $F_1 = F_2$ VV) $F_1 = F_2$ WW) $F_1 = F_2$ XX) $F_1 = F_2$ YY) $F_1 = F_2$ ZZ) $F_1 = F_2$ AA) $F_1 = F_2$ BB) $F_1 = F_2$ CC) $F_1 = F_2$ DD) $F_1 = F_2$ EE) $F_1 = F_2$ FF) $F_1 = F_2$ GG) $F_1 = F_2$ HH) $F_1 = F_2$ II) $F_1 = F_2$ JJ) $F_1 = F_2$ NN) $F_1 = F_2$ OO) $F_1 = F_2$ PP) $F_1 = F_2$ QQ) $F_1 = F_2$ RR) $F_1 = F_2$ SS) $F_1 = F_2$ TT) $F_1 = F_2$ UU) $F_1 = F_2$ VV) $F_1 = F_2$ WW) $F_1 = F_2$ XX) $F_1 = F_2$ YY) $F_1 = F_2$ ZZ) $F_1 = F_2$ AA) $F_1 = F_2$ BB) $F_1 = F_2$ CC) $F_1 = F_2$ DD) $F_1 = F_2$ EE) $F_1 = F_2$ FF) $F_1 = F_2$ GG) $F_1 = F_2$ HH) $F_1 = F_2$ II) $F_1 = F_2$ JJ) $F_1 = F_2$ NN) $F_1 = F_2$ OO) $F_1 = F_2$ PP) $F_1 = F_2$ QQ) $F_1 = F_2$ RR) $F_1 = F_2$ SS) $F_1 = F_2$ TT) $F_1 = F_2$ UU) $F_1 = F_2$ VV) $F_1 = F_2$ WW) $F_1 = F_2$ XX) $F_1 = F_2$ YY) $F_1 = F_2$ ZZ) $F_1 = F_2$ AA) $F_1 = F_2$ BB) $F_1 = F_2$ CC) $F_1 = F_2$ DD) $F_1 = F_2$ EE) $F_1 = F_2$ FF) $F_1 = F_2$ GG) $F_1 = F_2$ HH) $F_1 = F_2$ II) $F_1 = F_2$ JJ) $F_1 = F_2$ NN) $F_1 = F_2$ OO) $F_1 = F_2$ PP) $F_1 = F_2$ QQ) $F_1 = F_2$ RR) $F_1 = F_2$ SS) $F_1 = F_2$ TT) $F_1 = F_2$ UU) $F_1 = F_2$ VV) $F_1 = F_2$ WW) $F_1 = F_$

Fizyka dla kandydatów

pole grawitacyjne

335. 1995/L

Ciało oddalone od powierzchni Ziemi tak, że sila przyciągania ziemskiego zmniejszyła się o $\frac{3}{4}$. Wtedy odległość tego ciała od powierzchni Ziemi (R - promień Ziemi) wynosiła:

- A) R

- B) $2R$

- C) $3R$

- D) $9R$

336. 1992-94/MIS MaP

Ciało na równiku stałego się nieważkie gdyby (oznaczając promień Ziemi R , a przyspieszenie ziemskie $-g$):

- A) Ziemia zatrzymała się

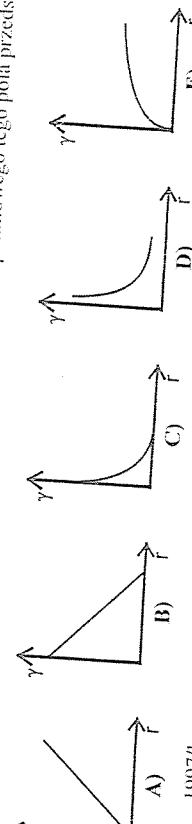
- B) okres obrotu Ziemi wokół jej osi wynosił $2\pi\sqrt{R/g}$

- C) okres obrotu Ziemi wokół jej osi wynosił $2\pi\sqrt{g/R}$

- D) okres obrotu Ziemi wokół jej osi wynosił $4\pi\sqrt{R/g}$

337. 1994/L

Zależność natężenia pola grawitacyjnego od odległości r od źródła punktowego tego pola przedstawia najlepiej wykres:



338. 1997/L

Jedna planeta ma masę M_1 i promień R_1 , a druga masa M_2 i promień R_2 przy czym $R_2 = 2R_1$, a $M_2 = 4M_1$. Stosunek przyspieszeń grawitacyjnych, z jakimi spadają ciała na tych planetach jest równy:

- A) $\frac{g_1}{g_2} = \frac{1}{4}$

- B) $\frac{g_1}{g_2} = \frac{1}{2}$

- C) $\frac{g_1}{g_2} = 1$

- D) $\frac{g_1}{g_2} = 2$

339. 1988/L

Promień Marsa stanowi 0,5 promienia Ziemi, a jego masa 0,1 masy Ziemi. Przyspieszenie grawitacyjne g_M na powierzchni Marsa i g_Z na powierzchni Ziemi spełniają równość:

- A) $g_M = 0,05 g_Z$

- B) $g_M = 0,20 g_Z$

- C) $g_M = 0,25 g_Z$

- D) $g_M = 0,40 g_Z$

Przyspieszenie grawitacyjne dowolnej planety jest równe fizyczowo natężeniu pola grawitacyjnego:
 A) w środku tej planety
 B) na powierzchni planety
 C) w odległości dwóch promieni od powierzchni planety
 D) w każdym punkcieewnatrz i na zewnątrz planety
 E) wszystkie odpowiedzi są prawdziwe.

341. 1999/L

Promień pewnej planety jest równy R , a jej średnia gęstość ρ . Przyspieszenie grawitacyjne na powierzchni tej planety wyrażone (G - stała grawitacji):

- A) $4/3 \pi G \rho R^3$

- B) $3/4 \pi G \rho R^2$

- C) $3/4 \pi G \rho R$

- D) $4/3 \pi G \rho^2 p$

342.

Przyspieszenie na powierzchni pewnej planety będącej kulą o promieniu R wynosi g . Średnia gęstość tej planety wyraża wzór:

- A) jest jednokrotna

- B) wzrasta w stosunku 1:2:3:4

- C) wzrasta w stosunku 1:3:5:7

- D) wzrasta w stosunku 1:4:9:16

343. 1998/L

Na powierzchni planety o promieniu R przyspieszenie grawitacyjne jest równe 25 m/s^2 . W odległości $1,5R$ od powierzchni planety przyspieszenie to wynosi:

- A) 4 m/s^2

- B) 8 m/s^2

- C) 11 m/s^2

- D) 17 m/s^2

344. 1999/L

Kula o masie m wytwarza pole grawitacyjne, którego natężenie w punkcie K na wartości y . Po unieszeniu drugiej kuli o masie $2m$ (rys.), wartość natężenia pola y_1 w punkcie K jest równa:

- A) $y_1 = 1/2 y$

- B) $y_1 = y$

- C) $y_1 = 2 y$

- D) $y_1 = 3 y$

345. 1985/L

Wykresowe natężenie pola grawitacyjnego wytworzonego przez Ziemię i Księżyc (bez uwzględnienia innych oddziaływań) w zależności od odległości od powierzchni Ziemi najlepiej przedstawi rysunek:

- A) A)

- B) B)

- C) C)

- D) D)

346. 1985/L

W jakiej odległości od środka Ziemi przyspieszenie grawitacyjne jest równe połowie przyspieszenia na powierzchni (R - promień Ziemi).

- A) IR

- B) $2R$

- C) $\sqrt{2} R$

- D) $\frac{\sqrt{2}}{2} R$

347.

Przenosząc ciało o masie $m = 1 \text{ kg}$ wzdłuż toru A-B-C ruchem jednostajnym w pobliżu powierzchni Ziemi, należy wykonać przeciwko siłom grawitacji pracę równą:

- A) 20 J

- B) 10 J

- C) -10 J

- D) 0 J

348.

Praca jaką trzeba wykonać przeciwko siłom grawitacji, aby ciało o masie m przeniesie ruchem jednostajnym z środka planety o średniej gęstości d i promieniu R na jej powierzchnię, dana jest wzorem:

- A) $\frac{2}{3} \pi G \rho^2 m$

- B) $\frac{4}{3} \pi G d R^2 m$

- C) $\frac{2}{3} \pi G d R^3 m$

- D) $\frac{4}{3} \pi G d R^4 m$

349. 1983/L

Ciało spada swobodnie z pewnej wysokości. Praca wykonywana przez siły grawitacji nad ciałem w kolejnych sekundach od początku spadania:

- A) jest jednokrotna

- B) wzrasta w stosunku 1:4:9:16

- C) wzrasta w stosunku 1:3:5:7

- D) wzrasta w stosunku 1:2:3:4

Praca, wykonywana nad danym ciałem przez siły zewnętrzne w polu grawitacyjnym, jak i w polu elektrycznym, nie zależy od drogi, na której przesuwa się dane ciało. Przyczyną tego podobieństwa jest:

- A) niezależność pracy wykonywanej nad ładunkiem od znaku ładunku
- B) potencjalny charakter obu pól
- C) ta sama naturalna siła obu pól
- D) ta sama natura obu pól

351.

Wymiarem potencjału pola grawitacyjnego jest:

- A) $m^2 \cdot s^{-2}$
- B) $m^3 \cdot s^2$
- C) $kg^4 \cdot m^4 \cdot s^{-2}$
- D) $m^4 \cdot kg^2 \cdot s^{-2}$

352.

Przenosząc ciało o masie $m=10kg$ ruchem jednostajnym z punktu A o potencjałe $V_A = -10 J/kg$ do punktu B wykonano pracę $W = 40J$. Potencjał w punkcie B ma wartość:

- A) $10J/kg$
- B) $-10J/kg$
- C) $-6J/kg$
- D) $0J/kg$
- E) brak danych do obliczenia potencjału

353. 1994/l.

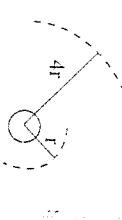
Ciało spadło swobodnie z wysokości h . Praca siły grawitacji wykonała w pierwszej, drugiej, trzeciej i czwartej sekundzie:

- A) jest stała
- B) wzrasta w stosunku $1 : 2 : 3 : 4$
- C) wzrasta w stosunku $1 : 2 : 4 : 8$
- D) wzrasta w stosunku $1 : 3 : 5 : 7$
- E) wzrasta w stosunku $1 : 4 : 9 : 16$

354.

Dwa spinaki krażą wokół Ziemi po orbitach kołowych o różnych promieniach $r_1 = r$ i $r_2 = 4r$ (rys.). Stosunek okresów T_2/T_1 wynosi:

- A) 4
- B) 16
- C) 8
- D) 1/2



355. 1987/l.

Znaję promień R orbity i okres T obiegu satelity wokół planety można masę M planety wyznaczyć ze wzoru (G - stała grawitacji):

- A) $M = 4\pi^2 R^3 / (GT^2)$
- B) $M = 4\pi^2 R^2 / (GT^2)$
- C) $M = 2\pi R^3 / (GT^2)$
- D) $M = 2\pi R^2 / (GT^2)$

356. 1988/F.

Po tej samej orbicie wokół Ziemi poruszają się bez napędu dwa satelity o masach m_1 i $m_2 = 2m_1$.

- A) $T_1 = 0,5 T_2$
- B) $T_1 = T_2$
- C) $T_1 = 2 T_2$
- D) $T_1 = 4 T_2$

357. 1992-94/MIS Map

Promień orbity (r) satelity stacjonarnego Ziemi spłaszcowany warunek (promień Ziemi = R , przyspieszenie ziemskie - g, a czas trwania doby - T):

- A) $r^3 = \frac{4}{3}\pi^2 R^2 / (2\pi^2)$
- B) $r^3 = \frac{4}{3}\pi^2 R^2 / (4\pi^2)$
- C) $r^3 = \frac{4}{3}\pi^2 R^2 / (8\pi^2)$
- D) $r^3 = \frac{4}{3}\pi^2 R^2 / (4\pi^2)$

358. 1995/l.

Satelita porusza się wokół pewnej planety z prędkością v , po koloowej orbicie o promieniu R . Jeżeli G oznacza stałą grawitacji, to masa M tej planety jest równa:

- A) $M = Rv^2/G$
- B) $M = Rv^2/(2G)$
- C) $M = GR^2/(2v)$
- D) $M = GR^2/v$

359. 1986/l.

Moment pędu satelity o masie m , poruszającego się po orbicie kołowej o promieniu r , jest równy:

- A) $m\sqrt{GM/r}$
- B) $\sqrt{GMm^2/r}$
- C) \sqrt{GMmr}
- D) $\sqrt{GMm^2r^2}$

360. 1992-94/MIS Map

W układzie podwojonym dwie gwiazdy o masach M_1 i $5M_1$ krażą po orbitach kołowych we wzajemnej odległości a . Promienie orbit tych gwiazd (liczone od środka naszy) wynoszą odpowiednio:

- A) $a/2$ i $a/2$
- B) $a/5$ i $4a/5$
- C) $4a/5$ i $a/5$
- D) $5a/6$ i $a/6$

361. 1992-94/MIS Map

Ciało może uciec z pola grawitacyjnego Ziemi (oddalić się od niej do nieskończoności) gdy:

- A) zostanie wystrzelone z drugą prędkością kosmiczną poziomo
- B) zostanie wystrzelone z drugą prędkością kosmiczną poziomo
- C) zostanie uniemożliwione na orbicie stacjonarnej, a następnie popchnięte lekko w górę (od Ziemi)
- D) zostanie wystrzelone z pierwszą prędkością kosmiczną pionowo w górę

362. 1986/l.

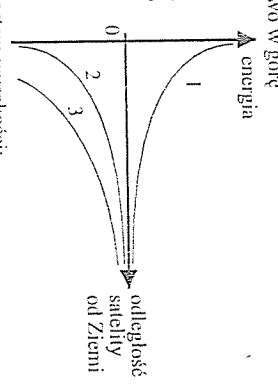
Krzywe na wykresie przedstawiają energię: kinetyczną E_k , potencjalną E_p i całkowitą E_c satelity w zależności od promienia orbity kołowej, po której się on porusza. Linie 1, 2, 3 kolejno odpowiadają:

- A) E_k, E_p, E_c
- B) E_k, E_p, E_c
- C) E_p, E_c, E_k
- D) E_k, E_c, E_p

363.

Energia potencjalna krążącego wokół Ziemi satelity wraz ze wzrostem wysokości:

- A) rośnie
- B) maleje
- C) rośnie lub maleje
- D) jest stała niezależna od wysokości
- E) prawdziwe są odpowiedzi A, B i C



364. 1996/l.

księżyce krażą wokół Ziemi po orbicie kołowej o promieniu R . Prędkość kątowa Księżyca przedstawia wyrażenie (M -masa Ziemi, G -stała grawitacji):

- A) $\sqrt{\frac{GM}{R}}$
- B) $\sqrt{\frac{GM}{R^2}}$
- C) $\sqrt{\frac{GM}{R^3}}$
- D) $\sqrt{\frac{GM}{R^4}}$

365. 1995/MIS Map

Merkury obiega Słońce po orbicie eliptycznej poruszając się coraz wolniej, gdy się od niego oddala, a coraz szybciej gdy się do Słońca zbliża. Całkowita energia mechaniczna Merkurego:

- A) jest taka sama dla każdego położenia Merkurego na orbicie
- B) największa, gdy Merkury znajduje się najbliżej Słońca
- C) największa, gdy Merkury znajduje się najdalej od Słońca
- D) nic o tej energii nie można powiedzieć

366. 1992-94/MIS Map

Z Ziemi wystartowała rakietą i leci ku Księżycowi. Oporu ruchu rakietę zaniechujemy. Stan nieważkości pojawi się w rakiecie:

- A) w punkcie zatrzymania się przyciągania Ziemi z przyciąganiem Księżyca
- B) w chwili osiągnięcia pierwszej prędkości kosmicznej
- C) w chwili osiągnięcia drugiej prędkości kosmicznej
- D) w chwili ustania pracy silników

367. 1992-94/MIS Map

Księżyce na naszej 81 razy mniejszą i średnicę 3,7 raza mniejszą od naszej i średnicy Ziemi. Stosunek pierwszych przedkości kosmicznych na Księżyca i na Ziemi wynosi:

- A) 3 : 7 : 81 B) $\sqrt{3,7} : \sqrt{81}$ C) $(3,7)^2 : 81^2$ D) 81 : 3,7 E) 81 : 37

368. 1992-94/MIS Map

Ilość prochu potrzebna do wyszczelienia pocisku z Księżyca na Księżyce jest:

- A) większa od ilości prochu potrzebnego do wyszczelienia pocisku z Księżyca na Ziemię
 B) mniejsza od ilości prochu potrzebnego do wyszczelienia pocisku z Księżyca na Ziemię
 C) równa ilości prochu potrzebnego do wyszczelienia pocisku z Księżyca na Ziemię
 D) większa lub mniejsza od ilości prochu potrzebnego do wyszczelienia pocisku z Księżyca na Ziemię, zależnie od naszej pocisku

369. 1997/L

Statek kosmiczny kraży wokół Ziemi po kołowej orbicie o promieniu R , z prędkością v . Gdyby poruszał się po orbicie o promieniu 4 razy większym, jego prędkość byłaby:

- A) 4 razy mniejsza B) 2 razy mniejsza C) 2 razy większa D) 4 razy większa

370. 1985/L

Sposób energetycznej kinetycznej satelity znajdującej się na orbicie kołowej do jego energii potencjalnej jest równy:

- A) 2 B) = 2 C) $-0,5$ D) 0,5

371.

Sposób pierwszej prędkości kosmicznej do drugiej prędkości kosmicznej wynosi:

- A) $\sqrt{2}$ B) 1 C) $\frac{1}{\sqrt{2}}$ D) $\frac{\sqrt{2}}{2}$ E) odpowiedzi C i D

372.

Na jaką wysokość nad powierzchnią Ziemi wzniósie się ciało rzucone pionowo do góry z prędkością 0 wartości $v = \sqrt{gR}$, gdzie g – przyspieszenie ziemskie, R – promień Ziemi

- A) oddala się w nieskończoność B) $h = R$ C) $h = \frac{1}{2}R$ D) $h = 2R$

373.

Jaka pracę trzeba wykonać, aby ciało o masie m znajdujące się na powierzchni Ziemi uniесie na orbicie o promieniu $2R$, g – przyspieszenie ziemskie

- A) mgR B) $0,75mgR$ C) $0,5mgR$ D) $2mgR$

374. 1990/L

Przyspieszenie grawitacyjne przy powierzchni planety o promieniu R jest równe g . Satelita poruszający się wokół tej planety po orbicie o promieniu $3R$ ma prędkość określona wzorem:

- A) $v = \sqrt{\frac{gR}{3}}$ B) $v = \sqrt{\frac{2gR}{3}}$ C) $v = \sqrt{3gR}$ D) $v = \frac{\sqrt{gR}}{3}$

375.

Jeżeli większa byłaby II prędkość kosmiczna, gdyby gęstość Ziemi i jej promień były dwa razy większe?

- A) 2 razy B) $2\sqrt{2}$ razy C) 4 razy D) byłaby taka sama

376. 1988/F

Statek kosmiczny wznosi się pionowo w górnym ruchem jednostajnie przyspieszonym w nim kosmonauta wynosiło około: A) 6 B) 7 C) 70 D) 60

5. CIAŁA STAŁE

377. Prawo Hooke'a dotyczące odkształceń sprężystych ciał stałych wyraża wzór:

- | | |
|--|----------------------------------|
| A) $M = \frac{F \cdot S}{E \cdot l_0}$ | M – pręzyłość długosci pręta |
| B) $M = \frac{F \cdot l_0}{E \cdot S}$ | l_0 – długość początkowa pręta |
| C) $M = \frac{E \cdot S}{F \cdot l_0}$ | S – przekrój poprzeczny |
| D) $M = \frac{E \cdot S}{F \cdot l_0}$ | E – moduł Younga |
| E) odpowiedzi B i D | F – działające siły |
| | P – naprężenie wewnętrzne |

378. 1991/L
Moduł Younga jest równy naprężeniu wewnętrzemu, przy którym:

- A) przekrój poprzeczny ciała zmniejsza się dwa razy
 B) długość ciała zwiększa się o 1/2 długosci początkowej
 C) długość ciała zwiększa się o długosc początkowej
 D) następuje rozerwanie ciała

379.

Wykres przedstawia zależność naprężenia wewnętrznego pręta od względnego przyrostu jego długości. Moduł Younga wyrażony w N/m^2 wynosi:

- A) $5 \cdot 10^6$ B) $5 \cdot 10^9$ C) $0,5 \cdot 10^9$ D) $0,5 \cdot 10^8$

380. 1995/L

Rozciągając stalowy drut o początkowej długosci 10 m, wydłużono go o 1mm. Naprężenie w tym rozciagniętym drutie było 20 MPa. Zatem moduł Younga stali, z której zrobiono drut, jest równy:
 A) $E = 20$ MPa B) $E = 20 \cdot 10^3$ MPa C) $E = 20 \cdot 10^4$ MPa D) $E = 20 \cdot 10^6$ MPa

381.

W jakim stosunku powinny się mieć do siebie średnice dwóch pretów o jednakowej długosci, aby przy jednakowych siłach działających na ich koncie, wydłużenia były jednakowe? Moduły Younga wynoszą odpowiednio: E_1 i E_2 .

- A) $\frac{d_1}{d_2} = \sqrt{\frac{E_2}{E_1}}$ B) $\frac{d_1}{d_2} = \frac{E_2}{E_1}$ C) $\frac{d_1}{d_2} = \sqrt{\frac{E_1}{E_2}}$ D) $\frac{d_1}{d_2} = \frac{E_1}{E_2}$

382.

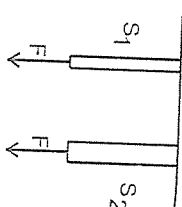
Przy rozciąganiu pręta o długosci i przekroju poprzecznym S wykonanego z materiału o module Younga E sila równowagująca siła sprężystości wykonano pracę W . Bez względów prętu jest równy wyrażeniu:

- A) $\sqrt{\frac{2WI}{ES}}$ B) $\sqrt{\frac{ES}{2WI}}$ C) $\frac{2WI}{ES}$ D) $\frac{WI}{ES}$

383.

Dwa pręty stalowe o jednakowych długościach pozałkowych zawieszone jak na rysunku są rozciągane siłą F . Jeżeli przedroże poprzeczne prętów spełniają warunek $S_1/S_2 = 0,5$ to stosunek wydłużen $\Delta X_1/\Delta X_2$ wynosi:

- A) 3
B) 1
C) 2
D) 0,5

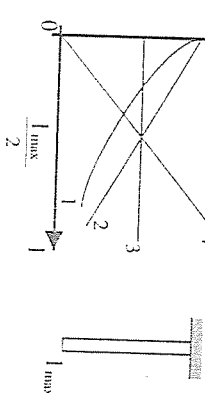
**384. 1993L.**

Moduł Younga linki wynosi 10^8 Pa . Linka ta o długości 1 m, poddana działaniu naprężenia o wartości 10^5 Pa , zwiększy swoją długość o:

- A) 10^{-3} m
B) 10^{-4} m
C) 10^{-1} m
D) $0,5 \text{ m}$
E) 1 m

Pręt metalowy zawieszono pionowo (rycina). Naprężenie w przekroju zależy od odległości od punktu zawieszenia przedstawia wykres:

- A) 1
B) 2
C) 3
D) 4

**386. 1999L.**

Drut o długości l wydłużał się o 2 mm pod działaniem siły F . Drut trzykrotnie dłuższy, wykonany z tego samego materiału i o tej samej średnicy wydłużał się o 1 mm pod działaniem siły:

- A) $1/6 F$
B) $1/3 F$
C) $1/2 F$
D) F

387.

Dwa pręty z różnych materiałów o jednakowej długości i przekroju poprzecznym rozciągano siłą F . Jeżeli przyrosty długości $\Delta X_1 = \Delta X_2$, to moduły Younga E_1, E_2 spełniają zależność:

- A) $E_1 = 2 E_2$
B) $E_2 = 2 E_1$
C) $E_1 = E_2$
D) $E_2 = 3 E_1$

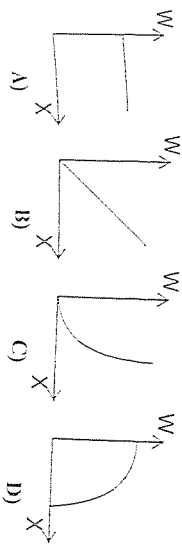
388. 1992-94/MIS MatP

Sprzęgły rozerwane zostały o x w stosunku do początkowej długości. Aby ją rozciągnąć o $2x$ w granicach slosowalności prawil Hookela należy wykonać pracę:

- A) $\sqrt{2}$ razy większą
B) 2 razy większą
C) 4 razy większą
D) zależną od materiału, z którego wykonano spręzynę

389.

Rozciągając pręt (odkształcenie spręziste) o X wykonano pracę W . Który wykres przedstawia zależność wykonyanej pracy W od wydłużenia X ?

**390. 1993L.**

Przez w ciągu 2 sekund rozciągała się sprężyna o 50 cm. Koncowa siła z jaką działała wynosiła 100 N. Średnia moc ucznia wynosi:

- A) 12,5 W
B) 25 W
C) 50 W
D) 75 W
E) 100 W

391. 1990L

Dwie identyczne sprężyny oraz dwie kule o ciężarach P_A i $P_B > P_A$ zawieszono kolejno tak, jak na rysunkach. Wydłużenia x_1 i x_2 - górynej sprężyny oraz y_1 i y_2 - dolnej w obu wypadkach spełniają zależność:

- A) $x_1 = x_2$
B) $x_1 = x_2$
C) $x_1 < x_2$
D) $x_1 < x_2$
E) $y_1 = y_2$

392.

Po kuli o masie m wylatująccej ze sprężynowego pistoletu energia potencjalna sprężyny X — jej poczatkowa odkształcenie:

- A) $X \sqrt{\frac{k}{m}}$
B) $X \sqrt{\frac{m}{k}}$
C) $m \sqrt{\frac{X}{k}}$
D) $X \sqrt{k \cdot m}$
E) $\frac{X}{\sqrt{k \cdot m}}$

393. 1996L

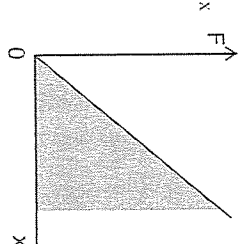
Rozciągnięcie sprężyny o 2 cm powoduje zgromadzenie w niej energii potencjalnej sprężystości o wartości 3 J. Po rozciągnięciu sprężyny o 6 cm energia ta wzrosi do:

- A) 6 J
B) 9 J
C) 18 J
D) 27 J

394. 1994L

Wykres przedstawia zależność siły F działającej na ciało od wydłużenia x wywołanego jej działaniem. Pole zawarte pod wykresem jest miarą:

- A) modułu Younga
B) współczynnika sprężystości
C) naprężenia wewnętrznego
D) współczynnika rozszerzalności liniowej
E) pracy wykonanej przy odkształceniu ciała



Poniżej tekst dotyczy pytań 395 i 396
Pojedynczą sprzęgłą rozciągany siłą F równoważący aktualną siłę sprężystości. Przy wydłużeniu spręziny o 12cm jej siła sprężystości wynosi F_0 .

jeżeli dwie opisane powyżej sprężyny połączony w g. rysunku, to pod wpływem siły zwiększającej się do F_0 odkształcenie układu wynosi:

- A) 12cm
B) 3cm
C) 8cm
D) 6cm
E) 15cm

396.

- Praca wykonana przy rozciąganiu powyższego układu sprężyn silnie zwiększała się do F_0 jest:
- cztery razy mniejsza niż w przypadku rozciągania jednej sprężyny
 - dwa razy mniejsza niż w przypadku rozciągania jednej sprężyny
 - dwa razy większa niż w przypadku rozciągania jednej sprężyny
 - cztery razy większa niż w przypadku rozciągania jednej sprężyny
 - taka sama jak w przypadku rozciągania jednej sprężyny

397.

- Aby gąska o długości 0,5m rozciągnąć o 5cm trzeba wykonać pracę $2 \cdot 10^{-2} J$. Wydłużenie tej samej gąska o kolejne 5cm wymaga wykonania pracy:

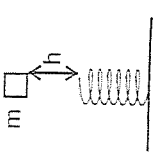
A) $6 \cdot 10^{-2} J$

B) $2 \cdot 10^{-2} J$

C) $4 \cdot 10^{-2} J$

D) $8 \cdot 10^{-2} J$

E) $10^{-2} J$



398.

- Z wysokości h spada swobodnie kłoszek o masie m na sprzęny o współczynniku k (rys.). W wyniku tego sprzęyna zostaje skróśnia o x . Energia sprężystości skróśnionej sprężyny jest równa wyrażeniu:

A) $m g h$

B) $m g (h - x)$

C) $m g x$

D) $m g (h + x)$

399. 1992-94/MIS MaP

- Aby rozciągnąć sprzęynę o X należało użyć siły F , sprzęynę rozciąęto na dwie połowy, aby roziągnąć jedną z połówek o X należy użyć siły:

A) $F/2$

B) $F/2$

C) F

D) $2F$

400.

- Na dwóch sprężynach o różnych współczynnikach sprężystości k_1 i k_2 oraz jednorakowych długościach początkowych zawieszono ciężarki o tych samych masach (rys.). Jeżeli wydłużenie sprężyn drugiej jest dwa razy większe od wydłużenia sprężyny pierwszej, to spełniona jest równość:

A) $k_1 = 2k_2$

B) $k_1 = 4k_2$

C) $k_1 = k_2$

D) $2k_1 = k_2$

401.

- Wydłużenie dwóch sprężyn o różnych współczynnikach sprężystości k_1 , k_2 jest jednorakowe (rys.). Poniżej masy sprężyn, stosunek k_1/k_2 jest równy:

A) 1/2

B) 2

C) 1

D) 4

402.

- Po zawieszeniu kulki o masie m sprężyna wydłużała się. Jeżeli maksymalne wydłużenie sprężyny wynosi X , to energia potencjalna sprężystości sprężyny:

A) wzrosła o $m g X$

B) zmalała o $m g X$

C) wzrosła o $0,5 m g X$

D) zmalała o $0,5 m g X$

403.

- Ogrzewając kawałek cynku o masie 0,1 kg o 15 K dostarczono ciepła w ilości 540 J. Ciepło właściwe cynku jest równe:

A) 360 J/kg

B) 36 J/kg

C) 360 J/kg K

D) 36 J/kg

404. 1992-94/MIS MaP

- Pięt metali podgrzane tak, że jego długość zwiększyła się o 0,1%. Objętość pięta zwiększyła się za tem o około:

A) 0,1%

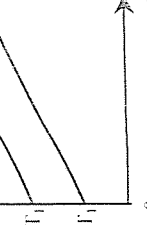
B) 0,3%

C) 0,6%

D) 0,9%

405. 1989/F

- Wykres pokazuje zależność temperatury od ilości dostarczonego ciepła T dla dwóch kawałków metali o masach $m_1 = m$ i $m_2 = 2 m$. Ciepła właściwe c_1 i c_2 tych metali spełniają zależność:
- A) $c_1 = c_2/2$
- B) $c_1 = c_2$
- C) $c_1 = 2 c_2$
- D) $c_1 = 4 c_2$

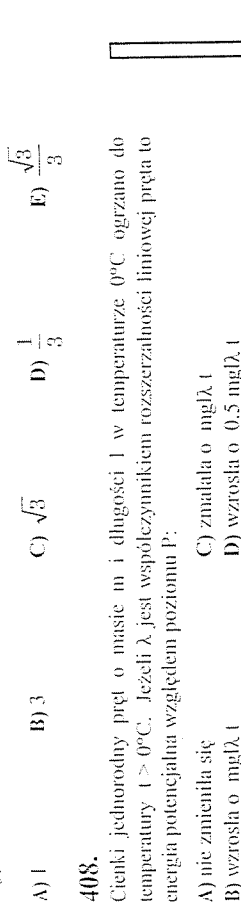


406. 1990/F

- Dla pięci wykonyane z materiałów o współczynnikach rozszerzań λ_1 i λ_2 mają w temperaturze 0°C długości l_1 i $l_2 > l_1$. Czy przy równoczesnym ogrzewaniu tych pięciów ich długości mogą się zmieniać?
- A) nie jest to możliwe
- B) tak, jeśli $\lambda_1 = \lambda_2$
- C) tak, jeśli $\lambda_1 < \lambda_2$
- D) tak, jeśli $\lambda_1 > \lambda_2$
- A) 0,1
- B) 3
- C) $\sqrt{3}$
- D) $\frac{1}{3}$
- E) $\frac{\sqrt{3}}{3}$

407.

- Dla ciąż stałych stosunek współczynnika rozszerzań linowej λ do współczynnika rozszerzań objętościowej β wynosi:



408.

- Cienki jednorodny pięt o masie m i długości l w temperaturze 0°C ogrzano do temperatury $t > 0^\circ\text{C}$. Jeżeli λ jest współczynikiem rozszerzań linowej pięcią to energia potencjalna względem poziomu P :
- A) nie zmienia się
- B) wzrosła o $m g \lambda t$
- C) zmalała o $m g \lambda t$
- D) wzrosła o $0,5 m g \lambda t$

409.

- Wykres przedstawia zależność długości od temperatury dla dwóch metalowych pięciów. Współczynniki rozszerzań linowych λ_1 i λ_2 tych metali spełniają zależność:
- A) $\lambda_1 = \frac{1}{3} \lambda_2$
- B) $\lambda_1 = \frac{2}{3} \lambda_2$
- C) $\lambda_1 = \lambda_2$
- D) $\lambda_1 = \frac{3}{2} \lambda_2$



410. 1989/F

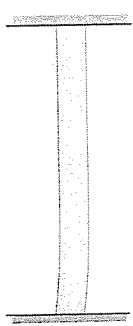
- Jeli jednorodny szescian metalowy o współczynniku rozszerzań linowej λ , ogrzany od 0 stopni C do temperatury t , to jego energia potencjalna:
- A) zmalała λ raz
- B) pozostała niezmieniona
- C) wzrosła λ raz
- D) wzrosła $(1 + \lambda)$ raz

6. CIECZĘ

411.

Koniec stalowego pręta (rys.) o polu przekroju równym S przy mocowane są sztywnie do dwóch ścian. Jaka siła działa na każdą ścianę, po ogrzaniu pręta o ΔT , jeśli początkowo w pręcie nie występują żadne naprężenia? (Moduł Younga i współczynnik rozszerzalności liniowej dla stali wynoszą odpowiednio; E i λ)

- A) $F=0,5\lambda E S \Delta T$
- B) $F=2\lambda E S \Delta T$
- C) $F=\lambda E S A T$
- D) bez znamioności odległości między ścianami, siły nie da się wyznaczyć



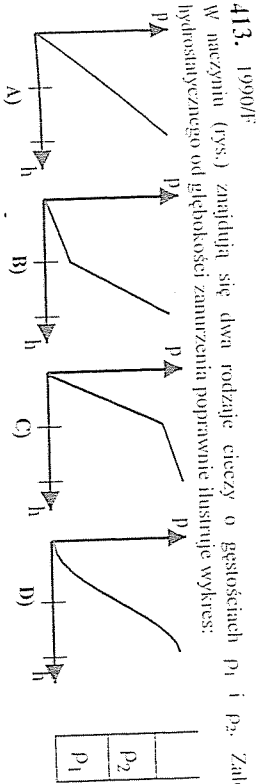
412. 1991I.

Wykres przedstawia zależność ciśnienia hydrostatycznego od głębokości pod powierzchnią cieczy. Gęstość cieczy wynosi ok.:

- A) 20 kg/m^3
- B) 200 kg/m^3
- C) 2000 kg/m^3
- D) 170 kg/m^3

413. 1990II.

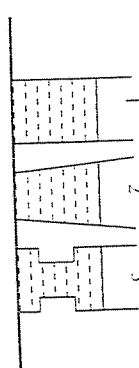
W naczyniu (rys.) znajdują się dwa rodzaje cieczy o gęstościach p_1 i p_2 . Zależność ciśnienia hydrostatycznego od głębokości zamknięcia poprawnie ilustruje wykres:



414. 1988II.

Rysunek przedstawia trzy naczynia z wodą. Siła natoku cieczy na dno naczynia jest równa jej ciężarowi:

- A) w naczyniu 1
- B) w naczyniu 2
- C) w naczyniu 3
- D) w każdym z tych naczyn



415. 1979II.

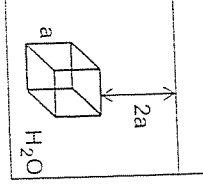
Do trzech naczyn o jednakowych dlnach wlaano po 1 litrze wody (por. rys.). Parcie wody na dno naczynia:

- A) jest jednakowe we wszystkich naczyniach
- B) jest największe w naczyniu 1
- C) jest największe w naczyniu 2
- D) spełnia nierówność: $P_1 < P_2 < P_3$

416.

Sześcian o boku $a = 10 \text{ cm}$ zanurzono całkowicie w wodzie na głębokość $2a$ (rys.). Parcie cieczy na dolnej podstawie jest równe:

- A) 30 N
- B) 100 N
- C) 3 N
- D) 0,1 N



417.

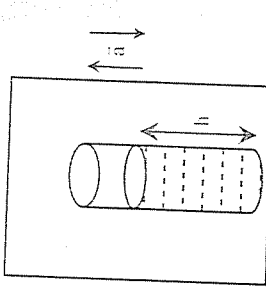
Sześcian cieczy hydrostatycznych słupa wody o wysokości $1m$ na Książęciu i na Ziemi w przybliżeniu jest równy:

- A) 6
- B) 3
- C) 1
- D) $\frac{1}{6}$
- E) $\sqrt{6}$

418.

W kabiniie windy znajduje się naczynie wypełnione cieczą o gęstości ρ do wysokości h . Podczas ruszania windy z przyspieszeniem a w góre i w dół, różnica ciśnień hydrostatycznych wywieranych na dno naczynia, wynosi:

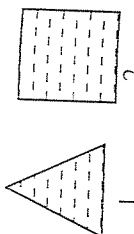
- A) ρgh
 B) ρah
 C) $\frac{1}{2} \rho ah$
 D) $2\rho gh$



419. 1994/l.

Dwa naczynia cylindryczne i stożkowe (rys.), o równych polach podstawy i takich samych wysokościach, napelniono cieczą. Parcia cieczy na dno w naczyniu pionowym F_1 , i w drugim F_2 spełniają zależność:

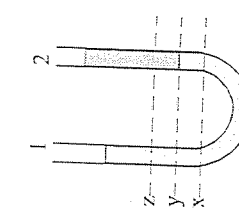
- A) $F_1 = F_2$
 B) $F_1 = \frac{1}{2} F_2$
 C) $F_1 = \frac{1}{4} F_2$
 D) $F_1 = \frac{1}{5} F_2$



420.

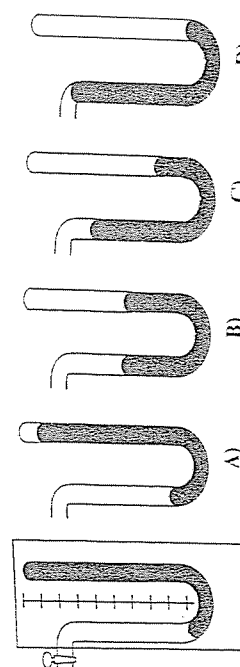
W naczyniu znajduje się woda i nafta (rys.). O ciśnieniu cieczy na pozycjach x, y, z można powiedzieć, że:

- A) $P_{1x} = P_{2x}$
 B) $P_{1x} > P_{2x}$
 C) $P_{1x} < P_{2x}$
 D) $P_{1y} < P_{2y}$
 E) $P_{1x} > P_{2x}$



421. 1986/l.

Rysunek przedstawia manometr rtęciowy, który ma być użyty do pomiaru ciśnienia w naczyniu, z którego pionowo usuwa powierzchnię. Po osiągnięciu maksymalnego rozrzedzenia, rtęć w manometrze powinna zająć położenie przedstawione na rysunku:



422. 1994/l.

Do jakiej wysokości h należy naleźć jednorodną ciecz do naczynia cylindrycznego, aby sila parcia cieczy na ścianę biższą była równa sile parcia cieczy na dno naczynia:

- A) $h = r\beta$
 B) $h = r^2$
 C) $h = r$
 D) $h = 3/2 r$
 E) $h = nr$

- cieczce -

maksymalne ciśnienie nie może przekroczyć wartości 2 razy większej od ciśnienia atmosferycznego ($P_{\max} < 2P_a$):

- A) nie może być rozerwana, gdyż 2 l wody wywierają dodatkowe ciśnienie $P_s < P_{\max}$
 B) może być rozerwana, jeżeli naczynie szklane jest w kształcie kuli
 C) może być rozerwana, jeżeli naczynie szklane jest szescianem
 D) może być rozerwana, jeżeli naczynie szklane jest rurką o długości przekraczającej 20m ustawnioną pionowo
 E) będzie rozerwana, jeżeli poziom cieczy w dołączonym naczyniu będzie większy niż 20m licząc od dna beczki

424. 1999/l.

Wode ze szklanki cylindrycznej przedana w całości do drugiej szklanki cylindrycznej o promieniu podstawy dwukrotnie większym. Ciśnienie wody na dno w drugiej szklance, w porównaniu z ciśnieniem na dno w szklance pierwnej:

- C) zmalało dwukrotnie
 D) zmalało czterokrotnie
 A) wzrosło dwukrotnie
 B) nie zmieniło się

425.

W naczyniu w kształcie walca, w którym zrobiono dwa otwórki, znajdują się cieczy. Jeżeli poziom cieczy jest utrzymywany stały na wysokości h , to stosunek prędkości wypływu cieczy w otworze górnym do prędkości wypływu cieczy w otworze dolnym wynosi około:

- A) 1,41
 B) 1,73
 C) 1,00
 D) 0,50
 E) 2,00

426.

Cieżar ciała zamurzonego całkowicie w wodzie jest 2 razy mniejszy od cieżaru w próżni. Jeżeli Q oznacza ciężar ciała w próżni, to sila wyporu wynosi:

- A) Q
 B) $2Q$
 C) $0,5Q$
 D) $3Q$

427. 1996/l.

Cieżar pewnego ciała wynosi 400 N. Po zamurzeniu w wodzie ($\rho = 1000 \text{ kg/m}^3$) ciało to waży 300 N. Objętość tego ciała wynosi około:

- A) $0,001 \text{ m}^3$
 B) $0,01 \text{ m}^3$
 C) $0,1 \text{ m}^3$
 D) 1 m^3

428. 1988/l.

Po morzu płyną kra lodowa. Jeżeli gęstość wody przyjęta jest 10^3 kg/m^3 , a lodu $0,9 \cdot 10^3 \text{ kg/m}^3$, to stosunek objętości jej części znajdującej się nad wodą do objętości jej podwodnej części wynosi około:

- A) 9/10
 B) 1/2
 C) 1/9
 D) 1/10
 E) 2/9

429. 1999/l.

Klocek z drewna o gęstości 600 kg/m^3 pływa w cieczy, przy czym 25% objętości klocka wystaje nad jej powierzchnią. Gęstość cieczy wynosi:

- A) 750 kg/m^3
 B) 800 kg/m^3
 C) 850 kg/m^3
 D) 900 kg/m^3

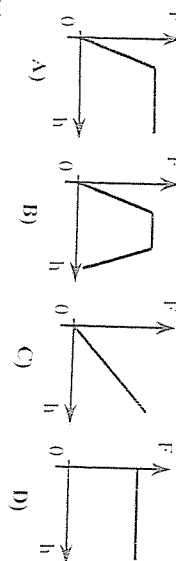
430.

Arcometr zanurzony się w wodzie na głębokość 0,15m. Gęstość zamurzenia tego samego arcometru w cieczy o gęstości pięć razy większej wynosi:

- A) 0,15m
 B) 0,75m
 C) 0,3m
 D) 0,03m
 E) arcometr zatonął

431. 1989/l.

Prostopadłościan o wysokości h zanurzono w wodzie. Zależność siły wyporu działającej na prostopadłościan w funkcji głębokości zanurzenia poprawnie podaje wykres:



432.

Ciało zawieszone na haczyku siloniera (rysunek). Po zanurzeniu ciała w wodzie wskaźanie siloniera wynosi $2/3$ ciężaru ciała. Gęstość ciała wynosi:

$$\left(\rho_{\text{cięzy}} = 10^3 \frac{\text{kg}}{\text{m}^3} \right)$$

- A) $10^3 \frac{\text{kg}}{\text{m}^3}$
B) $2 \cdot 10^3 \frac{\text{kg}}{\text{m}^3}$
C) $4 \cdot 10^3 \frac{\text{kg}}{\text{m}^3}$
D) $3 \cdot 10^3 \frac{\text{kg}}{\text{m}^3}$

433. 1997/l.

Pilka o masie 2 kg położona na wodzie pływa zanurzona do połowy. Jaką najmniejszą siłę należy przyłożyć, aby całą piłkę zanurzyć w wodzie? ($g = 10 \text{ m/s}^2$)

- A) 10 N
B) 20 N
C) 30 N
D) 40 N

434. 1993/l.

Kula o masie m pływa w cieczy, zanurzona do $1/3$ swojej objętości. Aby ją całkowicie zanurzyć, należy podzielić skierowaną pionowo do dołu siłę równą:

- A) $\frac{1}{3} mg$
B) $\frac{1}{2} mg$
C) $1 mg$
D) $2 mg$
E) $3 mg$

Dla danego ciała i danej cieczy siła wyporu na Księżycu jest:

- A) większa niż na Ziemi
B) mniejsza niż na Ziemi
C) taka sama jak na Ziemi
D) siła wyporu nie występuje na Księżycu

435. 1992-94/MIS MaP

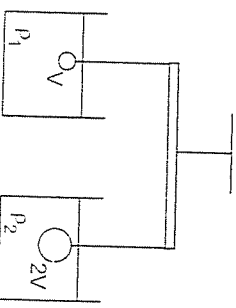
Ciało pływa zanurzone do $4/5$ swojej objętości, w cieczy o ciężarze właściwym 750 N/m^3 . Ciężar właściwy ciała wynosi:

A) 550 N/m^3
B) 600 N/m^3
C) 650 N/m^3
D) 700 N/m^3
E) 750 N/m^3

437.

Do szalek wagi przywiązyane są dwie kulkki o jednakowych ciężarach i objętościach V_1 i V_2 . Jeżeli kulkę zanurzymy w dwu różnych cieczach (rys.) o gęstościach odpowiednio ρ_1 i ρ_2 , to waga nadal będzie w równowadze gdy:

- A) $\rho_1 = \rho_2$
B) $2\rho_1 = \rho_2$
C) $\rho_1 = 2\rho_2$
D) $\rho_1 = 4\rho_2$



438. 1998/l.

Na ciało o masie $4,5 \text{ kg}$ zanurzone w nafcie (gęstość $\rho_n = 800 \text{ kg/m}^3$) działa sila wyporu 5 N . Gęstość tego cieczy wynosi ($g = 10 \text{ m/s}^2$):

- A) 6500 kg/m^3
B) 7200 kg/m^3
C) 8600 kg/m^3
D) 9800 kg/m^3

439. 1993/l.

Kula lodowa o gęstości $9 \cdot 10^2 \text{ kg/m}^3$ i objętości 1 m^3 pływa po wodzie (rys 1). Ciężar jaki można położyć na tej kuli, aby zanurzyła się całkowicie (rys 2) wynosi: (przyspieszenie ziemskie 10 m/s^2)

- A) 10^3 N
B) $9 \cdot 10^3 \text{ N}$
C) $9 \cdot 10^4 \text{ N}$
D) 10^4 N

rys.1 rys.2

440.

W naczyniu z wodą pływa trzy próbówki o jednakowej objętości, lecz o różnych ciężarach (rys.). Siła potrzebna do całkowitego zanurzenia każdej z próbówek jest największa dla:

- A) próbówki 1
B) próbówki 2
C) próbówki 3
D) jednakowej dla wszystkich próbówek

Z naczynia z wodą pływa trzy próbówki o jednakowej objętości, lecz o różnych ciężarach (rys.). Siła potrzebna do całkowitego zanurzenia każdej z próbówek jest największa dla:

- A) dużej kuli
B) koła ratunkowego
C) metalowe witośo
D) boczki soli

W którym przypadku poziom wody w basenie nie uległ zmianie?

442.

Przyspieszenie z jakim wpływa kulka o gęstości $5 \cdot 10^3 \text{ kg/m}^3$ z wodą, jeżeli ponieśmy opory ruchu, wynosi (z - przyspieszenie ziemskie):

- A) $0,5 g$

B) g

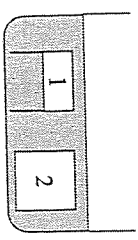
C) $2 g$

D) $3 g$

443. 1986/l.

Dwa jednakołe naczynia wypełnione powietrzem zostały zanurzone do wody na tę samą głębokość (rys.). Jedno z naczynia było otwarte, a drugie zamknięte hermetycznie. O wykonanych pracach W_1 i W_2 można powiedzieć, że:

- A) $W_1 = W_2$
B) $W_1 > W_2$
C) $W_1 < W_2$
D) $W_1 \geq W_2$



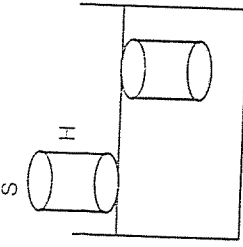
444. 1992-94/MIS MaP

Próbka wody w temperaturze 4°C i ciśnieniu normalnym charakteryzuje się w porównaniu z identyczną masą wody o innej temperaturze:

- A) największa objętością i największym ciężarem właściwym
B) najmniejszą objętością i największym ciężarem właściwym
C) największą objętością i najmniejszym ciężarem właściwym
D) najmniejszą objętością i największym ciężarem właściwym

Poniższy test dotyczy zadań 445, 446, 447.

Walec o wysokości H i przekroju poprzecznym S zanurzono całkowicie w cieczy o gęstości ρ . (rys.)



445.

Zależność siły wyporu F od głębokości zanurzenia walecha poprawnie przedstawia fina:

- A) a
B) b
C) c
D) d

446.

Gęstość cieczy, w której walec pływa całkowicie zanurzony można obliczyć ze wzoru:

- A) $\frac{F_0}{HS}$
B) $\frac{F_0}{gHS}$
C) $\frac{F_0g}{HS}$
D) $\frac{HS}{F_0g}$

447.

Pracą jaką wykonano przeciwko sile wyporu określa wzór:

- A) F_0H
B) $0,5 F_0H$
C) $-F_0H$
D) $-0,5 F_0H$

448.

Współczynnik rozszerzalności objętościowej wody w zakresie temperatur 290K do 300K wynosi średnio $0,00015 \text{ K}^{-1}$. W temperaturze 277K (4°C) wartość tego współczynnika będzie:

- A) większa niż $0,00035 \text{ K}^{-1}$
B) równa $0,00035 \text{ K}^{-1}$
C) równa $0,000175 \text{ K}^{-1}$
D) dużo mniejsza niż w pkt. A, B i C (prawie taka sama)

449.

Na powierzchni wody pływa kostka szesiennej; zależność głębokości zanurzenia kostki od temperatury wody najlepiej przedstawić:

- A) krzywa 1
B) krzywa 2
C) polprosta 3
D) krzywa 4

450.

Sprawdzano dokładność dwóch termometrów ręczowych. Promień przekroju rurki w pierwszym termometrze wynosił R , a objętość żbioniczka V , zaś w drugim odpowiednio $2R$ i $3V$.

- A) pierwszy termometr jest 6 razy dokładniejszy niż drugi
B) pierwszy termometr jest $4/3$ razy dokładniejszy niż drugi
C) drugi termometr jest 6 razy dokładniejszy niż pierwszy
D) oba termometry mają identyczną dokładność

451.

Bardziej szybkością opadania czerwonych krynek (zw. OJB) jest ważnym wskaźnikiem diagnostycznym w medycynie. W stanach chorobowych szybkość opadania czerwonych krynek rośnie. Ze zmianą jakiej wielkości fizycznej w układzie wiąże się ten fakt:

- A) zmniejszeniem lepkoci osocza krywi
B) zwiększeniem lepkoci osocza krywi
C) rozkładem termicznym cytrynatu sodu
D) nie zachodzi żaden proces fizyczny

452.

1987L.

Na rancie z drutu rożnego jest błonka z mydlem (rys.). Mający swobodę przesuwania się bok AB jest w równowadze, gdy siła F ma wartość $2 \cdot 10^{-3} \text{ N}$. Napięcie powierzchniowe mydla wynosi:

- A) $5 \cdot 10^{-3} \text{ N/m}$
B) 10^{-2} N/m
C) $5 \cdot 10^{-2} \text{ N/m}$
D) 10^1 N/m

453.

Iednostką współczynnika napięcia powierzchniowego cieczy jest:

- A) $\frac{J}{m^2}$
B) $\frac{N}{m^2}$
C) $\frac{N}{m}$
D) $\frac{J}{m}$

454.

1992.94/MIS MaP

Dwie banki mydlane o promieniach równych odpowiednio 4 cm i 8 cm znajdują się na dwóch końcach tej samej rurki. Powietrze z zewnątrz nie jest dostarczane do układu, promień banki mniejszej:

- A) maleje do zero
B) rośnie do 8 cm
C) nie zmienia się
D) zależy od długości rurki

455.

W poziomie usytuowanej rurce włoskowej zawarta jest ciecz, której temperatura na końcach rurki jest różna. Zauważając zmiany promienia rurki pod wpływem temperatury oraz pomijając wszelkie siły oporu możemy stwierdzić, że:

- A) ciecz pozostanie w spoczynku
B) przeniesie się w stronę chłodniejszego końca rurki
C) przeniesie się w stronę cieplejszego końca rurki
D) będzie się przemieszczać ruchem drążącym
E) nie można przewidzieć zachowania się cieczy

456.

1984L.

Na stołek powierzchni wody w kielwce nanoszony odrobinę talku. Następnie dodajemy pięć kropel kropli żółci. Z obserwowanego efektu wynika, że:

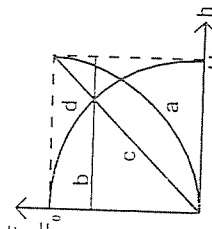
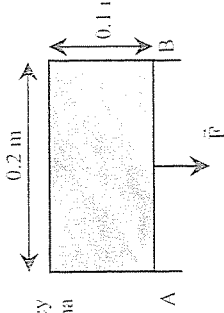
- A) żółć zneutralizowała talk
B) zmniejszyło się napięcie powierzchniowe
C) zwiększyło się napięcie powierzchniowe
D) rozruszczanie talku nie uległo zmianie

457.

1992.94/MIS MaP

Które spośród niżej wymienionych zjawisk jest odpowiedzialne za nadawanie małym kroplkom cieczy kształtu kuleistego:

- A) dyfuzja
B) włoskowatość
C) polaryzacja
D) napięcie powierzchniowe



$$\text{F} = \frac{F_0}{HS} \cdot HS = F_0$$

453.

Iednostką współczynnika napięcia powierzchniowego cieczy jest:

- A) $\frac{J}{m^2}$
B) $\frac{N}{m^2}$
C) $\frac{N}{m}$
D) $\frac{J}{m}$

454.

1992.94/MIS MaP

Dwie banki mydlane o promieniach równych odpowiednio 4 cm i 8 cm znajdują się na dwóch końcach tej samej rurki. Powietrze z zewnątrz nie jest dostarczane do układu, promień banki mniejszej:

- A) maleje do zero
B) rośnie do 8 cm
C) nie zmienia się
D) zależy od długości rurki

455.

W poziomie usytuowanej rurce włoskowej zawarta jest ciecz, której temperatura na końcach rurki jest różna. Zauważając zmiany promienia rurki pod wpływem temperatury oraz pomijając wszelkie siły oporu możemy stwierdzić, że:

- A) ciecz pozostanie w spoczynku
B) przeniesie się w stronę chłodniejszego końca rurki
C) przeniesie się w stronę cieplejszego końca rurki
D) będzie się przemieszczać ruchem drążącym
E) nie można przewidzieć zachowania się cieczy

456.

1984L.

Na stołek powierzchni wody w kielwce nanoszony odrobinę talku. Następnie dodajemy pięć kropel kropli żółci. Z obserwowanego efektu wynika, że:

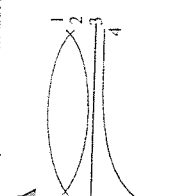
- A) żółć zneutralizowała talk
B) zmniejszyło się napięcie powierzchniowe
C) zwiększyło się napięcie powierzchniowe
D) rozruszczanie talku nie uległo zmianie

457.

1992.94/MIS MaP

Które spośród niżej wymienionych zjawisk jest odpowiedzialne za nadawanie małym kroplkom cieczy kształtu kuleistego:

- A) dyfuzja
B) włoskowatość
C) polaryzacja
D) napięcie powierzchniowe



$$\text{F} = \frac{F_0}{HS} \cdot HS = F_0$$

453.

Iednostką współczynnika napięcia powierzchniowego cieczy jest:

- A) $\frac{J}{m^2}$
B) $\frac{N}{m^2}$
C) $\frac{N}{m}$
D) $\frac{J}{m}$

454.

1992.94/MIS MaP

Dwie banki mydlane o promieniach równych odpowiednio 4 cm i 8 cm znajdują się na dwóch końcach tej samej rurki. Powietrze z zewnątrz nie jest dostarczane do układu, promień banki mniejszej:

- A) maleje do zero
B) rośnie do 8 cm
C) nie zmienia się
D) zależy od długości rurki

455.

W poziomie usytuowanej rurce włoskowej zawarta jest ciecz, której temperatura na końcach rurki jest różna. Zauważając zmiany promienia rurki pod wpływem temperatury oraz pomijając wszelkie siły oporu możemy stwierdzić, że:

- A) ciecz pozostanie w spoczynku
B) przeniesie się w stronę chłodniejszego końca rurki
C) przeniesie się w stronę cieplejszego końca rurki
D) będzie się przemieszczać ruchem drążącym
E) nie można przewidzieć zachowania się cieczy

456.

1984L.

Na stołek powierzchni wody w kielwce nanoszony odrobinę talku. Następnie dodajemy pięć kropel kropli żółci. Z obserwowanego efektu wynika, że:

- A) żółć zneutralizowała talk
B) zmniejszyło się napięcie powierzchniowe
C) zwiększyło się napięcie powierzchniowe
D) rozruszczanie talku nie uległo zmianie

457.

1992.94/MIS MaP

Które spośród niżej wymienionych zjawisk jest odpowiedzialne za nadawanie małym kroplkom cieczy kształtu kuleistego:

- A) dyfuzja
B) włoskowatość
C) polaryzacja
D) napięcie powierzchniowe

458.

Podezras topienia się srebrnego drutu o średnicy d , odrywają się od niego krople srebra o masie m każda. Współczynnik napięcia powierzchniowego ciekłego srebra można obliczyć ze wzoru:

- A) $\sigma = \frac{mg}{2\pi d}$ B) $\sigma = \frac{2mg}{\pi d}$ C) $\sigma = \frac{mg}{\pi d^2}$ D) $\sigma = \frac{mg}{nd}$

459.

Ilc energii trzeba zużyć, aby poruszyć wody o masie m rozpylić na kropelki o średnicy d. Częstość wody równa się p, a współczynnik napięcia powierzchniowego σ .

- A) $\frac{3\pi n\sigma}{4pd}$ B) $\frac{4\pi n\sigma}{3pd}$ C) $\frac{6\pi n\sigma}{pd}$ D) $\frac{6\pi n\sigma}{pd^2}$
 A) około 0,37 m B) około 0,75 m C) około 1 m D) około 1,5 m

460.

Na jaką wysokość podnieście się woda w lodygach z ty małych kapillary o średnicy przekroju 0,02 mm, jeśli przyjmemy, że menisk tworzy powierzchnię półkuli. Współczynnik napięcia powierzchniowego wody $\sigma = 0,075 \text{ N/m}$

A) około 0,37 m

B) około 0,75 m

C) około 1 m

D) około 1,5 m

461.

Zwiększenie 2-krotne średniej prędkości ruchu postępowego cząsteczek gazu doskonałego w naczyniu o stałej objętości wywołuje:

- A) dwa razy większe ciśnienie
 B) cztery razy większe ciśnienie
 C) dwa razy większa średnia energia kinetyczna cząsteczek
 D) cztery razy większa średnia energię kinetyczną cząsteczek
 E) poprawne są odpowiedzi B i D

462.

Zwiększenie 2-krotne średniej prędkości ruchu postępowego cząsteczek gazu doskonałego w naczyniu o stałej objętości wywołuje:

- A) dwa razy większe ciśnienie
 B) cztery razy większe ciśnienie
 C) dwa razy większa średnia energia kinetyczna cząsteczek
 D) cztery razy większa średnia energię kinetyczną cząsteczek
 E) poprawne są odpowiedzi B i D

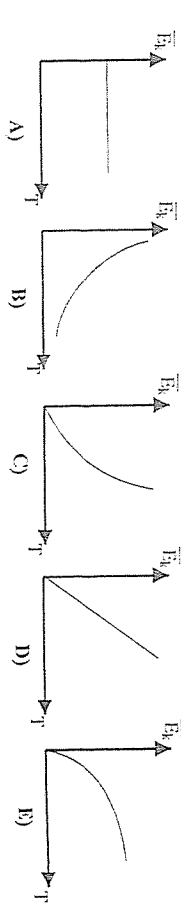
463.

Dwa naczynia o objętościach V i $2V$ zawierają po 1molu gazu doskonałego o temperaturach odpowiednio T i $2T$. Możemy wnioskować, że:

- A) średnie prędkości ruchu postępowego cząstek gazu w obu naczyniach są jednakowe
 B) w naczyniu pierwszym średnia prędkość jest większa 2-krotnie niż w drugim
 C) w naczyniu drugim średnia prędkość jest większa 2-krotnie niż w pierwszym
 D) w naczyniu drugim średnia prędkość jest $\sqrt{2}$ razy większa niż w pierwszym
 E) wszystkie odpowiedzi są fałszywe

464.

Zależność średniej energii kinetycznej ruchu postępowego cząsteczek gazu doskonałego od temperatury T [J/K] przedstawia wykres:



- A) $E_k \propto T$ B) $E_k \propto \sqrt{T}$ C) $E_k \propto T^2$ D) $E_k \propto T^3$
 E) $E_k \propto T^4$

465. 1988/L

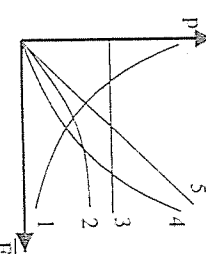
Jeżeli temperatura gazu idealnego wzrosła z $T_1 = T$ do $T_2 = nT$, to średnia prędkość cząsteczek tego gazu wzrosła:

- A) n razy B) \sqrt{n} razy C) n^2 razy D) $2n^2$ razy

466.

Zbiornik wypełniony jest mieszaniną wodoru i azotu w temperaturze T . Nieprawda jest że:

- A) ciśnienie mieszanki jest równa sumie ciśnień cząstekowych wodoru i azotu
 B) jeżeli liczba cząsteczek wodoru jest równa liczbie cząstek azotu, to ciśnień cząstekowe są takie same
 C) średnie energie kinetyczne ruchu postępowego cząsteczek azotu i wodoru są sobie równe
 D) średnie prędkości ruchu postępowego cząstek wodoru i azotu są jednakowe



467. 1993/L

W dwóch naczyniach o jednakowej objętości znajdują się: w jednym hel, a w drugim wodór. Temperatury obu gazów są jednakowe. Średnie prędkości ich cząsteczek spelniają związek:

- A) $V_{He} = V_{H_2}$ B) $V_{He} = 2V_{H_2}$ C) $V_{He} = \frac{1}{2}V_{H_2}$ D) $V_{He} = \frac{\sqrt{2}}{2}V_{H_2}$ E) $V_{He} = \sqrt{2}V_{H_2}$

W termostacie znajduje się powietrze, w którym znajdują się m.in. cząsteczki H_2 , O_2 , CO_2 . Co można powiedzieć o średnich energiach kinetycznych cząsteczek tych gazów?

- A) największa średnia energia kinetyczna mają cząsteczki H_2
 B) największa średnia energia kinetyczna mają cząsteczki O_2
 C) wszystkie trzy rodzaje cząsteczek mają jednakowe średnie energie kinetyczne
 D) wszyskie trzy rodzaje cząsteczek mają jednakowe średnie energie kinetyczne ruchu postępowego

469.

Masa cząsteczkowa helu jest dwa razy większa od masy cząsteczkowej wodoru. Temperatura, w której średnia prędkość atomów helu jest równa prędkości cząsteczek wodoru w temperaturze $t=27^\circ C$, wynosi:

- A) $54^\circ C$ B) 300 K C) $27^\circ C$ D) 600 K

470.

Średnia prędkość ruchu postępowego cząsteczek gazu doskonalego ulega zmianie w przemianach:
 A) izotermicznej i izobarycznej
 B) izobarycznej i izochorycznej
 C) izochorycznej i adiabatycznej
 D) izotermicznej i adiabatycznej
 E) tylko odpowiedzi B i C są poprawne

471.

Cisnienie gazu doskonalego wzrosło w przemianie izochorycznej dwukrotnie i wobec tego:
 A) średnia prędkość cząsteczek wzrosła dwukrotnie
 B) średnia energia kinetyczna cząsteczek zmalała dwukrotnie
 C) średnia energia kinetyczna cząsteczek zmalała dwukrotnie
 D) średnia prędkość nie uległa zmianie
 E) żadna z podanych odpowiedzi nie jest poprawna

472. 1984/L

Objętość wdychanego przez człowieka powietrza wynosi 500 cm^3 . Jeżeli N wyraża liczbę cząsteczek zawartych w 1 molu, to liczba cząsteczekitem, jaka dostaje się do plic przy jednym wdechu wynosi:
 A) $N/2,24$ B) $N/22,4$ C) $N/224$ D) $N/44,8$

473. 1990/F

W naczyniu z tlokiem znajdują się pewna ilość gazu. Stan tego układu jednoznacznie określają:
 A) ciśnienie i objętość gazu
 B) ciśnienie, temperatura i liczba molii gazu
 C) temperatura i liczba molii gazu
 D) liczba molii, objętość i masa gazu

474. 1980/L

Dane są: masa tlenku m, masa cząsteczkowa tlenku μ , jego temperatura i ciśnienie przed ogrzaniem: T_1 i p_1 oraz po ogrzaniu: T_2 i p_2 , a także stała objętość tlenku. V. Do wyznaczenia stałej gazowej R trzeba skorzystać z następujących danych:
 A) ΔT , Δp , V B) ΔT , Ap, V, m, μ C) T_1 , p_1 , V, m, μ D) ΔT , Ap, V, m, μ

467. 1993/L

Wykres przedstawia zależność objętości od temperatury dla stałej masy gazu doskonalego. Stanowi gazu o maksymalnym ciśnieniu odpowiadają punkt:

- A) 1
 B) 2
 C) 3
 D) 4

468. 1980/L

W termostacie znajdują się powietrze, w którym znajdują się m.in. cząsteczki H_2 , O_2 , CO_2 . Co można

- A) największa średnia energia kinetyczna mają cząsteczki H_2
 B) największa średnia energia kinetyczna mają cząsteczki O_2
 C) wszystkie trzy rodzaje cząsteczek mają jednakowe średnie energie kinetyczne
 D) wszyskie trzy rodzaje cząsteczek mają jednakowe średnie energie kinetyczne ruchu postępowego

469.

Masa cząsteczkowa helu jest dwa razy większa od masy cząsteczkowej wodoru. Temperatura, w której

- A) $54^\circ C$ B) 300 K C) $27^\circ C$ D) 600 K

470.

Średnia prędkość ruchu postępowego cząsteczek gazu doskonalego ulega zmianie w przemianach:
 A) izotermicznej i izobarycznej
 B) izobarycznej i izochorycznej
 C) izochorycznej i adiabatycznej
 D) izotermicznej i adiabatycznej
 E) tylko odpowiedzi B i C są poprawne

471.

Cisnienie gazu doskonalego wzrosło w przemianie izochorycznej dwukrotnie i wobec tego:
 A) średnia prędkość cząsteczek wzrosła dwukrotnie
 B) średnia energia kinetyczna cząsteczek zmalała dwukrotnie
 C) średnia energia kinetyczna cząsteczek zmalała dwukrotnie
 D) średnia prędkość nie uległa zmianie
 E) żadna z podanych odpowiedzi nie jest poprawna

472. 1984/L

Objętość wdychanego przez człowieka powietrza wynosi 500 cm^3 . Jeżeli N wyraża liczbę cząsteczek zawartych w 1 molu, to liczba cząsteczekitem, jaka dostaje się do plic przy jednym wdechu wynosi:
 A) $N/2,24$ B) $N/22,4$ C) $N/224$ D) $N/44,8$

473. 1990/F

Wykres przedstawia cykl przemian pewnej masy gazu w układzie współrzędnych p-V. Wykres przedstawia cykl:

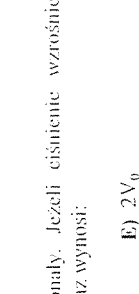
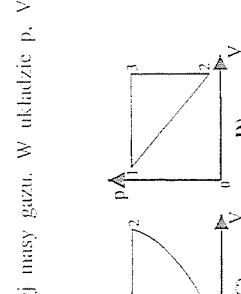
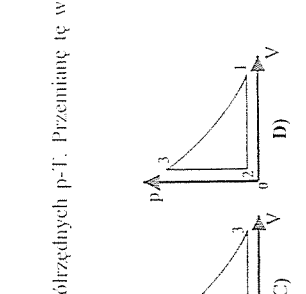
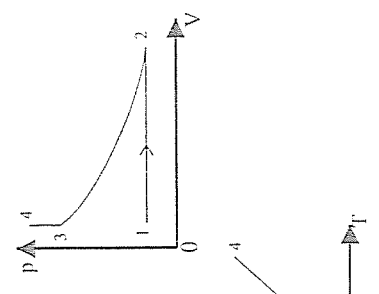
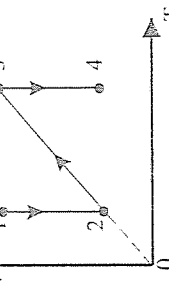
- A) 1-2-3-4-1
 B) 1-2-3-4-1
 C) 1-2-3-4-1
 D) 1-2-3-4-1

474. 1980/L

W pojemniku o objętości początkowej V_0 znajduje się gaz doskonaly. Jeżeli ciśnienie wzrośnie pięciokrotnie, a temperatura dwukrotnie, to objętość zajmowana przez gaz wynosi:

- A) V_0 B) $10V_0$ C) $\frac{5}{2}V_0$ D) $\frac{2}{5}V_0$ E) $2V_0$

467. 1990/I.



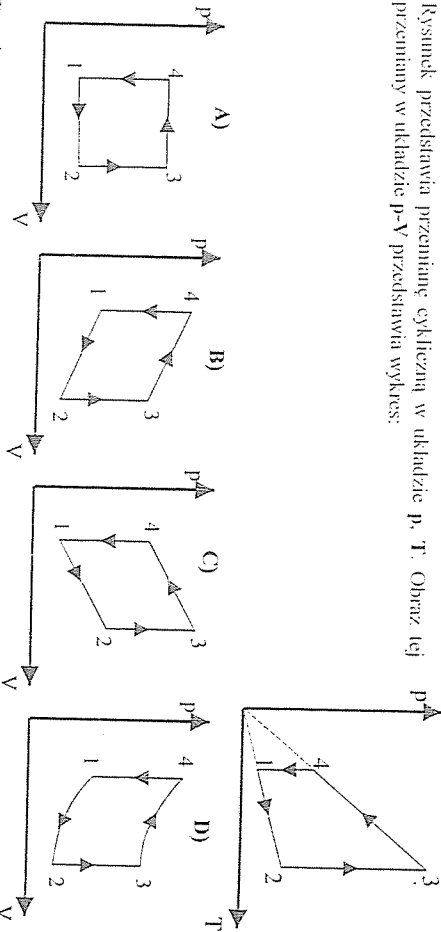
480. 1998I.

Gaz doskonaly poddano kolejnym przemianom $1 \rightarrow 2 \rightarrow 3$ (rys.). W wyniku tych przemian objętość gazu:

- A) nie zmieniła się
- B) wzrosła dwukrotnie
- C) wzrosła sześciokrotnie
- D) wzrosła ośmiokrotnie

481.

Rysunek przedstawia przemianę cykliczną w układzie p, V . Obraz tej przemiany w układzie p, T przedstawi wykres:



E) żaden z podanych wykresów

482. 1998I.

W trzech pojemnikach o takiej samej objętości znajduje się odpowiednio: 96 g tlenu, 84 g azotu i 6 g wodoru o tej samej temperaturze. Ciśnienie gazu jest:

- A) jednakołe we wszystkich zbiornikach
- B) największe w zbiorniku z tlenu, najmniejsze w zbiorniku z wodorem
- C) największe w zbiorniku z wodorem, najmniejsze w zbiorniku z tlenu
- D) większe w zbiorniku z wodorem, jednakowe i mniejsze w zbiornikach z azotem i tlenu

483.

Dla jakiego ciśnienia sporządzono przedstawiony wykres:

- A) $4,15 \cdot 10^3 \text{ N/m}^2$
- B) $8,31 \cdot 10^5 \text{ N/m}^2$
- C) $4,15 \cdot 10^5 \text{ N/m}^2$
- D) $1 \cdot 10^5 \text{ N/m}^2$

484.

Gaz doskonaly o objętości $0,4 \text{ m}^3$ i pod ciśnieniem 10^5 Pa został poddany przemianie izotermicznej tak, że jego ciśnienie zmniejszyło się dwa razy. Objętość jaka zajmie gaz po tej przemianie wyniesie:

- A) $0,4 \text{ m}^3$
- B) $0,2 \text{ m}^3$
- C) $0,8 \text{ m}^3$
- D) $0,1 \text{ m}^3$

485. 1983MF

W dwóch naczyniach o różnych pojemnościach poddano jednakowe ilości tego samego gazu przemianie izochorycznej. Na podstawie wykresu można powiedzieć, że:

- A) $V_1 / V_2 = 1/2$
- B) $V_1 / V_2 = 2$
- C) $V_1 / V_2 = 1$
- D) niemożliwe jest określenie związku pomiędzy objętościami tych gazów

486. 1979I.

Gaz doskonaly uległ kolejno dwóm przemianom: A i B, których wykres przedstawiony jest obok, przechołzając od stanu 1 do 2, a następnie od stanu 2 do 3. Objętość gazu:

- A) pozostała niezmieniona w przemianie A, a w przemianie B wzrosła

- B) wzrosła w przemianie A, a w przemianie B pozostała niezmieniona

- C) wzrosła w przemianie A, a w przemianie B zmalała

- D) zmalała w przemianie A, a w przemianie B wzrosła

487. 1980I.

Rysunek przedstawia izoterny dwóch gazów (1 i 1') o tych samych masach i jednakowych temperaturach. Na podstawie prawa Clapeyrona można ustalić, że te gazy różnią się:

- A) gęstość
- B) temperaturą krytyczną
- C) ciśnieniem krytycznym
- D) masą cząsteczkową

488. 1988I.

Jeden mol gazu idealnego poddano kolejno przemianom: izobarycznej 1-2, izotermicznej 2-3 i ponownie izobarycznej 3-4 (rysunek), jeżeli temperatury w stanach 1 i 4 wynoszą odpowiednio T_1 i T_4 to temperatura T_2 w stanie 2 określa wzór:

- A) $T_2 = T_4^2 / T_1$
- B) $T_2 = T_4^2 / T_4$
- C) $T_2 = 2\sqrt{T_1 \cdot T_4}$
- D) $T_2 = \sqrt{T_1 \cdot T_4}$

489. 1982I.

Wykresy izoterni dwóch gazów o różnych temperaturach pokrywają się. Gazy te muszą różnić się:

- A) masą
- B) ilością cząsteczek
- C) masą cząsteczkową
- D) gęstością

490. 1981F

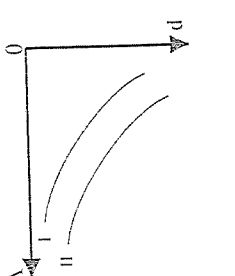
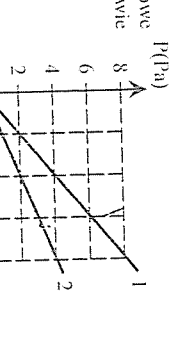
W naczyniu o objętości V znajduje się niewielka ilość helu, który w wyniku ogrzania zmienił swoją temperaturę od T_1 do T_2 , spowodowało to wzrost ciśnienia:

- A) T_1 / T_2 – krotny
- B) T_2 / T_1 – krotny
- C) $(T_2 - T_1) / T_2$ – krotny
- D) $(T_1 - T_2) / T_1$ – krotny

491.

Podczas ogrzewania pewnej masy gazu doskonalego o $\Delta T=2\text{K}$, przy stałym ciśnieniu jego objętość wzrosła o $1/200$ wartości początkowej. Temperatura początkowa gazu wynosiła:

- A) 400°C
- B) 400K
- C) 200K
- D) 127°C
- E) poprawne są odpowiedzi B i D



*H) P*₂*T*₂ - *J*₂*T*₂ - *I*₂*T*₂ - *G*₂*T*₂ - *E*₂*T*₂ - *D*₂*T*₂ - *C*₂*T*₂ - *B*₂*T*₂ - *A*₂*T*₂

Fizyka dla kandydatów

492. 1982/*I*

Wykres przedstawia przeniany izobaryczne tego samego gazu, przeprowadzone przy dwóch różnych ciśnieniach. Jaki jest stosunek ciśnienia gazu poddanego przenianiu a i b:

- A) $p_b : p_a = 5 : 3$
 B) $p_b : p_a = 8 : 5$
 C) $p_b : p_a = 2 : 5$
 D) $p_b : p_a = 2 : 1$

493. 1989/*I*

Wykres przedstawia zależność objętości gazu doskonalego od temperatury w przenianie izobarycznej. Przedłużenie prostej na wykresie przebiega oś temperatury w punkcie:

- A) 0°C
 B) 0 K
 C) 273 K
 D) -273,17°C

494. 1988/*I*

Po przeprowadzeniu gazu ze stanu K do L (rys.) jego gęstość:

- A) wzrosła dwukrotnie
 B) nie zmieniła się
 C) zmalała dwukrotnie
 D) zmalała czterokrotnie

495. 1999/*I*

W układzie współrzędnych: ciśnienie ρ i temperatura T zaznaczono cztery stany 1 molu gazu doskonalego (rys.). Gáz ten zajmuje największą objętość w stanie:

- A) I
 B) II
 C) III
 D) IV

496. 1986/*I*

Rysunek przedstawia wykres przenian gazu doskonalego przy stałej objętości. Masa gazu była największa w stanie:

- A) a
 B) b
 C) c
 D) d

497. 1985/*I*

Współrzędne punktów M i N określają dwa stany tej samej masy gazu. Ciśnienie p i gęstość ρ w tych stanach spełniają zależność:

- A) $p_N < p_M$
 B) $p_N < p_M$
 C) $p_N > p_M$
 D) $p_N > p_M$

498. 1982/*I*

Wykres przedstawia przeniany izobaryczny gazu doskonalego, który ten cyylinder, dzielący ten cyylinder na dwie części. W jednej z nich znajduje się $m_1 = 4$ g wodoru, w drugiej $m_2 = 18$ g tlenu. Objętości zajmowane przez te gazy i ciśnienia panujące w obu częściami cylindra wynoszą:

- A) $V_{H_2} = V_{O_2}$ oraz $p_{H_2} = p_{O_2}$
 B) $V_{H_2} > V_{O_2}$ oraz $p_{H_2} > p_{O_2}$
 C) $V_{H_2} < V_{O_2}$ oraz $p_{H_2} < p_{O_2}$
 D) $V_{H_2} > V_{O_2}$ oraz $p_{H_2} = p_{O_2}$

499. 1983/*I*

Gaz doskonaly w naczyniu o stałej objętości wywiera w temperaturze $t_1 = 127^\circ\text{C}$ ciśnienie $4 \cdot 10^5 \text{ N/m}^2$. Ciśnienie gazu w temperaturze niższej o 100 K wyniesie :

- A) $3 \cdot 10^5 \text{ Pa}$
 B) $2 \cdot 10^5 \text{ Pa}$
 C) $4 \cdot 10^5 \text{ Pa}$
 D) 10^6 Pa

500. 1983/*I*

Pewna masa gazu doskonalego, będąca początkowo w stanie K (rys.) podzieliła następnie stan L. Temperatura gazu w stanie L, w porównaniu z temperaturą w stanie K jest:

- A) niezmieniona
 B) dwukrotnie i połowicznie wyższa
 C) osiemkrotnie wyższa
 D) szesnastokrotnie wyższa

501. 1984/*I*

Kolba o pojemności 4 dm^3 zawiera powietrze o temperaturze 127°C . Jeżeli kolbe zamknie się wodzie o temperaturze 27°C , to do kolby wpłyne około:

- A) $0,8 \text{ dm}^3$ wody
 B) 1 dm^3 wody
 C) 3 dm^3 wody
 D) $3,2 \text{ dm}^3$ wody

502. 1989/*I*

Weźmiemy zamkniętego cylindra znajdujące się w stanie równowagi gaz zamknięty tlokiem. Objętość gazu wynosi $V = 4 \cdot 10^{-3} \text{ m}^3$, ciśnienie zewnętrzne wynosi $p = 1 \cdot 10^5 \text{ Pa}$, a pole powierzchni tloka $S = 10^{-2} \text{ m}^2$. Po izotermicznym zmniejszeniu objętości gazu do wartości 0,8 objętości początkowej sila utrzymująca tlok musi wynieść:

- A) $0,5 \cdot 10^3 \text{ N}$
 B) $0,25 \cdot 10^1 \text{ N}$
 C) $1 \cdot 10^{-1} \text{ N}$
 D) $1,25 \cdot 10^5 \text{ N}$

503. 1989/*I*

Wewnątrz zamkniętego cylindra znajduje się ruchomy tlok, dzielący ten cylinder na dwie części. W jednej z nich znajduje się $m_1 = 4$ g wodoru, w drugiej $m_2 = 18$ g tlenu. Objętości zajmowane przez te gazy i ciśnienia panujące w obu częściami cylindra wynoszą:

- A) $V_{H_2} = V_{O_2}$ oraz $p_{H_2} = p_{O_2}$
 B) $V_{H_2} > V_{O_2}$ oraz $p_{H_2} > p_{O_2}$
 C) $V_{H_2} < V_{O_2}$ oraz $p_{H_2} < p_{O_2}$
 D) $V_{H_2} > V_{O_2}$ oraz $p_{H_2} = p_{O_2}$

504. 1986/*I*

Gaz doskonaly przeprowadzono ze stanu A do stanu B, dwoma sposobami: AB i ACB. Temperatury T_A , T_B , T_C spełniają relację:

- A) $T_A T_B = T_C T_H$
 B) $T_A = T_B = T_C$
 C) $T_A T_H = 4 T_C T_H$
 D) $T_A = 4 T_B = 2 T_C$

505. 1989/*I*

Porównując gestość d_1 i d_2 danego gazu w temperaturze $t_1 = 20 \text{ stopni C}$ i $t_2 = 100 \text{ stopni C}$, przy takim samym jego ciśnieniu, otrzymujemy:

- A) $\frac{d_2}{d_1} = 1,27$
 B) $\frac{d_2}{d_1} = 5$
 C) $\frac{d_1}{d_2} = 1,27$
 D) $\frac{d_1}{d_2} = 5$

506. 1986/*I*

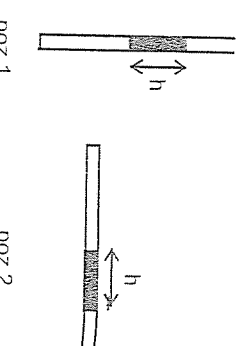
Gaz doskonaly przeprowadzono ze stanu A do stanu B, dwoma sposobami: AB i ACB. Temperatury T_A , T_B , T_C spełniają relację:

- A) $T_A T_B = T_C T_H$
 B) $T_A = T_B = T_C$
 C) $T_A T_H = 4 T_C T_H$
 D) $T_A = 4 T_B = 2 T_C$

505.

Gaz doskonaly zanikny jest slupkiem cieczy o wysokosci h (poz. 1). Zmientajac bardzo wolno położenie rurki do poz. 2 objętość gazu zmienia się o 0,1 objętości początkowej. Jeżeli ciśnienie atmosferyczne wynosi 760 mmHg, to ciśnienie hydrostatyczne słupka cieczy jest równe:

- A) 760 mmHg
B) 836 mmHg
C) 83,6 mmHg
D) 76 mmHg

**506.** 1983/l.

Wykres przedstawia zależność objętości od temperatury przy różnych ciśnieniach jednorakowych nas gazu doskonalego. Stosunek ciśnien p_1/p_2 tych gazów wynosi:

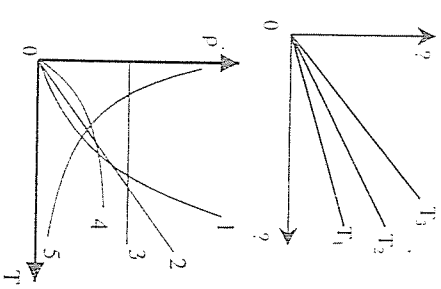
- A) 2,5
B) 2,0
C) 0,5
D) 0,4

507. 1984/l.

Wykresy przedstawiały izotermiczną gazu doskonalego przedstawione na rysunku, sporządzono w układzie współrzędnych:

- A) $p \propto V$
B) $V \propto p$
C) $p \propto T$
D) $V \propto T$

508. Wykresy przedstawiały gaz doskonalego w przemianie izobarycznym, jeżeli temperatura powietrza wzrosła do:
A) parabola 1
B) prosta 2
C) prosta 3
D) parabola 4
E) hiperbola 5

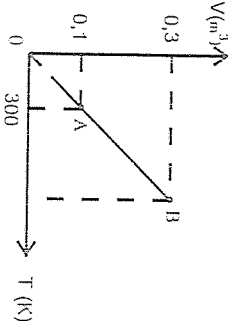


509. Wykresy przedstawiały gaz doskonalego w przemianie izochorycznej (rys.). Gęstość gazu w punktach 1 i 2 spełniają warunek:

- A) $p_1 = 2p_2$
B) $p_1 = p_2$
C) $p_1 = 0,5p_2$
D) $p_1 < p_2$

510. Gaz doskonaly poddano przemianie A-B. Temperatura gazu wzrosła o:

- A) 300 K
B) 600 K
C) 900 K
D) 327 K

**511.**

Gaz doskonaly rozpręga się izotermicznie w taki sposób, że $p_1/p_2 = 2$. Stosunki V_1/V_2 i T_1/T_2 spełniają relacje:

$$\frac{V_1}{V_2} = \frac{T_1}{T_2}$$

$$\frac{V_1}{V_2} = \frac{1}{2}$$

$$\frac{T_1}{T_2} = \frac{1}{2}$$

$$\frac{T_1}{T_2} = 2$$

512. 1997/l.

Cisnienie powietrza o temperaturze początkowej 27°C zwiększy się trzykrotnie w przemianie izochorycznej, jeżeli temperatura powietrza wzrosła do:

- A) 54°C
B) 81°C
C) 627°C
D) 900°C

513. 1980/l.

Aby objętość powietrza o temperaturze początkowej 30 stopni C podwoiła się izobarycznie, należy ogrzać gaz do temperatury:

- A) 606 K
B) 540 K
C) 60 K
D) 54 K

514. 1980/l.

Aby cisnienie powietrza o temperaturze początkowej -23 stopnie C podwoiło się izochorycznie, należy ogzać gaz do temperatury:

- A) 23 stopnie C
B) 230 K
C) 500 K
D) 500 stopni C

515. 1993/l.

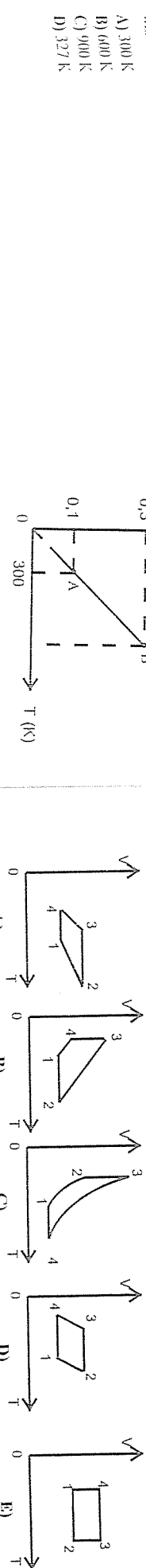
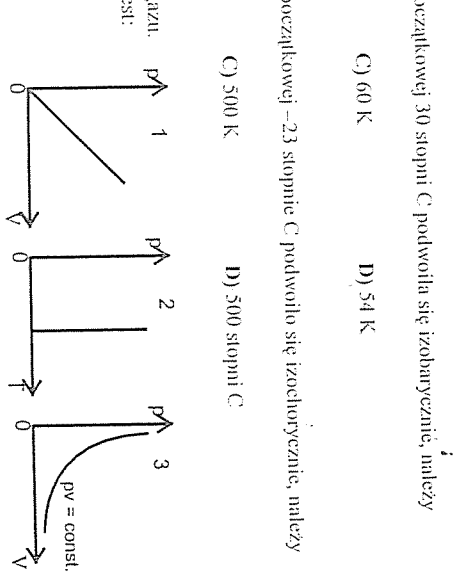
Wykresy przedstawiają przemiany gazu.

Przemiana izotermiczna przedstawiona jest:

- A) na wszystkich wykresach
B) tylko na wykresach 1 i 2
C) tylko na wykresach 2 i 3
D) tylko na wykresach 1 i 3
E) tylko na wykresie 2

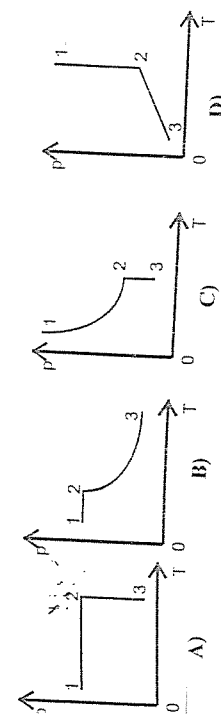
516. 1994/l.

Wykresy przedstawione na rysunku ciąg przemian termodynamicznych, w układzie współrzędnych T , V ilustruje wykres:



517. 1997/I.

Na wykresie obok przedstawiono zależność ciśnienia pewnej stałej masy gazu od jego objętości. Zależność ciśnienia tego gazu od temperatury prawidłowo przedstawią wykres:

**518.** 1996/I.

W pionowo ustawionej rurce znajduje się słupek powietrza zamknięty kropką nęci. W temperaturze 127°C długość słupka powietrza wynosi 1. Po oziębieniu o 100°C długość słupka powietrza będzie równa:

- A) 0,21 I B) 0,40 I C) 0,55 I D) 0,75 I

519. 1995/I.

Stała masa gazu została poddana przemianom przedstawionym na wykresie. Objętość gazu była najmniejsza:

- A) w stanie A
B) w stanie B
C) w stanie C
D) w stanie D

520. 1994/I.

Na rysunku przedstawiono wykresy przenian gazu doskonalego. Przemiana izochoryczna jest przedstawiona:

- A) tylko na wykresie 1
B) tylko na wykresie 2
C) tylko na wykresach 1 i 2
D) tylko na wykresach 1 i 3
E) na wszystkich wykresach

521. 1995/I.

Pęcherzyk powietrza znajduje się w zbiorniku z wodą na głębokości 1 m (temperatura wody jest jednakowa w całym zbiorniku, a gęstość wody jest równa 1000 kg/m^3). Po wypłynięciu pęcherzyka pod powierzchnię wody ciśnienie gazu wewnętrz pęcherzyka:

- A) zmniejszyło się o 1 kPa

- B) zwiększyło się o 1 kPa

522. 1992-94/MIS MaP

W naczyniu z leolem zaszła reakcja, w której 6% tlenu zostało zainiagnione na ozon, a temperatura pozostała nie zmieniona. Ciśnienie w naczyniu, przy zachowaniu stałej objętości:

- A) wzrost o 6% B) wzrost o 2% C) zmniejszo o 2% D) zmniejszo o 6%

523. 1997/I.

Podezysułatwia iloka w naczyniu wypełnionym gazem połowa cząsteczek gazu uciekła w wyniku nieszeznośności, jeżeli objętość części naczynia z gazem zmalała dwa razy, to ciśnienie gazu (temperatura gazu stała):

- A) nie zmieni się

- B) wzrosło 2 razy

- C) zmniejszo 2 razy

- D) zmniejszo 4 razy

8. ILLASADA TERMODYNAMIKI**524.** 1981/II/F

Pociąg o masie 30 g mając prędkość 144 km/h wbił się w drzewo. Ciepło wydzielone przy hamowaniu pocisku wynosiło:

- A) 0,5 J B) 24 J C) $4 \cdot 10^3 \text{ J}$ D) $3 \cdot 10^5 \text{ J}$

525. 1995/MIS MaP

Dwa kawałki żelaza o różnych masach spadły z tej samej wysokości w próżni. Z zakładając, że przy uderzeniu o podłożo energia mechaniczna przekształciła się całkowicie w ich energię wewnętrzną, możemy stwierdzić, że temperatura:

- A) jednakowo wzrosła w każdym z nich
B) bardziej wzrosła w kawałku o większej masie
C) bardziej wzrosła w kawałku o mniejszej masie
D) obu kawałków nie zmieniła się

526.

Młot parowy o masie 4 t uderza z prędkością 3 m/s w żelazną płytę o masie 6 kg i ciepło właściwe c i 500 J/kg K . Jeżeli 80% energii wydzielonej przy uderzeniu młota zostaje zużyte na ogrzewanie płyty, to podczas jednego uderzenia płytę ogrzije się o:

- A) 1,6 K B) 2,4 K C) 3,6 K D) 4,8 K

527.

Metoda kroplówka w czasie T przelacza się płyn infuzyjny o masie m. Płyn ma ciepło właściwe c i temperaturę t, niższą od temperatury pacjenta, która wynosi 37°C . Moc zużytą przez organizm na ogrzanie wtórczonego płynu określa zależność:

- A) $P = m c t T$ B) $P = m c (37^\circ - t) T$ C) $P = m c (37^\circ - t)/T$ D) $P = m c t / T$

528.

Podezysułatwia, pacjentowi podawano krew o temperaturze 20°C w ilości 10^{-5} kg na sekundę; ciepło właściwe krwi jest równe $4 \cdot 10^3 \frac{\text{J}}{\text{kg K}}$. Ciepło potrzebne organizmowi pacjenta dla utrzymania temperatury ciała w normie wynosiło około:

- A) 0,64 J/s B) 0,80 J/s C) 1,00 J/s D) 1,44 J/s

529. 1995/MIS MaP

Bilans energetyczny samochodu jest następujący: 25% energii uzyskanej ze spalenia benzyny zanieniane jest na energię związaną z ruchem pojazdu (w tym rozpedzanie po zahamowaniu, opór powietrza, straty w skrzyni biegów i mechanicznie różnicowym, urządzeniu elektrycznemu, silniku), 35% energii jest wydalane ze spalinami, 20% jest oddawane czynnikiowi chłodzencu silnika i 20% jest tracone jako promieniowanie. Oznacza to, że jeżeli samochód jedzie po torze poziomym, to ciepło oddane do otoczenia wynosi w ostatecznym rozrachunku:

- A) 35% B) 55% C) 75% D) 100% energii uzyskanej ze spalenia benzyny

530. 1992-94/MIS MaP

Dwa identyczne ciała, z których jedno leży na poziomej płaszczyźnie (1) a drugie jest zawieszone (2) (rys.). Podgrzany dostarczając jednakowe ilości energii. Straty ciepła przy ogrzewaniu zaniedbujemy. Przy założeniu pełnej izolacji termicznej obu ciał od otoczenia, końcowa temperatura ciała (1) jest:

- A) niższa niż ciała (2)
B) taka sama jak ciała (2)
C) wyższa niż ciała (2)
D) zależy od materiału, z którego je wykonano



531.

Ciało o masie $m=2\text{kg}$ nadano prędkość $36 \frac{\text{km}}{\text{h}}$. Siła tarcia mniejsza prędkości ciała o połowę na drodze $s=100\text{m}$. Przyrost energii wewnętrznej układu wynosi:

- A) 100J B) -12296J C) -75J D) 75J E) 1296J

532. 1988/l.

Wóz o masie $2,5\text{ kg}$ i ciepło właściwym $4 \cdot 10^3 \text{ J/kgK}$ ogrzany przy pomocy palnika gazowego od 10°C do 100°C w ciągu 10 min . Jeżeli woda otrzymała całe wydzielone ciepło, to moc palnika była równa:

- A) 150 W B) 900 W C) 1500 W D) 9000 W

533. 1989/l.

Wykres przedstawia zależność temperatury 1 kg cieczy od czasu jej ogrzewania zamknięta w niej grzałką o mocy 10 W ; przy czym ciepło dostarczane przez grzałkę idzie na ogrzewanie cieczy. Ciepło właściwe tej cieczy jest równe:

- C) 300 J/kg K
D) 240 J/kg K

534. 1980/l.

Słosunek ciepła molowego $C_p : C_v$

- A) jest równy stałej gazowej
B) jest równy stosunkowi ciepła właściwego gazu pod stałym ciśnieniem do ciepła właściwego tego gazu w stałej objętości $C_p : C_v = c_p : c_v$
C) jest równy $1,3$ lub $1,4$ albo $1,7$ - w zależności od liczby atomów tworzących cząsteczki gazu
D) jest równy $1,3$; $1,4$ lub $1,7$ - w zależności od wartościowej gazu

535. 1982/l.

Ciepło molowe gazu zależy od:

- A) rotacji procesu, podczas którego jest on ogrzewany lub oziębiany i liczby atomów w cząstecce
B) temperatury gazu i warunków, w których jest ogrzewany lub oziębiany
C) gęstości i temperatury
D) masy gazu i ciśnienia, pod którym się on znajduje

536. 1999/l.

Podczas przejścia danej masy gazu doskonałego ze stanu 1 do stanu 2 (tys.) energia wewnętrzna gazu wzrosła:

- A) zwykłe
B) elektryczne
C) szczerokonie
D) dwunastoekonomiczne

537. 1978/l.

Nieprawidł jest, że ciepło molowe:

- A) jest równe (lżej) niż ciepło właściwe i masy molowej substancji
B) jest równe ilorazowi ciepła właściwego i masy molowej substancji
C) jest zależne od sposobu ogrzania substancji
D) jest niezależne od stanu skupienia substancji

538. 1989/l.

Układ pobrał ciepło równe 2000 J i wykonał pracę 500 J . Zmiana jego energii wewnętrznej wynosiła:

- A) 2500 J B) 2000 J C) 1500 J D) 500 J

539. 1997/l.

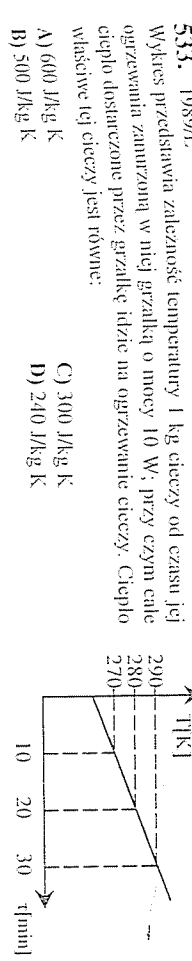
Jeżeli w pewnym procesie wykonano nad gazem (zamkniętym w naczyniu) pracę 300 J , a jednocześnie gaz wyonieli z otoczeniem 80 J ciepła, to zmiana jego energii wewnętrznej wynosiła:

- A) $\Delta U = 380\text{ J}$ lub $\Delta U = 220\text{ J}$
B) $\Delta U = 380\text{ J}$ lub $\Delta U = 80\text{ J}$
C) $\Delta U = 300\text{ J}$ lub $\Delta U = 80\text{ J}$
D) $\Delta U = 80\text{ J}$ lub $\Delta U = 220\text{ J}$

540. 1998/l.

Podeczas przemiany pokazanej na wykresie gaz pobrał ciepło $Q=5 \cdot 10^3\text{ J}$. Energia wewnętrzna gazu zmieniła się o:

- A) $2 \cdot 10^3\text{ J}$ C) $5 \cdot 10^3\text{ J}$
B) $3 \cdot 10^3\text{ J}$ D) $8 \cdot 10^3\text{ J}$



541.

Gaz w cylindrze sprężono, działając na tłok silą $F=5\text{ N}$ i przesuwając go o 10 cm^3 . Jeśli w wyniku sprężania energia wewnętrzna gazu nie zmieniła się, to w czasie sprężania gaz przekazał do otoczenia ciepło w ilości równej:

- A) $0,5\text{ J}$ B) 50 J C) $0,5\text{ cal}$ D) 50 cal

542.

W naczyniu (tys.) pod nieważkim tlokiem znajduje się gaz doskonaly. Rozprężając się przy stałym ciśnieniu gaz wykonał pracę 100 J , pobierając z otoczenia 500 J ciepła. Prawdziwe jest, że energia wewnętrzna gazu:

- A) nie uległa zmianie C) wzrosła o 600 J
B) zmalała o 400 J D) wzrosła o 400 J

543. 1980/l.

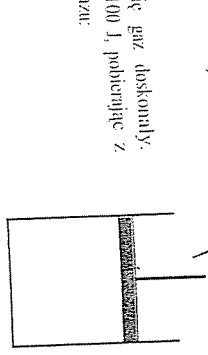
Pierwsza zasada termodynamiki, zapisana w postaci: $\Delta U = W + Q$ przy czym $W < 0$, odnosi się:

- A) do adiabatycznego sprężania gazu C) do izotermicznego rozprężania gazu
B) do adiabatycznego rozprężania gazu D) do izotermicznego sprężania gazu

544. 1990/l.

Wykres przedstawia przemiany termodynamiczne pewnego gazu. Praca wykonana przez ten gazu była:

- A) największa w przejściu K
B) największa w przejściu LM
C) największa w przejściu MN
D) taka sama w każdej z tych przejść



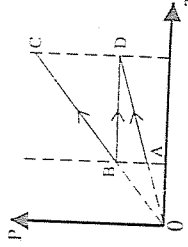
545. 1980/l.

Gaz doskonaly ogrzany dostarczało ciepła Q . Temperatura bezwzględna wzrosła wskutek tego od wartości 1 do $3T$, a ciśnienie od wartości p do $3p$. Przyrost energii wewnętrznej gazu jest równy:

- A) 3Q B) 0 C) Q D) brak poprawnej odpowiedzi

- 546.** 1995/MIS Mał
O przyrostach energii wewnętrznej jednakoowych masy gazu doskonałego w przejściach: AD, BD i BC przedstawionych na wykresie można powiedzieć, że:
 A) największy był w przejściu AD
 B) największy był w przejściu BD
 C) największy był w przejściu BC
 D) we wszystkich przejściach był jednakoły

547. 1992-94/MIS Mał
Rozważany dwa ciała A i B o energiach wewnętrznych U_1 i U_2 , oraz temperaturach T_1 i T_2 . Jeżeli U_1 jest większe od U_2 , to:
 A) T_1 jest większe od T_2 ,
 B) T_1 jest mniejsze od T_2



- 548.** 1998/L
Wzór $AU = Q + W$ wyraża I zasadę termodynamiki (U – energia wewnętrzna; Q – ciepło wymienione z otoczeniem; W – praca wykonana przez układ lub nad układem). W przemianie adiabatycznej gazu:
 A) Q jest dodatnie, a AU ujemne
 B) Q jest równe zero, a AU może być dodatnie lub ujemne
 C) AU jest równe zero, a Q może być dodatnie lub ujemne
 D) AU jest dodatnie, a Q jest ujemne

- 549.** 1998/L
Jeden mol gazu jednorodowego ogrzano przy stałym ciśnieniu o 1 K. Ciepło dostarczone Q , praca W , jaką wykonał gaz, oraz przyrost energii wewnętrznej AU wynoszą odpowiednio: (R - stała gazowa)
- | Q | W | AU |
|-------------------|----------------|----------------|
| A) $\frac{3}{2}R$ | $\frac{3}{2}R$ | 0 |
| B) $\frac{5}{2}R$ | R | $\frac{3}{2}R$ |
| C) $\frac{3}{2}R$ | R | $0,5R$ |
| D) R | $\frac{3}{2}R$ | R |

- 550.** 1992-94/MIS Mał
Jeden mol gazu dwutonowego ogrzano o 1 K przy stałej objętości dostarczając ciepła Q_1 . Ogrzewając w tych samych warunkach gaz jednoatomowy dostarczono ciepła Q_2 o wartości:
 A) $Q_2 = Q_1$
 B) $2Q_2 = 5Q_1$
 C) $5Q_2 = 3Q_1$
 D) $5Q_2 = 20Q_1$

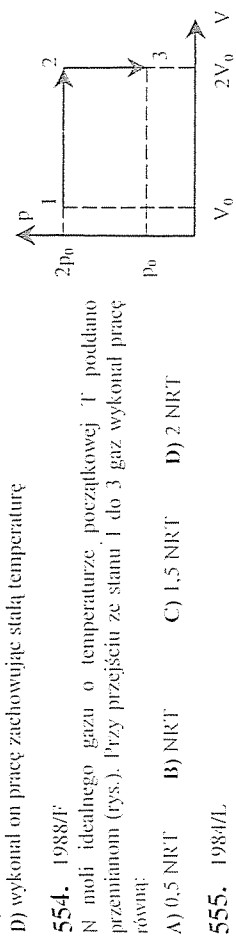
- 551.** 1992-94/MIS Mał
W przejściu zochorycznego gazu doskonałego:

- A) praca wykonana gazem roboczym
 B) praca trzeba wykonać nad gazem roboczym
 C) wykonana praca jest równa zero
 D) wykonana praca jest nieskończona

- 552.** 1996/L
Z przedstawionego wykresu przemian gazu doskonałego wynika, że energia wewnętrzna gazu:

- A) rośnie w przejściu $1 \rightarrow 2$
 B) nie zmienia się w zadaniu $3 \rightarrow 4$
 C) rośnie w przejściu $3 \rightarrow 4$
 D) zmienia się w każdej przedstawionej przejściu

553. 1995/MIS Mał
Gaz doskonaly pobral pewną ilość ciepła nie zmieniając swojej energii wewnętrznej. Pozwala to stwierdzić, że:
 A) wzrosła jego temperatura
 B) wzrosła jego temperatura i wykonal on pracę
 C) wykonal on pracę, przy czym jego temperatura zmalała
 D) wykonal on pracę zachowując stałą temperaturę



554. 1988/F

N moli idealnego gazu o temperaturze poczatkowej T poddano przenianom (rys.). Przy przejściu ze stanu 1 do 3 gaz wykonał pracę równą:
 A) 0,5 NRT
 B) NRT
 C) 1,5 NRT
 D) 2 NRT

555. 1984/L

Równania dotyczące procesów odpowiadają:

- I. $\Delta Q = -\Delta W$
 II. $\Delta Q = \Delta U$
 III. $\Delta Q = \Delta U + p\Delta V$
 A) I – izochorycznego, II – izobarycznego,
 B) I – izochorycznego, II – izobarycznego,
 C) I – izobarycznego, II – adiabatycznego,
 D) I – izotermicznego, II – izochorycznego,

556. 1985/L

Równanie przedstawiające I zasadę termodynamiczną:

- $$AU = Q + W, \quad \text{w którym } AU > 0, \quad Q > 0 \quad \text{i} \quad W < 0$$
- dedykuje:
- A) ogrzewania gazu w procesie izobarycznym
 B) ogrzewania gazu w procesie izotermicznym

557. 1986/F

Gaz zamknięty tłokiem w cylindrze sprężono wykonując nad nim pracę W tak, że nastąpiła zmiana jego energii wewnętrznej o ΔU . Jeżeli $\Delta U - W \leq 0$, to zgodnie z I zasadą termodynamiczną:
 A) $Q = 0$
 B) $Q \geq 0$
 C) $Q \leq 0$
 D) $Q < 0$

558. 1988/L

Gaz idealny przechodząc ze stanu 1 do stanu 2 pobiera ilość ciepła określona wyrażeniem:

- A) pV
 B) $\frac{3}{4}pV$
 C) $\frac{1}{2}pV$
 D) zero

559. 1979/L

W wyniku izochorycznego ogrzania 2 molii gazu ($c_v \approx 20 \text{ J/mol K}$) jego temperatura wzrosła o 6 K. Praca wykonana przez gaz w czasie ogrzewania wynosiła:
 A) 0 J
 B) około 16 J
 C) 96 J
 D) około 240 J

560. 1989/L

Jeden mol gazu doskonałego rozprężając się izobarycznie pobrал 1000 J ciepła i wykonał pracę 600 J. Zmiana energii wewnętrznej wyniosła:
 A) 1600 J
 B) 1000 J
 C) 600 J
 D) 400 J

561. 1988/M

Wykres na rysunku opisuje rozprężanie izotermiczne N moli gazu doskonałego. Ilość ciepła $Q_{1,2}$ oraz $Q_{2,3}$ pobranego przez gaz przy przejściu ze stanu 1 do 2 oraz ze stanu 2 do 3 spełniają warunek:

- A) $Q_{1,2} = Q_{2,3} = 0$
 C) $Q_{1,2} < Q_{2,3}$
 D) $Q_{1,2} > Q_{2,3}$
 E) tylko w przemianie 2 — 3

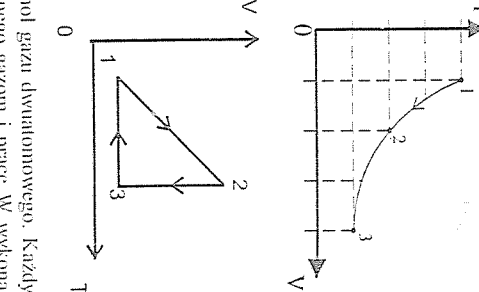
Wykres przedstawia cykl przemian gazu doskonałego; gaz pobiera ciepło z otoczenia:

- A) we wszystkich przemianach
 B) w przemianach 1 — 2 oraz 2 — 3
 C) w przemianach 1 — 2
 D) tylko w przemianie 1 — 2
 E) tylko w przemianie 2 — 3

562. 1990/I

Wyciąganie tloku z zamkniętego cylindrycznego naczynia. Wyciąganie tloku, a ciśnienie spadło do pewnej wartości. Czy wynik doświadczenia zależy od szybkości wyciągania tloku?

- A) nie zależy
 B) tak, zależy od szybkości wyciągania tloku i ciśnienia początkowego
 C) tak, gdyż przy gwałtownym wyciąganiu tloku many do czynienia z przemianą adiabatyczną
 D) tak, gdyż przy powolnym wyciąganiu tloku będzie zachodzić przemiana izotermiczna
 E) poprawne są odpowiedzi C i D

**563.** 1987/I

W naczyniu A znajduje się 1 mol gazu jednoatomowego, w B — 1 mol gazu dwuatomowego. Każdy z nich ogrzany o 1 K pod stałym ciśnieniem. Ilość ciepła Q dostarczonego gazom i pracę W wykonane przez gazy w obu naczyniach spełniają zależność:

- A) $Q_A = Q_B$
 B) $Q_A < Q_B$
 C) $Q_A < Q_B$
 D) $Q_A = Q_B$

564. 1982/I

Przy zamkniętym wylocie strzykawki, gwałtownie przesuwany tłoczek spręga zawarte w niej powietrze.

Proces fizyczny zachodzący w strzykawce podają poprawnie zapisy:

- A) $Q < 0$,
 W > 0,
 $\Delta U > 0$
 B) $Q > 0$,
 W < 0,
 $\Delta U < 0$
 C) $Q > 0$,
 W > 0,
 $\Delta U > 0$
 D) $Q = 0$,

565. 1985/I

Gaz doskonały o stałej masie rozpręga się adiabatycznie od objętości V_1 do $V_2 = 3 V_1$. Między temperaturami i cieplarniami końcowymi i początkowymi tego gazu zachodzi związek:

- A) $T_2 = T_1$; $p_2 < p_1 / 3$
 B) $T_2 < T_1$; $p_2 < p_1 / 3$
 C) $T_2 = T_1$; $p_2 = p_1 / 3$
 D) $T_2 < T_1$; $p_2 = p_1 / 3$

Wykres przedstawia cykl przemian gazu doskonałego:

- A) gaz nie pobiera ciepła z otoczenia
 B) gaz pobierany przez gaz ciepła zmienia się w energię wewnętrzną, a część w pracę
 C) ciepło pobrane przez gaz zwiększa jego energię wewnętrzną
 D) gaz wykonyuje pracę kosztem energii wewnętrznej

- E) gaz wykonyuje pracę kosztem energii wewnętrznej

567. 1988/I

Energia wewnętrzna stałej masy gazu nie ulega zmianie w przemianie:

- A) izochorycznej
 B) izotermicznej
 C) adiabatycznej
 D) izobarycznej

568.

Ruchomy tlok zamknięty gazu w cylindrycznym naczyniu. Wyciąganie tloku zwiększeno n -krotnie objętość gazu, a ciśnienie spadło do pewnej wartości. Czy wynik doświadczenia zależy od szybkości wyciągania tloku?

- A) nie zależy
 B) tak, zależy od szybkości wyciągania tloku i ciśnienia początkowego
 C) tak, gdyż przy gwałtownym wyciąganiu tloku many do czynienia z przemianą adiabatyczną
 D) tak, gdyż przy powolnym wyciąganiu tloku będzie zachodzić przemiana izotermiczna
 E) poprawne są odpowiedzi C i D

569. 1995/MIS MaP

Największy spadek ciśnienia przy rozprężaniu danego gazu doskonałego od objętości 1 m^3 do objętości 2 m^3 nastąpi przy rozprężaniu:

- A) izobarycznym
 B) izochorycznym
 C) izotermicznym
 D) adiabatycznym
 E) przemianie adiabatycznej

570. 1992-94/MIS MaP

W przemianie adiabatycznej:

- A) wyniada ciepła z otoczeniem $\Delta Q = 0$ i zmienia energię wewnętrzną $\Delta U = 0$
 B) zmiana energii wewnętrznej $\Delta U = 0$ oraz wykonana praca $\Delta W = 0$
 C) wyniada ciepła z otoczeniem $\Delta Q = 0$ oraz wykonana praca $\Delta W = 0$
 D) zmiana energii wewnętrznej ΔU jest równa wykonanej pracy ΔW

571.

Gaz jednoatomowy zajmujący objętość V_1 pod ciśnieniem p_1 rozpręga się adiabatycznie do objętości V_2 i ciśnienia p_2 . Zależność między tymi wielkościami przedstawia wyrażenie:

- A) $p_1 V_1^{0.6} = p_2 V_2^{0.6}$
 B) $p_1 V_1^{1/7} = p_2 V_2^{1/7}$
 C) $V_1 p_1^{1/7} = V_2 p_2^{1/7}$
 D) $V_1 p_1 = V_2 p_2$
 E) $V_1 p_1 = V_2 p_2^{1/7}$

572. 1984/I

Wartość bezwzględna pracy wykonanej podczas rozprężania zmiany objętości gazu doskonałej ΔV została określona jako W_a , a wartość bezwzględna pracy podczas izotermicznej zmiany objętości o tą samą wielkość ΔV jako W_i . Jeżeli objętość początkowa V_0 jest we wszystkich przypadkach taka sama, to związek:

Spiężanie	Rozprężanie
A) $W_i > W_a$	$W_i > W_a$
B) $W_i > W_a$	$W_i < W_a$
C) $W_i < W_a$	$W_i < W_a$
D) $W_i < W_a$	$W_i > W_a$

573. 1991/I

Calkowita praca uzyskana w pełnym cyklu przemian termodynamicznych (rys) przedstawia wyrażenie:

- A) $(p_2 - p_1)(V_2^n - V_1^n)$
 B) $(p_1 - p_2)(V_2^n - V_1^n)$
 C) $p_1(V_2^n - V_1^n)$
 D) $p_2(V_2^n - V_1^n)$

W procesie izotermicznego rozprężania gazu doskonałego:

- A) gaz nie pobiera ciepła z otoczenia
 B) gaz pobierany przez gaz ciepła zmienia się w energię wewnętrzną, a część w pracę
 C) ciepło pobrane przez gaz zwiększa jego energię wewnętrzną
 D) gaz wykonyuje pracę kosztem energii wewnętrznej

- E) gaz wykonyuje pracę kosztem energii wewnętrznej

574.

Gaz doskonały zmniejsza swoją objętość dwukrotnie w procesie, w którym jego ciśnienie i objętość powiększa się prawem $P \propto V^n$, gdzie $n = \text{state}$, $0 < n < 1$. Temperatura gazu w tym procesie:

- A) maleje
B) nie zmienia się
C) rośnie
D) zależy od ilości dostarczonego ciepła

575.

W cyklu termodynamicznym przedstawionym na wykresie gaz doskonalej wykonal efektywną pracę (różnica prac wykonanych przez gaz i nad gazem) równą:

- A) 0 J
B) 100 J
C) 300 J
D) 600 J

576. 1991J.

Sprawność silnika Carnota wynosi 1/3. Temperatura grzejnika T_1 i temperatura chłodniczy T_2 spełniają zależność:

- A) $T_1 = 3T_2$
B) $T_1 = 3/2 T_2$
C) $3T_1 = T_2$
D) $3T_1 = 2T_2$

577. 1983J.

Sprawność miesnia człowieka wynosi około 40%. Sprawność idealnego silnika Carnota pracującego w tych samych warunkach byałaby:

- A) taka sama jak sprawność miesnia
B) znacznie większa od sprawności miesnia

- C) znacznie mniejsza od sprawności miesnia
D) równa sprawności silnika rzeczywistego

578. 1998J.

ile ciepła odda do chłodniczy silnik o sprawności 20%, jeżeli pobierze 10 kJ ciepła?

- A) 2 kJ
B) 8 kJ
C) 12 kJ
D) 50 kJ

579. 1988J.

Temperatura grzejnika w silniku Carnota jest 4 razy większa od temperatury chłodniczy. Jaka część pobranego z grzejnika ciepła zostaje przekazana chłodniczy:

- A) 1/4
B) 1/3
C) 1/2
D) 3/4

580.

Jaka jest temperatura chłodniczy idealnego silnika cieplnego, jeśli przy temperaturze źródła ciepła $t = 327^\circ\text{C}$, jego sprawność wynosi 50%?

- A) 27°C
B) 163°C

- C) 300°C

- D) $313,5^\circ\text{C}$

581.

Sprawność idealnego silnika cieplnego (Carnota) wynosi $3/4$. Stosunek ciepła pobranego ze źródła ciepła do ciepła oddanego chłodniczy wynosi:

- A) $\frac{3}{4}$
B) $\frac{4}{3}$
C) 4
D) 3
E) $\frac{1}{4}$

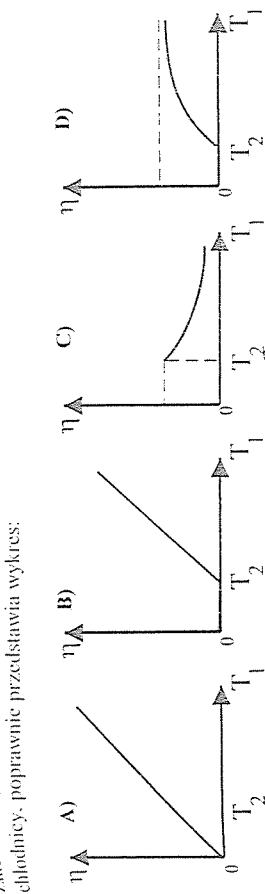
582.

Jeżeli temperatura źródła ciepła T_1 wzrośnie dwa razy, a temperatura chłodniczy T_2 nie zmieni się, to sprawność cyklu Carnota wzrosne o:

- A) $\frac{T_2}{T_1}$
B) $\frac{T_1}{T_2}$
C) $\frac{2T_2}{T_1}$
D) $\frac{T_2}{2T_1}$
E) $T_1 \cdot T_2$

583. 1989J.

Zależność sprawności silnika Carnota od temperatury T_1 grzejniczy, przy ustalonej temperaturze T_2 chłodniczy, poprawnie przedstawia wykres:



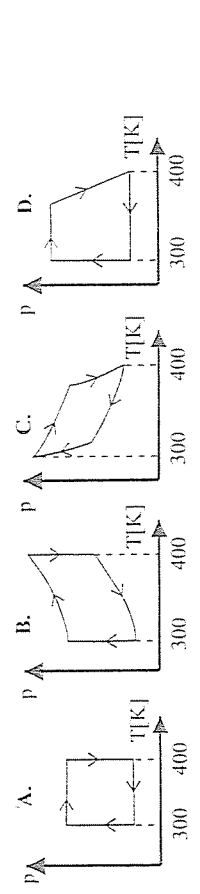
584.

Cykle przemian zachodzących w dwóch silnikach termodynamicznych przedstawiają wykres. W silniku x zachodzą przemiany wg cyklu ABCA, a w silniku y przemiany ADCA. Stosunek pracy wykonanych przez silniki w jednym cyklu wynosi:

- A) $W_x : W_y = 4 : 3$
B) $W_x : W_y = 3 : 2$
C) $W_x : W_y = 3 : 1$
D) $W_x : W_y = 2 : 1$

585.

Cykli Carnota we wspólnych p-V przedstawiały wykres:



586.

Sprawność silnika termodynamicznego, którego cykl przedstawiono w poprzednim zadaniu, wynosi około:

- A) 25 %
B) 33 1/3 %
C) 43 1/3 %
D) 50 %
E) 75 %
F) 100 %

587.

W silniku Carnota stosunek temperatury grzejnika do temperatury chłodniczy wynosi 4. Teoretyczna sprawność silnika jest równa:

- A) 75 %
B) 50 %
C) 25 %
D) 33 1/3 %
E) 1/3
F) 100 %

588.

Praca, jaką wykonał silnik z poprzedniego zadania, pobierając ciepło w ilości $2 \cdot 10^2 \text{ J}$, wynosi:

- A) $2 \cdot 10^2 \text{ J}$
B) 10^2 J
C) $1,5 \cdot 10^2 \text{ J}$
D) $8 \cdot 10^2 \text{ J}$

589.

Które spośród przemian określonych podanych równaniem sa wykorzystywane w silniku Carnota:

- a) $pV^k = \text{const}$
b) $pV = \text{const}$
c) $p/T = \text{const}$
d) $V/T = \text{const}$
e) $V^k = \text{const}$
f) $T^k = \text{const}$
g) a, b, d
h) tylko a
i) tylko c

590. 1990/F

Silnik Carnota, którego temperatura źródła wynosi 227°C , a temperatura chłodniczy 127°C , wykonał pracę równą 100 J. Ilość ciepła pobranego w tym czasie ze źródła jest równa:

- A) 500 J B) 400 J C) 200 J D) 100 J

591. 1995/l.

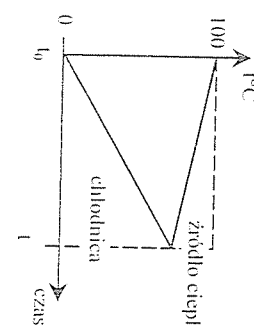
Jeżeli idealny silnik cieplny o sprawności $1/3$ przekazał chłodniczy 1200 kJ ciepła, to ilość ciepła pobranego z grzejnika była równa:

- A) 3600 kJ B) 1800 kJ C) 1600 kJ D) 800 kJ

592.

Na wykresie przedstawiono zmiany temperatur źródła ciepła i chłodniczy w czasie pracy silnika termodynamicznego. Na podstawie tego wykresu uczniowie stwierdzili, cztery wnioski - wskazane numerami:

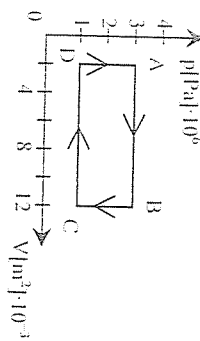
- A) w chwili t_0 sprawność silnika wynosiła 100 %
 B) w przedziałie czasu (t_0 , t) sprawność silnika nie była większa od 25%
 C) pojemność cieplna chłodniczy była mniejsza od pojemności cieplnej źródła ciepła
 D) chłodnica pobierała więcej ciepła w przedziale czasu (t_0 , t), niż oddała go źródło ciepła



593.

Na wykresie przedstawiony jest cykl przeniania termodynamicznych 0,5 mola gazu doskonałego. Wzrost energii wewnętrznzej układu następuje w przedziałach:

- A) AB i BC
 B) DA i CD
 C) BC i CD
 D) AB i DA



594.

Praca jaką wykonuje gaz podczas jednego cyklu (patrz poprzednie zadanie) wynosi:

- A) $1 \cdot 10^4 \text{ J}$ B) $3 \cdot 10^4 \text{ J}$ C) $2 \cdot 10^4 \text{ J}$ D) $4 \cdot 10^4 \text{ J}$ E) 0 J

595. 1995/MIS/Mal.

Silnik Carnota pracuje między temperaturami 400K i 300K . Jeżeli w jednym cyklu pobiera on ze zbiornika o wyższej temperaturze ciepło 800J , to moze w tym cyklu wykonać pracę równą:

- A) 200 J B) 400 J C) 600 J D) 800 J

596. 1994/l.

W identycznym słońku cieplnym o sprawności 20% różnica temperatur źródła ciepła i chłodniczy wynosi 100 K . Temperatura chłodniczy tego silnika jest równa:

- A) 100 K B) 200 K C) 300 K D) 400 K E) 500 K

597.

Do pomieszczenia, w którym panuje temperatura T_0 , odczulonego od otoczenia doskonalszym materiałem nie przepuszczającym ciepła, wstawiono i uruchomiono lodówkę. Po kilku godzinach pracy lodówka została wyłączona. Temperatura w pomieszczeniu (T_s) po ustaleniu się równowagi będzie:

- A) $T_s < T_0$ B) $T_s \leq T_0$ C) $T_s = T_0$ D) $T_s \geq T_0$ E) $T_s > T_0$

9. ZMIANY STANU SKUPIENIA CIAŁ

598. 1982/l.

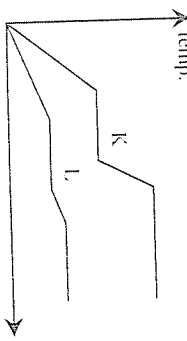
O stanie skupienia substancji decyduje:

- A) suma energii potencjalnej oddziaływanego cząsteczek i ich energii kinetycznych
 B) stosunek energii potencjalnej oddziaływanego cząsteczek do ich energii kinetycznej
 C) średnie odległości między cząsteczkowe
 D) liczba cząsteczek w jednostce objętości

UWAGA!

Poniższy tekst dotyczy zadania nr 599 i 600

Na wykresie przedstawiono zależność temperatury dwóch różnych ciał o jednakowych masach, od czasu ogrzewania, przy zachowaniu warunków niezbytowych dla pobierania przez oba ciała jednakowych ilości ciepła w tych samych odstępach czasu.



599. 1978/l.

Porównując wykresy możemy stwierdzić, że:

- A) ciała te mają jednakowe ciepła właściwe
 B) ciała te mają jednakowe temperatury topnienia
 C) ciała te wyparowują
 D) ciała te zostały doprowadzone do wrzenia

600. 1978/l.

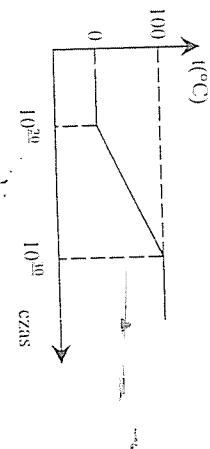
Ciepło topnienia substancji K jest:

- A) dwukrotnie mniejsze od ciepła topnienia substancji L.
 B) w przybliżeniu równe ciepłu topnienia substancji L.
 C) trzykrotnie mniejsze od ciepła topnienia substancji L.
 D) trzykrotnie większe od ciepła topnienia substancji L.

601. 1980/l.

Wykres przedstawia przebieg zmian temperatury $1 \text{ kg H}_2\text{O}$. Zauważając, że szybkość dostarczania ciepła jest jednakowa, niezależna od stanu skupienia, oraz wiedząc, że ciepło topnienia lodu jest w przybliżeniu 80 razy większe niż ciepło właściwe wody, można ustalić, że topnienie lodu rozpoczęło się:

- A) o godzinie 10^{99}
 B) o godzinie 10^{12}
 C) o godzinie 10^{20}
 D) o godzinie 10^{30}



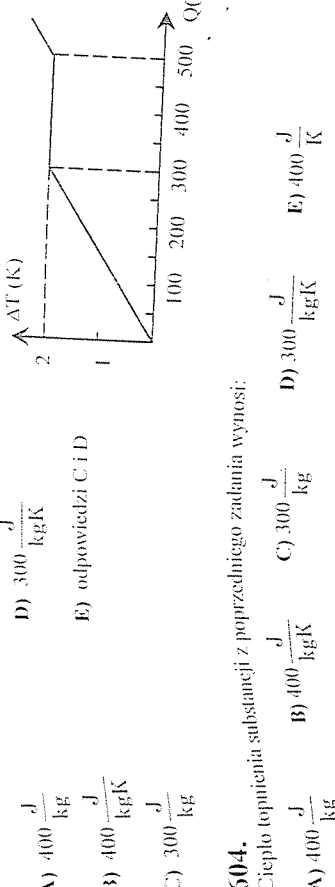
602. 1984/l.

Wykres przedstawiony na rysunku dotyczy topnienia 2 kg substancji. Ciepło topnienia tej substancji wynosi:

- A) $0,5 \cdot 10^8 \text{ J/kg}$
 B) $1 \cdot 10^3 \text{ J/kg}$
 C) $1,5 \cdot 10^5 \text{ J/kg}$
 D) $3 \cdot 10^5 \text{ J/kg}$

603.

Na rysunku przedstawiono zależność przyrostu temperatury pewnego ciała o mase $0,5\text{kg}$ od dostarczonego ciepła. Na podstawie wykresu możemy wnioskować, że ciepło właściwe ciała wynosi:



604. 1996/l.

Ciepło topienia substancji z poprzedniego zadania wynosi:

$$\begin{aligned} \text{A)} & 400 \frac{\text{J}}{\text{kg}} & \text{D)} & 300 \frac{\text{J}}{\text{kg}} \\ \text{B)} & 400 \frac{\text{J}}{\text{kg}} & \text{E)} & \text{odpowiedzi C i D} \\ \text{C)} & 300 \frac{\text{J}}{\text{kg}} & \text{F)} & 400 \frac{\text{J}}{\text{kg}} \end{aligned}$$

610. 1979/l. 1994/l.

W dwa ciała których stosunek mas wynosi $m_1 : m_2 = 4 : 3$, ogrzane tak, że stosunek przyrostów temperatury iliczących wynosiła 50°C :

$$\begin{aligned} \text{A)} & 2:1 & \text{B)} & 4:1 & \text{C)} & 6:1 \\ \text{D)} & 8:1 & \text{E)} & 10:1 \end{aligned}$$

609. 1979/l. 1994/l.

W dwa ciała których stosunek mas wynosi $m_1 : m_2 = 4 : 3$, ogrzane tak, że stosunek przyrostów temperatury iliczących wynosiła 50°C :

wynosi $\Delta t_1 : \Delta t_2 = 3 : 5$. Jeśli ciepło właściwe tych ciał spełnia warunek $c_1 : c_2 = 1 : 2$, to ilość ciepła Q_1 dostarczonego pierwszemu ciału i Q_2 - dostarczonego drugiemu ciału spełniają równanie:

$$\begin{aligned} \text{A)} & 5 Q_1 = 8 Q_2 & \text{B)} & 3 Q_1 = 5 Q_2 & \text{C)} & 5 Q_1 = 3 Q_2 \\ \text{D)} & 20 Q_1 = 3 Q_2 & \text{E)} & 20 Q_1 = 3 Q_2 \end{aligned}$$

611.

W dwa ciała których stosunek mas wynosi $m_1 : m_2 = 4 : 3$, ogrzane tak, że stosunek przyrostów temperatury iliczących wynosiła 50°C :

wynosi $\Delta t_1 : \Delta t_2 = 3 : 5$. Jeśli ciepło właściwe tych ciał spełnia warunek $c_1 : c_2 = 1 : 2$, to ilość ciepła Q_1 dostarczonego pierwszemu ciału i Q_2 - dostarczonego drugiemu ciału spełniają równanie:

wynosi $\Delta t_1 : \Delta t_2 = 3 : 5$. Jeśli ciepło właściwe tych ciał spełnia warunek $c_1 : c_2 = 1 : 2$, to ilość ciepła Q_1 dostarczonego pierwszemu ciału i Q_2 - dostarczonego drugiemu ciału spełniają równanie:

$$\begin{aligned} \text{A)} & c_1 t_1 - L/c_{w1} t_2 & \text{B)} & L/c_{w1} t_1 + L/c_{w2} t_2 & \text{C)} & c_1 t_1 + L/c_{w1} t_2 \\ \text{D)} & L/c_{w1} t_1 & \text{E)} & L/c_{w2} t_1 \end{aligned}$$

612. 1978/l.

Do wody o masie $m_1 = 1 \text{ kg}$ i temperaturze $t_1 = 50^\circ\text{C}$ dolano wodę o masie $m_2 = 0,5 \text{ kg}$. Jeśli temperatura końcową wody była zawarta w przedziale $40^\circ\text{C} < t_k < 50^\circ\text{C}$, to temperatura dolanej wody wynosiła:

$$\begin{aligned} \text{A)} & 10^\circ\text{C} < t_2 < 40^\circ\text{C} & \text{C)} & 20^\circ\text{C} < t_2 < 40^\circ\text{C} \\ \text{B)} & 0^\circ\text{C} < t_2 < 20^\circ\text{C} & \text{D)} & 20^\circ\text{C} < t_2 < 50^\circ\text{C} \end{aligned}$$

613. 1989/F.

Do kalorymetru zawierającego $0,3 \text{ kg}$ wody o temperaturze 30°C i ciepło właściwym $4 \cdot 10^3 \text{ J/kgK}$ wsypano lód o temperaturze 273K i ciepło topnienia $3 \cdot 10^5 \text{ J/kg}$. Jeżeli temperatura końcowa wynosiła 0°C , a pojemność cieplna kalorymetru była bliska零, to masa wsypanego lodu była w przybliżeniu równa:

$$\begin{aligned} \text{A)} & 1,2 \text{ kg} & \text{B)} & 0,6 \text{ kg} & \text{C)} & 0,22 \text{ kg} \\ \text{D)} & 0,12 \text{ kg} & \text{E)} & 0,12 \text{ kg} \end{aligned}$$

614. 1995/MIS Małp

Para parzy bardziej niż woda o tej samej temperaturze (np. para z wizowanej wody parzy dokładniej niż wizujące wodę). Jest to wynikiem tego, że:

A) para bardziej utrudnia patowanie potu z organizmu
B) para skrapla się oddając organizmowi ciepło wydzielające się przy skraplaniu
C) organizm traci wodę w wyniku patowania skóry
D) cząsteczki par wykonyują swobodniejsze ruchy i w zderzeniach sprzętych z organizmem przekazują mu więcej energii

615. Wykres przedstawia diagram fazowy dla wody. Przejście fazowe z punktu A do B związane jest z:

- A) topieniem
- B) resublimacją
- C) sublimacją
- D) parowaniem

616. 1986/F.

Ze wzrostem ciśnienia temperatura topnienia maleje:

- A) dla ciał, które zmniejszają objętość w procesie topnienia
- B) dla ciał, które zwiększały objętość w procesie topnienia
- C) dla wszystkich ciał
- D) jedynie dla wody

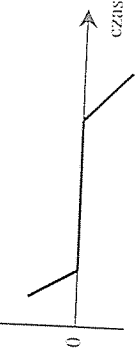
608. 1987/l.

Lód o masie m_1 i temperaturze $t_2 > 0^\circ\text{C}$. Jeśli c_1 i c_2 oraz L oznaczają odpowiednio ciepło właściwe lodu i wody oraz topnienia lodu, to cały lód topi się jeśli:

- A) $m_2 / m_1 > L / (c_2 t_2)$
- B) $m_2 / m_1 > c_1 t_1 / L$

607. Wykres jest graficzną ilustracją procesu:

- A) skroplenia pary
- B) wrzenia cieczy
- C) zmiany stanu skupienia dla ciała bezpostaciowego
- D) zmiany stanu skupienia dla wody
- E) poprawne są odpowiedzi C i D



609. 1979/l.

W dwa ciała których stosunek mas wynosi $m_1 : m_2 = 4 : 3$, ogrzane tak, że stosunek przyrostów temperatury iliczących wynosiła 50°C :

wynosi $\Delta t_1 : \Delta t_2 = 3 : 5$. Jeśli ciepło właściwe tych ciał spełnia warunek $c_1 : c_2 = 1 : 2$, to ilość ciepła Q_1 dostarczonego pierwszemu ciału i Q_2 - dostarczonego drugiemu ciału spełniają równanie:

$$\begin{aligned} \text{A)} & 5 Q_1 = 8 Q_2 & \text{B)} & 3 Q_1 = 5 Q_2 & \text{C)} & 5 Q_1 = 3 Q_2 \\ \text{D)} & 20 Q_1 = 3 Q_2 & \text{E)} & 20 Q_1 = 3 Q_2 \end{aligned}$$

610. 1979/l. 1994/l.

W dwa ciała których stosunek mas wynosi $m_1 : m_2 = 4 : 3$, ogrzane tak, że stosunek przyrostów temperatury iliczących wynosiła 50°C :

wynosi $\Delta t_1 : \Delta t_2 = 3 : 5$. Jeśli ciepło właściwe tych ciał spełnia warunek $c_1 : c_2 = 1 : 2$, to ilość ciepła Q_1 dostarczonego pierwszemu ciału i Q_2 - dostarczonego drugiemu ciału spełniają równanie:

$$\begin{aligned} \text{A)} & c_1 t_1 - L/c_{w1} t_2 & \text{B)} & L/c_{w1} t_1 + L/c_{w2} t_2 & \text{C)} & c_1 t_1 + L/c_{w1} t_2 \\ \text{D)} & L/c_{w1} t_1 & \text{E)} & L/c_{w2} t_1 \end{aligned}$$

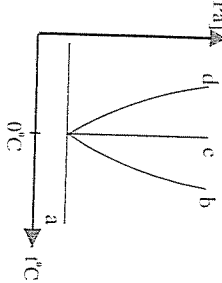
617. 1999/l.

Temperatura topnienia lodu:

- A) maleje wraz ze wzrostem ciśnienia
- B) rośnie wraz ze wzrostem ciśnienia
- C) nie zależy od ciśnienia
- D) zależy od masy lodu i ciśnienia

618. Równowagi termodynamicznej woda-lód we wspólnie przedstawia:

- A) prostą a
- B) krzywą b
- C) prostą c
- D) krzywą d
- E) żadną z podanych



619. 1987/l.

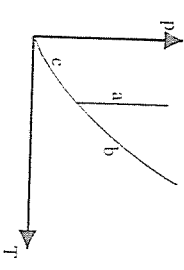
W zamkniętym naczyniu znajdują się woda i para wodna w warunkach określonych wspólnie punktu A na wykresie stanu (rys.). Pobranie ciepła z układu spowoduje proces opisany linią:

- A) 1
- B) 2
- C) 3
- D) 2 lub 3 w zależności od ilości pobranego ciepła

620. 1988/l.

Rysunek pokazuje wykres stanu pewnej substancji. Czy kiedyś z krzywych stanów wykres zmienności temperatury wrzenia od ciśnienia:

- A) tak, krzywa a
- B) tak, krzywa b
- C) tak, krzywa c
- D) nie, żadna z nich



625.

Jeżeli w wodzie płynąca kostka lodu, to po jej stopieniu poziom cieczy w naczyniu:

- A) obniży się
- B) podniesie się
- C) obniży się jeżeli w kostce znajdują się kuleczki powietrza
- D) obniży się jeżeli w kostce znajdują się kuleczki powietrza

626. 1992-94/MIS MaP

W naczyniu znajduje się woda z pływającym w niej lodem w stanie równowagi. Po stopieniu się lodu przy zachowaniu temperatury 0°C poziom wody:

- A) podniesie się
- B) obniży się
- C) nie zmieni się
- D) będzie zależeć od kształtu naczynia

627. 1993/l.

W naczyniu znajdują się woda i pływająca w niej bryła lodu w równowadze termodynamicznej. Po doprowadzeniu pewnej ilości ciepła końcowa temperatura wody w naczyniu wynosi 275 K. Poziom wody w naczyniu:

- A) pozostać bez zmian
- B) wzrośnie
- C) zmniejszy się
- D) wzrośnie jeżeli $m_{\text{lod}} > m_{\text{woda}}$
- E) zmniejszy się jeżeli $m_{\text{lod}} < m_{\text{woda}}$

628. 1982/l.

Stalny dwutlenek węgla w normalnych warunkach sublimuje (nie może istnieć w stanie cieczy) ponieważ znajduje się:

- A) pod ciśnieniem niższym od ciśnienia w punkcie potrójnym
- B) pod ciśnieniem wyższym od ciśnienia w punkcie potrójnym
- C) w temperaturze niższej od temperatury punktu potrójnego
- D) w temperaturze wyższej od temperatury punktu potrójnego
- E) tylko odpowiedzi B i C są prawdziwe

623. 1982/F

Zmiana temperatury topnienia o 1 K wymaga bardzo wiele zmiany temperatury wrzenia o 1 K wymaga znacząco mniejszego wzrostu ciśnienia, ponieważ:

- A) przy zamianie cieczy w stanie pary następuje bardzo duża zmiana objętości, a przy zamianie ciała stałego w ciecz maleje
- B) w czasie wrzenia cząsteczki mają dużo większą energię kinetyczną w czasie topnienia
- C) zamiana cieczy w stanie pary zachodzi w każdej temperaturze, a zmiana ciała stałego w ścisłe określonej temperaturze
- D) w czasie topnienia niektóre ciała zwiększały, a inne zmniejszały swoją objętość

624. 1982/l.

W naczyniu zamkniętym znajduje się w stanie równowagi ciecz i para. Doprzedzenie do tego naczynia pewnej ilości ciepła spowoduje:

- A) zwiększenie ciśnienia proporcjalnie do przyrostu temperatury
- B) zwiększenie ciśnienia spowodowane wzrostem energii cząsteczek pary oraz wyparowaniem dodatkowych cząsteczek
- C) zwiększenie drogi swobodnej cząsteczek pary oraz wzrost ciśnienia spowodowany wyparowaniem dodatkowych cząsteczek
- D) zwiększenie ciśnienia spowodowane wyparowaniem dodatkowych cząsteczek bez zmiany temperatury
- E) zmniejszenie ciśnienia spowodowane zmniejszeniem objętości cieczy

625.

Jeżeli w wodzie płynąca kostka lodu, to po jej stopieniu poziom cieczy w naczyniu:

- A) obniży się
- B) podniesie się
- C) obniży się jeżeli w kostce znajdują się kuleczki powietrza
- D) obniży się jeżeli w kostce znajdują się kuleczki powietrza

626. 1992-94/MIS MaP

W naczyniu znajdują się woda z pływającym w niej lodem w stanie równowagi. Po stopieniu się lodu przy zachowaniu temperatury 0°C poziom wody:

- A) podniesie się
- B) obniży się
- C) nie zmieni się
- D) będzie zależeć od kształtu naczynia

627. 1993/l.

W naczyniu znajdują się woda i pływająca w niej bryła lodu w równowadze termodynamicznej. Po doprowadzeniu pewnej ilości ciepła końcowa temperatura wody w naczyniu wynosi 275 K. Poziom wody w naczyniu:

- A) pozostać bez zmian
- B) wzrośnie
- C) zmniejszy się
- D) wzrośnie jeżeli $m_{\text{lod}} > m_{\text{woda}}$
- E) zmniejszy się jeżeli $m_{\text{lod}} < m_{\text{woda}}$

628. 1982/l.

W dwóch identycznych naczyniach (pierwsze jest otwarte, drugie szczelnie zamknięte) znajduje się woda w tej samej temperaturze, różnej od temperatury wrzenia. Możemy wnioskować, że:

- A) w pierwszym naczyniu nad powierzchnią cieczy znajduje się para nasycona, w drugim para nienasycona
- B) w drugim naczyniu nad powierzchnią cieczy znajdują się para nasycona, a w pierwszym para nienasycona
- C) po pewnym czasie temperatura wody w naczyniu drugim jest wyższa niż temperatura w naczyniu pierwszym
- D) temperatura nie uległa zmianie
- E) tylko odpowiedzi B i C są prawdziwe

- 629.** 1984/I.
Przy przejęciu wody ze stanu ciekłego w loty w warunkach normalnych średnia odległość między cząsteczkami zwiększa się około:
- 10^1 razy
 - 10^2 razy
 - 10^3 razy
 - 10^4 razy

- 630.** Ciszenie pary nasyconej nad powierzchnią cieczy zależy:

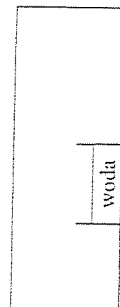
- tylko od temperatury cieczy
- tylko od objętości cieczy
- od temperatury i od promienia krzywizny powierzchni cieczy (mienisk)
- od temperatury i od masy cieczy
- poprawne są odpowiedzi C i D

- 631.** 1983/I.
W identycznych warunkach znajdują się dwa szczelnie zanknięte jednakołe zbiorniki. W pierwszym znajdują się nasycona para etery, w drugim powietrze i nasycona para etery:

- w obydwu zbiornikach państają jednakołe ciszenie
- ciszenie w drugim zbiorniku jest większe aniżeli w pierwszym o wartości ciszenia pary etery
- ciszenie w drugim zbiorniku jest większe aniżeli w pierwszym o wartości ciszenia pary etery
- wszystkie powyższe stwierdzenia są nieprawdziwe

- 632.** 1995/MiS MaP
Na rysunku pojemnik zawiera naczynie z wodą oraz 1 kg powietrza. Ciszenie wewnątrz pojemnika jest pozałkowo równe ciszeniu atmosferycznemu, natomiast do pojemnika wtłoczono dodatkowo 1 kg suchego powietrza. Układ znajduje się cały czas w temperaturze pokojowej i w stanie równowagi termodynamicznej. Po wtłoczeniu powietrza okazało się, że miseczka nadal zawiera wodę, natomiast ciszenie w naczyniu:

- wzrosło 2 razy
- wzrost nieco mniejszy niż 2 razy
- wzrost ponad 2 razy
- wzrost nieznacznie z powodu skroplenia się pary wodnej zawartej w fuzie gazowej w stanie początkowym



- 633.**
1 kg pary wodnej nasyconej w temperaturze T sprężono izotermicznie otrzymując 1 kg wody (tryś). Z wykresu wynika, że gęstość wody w stosunku do gęstości pary wodnej nasyconej suchej jest:

- taka sama
- 5 razy mniejsza
- 5 razy większa
- wszystkie odpowiedzi są fałszywe

- 634.**
Ciszenie pary nasyconej zależy od:

- rodzaju cieczy i objętości naczynia
- objętości naczynia i temperatury
- objętości cieczy w naczyniu zankniętym i temperatury
- rodzaju cieczy i temperatury

- 635.** 1989/F.
Dysponując wykresem zależności ciszenia pary nasyconej CO_2 od temperatury można określić, przy jakim ciszeniu zawiązły się wody.

- wzruszenia
- krzepnięcia
- parowania
- parowania i sublimacji

- 636.** 1992-94/MiS MaP
Woda wrze w warunkach normalnych w temperaturze 373 K. Po podwyższeniu ciszenia temperatury wrzenia:

- nie zmienia się
- wzrośnie
- zmniejszy
- zależy od ilości wody

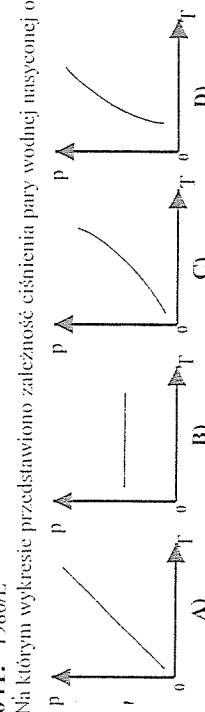
- 637.** 1990/I.
Trzy porcje pary nienasyconej o różnych masach i takich samych parametrach przeprowadzono w stan nasyżenia na drodze przeniania izotermicznej (1), izobarycznej (2) i izochorycznej (3). Gęstość otrzymanej pary nasyconej była:
- największa w przypadku (1)
 - największa w przypadku (2)
 - największa w przypadku (3)
 - taka sama w każdym z tych przypadków

- 638.** 1988/F.
Wypełniając naczynie pudełko wodną nienasyconą sprężoną izotermicznie zmniejszać pojemność naczynia (uzbrojnie, jeśli ciszenie pary wzrośnie w stanie końcowym była:
- para nasycona
 - para nasycona
 - para nasycona i lód lub woda
 - para nasycona i woda

- 639.** 1982/I.
Przy gestych chmuraach nie ma tosy ponieważ:
A) pod wpływem mniejszego nasłonecznienia Ziemi para ulega skropleniu w atmosferze i gromadzi się w chmuraach
B) powierzchnia Ziemi słabiej nagnazana powoduje kondensację pary w ciągu dnia
C) powierzchnia Ziemi pod wpływem chmurn innej wypracowuje ciepła i dające posiadu wyszą temperatury
D) pod wpływem mniejszego нагrzewania na powierzchni Ziemi zachodzi słabsze parowanie i dające w powietrzu jest mniej pary

- 640.**
Po naczyniu napinionego w warunkach normalnych suchym powietrzem wprowadzono pewną ilość wody. Po szczelnym zatknięciu naczynie ogrzane do temperatury 100°C. Jeżeli po zakończeniu parowania w naczyniu pozostała nieznaczna ilość wody, to ciszenie końcowe w naczyniu będzie:
- nicco większe od atmosferycznego
 - dwa razy większe od atmosferycznego
 - nicco większe od podwójnego ciszenia atmosferycznego
 - trzy razy większe od ciszenia atmosferycznego

- 641.** 1980/I.
Na którym wykresie przedstawiono zależność ciszenia pary wodnej nasyconej od temperatury:



10. ELEKTRYCZNOŚĆ I MAGNETYZM

642. 1984I.

Parę nasyconą suchą można przekształcić w parę nienasyconą przez:

- A) adiabatyczne rozprężanie
- C) izotermiczne sprężanie
- B) izochoryczne ogrzanie
- D) izochoryczne chłodzenie

643. 1983I.

Wilgotność względna powietrza może zwiększyć się mimo zmniejszenia wilgotności bezwzględnej w wyniku:

- A) podwyższania temperatury
- C) obniżania temperatury
- B) podwyższania ciśnienia
- D) obniżenia ciśnienia

644. 1984II.

Wilgotność względna w pewnym pomieszczeniu wynosi x , a temperatura $t^{\circ}\text{C}$. Jeśli nasyciona para H_2O w tej temperaturze ma gęstość ρ , to nasę pary znajdującej się w jednostce objętości tego pomieszczenia, określa ulamek:

- A) $100 \frac{t}{x}$
- B) $100 \rho \frac{x}{t}$
- C) $\rho \frac{tx}{100}$
- D) $\rho \frac{x}{100}$

645. 1979II.

Wilgotność względna jest równa:

- A) różnicę masy pary wodnej zawartej w jednostce objętości powietrza i masy pary wodnej, jaką by tę objętość nasyciła w warunkach normalnych
- B) różnicę masy pary wodnej zawartej w jednostce objętości powietrza i masy pary wodnej, jaką by tę objętość nasyciła w tej samej temperaturze
- C) stosunkowi masy pary wodnej w jednostce objętości powietrza do masy pary wodnej, jaką by tę objętość nasyciła w warunkach normalnych
- D) stosunkowi masy pary wodnej zawartej w jednostce objętości powietrza do masy pary wodnej, jaką by tę objętość nasyciła w tej samej temperaturze

646. 1980II.

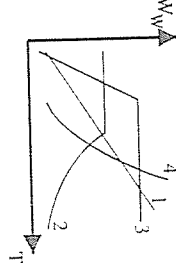
Mimo wzrostu temperatury powietrza jego wilgotność względna pozostała niezmieniona. Oznacza to, że:

- A) cisnące pary wodnej nie uległy zmianie
- B) część masy pary uległa skropleniu
- C) wzrosła gęstość pary wodnej
- D) w nowej temperaturze para osiągnęła stan nasycenia

647. 1983II.

W zamkniętym naczyniu o objętości V znajduje się niewielka ilość wody w temperaturze T_1 . Systematyczne podwyższanie temperatury naczynia spowodowało wyparowanie wody. Wilgotność względna w zależności od temperatury najlepiej przedstawić wykres:

- A) 1
- B) 2
- C) 3
- D) 4



648. 1992I.

Prawdziwe jest, że przy elektryzowaniu ciał przenoszone są ładunki:

- A) dodatnie i ujemne
- B) tylko dodatnie
- C) tylko elektrony
- D) tylko protony

649. 1992I.

O ile więcej ładunków elementarnych ujemnych niż dodatnich zawiera kula naładowana ładunkiem $Q = -1,6 \cdot 10^{-2} \text{ C}$

$$\text{A)} 1,6 \cdot 10^{-19}$$

$$\text{B)} 10^{21}$$

$$\text{C)} 10^{21}$$

$$\text{D)} 10^{17}$$

650. 1992I.

Na dwóch jednakowych kulkach o masach $m_1=m_2$ zgromadzono identyczne ładunki o przeciwnych znakach. Masy kulek:

- A) nie uległy zmianie
- B) $m_1 < m_2$
- C) $m_1 > m_2$
- D) masy uległy zmianie lecz nadal $m_1=m_2$

$$\text{E)} m_1 = \frac{1}{2} m_2$$

651.

Dwa różnorodne ładunki punktowe o wartości 1 C każdy, znajdujące się w ośrodku o stałej dielektrycznej 2, uniesione w odległości 1 m od siebie przyciągają się siła równa:

$$\text{A)} 9 \cdot 10^9 \text{ N}$$

$$\text{B)} 1 \text{ N}$$

$$\text{C)} 4,5 \cdot 10^9 \text{ N}$$

$$\text{D)} 1,8 \cdot 10^9 \text{ N}$$

652. 1999II.

Dwa ładunki punktowe znajdują się w pewnej odległości od siebie. Zmniejszenie odległości o 10 cm spowodowało czterokrotny wzrost siły wzajemnego oddziaływania. Początkowa odległość między ładunkami wynosiła:

- A) 15 cm
- B) 20 cm
- C) 40 cm
- D) 80 cm

653. 1992II.

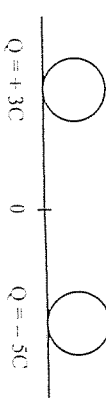
Dwa ładunki elektryczne działają na siebie w próżni siła F. Po zanurzeniu tych ładunków w cieczy o stałej dielektrycznej $\epsilon_r=81$, siła ich wzajemnego oddziaływania nie zmienia się, jeżeli odległość między ładunkami:

- A) zmniejszyła się 81 razy
- B) zmniejszyła się 9 razy
- C) zmniejszyła się 3 razy
- D) zwiększyła się 3 razy
- E) zwiększyła się 9 razy

654.

Dwie identyczne kule mogące poruszać się bez tarcia natładowano ładunkami +3 C i -5C. W wyniku wzajemnego oddziaływania:

- A) ładunek kuli nie może ulec zmianie
- B) kula przyciągnięta jest i pozostaje w punkcie O
- C) kula będzie cyrkliować zderząc się z płytą
- D) kula zderząc się i następnie będąc odpchana
- E) kula pozostanie w swoich początkowych położeniach



$$\text{Q} = +3 \text{ C} \quad 0 \quad \text{Q} = -5 \text{ C}$$

655.

- dwa punktowe ładunki +Q i -Q znajdujące się w odległości R od siebie odsunięty na odległość 2R, to sila oddziaływania elektrostatycznego:
 A) wzrosnie 4 razy
 B) zmniejszy się 2 razy
 C) wzrosnie 2 razy
 D) zmniejszy się 4 razy
 E) nie zmieni się

656.

- względna przewodność elektryczna oleju:
 A) jest mniejsza od przewodności elektrycznej próżni
 B) jest równa liczbowo sile oddziaływania pomiędzy ładunkami punktowymi $q_1 = q_2 = 1\text{C}$, znajdującymi się w oleju i oddległym od siebie o 1m

$$\text{C) równa się } 8.86 \cdot 10^{-12} \frac{\text{C}^2}{\text{m}^2 \cdot \text{N}}$$

- D) jest równa stosunkowi sily działającej pomiędzy dwoma ładunkami umieszconymi w próżni do sily umieszczonej w oleju

- E) jest równa stosunkowi sily działającej pomiędzy dwoma ładunkami umieszconymi w oleju do sily działającej pomiędzy tymi samymi ładunkami, znajdującymi się w tej samej odległości umieszczonej w próżni

657.

- dwie niewielkie kulki umocowane na izolowanych statywach. Jeżeli ładunek pierwszej kuli zwiększy się czterokrotnie, zwiększąc jednocześnie dwukrotnie odległość między statywami, to:
 A) sily wzajemnego oddziaływania kulki wzrosną czterokrotnie
 B) sily wzajemnego oddziaływania kulki wzrosną dwukrotnie
 C) sily wzajemnego oddziaływania kulki nie zmienią się
 D) sila działań pierwszej kulki na drugą będzie czterokrotnie większa niż drugiej na pierwszą

658.

- dwa różnoimiennie ładunki punktowe o wartości q każdy, umieszczone w odległości r od siebie, przyłączają się silą F . Zależność tej siły od wartości ładunku q przedstawia linią:
 A) a
 B) b
 C) c
 D) d

659.

- dwie kulki zawieszone na jedwabnych niciach o równej długości po napelektryzowaniu oddaliły się od siebie tak, że tylk uformowały z ponorem takie same katy (rys.). Kulki te mają:
 A) rowne masy i równy ładunek
 B) ładunki, których stosunek jest równy stosunkowi ich mas
 C) rowne ładunki, masę ich mogą być różne choć nie muszą
 D) rowne masy, ładunki ich mogą być różne choć nie muszą

660.

- dwie punktowe ładunki Q i -Q znajdujące się w odległości l od siebie o 1 były w równowadze należy do punktu łączącego je odciążać umieszczyć ładunek tajemny o wartości:
 A) $q = Q/l$
 B) $q = Q/2$
 C) $q = Q$
 D) $q = Q/l^2$

661.

- Na elektron umieszczony w polu ładunku punktowego działa sila $8 \cdot 10^{-10}\text{ N}$. Aby sila wynosiła 10^{-10} N , odległość między ładunkami powinna:
 A) nie zmienić się
 B) zmniejszyć się 8 razy
 C) wzrosnąć $2\sqrt{2}$ razy
 D) zmniejszyć się $2\sqrt{2}$ razy

662.

- Wielkość charakteryzuje pole elektrostatyczne jest:
 A) sila działająca na ładunek punktowy
 B) natężenie pola
 C) potencjal pola
 D) energia potencjalna ładunku prębnego
 E) prawdziwe są odpowiedzi B i C

663. 1998/L
Iednostka natężenia pola elektrostatycznego w układzie SI ma wymiar:

$$\text{A) } \frac{\text{kg} \cdot \text{m}^2}{\text{A} \cdot \text{s}^3} \quad \text{B) } \frac{\text{kg} \cdot \text{m}}{\text{A} \cdot \text{s}} \quad \text{C) } \frac{\text{kg} \cdot \text{m}}{\text{A} \cdot \text{s}^3} \quad \text{D) } \frac{\text{kg} \cdot \text{m}^2}{\text{A} \cdot \text{s}^2}$$

664. 1998/L
Na ładunek $Q_1 = 10^{-5}\text{C}$ w pewnym punkcie centralnego pola elektrostatycznego działa sila $F_1 = 10^{-3}\text{ N}$. Na ładunek $Q_2 = 10^{-6}\text{C}$ znajdujący się w odległości 2 razy większej od źródła tego pola działa sila:

$$\text{A) } 2 \cdot 10^{-2}\text{ N} \quad \text{B) } 0,5 \cdot 10^{-2}\text{ N} \quad \text{C) } 10^{-3}\text{ N} \quad \text{D) } 2,5 \cdot 10^{-4}\text{ N}$$

665. 1998/L
Dwa jednakowe ładunki dodatnie q umieszczone w przestrzeni w odległości a od siebie (rys.). Potencjał pola elektrostatycznego tych ładunków w punkcie P można przedstawić za pomocą wyrażenia (ϵ_0 – przewodność elektryczna przestrzeni):

$$\text{A) } \frac{q}{4\sqrt{2}\pi\epsilon_0 a} \quad \text{B) } \frac{q}{4\pi\epsilon_0 a} \quad \text{C) } \frac{q}{2\pi\epsilon_0 a} \quad \text{D) } \frac{q}{2\sqrt{2}\pi\epsilon_0 a}$$

666.
Ladunek punktowy dodatni umieszczony w przestrzeni tworzącej w pewnej odległości potencjał IV.

$$\text{A) } 2\text{ V} \quad \text{B) } 1\text{ V} \quad \text{C) } 0,5\text{ V} \quad \text{D) } 0\text{ V}$$

667.
W dwóch przeciwwległych wierzchołkach kwadratu o boku a umieszczone dwa jednakowe ładunki Q. Kądy z ładunków Q wytwarzają potencjał V w punkcie B. Po wprowadzeniu do punktu A ładunku $Q\sqrt{2}$, potencjał w punkcie B wynosi:

$$\text{A) } 1\text{ V} \quad \text{B) } 2\text{ V} \quad \text{C) } \sqrt{2}\text{ V} \quad \text{D) } 3\text{ V}$$

68.

Przy ladunku punktowym umieszczonego na obwodzie półokrągła o promieniu r (rys.). Natężenie pola elektrostatycznego układu ladunków w punkcie S przedstawia wektor:

- A) a B) b C) c D) d

69. Potencjał w punkcie S z poprzedniego zadania wynosi:

- A) kQ/r
B) $4kQ/r$
C) $2kQ/r$
D) $kQ/2r$

70. 1983/I.

Różnica potencjalowa pomiędzy punktami A i B odległymi o $2m$ i o $1m$ od ładunku punktowego $2 \cdot 10^{-6}C$ na wartość ($k = 9 \cdot 10^9 N \cdot m^2 \cdot C^{-2}$):

- C) $U_{AB} = 4,5 \cdot 10^3 V$
D) $U_{AB} = 2 \cdot 10^3 V$

71. 1992-94/MIS Mat.

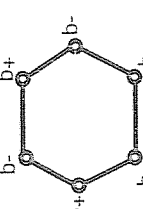
Na końcach odcinka o długości d znajdują się ładunki $+Q$ i $-q$. Punkt na prostej łączącej ładunki, w którym natężenie pola jest równe zeru znajduje się:

- A) w odległości $d/3$ od ładunku Q na zewnątrz odcinka
B) w odległości $d/3$ od ładunku Q na zewnątrz odcinka C) w odległości $d/5$ od ładunku $4Q$ między ładunkami
D) w odległości $d/3$ od ładunku Q między ładunkami

72. 1995/L.

Rysunek przedstawia układ ładunków umieszczonych w wierzchołkach szesciokąta foremnego o boku a . Natężenie E pola elektrycznego i potencjał V tego pola w środku szesciokąta wynoszą:

- A) $E = 0$
B) $E = 6kqa^2$
C) $E = 3kqa^2$
D) $E = 0$
V = 0
V = $6kqa$
V = $6kqa$



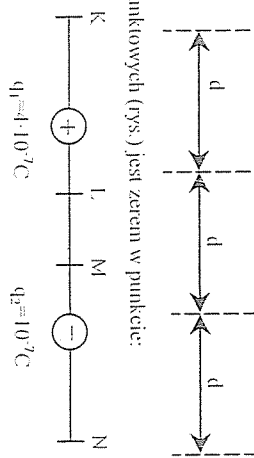
Potencjał w punkcie P pola elektrycznego trzech ładunków punktowych q_1 , q_2 , q_3 (rys.) jest równy zeru. Jeżeli ładunek $q_2 = 2q_1$, to ładunek q_3 spełnia równanie:

- A) $q_3 = 3q_1$
B) $q_3 = -3q_1$
C) $q_3 = 6q_1$
D) $q_3 = -6q_1$

74. 1986/I/F.

Natężenie pola elektrostatycznego dwóch ładunków punktowych (rys.) jest zero w punkcie:

- A) K
B) L
C) M
D) N

**675.** 1980/I.

W polu elektrostatycznym ładunku dodatniego Q (por. rys.) obrano dwa punkty: K i P, przy czym $r_k = 1/2 r_p$. Jeżeli w punkcie P zostanie umieszczony ładunek -Q (tajemny):

- D) w odległości $x = \frac{2}{3}r_p$ od ładunku q znajduje się punkt, w którym natężenie pola jest równe zero
E) poprawne są odpowiedzi A i D

- A) to wzrost natężenia pola i jego potencjał w punkcie K
B) to zmniejszenie natężenia pola i jego potencjał w punkcie K
C) to potencjał pola w punkcie K wzrasta, a natężenie pola w tym punkcie zmniejsza się
D) to potencjał pola w punkcie K zmniejsza, a natężenie pola w tym punkcie wzrasta

**676.**

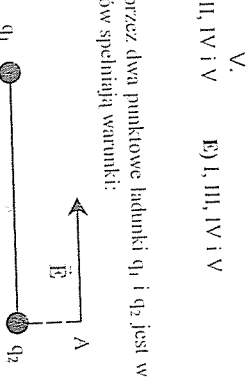
Na którym z rysunków ładunek q jest w równowadze:

- I. II. III. IV. V.
A) I i III B) I i IV C) tylko III D) III, IV i V E) I, III, IV i V

677. 1988/I.

Jeśli wektor natężenia pola elektrostatycznego wytworzanego przez dwa punktowe ładunki q_1 i q_2 jest w punkcie A skierowany tak jak na rysunku, to znaki tych ładunków spełniają warunek:

- A) $q_1 > 0$, $q_2 < 0$
B) $q_1 < 0$, $q_2 > 0$
C) $q_1 < 0$, $q_2 < 0$
D) $q_1 > 0$, $q_2 > 0$

**678.**

Ladunki punktowe $q_1 = q$, $q_2 = -\sqrt{2}q$ i $q_3 = 2q$ umieszczone na przekątnej kwadratu o boku a (rys.). Potencjał w punkcie K dany jest wzorem:

- A) $\frac{kq}{a^2}$
B) $\frac{\sqrt{2}kq}{a}$
C) $\frac{kq}{a}$
D) $\frac{kq}{a}$
E) $\frac{kq^2}{a}$

**679.**

Wektor natężenia pola elektrostatycznego w punkcie K z poprzedniego zadania, ma zwol wektora:

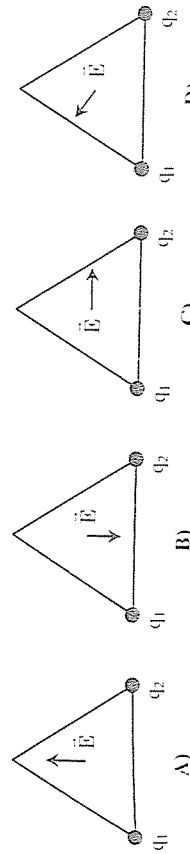
- A) 1 B) 2 C) 3 D) 4 E) nieoznaczone na rysunku

Dwa punktowe, dodatnie ładunki $q_1 = qC$ i $q_2 = 1C$ znajdują się w odległości r od siebie w próżni. W polu elektrostatycznym tych ładunków:

- A) nie można znaleźć punktu, w którym zarówno potencjał jak i wektor natężenia pola są równe zero
B) można znaleźć punkty, w których potencjał pola oraz wektor natężenia pola są równe zero
C) w każdym punkcie odcinka łączącego te ładunki nie ma punktu o zerowej wartości wektora natężenia pola
D) w odległości $x = \frac{2}{3}r$ od ładunku q znajduje się punkt, w którym natężenie pola jest równe zero
E) poprawne są odpowiedzi A i D

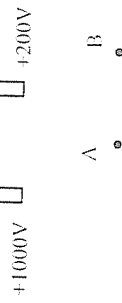
681. 1989/l.

Dwa punktowe ładunki elektryczne q_1 i q_2 umieszczone w wierzchołkach trójkąta równobocznego wywierają w środku tego trójkąta pole elektrostatyczne o potencjałe $V = 0$. Natężenie pola elektrostatycznego w tym punkcie poprawnie pokazuje rysunek:

**682.** 1979/l.

Dwie równoległe płytki ustawiono w odległości 10 cm od siebie i naładowano do potencjałów: +1000 V i +200 V. Natężenie pola elektrostatycznego w punkcie P:

- A) wynosi 8000 V/m i zwrotne jest w prawo
B) wynosi 1200 V/m i zwrotne jest w prawo
C) wynosi 800 V/m i zwrotne jest w lewo
D) wynosi 120 V/m i zwrotne jest w lewo

**683.**

W jednorodnym polu elektrostatycznym potencjał w punkcie A wynosi -5V, a w punkcie B - 3V. Bezwzględna wartość napięcia między punktami A i B (rys.) równa się:

- A) 8V
B) -2V
C) 2V
D) -8V

684.

Jeżeli odległość AB z poprzedniego zadania wynosi 20 cm, to wektor natężenia pola elektrostatycznego ma wartość równą:

- A) 0,1 V/m i zwrot od B do A
B) 10 V/m i zwrot od A do B

690.

Zawrot wektora natężenia pola elektrostatycznego dipoli w punkcie A (rys.) przedstawia wektor:

- A) $\frac{2kq}{l}$
B) $\frac{kq}{2l}$
C) $\frac{-kq}{2l}$
D) 0

691.

W dwóch wieżoholkach trojkatu równobocznego o boku a umieszczone są ładunki punktowe q. Przenieszenie takiego samego ładunku z punktu A do B wymaga wykonania pracy przeciwko silem elektrostatycznym równej:
A) $2kq^2/a$
B) 0
C) $2kq^2/a^2$
D) kq^2/a

-692. 1990/l.

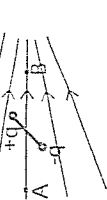
Przenosząc ładunek IC w jednorodnym polu elektrostatycznym na odległość 5 cm - równolegle do linii pola - wykonano pracę 1J. Natężenie tego pola jest równe:

- A) 0,2 V/m
B) 5 V/m
C) 20 V/m
D) 40 V/m

693.

Nieprawdą jest, że:

- A) dipol elektrostatyczny to układ dwóch ładunków punktowych różnorodnych oddzielonych od siebie o 1 cm
B) moment dipolowy ma zwrot od ładunku ujemnego do dodatniego i leży na osi dipola
C) w połowie odległości między ładunkami na osi dipola potentjal jest równy zero
D) pole elektrostatyczne na osi dipola jest polem jednorodnym

687. 1987/l. Swobodny dipol elektryczny umieszczony w polu elektrostatycznym (rys.) zostanie:

- A) przyciągnięty do punktu A
B) w miejscu umieszczenia bez zmiany pozycji
C) przyciągnięty do punktu B z osią równoległą do linii sil pola elektrostatycznego
D) w miejscu umieszczenia z osią równoległą do linii sil pola elektrostatycznego

688. 1987/l.

Dipol, którego moment elektryczny ma wartość p , a osi ma długość l znajduje się w przestrzeni (ϵ_0 - przenikalność elektryczna próżni). Natężenie pola elektrostatycznego w środkowym punkcie osi dipola ma wartość:

- A) $E = 0$
B) $E = \frac{p}{2\pi\epsilon_0 l^2}$
C) $E = \frac{p}{\pi\epsilon_0 l^3}$
D) $E = \frac{2p}{\pi\epsilon_0 l^3}$

689.

Potencjał w punkcie A wytworzony przez dwa dipole elektryczne (rys.) jest równy:

- A) $\frac{2kq}{l}$
B) $\frac{kq}{2l}$
C) $\frac{-kq}{2l}$
D) 0

690.

Zawrot wektora natężenia pola elektrostatycznego dipoli w punkcie A (rys.) przedstawia wektor:

- A) $\frac{2kq}{l}$
B) $\frac{kq}{2l}$
C) $\frac{-kq}{2l}$
D) 0

691.

W dwóch wieżoholkach trojkatu równobocznego o boku a umieszczone są ładunki punktowe q. Przenieszenie takiego samego ładunku z punktu A do B wymaga wykonania pracy przeciwko silem elektrostatycznym równej:
A) $2kq^2/a$
B) 0
C) $2kq^2/a^2$
D) kq^2/a

-692. 1990/l.

Przenosząc ładunek IC w jednorodnym polu elektrostatycznym na odległość 5 cm - równolegle do linii pola - wykonano pracę 1J. Natężenie tego pola jest równe:

- A) 0,2 V/m
B) 5 V/m
C) 20 V/m
D) 40 V/m

694. 1990/l. Wzrostu wzajemnej odległości dwóch naładowanych cząstek ich potencjalna energia elektryczna:

- A) zmniejsza, bez względu na znaki ładunków cząstek
- B) wzrosnąć na znak ładunków przemieszczanego
- C) wzrosnąć gdy ładunki cząstek są różnowymiennne, a zmniejsza - gdy są jednowymiennne
- D) wzrosnąć gdy ładunki cząstek są różnowymiennne, a zmniejsza - gdy są jednowymiennne
- E) jest równa zmianie energii potencjalnej ładunku próbnego

695.

Praca sil zewnętrznych potrzebna na przemieszczenie ruchem jednostajnym próbnego ładunku w polu elektrostatycznym ładunku ujemnego:

- A) jest niezależna od długości toru i od wielkości ładunku przemieszczanego
- B) zależy od długości toru i od wielkości ładunku przemieszczanego
- C) nie zależy od kierunku przemieszczenia ładunku próbnego
- D) jest zawsze ujemna
- E) jest równa zmianie energii potencjalnej ładunku próbnego

696. Z nieokreśloności do unieruchomionych ładunków **Q** zbliżają się dwa ładunki punktowe **q** i **2q**, o masach **2m** i **1/2m** z tymi samymi prędkościami w. Minimalne odległości na jakie zbliżą się ładunki w wyniku działania sił elektrostatycznego odpowiadają spójnią warunek:

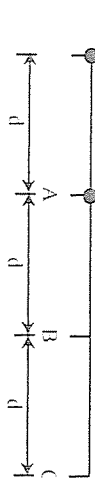
- A) $r_a = r_b$
- B) $r_a = 8r_b$
- C) $r_a = \frac{1}{8}r_b$
- D) $r_a = \frac{1}{8}r_b$
- E) $r_a = \frac{1}{2}m$

697.

1988/l.

Ladunek punktowy $q > 0$ jest przesuwany po torze ABC w polu ładunku punktowego $Q < 0$. Prace wykonane przeciwko siłom pola elektrycznego na odcinkach AB i BC spełniają zależność:

- A) $W_{AB} = W_{BC}$
- B) $W_{AB} = 2W_{BC}$
- C) $W_{AB} = 3W_{BC}$
- D) $W_{AB} = 4W_{BC}$



698. 1988/l. Przy przesunięciu ładunku $q=10^{-4}C$ na drodze 30cm w polu elektrycznym zostało wykonana praca $W=0,6J$. Różnica potencjałów pomiędzy tymi punktami wynosi:

- A) 600 V
- B) 18 kV
- C) 6 kV
- D) 20 kV
- E) 0,6 kV

699. 1989/l. Odległość, w jakiej muszą się znaleźć dwa identyczne ładunki $q = 10^{-6} C$ w próżni, aby ich energia potencjalna elektrostatyczna była równa $3 J$, wynosi:

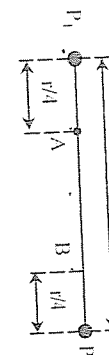
- A) $3 \cdot 10^{-1} m$
- B) $3 \cdot 10^{-1} m$
- C) $3 \cdot 10^{-21} m$
- D) $3 \cdot 10^{21} m$

700. 1989/l. Aby ładunek q przespać z punktu A do punktu B (rys.) należy wykonać pracę:

- A) $\frac{-Q}{l}$
- B) $\frac{kQq}{l}$
- C) $\frac{kQq}{+q}$
- D) $\frac{kQq}{l}$
- E) $\frac{kQq}{2l}$

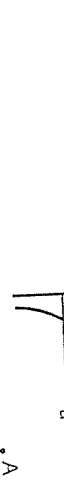
701. 1985/l. W punkcie A pola elektrycznego dwóch protonów p_1 i p_2 znajduje się elektron (rys.). Najmniejsza wartość energii kinetycznej E_k , jaką mały mu nadaje w punkcie A, aby dociekał do punktu B wynosi ($k = 1/(4\pi\varepsilon_0)$):

- A) $E_k = 2ke^2/(3r)$
- B) $E_k > \frac{4}{3}ke^2/r$
- C) $E_k = 0$
- D) $E_k > 13ke^2/(3r)$



702. 1990/l. Z nieokreśloności do unieruchomionego ładunku **Q** w wyniku sił elektrostatycznego przyciągania zbliża się ładunek punktowy $q < 0$. Energia potencjalna elektrostatyczna układu ładunków E_p w funkcji odległości między nimi przedstawia linię:

- A) a
- B) b
- C) c
- D) d

**703.**

Przesuwając ładunek punktowy $-q$ z punktu A do B w polu ładunku Q wykonano pracę:

- A) $-\frac{kQQ}{2r}$
- B) $\frac{kQQ}{2r}$
- C) $\frac{kQQ}{r^2}$
- D) 0

704. 1990/l.

Dwa różnowymiennie ładunki elektryczne, znajdujące się początkowo w odległości r , oddalone na odległość $2r$, energia potencjalna tych ładunków:

- A) zmalała 4 razy
- B) zmalała 2 razy
- C) wzrosła 4 razy
- D) wzrosła 2 razy

705.

Energy kinetyczna, jaką uzyskał elektron, który pod wpływem sił pola elektrycznego przesunął się między dwoma punktami o różnym potencjałach $150eV$, wynosi:

- A) 150 eV
- B) $24 \cdot 10^{-16} \text{ eV}$
- C) $2,4 \cdot 10^{-16} \text{ eV}$
- D) $0,24 \cdot 10^{-16} \text{ eV}$

706. 1989/l.

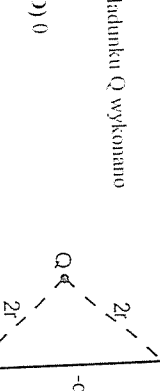
Aby pole elektrostatyczne nadalo cząstce o masie m i ładunku Q przyspieszenie równe przyspieszeniu ziemskiemu, natężenie pola powinno mieć wartość:

- A) $E = \frac{mQ}{g}$
- B) $E = mgQ$
- C) $E = \frac{mg}{Q}$
- D) $E = \frac{g}{mQ}$

707.

Aby z dwóch ładunków znajdujących się początkowo w bardzo dużej odległości od siebie zbudować układ jak na rys.(1), trzeba wykonać pracę W . Zbudowanie układu na rys.(2) wymaga wykonania pracy:

- A) 3 W
- B) $1/3 \text{ W}$
- C) 9 W
- D) 6 W



708. 1988/F

W pewnym obszarze natężenie pola elektrostatycznego Ziemi wynosi $1,30 \text{ V/m}$ i zwrócone jest w stronę jej powierzchni. Natężenie pola grawitacyjnego jest tam równe $9,8 \text{ N/kg}$. Kulceczka o masie 1 g i ładunku -10^{-6} C puszczena swobodnie będzie się poruszać z przyspieszeniem:

- A) $9,93 \text{ m/s}^2$ B) $9,80 \text{ m/s}^2$ C) $9,67 \text{ m/s}^2$ D) $0,13 \text{ m/s}^2$

709. 1998/L

Natężenie pola elektrostatycznego w pewnym punkcie ma wartość 10^2 N/C i zwrot pionowo w dół. Jeżeli w tym punkcie uniesieć tajemny ładunek o wartości 10^{-6} C , to będzie na niego działać siła:

- A) 10^{-4} N pionowo w dół B) 10^{-4} N pionowo w górę C) 10^{-8} N pionowo w góre D) 10^8 N pionowo w dół

710. 1988/F

Jeżeli w polu elektrostatycznym o różnicy potencjałów 100 V przyspieszy proton, deuteron i cząstkę α to ich pęd odpowiadnie p_p, p_D, p_{α} . p_{α} spełniają zależność:

- A) $p_p = p_D = p_{\alpha}$ B) $p_p < p_D < p_{\alpha}$ C) $p_D > p_p > p_{\alpha}$ D) $p_p < p_{\alpha} < p_D$

711. 1996/L

Proton i cząstka α zostały przyspieszone ta samą różnicą potencjałów. Prędkość protonu v_p oraz prędkość cząstki α , v_{α} spełniają zależność:

- A) $v_{\alpha} = 2v_p$ B) $v_p = 2v_{\alpha}$ C) $V_{\alpha} = v_p \sqrt{2}$ D) $v_p = v_{\alpha} \sqrt{2}$

712. 1984/F

W jednorodnym polu elektrostatycznym rozpoczęta jednocześnie ruch cząstka α i proton. Uzyskane przez nie przyspieszenia α_1, α_2 pod wpływem sil pola elektrostatycznego spełniają równość:

- A) $\alpha_1 = \alpha_2$
ponieważ $E = \text{const.}$
B) $\alpha_1 = 0,25 \alpha_2$
ponieważ $m_1 = 4m_2$
C) $\alpha_1 = 2\alpha_2$
ponieważ $q_1 = 2q_2$
D) $\alpha_1 = 0,5 \alpha_2$
ponieważ $a = F/m$

713. 1992/L

W akceleratorze przyspieszono wiązkę elektronów napięciem 1000 V . Elektrony w wiązce uzyskują prędkość 5 razy większą, jeśli napięcie przyspieszającez zwiększymy do:

- A) 5000 V B) $10\ 000 \text{ V}$ C) $15\ 000 \text{ V}$ D) $25\ 000 \text{ V}$ E) $50\ 000 \text{ V}$

714. 1992/L

Dwa protony oddalały się od siebie na skutek działania sil kutułkowskich. Ich ruch względem siebie jest ruchem:

- A) jednostajnym
B) jednostajnie przyspieszonym
C) jednostajnie opóźnionym
D) niejednostajnie opóźnionym
E) niejednostajnie przyspieszonym

715.

Ped, jaki uzyska ładunek q o masie m w polu elektrostatycznym, po przebyciu różnicy potencjałów U , wynieść:

- A) $\sqrt{2mqU}$ B) $\sqrt{qU/(2m)}$ C) qU D) qE

716. 1982/L

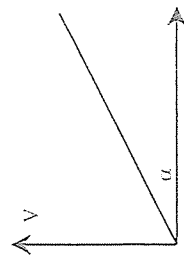
Elektron wpadający w jednorodne pole elektryczne z prędkością v równoległą do wektora natężenia pola elektrycznego będzie poruszał się:

- A) jednostajnie przyspieszonym
B) jednostajnie opóźnionym
C) jednostajnym
D) harmonicznym

717.

W jednorodne pole elektrostatyczne wpada cząstka o ładunku q i masie m prostopadle do wektora natężenia E . Prawda jest, że:

- A) torem ruchu ładunku jest linia prostą
B) ruch ładunku jest jednostajny
C) na ładunku działa sila o rosnącej wartości
D) przyśpieszenie, z jakim porusza się cząstka, ma stałą wartość



718. 1978/L

Na wykresie przedstawiono zależność prędkości protonu, poruszającego się w polu elektrycznym, od czasu trwania jego ruchu. Z analizy wykresu można wywnioskować, że:

- A) ruch protonu jest jednostajny
B) wektor prędkości protonu tworzy kąt α z wektorem natężenia pola
C) na proton działa sila o rosnącej wartości
D) pole elektryczne, w którym porusza się proton, jest jednorodne

719. 1992-94/MIS Map

Ladunek elektryczny umieszczony w pobliżu powierzchni nie naładowanej przewodnika jest:

- A) odpychany od tej powierzchni
B) przyciągany do tej powierzchni
C) przyciągany, gdy przewodnik jest uziemiony, a odpychany w przeciwnym przypadku
D) przyciągany lub odpychany zależnie od kształtu przewodnika

720. 1994/L

We wnętrzu przewodzącej, uziemionej i nieużytej kuli I o promieniu r_1 umieszczono naładowaną metalową kulkę II, o promieniu $r_2 = \frac{1}{2}r_1$. Gęstości powierzchniowe ładunków σ_1 - kulkii I i σ_2 - kulkii II spełniają zależność:

- A) $\sigma_1 = (1/4)\sigma_2$
B) $\sigma_1 = (1/2)\sigma_2$
C) $\sigma_1 = 4\sigma_2$
D) $\sigma_1 = 0$

721.

Potencjal w punkcie A wewnętrz kuli przewodzącej o promieniu R naładowanej ładunkiem Q wynosi:

- A) kQ/R
B) 0
C) $2kQ/R$
D) jednostajny

722. 1992-94/MIS Map

Elektron wpada przez mały otwór do wnętrza pustej, naładowanej powierzchniowo kuliunkiem dodatnim kuli. We wnętrzu kuli porusza się on ruchem:

- A) jednostajnie opóźnionym
B) jednostajnie przyspieszonym
C) jednostajnym
D) harmonicznym

723. 1992-94/MIS Map

Wewnątrz kulistego metalowej puszki znajduje się proton. Naładowanie powierzchni puszki dużym ładunkiem tajemnym:

A) spowoduje ruch protonu w kierunku ścianki puszki

B) nie wpływie na zatrzymanie protonu

C) spowoduje przesunięcie protonu do środka puszki

D) wpływie na zatrzymanie się protonu, ale będzie zależał od jego położenia w momencie ładowania

724.

Jeżeli dwa niewielkie, naładowane ciała policzymy przewodnikiem, to:

- A) ładunek będzie przepływał od ciała naładowanego większym ładunkiem mniejszym
B) ładunek będzie przepływał aż do momentu wyrownania się ładunków obu ciał
C) ładunki będą przepływać do momentu wyrownania się potencjalów elektrycznych ciał
D) przepływ ładunków jest możliwy tylko wówczas, gdy ciała naładowane są ładunkami różnymi i równymi
E) nienozwyczajny jest przepływ ładunków

725. 1987/1.

Dwie metalowe kulki o promieniach r_1 i r_2 naładowano do potencjałów odpowiednio V_1 i V_2 . Po połączaniu kul potencjał ich będzie równy:

- A) $V = (V_1 r_1 + V_2 r_2) / (r_1 + r_2)$
B) $V = V_1 V_2 / (V_1 + V_2)$
C) $V = (V_1 + V_2) / 2$
D) $V = \sqrt{V_1 V_2}$

726. 1988/F
- Na dwóch metalowych kulach małej i dużej, zgromadzono takie same ładunki dodatnie. Po połączaniu tych kul przewodnikiem:
- A) wyroównała się pojemność kul
B) wyroównała się liczby protonów
C) wyroównała się w kulach liczby elektronów
D) wyroównała się w kulach liczby elektronów

727. 1995/1.

- Kula przewodząca o promieniu r , naładowana do potencjału V , zetknęła z nienalektryzowaną kulą o trzykrotnie większym promieniu. Potencjał kuli po zetknięciu jest równy:
- A) $V/4$
B) $V/2$
C) $V/3$
D) V

728.

- W polu elektrostatycznym wydłużonej kuli K znajduje się mały otworek. Zaktualizuj, że działają tylko siły elektrostatyczne przyciągania między kulą i ładunkiem punktowym $-q$, możemy stwierdzić, że:
A) ładunek $-q$ porusza się ruchem jednostajnym
B) ładunek $-q$ porusza się ruchem jednostajnie przyspieszonym
C) ładunek $-q$ porusza się ruchem jednostajnie opóźnionym
D) ładunek $-q$ porusza się ruchem niestójącym zmieniającym na zewnątrz kuli i ruchem jednostajnym weewnętrzkiem
E) wszystkie odpowiedzi są fałszywe

729. 1992-94/MHS/Map
- Dwie metalowe kulki o promieniach r i $2r$ umieszczone w bardzo dużej odległości od siebie. Mniejszą kulę naładowano ładunkiem q . W pewnej chwili kulę połączono odcinkiem przewodnika powodując przepływ ładunku na większą kulę. Ładunek, który pozostał na mniejszej kuli to:
- A) $\frac{1}{2}q$
B) $\frac{1}{3}q$
C) $\frac{1}{4}q$
D) $\frac{2}{3}q$

730. 1997/1.

- Dwie kulki o promieniach r_1 i $r_2 = 2r_1$ połączono cienkim drutkiem i naładowano. Na powierzchni obu kulek będzie:

- A) jednakowe potencjały i natężenia pola elektrostatycznego,
B) jednakowe natężenia pola, a potencjał będzie większy na powierzchni większej kuli,
C) jednakowe potencjały, a natężenie pola będzie mniejsze na powierzchni większej kuli,
D) różne potencjały i natężenia pola elektrostatycznego.

731.

Kulki przewodzące nialektryzowanej ładunkiem q dokonały taką samą kulką nienalałowaną. Po rozunięciu ich stwierdzono że:

- A) obie kulki rozładowują się
B) obie kulki wzyskają ten sam ładunek q
C) kula nialektryzowana rozładowuje się
D) potencjały kulek wyroównują się

732.

- W obszarze jednorodnego pola elektrostatycznego o natężeniu 100 V/m uniszczono płytę metalową w kształcie kwadratu o boku 10 cm (rys.).
Napięcie między punktami A i B jest równe:

- A) 100 V
B) 10 V
C) 0 V
D) 1000 V

733.

Aby rozładować naładowaną ujemnym ładunkiem ($-Q$) małą kulę należy:

- A) zbliżyć ją do ciała naładowanego dodatnio
B) położyć ją drutem z drugą taką samą kulką naładowaną ładunkiem $+2Q$
C) położyć ją na metalowym pudelku naładowanym ujemnie
D) wrzucić ją do metalowego, naładowanego ujemnie pudelka
E) położyć ją przewodnikiem z większą, nienalałowaną kulką

734.

- Dwie metalowe kulki: mała i duża naładowano do tego samego potencjału. Ładunek zgromadzony na kulach jest:

- A) taki sam
B) kuli większej jest mniejszy
C) kuli mniejszej jest większy
D) kuli większej jest większy

735.

Jeżeli przewodzący bryłkę naładowany ładunkiem elektrycznym to wszystkie punkty tego ciała będą miały:

- A) jednakowy potencjał elektryczny
B) jednakową gęstość powierzchniową ładunku
C) jednakowy ładunek
D) prawdziwa jest odpowiedź A i B
E) prawdziwe są odpowiedzi A, B i C

- 736.
-
- Dwie kulki A i B o promieniach r i $2r$ (rys.) zetknęły ze sobą, a następnie rozsunęto:
Prawidłejst, że:
- A) kulki uzyskały ten sam ładunek i potencjał
B) ładunek dodatni przepłynął z kuli A do B
C) elektrony przepłynęły z kuli B na kulę A
D) kula B została nienalałowana

750.

W polu elektrostatycznym nabitkowanych jednakoładowych kulek A znajdują się w tej samej odległości kulki B i C o tej samej masie. Jeżeli kulka B jest metalowa, a kulka C jest z dielektrykiem, to prawdziwe jest, że:

- A) kulki B i C są przyciągane taką samą siłą elektrostatyczną
- B) przez kulkę A
- C) kulka B jest przyciągana silniej przez kulkę A niż kulka C
- D) kulki A, B i C nie oddziałują

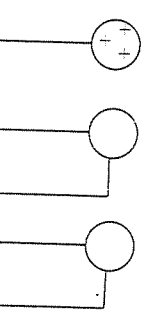
751. 1986/l.

Trzy metalowe kule umieszczone na izolujących podstawkach. Pierwszą nabitowano ujemnie. Pozostałe dwie:

- A) nabitowały się dodatnio
- B) pozostawały nienabitowane
- C) drugą nabitowały się dodatnio, trzecia ujemnie
- D) druga pozostawała nienabitowana, a trzecia nabitowała się dodatnio

752. 1990/l.

Do dwóch uziemionych metalowych kulek B i C zblisko nabitkę nabitowaną dodatnio (rys.), kulki B i C:



- A) nie nabitowały się
- B) nabitowały się ujemnie
- C) nabitowały się: B - ujemnie, C - dodatnio
- D) nabitowały się: B - dodatnio, C - ujemnie

753. 1982/l.

jednym z urządzeń służących do otrzymywania wysokich napięć jest generator Van der Graffa. Aby podwyższyć napięcie uzyskiwane z tego generatora należy:

- A) uniesieć go na podstawnie izolacyjnej
- B) umieścić go w ponięszczonym wypełnionym powietrzem o ciśnieniu wyższym od atmosferycznego
- C) uniesieć go w ponięszczonym powietrzem o ciśnieniu niższym od atmosferycznego
- D) zwiększyć ilość obrotów silnika napędzającego generator

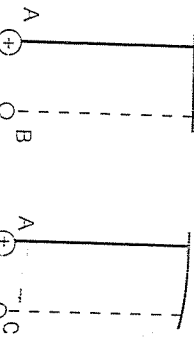
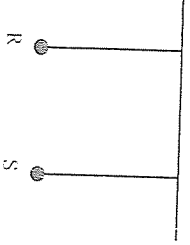
754. 1980/l.

Miedziane dwoma metalowymi płytami, ustawionymi pionowo i równolegle do siebie, zawieszono na dłuższej nici lekką metalową kulkę (rys.). Następnie kondensator uzupełniony przez te płyty nabitowany i odłączono od źródła napięcia. W wyniku tego kulka:

- A) została na stałe przyciągnięta przez płytę bliższą
- B) pozostała w położeniu równowagi
- C) przeskaknęła od jednej płytki do drugiej ze stałą częstotliwością
- D) przeskaknęła od jednej płytki do drugiej z malejącą częstotliwością

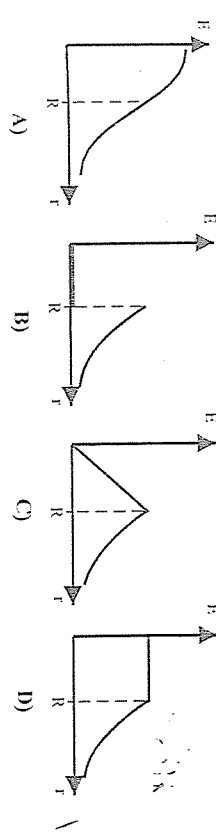
755. 1979/l.

Kulki R i S zawieszone są na jedwabnych niciach w pewnej odległości od siebie. Gdy zbliżą się do nich ujemnie nabitkowana paleczka, okazuje się, że kulka R jest przyciągana, a kulka S odpierała. Z tej obserwacji można wnioskować, że:



756. 1985/l.

Zależność natężenia pola elektrostatycznego wytworzonego przez kulę o promieniu R, nabitowaną ze stałą gęstością objętościową, od odległości od jej środka najlepiej przedstawią wykres:



757. 1994/l.

W kondensatorze o pojemności $C = 16 \mu\text{F}$, nabitowanym do napięcia $U = 20 \text{ V}$, jest zgromadzony ładunek:

- A) $0,32 \text{ mC}$
- B) $3,2 \mu\text{C}$
- C) $32 \mu\text{C}$
- D) 320 nC
- E) 320 nC

758.

Na przewodniku umieszczonego w próżni wprowadzono ładunek 10^{-3} C i dzięki temu jego potencjał wynosi 100 V . Pojemność tego przewodnika jest równa:

- A) $0,1 \text{ mF}$
- B) $10 \mu\text{F}$
- C) $1 \mu\text{F}$
- D) $1 \mu\text{F}$
- E) $0,1 \mu\text{F}$

759.

Umieszczenie przewodnika z poprzedniego zadania w substancji o stałej dielektrycznej 2 spowoduje, że pojemność:

- A) pozostanie nie zmieniona
- B) wzrosnąć 2 razy
- C) zmniejszyć 2 razy
- D) wzrosnąć dla ładunku dodatniego, a zmniejszyć dla ładunku ujemnego

760.

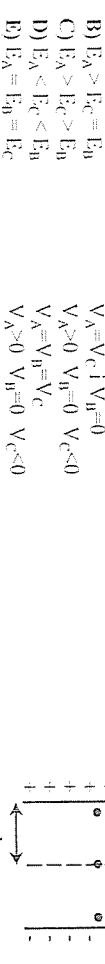
Kula o promieniu r nabitowano ładunkiem Q . Pojemność kuli wynosi:

- A) $\pi r^2 (\epsilon_0 Q)$
- B) Q/r
- C) Q/r
- D) $4\pi r \epsilon_0 Q$

761.

Dwie nieskończonoce płaszczyzny nabitowane ładunkami równymi 0 przeciwnych znakach. Natężenie E i potencjały V w punktach A, B i C spełniają warunki:

- A) $E_A < E_B < E_C$
- B) $E_A > E_C = E_B$
 $V_A = V_C \text{ i } V_B = 0$
- C) $E_A > E_C > E_B$
 $V_A > 0, V_B < 0, V_C < 0$
- D) $E_A < E_C < E_B$
 $V_A = V_B = V_C$
- E) $E_A = E_B = E_C$
 $V_A > 0, V_B = 0, V_C < 0$



762.

Jak zmieni się pojemność kondensatora, jeżeli ładunek zgromadzony w nim zostanie zmniejszony o połowy:

- A) zwiększy się dwukrotnie
- B) wzrośnie dwukrotnie
- C) może zwiększyć się podczas rozładowania kondensatora napięcie nie ulegnie zmianie
- D) nie zmieni się
- E) nie można powiedzieć, gdyż pojemność zależy od zgromadzonego ładunku i różnicy potencjalów pomiędzy okładkami

763. 1986/F

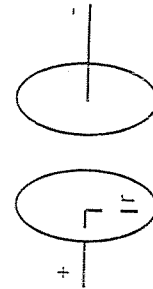
Kondensator płaski połączono ze źródłem napięcia. Jeżeli powierzchnia jego okładki $S_1 = 2S_2$, to ładunki na nich zgromadzone Q_1 i Q_2 są:

- A) $Q_1 = Q_2$
- B) $Q_1 = 2Q_2$
- C) $Q_1 = -Q_2$
- D) $Q_1 = -2Q_2$

764.

Okładki płaskiego kondensatora prożniowego stanowią kraczkę o promieniu r (rys.) leżące zwikszenny dwa razy promień okładek przy nie zmienionej odległości między nimi, to pojemność kondensatora:

- A) wzrosła 2 razy
- B) nie zmieni się
- C) zmalała 4 razy
- D) wzrosła 4 razy

**765.** 1992-94/MIS MaP

Kondensator płaski składający się z dwóch kwadratowych płyt ekranujących o d nadładowano ładunkiem Q . Wewnątrz kondensatora wytworzyło się pole elektryczne E . Siła działająca na każdą z płyt wynosi:

- A) $QE/2$
- B) QE
- C) $2 QE$
- D) QE/d^2

766. 1986/L

Dwie płytki metalowe nadładowano różnorodnymi ładunkami tej samej wielkości q . Siła elektrostatyczna z jaką płytka L, przycięga płytę K wyraża się wzorem: (r-odległość między płytami, E -napięcie pola elektrycznego między płytami, U -napięcie między płytami)

- A) $F=k\frac{q^2}{r^2}$
- B) $F=qE$
- C) $F=q\frac{E}{2}$
- D) $F=k\frac{q^2}{r}$
- E) $F=qU$

767. 1993/L

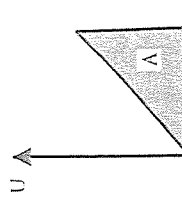
Odległość między okładkami kondensatora płaskiego zwiększo 4 - krotnie, zuniesiąc równoczesnie 3 - krotnie powierzchnię czynią okładek. Pojemność kondensatora nie zmieni się, jeżeli między jego okładkami wprowadzimy dielektryk o względnej przepuszczalności elektrycznej równej:

- A) 48
- B) 12
- C) 16/3
- D) 16/9
- E) 4/3

768. 1983/L

Wykres przedstawia zależność napięcia U na okładkach kondensatora od ładunku Q na nim zgromadzonego. Poł. figury A jest miarą:

- A) natężenia pola elektrostatycznego w kondensatorze
- B) oporu pojemnościowego kondensatora
- C) energii zawartej w polu elektrycznym nadładowanego kondensatora
- D) pojemności kondensatora

**769.** 1992-94/MIS MaP

Okładki nadładowanej prożniowego kondensatora płaskiego rozsunieto bez zaniku zgromadzonego ładunku tak, że ich odległość zwiększyła się dwukrotnie. Energia kondensatora:

- A) nie zmienia się
- B) zmalała dwukrotnie
- C) wzrosła dwukrotnie
- D) zmalała czterokrotnie

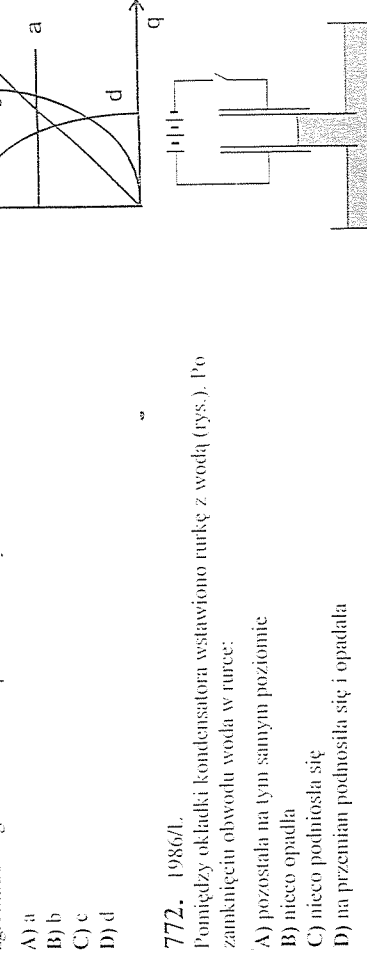
770. 1993/L

Wykres przedstawia zależność energii E nadładowanego kondensatora od kwadratu napięcia U między okładkami. Pojemność tego kondensatora wynosi:

- A) 0.2 nF
- B) 0.5 nF
- C) $0.5 \mu\text{F}$
- D) $1 \mu\text{F}$
- E) $2 \mu\text{F}$

771.

Zależność energii W nadładowanego kondensatora od ładunku zgromadzonego na okładkach przedstawia wykres:

**772.** 1986/L

Pomiędzy okładkami kondensatora wstawiono turkę z wodą w rurce zamkniętej obwodu woda w rurce:

- A) pozostała na tym samym poziomie
- B) nieco opadła
- C) nieco podniosła się
- D) na przejętian podnosiła się i opadła

773.

Plaski kondensator powietrzny podłączono do źródła prądu o napięciu 300 V. Po odłączeniu tego źródła kondensator zanurzono w oleju o stałej dielektrycznej 3. Napięcie na kondensatorze jest równe:

- A) 300 V
- B) 100 V
- C) 900 V
- D) 0 V

774. 1984/L

Kondensator powietrzny połączono z akumulatorem o napięciu U . Oddalaając od siebie płytki tego kondensatora stwierdzamy, że jego energia:

- A) nie zmienia się, ponieważ praca wykonywana przy oddalaniu płyt nie wpływa na jego stan
- B) nie zmienia się, ponieważ praca wykonywana przy oddalaniu płyt kompensuje zmianę energii

- C) maleje, a praca wykonywana przy oddalaniu płytek zużywana jest na ładowanie akumulatora
D) wzrasta, a praca wykonywana przy oddalaniu płytek zużywana jest na rozładowanie akumulatora

775. 1993/I.

Kondensator pionowy naładowano i odciążono od źródła napięcia. Następnie między jego okładki wsunięto dielektryk o stałej dielektrycznej ϵ_r . W rezultacie:

- A) napięcie między okładkami zmniejszy się, razy
B) napięcie pola między okładkami zmniejszy się, razy
C) ładunek na okładkach wzrosnie, razy
D) energia kondensatora zmniejszy się, razy
E) pojemność kondensatora wzrosnie, Δt_0 , razy

776. 1983/I.

Do płaskiego kondensatora wypełnionego dielektrykiem o $\epsilon_0 = 5$ doprowadzono ładunek Q_1 , który wywołuje na nim różnicę potencjalów U_1 . Po usunięciu dielektryka ładunek Q_2 zgromadzony na kondensatorze i napięcie U_2 pomiędzy jego okładkami wynosi:

- A) $Q_2 = 1/5 Q_1$
B) $Q_2 = Q_1$
C) $Q_2 = Q_1$
D) $Q_2 = 1/5 Q_1$

777. 1983/I.

Wstawienie dielektryka między okładki naładowanego kondensatora, powoduje:

- A) zmniejszenie natężenia i wartości energii pola elektrycznego
B) zmniejszenie energii i wzrost natężenia pola elektrycznego
C) wzrost ładunku zgromadzonego na okładkach i zwiększenie energii pola
D) zmniejszenie ładunku zgromadzonego na okładkach i zmniejszenie natężenia pola

778. 1983/I.

Po naładowaniu układu kondensatorów zgromadzone na nich ładunki Q i napięcia U między punktami A, B, C, D będą:

- A) $Q_1 \neq Q_2 \neq Q_3$; $U_{AB} = U_{BC} = U_{CD}$
B) $Q_1 \neq Q_2 \neq Q_3$; $U_{AB} \neq U_{AC} \neq U_{AD}$
C) $Q_1 = Q_2 = Q_3$; $U_{AB} + U_{BC} + U_{CD} = U_{AD}$
D) $Q_1 = Q_2 = Q_3$; $U_{AB} = U_{BC} = U_{CD}$

779. 1983/I.

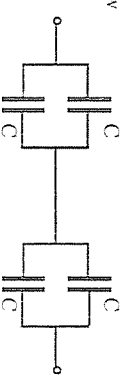
Dwa kondensatory o pojemności C_1 i C_2 zostały połączone równolegle. Pojemność kondensatora C_1 jest mniejsza od pojemności kondensatora C_2 . Ich pojemność wypadkowa wyraża się wzorem:

- A) $1/C = 1/C_1 + 1/C_2$, a różnica potencjałów pomiędzy okładkami kondensatora C_1 jest mniejsza niż pomiędzy okładkami kondensatora C_2
B) $C = C_1 + C_2$, a różnica potencjałów pomiędzy okładkami kondensatora C_1 jest większa niż pomiędzy okładkami kondensatora C_2
C) $1/C = 1/C_1 + 1/C_2$, a różnica potencjałów pomiędzy okładkami kondensatorów są takie same
D) $C = C_1 + C_2$, a różnica potencjałów w pomiędzy okładkami kondensatorów są takie same

780. 1992-94/MIS/MaP

Pojemność przedstawionego na rysunku układu kondensatorów wynosi:

- A) $4C$
B) $1/4C$
C) C
D) $1/2C$



781.

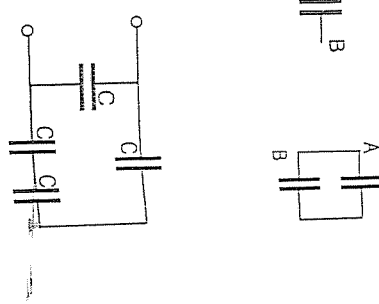
Układ dwóch jednakowych kondensatorów płaskich, o pojemności C każdy, naładowano ładunkiem Q , a następnie połączono punkty A i B. Prawdziwe jest, że:

- A) ładunek i napięcie nie uległy zmianie
B) kondensatory rozładowały się
C) ładunek uległ zmianie, a energia nie zmieniła się
D) ładunek pozostał niezmieniony, a energia układu wzrosła 4 razy

782.

Pojemność zastępcza baterii kondensatorów (rys.) wynosi

- A) C
B) 4 C
C) $\frac{4}{3} C$
D) $\frac{1}{4} C$



783.

Dwa kondensatory o zmienniej pojemności w granicach od 10 pF do 200 pF połączono w baterię szeregowo. Pojemność układu złożonego z tych kondensatorów może zmieniać się w granicach:

- A) od 10 pF do 200 pF
B) od 20 pF do 400 pF
C) nie ulega zmianie
D) od 5 pF do 100 pF

784.

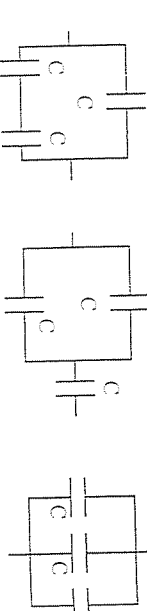
Jeżeli kondensatory z poprzedniego zadania połączymy równolegle, to pojemność baterii może zmieniać się w granicach:

- A) od 20 pF do 400 pF
B) od 10 pF do 200 pF
C) od 5 pF do 100 pF
D) nie ulegnie zmianie

785. 1991/I.

Trzy kondensatory o jednakowych pojemnościach połączono według schematów przedstawionych na rysunkach 1, 2, 3.

Rys. 1. Rys. 2. Rys. 3.



Jeżeli oznaczony przez C_1 , C_2 , C_3 pojemności zastępcze baterii kondensatorów, odpowiednio na rys. 1, rys. 2, rys. 3, to spełniają one zależność:

- A) $C_1 = C_2 = C_3$
B) $C_1 = C_2 < C_3$
C) $C_1 < C_2 < C_3$
D) $C_2 < C_1 < C_3$

Pojemność zastępcza baterii n kondensatorów połączonych szeregowo jest:

- A) zawsze mniejsza od pojemności najniższego kondensatora
B) większa od pojemności największego kondensatora
C) równa sumie odwrotności pojemności poszczególnych kondensatorów
D) równa sumie pojemności poszczególnych kondensatorów
E) równa średniej pojemności $C_s = \frac{C_1 + C_2 + C_3 + \dots + C_n}{n}$

787. 1985/L

Trzy jednakoowe kondensatory, każdy o pojemności C połączono jak na rysunku. Przy otwartym wylotniku P nalożowano je przykładowo napięcie między punktami A i B. Po odcięciu źródła energii układu wynosi W_1 i napięcie między punktami A i B - U_1 . Po zamknięciu wylotnika P energia układu W_2 i napięcie U_2 są:

- A) $W_2 > W_1$
 $U_2 = U_1$
- B) $W_2 < W_1$
 $U_2 > U_1$
- C) $W_2 > W_1$
 $U_2 < U_1$
- D) $W_2 < W_1$
 $U_2 < U_1$

788. 1986/L
Jeśli do układu trzech jednakoowych kondensatorów połączonych tak, jak na rysunku zostanie doprowadzony ładunek Q , to ładunki zgromadzone na poszczególnych kondensatorach będą równe:
 A) $Q_1 = Q_2 = Q_3 = 1/3 Q$
 B) $Q_1 = 1/3 Q$,
 $Q_2 = Q_3 = 2/3 Q$
 C) $Q_1 = 2/3 Q$,
 $Q_2 = Q_3 = 1/6 Q$
 D) $Q_1 = 2/3 Q$,
 $Q_2 = Q_3 = 1/3 Q$

789. 1987/L
Cztery kondensatory połączono tak, jak na rysunku i układ nalożowano. Największa energia jest zgromadzona w kondensatorze o pojemności:
 A) C_1
 B) C_2
 C) C_3
 D) C_4

790. 1985/L, 1987/F
W układzie kondensatorów przedstawionym na rysunku spełniony jest warunek:
 A) $q_1 = q_2$
 B) $q_1 = q_2$
 C) $q_1 > q_2$
 D) $q_1 < q_2$
 E) $q_1 = q_2 = q_3$

791. 1985/L, 1987/F
Kondensator próżniowy o pojemności C_0 nalożowano i oddzielono od źródła prądu. Następnie wewnętrznie wypełniono dielektrykiem o stałej dielektrycznej ϵ_r . Na skutek tego:
 napięcie między ładunkiem na okładkach pozostaje stały
 A) zmalało ϵ_r razy
 B) zmalało ϵ_r razy
 C) wzrosło ϵ_r razy
 D) zmalało ϵ_r razy

792. 1988/L
Kondensator płaski o pojemności C nalożowano ładunkiem Q i oddzielono od źródła prądu. Aby zwiększyć trzykrotnie odległość między okładkami tego kondensatora należałoby wykonać pracę:
 A) $W = Q^2/(3C)$
 B) $W = Q^2/(2C)$
 C) $W = Q^2/C$
 D) $W = 3Q^2/C$

793. 1989/F

Płyty nalożowanej i oddzielonej od źródła napięcia kondensatora bieżeli odległość d . Po wsunięciu do wnętrza kondensatora płytki metalowej o grubości $0,5\text{ mm}$ i napięcie między płytami:

- A) zmalało dwukrotnie
- B) nie uległo zmianie
- C) wzrosło dwukrotnie
- D) wzrosło czterokrotnie

794. 1989/L
Układ trzech jednakowych kondensatorów pokazanych na rysunku nalożowano przy otwartym kłączu K do napięcia 600 V , a następnie odłączono od źródła napięcia. Po zamknięciu kłączu K pomiędzy punktami I i II ustali się napięcie:

- A) 600 V
- B) 800 V
- C) 1800 V
- D) 0 V
- E) 450 V

795. 1978/L

Rysunek przedstawia kondensator połączony ze źródłem prądu stałego. Wprowadzenie dielektryka między okładki kondensatora spowoduje:

- A) powiększenie ładunku elektrycznego na okładkach kondensatora
- B) zwiększenie natężenia pola pomiędzy okładkami
- C) zmniejszenie natężenia pola pomiędzy okładkami
- D) zmniejszenie napięcia między okładkami kondensatora

796.
Prawdziwe jest twierdzenie:
 A) energia elektryczna baterii kondensatorów jest mniejsza od energii najmniejszego kondensatora
 B) pojemność zastępcza baterii kondensatorów połączonych równolegle jest większa od pojemności największego kondensatora
 C) pojemność połączonych szeregowo i identycznych kondensatorów o pojemności C każdy jest równa C/n
 D) pojemność połączonych równolegle i identycznych kondensatorów o pojemności C każdy jest równa nC
797.
Rysunek przedstawia kondensator podłączony do źródła napięcia. Podczas rozsuwania okładek kondensatora nie zmienia się:

- A) ładunek na kondensatorze
- B) napięcie pomiędzy okładkami
- C) energia kondensatora
- D) natężenie pola elektrycznego pomiędzy okładkami
- E) pojemność kondensatora

Kondensator płaski podłączony jest do źródła napięcia. Podczas rozsuwania okładek kondensatora nie zmienia się:
 A) ładunek na kondensatorze
 B) napięcie pomiędzy okładkami
 C) energia kondensatora
 D) natężenie pola elektrycznego pomiędzy okładkami
 E) pojemność kondensatora

798.
Kondensator płaski nalożowano i oddzielono od źródła napięcia. Podczas rozsuwania okładek kondensatora nie zmienia się:

- A) ładunek na kondensatorze
- B) napięcie pomiędzy okładkami
- C) energia kondensatora
- D) natężenie pola elektrycznego pomiędzy okładkami
- E) pojemność kondensatora

A) ładunek na kondensatorze, a pojemność kondensatora wzrasta
 B) napięcie pomiędzy okładkami
 C) energia kondensatora
 D) natężenie pola elektrycznego pomiędzy okładkami
 E) pojemność kondensatora

Kondensator płaski nalożowano i oddzielono od źródła napięcia. Podczas rozsuwania okładek kondensatora nie zmienia się:
 A) ładunek na kondensatorze
 B) napięcie pomiędzy okładkami
 C) energia kondensatora
 D) natężenie pola elektrycznego pomiędzy okładkami
 E) pojemność kondensatora

799.

kondensator płaski naładowano i odłączono od źródła napięcia. Następnie pomiędzy okładkami kondensatora wsunięto płytę przewodzącą równolegle do nich. W efekcie nie zmieni się:

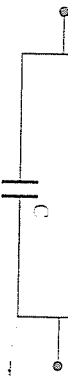
- A) pojemność kondensatora
- B) ładunek na kondensatorze
- C) napięcie pomiędzy okładkami
- D) energia układu, a zmieni się ładunek

800. Podczas łączenia kondensatorów obserwujemy:

- A) jednakowe różnice potencjałów na wszystkich kondensatorach
- B) jednakowe ładunki na wszystkich kondensatorach
- C) kondensatory połączone szeregowo mają takie same ładunki, kondensatory połączone równolegle takie same różnice potencjałów
- D) kondensatory połączone szeregowo mają takie same różnice potencjałów, kondensatory połączone równolegle takie same ładunki
- E) w kondensatorach połączonych równolegle gromadzona jest taka sama energia

801. 1993/J. Pojemność zastępcza układu trzech kondensatorów o pojemności $C = 2 \text{ pF}$ każdy, połączonych jak na rysunku wynosi:

- A) $1,5 \text{ pF}$
- B) 2 pF
- C) 3 pF
- D) 4 pF
- E) 6 pF

**802.**

Dwa kondensatory o jednakowych wymiarach, jeden próżniowy, a drugi wypełniony substancją o stałej dielektrycznej 4 są naładowane i odłączone od źródła napięcia. Jeżeli są połączone szeregowo, to energia zgromadzona na kondensatorze z dielektrykiem jest:

- A) taka sama jak na kondensatorze z dielektrykiem
- B) 4 razy większa niż na kondensatorze z dielektrykiem
- C) 4 razy mniejsza niż na kondensatorze z dielektrykiem
- D) 2 razy większa niż na kondensatorze z dielektrykiem

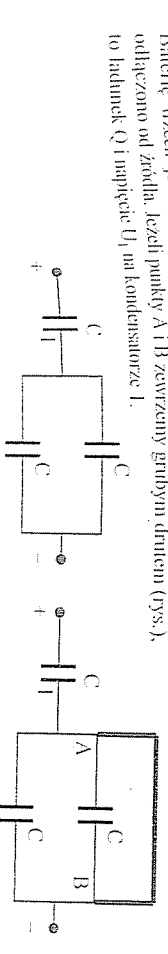
803.

Trzy kondensatory płaskie o pojemnościach 4pF , 5pF , 20pF połączono szeregowo w baterię i naładowano do napięcia 100V . Ładunek, jaki został zgromadzony w tej baterii, wynosi:

- A) 10^{-5}C
- B) $2 \cdot 10^{-4}\text{C}$
- C) 10C
- D) 10^6C

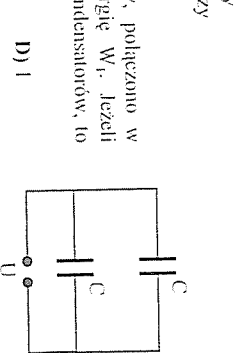
804. Sumsuk ładunku zgromadzonego na kondensatorze o pojemności 4pF do ładunku na kondensatorze o pojemności 5pF z poprzedniego zadania jest:

- A) 0,8
- B) 1
- C) 1,25
- D) 20

805. Baterię dwóch jednakowych kondensatorów, o pojemności C każdy, naładowano do napięcia U i odłączono od źródła. Jeżeli punkty A i B zewnętrzny grubym drutem (rys.), to ładunek Q i napięcie U_1 na kondensatorze 1,**806.**

1990/F. Dwie jednakowe kondensatory płaskie, o pojemności C każdy, połączono w baterię i dołączono do źródła o napięciu U , uzyskując energię W . Jeżeli zwiększyć dwa razy odległość między okładkami jednego z kondensatorów, to stosunek energii zgromadzonej w baterii W_1/W , wynosi:

- A) $3/4$
- B) $4/3$
- C) $2/3$
- D) 1
- E) $1/2$

**807.**

Baterię kondensatorów (rys.) naładowano i odłączono od źródła napięcia. Największa energia elektryczna jest zgromadzona na kondensatorze o pojemności:

- A) $C/2$
- B) $C/3$
- C) $C/4$
- D) C

**808.**

Baterię kondensatorów (rys.) naładowano i odłączono od źródła napięcia. Największa energia elektryczna jest zgromadzona na kondensatorze o pojemności:

- A) jego pojemność

- B) jego pojemność wzrostu

- C) jego pojemność zmniejszenia

- D) jego pojemność zmniejszenia, jeżeli stała dielektryczna oleju będzie mniejsza od 1

E) wszystkie odpowiedzi są fałszywe

809.

Ładunek kondensatora płaskiego zanurzyno do połowy w oleju to:

- A) jego pojemność zmniejsza

- B) jego pojemność nie zmienia się

- C) jego pojemność zmienia

- D) jego pojemność zmniejsza, jeżeli stała dielektryczna oleju będzie mniejsza od 1

E) wszystkie odpowiedzi są fałszywe

810.

Ponieważ okładki próżniowego kondensatora C_0 wsunięto do dielektryku, w ten sposób że połowa powierzchni kondensatora znalazła się w zasięgu jego działania. Stosunek pojemności tego utworzonego kondensatora, do pojemności kondensatora próżniowego wynosi:

- A) $2\varepsilon_0/\varepsilon_1$
- B) $\frac{1+\varepsilon_0}{2}$
- C) $\frac{\varepsilon_1}{\varepsilon_0}$
- D) $\frac{1+\varepsilon_1}{2}$
- E) $\frac{\varepsilon_0\varepsilon_1}{2}$

**811.** 1981/F.

Pojemność baterii dwóch kondensatorów połączonych szeregowo (rys.) jest najbliższa wartości:

- A) 2 pF
- B) 1 pF
- C) $1,5 \text{ pF}$
- D) $1,5 \text{ pF}$

**812.** 1989/I. Jeżeli do naładowanego i odłączonego od źródła napięcia kondensatora dolaczyc równolegle taki sam kondensator nie naładowany, to energia układu:

- A) zmalaje dwa razy
B) nie ulegnie zmianie

813.

Kondensator o pojemności C naładowano do napięcia U i połączono równolegle z drugim, nienalađowanym kondensatorem o pojemności nC . Napięcie na okładkach pierwszego kondensatora po połączeniu wynosi:

$$\text{A) } \frac{U}{n+1} \quad \text{B) } U \quad \text{C) } (n+1)U \quad \text{D) } \frac{U}{n} \quad \text{E) } nU$$

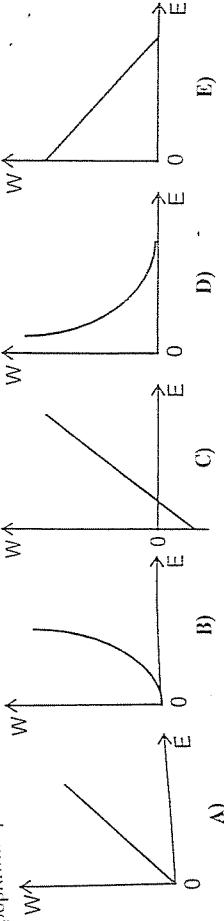
814.

Jeżeli energia kondensatorów z poprzecznego zduania wynosi przed połączeniem W , to energia układu połączonych kondensatorów jest równa:

$$\text{A) } W \quad \text{B) } \frac{W}{n+1} \quad \text{C) } \frac{W}{2(n+1)} \quad \text{D) } (n+1)W \quad \text{E) } 2(n+1)W$$

815. 1994/M

Zależność energii naładowanego kondensatora od natężenia pola elektrycznego między jego okładkami poprawnie przedstawia wykres:



816.

Poniżej określ naładowane kondensatora wpada ładunek elektryczny. Ladtunek:

- A) zawsze zmienia swoją energię kinetyczną
B) nie zmienia swojej energii kinetycznej, jeżeli porusza się równolegle do wektora natężenia pola elektrycznego
C) nie zmienia swojej energii kinetycznej, jeżeli porusza się prostopadle do wektora natężenia pola elektrycznego
D) nie zmienia swojej energii kinetycznej, jeżeli wpada w obszar pomiędzy okładkami kondensatora plaskiego z przedkością do nich równoległą
E) w wyniku oddziaływania z polem elektrycznym kondensatora energia kinetyczna ładunku zawsze ulega zwikszaniu

817.

Miedzy płytka plaskiego kondensatora wlatuje elektron e i proton p z jednakowymi przedkościami V . Jeżeli odległość ładunków od okładek kondensatora są jednakowe (rys.), to:

- A) szybciej do końca płytka elektron
B) szybciej do końca płytka proton
C) proton i elektron dotkną płytę w tym samym czasie
D) proton dotkną płytę w czasie dwa razy krótszym niż elektron

- C) wzrośnie dwa razy
D) wzrośnie cztery razy

818. 1992-94/MIS MaP

Miedzy płytka naładowanego kondensatora płaskiego znajdują się jednoceśnie poruszac proton od okładki dodatniej i elektron od okładki ujemnej. Mina się cząstki:

- A) blisko okładki dodatniej
B) blisko okładki ujemnej
C) blisko środka od strony okładki dodatniej
D) blisko środka od strony okładki ujemnej

819.

Tor elektronów pomiędzy okładkami kondensatora płaskiego jest:

- A) zawsze prostą
- B) okręgiem
- C) parabolą
- D) prosta lub parabolą
- E) spirala

820.

Elektron wlatuje z przedkością v_0 między okładki kondensatora płaskiego prostopadle do linii sil pola elektrostatycznego (rysunek). Napiszcie między okładkami wynosi U , odległość d , długość l , ładunek elektronu e , a jego masa m . Jeżeli zamieśbiany niejednorodność pola na przegach kondensatora, to o ruchu elektronu możemy powiedzieć, że:

- a) czas jego przelotu wynosi $t = \frac{l}{v_0}$
b) torem ruchu jest parabola
c) wzdluz linii sil pola porusza się on z przyspieszeniem $a = \frac{eU}{md}$
d) odległość na jaką zostanie odchylony od kierunku pierwotnego jest wprost proporcjonalna do d
e) jego energia kinetyczna podczas przelotu przez kondensator jest stała

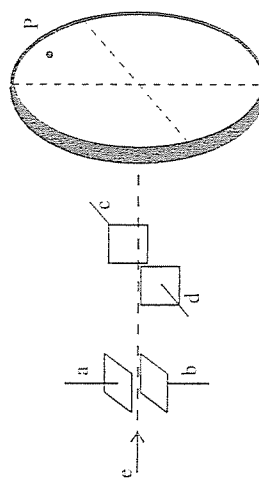
Prawdziwe są stwierdzenia:

- A) b, d, e, f
B) a, b, c, f
C) a, b, c, e
D) a, c, d, e

821. 1980/I.

Rysunek przedstawia układ płytek odchylających oraz ekran oscylografu. Zbiezna wiązka elektronów biegących wzdłuż lampy wywoła świecenie ekranu w punkcie P , gdy potencjał ujemny będący mały:

- A) płytka a i c
B) płytka a i d
C) płytka b i c
D) płytka b i d



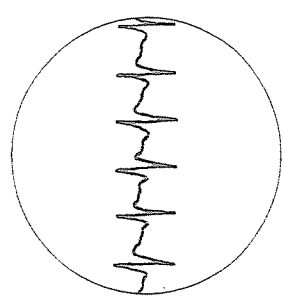
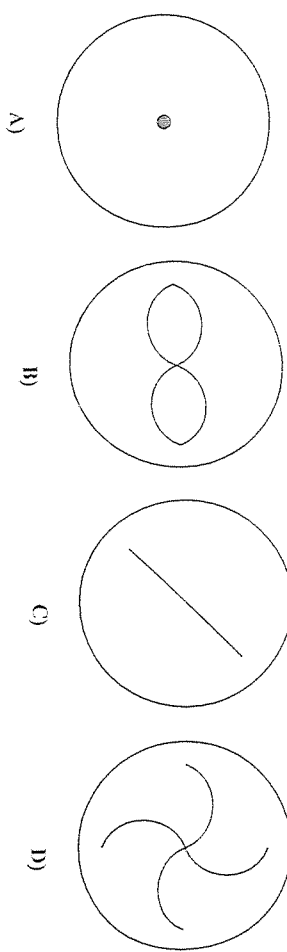
822. 1976/I.

Na ekranie oscyloskopu, którego generator podstawy czasu ma częstotliwość $f=0,25\text{ Hz}$, obserwowano elektrokardiogram sportowca po intensywnym treningu. Na tej podstawie usłyszano, że igloo sportowca było równe około:

II. PRĄD ELEKTRYCZNY I ELEKTROCHEMIA

- A) 75 uderzeń na minutę
 B) 84 uderzeń na minutę
 C) 90 uderzeń na minutę
 D) 96 uderzeń na minutę

823. 1979/I.
 Gdyby do obu par płytEK oddzielających w oscylografie katotowym zostało przyłożone to samo napięcie zmieniające się sinusoidalnie, to na ekranie otrzymać byłby wyraźny obraz przedstawiony na rysunku:



- Definiując natężenie prądu elektrycznego można wyrazić zilnicem: Natężeniem prądu elektrycznego nazywamy
- A) stosunek napięcia na końcach przewodnika do oporu tego przewodnika
 B) stosunek oporu przewodnika do różnicy potencjałów na końcach tego przewodnika
 C) stosunek ładunku elektrycznego, przepływającego przez przekrój poprzeczny danego przewodnika, do czasu, w którym ten ładunek przepływa

- D) iloraz ładunku elektrycznego i czasu jego przepływu przez przekrój danego przewodnika

825.

Natężenie prądu wytwarzanego przez elektron krający na pierwszej orbicie atomu wodoru, z częstotliwością $6.5 \cdot 10^{15} \text{ Hz}$ wynosi:

- A) 10^5 A

B) 0 A

C) $1.04 \cdot 10^3 \text{ A}$

- D) $1.04 \cdot 10^4 \text{ A}$

- E) żadna z tych odpowiedzi nie jest prawidłowa

826.

Zależność przepływającego przez przewodnik prądu od czasu pokazuje rysunek. Laddunek jaki przepłynie przez przewodnik w ciągu 40s wynosi:

- A) $2 \cdot 10^{-6} \text{ C}$
 B) $2 \cdot 10^{-4} \text{ C}$
 C) $2,4 \cdot 10^{-1} \text{ C}$
 D) $2,4 \cdot 10^{-2} \text{ C}$
 E) 240 C

827.

Natężenia prądów przepływających przez punkt P rozgałęzienia przedstawionej na rysunku, spełniają warunek opisany równaniem:

- A) $I_1 + I_3 + I_4 - I_2 - I_5 = 0$
 B) $I_1 + I_2 = I_3 + I_4 + I_5$
 C) $I_1 + I_3 = I_1 + I_2 + I_5$
 D) $I_1 + I_4 = I_2 + I_3$

828. 1982/F.
 Przy napięciu 24 V, przez przewodnik w ciągu 2 minut, przepływa ładunek 12 C. Opor tego przewodnika wynosi:

- A) 4Ω

B) 12Ω

C) 24Ω

- D) 240Ω

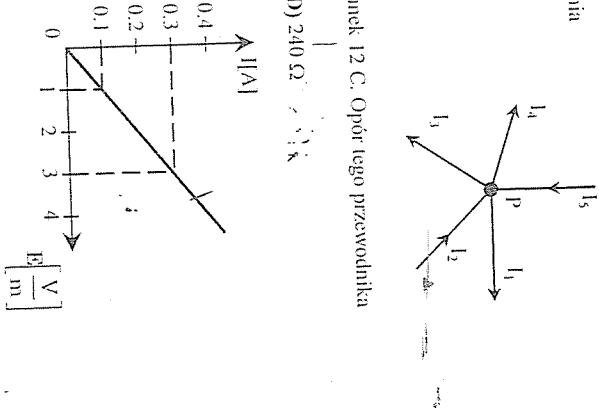
829. 1986/I.
 Wykres przedstawia zależność natężenia prądu elektrycznego w przewodzie o długości 2 m od natężenia pola elektrycznego w tym przewodzie. Opor przewodu wynosi:

- A) 1Ω

B) 2Ω

C) 10Ω

- D) 20Ω



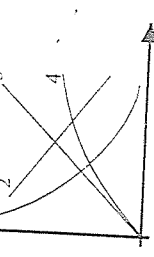
Fizyka dla kandydatów

X30 1998/1

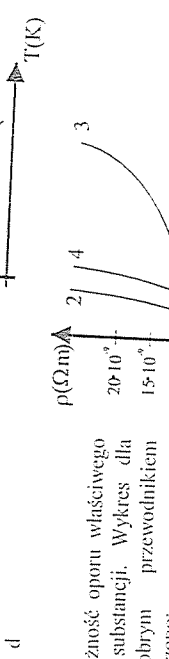
Przed o napięciu I płynie przez przewodnik o długości l , promieniu przekroju poprzecznego r i oporze właściwym ρ . Zastępujemy go innym przewodnikiem o długości $2l$, przeniesieniu przekroju poprzecznego $2r$ oporze właściwym 2ρ . Jakie będzie natężenie prądu płynącego przez drugi przewodnik przy tej samej

331. 1982! Fizyka. Zależność przewodnictwa elektrycznego właściwego σ od temperatury dla przewodnika może przedstawić wykres:

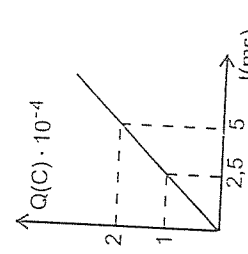
A) $I/2$ B) $2I$ C) I D) $4I$



-



- 10.10
5.10
10.10
5.10



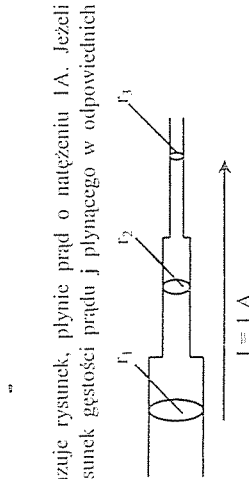
1. Dla elementarnych ładunków, jakie przepłynęły przez przekrój poprzeczny przewodnika z czasem zadania w czasie 5 ms, wynosiła:

626

Jeżeli przekrój poprzeczny przewodnika z zadania 834 wynosi $0,5 \text{ mm}^2$, to gęstość prądu mierzona

- Wzór m. jesiennego:**

 - $8 \cdot 10^4$
 - $8 \cdot 10^{-4}$
 - $8 \cdot 10^2$
 - $8 \cdot 10^{-2}$



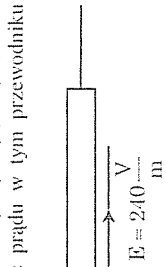
- W obwodzie wg. zadania 835 stosunek prędkości unoszenia elektronów w poszczególnych częściami obwodu v_1, v_2, v_3 wynosi:

A) 1 : 1 : 1 B) 4 : 2 : 1 C) $\frac{1}{4} : \frac{1}{2} : 1$ D) $\frac{1}{16} : \frac{1}{4} : 1$ E) 1 : $\frac{1}{4} : \frac{1}{16}$

C) 1 : 2 : 4

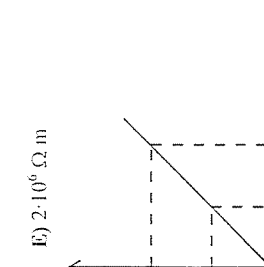
838. $\frac{S^3}{J}$

Natężenie pola elektrostatycznego o wartości 240 V/m (rysunek) powoduje przepływ prądu w



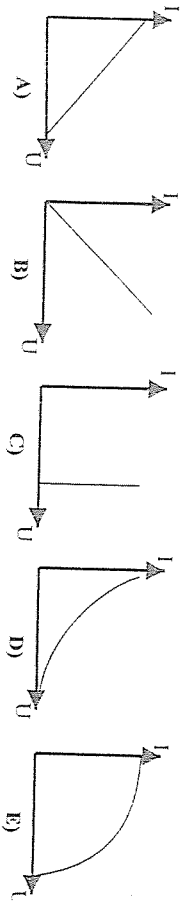
- leżeli przy gęstości brudu 10^6 A między końcami przewodnika utworzono ciepłą różnicę potencjalów 7 V

of older Mediterranean civilizations (including the Phoenicians).



- Jeżeli długość i przekrój poprzeczny opornika z poprzedniego zadania wynoszą odpowiednio 0,2m i $0,2 \text{ mm}^2$, to przewodność elektryczna opornika wynosi:

- 843.** 1997L
Charakterystykę prądowo-napięciową opornika w stałej temperaturze poprawnie przedstawi tylko wykres:



844. 1995MIS MaP

Na metrowym odcinku miedzianego drutu bez izolacji i o średnicy 1 mm zauważano 10 supełków. Jak zmieni się opór elektryczny tak uzyskanego przewodnika w stosunku do prostego drutu?

- A) wzrosieć
B) nie zmieni się
C) zmniejszeć
D) drut stanie się bardzo złyim przewodnikiem elektryczności

845. 1987L

Jeżeli długość przewodnika zmniejszyć dwukrotnie, jednocześnie dwukrotnie zwiększać jego średnicę, to opór przewodnika:

- A) zmniejszeje ośmiokrotnie
B) zmniejszeje czterokrotnie
C) zmieniaje dwukrotnie
D) nie ulegnie zmianie

846. 1995MIS MaP

Drut o oporze 8Ω rozciągnięto do długości dwukrotnie większej niż początkowa. Jeżeli podczas rozciągania nie zmieniają się ani opór właściwy ani gęstość materiału, to opór rozciągniętego drutu wynosi:

- A) 4Ω
B) 8Ω
C) 16Ω
D) 32Ω

847.

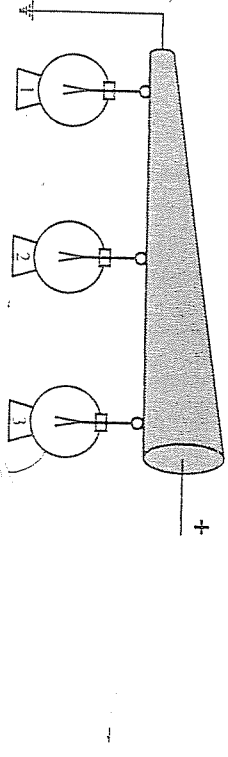
Opór pewnego kawałka drutu wynosi R_0 . Jeżeli zmniejszymy dwa razy średnicę drutu przy niezmienionej masie, to opór R tego kawałka drutu:

- A) nie zmieni się
B) wzrosieć dwa razy
C) wzrosieć 4 razy
D) zmniejszeje 16 razy
E) wzrosieć 16 razy

848.

Trzy identyczne elektroskopów połączono przewodnikiem metalowym o zmiennym przekroju. Jeżeli jeden koniec przewodnika połączony z biegiemem dodatnim maszyny elektrostatycznej, a drugi uziemiony, to:

- A) listki elektroskopów wzrosną o tyle, ile zmieni się przekrój przewodnika
B) listki nie rozwijają się jednakowo
C) najmniej rozwijają się listki elektroskopu 3, najbardziej elektroskopu 1



- D) najmniej rozwijają się listki elektroskopu 1, najbardziej elektroskopu 3
E) najbardziej rozwijają się listki elektroskopu 2, a wychylenia elektroskopów 1 i 3 będą jednakowe

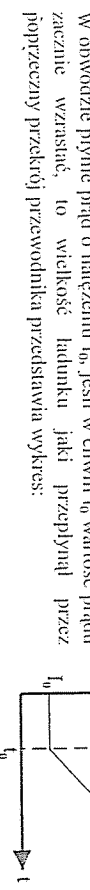
849.

Dwie jednakowe kulki metalowe naładowano ładunkiem jednorodnym o różnej wartości. Jeżeli połączymy je przewodnikiem, to:

- A) prąd nie popłynie
B) popłynie prąd w kierunku kulki 1
C) elektryczny przepływ od kulki 1 do kulki 2
D) popłynie prąd w kierunku kulki 2
E) poprawne są odpowiedzi B i C

850.

W obwodzie płynie prąd o natężeniu I_0 , jeśli w chwili t_0 wartość prądu zacznie wzrastać, to wielkość ładunku jaki przepływał przez poprzeczkę przekroju przewodnika przedstawia wykres:



851.

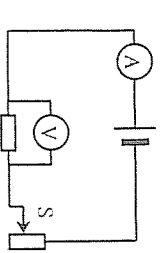
Jak zmienia się wskazanie amperomierza i woltonierza po przesunięciu suwaka S w dół:

- A) amperomierz zwiększa, a woltonierza wzrosieć
B) amperomierz wzrosieć, a woltonierza zmniejsza
C) amperomierz i woltonierza wzrosną
D) amperomierz i woltonierza zmniejsza
E) nie zmieni się

852. 1978L

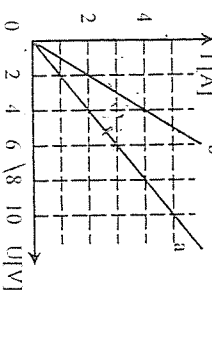
Obserwując amperomierz podczas przesuwania suwaka S we wskazaną stronę (por. rys.), stwierdzamy:

- A) wzrost natężenia prądu, gdyż do obwodu z amperomierzem włączona będzie coraz mniejsza część opornika P
B) zmniejszenie się natężenia prądu wskutek stopniowego zmniejszania napięcia w obwodzie z amperomierzem
C) niezmienność wartości natężenia prądu, gdyż opory P i R są stałe
D) niezmienność wartości natężenia prądu, gdyż korzystamy ze źródła o niezmiennym napięciu U



- 853.** 1997L
Wykresy przedstawiają zależność $I(U)$ dla oporników R_a i R_b . Opornik R_a składa się z R_b i dodatkowo z nim połączonego – R_c . Opór opornika R_c wynosi:

- A) 4Ω
B) 3Ω
C) 2Ω
D) 1Ω



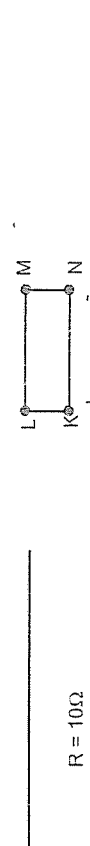
854.

Dwa oporniki o oporach 20Ω i 40Ω połączono szeregowo. Aby całkowity opór układu wynosił 80Ω , należy dołączyć dodatkowy opornik o wartości:

- A) 20Ω równolegle B) 20Ω szeregowo C) 10Ω szeregowo D) 10Ω równolegle

855.

Z drutu o oporze $R = 10\Omega/m$ (rys. 1) utworzono prostokąt KLMN (rys. 2) i do punktów KN przyłożono napięcie. Jeżeli opór odcinka MN jest równy 1Ω , to opór zastępczy wynosi:



rys 1

- A) 4Ω B) $(12/5)\Omega$ C) $(1/4)\Omega$ D) $(5/12)\Omega$

856.

1991/L
Jaki natężenie prądu w obwodzie prądu stałego wskazuje amperomierz 2:

- A) $2A$
B) $6A$
C) $4,5A$
D) $3A$
- rys 2
- $R_1 = 3\Omega$
 $J_1 = 1,5A$
 $R_2 = 9\Omega$
- D) $(5/12)\Omega$

857.

Jeżeli spadek potencjału na oporniku R_1 jest równy spadkowi potencjału na oporniku R_2 , to $R_1 : R_2 : R_3$ mają się do siebie jak:

- A) $1 : 0,5 : 0,5$
B) $1 : 2 : 2$
C) $1 : 1 : 1$
D) $1 : 2 : 3$

858.

Opor zastępczy szesściu oporników (rys.) o oporze 3Ω każdy jest równy:
 A) $(19/30)\Omega$
B) 2Ω
C) $(30/19)\Omega$
D) $(1/2)\Omega$

861.

Opor zastępczy (rys.) pięciu oporników, o oporze R każdy, wynosi:

- A) $5R$
B) $2R$
C) R
D) $0,5R$

862.

Potencjał punktu B względem punktu A (rys.), jeżeli opór zastępczy jednakoowych oporników wynosi $\frac{3}{4}\Omega$, jest:

- A) taki sam
B) wyższy o $4V$
C) niższy o $4V$
D) niższy o $1V$

863.

1999/L
W obwodzie elektrycznym (rys.) ze źródłem napięcia, którego opór wewnętrzny można pomieść, amperomierz wskazuje natężenie prądu I . Przy otwartym kluczu K . Po zamknięciu klucza K amperomierz wskazuje natężenie prądu:

- A) $0,5I$
B) I

864.

1992-94/MIS MaP
Dany jest wycinek obwodu (rysunek). Po usunięciu oporu R opór R_{ab} pomiędzy punktami a i b :

- A) wzrosnie
B) zmniejszy się
C) nie zmieni się
D) zależy od stosunku r/R

865.

1993/L
Drut miedziany o oporze R został pojęty na 3 równe części, które następnie połączono ze sobą równolegle. Opór całkowity układu:

- A) zmniejszy się 9 razy
B) wzrosnie 9 razy
C) zmniejszy się 3 razy

866.

Zastępczy opór układu oporników przedstawionego na rysunku wynosi (opor przewodów pomijany):

- A) $1R$
B) R
C) $2R$
D) $\frac{5}{2}R$
E) $1,4R$

859.

Jeżeli $R_1 = 1\Omega$, $R_2 = 4\Omega$, $R_3 = 2\Omega$, $R_4 = 4\Omega$, to największy spadek napięcia występuje na oporniku:

- A) R_1
B) R_2
C) R_3
D) R_4

860.

1995/MIS MaP
Przewód o oporze 100Ω należy pojąć na pewną liczbę równych odcinków, aby przy równoległym połączeniu wszystkich odcinków opór zastępczy wynosił 1Ω . Liczba tych odcinków wynosi:

- A) 100
B) 50
C) 10
D) 5

867.

Jaki zmienia się wskazanie amperometrów A_1 i A_2 po zamknięciu wyłącznika K :

- wskazania A_1 i A_2 wzrosną
- wskazania A_1 i A_2 zmniejszą się
- nie zmienia się
- wskazania A_1 wzrosną, a A_2 zmniejszą się
- wskazanie A_1 zmniejsza, a A_2 wzrosnąć

868. 1990/F.

Trzyjlową linkę o oporze 10Ω rozpięto i otrzymane przewody połączono w jeden szereg. Opór uzyskanego przewodu wynosi:

- A) $3,3 \Omega$
 B) $10\sqrt{3} \Omega$
 C) 30Ω
 D) 90Ω

869. 1996/L.

Jaki opór należy dodać równolegle do oporu 24Ω , aby przez taki układ pod napięciem 12 V płynął prąd o natężeniu 2 A ?

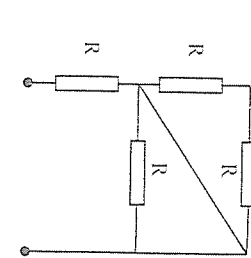
- A) 6Ω
 B) 8Ω
 C) 10Ω
 D) 12Ω

870. Zastępczy opór układu oporników przedstawionego na rysunku wynosi

- (opór przedwojów pomijany):
 A) $\frac{5}{3} R$
 B) $2 R$
 C) $1 R$
 D) $\frac{2}{3} R$
 E) $\frac{3}{2} R$

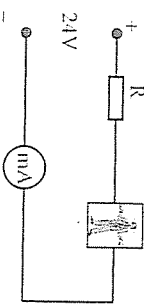
871. Jeżeli U_1 jest napięciem między końcami oporników R_1 i R_2 , a U_2 jest spadkiem napięcia na oporniku R_3 , to prawdziwy jest związek:

- A) $\frac{U_2}{U_1} = \frac{R_1 + R_2}{R_2}$
 B) $\frac{U_2}{U_1} = \frac{R_2}{R_1 + R_2}$
 C) $\frac{U_2}{U_1} = \frac{R_1 - R_2}{R_2}$
 D) $\frac{U_2}{U_1} = (R_1 + R_2)R_2$
 E) $\frac{U_2}{U_1} = \frac{R_2}{R_1 - R_2}$



872. 1975/L.

Natężenie prądu nie jest niebezpieczne dla czlowieka do wartości 10 mA , wobec tego chęć zmierzyć opór ciała ludzkiego przy pomocy obwodu, którego schemat przedstawia na rysunku. Należy zastosować opornik zabezpieczający R o oporze co najmniej



873. 1975/L.

Jeśli opór ciała pacjenta (patrz zadanie 870) jest trzy razy większy od oporu opornika zabezpieczającego, to pacjent znajduje się pod napięciem

- A) 8 V
 B) 16 V
 C) 18 V
 D) 24 V

874. 1982/F.

Dysponujemy opornikiem 4Ω , 6Ω i 12Ω . Uwzględniając wszystkie możliwe kombinacje połączeń najniższy opór zastępujący jaki możemy otrzymać wynosi:

- A) $0,5\Omega$
 B) $1,6\Omega$
 C) 2Ω
 D) 3Ω

875. 1980/L.

Która z proponowanych zmian w obwodzie, którego schemat widziny obok, doprowadzi do zmniejszenia natężenia prądu wskazywanego przez amperometr:

- A) przesunięcie siwaka potencjometru w prawo
 B) usunięcie z obwodu opornika R_3
 C) usunięcie z obwodu opornika R_2
 D) włączenie opornika R_3 równolegle do pozostałych dwóch

876.

Cztery jednakowe opory połączono według rysunku. Jeżeli kolejno, pomiędzy punkty XY i XZ przyłożymy napięcie U to stosunek zastępczych oporów $\frac{R_{XY}}{R_{XZ}}$ wynosi:

- A) 1
 B) $\frac{5}{3}$
 C) $\frac{1}{2}$
 D) $\frac{5}{2}$
 E) $\frac{2}{5}$

877. 1980/L.

Z trzech jednakowych oporów i źródła prądu elektrycznego o napięciu U zbudowano obwód przedstawiony na rysunku. Spadek potencjału na oporze R_3 w przybliżeniu wynosi:

- A) U
 B) $\frac{2}{3} U$
 C) $\frac{1}{2} U$
 D) $\frac{1}{3} U$

878. 1984/L.

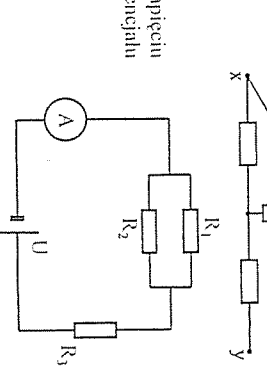
Opór układu przedstawionego na rysunku wynosi:

- A) 3Ω

- B) $\frac{1}{3} \Omega$

- C) 12Ω

- D) $\frac{3}{2} \Omega$



879.

Z przedstawionego drutu wykonano szkielet kwadratu ABCD (rysunek). Do punktów A i D przyłożono napięcie. Jeżeli natężenie prądu $I=6\text{A}$, to I_1 i I_2 wynoszą odpowiednio:

- A) $I_1=1,5\text{A}$
 $I_2=4,5\text{A}$
 B) $I_1=3\text{A}$
 $I_2=3\text{A}$
 C) $I_1=4,5\text{A}$
 $I_2=1,5\text{A}$
 D) $I_1=5\text{A}$
 $I_2=1\text{A}$
 E) $I_1=1\text{A}$
 $I_2=5\text{A}$



880. 1986/F.

Pięć oporników o różnych oporach, z których najniższy ma wartość 2Ω , największy 10Ω , połączono równolegle. Opór zastępujący tego układu R spełnia zależność:

- A) $0,1 \Omega < R < 0,5 \Omega$
 B) $R < 2 \Omega$
 C) $2 \Omega < R < 10 \Omega$
 D) $R > 12 \Omega$

881.

Do czterech połączonych równolegle żarówek o oporze 6Ω każąda przyłożono napięcie 24 V. Natężenie prądu płynącego w obwodzie wynosi:

- A) 0,5 A B) 8 A C) 16 A D) 24 A

882. 1988/F

Osiem identycznych oporników połączono tak, jak na rysunku i do punktu P obwodu dołączono jeden z biegumów źródła prądu. Aby opór obwodu był najmniejszy drugi biegun źródła należy dołączyć do punktu:

- A) 1 B) 2 C) 3 D) 4
-

883. 1989/L

R_1 jest oporem zaslepczym szcześciu jednakowych oporników połączonych równolegle, R_2 - oporem zaslepczym tych samych oporników połączonych szeregowo. Oporę te spełniają zależność:

- A) $R_2 = 6 R_1$ B) $R_2 = 12 R_1$ C) $R_2 = 36 R_1$ D) $R_2 = 42 R_1$

884. 1989/F

Jeżeli przez galwanometr w obwodzie (rys.) nie płynie prawdziektywny, to wartości oporów R_x i R_y są równe:

- | | | | | |
|-------|---|---|---|---|
| R_x | 3 | 1 | 3 | 3 |
| A) | 1 | 3 | 3 | 9 |
| B) | 1 | 3 | 3 | 9 |
| C) | 9 | 1 | 3 | 3 |
| D) | 1 | 9 | 1 | 9 |

885. 1990/F

Napięcie pomiędzy punktami A i B wynosi $U=6V$. Jakie natężenia prądu wykazują amperomierze A_1 i A_2 (zaniechując opory wewnętrzne tych amperomierzów):

- A) $1A$ i $2A$ B) $3A$ i $3A$ C) $2A$ i $1A$ D) $6A$ i $0A$
-

886. 1990/L

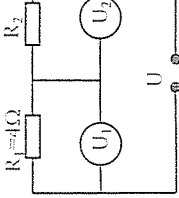
Jeżeli natężenie prądu w oporze R_1 jest równe $2A$ (rys.), to natężenie prądu I_2 i I_3 w oporach R_2 i R_3 są równe:

- A) $\frac{3}{2} A_1$ B) $\frac{1}{2} A_1$ C) $\frac{6}{5} A$ D) $2A$

887. 1989/L

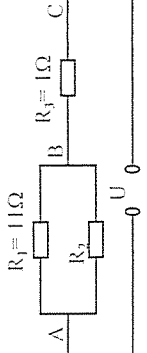
Jeżeli voltmierz U_1 w obwodzie (rys.) wskazał napięcie 8 V, a U_2 napięcie 2 V, to opór R_2 miał wartość:

- A) 1Ω B) 2Ω C) 3Ω D) 4Ω

**888.**

Jeżeli voltmierz V_1 w obwodzie (rys.) wskazuje napięcie U , to voltmierze V_2 i V_3 wskazują odpowiednio: (Opory przewodzące doprowadzających prąd pomijamy, opory woltomierzów są nieśkończonie wielekie)

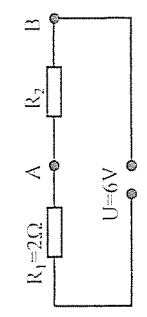
- | | | |
|-------|-------|-----|
| V_2 | 3 U | 2 U |
| A) | 3 U | 2 U |
| B) | 1/3 U | U |
| C) | U | 2 U |
| D) | 2 U | U |
-

**889.** 1990/F

Aby napięcia między punktami AB i BC obwodu (rys.) były jednakowe opór R_2 musi być równy:

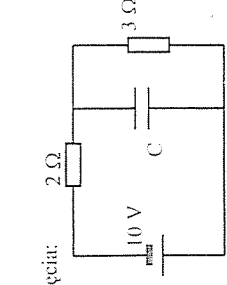
- C) 11Ω

- D) 10Ω

**890.** 1990/L

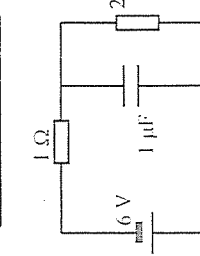
Jeżeli w obwodzie (rys.) napięcie między punktami AB jest równe 2V, to opór R_2 ma wartość:

- A) $\frac{4}{3}\Omega$ B) 1Ω C) $\frac{3}{4}\Omega$ D) 2Ω

**891.** 1992/L

W obwodzie elektrycznym (rysunek) kondensator C nalaďuje się do napięcia:

- A) $10V$ B) $8V$ C) $6V$ D) $4V$ E) $2V$

**892.** 1994/L

Ladunek na kondensatorze (rys.) jest równy:

- A) $1\mu C$ B) $2\mu C$ C) $3\mu C$ D) $4\mu C$ E) $6\mu C$

893. 1999/l.

Jaka wartość napięcia wskazuje woltomierz włączony do obwodu elektrycznego przedstawionego na rysunku, jeżeli amperomierz wskazuje natężenie prądu 2 A^9

- A) 1Ω
- B) 2Ω
- C) 3Ω
- D) 4Ω

894.

Wskazana napięcia w obwodzie elektrycznym zawierającym oporniki R i kondensator C , po zamyknięciu klucza K, w stanie ustalonym:

- A) nie zmienia się
- B) A_1 i A_2 wzrosną, A_3 nie zmieni się
- C) A_1 i A_3 wzrosną, A_2 nie zmieni się
- D) A_3 nie zmieni się, A_1 i A_2 zmniejszą się

895.

Jeżeli $U = 10\text{ V}$, $R = 1\Omega$, to kondensator, z poprzedniego zadania, po zamyknięciu klucza K maleduje się do napięcia:

- A) 0 V
- B) 5 V
- C) 10 V
- D) $2,5\text{ V}$

896.

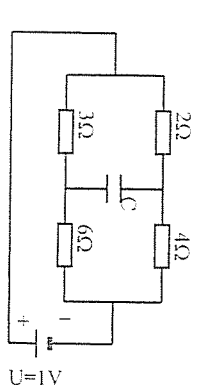
Ladunek zgromadzony na kondensatorze $C = 1\text{ mF}$ jest równy:

- A) 0 C
- B) $0,06\text{ mC}$
- C) $0,6\text{ mC}$
- D) $0,3\text{ mC}$
- E) 1 mC

897. 1989/l.

Ladunek zgromadzony na okładkach kondensatora o pojemności $C = 10\text{ }\mu\text{F}$ w obwodzie (rys.) wynosi:

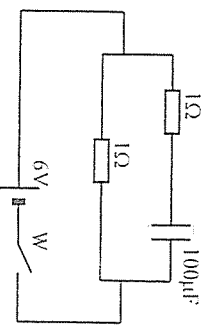
- A) $1\text{ }\mu\text{C}$
- B) $2\text{ }\mu\text{C}$
- C) $5\text{ }\mu\text{C}$
- D) $10\text{ }\mu\text{C}$



898. 1990/f.

Jeżeli zamknięty wyłącznik W w obwodzie (rys.) to kondensator nalaďuje się. Po otwarciu wyłącznika w każdym z oporów wydziele się energia w ilości:

- A) $36 \cdot 10^{-4}\text{ J}$
- B) $10 \cdot 10^{-4}\text{ J}$
- C) $9 \cdot 10^{-4}\text{ J}$
- D) $4,5 \cdot 10^{-4}\text{ J}$



899.

Aby zakres pomiarowy amperomierza o oporze wewnętrznym 2Ω zwiększył się pięciokrotnie, należy do tego dołączyć opór:

- A) 10Ω szeregowo
- B) $0,5\Omega$ szeregowo
- C) 10Ω równolegle
- D) $0,5\Omega$ równolegle

900.

Mikroamperomierz o zakresie $10\text{ }\mu\text{A}$ i oporze wewnętrznym 10Ω może mierzyć maksymalne natężenie prądu 1 mA , jeżeli podłączymy do niego opór o wartości:

- A) $\frac{10}{9}\Omega$ szeregowo
- B) $\frac{10}{99}\Omega$ równolegle
- C) $\frac{10}{9}\Omega$ równolegle
- D) $\frac{10}{99}\Omega$ szeregowo

901.

Aby mikroamperomierz z poprzedniego zadania użyć jako woltomera o zakresie 1 mV , należy doliczyć do niego opór o wartości:

- A) 9Ω szeregowo
- B) 99Ω równolegle
- C) 90Ω szeregowo
- D) 9Ω równolegle

902. 1992-94/MIS MaP

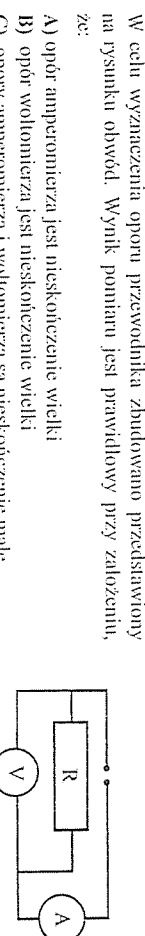
W celu wyznaczenia oporu przewodnika zdublowano przedstawiony na rysunku obwód. Wynik pomiaru jest prawidłowy przy założeniu, że:

- A) opór amperomierza jest nieskończoność wielki
- B) opór woltomierza jest nieskończoność wielki
- C) opory amperomierza i woltomierza są nieskończoność małe
- D) opór amperomierza jest nieskończoność mały

903. 1993/l.

Jeżeli amperomierz A_1 w obwodzie przedstawionym na rysunku wskazuje natężenie prądu $I_1 = 0,4\text{ A}$, a amperomierz A_2 natężenie $I_2 = 0,2\text{ A}$, to opór R_2 i napięcie U mają wartości:

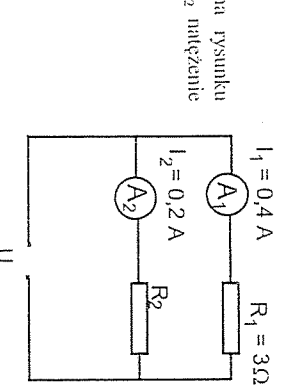
- A) $R_2 = 0,6\Omega$
- B) $R_2 = 2\Omega$
- C) $R_2 = 4\Omega$
- D) $R_2 = 6\Omega$
- E) $R_2 = 6\Omega$
- F) $R_2 = 12\text{ V}$



904. 1996/l.

W obwodzie przedstawionym na rysunku woltomierz V wskazuje napięcie 10 V . Amperomierz A wskazuje prąd o natężeniu:

- A) 2 A
- B) 3 A
- C) 4 A
- D) 5 A



905. 1992-94/MIS MaP

Mozna użyć amperomierza do pomiaru prądów o natężeniach większych niż te, do których jest dostosowany pod warunkiem:

- A) że dołączony do niego równolegle odpowiedni opór R i zmienimy skalę
- B) że dołączony do niego szeregowo odpowiedni opór R i zmienimy skalę
- C) pod żadnym warunkiem, gdyż grozi to zniszczeniem amperomierza
- D) można go używać, ale wskazana będą fałszywe

906. 1993/L.

Wskazany amperomierz w obwodzie przedstawionym na rysunku spełniają zależność:

- $I_1 = I_2 = I_3$
- $I_1 = I_2, I_2 = 2I_3$
- $2I_1 = I_3, I_1 = I_2$
- $I_1 = I_2, I_3 = 0$
- $2I_1 = I_2, I_1 = I_3$

907. 1988/L.

Aby n-krotnie zwiększyć zakres pomiarowy woltonierza o oporze R należy do niego dodać opornik o oporze:

- $R / (n-1)$ równolegle
- R / n równolegle
- nR szeregowo
- $(n-1)R$ szeregowo

908. 1994/L.

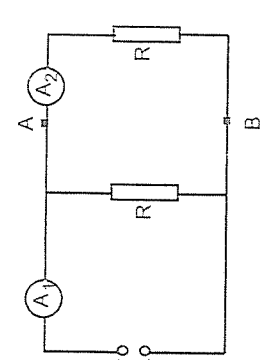
Wskazanie woltonierza, podłączonego jak na rysunku, jest równe:



909. 1995/L.

Włączenie między punktami A i B (rysunek) dodatkowego oporu R spowoduje, iż natężenie prądów, jakie wskazują amperomierze będące opory amperomierz i opór wewnętrzny źródła pomijanego:

A)	$A_1 - \text{większe}$	$A_2 - \text{mniejsze}$
B)	$A_1 - \text{mniejsze}$	$A_2 - \text{większe}$
C)	$A_1 - \text{większe}$	$A_2 - \text{nie zmieni się}$
D)	$A_1 - \text{mniejsze}$	$A_2 - \text{nie zmieni się}$



910. 1986/L.

Z jednorodnego opornego drutu zbudowano kwadrat, którego każdy bok ma opór R. Do dwóch przeciwnielego boków dolaczono suwaki, które mogą się niezależnie przesuwać wzduże tych boków. Wskazania omontiera będą zawsze w przedziale:

- $0,75R \leq R_{\text{kt}} \leq 3R$
- $0,75R < R_{\text{kt}} < 2R$
- $0,75R \leq R_{\text{kt}} \leq R$
- $R < R_{\text{kt}} < 3R$



911. 1978/L.

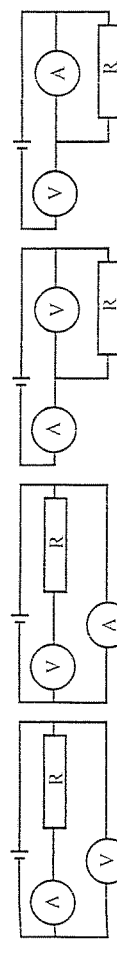
Do woltonierza o oporze $1\text{ k}\Omega$ i zakresie $0\text{--}10\text{ V}$ dołączono szeregowo opór $R = 9\text{ k}\Omega$.

Który z siedmiu dotyczących tego układu jest fałszywy?

- gdź do punktów K i L przyłożymy napięcie $U = 50\text{ V}$, to na woltonierzu przypadnie 10 V , a dodatkowy opór $40\text{ k}\Omega$
- dodatkowy opór nie zmieni maksymalnej wartości natężenia prądu, jaki może przepływać przez woltonierz, wynosi ona nadal $0,01\text{ A}$
- traktując punkty K i L jako końcówki woltonierza, można go stosować do pomiaru napięć w zakresie od 0 do 100 V
- jeśli podczas pomiaru napięcia wskaźówka zatrzyma się na znaku 6 V , to należy odzyskać wartość napięcia równą 60 V

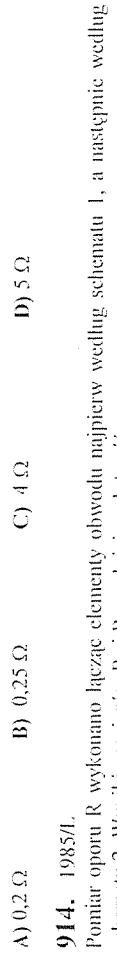
906. 1993/L.

Miany wyznaczyć wartość oporu R dysponując odpowiednim źródłem prądu, amperometrem i woltonierzem. O oporze R wiemy tylko, że $R_A < R < R_V$. Który ze schematów podanych zapewnia w tych warunkach maksymalną dokładność pomiaru:



912. 1979/L.

Miany wyznaczyć wartość oporu R dysponując odpowiednim źródłem prądu, amperometrem i woltonierzem. O oporze R wiemy tylko, że $R_A < R < R_V$. Który ze schematów podanych zapewnia w tych warunkach maksymalną dokładność pomiaru:



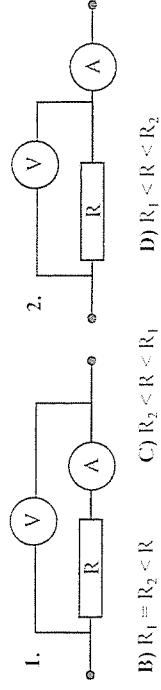
913. 1982/L.

Amperometr o oporze wewnętrzny $1\text{ }\Omega$ posiada zakres do 3 A . Aby zakres tego amperometra rozszerzyć do 15 A należy podłączyć do niego równolegle opór:

- $0,2\text{ }\Omega$
- $0,25\text{ }\Omega$
- $4\text{ }\Omega$
- $5\text{ }\Omega$

914. 1985/L.

Ponitiat oporu R wykonano kłącząc elementy obwodu najpierw według schematu 1, a następnie według schematu 2. Wyniki pomiarów R_1 i R_2 spełniają zależność:



915.

Aby dostosować miliamperometr o zakresie $0\text{--}50\text{ mA}$ i oporze wewnętrznym $0,5\text{ }\Omega$ do pomiarów natężenia prądu w granicach $0\text{--}100\text{ mA}$, należy dokonać hoczni o oporze R równym:

- $R_1 = R_2 > R$
- $R_1 = R_2 < R$
- $R_2 < R < R_1$
- $R_1 < R < R_2$

916.

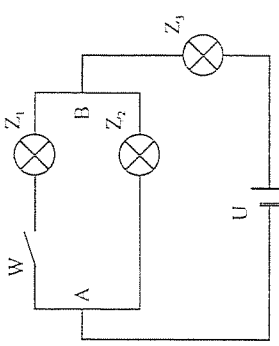
Mikroamperometr może służyć do pomiarów napięcia jeśli:

- zostańie właściwy równolegle do oporu, na którym chciemy zmierzyć spadek potencjału
- postała mały opór wewnętrzny
- jeśli zostanie złączony równolegle do oporu
- dodaćmy do niego szeregowo duży opór

917. 1978/L.

Trzy jednakoowe żarówki (por. rysunek) zasilane są ze źródła o napięciu U . Można przewidzieć, że po przerwaniu obwodu w punkcie W (wyłącznik):

- żarówka Z_3 przygaśnie
- żarówka Z_2 przygaśnie
- opór obwodu zmiejsza
- napięcie pomiędzy punktami A i B nie ulegnie zmianie



918. 1983L

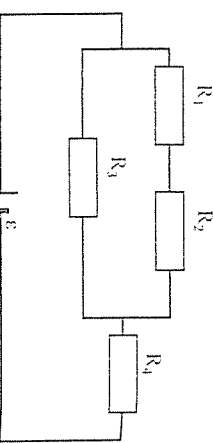
Woltomierz o zakresie pomiarowym $0 \div U_v$ i oporze R_v może mierzyć napięcie w większym zakresie $0 \div U$, jeśli dołączyć do niego opór dodatkowy R_d o wartości:

- A) $R_d = R_v / (U + U_v)$
 C) $R_d = (U - U_v) / R_v U_v$
 D) $R_d = R_v \left(\frac{U}{U_v} - 1 \right)$

919. 1998L

Do źródła o sile elektromotorycznej $e=28\text{ V}$ i oporze $r_w=0,5\Omega$ dołączono obniomiki o oporach: $R_1=3\Omega$, $R_2=5\Omega$, $R_3=8\Omega$, $R_4=2,5\Omega$ (rys.). Największa moc wydzielona się w obniomiku o oporze:

- A) R_1
 B) R_2
 C) R_3
 D) R_4

**920.** 1988L

Kondensator o pojemności $5\mu\text{F}$ naładowany do potencjału 400V rozładowano przez przewodnik. W przewodniku tym wydzielono się ciepło równe około:

- A) 10^{-3} J
 B) $0,4\text{ J}$
 C) 1 J
 D) 400 J

Dwie grzałki wykonane z tego samego drutu o długościach $l_1 = 2l_2$ dołączono do źródła prądu i zanurzono do dwóch naczyni zawierających jednakowe ilości wody o takiej samej temperaturze początkowej (rys.). Czasy t_1 i t_2 , po których woda zacznie wrzesć w obu naczyniach, spełniają relację:

- A) $t_2 > t_1$
 B) $t_1 = t_2$
 C) $t_2 = 2t_1$
 D) $t_1 = 2t_2$

922. 1997L

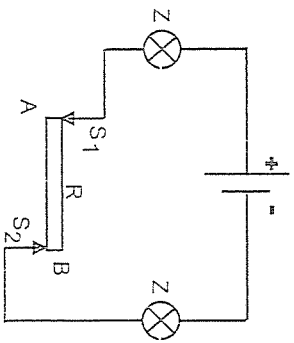
Grażalka podłączona do źródła napięcia i zanurzona w cieczy zmienia jej temperaturę o 1°C w czasie 10s. Dwie takie grzałki połączono szeregowo do tego samego źródła napięcia i zanurzone w tej cieczy, spowodują takim samym efektem w czasie:

- A) 2,5 s
 B) 5 s
 C) 10 s
 D) 20 s

923.

Czy suwaki opornicy R są w punktach A i B, żarówki Z o jednakości mocy przystosowane do tego samego napięcia świecą jednakowo. Przesuniwanie suwaka S_1 do punktu B i suwaka S_2 do punktu A w tym samym czasie spowoduje, że żarówki:

- A) przygasną
 B) rozniesią się
 C) świecą normalnie
 D) rozniesią się, a później przygasną

**924.**

Wartość oporu X, jaki należy dołączyć do oporu 1Ω (rys.), aby moc wydzielona na obu opornikach była równa mocy wydzielonej na oporniku $\frac{1}{3}\Omega$, wynosi:

- A) $0,5\Omega$
 B) 1Ω
 C) $\frac{1}{3}\Omega$
 D) 3Ω

**925.**

Jeli suwak opornicy jest w punkcie A, żarówka Z świeci normalnie. Przesunięcie suwaka S w stronę punktu B spowoduje:

- A) przygasnięcie żarówki
 B) rozjaśnienie żarówki
 C) takie samo świecenie żarówki
 D) przepełnienie się włókną żarówki

926.

Calkowita moc wydzielona na opornikach A i B wynosi 120W . Jeżeli opór B jest dwa razy większy od oporu A, to moc wydzielona na opornikach A i B wynosi odpowiednio:

- A) 80W
 B) 40W
 C) 60W
 D) 30W
 E) 90W

927. 1993L

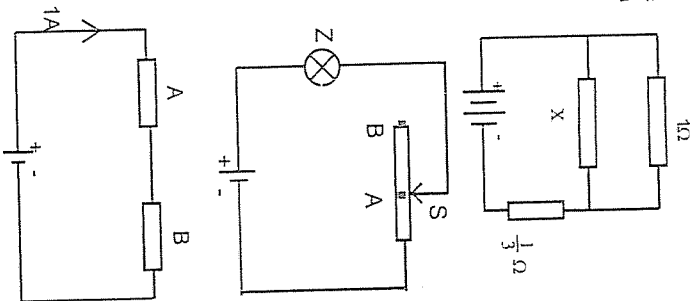
Zależność mocy P prądu elektrycznego od jego natężenia przedstawia:

- A) parabola a
 B) hiperbola b
 C) prosta c
 D) parabola d
 E) prosta e

928. 1996L

W obwodzie przedstawionym na rysunku zmieniano napięcie U pomiędzy końcami opornika R. Zależność mocy P wydzielonej w oporniku od przyłożonego napięcia poprawnie przedstawia wykres:

- A) a
 B) b
 C) c
 D) d



929. 1997L

Moc grzałki przy napięciu 220V wynosi 300W , jej sprawność równa jest 75% . W ciągu 5 minut przekazuje ona cieczy, w której jest zanurzona energię

- A) 300 J
 B) 1125 J
 C) 1500 J
 D) 67500 J

930. 1992-94/MIS MaP

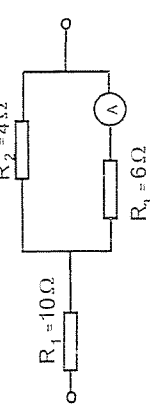
Dwa jednakowe oporniki połączono ze źródłem napięcia dwoma sposobami - szeregowo i równolegle. W przypadku połączenia równoległego wydzielona moc:

- A) 4 razy więcej ciepła
- B) tyle samo ciepła co przy połączeniu szeregowym
- C) 2 razy więcej ciepła
- D) 4 razy mniej ciepła

931. 1995/L

Jeżeli amperomierz pokazuje prąd o natężeniu $2A$ (tysunek), to moc wydzielona w oporniku R_1 ma wartość:

- A) 10 W
- B) 50 W
- C) 100 W
- D) 250 W

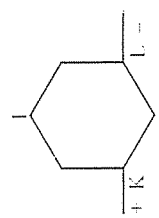
**932.** Dwie żarówki o mocach $P_1 = 20\text{ W}$ i $P_2 = 40\text{ W}$ przyłożone do napięcia 200 V każda połączono szeregowo. Opór zastępczy żarówki wynosi:

- A) 750Ω
- B) 3000Ω
- C) 250Ω
- D) $\frac{500}{3}\Omega$

933. 1992/L

Z drutu oporowego zaniknięty szesnastokąt foremny i dołączono do źródła napięcie w punktach K i L. Stosunek mocy wydzielonej w obu odgałęzieniach $P_1:P_2$ wynosi:

- A) 1:4
- B) 1:2
- C) 1:1
- D) 2:1
- E) 4:1

**934.** 1992-94/MIS MaP

Na końcach drutu oporowego panteje napięcie $3V$. Aby po zniżaniu napięcia na 15 V ilość ciepła wydzielanego się w drucie w jednostce czasu nie uległa zmianie (przy niezmienionej długości drutu) należy pole przekroju poprzecznego drutu zmniejszyć:

- A) 3 razy
- B) 5 razy
- C) 9 razy
- D) 25 razy

935. 1992/L

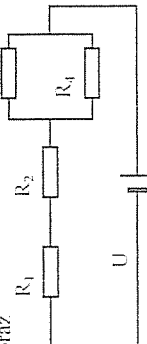
Grzejnik elektryczny o oporze 12Ω pobierał prąd o natężeniu 10 A . Zarzącje 10 kWh energii nastąpiło w czasie:

- A) 400min
- B) 500min
- C) 600min
- D) 700min
- E) 800min

936. 1997/L

Napięcie pomiędzy biegunkami źródła prądu w obwodzie (tys.) wynosi 25 V ; $R_1=R_2=R_3=R_4=5\Omega$. Opor zastępczy R układu oporników oraz całkowita moc P wydzielona w obwodzie wynoszą:

- A) $R=20.0\Omega$, $P=25\text{ W}$
- B) $R=12.5\Omega$, $P=20\text{ W}$
- C) $R=12.5\Omega$, $P=50\text{ W}$
- D) $R=12.5\Omega$, $P=20\text{ W}$

**937.**

Żarówka o mocy 20 W przyłożona do napięcia 100 V przy nie zmienionej oporności włókna posiada moc:

- A) 100 W
- B) 20 W
- C) 200 W
- D) 5 W

938. 1992-94/MIS MaP

Przy reperacji żeladka skrócono jego spiralę o 25% . Moc wydzielana przez żeladko przy założeniu braku zwiększenia oporu spirali z temperaturą:

- A) wzrasta o 25%
- B) maleje o 25%
- C) wzrasta o 33%
- D) maleje o 33%

939. 1998/L

Czas potrzebny na podgrzanie 1 kg wody od 20°C do 100°C w czajniku elektrycznym o mocy 2.5 kW wynosi 200 s . Zużycie na ogrzanie czajnika i przekazane otoczeniu ciepło ma wartość (ciepło właściwe wody przyjęte $4\text{ J}\cdot\text{kg}^{-1}\cdot\text{K}^{-1}$):

- A) 680 kJ
- B) 500 kJ
- C) 320 kJ
- D) 180 kJ

940. 1999/L

Czterej jednakoowe żarówki połączono szeregowo i tak powstały układ zasilano napięciem U . Jeśli połączyc te żarówki równolegle i nowy układ zasilic tym samym napięciem to moc pobierana przez taki układ:

- A) wzrosnie 16 razy
- B) wzrosnie 4 razy
- C) nie zmieni się
- D) zmniejsze 4 razy

941. 1991/L

Na którym z oporników w obwodzie prądu stałego wydzieli się najwięcej ciepła?

- A) na R_1
- B) na R_2
- C) na R_3
- D) na R_4

942. 1986/F

Dwie żarówki o mocach 50 W i 100 W dostosowane do napięcia U , połączono szeregowo i przyłączono do źródła o tym samym napięciu:

- A) jaśniejsze będzie świecić żarówka pierwsza
- B) jaśniejsze będzie świecić żarówka druga
- C) napięcia na obydwu żarówkach są rowne
- D) napięcie prądu w drugiej żarówce jest dwa razy większe niż w pierwszej

943. 1990/F

Jeżeli napięcie zasilania żarówki zmniejszy dwukrotnie, to jej moc:

- A) zmniejsze cztery razy
- B) nie zmieni się
- C) wzrośnie dwa razy
- D) zmniejsze dwa razy

944.

Jeżeli dwie żarówki Z_1 i Z_2 o mocach odpowiednio 40 W i 100 W , przyłączono do napięcia 110 V połączony szeregowo i właściwy do napięcia 220 V , to:

- A) świeci się jednako jasno, gdyż przez obie będzie płynął taki sam prąd
- B) jaśniejsza będzie żarówka Z_1
- C) będą świecić jednako jasno
- D) przepłynie się żarówka Z_2
- E) każda żarówka świeci z mocą o połowę mniejszą od nominalnej

945. 1987/L

Przewodnik połączono do źródła prądu stałego o zaniedbywalnym oporze wewnętrzny. Po rozcięciu przewodnika w połowie długości, równoległy połączeniu otrzymanych części, podłączono je do tego samego źródła. Moc pobierana ze źródła:

- A) nie uległa zmianie
- B) zmalała dwukrotnie
- C) wzrosła dwukrotnie
- D) wzrosła czterokrotnie

946. 1990/l.

Zarówkę o mocy 100W przyśosowaną do pracy przy napięciu 220V podłączono do baterijki 5V. Opor wolfranowego włókna zarówki jest w tych warunkach:

- A) równy 484 Ω B) mniejszy niż 484 Ω C) większy niż 484 Ω D) równy 0,25 Ω

947. 1988/l.

Do końca przewodnika o oporze właściwym ρ , długości l i średnicy d przyłożono różnicę potencjalów U . Moc P wydzielana w tym przewodniku jest równa:

$$A) P = \frac{U^2 d}{\rho l} \quad B) P = \frac{U^2 d^2}{\rho l} \quad C) P = \frac{\pi U^2 d^2}{4 \rho l} \quad D) P = \frac{\pi^2 U^2 d^2}{4 \rho l}$$

948. 1991/l.

Zależność mocy P wydzielonej w oporniku o oporze R od napięcia U przedstawia:

- A) parabola a
B) półprosta b
C) parabola c
D) hiperbola d

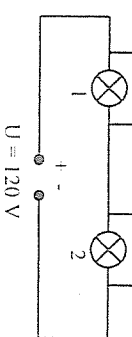
**949.**

Podezrajemy, że prąd przez obwód (rys.) największa moc wydzielająca się w oporniku:

- A) R_1
B) R_2
C) R_3
D) R_4

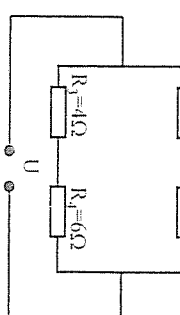
950. 1999/l.

Moc prądu płynącego przez zarówki 1 i 2 (rys.) wynosi odpowiednio $P_1 = 60\text{ W}$ i $P_2 = 100\text{ W}$. Woltonimieże V_1 i V_2 wskazują napięcie:

**951.** 1988/l.

Obwód elektryczny (rys.) podłączono do źródła prądu o stałym napięciu. Największa ilość ciepła wydzielająca się w oporze:

$$R_1=15\Omega \quad R_2=5\Omega$$

**952.** 1980/l.

Mierząc sprawność grzalki elektrycznej podczas ogrzewania wody, otrzymano wynik: $\eta = 80\%$. Jeśli moc prądu płynącego przez grzalkę wynosiła 500 W, to w ciągu 5 minut woda pobrana od grzalki:

- A) około $2,4 \cdot 10^4\text{ J}$ ciepła
B) około $3,0 \cdot 10^4\text{ J}$ ciepła
C) około $1,2 \cdot 10^5\text{ J}$ ciepła
D) około $1,5 \cdot 10^5\text{ J}$ ciepła

953. 1995/MIS Małp

Winda o ciężarze 5000 N wzrosła się przez 10 sekund. Jeżeli natężenie prądu w silniku windy wynosiło 10 A, a napięcie 500 V, to winda wzrosła się na wysokość (przy założeniu 100% sprawności silnika):

- A) 5 m B) 10 m C) 15 m D) 200 m

954.

Do obwodu prądu stałego o napięciu 220V włączono silnik elektryczny. Oporność uzwojenia silnika wynosi 2Ω , a natężenie prądu płynącego przez silnik wynosi 1 A. Moc użytkowa i sprawność silnika wynosią odpowiednio:

- A) 200W 90%
B) 2000W 91%
C) 200W 91%
D) 22W 91%
E) 48400W 91%

955. 1999/l.

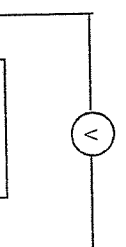
Moc prądu P wydzielona w oporze R wynosi 16 W, a woltonimieże napięcie $U = 4\text{ V}$ (rys.). Opor wewnętrzny źródła prądu jest równy:

$$A) 0,3\Omega$$

$$B) 0,4\Omega$$

$$C) 0,5\Omega$$

$$D) 0,6\Omega$$

**956.** 1989/l.

Do ogniwa o SEM 6 V i oporze wewnętrzonym 2Ω podłączono zarówkę o oporze 4Ω . Różnica potencjałów na biegumach tego ogniwa wynosi:

- A) 2 V B) 4 V C) 5 V D) 6 V

957. 1982/l.

Sila elektryczna ogniwa jest równa:

- A) różnicy potencjałów panującej na biegumach ogniwa, gdy obwód jest zamknięty
B) różnicy potencjałów panującej na biegumach ogniwa, gdy obwód jest otwarty
C) różnicy spadków napięcia na oporze wewnętrzny i zewnętrzny
D) spadkowi napięcia na sumie oporów zewnętrznych

958. 1976/l.

Miarą ogniwa jest napięcie panujące na biegumach ogniwa otwartego. W ogniwie otwartym opór zewnętrzny R_z jest równy:

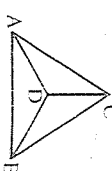
- A) 0
B) ∞
C) R_w
D) $0 < R_z < \infty$, w zależności od budowy obwodu zewnętrznego.

959. 1975/l.

Sila elektromotoryczna ogniwa:

- A) jest stała, niezależna ani od natężenia prądu w obwodzie, ani od oporu wewnętrznego ogniwa
B) malejąca w miarę wzrostu natężenia prądu w obwodzie
C) wzrastała w miarę wzrostu oporu wewnętrznego ogniwa
D) wzrastała, gdyby zlikwidować przegrodę

- A) AB
B) CD
C) dowolna z czterech - AC, AD, BD, BC
D) nie ma znaczenia która

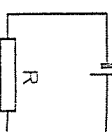


974. 1998/I.

Poniższy obwód elektryczny zawiera źródło o sile elektromotorycznej 12 V i opór wewnętrzny 0,5 Ω połączony z oporem zewnętrznym R. Przy jakiej wartości oporu zewnętrznego R napięcie między biegunkami źródła wynosić będzie 6 V?

- A) 0,1 Ω
B) 0,5 Ω
C) 2,0 Ω
D) 5,0 Ω

B)



975.

Jezeli wydajność (sprawność) ogniwa wynosi 50%, to nieprawidł jest, że:

- A) moc użyteczna stanowi 0,5 mocy całkowitej
B) opór zewnętrzny jest równy oporowi wewnętrznemu ogniwa
C) z ogniwa jest pobierana maksymalna moc użyteczna
D) opór wewnętrzny ogniwa stanowi 50% oporu zewnętrznego

Poniższy tekst dotyczy pytań 976, 977, 978

Trzy oporniki ($R = 1\Omega$) połączono ze źródłem prądu o sile elektromotorycznej $E = 12V$, i oporze wewnętrzny $r = 2\Omega$.

976.

Natężenie prądu, jakie wskaże amperomierz A, wynosi:

- A) 1,2A

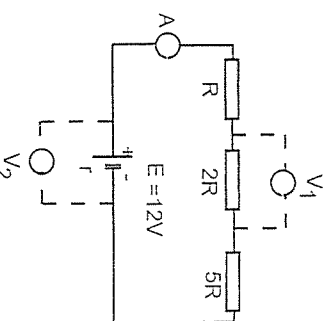
- B) 1,5A

- C) 0A

- D) 2A

977.

Wskazania woltomierzy V_1 i V_2 wynoszą odpowiednio:



978.

Spadek napięcia na oporze wewnętrzny r wynosi:

- A) 12V

- B) 2,4V

- C) 9,6V

- D) 0V

979.

Dysponując źródłem prądu o SEM równej 4,5V i oporze wewnętrzny 5Ω możemy stwierdzić, że prąd zwarcia wynosi:

- A) 0A

- B) ∞Ω

- C) 0,9A

- D) 1A

- E) brak danych do obliczenia prądu zwarcia

980.

Gdy biegung ogniwa o sile elektromotorycznej 12V połączono oporem 3Ω, natężenie prądu wynosiło 3A. Opór wewnętrzny ogniwa wynosi:

- A) 3Ω

- B) 2Ω

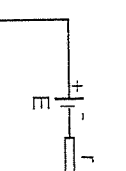
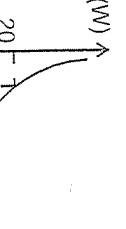
- C) 0Ω

- D) 1Ω

981.

Na wykresie przedstawiono zależność mocy wydzielonej w całym obwodzie od oporu zewnętrznego R.

$P(W)$



982.

Ponijając opór przewodników doprowadzających prąd, zamknięcie klucza K w obwodzie (rys.) spowoduje:

- A) wzrost natężenia prądu i napięcia na zaciskach ogniwa
B) zmniejszenie się natężenia prądu i zmniejszenie się napięcia na zaciskach ogniwa
C) wzrost natężenia prądu i zmniejszenie się napięcia na zaciskach ogniwa
D) zmniejszenie się natężenia prądu i zwiększenie się napięcia na zaciskach ogniwa

Uwaga!

W pytaniu 983 zaznacz jako poprawną odpowiedź:

- A) jeśli obie części zdania są poprawne i druga uzasadnia pierwszą
B) jeśli obie części zdania są prawdziwe lecz druga nie uzasadnia pierwszej
C) jeśli pierwsza jest prawdziwa, a druga fałszywa
D) jeśli pierwsza jest fałszywa, a druga prawdziwa

983. 1981/F

W obwodzie złożonym z ogniwa, opornika o zmiennym oporze i amperomierza, zmiany natężenia prądu nie są proporcjonalne do powodujących je zmian oporu opornika, ponieważ natężenie prądu w obwodzie jest równe ilorazowi sily elektromotorycznej źródła i sumy oporów wewnętrznego i zewnętrznego:

- A) B) C) D)

984.

Zależność napięcia na zaciskach ogniwa od natężenia płynącego prądu przedstawia wykres. Opór wewnętrzny ogniwa wynosi:

- A) 0Ω

- B) ∞Ω

- C) 9Ω

- D) $\frac{1}{9} \Omega$

- E) żadna z podanych wartości

980.
Gdy biegung ogniwa o sile elektromotorycznej 12V połączono oporem 3Ω, natężenie prądu wynosiło 3A.
Opór wewnętrzny ogniwa wynosi:

- A) 3Ω

- B) 2Ω

- C) 0Ω

- D) 1Ω

980.
Gdy biegung ogniwa o sile elektromotorycznej 12V połączono oporem 3Ω, natężenie prądu wynosiło 3A.
Opór wewnętrzny ogniwa wynosi:

- A) 3Ω

- B) 2Ω

- C) 0Ω

- D) 1Ω

980.
Gdy biegung ogniwa o sile elektromotorycznej 12V połączono oporem 3Ω, natężenie prądu wynosiło 3A.
Opór wewnętrzny ogniwa wynosi:

- A) 3Ω

- B) 2Ω

- C) 0Ω

- D) 1Ω

985. 1987L.

Do źródła prądu o SEM równej e i oporze wewnętrzny r dołączono opornik o oporze $R_1 = R_s$ a obu przypadkach otrzymujemy:

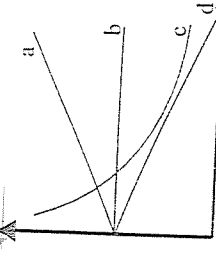
- A) $U_2 = U_1$
B) $U_2 > 2U_1$
C) $U_2 = 2U_1$
D) $U_1 < U_2 < 2U_1$

Zamknięcie włącznika K w przedstawionym na schemacie obwodzie spowoduje, że natężenie prądu wskazywanego przez amperomierz:

- A) wzrośnie, a wskazanie woltomierza nie zmieni się
B) zmaleje i wskazanie woltomierza zmienia się
C) wzrośnie, a wskazanie woltomierza zmienia się
D) zmaleje i wskazanie woltomierza nie zmieni się

987. 1984L.

W obwodzie przedstawionym na schemacie zmieniając opór R_x odczytywano wskazania woltomierza i amperomierza. Zależność pomiędzy tymi wielkościami może przedstawać wykres:

**988.** 1985L.

Wykres zależności napięcia na biegunach źródła o stałej SEM w zależności od natężenia prądu płynącego U_x przez źródło poprawnie przedstawia rysunek:

989. 1989L.

Moc wydzielana na oporze r_1 wynosi:

- A) 0,5 W
B) 1,5 W
C) 0,1 W
D) 5 W
E) 2 W

990.

Włączenie do obwodu dodatkowego opornika R spowoduje, że

- A) wzrośnie, a wskazanie woltomierza zmienia się
B) zmaleje i wskazanie woltomierza zmienia się
C) wzrośnie, a wskazanie woltomierza nie zmieni się
D) nie zmieni się, a wskazanie woltomierza wzrosnie
E) brak poprawnego w obwodzie (patrz poprzednie zadanie), jeżeli na oporniku R wydzielci się moc 9W, wyniesie:

- A) 3A
B) $\frac{1}{3}$ A
C) 9A
D) $\frac{1}{9}$ A
E) 0A

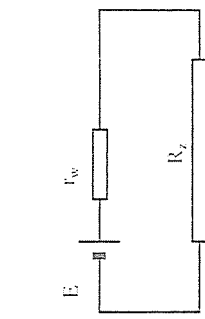
991.

Wykres napięcia mierzonego na oporze zewnętrznym R_s ogólnie o sile elektromotorycznej E w funkcji oporu wewnętrznego r dla $R_s = \text{const}$ przedstawia:

- A) prosta 1
B) krzywa 2
C) prosta 3
D) krzywa 4
E) prosta 5

992. 1984L.

Krzywe I, II, III na wykresie przedstawiające zależność mocy wydzielonej (odbiornika) dotyczącej mocy wydzielonej w:



- A) I - odbiorniku, II - ogniwie, III - całym obwodzie
B) I - ogniwie, II - odbiorniku, III - całym obwodzie
C) I - całym obwodzie, II - ogniwie, III - odbiorniku
D) I - całym obwodzie, II - odbiorniku, III - ogniwie

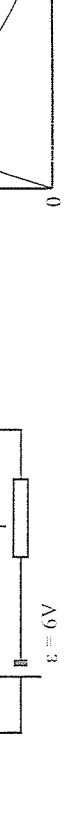
993. 1979L.

Jaka część całkowitej energii elektrycznej, wytworzonej w ogniwie, wykorzystuje się w zewnętrznzej części obwodu przedstawionego na rysunku:

- A) 20 %
B) 25 %
C) 50 %
D) 80 %

994. 1984L.

Zależność mocy wydzielonej na zaniedzianym oporniku R (moc użyteczna) od wartości tego oporu przedstawia wykres. Opór wewnętrzny r tego ogniwa jest równy:



- A) 0,1Ω
B) 0Ω
C) 2Ω
D) 1Ω
E) jest niemożliwy do obliczenia

995.

Natężenie prądu płynącego w obwodzie (patrz poprzednie zadanie), jeżeli na oporniku R wydzielci się moc 9W, wyniesie:

- A) 3A
B) $\frac{1}{3}$ A
C) 9A
D) $\frac{1}{9}$ A
E) 0A

996. 1982/I.

Jeżeli w przedstawionym obwodzie zwiększymy opór R to:

- A) wskaźanie woltomierza zwiększy się, a amperometra zmniejszy się
- B) wskaźanie woltomierza i amperometra zwiększy się
- C) wskaźanie woltomierza nie zmieni się, a amperometra zmniejszy się
- D) wskaźanie woltomierza i amperometra zmniejszy się

997. 1981/F.

Moc wydzielona w oporniku o oporze 2Ω (schemat) jest równa:

- A) 50 W
- B) 20 W
- C) 8 W
- D) 4 W

998. 1983/I^F

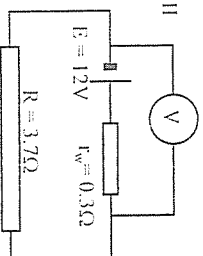
Zależność wydzielonej w oporniku mocy P od wartości oporu R najlepiej przedstawić wykres:

- A) 1
- B) 2
- C) 3
- D) 4

999. 1983/I^F

Woltomierz włączone do obwodów I i II wskażeł napięcia:

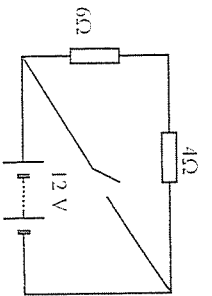
- A) $U_1 = 11,1 \text{ V}$, $U_2 = 0,9 \text{ V}$
- B) $U_1 = 12 \text{ V}$, $U_2 = 12 \text{ V}$
- C) $U_1 = 11,1 \text{ V}$, $U_2 = 11,1 \text{ V}$
- D) $U_1 = 0,9 \text{ V}$, $U_2 = 11,1 \text{ V}$



1000. 1984/I.

Należenie prądu w obwodzie zasilanym przez baterię n jediakowych ogniw połączonych szeregowo obliczamy ze wzoru:

- A) $I = nE / (R_w + nR_z)$
- B) $I = nE / (nR_w + R_z)$
- C) $I = E / (n(R_w + nR_z))$
- D) $I = E / (R_w + nR_z)$



1001.

Gdy wyłącznik jest otwarty prąd ognia płynie prąd o natężeniu 1A. Natężenie prądu przepływającego przez ognia przy zamkniętym wyłączniku wynosi:

- A) 6A
- B) 1.2A
- C) 0A
- D) 2A

1002.

Dwa ogniwa każde o sile elektromotorycznej 1.5V i oporze wewnętrznym 0.5Ω połączono równolegle w baterię. Maksymalny prąd jaki można czerpać z tej baterii wynosi:

- A) 0A
- B) $0.5A$
- C) 3A
- D) 6A

1003.

Opor zastępczy oporników $R_1 = R_2 = R_3 = 1\Omega$, pomijając opory przewodników doprowadzających prąd, jest równy:

- A) 3Ω
- B) 0Ω
- C) $\frac{1}{3}\Omega$
- D) wartości innej niż podana

1004.

Jeżeli opór wewnętrzny ognia jest równy zero, a sila elektromotoryczna 6 V, to wskaźania amperometrów wynoszą odpowiednio:

- | A | A_1 | A_2 |
|----|-------|-------|
| A) | 18 A | 18 A |
| B) | 2 A | 2 A |
| C) | 18 A | 6 A |
| D) | 6 A | 18 A |

1005.

Woltomierze V_1 i V_2 wskażą odpowiednio:

- | A) | V_1 | V_2 |
|----|-------|-------|
| A) | 6 V | 6 V |
| B) | 2 V | 6 V |
| C) | 16 V | 16 V |
| D) | 6 V | 2 V |

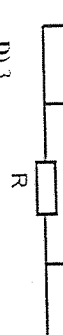
Obwód elektryczny dotyczy pytań 1006 i 1007:

Woltomierz V wskazuje 4 V, opór $R = 2\Omega$, sila elektromotoryczna jednego ogniwa 9 V, opór wewnętrznzy 4Ω .

1006.

Liczba ogniw połączonych szeregowo jest równa:

- A) 6
- B) 12
- C) 4
- D) 3



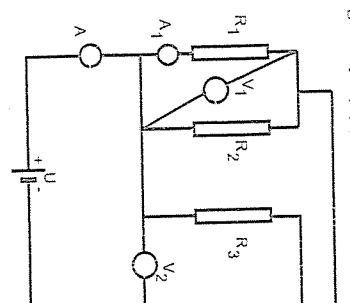
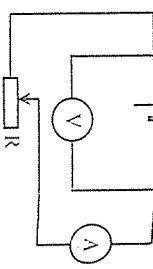
1007.

Napięcie na zaciskach baterii ogniw wynosi:

- A) 4 V
- B) 12 V
- C) 9 V
- D) 1 V

Schemat obwodu elektrycznego dotyczy pytań 1003, 1004 i 1005:

$$E, R_w$$



997.

1981/F.

Moc wydzielona w oporniku o oporze 2Ω (schemat) jest równa:

- A) 50 W
- B) 20 W
- C) 8 W
- D) 4 W

998. 1983/I^F

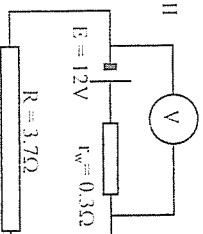
Zależność wydzielonej w oporniku mocy P od wartości oporu R najlepiej przedstawić wykres:

- A) 1
- B) 2
- C) 3
- D) 4

999. 1983/I^F

Woltomierz włączone do obwodów I i II wskażeł napięcia:

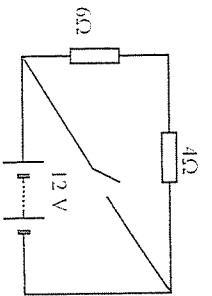
- A) $U_1 = 11,1 \text{ V}$, $U_2 = 0,9 \text{ V}$
- B) $U_1 = 12 \text{ V}$, $U_2 = 12 \text{ V}$
- C) $U_1 = 11,1 \text{ V}$, $U_2 = 11,1 \text{ V}$
- D) $U_1 = 0,9 \text{ V}$, $U_2 = 11,1 \text{ V}$



1000. 1984/I.

Należenie prądu w obwodzie zasilanym przez baterię n jediakowych ogniw połączonych szeregowo obliczamy ze wzoru:

- A) $I = nE / (R_w + nR_z)$
- B) $I = nE / (nR_w + R_z)$
- C) $I = E / (n(R_w + nR_z))$
- D) $I = E / (R_w + nR_z)$



1001.

Gdy wyłącznik jest otwarty prąd ognia płynie prąd o natężeniu 1A. Natężenie prądu przepływającego przez ognia przy zamkniętym wyłączniku wynosi:

- A) 6A
- B) 1.2A
- C) 0A
- D) 2A

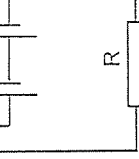
1002.

Dwa ogniwa każde o sile elektromotorycznej 1.5V i oporze wewnętrznym 0.5Ω połączono równolegle w baterię. Maksymalny prąd jaki można czerpać z tej baterii wynosi:

- A) 0A
- B) $0.5A$
- C) 3A
- D) 6A

1008. 1988/F

Trzy jednakowe ogniwa galwaniczne o SEM 2,2 V i oporze wewnętrzny 0,2 Ω włączono szeregowo w obwód. Jeśli w obwodzie płynie prąd o natężeniu 1 A, to opór zewnętrzny jest równy:



- A) 7,2 Ω

- B) 6 Ω

- C) 1,6 Ω

- D) 0,16 Ω

1009. 1981/F

Potencjał $U = 2V$ w poniżej przedstawionym obwodzie ma punkt:



- A) 1

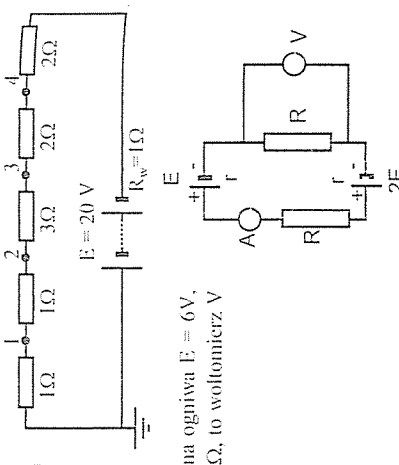
- B) 2

- C) 3

- D) 4

1010.

W obwodzie elektrycznym (rys.) sila elektromotoryczna ogniwa $E = 6V$, opór wewnętrzny $r = 0,5\Omega$. Jeżeli wartość oporu $R = 1\Omega$, to voltonierz V i amperomierz A wskazują odpowiednio:



- A) 3V

- B) 2V

- C) 1,5V

- D) 9V

- E) 4,5A

- F) 1,5A

- G) 0A

- H) 6A

- I) 4,5A

- J) 8V, 16A

- K) 2E

1011.

Po zmianie biegumowości ogniwa o sile elektromotorycznej E na przeciwną do podanej w poprzednim zadaniu, wskazania voltonierza i amperometra wynoszą odpowiednio:

- A) 3V

- B) 0V

- C) 6V

- D) 9V

- E) 1,5A

- F) 0A

- G) 6A

- H) 4,5A

- I) 1,5A

- J) 0A

- K) 4,5A

- L) 2E

1012. 1995/L

W przedstawionym układzie natężenie prądu I oraz różnica potencjałów między punktami A i B mają wartości:

- A) $I=0,5 \text{ A}$

- B) $I=0,5 \text{ A}$

- C) $I=0,5 \text{ A}$

- D) $I=0,75 \text{ A}$

- E) $I=0,75 \text{ A}$

- F) $I=2 \text{ V}$

- G) $I=1,5 \text{ V}$

- H) $I=1,5 \text{ V}$

- I) $I=3 \text{ V}$

- J) $I=2 \text{ V}$

- K) $I=2 \text{ V}$

- L) $I=2 \text{ V}$

- M) $I=4,5 \text{ V}$

- N) $I=4,5 \text{ V}$

- O) $I=4,5 \text{ V}$

- P) $I=4,5 \text{ V}$

- Q) $I=4,5 \text{ V}$

- R) $I=4,5 \text{ V}$

- S) $I=4,5 \text{ V}$

- T) $I=4,5 \text{ V}$

- U) $I=4,5 \text{ V}$

- V) $I=4,5 \text{ V}$

- W) $I=4,5 \text{ V}$

- X) $I=4,5 \text{ V}$

- Y) $I=4,5 \text{ V}$

- Z) $I=4,5 \text{ V}$

- A) $I_1 = 1 \text{ A}, I_2 = 5 \text{ A}$

- B) $I_1 = I_2 = 7/3 \text{ A}$

- C) $I_1 = I_2 = 1 \text{ A}$

- D) $I_1 = I_2 = 0 \text{ A}$

1013. 1985/L

Tekst dotyczy zadania nr 1013 i 1014.
W obwodzie (rys.) SEM ogniwa mające wartość $E_1 = 2 \text{ V}$, $E_2 = 5 \text{ V}$, opory wewnętrzne tych ogniwa są równe zero. Natężenia prądu płynących przez oporniki R_1 i R_2 wynoszą:

- A) $I_1 = 1 \text{ A}, I_2 = 5 \text{ A}$

- B) $I_1 = I_2 = 7/3 \text{ A}$

- C) $I_1 = I_2 = 1 \text{ A}$

- D) $I_1 = I_2 = 0 \text{ A}$

1014. 1985/L

Potencjały punktów A, B, C wynoszą:

- A) $V_A = 1 \text{ V}$

- B) $V_A = -1 \text{ V}$

- C) $V_A = 1 \text{ V}$

- D) $V_A = -1 \text{ V}$

- E) $V_B = -3 \text{ V}$

- F) $V_B = 3 \text{ V}$

- G) $V_B = 3 \text{ V}$

- H) $V_B = -3 \text{ V}$

- I) $V_B = 5 \text{ V}$

- J) $V_B = 5 \text{ V}$

- K) $V_C = -5 \text{ V}$

- L) $V_C = 5 \text{ V}$

- M) $V_C = -5 \text{ V}$

- N) $V_C = 5 \text{ V}$

- O) $V_C = 5 \text{ V}$

- P) $V_C = -5 \text{ V}$

- Q) $V_C = 5 \text{ V}$

- R) $V_C = -5 \text{ V}$

- S) $V_C = 5 \text{ V}$

- T) $V_C = -5 \text{ V}$

- U) $V_C = 5 \text{ V}$

- V) $V_C = 5 \text{ V}$

- W) $V_C = -5 \text{ V}$

- X) $V_C = 5 \text{ V}$

- Y) $V_C = -5 \text{ V}$

- Z) $V_C = 5 \text{ V}$

1015.

Jeżeli w obwodzie przedstawionym na rysunku SEM każdego z ogniwa wynosi 6 V , a opór wewnętrzny $r = 2\Omega$, to natężenie prądu płynącego przez opornik $R = r$ wynosi:

- A) 2A

- B) 1A

- C) 0A

- D) 3A

1016.

Maksymalny prąd, jaki można czerpać z baterii ogniwa z poprzedniego zadania, wynosi:

- A) 6 A

- B) 3 A

- C) 1 A

- D) 0 A

1017. 1982/L

W przedstawionym obwodzie różnica potencjałów pomiędzy punktami A i B oraz natężenie prądu w obwodzie wynosi:

- A) 4 V, 2 A

- B) 4 V, 8 A

- C) 8 V, 4 A

- D) 8 V, 16 A

1018.

Połączeno szeregowo w baterię dwa ogniwa, każde o sile elektromotorycznej 6 V i opory wewnętrzny $0,2\Omega$. Jeżeli czerpiemy z baterii prąd o natężeniu 5 A , to napięcie między biegumami baterii wynosi:

- A) 2 V

- B) 10 V

- C) 12 V

- D) 1 V

1019.

Gdy ogniwa z poprzedniego zadania są połączone równolegle czerpiemy z baterii prąd o natężeniu 5 A , to napięcie między biegumami baterii jest równe:

- A) 5,5 V

- B) 6 V

- C) 5 V

- D) 1 V

1020. 1986/L

W obwodzie przedstawionym na rysunku płynie prąd o natężeniu 1 A , siły elektromotoryczne źródła są odpowiednio $E_1 = 6 \text{ V}$, $E_2 = 2 \text{ V}$, zaś ich opory wewnętrzne $r_1 = r_2 = 1\Omega$. Napięcia między punktami B i A oraz C i A wynoszą odpowiednio:

- A) $U_{BA} = -3 \text{ V}$

- B) $U_{BA} = 3 \text{ V}$

- C) $U_{BA} = -3 \text{ V}$

- D) $U_{BA} = 3 \text{ V}$

- E) $U_{CA} = -5 \text{ V}$

- F) $U_{CA} = 5 \text{ V}$

- G) $U_{CA} = -5 \text{ V}$

- H) $U_{CA} = 5 \text{ V}$

- I) $U_{CA} = 5 \text{ V}$

- J) $U_{CA} = -5 \text{ V}$

1021. 1995/MIS Małopolska

W sytuacji przedstawionej na rysunku (zakładamy, że opory voltmierzy są dużo większe od oporu R) wskażania voltmierzy wynoszą odpowiednio:

- A) $V_1 = V_2 = E$

- B) $V_1 = 0, V_2 = E$

- C) $V_1 = V_2 = 0,5 E$

- D) $V_1 = E, V_2 = 0$

1022.

Punkty A, B, C znajdują się na rysunku przedstawionym na rysunku (zakładamy, że opory voltmierzy wynoszą odpowiednio:

- A) $V_1 = V_2 = E$

- B) $V_1 = 0, V_2 = E$

- C) $V_1 = V_2 = 0,5 E$

- D) $V_1 = E, V_2 = 0$

1023.

Punkty A, B, C znajdują się na rysunku przedstawionym na rysunku (zakładamy, że opory voltmierzy wynoszą odpowiednio:

- A) $V_1 = V_2 = E$

- B) $V_1 = 0, V_2 = E$

- C) $V_1 = V_2 = 0,5 E$

- D) $V_1 = E, V_2 = 0$

1024.

Punkty A, B, C znajdują się na rysunku przedstawionym na rysunku (zakładamy, że opory voltmierzy wynoszą odpowiednio:

- A) $V_1 = V_2 = E$

- B) $V_1 = 0, V_2 = E$

- C) $V_1 = V_2 = 0,5 E$

- D) $V_1 = E, V_2 = 0$

1025.

Punkty A, B, C znajdują się na rysunku przedstawionym na rysunku (zakładamy, że opory voltmierzy wynoszą odpowiednio:

- A) $V_1 = V_2 = E$

- B) $V_1 = 0, V_2 = E$

- C) $V_1 = V_2 = 0,5 E$

- D) $V_1 = E, V_2 = 0$

1026.

Punkty A, B, C znajdują się na rysunku przedstawionym na rysunku (zakładamy, że opory voltmierzy wynoszą odpowiednio:

- A) $V_1 = V_2 = E$

- B) $V_1 = 0, V_2 = E$

- C) $V_1 = V_2 = 0,5 E$

- D) $V_1 = E, V_2 = 0$

1027.

Punkty A, B, C znajdują się na rysunku przedstawionym na rysunku (zakładamy, że opory voltmierzy wynoszą odpowiednio:

- A) $V_1 = V_2 = E$

- B) $V_1 = 0, V_2 = E$

- C) $V_1 = V_2 = 0,5 E$

- D) $V_1 = E, V_2 = 0$

1028.

Punkty A, B, C znajdują się na rysunku przedstawionym na rysunku (zakładamy, że opory voltmierzy wynoszą odpowiednio:

- A) $V_1 = V_2 = E$

- B) $V_1 = 0, V_2 = E$

- C) $V_1 = V_2 = 0,5 E$

- D) $V_1 = E, V_2 = 0$

1029.

Punkty A, B, C znajdują się na rysunku przedstawionym na rysunku (zakładamy, że opory voltmierzy wynoszą odpowiednio:

- A) $V_1 = V_2 = E$

- B) $V_1 = 0, V_2 = E$

- C) $V_1 = V_2 = 0,5 E$

- D) $V_1 = E, V_2 = 0$

1030.

Punkty A, B, C znajdują się na rysunku przedstawionym na rysunku (zakładamy, że opory voltmierzy wynoszą odpowiednio:

- A) $V_1 = V_2 = E$

- B) $V_1 = 0, V_2 = E$

- C) $V_1 = V_2 = 0,5 E$

- <p

1022.

Po zamknięciu klucza K (rys.) na kondensatorze o pojemności 10 nF zgromadził się ładunek 10 mC . Jeżeli $R = 1\Omega$ i $r = 3\Omega$, to natężenie prądu płynącego w tym obwodzie i siła elektromotoryczna ogniwa E wynoszą odpowiednio:

- | | | |
|----|------------|------------|
| A) | $I(A) = 0$ | $E(V) = 3$ |
| B) | $I(A) = 1$ | $E(V) = 3$ |
| C) | $I(A) = 3$ | $E(V) = 1$ |
| D) | $I(A) = 1$ | $E(V) = 6$ |

1023.

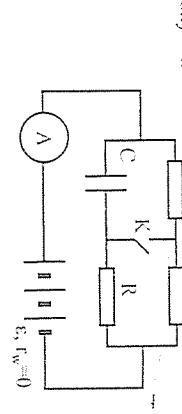
W jednakoowych ogniwach o oporności wewnętrznej r każde połączono raz szeregowo, drugi raz równolegle. Aby w obu przypadkach otrzymać ten sam proud oporność zewnętrzna powinna wynosić:

- | | | | | | |
|----|----------|--------|--------------------|------------|----------|
| A) | $(n-1)r$ | $B)$ 0 | $C)$ $\frac{r}{n}$ | $D)$ $n r$ | $E)$ r |
|----|----------|--------|--------------------|------------|----------|

1024. 1986/F

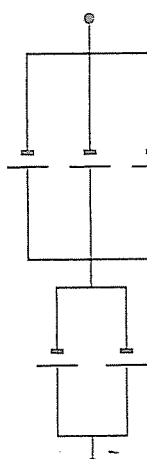
Po zamknięciu wyłącznika K w obwodzie (rys.) natężenie prądu płynącego przez amperomierz i ładunek zgromadzony w kondensatorze:

- | | | |
|----|-----------|-----------|
| A) | wzrostnie | kadunek |
| B) | zmaleje | zmaleje |
| C) | wzrostnie | wzrostnie |
| D) | zmaleje | zmaleje |

**1025.** 1990/L

Pięc ogniw z rysunku, każde o STEM równej e i oporze wewnętrzny r można zastąpić jednym ogniwem, którego STEM i opór wewnętrzny są odpowiednio równe:

- | | | |
|----|------------------------------|---|
| A) | $2e \text{ i } 2r$ | $C)$ $\frac{5}{6}e \text{ i } \frac{5}{6}r$ |
| B) | $2e \text{ i } \frac{5}{6}r$ | $D)$ $\frac{5}{6}e \text{ i } 2r$ |

**1026.** 1988/L

Jeśli w obwodzie przedstawionym na rysunku STEM każdego z ogniw równa się e , a opór wewnętrzny r , to natężenie prądu płynącego przez opornik o oporze $R = r$ wyraża się wzorem:

- | | | | | |
|----|---------------------|--------------------------|---------------------------|--------------------------|
| A) | $I = \frac{3e}{4r}$ | $B)$ $I = \frac{5e}{6r}$ | $C)$ $I = \frac{9e}{10r}$ | $D)$ $I = \frac{7e}{6r}$ |
|----|---------------------|--------------------------|---------------------------|--------------------------|

1027. 1982/L

Przez akumulator o siле elektromotycznej $E = 4\text{V}$ i oporze $R_w = 0,5\Omega$ w czasie ładowania płynie proud o natężeniu 2A . Różnica potencjałów na zaciskach tego akumulatora w tym czasie wynosi:

- | | | | | |
|----|-------------|------------------|------------------|------------------|
| A) | 6V | $B)$ 5V | $C)$ 4V | $D)$ 3V |
|----|-------------|------------------|------------------|------------------|

1028. 1993/L

Potęza przenoszenia ciała o ciężarze 2200 N na wysokość 12 m silnik dźwigu elektrycznego przy napięciu 220 V pobiera proud o natężeniu 12 A , przy czym podnoszenie trwa 25 s . Sprawność silnika ma wartość:

A) 0,30**B)** 0,40**C)** 0,50**D)** 0,60**1029.** 1983/L

Akumulator o oporze $R = 0,1\Omega$ ładowano z zasilacza pradem o natężeniu 10 A . Napięcie na zaciskach zasilacza $U = 13\text{ V}$. Ilość ciepła wydzielona w akumulatorze w czasie 1 s wynosi:

- | | | |
|----|---------------------------|-----------------------------------|
| A) | $Q = I^2Rt = 10\text{ J}$ | $C)$ $Q = U^2t/R = 1690\text{ J}$ |
| B) | $Q = Ut = 130\text{ J}$ | $D)$ $Q = qU = 120\text{ J}$ |

1030. 1992-94/MIS Mat

Źródłem prądu stałego jest:

- A) cewka indukcyjna

- B) elektromagnes

- C) akumulator

- D) transformator

1031. 1990/F

Źródłem energii elektrycznej w akumulatorze ołowianym jest następująca reakcja chemiczna:

- | | | | | |
|----|---|--|----|--|
| A) | $\text{Pb} + \text{H}_2\text{SO}_4 \longrightarrow \text{PbSO}_4 + \text{H}_2$ | <td>C)</td> <td>$2\text{PbSO}_4 + 2\text{H}_2\text{O} \longrightarrow \text{PbO}_2 + \text{Pb} + 2\text{H}_2\text{SO}_4$</td> | C) | $2\text{PbSO}_4 + 2\text{H}_2\text{O} \longrightarrow \text{PbO}_2 + \text{Pb} + 2\text{H}_2\text{SO}_4$ |
| B) | $\text{PbO}_2 + 4\text{H}^+ + \text{SO}_4^{2-} + 2\text{e}^- \longrightarrow \text{PbSO}_4 + 2\text{H}_2\text{O}$ | <td>D)</td> <td>$\text{Pb} + \text{PbO}_2 + 2\text{H}_2\text{SO}_4 \longrightarrow 2\text{PbSO}_4 + 2\text{H}_2\text{O}$</td> | D) | $\text{Pb} + \text{PbO}_2 + 2\text{H}_2\text{SO}_4 \longrightarrow 2\text{PbSO}_4 + 2\text{H}_2\text{O}$ |

1032. 1983/F

Podczas rozładowywania akumulatora ołowioowego na anodzie zachodzi reakcja:

- | | |
|----|--|
| A) | $\text{PbSO}_4 + \text{SO}_4^{2-} - 2\text{e}^- + 2\text{H}_2\text{O} \longrightarrow \text{PbO}_2 + 2\text{H}_2\text{SO}_4$ |
| B) | $\text{PbO}_2 + 2\text{H}^+ + 2\text{e}^- + \text{H}_2\text{SO}_4 \longrightarrow \text{PbSO}_4 + 2\text{H}_2\text{O}$ |
| C) | $\text{PbSO}_4 + 2\text{H}^+ + 2\text{e}^- \longrightarrow \text{Pb} + \text{H}_2\text{SO}_4$ |
| D) | $\text{Pb} + \text{SO}_4^{2-} - 2\text{e}^- \longrightarrow \text{PbSO}_4$ |

1033. 1990/L

W dwóch elektrolizerach, w których znajdowały się: w pierwszym wodny roztwór CuCl_2 , a w drugim wodny roztwór AgNO_3 , prowadzono elektrolizę prądem o tym samym natężeniu. Po pewnym czasie w pierwszym elektrolizatorze wydzieliło się $0,5\text{ mol}$ mola Cu . Liczba moli srebra wydzielona w tym samym czasie w drugim elektrolizatorze wynosi:

- A) 0,25

- B) 0,5

- C) 1

- D) 2

1034. 1986/L, 1987/L, 1980/L

ile gramów srebra wydzielili się na katodzie płatynowej w czasie elektrolizy wodnego roztworu AgNO_3

- A) 2,0 g

- B) 3,0 g

- C) 4,0 g

- D) 5,0 g

1035. 1990/F

Równowazniki elektrochemiczne srebra, potasu i sodu spełniają zależność:

- A) $k_{\text{Ag}} = k_{\text{K}} = k_{\text{Na}}$

- C) $k_{\text{Ag}} < k_{\text{K}} < k_{\text{Na}}$

- B) $k_{\text{Ag}} > k_{\text{K}} > k_{\text{Na}}$

- D) $k_{\text{Ag}} < k_{\text{Na}} < k_{\text{K}}$

1036. 1979/L

Ruchliwość jonów w roztworze jest to stosunek prędkości jonu do natężenia pola elektrycznego, powodującego ruch jonu. Do dwóch elektrod oddalonych o d , przyłożono napięcie (U) , jeżeli ruchliwość jonów wynosi (u) , to czas (t), w którym jony przesuwają się pomiędzy elektrodami, wynosi:

- A) $t = \frac{d}{Uu}$

- B) $t = \frac{U}{u}$

- C) $t = \frac{d^2}{Uu}$

- D) $t = d/u$

1037. 1985/L, 1987/F

Przy wannę galwaniczną połączoną szeregowo z amperometrem płynie prąd stały, jeżeli w czasie 4 s jony na katodę przenoszą ładunek 2 C i na anodę ładunek 2 C to amperometr wskazuje:

- A) 0 A B) 0,5 A C) 1 A D) 2 A

1038. 1980/F

Jon miedzi ma symbol Cu^{2+} . Ille elektronów pobierze z katody 6,35 g miedzi w procesie elektrolizy wodnego roztworu $CuSO_4$?

- A) N/10 B) N/5 C) N/2 D) 2N

1039. 1988/F, 1988/L

Dwie niedziane elektrody woltanetru zanurzono do wodnego roztworu $CuSO_4$. Przy przepłynięciu przez woltanetr ładunku 96500 C masa katody:

- A) wzrosnie o około 32 g
B) wzrosnie o około 64 g
C) zmniejsze o około 32 g
D) zmniejsze o około 64 g

1040.

Równiawcznik elektrochemiczny niklu jest równy $3 \cdot 10^4 \text{ g/C}$. Ladunek 100C przepływający przez roztwór soli niktawej spowoduje wydzielenie na katodzie:

- A) $3 \cdot 10^4 \text{ g Ni}$ B) $3 \cdot 10^6 \text{ g Ni}$ C) $3 \cdot 10^5 \text{ g Ni}$ D) $1,72 \cdot 10^6 \text{ g Ni}$

1041. 1986/F

Ille atomów miedzi wydziela się na katodzie platynowej w czasie elektrolizy wodnego roztworu $CuSO_4$ prądem o natężeniu 1A, w ciągu 30 minut?

- A) $5 \cdot 10^{10} \text{ atomów}$ B) $0,7 \cdot 10^{21} \text{ atomów}$ C) $1,4 \cdot 10^{21} \text{ atomów}$ D) $2,8 \cdot 10^{21} \text{ atomów}$

1042. 1977/L

Przepływ ładunku o wartości 96500 C przez elektrolyt $CuSO_4$ spowoduje, że na katodzie wydzieli się:

- A) $0,329 \cdot 10^{-3} \text{ g miedzi}$ B) $31,7 \text{ g miedzi}$ C) $0,660 \cdot 10^{-3} \text{ g miedzi}$ D) $63,5 \text{ g miedzi}$

1043. 1977/L

Przeprowadzając elektrolizę $CuSO_4$ sporządzono wykres przedstawiony na rysunku. Jak długo trwać musi elektrolyza, aby na katodzie wydzieliło się 31,7 g miedzi?

- A) około 1,3h
B) około 2,7h
C) około 3,1h
D) około 6,3h

1044. 1978/L

Miedziany statu Faradaya, liczbę Avogadra i ładunkiem elementarnym zachodzi związki:

- A) $F = e/N$ B) $F = e/N$ C) $F = N/e$ D) $F = 1/(eN)$

1045. 1977/L

Dwie wannę z roztworami $CuSO_4$ i HCl połączono szeregowo. W czasie przepływu prądu:

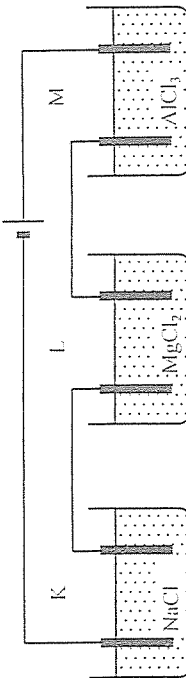
- A) przez elektrolyt zawierający jony wodoru przepłynie ładunek dwukrotnie większy niż przez elektrolyt zawierający jony miedzi
B) do odpowiednich elektrod dopłynie dwukrotnie większa liczba jonów wodoru niż jonów miedzi
C) na odpowiednich elektrodach wydziela się jednakowe ilości atomów miedzi i wodoru
D) na odpowiednich elektrodach wydziela się jednakowe ilości atomów miedzi i wodoru

1046. 1983/L

W przedstawionym na rysunku układzie wydziela się masy srebra na Ag i wodoru na H_2 , których stosunek wagowy jest równy:

1047. 1982/F

W dwóch woltanetrach połączonych szeregowo znajduje się stopiony chlorek miedziawy Cu_2Cl_2 i stopiony chlorek miedziowy $CuCl_2$.



A) w obydwu woltanetrach wydziela się jednakowe masy miedzi i jednakowe masy chloru
B) w drugim woltanetrze wydziela się dwa razy większa masa miedzi niż w-pierwszym, natomiast masy wydzielonego chloru będą jednakowe
C) w drugim woltanetrze wydziela się dwa razy mniejsza masa miedzi niż w-pierwszym, natomiast masy wydzielonego chloru będą jednakowe
D) w obydwu woltanetrach masy wydzielonej miedzi będą jednakowe, w drugim woltanetrze masy wydzielonego chloru będą dwa razy większe niż w-pierwszym

1048.

Masa chloru wydzielonego w ciągu 10 min prądem 0,5 A na anodach woltanetów K, L, M będzie:

- A) największa w woltanetrze K
B) największa w woltanetrze M
C) największa w woltanetrze L
D) największa w woltanetrze M



- A) jednakowa we wszystkich woltanetach
B) największa w woltanetrze M
C) największa w woltanetrze K
D) największa w woltanetrze L

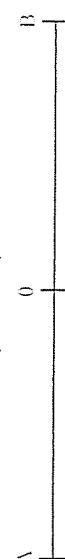
1049.

Żarówka o mocy 100W i napięciu 220V połączona jest szeregowo z nieczynnym elektrolitycznym zawierającym roztwór $CuSO_4$ o nieznanym oporze. Masa miedzi, która wydzieli się w tym elektrolizerze w ciągu 10 min wynosi około:

- A) 89 mg B) 178 mg C) 48 g D) 89 g E) 178 g

1064. 1989/L

Punkt materialny wykonuje drgania harmoniczne między punktami A - B (rys.), gdzie 0 jest jego położeniem równowagi, Δ do 0 punkt ten porusza się ruchem:



- A) przyspieszonym
B) opóźnionym
C) jednostajnie przyspieszonym
D) jednostajnie opóźnionym

1065. 1987/L

Ciało wykonujące drgania harmoniczne o amplitudzie 5 cm osiąga maksymalną prędkość $20 \frac{\text{cm}}{\text{s}}$. Maksymalne przyspieszenie ciała ma wartość:

- A) $4 \frac{\text{cm}}{\text{s}^2}$
B) $40 \frac{\text{cm}}{\text{s}^2}$
C) $80 \frac{\text{cm}}{\text{s}^2}$
D) $100 \frac{\text{cm}}{\text{s}^2}$

1066. 1989/F

Ciało wykonuje drgania harmoniczne. W punkcie największego wychylenia z położenia równowagi:

- A) prędkość ciała i jego przyspieszenie są maksymalne
B) prędkość ciała i jego przyspieszenie są równe zero
C) prędkość ciała jest maksymalna, a przyspieszenie równe zero
D) prędkość ciała jest równa zero, a przyspieszenie maksymalne

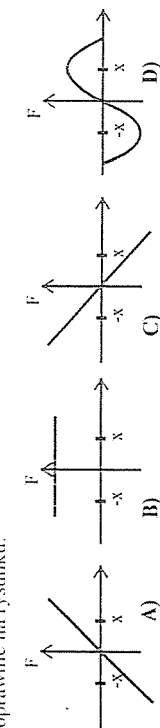
1067.

Przedziały czasu odpowiadające odcinkom AB i AC na rysunku, jeżeli częstotliwość w tym ruchu harmonicznym $f = 250\text{Hz}$, wynoszą odpowiednio:

- A) $4 \cdot 10^{-3}\text{s}$
B) $6 \cdot 10^{-3}\text{s}$
C) $6 \cdot 10^{-3}\text{s}$
D) $3 \cdot 10^{-3}\text{s}$
E) żadna z podanych

1068. 1983/F

Sila działająca na punkt materialny drżący ruchem harmonicznym prostym jest przedstawiona poprawnie na rysunku:

**1069.** 1989/L

Czas, po którym oba punkty spotkają się, wynosi:
A) T
B) $T/2$
C) $T/8$
D) $T/6$

1070.

Odległość, w której spotkają się punkty 1, 2, liczona od położenia równowagi O jest:

- A) $\frac{1}{4}\Delta$
B) $\frac{\sqrt{2}}{2}\Delta$
C) $\frac{1}{2}\Delta$
D) $\frac{1}{3}\Delta$

1071.

Prałkości punktów w chwili spotkania spełniają relację:
A) $V_1 = 2V_2$
B) $V_1 = 0,5V_2$
C) $V_1 = V_2$
D) $V_1 = 3V_2$

1072.

Punkty 1 i 2 w czasie od $t_0 = 0$ do $t = \frac{T}{4}$ poruszają się ruchem:
punkt 1
A) jednostajnie opóźnionym
B) niejednostajnie przyspieszonym
C) niejednostajnie opóźnionym
D) jednostajnym

1073.

Maksymalna wartość przyspieszenia w ruchu harmonicznym prostym o amplitudzie Δ , wynosi a . Okres drgania określa wyrażenie:
punkt 2
A) $2\pi\sqrt{\frac{\Delta}{a}}$
B) $\frac{1}{2\pi}\sqrt{\frac{\Delta}{a}}$
C) $2\pi\sqrt{\frac{a}{\Delta}}$
D) $\frac{1}{2\pi}\sqrt{\frac{a}{\Delta}}$

1074. 1999/L

Ciało wykonuje drgania harmoniczne o okresie $T = 4\text{s}$ i amplitudzie $\Delta = 0,2\text{m}$. Wartość przyspieszenia a i prędkości v ciała w położeniu maksymalnego wychylenia w przybliżeniu są równe:
A) $a = 0, v = 0,5 \frac{\text{m}}{\text{s}}$
B) $a = 0,3 \frac{\text{m}}{\text{s}^2}, v = 0$

1075.

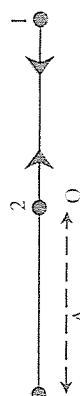
Jeżeli amplituda w ruchu harmonicznym prostym $X = A \sin \omega t$, okres 2π , to prędkość chwilowa V wyrażona w cm/s dana jest wzorem:
A) $1\cos \pi t$
B) $1\cos 2\pi t$
C) $2\pi \sin \pi t$
D) $2\pi \cos 2\pi t$

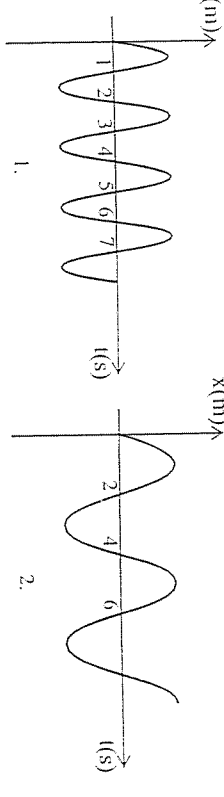
1076.

Chwilowa wartość przyspieszenia z poprzedniego zadania określona jest wyrażeniem:
A) $-2\pi^2 \sin \pi t$
B) $-\pi^2 \sin \pi t$
C) $-\pi^2 \cos 2\pi t$
D) $-\pi^2 \sin 2\pi t$

1077.

Dwie kule o masie $0,1\text{g}$ każda wykonują ruch harmoniczny prosty względem punktu 0 o amplitudzie A i okresie T .





Stosunek wychylenia 1 kulki do wychylenia 2 kulki po czasie $t = 0,5$ s wynosi:

- A) 1 B) $\frac{1}{2}$ C) $\sqrt{2}$ D) $\frac{\sqrt{2}}{2}$

1078.

Liczba pełnych wahnięć, jakie wykonają kulki z poprzedniego zadania w czasie 1 min, wynosi odpowiednio:

- | | | | | | |
|----|----|----|-----|---------|---------|
| A) | 16 | 8 | ... | kulka 1 | kulka 2 |
| B) | 8 | 4 | ... | | |
| C) | 30 | 15 | ... | | |
| D) | 15 | 30 | ... | | |

1079.

Stosunek sił F_1/F_2 działających w momencie maksymalnych wychyleni obu kul z zadania 1077 jest równy:

- A) 4 B) 2 C) 1 D) 0,5

1080.

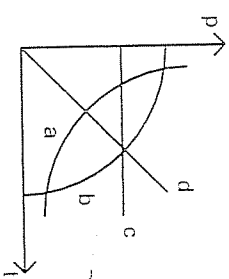
Ciało o masie m wykonuje drgania harmoniczne o okresie T . Jeżeli amplituda drgań jest równa A, to maksymalna wartość siły działającej na to ciało jest równa:

- A) $\frac{2\pi A m}{T}$ B) $\frac{2\pi^2 A m}{T^2}$ C) $\frac{4\pi^2 A m}{T^2}$ D) $\frac{4\pi^2 A^2 m}{T^2}$ E) $\frac{4\pi^2 A^2 m^2}{T^2}$

1081.

Punkt materialny o masie m porusza się ruchem harmonicznym prostym. Zależność prędu punktu materialnego od czasu, przy przejściu od położenia równowagi do maksymalnego wychylenia, przedstawia linia:

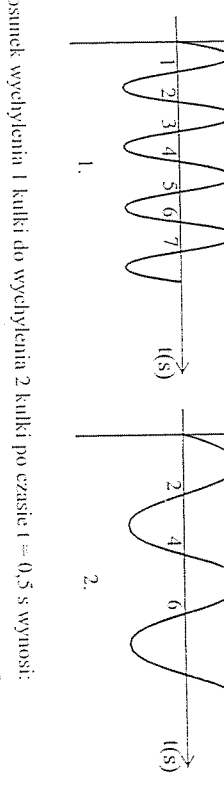
- A) a
B) b
C) c
D) d



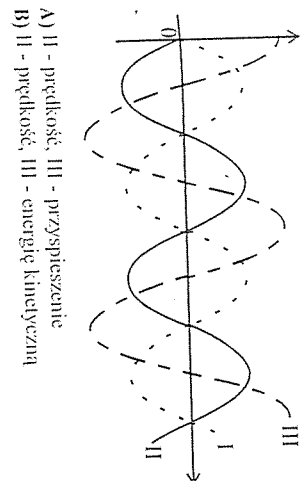
1082.

Maksymalna wartość energii kinetycznej ciała wykonującego drgania harmoniczne o amplitudzie A wynosi E. W punkcie położonym w odległości $X = A/2$ od położenia równowagi energia kinetyczna ciała będzie równa:

- A) $\frac{7}{8} E$ B) $\frac{3}{4} E$ C) $\frac{1}{2} E$ D) $\frac{1}{4} E$ E) $\frac{1}{8} E$



Wykresy przedstawione na rysunku odnoszą się do ruchu drgającego harmonicznego, dla $t_0 = 0$, $x_0 = 0$. Jeżeli 1 jest wykresem wychylenia w tym ruchu, to wykresy II i III mogą dla tego ruchu przedstawić:



1083. 1984/l.

Wykresy przedstawione na rysunku odnoszą się do ruchu drgającego harmonicznego, dla $t_0 = 0$, $x_0 = 0$. Jeżeli 1 jest wykresem wychylenia w tym ruchu, to wykresy II i III mogą dla tego ruchu przedstawić:

- A) II - prędkość, III - przyspieszenie
B) II - prędkość, III - energia kinetyczna
C) II - przyspieszenie, III - prędkość
D) II - przyspieszenie, III - prędkość kinetyczna

1084. 1990/l.

Punkt materialny wykonuje drgania harmoniczne o amplitudzie A i okresie T. Jeżeli zwiększymy dwukrotnie okres drgań, a amplituda nie zmienia się, to jego maksymalna energia kinetyczna:

- A) nie ulegnie zmianie
B) zmniejsze dwukrotnie
C) wzrośnie dwukrotnie
D) zmniejsze czterokrotnie

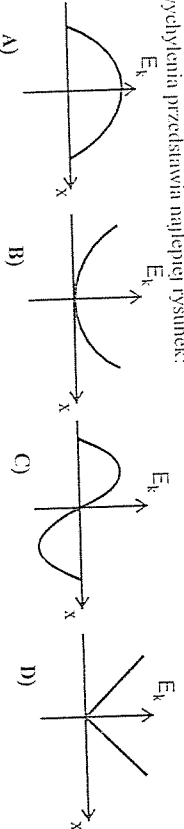
1085. 1983/l.

Wartości energii potencjalnej E_p i kinetycznej E_k punktu materialnego drgającego ruchem harmonicznym prostym przedstawiają wyrażenia:

- A) $E_p = 0,5 m \omega^2 A^2 \sin^2 \omega t$
B) $E_p = 0,5 m \omega^2$
C) $E_p = 0,5 m v^2$
D) $E_p = 0,5 m \omega^2 A^2 \sin \omega t$
E) $E_p = 0,5 m \omega^2 A^2 \cos \omega t$

1086. 1983/F

Energia kinetyczna punktu materialnego poruszającego się ruchem harmonicznym prostym w funkcji wychylenia przedstawia najlepiej rysunek:



1087.

Energia kinetyczna ciała poruszającego się ruchem harmonicznym jest:

- A) zawsze mniejsza od jego energii potencjalnej
B) wprost proporcjonalna do wychylenia
C) różna od energii całkowitej i potencjalnej ciała drgającego
D) odwrotnie proporcjonalna do wychylenia
E) maksymalna przy wychyleniu równym amplitudzie

1088.

Jeżeli A jest amplitudą ruchu harmonicznego, to energia potencjalna równa jest energią kinetyczną dla wychylenia:

- A) $x = \lambda$
 B) $x = 0.5\lambda$
 C) $x = \sqrt{2}\lambda$
 D) $x = \frac{\lambda}{\sqrt{2}}$
 E) $x = 0.75\lambda$

1089. 1988/F

Jeżeli maksymalna energia kinetyczna punktu wykonującego drgania harmoniczne wynosi E_0 , to w odległości od położenia równowagi równej trzy czwarte amplitudy, energia ta jest równa:

- A) $\frac{1}{16}E_0$
 B) $\frac{7}{16}E_0$
 C) $\frac{9}{16}E_0$
 D) $\frac{15}{16}E_0$
 E) $\frac{1}{4}E_0$

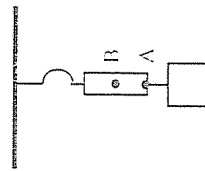
1090. 1985/L

Jak zmienia się energia drgań harmonicznych jeżeli zarówno okres, jak i amplituda zwiększymy dwa razy:
 A) wzrośnie 4 razy
 B) zmniejsze 2 razy
 C) nie zmieni się
 D) wzrośnie 16 razy

1091. 1994/L

Spośród wymienionych poniżej wielkości opisujących ruch harmoniczny wskaż te, której wartość nie zależy od faz drgań:
 A) wychylenie
 B) prędkość
 C) przyspieszenie

- D) sila
 E) energia całkowita



1092. 1983/L

Odwzniuk zawieszony na gumce został wprawiony w drgania. Punkty A i B gumki mają:

- A) jednakowe predkości
 B) jednakowe przyspieszenia
 C) jednakowe amplitudy
 D) jednakowe fazy

1093. 1997/L

Pod działaniem siły $F = 10 \text{ N}$ sprężyna wydłuża się o 0.1 m . Jeżeli na takiej sprężynie zawiesimy ciało o masie $m = 4 \text{ kg}$ i wprawimy w ruch drgający to częstotliwość kołowa tej drgań będzie wynosiła:

- A) $\frac{1}{5} \text{ s}^4$
 B) $\frac{1}{2} \text{ s}^4$
 C) 2 s^4
 D) 5 s^4

1094. 1984/F

W ruchu drgającym wahadła matematycznego siła ciężkości stanowi czynnik sprawiający, że:
 A) ruch ten zanika
 B) ruch ten jest możliwy

- C) predkość ruchu zmienia się nieliniowo
 D) okres drgań jest niezależny od amplitudy

1095. 1985/L

Wahadło matematyczne umieszczone na powierzchni Ziemi posiada okres drgań T_0 . Jeżeli wahadło to umieszcmy na powierzchni planety o masie 4 razy większej i 2 razy większym promieniu od Ziemi, to okres T wahadła wyniesie:

- A) $2T_0$
 B) $\frac{T_0}{2}$
 C) $4T_0$
 D) $\frac{1}{4}T_0$
 E) T_0

1096. 1985/L

W wagonie poruszającym się poziomo z przyspieszeniem a zawieszono wahadło matematyczne o długości l . Okres wahadła wynosi:

- A) $2\pi\sqrt{l/(g+a)}$
 B) $2\pi\sqrt{l/g}$
 C) $2\pi\sqrt{l^2/(g^2+a^2)}$
 D) $2\pi\sqrt{l^2/(g-a)}$

1097. 1984/L

Na długiej nietrójcięgowej nit zamieszczono małe naczynko o znikomej masie z wodą, która wypływa przez otwór w dnie.

Po wprawieniu takiego wahadła w ruch drgający, okres drgań T :

- A) pozostanie stały, ponieważ $T = 2\pi\sqrt{l/g}$
 B) będzie się zmniejszał, ponieważ $T = 2\pi\sqrt{m/K}$
 C) będzie się zwiększał, ponieważ sila $F = -mgx/l$
 D) będzie się zwiększał, ponieważ obniża się bieżącze średnie masy

1098. 1986/F

Dwa wahadła matematyczne o długościach l_1 i l_2 w tym samym czasie wykonują odpowiednio 16 i 8 wahadleń. Okresy tych wahadeli T_1 i T_2 spełniają związek:

- A) $\frac{T_1}{T_2} = \frac{4}{1}$
 B) $\frac{T_1}{T_2} = \frac{2}{1}$
 C) $\frac{T_1}{T_2} = \frac{1}{4}$
 D) $\frac{T_1}{T_2} = \frac{1}{2}$
 E) $\frac{T_1}{T_2} = 1$

1099.

W ruchu nietrójcięgownym wahadła matematycznego:

- I. całkowita energia mechaniczna jest stała
 II. energia kinetyczna przy maksymalnym wychyleniu jest równa energii kinetycznej przy przechodzienniu przez położenie równowagi
 III. w każdej chwili energia potencjalna jest równa energii kinetycznej
 IV. energia potencjalna przy maksymalnym wychyleniu jest równa energii kinetycznej przy przechodzienniu przez położenie równowagi
 V. całkowita energia mechaniczna maleje

Które z powyższych stwierdzeń są prawdziwe:

- A) tylko III i V
 B) tylko III i IV
 C) tylko I i V
 D) tylko III i V
 E) wszystkie

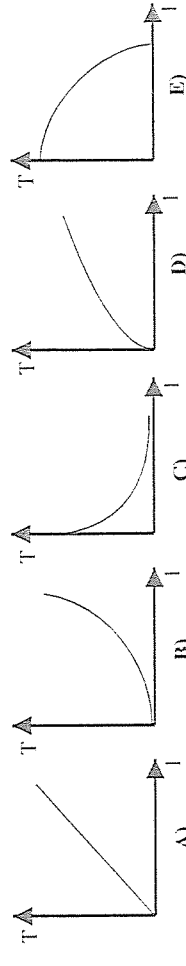
1100.

Okres drgań wahadła sekundowego w spadającej swobodnie windzie wynosi:

- A) 1s
 B) 2 s
 C) 0.5 s
 D) tylko III i V
 E) nieskończoność

1101. 1990/L; 1994/L

Zależność okresu wahadła matematycznego od jego długości poprawnie przedstawia wykres:



1102.

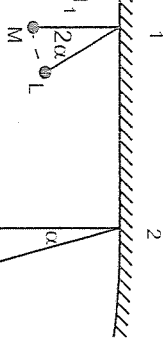
Wahadło matematyczne wykonuje n wahadle w ciągu czasu t. Długość wahadła wyrażona jest wzorem:

- A) $\frac{gt}{2\ln}$
 B) $\frac{g^2t^2}{2\ln}$
 C) $\frac{2\ln}{n}$
 D) $\frac{gt^2}{4\ln^2 n}$

1103. 1993A.

Dwa wahadła matematyczne o długościach l_1 i $l_2 = 4 l_1$ odłączono od punktu tak jak na rysunku. Czas potrzebny na zakończenie luku LM wynosił 1 s. Okres drgań drugiego wahadła jest równy:

- A) 1 s
- B) 2 s
- C) 4 s
- D) 8 s
- E) 16 s



1104. 1995/MIS MaP

Astronauta postanowił zabrać na wieloletni pobyt na inną planetę wierną replikę swojego ulubionego zegara wahadłowego. Jeżeli planeta ma średnicę dwa razy większą niż Ziemia i zbudowana jest z tych samych mineraliów, a zegar ma chodzić prawidłowo, to astronauta powinien zlecić zegarmistrzowi wykonanie repliki w skali:

- A) 8:1
- B) 2:1
- C) 1:1
- D) 1:2

C) 1:1

1105. 1995/MIS MaP

W windzie powieszone wahadłowe zegar ściennej. Zegar będzie się spieszyl, gdy winda:

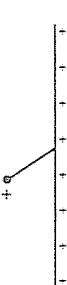
- A) jedzie z przyspieszeniem skierowanym w góre
- B) jedzie z przyspieszeniem skierowanym w dół

- C) spada swobodnie
- D) stoi w miejscu

1106.

Zmniejszenie długości wahadła matematycznego o połowę spowoduje:

- A) dwukrotny wzrost okresu drgań
- B) dwukrotnie zmniejszenie częstotliwości drgań
- C) wzrost $\sqrt{2}$ razy częstotliwości drgań
- D) wzrost $\sqrt{2}$ razy częstotliwości drgań
- E) wzrost okresu $\sqrt{2}$ razy



1107. 1992-94/MIS MaP

Kulkę o masie m , naładowaną dodatnio, zawieszono na nite o długości l , wewnętrzną kondensatora (rysunek). Góra okładka kondensatora naładowana jest dodatnio. Okres drgań takiego wahadła pod wpływem pola elektryczznego:

- A) maleje
- B) nie zmienia się
- C) rośnie
- D) ruch przestaje być harmoniczny



1108. 1992-94/MIS MaP

Zegar wahadłowy zawieszono z Ziemi na Książęce (6-krotnie słabsze przyciąganie grawitacyjne). Zegar będzie:

- A) pobił się o czynnik 6
- B) pobił się o czynnik $\sqrt{6}$
- C) spieszyl się o czynnik 6
- D) spieszyl się o czynnik $\sqrt{6}$

1109. 1980/L

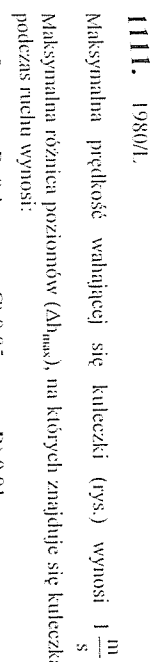
Čterzy, różnej długości wahadła, których kulceczki (o jednakowej średnicy) wykonane zostały z różnych materiałów, odłączono od ich położenia równowagi o taki sam kąt, która z kulceczek osiągać będzie podczas drgań wahadła największą prędkość maksymalną:

- A) kuleczka zawieszona na najdłuższej nici
- B) kuleczka zawieszona na najkrótszej nici
- C) kuleczka o największej mase
- D) kuleczka o największej miei

1110. 1992-94/MIS MaP

Silnik o mase 10 kg ugina płytę stalową, na której stoi o 1 cm. Częstotliwość rezonansowa drgań tego układu wynosi w przybliżeniu:

- A) $0,5 \text{ s}^{-1}$
- B) 5 s^{-1}
- C) 500 s^{-1}
- D) 5000 s^{-1}



1111. 1980/L

Maksymalna prędkość wahajacej się kulceczki (rys.) wynosi $1 \frac{\text{m}}{\text{s}}$.



Maksymalna różnica poziomów (Δh_{\max}), na których znajduje się kulceczka podczas ruchu wynosi:

- A) 0,5 m
- B) 0,1 m
- C) 0,05 m
- D) 0,01 m

1112.

Kulka zawieszona na nitce wykonuje ruch wahadłowy w płaszczyźnie kartki wznosząc się na wysokość h względem poziomu A_0 . W chwili gdy kulka zajmuje pozycję A ustawiany w punkcie C przed prostopadle do płaszczyzny drgań. Jeżeli pominiemy opory ruchu, to wysokość na jaką wznieśsie się kulka jest:

- A) większa niż h
- B) mniejsza niż h
- C) mniejsza lub większa w zależności od wysokości ustawienia punktu C względem A_0
- D) taka sama
- E) równa się połowie wysokości h

1113. 1986/L

Wahadło składa się z kulki o mase 0,5 kg zawieszonej na nieważkiej nici o długości 1 m. Podeczas wahania kulka osiąga maksymalną prędkość $1,4 \frac{\text{m}}{\text{s}}$. Największa siła napinająca nici jest:

- A) 4 N
- B) 5 N
- C) 6 N
- D) 10 N

1114.

Podeczas ruchu wahadła matematycznego siła napinająca nici jest:

- A) we wszystkich punktach toru taka sama
- B) największa przy maksymalnym wykrycie z położenia równowagi i lecz mniejsza od ciężaru wahadła
- C) największa przy przechodzienniu przez położenie równowagi i większa od ciężaru wahadła
- D) największa przy przechodzienniu przez położenie równowagi lecz mniejsza od ciężaru wahadła

1115. 1998/L

Ciążarkę zwieszoną na sprzążnięty wykonuje drgania harmoniczne o amplitudzie 5 cm i częstotliwości $4\pi \text{ Hz}$. W chwili przejścia przez położenie równowagi ciążarka ma prędkość:

- A) 0,2 m/s
- B) 0,3 m/s
- C) 0,4 m/s
- D) 0,5 m/s

1116. 1992-94/MIS MaP

Warunek rezonansu dwóch oscylatorów jest spełniony gdy:

- A) amplitudy wykryte z położenia równowagi są równe
- B) częstotliwości drgań są różne
- C) amplitudy wykryte z położenia równowagi są różne
- D) częstotliwości drgań są równe

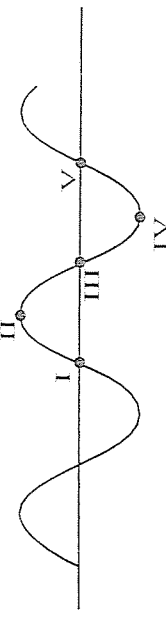
1117. 1992-94/MIS MaP

Częstotliwość drgań struny po uderzeniu zwiększoną napinającą siły:

- A) maleje czterokrotnie
B) maleje dwukrotnie
C) wzrasta dwukrotnie
D) wzrasta czterokrotnie

1118.

Rysunek przedstawia chwilowe położenie punktów węza gumowego drgającego w płaszczyźnie rysunku:



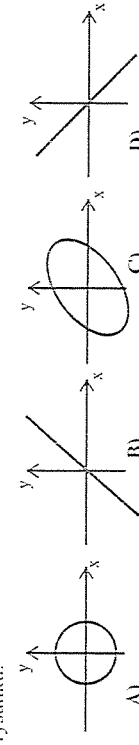
Fazy przeciwnie postacią punkty:

- A) I, III i V
B) II i IV
C) I i III
D) IV i V

E) poprawne są odp. B i C

1119. 1982/l.

W wyniku złożenia dugań harmonicznych odbywających się w kierunkach prostopadłych o jednakowych okresach i amplitudach, przy przesunięciu fazowym równym $\pi/2$ otrzymany jest kształt przedstawiony na rysunku:



1120. 1984/F

Odległość między kolejnymi grzbietami fal rozchodzących się na powierzchni jeziora wynosi $l = 6 \text{ m}$. Położona na wodzie piłka wykonuje drgania o okresie $T = 4 \text{ s}$. Prędkość rozchodząca się fali na wodzie wynosi:

- A) 0,375 m/s
B) 0,66 m/s
C) 1,5 m/s
D) 3 m/s

1121. 1983/F
Przy przejściu fali przez granicę dwóch ośrodków zmienia się:

- A) częstotliwość fali
B) faza
C) długość
D) okres drgań

1122. 1996/l.

Na podstawie rysunku, który przedstawia zalenie fali można stwierdzić, że prędkość rozchodząca się V , długość λ i częstotliwość f fali w ośrodkach 1 i 2 spełniają relację:

- | | | | |
|----|-------------|-------------------------|-------------|
| A) | $V_1 < V_2$ | $\lambda_1 > \lambda_2$ | $f_1 = f_2$ |
| B) | $V_1 = V_2$ | $\lambda_1 > \lambda_2$ | $f_1 < f_2$ |
| C) | $V_1 > V_2$ | $\lambda_1 = \lambda_2$ | $f_1 > f_2$ |
| D) | $V_1 < V_2$ | $\lambda_1 < \lambda_2$ | $f_1 = f_2$ |

1123.

Przez pewien ośrodek przechodzi fala podłużna o amplitudzie $A=0,2\text{m}$ i długości $\lambda=10\text{m}$. Maksymalna prędkość drgań czarneżek ośrodku (prędkość fali w tym ośrodku $V=1540 \text{ m/s}$) wynosi około:

- A) 340 m/s
B) 1,523 m/s
C) 193 m/s
D) 0,152 m/s
E) 1540 m/s

1124.

Fala mechaniczna przechodzi z ośrodku 1 do 2. Z rysunku wynika, że stosunek długości fal λ_1/λ_2 wynosi:

- A) $\frac{\sqrt{2}}{2}$
B) 1
C) $\sqrt{3}$
D) $2\sqrt{2}$

1125.

Punktowe źródło emisji fale o częstotliwości 25 Hz. Prędkość rozchodząca się fali wynosi 250 m/s. Różnica faz drgań dwóch punktów odległych o 15 m i 20 m od źródła wynosi:

- A) 0°
B) 90°
C) 180°
D) 360°

1126.

W jednym ośrodku biegną fale o prędkości V . Po załamaniu biegają w drugim ośrodku z większą prędkością niż w pierwszym. Długość fali i częstotliwość w drugim ośrodku

A) nie zmienia się

B) długość fali i częstotliwość wzrosną

C) długość fali wzrośnie, a częstotliwość nie zmieni się

D) długość fali nie zmieni się, a częstotliwość wzrośnie

1127.

Fala glosowa przechodzi z powietrza ($V_1 = 330 \text{ m/s}$) do wody ($V_2 = 1450 \text{ m/s}$). Stosunek długości fali w wodzie do długości fali w powietrzu wynosi około:

- A) 1
B) 0,22
C) 4,4
D) 0,5
E) zduńna z podanych odpowiedzi

1128. 1983/l.

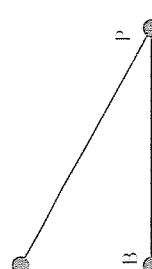
Odległość pomiędzy węzłami X_W oraz odległość pomiędzy węzłami X_{WS} fali stojącej przedstawiają wyrażenie: $(\lambda/4)$ długość fali

- | | | | |
|----|--------------------------------|-----------------------------------|-------------------------|
| A) | $X_W = \frac{n}{2} \lambda$ | $X_{WS} = \frac{2n+1}{4} \lambda$ | $n = 0, 1, 2, 3, \dots$ |
| B) | $X_W = n \cdot \lambda$ | $X_{WS} = n \cdot \lambda$ | $n = 0, 1, 2, 3, \dots$ |
| C) | $X_W = \frac{n}{4} \lambda$ | $X_{WS} = \frac{n}{2} \lambda$ | $n = 1, 2, 3, \dots$ |
| D) | $X_W = \frac{2n+1}{4} \lambda$ | $X_{WS} = \frac{n}{4} \lambda$ | $n = 0, 1, 2, 3, \dots$ |

1129.

Identyczne fale wychodzące z punktów A i B (rysunek) do punktu spotkania P przechodzącego odbicie drogi AP = 7,5 m oraz BP = 5 m. Jeżeli długość fali wynosi $\lambda = 1\text{m}$, to w punkcie P nastąpi:

- A) wzmacnianie
B) wygaszenie
C) wygaszenie lub wzmacnianie w zależności od tego czy fazy obu źródeł są zgodne czy przeciwe
D) wygaszenie jeżeli fala dugań źródła C i D
E) poprawne są odpowiedzi C i D

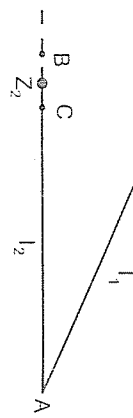


176

1130.

Dwa spójne źródła Z_1 i Z_2 driąjące w tej samej fazie są odległe od punktu A odpowiednio o l_1 i l_2 . W wyniku interferencji w punkcie tym następuje maksymalne wzmacnianie. Aby w punkcie A powstawało całkowite wygaszenie, należy źródło Z_2 przesunąć w kierunku:

- A) punktu C o odległość $\lambda/2$.
- B) punktu B o odległość $\lambda/2$.
- C) punktu C o odległość $\lambda/2$.
- D) poprawne są odpowiedzi A, C

**1131.**

W węźlu gitarowym, którego jeden koniec jest uwięziony a drugi pobudzany do drgań, powstała fala stojąca. Odległość dwóch sąsiednich węzłów wynosi 1,5 m. Aby węzeł przykłady co 1 m należał częstotliwość drgań:

- A) zwiększyć 1,5 razy
- B) zmniejszyć 1,5 razy
- C) zwiększyć 3 razy
- D) zmniejszyć 3 razy

1132. 1999/I.

Na sznurze przymocowanym jednym końcem do ściaru, wytworzono falę stojącą o częstotliwości $v = 10\text{ Hz}$. Odległość między sąsiednimi surzalkami fali stojącej wynosi $l = 20\text{ cm}$. Fala na sznurze rozchodzi się z prędkością:

- A) 0,2 m/s
- B) 0,4 m/s
- C) 2 m/s
- D) 4 m/s

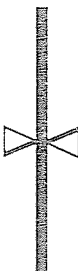
1133. 1993/I.

Odległość między dwoma sąsiednimi surzalkami fali stojącej wynosi 40 cm. Długość tej fali jest równa:

- A) 10 cm
- B) 20 cm
- C) 40 cm
- D) 80 cm
- E) 160 cm

1134.

W przeświecie umocowanym sztywno w śródka (rys.) wytworzono fale o częstotliwości f . Jeżeli długość pręta wynosi d , to prędkość rozchodzenia się fali w tym przeświecie jest równa wyrażeniu:



- A) $2dl/f$
- B) $2df$
- C) df
- D) d/f

1135. 1978/I.

W echo-sondzie korzystniejsze jest zastosowanie fal ultradźwiękowych niż akustycznych, ze względu:

- A) na zachowane czaszy w czasie pomiarów
- B) na łatwość ich wywarzania
- C) na większą prędkość rozchodzenia się fal ultradźwiękowych
- D) na mniejsze efekty ugęcia fal ultradźwiękowych

1136. 1991/I.

Prawidłową fali dźwiękowych jest

- A) największa w powietrzu
- B) większa w powietrzu niż w wodzie
- C) większa w wodzie niż w powietrzu
- D) jednakowa we wszystkich ośrodkach

1137.

Powierzchnia czynna ucha ludzkiego wynosi 5 cm^2 , a natężenie progu słyszalności dla 1000Hz wynosi $I_0 = 10^{-12}\text{ W/m}^2$. Minimalna moc jaką może zarejestrować ludzkie oko wynosi:

- A) $5 \cdot 10^{-12}\text{ W}$
- B) $\frac{1}{5} \cdot 10^{-12}\text{ W}$
- C) $\frac{1}{5} \cdot 10^{-8}\text{ W}$
- D) $5 \cdot 10^{-16}\text{ W}$
- E) $5 \cdot 10^{16}\text{ W}$

1138.

Poziom natężenia dźwięku o częstotliwości 1000Hz wynosi 40dB. Dźwięk o natężeniu 1000 razy większym i takiej samej częstotliwości posiada poziom natężenia:

- A) 40 dB
- B) 70 dB
- C) 30 dB
- D) 70 fonów
- E) poprawne są B i D

1139.

Długość struny gitarowej wynosi 0,5m, a dźwięk wydawany przez nią ma częstotliwość 3000Hz. Prędkość rozchodzenia się dźwięku w strunie wynosi:

- A) 1500 m/s
- B) 6000 m/s
- C) 340 m/s
- D) 3000 m/s
- E) 680 m/s

1140.

Częstotliwość tonu podstawowego wydawanego przez strunę wynosi f_0 . Skracając strunę o $\frac{1}{4}$ długości otrzymamy częstotliwość:

- A) f_0
- B) $\frac{1}{4}f_0$
- C) $\frac{3}{4}f_0$
- D) $\frac{1}{2}f_0$
- E) $\frac{4}{3}f_0$

1141.

Częstotliwość jaką usłyszy obserwator zbliżając się z prędkością $V_0 = 10\text{ m/s}$ do źródła wydającego dźwięk o częstotliwości $f_0 = 1000\text{ Hz}$ wynosi:

- A) 1000 Hz
- B) 970 Hz
- C) 1030 Hz
- D) 330 Hz
- E) 2000 Hz

1142. 1983/I.

Poziom natężenia dwóch źródeł dźwięku różni się o 10 dB, gdy stosunek natężen tych źródeł wynosi:

- A) 2
- B) 10
- C) 10 dB
- D) 100

1143. 1980/I.

Stopień natężenia hałasu jest subiektywnie oceniany przez różnych ludzi. Ludzie zazwyczaj, powszechnie, za szkodliwy dla człowieka uznawany jest hałas o natężeniu:

- A) 20 do 40 dB
- B) 40 do 60 dB
- C) powyżej 85 dB
- D) powyżej 120 dB

1144. 1989/I.

Natężenie dźwięku zmieniło się z 10^{-10} W/m^2 na 10^{-6} W/m^2 . Poziom natężenia dźwięku:

- A) zmalał o 20 decybeli
- B) wzrósł o 20 decybeli
- C) zmalał o 40 decybeli
- D) wzrósł o 40 decybeli

1145. 1980/I.

Poziom natężenia szeregu słyszanego z odległości około 1 m wynosi 10 dB, a poziom natężenia szumu mleka pneumatycznego 110 dB. Stosunek natężen tych dźwięków I_1/I_2 wynosi:

- A) 10^{-11}
- B) 10^{-10}
- C) 10^{-10}
- D) 10^{-11}

Narząd słuchu człowieka jest najbardziej wrażliwy na drgania o częstotliwości:

- A) 500 Hz
- B) 1000 Hz
- C) 3000 Hz
- D) 5000 Hz

1147. 1981/F

Punktowe źródło dźwięku emisję energię równomierne we wszystkich kierunkach. W każdej sekundzie całkowita wycieniona energia wynosi 2 mJ . Natężenie fali akustycznej w W/m^2 w odległości 1 m od źródła ma wartość:

- A) $10^{-3} / (2\pi)$ B) $3 \cdot 10^{-3}$ C) $2 \pi \cdot 10^{-3}$ D) inną niż podano

1148. 1985/L

W pewnej odległości od punktowego źródła dźwięku o mocy $P = 4\pi \cdot 10^{-4} \text{ W}$ i częstotliwości 1000 Hz poziom natężenia dźwięku wynosi 40 dB . Odległość ta jest równa (prog słyszalności $I_0 = 10^{-12} \text{ W/m}^2$):

- A) 10 m B) 100 m C) 4100 m D) 2100 m

1149. 1982/L

W wyniku zjawiska Dopplera słuchacz odbiera dźwięk o innej:

- A) barwie B) glosistości C) wysokości D) natężeniu

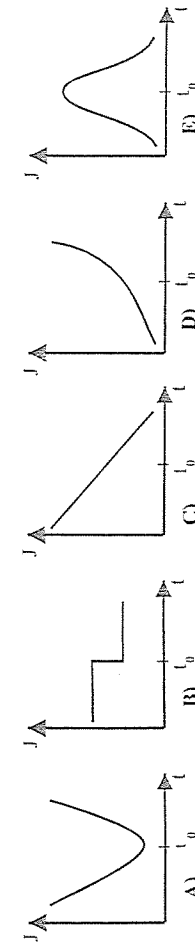
1150. 1982/L

Rowerzysta jedzie z prędkością 3 m/s wzduż prostej między dwoma syrenami wydającymi dźwięk o częstotliwości 500 Hz każda. Prędkość dźwięku w powietrzu wynosi 330 m/s . Rowerzysta słyszy dudnięcie o częstotliwości równej w przybliżeniu:

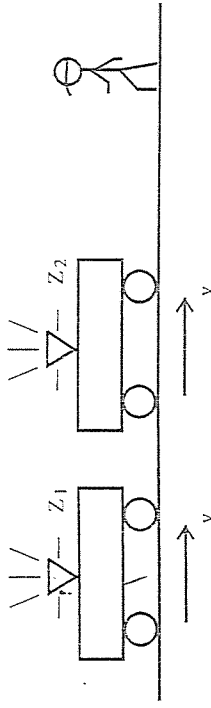
- A) $0,45 \text{ Hz}$ B) $1,1 \text{ Hz}$ C) $4,5 \text{ Hz}$ D) 9 Hz

1151.

Na peronie, przez który przejeżdża pociąg ze stałą prędkością, wydający dźwięk o częstotliwości f_0 , stoi obserwator. Który z wykresów przedstawia zależność natężenia dźwięku od czasu: t_0 — czas w którym lokomotywa miją obserwatora

**1152.** 1979/E

Dwa identyczne źródła dźwięku poruszające się z jednakową prędkością zbliżają się do obserwatora (por.rys.). Źródło Z_1 miją obserwatora w chwili t_1 , a źródło Z_2 w chwili t_2 . Obserwator słyszy dźwięk:



- A) o stałej wysokości, której natężenie wzrasta między chwilami t_1 i t_2 , a maleje po chwili t_2

- B) o wysokości rosnącej do chwili t_1 , a malejącej po chwili t_2

- C) wyższy w czasie od chwili t_1 niż w czasie po chwili t_2 , a w czasie pomiędzy chwilami t_1 i t_2 styszy dudnienia

- D) coraz wyższy i głośniejszy do chwili t_1 oraz niższy i słabszy po chwili t_2

1153. 1999/L

Na poboczu drogi stoi karetka pogotowia ratunkowego z włączonym sygnałem o stałej wysokości dźwięku. Częstotliwość sygnału odbiieranego przez kierowcę samochodu zbliżającego się ze stałą prędkością do karetki:

- A) wzrasta odwrotnie proporcjonalnie do odległości samochodu od karetki
B) wzrasta odwrotnie proporcjonalnie do kwadratu odległości samochodu od karetki
C) jest stała i mniejsza od częstotliwości odbiieranej przez pasażerów karetki
D) jest stała i większa od częstotliwości odbiieranej przez pasażerów karetki

1154.

W medycznej promieniowej istotnym parametrem jest poziom natężenia dźwięku (wyrażany w dB). poziom natężenia dźwięku w hali fabrycznej, gdzie pracują maszyny emitujące dźwięki o natężeniu dźwięku $10^{-2} \frac{\text{W}}{\text{m}^2}$ wynosi:

- A) 100 dB B) 10 dB C) $0,01 \text{ dB}$ D) 1000 dB

1155.

Jakie jest natężenie źródła dźwięku, którego poziom natężenia dźwięku wynosi 80 dB ?
 $A) 10^{-4} \frac{\text{W}}{\text{m}^2}$ B) $10^{-6} \frac{\text{W}}{\text{m}^2}$ C) $10^{-8} \frac{\text{W}}{\text{m}^2}$ D) $80 \frac{\text{W}}{\text{m}^2}$

1156.

Nictoperzowi w orientowaniu się w rozemieszczony przeszkoł na drodze jego lotu i skutecznym ich omijaniu ponosi emisję natężenia dźwięku i odbiereń:

- A) infradźwięków
B) ultradźwięków
C) promieni ultrafioletowych
D) promieni podczerwonych

1157. 1992-94/MIS MaP

Fala dźwiękowa o zadanej częstotliwości ma w wodzie długosc:

- A) większa niż w powietrzu
B) taka sama jak w powietrzu
C) mniejsza niż w powietrzu
D) większa lub mniejsza niż w powietrzu w zależności od kąta padania na powierzchnię wody

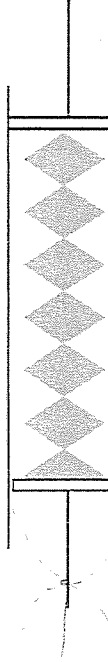
1158. 1982/L

Barwa dźwięku zależy od:

- A) częstotliwości tonu podstawowego
B) ilości tonów harmonicznych i ich natężeń
C) ilości energii przenoszonej w jednostce czasu przez jednostkę powierzchni ustawionej prostopadle do promieniowania fal
D) amplitudy dźwięku źródła

1159. 1978/L

W tunelu Kunda, na odcinku o długości $0,52 \text{ m}$, ograniczonym dwoma "korkami" umieszczonymi na końcach przejść metalowych, zaobserwowano 7 suralek.



Długość fali glosowej roznodzącej się w powietrzu wewnątrz rury wynosi:

- A) 4 cm B) 8 cm C) 16 cm D) 32 cm

1160.

Bezo, wywolane wystrzałem karabinowym, doszło do strzelca po upływie 4 s po wystrzale. Odległość, w jakiej znajduje się przedkoda, jeżeli prędkość dźwięku w powietrzu jest równa 340 m/s, wynosi:

- A) 1340 m B) 680 m C) 340 m D) 170 m

1161.

Różnica faz między dwoma punktami ośrodka odległymi o 0,5 m, w których rozchodzi się fala dźwiękowa o częstotliwości 340 Hz z prędkością 340 m/s wynosi:

- A) 90° B) 0° C) 45° D) 180°

1162.

W punkcie A (rys.) natężenie dźwięku wysyłanego przez punktowe źródło Z, o mocy 4mW wynosi 10^{-9} W/m^2 . Jeżeli w punkcie B natężenie dźwięku jest cztery razy mniejsze niż w punkcie A, to odległość AB jest równa:

- Z
Ⓐ $\dots - - - \bullet$ Ⓑ $\dots - - - - - \bullet$ Ⓒ $\bullet - - - - - \dots$ Ⓓ $\bullet - - - - - \bullet -$

- A) 200 m B) 100 m C) 20 m D) 10 m

1163. 1992-94/MiS Mał

Prędkość dźwięku w powietrzu jest równa $340 \frac{\text{m}}{\text{s}}$. Długość fali dźwiękowej emitowanej przez kamerton o częstotliwości drgań własnych 340 Hz wynosi:

- A) 0,1 m B) 1 m C) 0,34 m D) 340 m

1164. 1994/L

Dźwięk o natężeniu 1000 razy większym od progu słyszalności ma poziom natężenia:

- A) 1000 dB B) 100 dB C) 90 dB D) 30 dB E) 10 dB

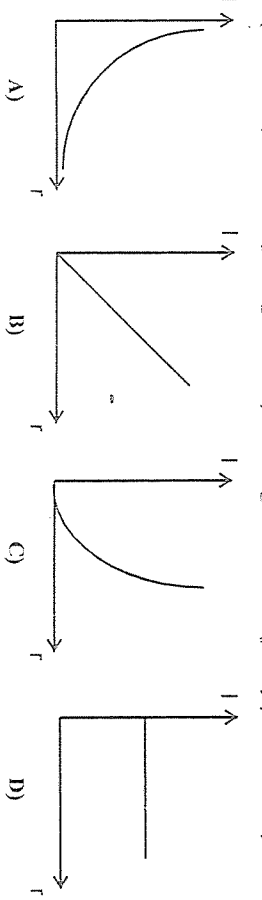
1165.

Dwa dźwięki o częstotliwości 1000 Hz różnią się poziomem natężenia dźwięku o 1 Bel. Stosunek amplitud drgań źródeł dźwięków wynosi:

- A) $\sqrt{10}$ B) 100 C) 1 D) $1/10$

1166.

Natężenie dźwięku I w funkcji odległości r od punktowego źródła o stałej mocy przedstawia wykres:

**1170.**

Częstotliwość dźwięku dwóch kamertonów wynosi 10 Hz. Jeżeli częstotliwość jednego jest równa 1000 Hz, to częstotliwość drugiego kamertonu wynosi:

- A) 1000 Hz B) 990 Hz C) 10 Hz D) 0 Hz

1171.

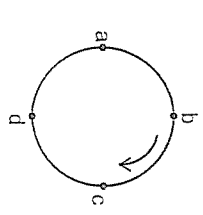
Nieuchodzone źródło dźwięku Z dąży z częstotliwością f . Obserwator O Z O poruszający się z prędkością v równą połowie prędkości dźwięku w powietrzu (rys.) zarejestruje dźwięk o częstotliwości:

- A) f B) $2f$ C) $0,5f$ D) $0,25f$

1172. 1995/L

Źródło dźwięku o stałej częstotliwości porusza się po poziomym okręgu z prędkością o stałe wartości, w zaznaczonym kierunku (rysunek). Obserwator znajdujący się w punkcie O usłyszy dźwięk o najwyższej wysokości, gdy źródło znajdzie się w punkcie:

- A) a B) b C) c D) d

**1990/L**

Przeczytaj uważnie poniższy tekst dotyczące problematyki fizycznej. Niesie on nowe informacje, które są przedmiotem wybranych przez Ciebie studiów. Czy potrafisz zrozumieć ten tekst, wyciągnąć najważniejsze zagadnienia, zapamiętać je, okaza się w kolejnych 10 zadaniach, które sprawdzają Twoje zdolności?

1167. 1994/L

Zjawisko Dopplera dotyczy:

- A) interferencji fal akustycznych
B) dyfrakcji fal akustycznych
C) zmiany prędkości rozchodzących się fal akustycznych przy przejściu z jednego ośrodka do drugiego
D) porownie zanikany częstotliwości źródła dźwięku
E) zmiany natężenia źródła dźwięku

Ultradźwięki są to fale mechaniczne o częstotliwościach wyższych od górnej granicy słyszalności ucha ludzkiego, która wynosi około 20 kHz. W powietrzu rozerdzi się one z prędkością 340 m/s. Wytwarzanie ich oparte jest głównie na zjawisku odwrotnym do piezoelektrycznego. Zjawisko piezoelektryczne polega na powstawaniu ładunków elektrycznych na powierzchniach niektórych kryształów, np. kwarcu, przy ich odkształcaniu. W generatorach ultradźwiękowych doprowadza się do płytki kwarcowej zmienne napięcie, pod wpływem którego płytka okresowo kurczy się i rozszerza wytwarzając fale w otaczającym ją środowisku. Fala ta rozerdzi się w osrodku wywołując w miejscach zagnieszeń wzrost ciśnienia, a w miejscach rozerdzonych jego obniżenie. Przy natężeniu fali $2 \cdot 10^4 \text{ W/m}^2$ wiatrak le wynosi około $\pm 2640 \text{ hPa}$.

Podezas przepływu fali ultradźwiękowej przez osrodek jej natężenie maleje – ulega ona pochłanianiu. Wielkość charakteryzująca to zjawisko jest warstwa pochłaniania polówkowego. Jest to warstwa po przejściu której następuje zmniejszenie natężenia fali padającej do połowy. W tabelce przedstawione są grubości warstwy pochłaniania polówkowego wybranych narzędzi, dla ultradźwiękowych o różnych częstotliwościach.

Częstotliwość			
Narzędzie	0,8MHz	2,4MHz	
wiatroba	5 cm	1,7cm	
nerki	3,7 cm	1,3cm	

Przechodzenie fali ultradźwiękowej przez tkanki można opisać przy pomocy wielkości zwanej oporem akustycznym $Z = \rho V$, gdzie ρ - gęstość tkanki, V - prędkość rozerdzania się w niej fali. Opór akustyczny tkanki miękkich jest zbliżony do oporu akustycznego wody ($1,5 \cdot 10^6 \text{ kg/m}^2\text{s}$). Dla kości jest on około 4 razy większy, zaś dla powietrza dużo mniejszy i wynosi około $4 \cdot 10^2 \text{ kg/m}^2\text{s}$. Jeżeli fala przepłyduje z osrodka o oporze akustycznym Z_1 do osrodka o oporze akustycznym Z_2 , to przy prostopadnym padaniu fali, stosunek energii, która ulegnie odbriciu od granicy pomiędzy ośrodkami do energii fali padającej określa współczynnik odbricia R .

$$R = \frac{[Z_1 - Z_2]/(Z_1 + Z_2)]^2}{[Z_1 - Z_2]/(Z_1 + Z_2)}$$

Dla granicy między powietrzem a wodą R wynosi ponad 0,99. Znaczy to, że prawie cała energia ulega odbriciu i nie wpłaku do drugiego osrodka. Brak odbricia czyl całkowite przejście fali do drugiego osrodka następuje wówczas, gdy $Z_1 = Z_2$. Stosunek natężenia fali przejmującej do drugiego osrodka do natężenia fali padającej określa współczynnik transmisi $D = 1 - R$. Fala przechodząca przez granicę ośrodków bez straty energii gdy $D = 1$. W diagnostyce medycznej ultradźwięki stosuje się do obrazowania narzędziów (ultrasonograficznych) natajnik fali ultradźwiękowej przyłożony jest do skóry pacjenta w okolicy badanego narządu. Aby uniknąć odbricia fali od powierzchni ciała należy skóre pokryte substancją kontaktową (np. wodą lub olejem). Detekcja odbritych fal ultradźwiękowych od kolejnych granic ośrodków w badanym narządzie następuje w tym samym układzie, który fale wyemitował, w okresach pomiędzy wysyłaniem kolejnych sygnałów. Zatem nadajnik spełnia również rolę odbrionika. Jeżeli po wprowadzeniu do organizmu impulsu ultradźwiękowego zostanie zaobserwowane echo, można wnioskować o występowaniu granicy tkanki o różnych oporach akustycznych. Mierząc czas t, który upływał od chwili wysyłania impulsu do chwili nadleścia echo, wyznacza się ze wzoru na drogę w ruchu jednostajnym odległość tej granicy od źródła fali. Daje to możliwość ustalenia rozanceszenia tkanki w badanym narządzie.

Informacje uzyskane w postaci ech ultradźwiękowych można przedstawić w różny sposób. Najprostsza jest prezentacja typu A zwana wizualizacją jednowymiarową, w której wynik pomiaru jest przedstawiony na ekranie oscylografu. Oś czasowa reprezentująca odległość kolejnych warstw granicznych jest pozioma (pokrywa się z podstawką czuszki) natomiast sygnały ech wychylają wizkę elektronów pionowo, reprezentującą granice kolejnych tkanki.

Prezentacja typu B zwana dwuwymiarową umożliwia odwzorowanie badanego narzędzia na ekranie oscyloskopu. Prowadzone są także prace nad holografią ultradźwiękową, która umożliwia uzyskanie przesuniętych obrazów wewnętrz ciał ludzkich.

1173.

W generatorach ultradźwiękowych wykorzystuje się zjawisko:

- A) powstawania ładunków na powierzchni ścisłanych kryształów
- B) powstawania ładunków na powierzchni odkształcanego kryształu kwarcu
- C) kurczenia się i rozszerzania płytka kwarcowej pod wpływem przyłożonego stałego napięcia
- D) kurczenia się i rozszerzania płytka kwarcowej pod wpływem przyłożonego napięcia zmiennego

1174.

Fale ultradźwiękowe nie mogą:

- A) ulegać odbriciu
- B) rozerodzić się w wodzie
- C) ulegać pochłanianiu
- D) rozerodzić się w próżni

1175.

Gdy częstotliwość fali ultradźwiękowej zmienia się z $0,8 \text{ MHz}$ na $2,4 \text{ MHz}$, to grubość warstwy pochłaniania polówkowego w nerkach:

- A) nie ulega zmianie
- B) zmienia się
- C) maleje
- D) rośnie

1176.

Pięd嚮ość rozerdzania się fali ultradźwiękowej w powietrzu o gęstości $1,2 \text{ kg/m}^3$ równa się 340 m/s . Opór akustyczny powietrza w tych warunkach jest równy:

- A) $408 \text{ kg/m}^2\text{s}^4$
- B) $380 \text{ kg/m}^2\text{s}^4$
- C) $340 \text{ kg/m}^2\text{s}^4$
- D) $360 \text{ kg/m}^2\text{s}^4$

1177.

Jeżeli gęstości dwu sąsiadujących tkanki wynoszą ρ_1 i ρ_2 , a prędkości fali ultradźwiękowej w obu ośrodkach są takie same, to współczynnik odbricia R dla granicy tych tkank obliczyć można ze wzoru:

- A) $R = (\rho_1 + \rho_2) / (\rho_1 + \rho_2)$
- B) $R = [(\rho_1 + \rho_2) / (\rho_1 + \rho_2)]^2$
- C) $R = (\rho_1 + \rho_2) / (\rho_1 + \rho_2)^2$
- D) $R = [(\rho_1 + \rho_2)^2 / (\rho_1 + \rho_2)]^2$

1178.

Gdy fala dźwiękowa pada prostopadle na granicę ośrodków powierzeń-woda, wówczas stosunek energii fali odbritej do energii fali padającej jest w przybliżeniu równy:

- A) 1
- B) 10^{-2}
- C) 10^{-4}
- D) 0

1179.

Aby cała energia fali została przekazana przez granicę ośrodków współczynnik odbricia R i transmisji D muszą być:

- A) $R = D = 1$
- B) $R = D = 0,5$
- C) $R = 0, D = 1$
- D) $R = 1, D = 0$

1180.

Warunkiem odbricia ultradźwięków na granicy ośrodków jest:

- C) różna gęstość tych ośrodków
- D) jednakowy opór akustyczny tych ośrodków

1181.

W badaniach ultrasonograficznych skóra pacjenta jest pokrywana warstwą substancji kontaktowej, aby:

- A) zbliżyć poziom bólu
- B) zapewnić dobre przechodzenie fali ze źródła do tkanki
- C) zapewnić całkowite odbicie
- D) umożliwić rozchodzenie się fali po powierzchni badanego narządu

1182.

Echo od granicy tkanek a i b jest wykrywane po 10^{-4} s od chwili wysłania impulsu. Prędkość fali ultradźwiękowej w tkance a wynosi 1540 m/s. Odległość tej granicy od źródła jest równa:

- A) 0,077 m
- B) 0,154 m
- C) 0,308 m
- D) 0,337 m

13. MAGNETYZM**1183.** 1995/l.

Zależność wartości B indukcji pola magnetycznego od odległości r od niekończącego długiego przewodnika prostoliniowego, w którym płynie prąd stały, najlepiej przedstawić wykres:

- A) a
- B) b
- C) c
- D) d
- E) 5

1184. 1993/l.

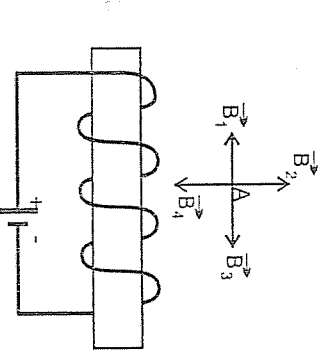
Przez długi prostoliniowy przewodnik płynie prąd w kierunku zaznaczonym na rysunku. W punkcie K, odległym od osi przewodnika o r, kierunek i zwrot indukcji magnetycznej przedstawia wektor:

- A) 1
- B) 2
- C) 3
- D) 4
- E) 5

1185. 1996/l.

Indukcję pola magnetycznego w punkcie A (rysunek) poprawnie przedstawia wektor:

- A) \vec{B}_1
- B) \vec{B}_2
- C) \vec{B}_3
- D) \vec{B}_4

**1186.** 1985/l.

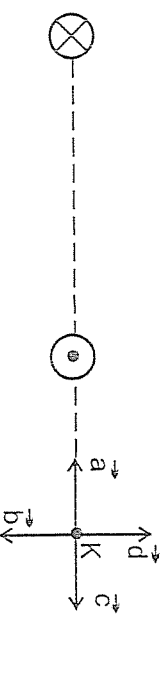
Przez wierzchołki równobocznego trójkąta przechodzą prostoliniowe, niekończące długie przewody z prądem, prostopadłe do tego trójkąta. Indukcja magnetyczna w punkcie K jest skierowana tak, jak na rysunku. Kierunki prądów w przewodach są:

- A) w 1 i 2 zgodne, w 3 przed rysunek
- B) w 1 i 2 zgodne, w 3 za rysunek
- C) w 1 i 2 przeciwe, w 3 za rysunek
- D) w 1 i 2 przeciwe, w 3 przed rysunek

1187. 1998/l.

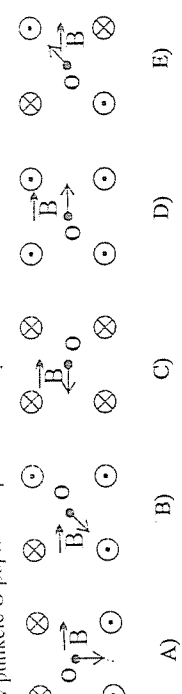
Przez dwa długie, równoległe ustawione przewodniki płyną jednakowe prądy w przeciwnych kierunkach (rys.). Zawód wektora indukcji magnetycznej w punkcie K jest zgodny z wektorem:

- A) \vec{a}
- B) \vec{b}
- C) \vec{c}
- D) \vec{d}

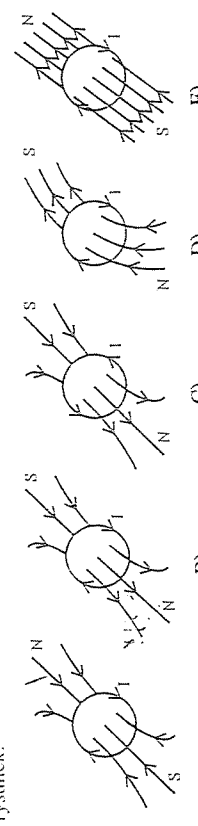


- 1188.** Należenie pola magnetycznego w środku kwadratu o boku a , utworzonego przez cztery nieskończoności długie przewodniki z prądem, wyżone jest wzorem:
- A) $2I \cdot 1/a$ B) $\frac{II \cdot a}{2I}$ C) $\frac{2a}{II \cdot I}$ D) $\frac{4I}{II \cdot I}$

Przez wierzchołki kwadratu, prostopadle do płaszczyzny rysunku, przechodzą przewodniki z prądem. Jeżeli we wszystkich przewodnikach płynie prąd o takim samym natężeniu, to wypadkowe pole magnetyczne w punkcie O poprawnie przedstawia rysunek:



W przewodniku kolowym płynie prąd o natężeniu I . Linie sił pola magnetycznego poprawnie przedstawia rysunek:



W dwóch równoległych, nieskończoności długich przewodnikach, odległych od siebie o r , płyną w przeciwnie strony prądy $I_1 = 1$ oraz $I_2 = 2I$. Indukcja magnetyczna w punkcie A:

- A) ma wartość $\frac{3\mu_0 I}{1r}$, a zwrot za płaszczyznę rysunku
B) ma wartość $\frac{3\mu_0 I}{1r}$, a zwrot przed płaszczyznę rysunku
C) ma wartość $\frac{\mu_0 I}{1r}$, a zwrot za płaszczyznę rysunku
D) ma wartość $\frac{\mu_0 I}{1r}$, a zwrot przed płaszczyznę rysunku

W dwóch równoległych, nieskończoności długich przewodnikach, odległych od siebie o r , płyną w przeciwnie strony prądy $I_1 = 1$ oraz $I_2 = 2I$. Indukcja magnetyczna w punkcie A:

- A) ma wartość $\frac{3\mu_0 I}{1r}$, a zwrot za płaszczyznę rysunku
B) ma wartość $\frac{3\mu_0 I}{1r}$, a zwrot przed płaszczyznę rysunku
C) ma wartość $\frac{\mu_0 I}{1r}$, a zwrot za płaszczyznę rysunku
D) ma wartość $\frac{\mu_0 I}{1r}$, a zwrot przed płaszczyznę rysunku

- 1193.** $1995ML$.

Jeżeli przez B oznaczony indukcję pola magnetycznego, wytworzonego w punkcie A przez przewodnik 1, to indukcja pola magnetycznego pochodząca od dwóch przewodników (rysunk) w tym punkcie wynosi:

- A) B
B) $2B$
C) $3B$
D) $4B$

2 31

- 1194.** $1994IL$.

W długich, cienkich, równoległych przewodnikach ustawionych prostopadle do płaszczyzny kartki płyną prądy o jednakowych natężeniach i zwrocie za kartkę. W punkcie K, leżącym w połowie odległości między przewodnikami, wektor indukcji magnetycznej ma:

- A) zwrot wektora a
B) zwrot wektora b
C) zwrot wektora c
D) zwrot wektora d
E) wartość równą zero

- 1195.**

Przez dwa kolowe przewodniki umieszczone w próżni, leżące w jednej płaszczyźnie, płyną prądy o kierunkach przeciwnych (rys.). Wartość i zwrot wektora indukcji magnetycznej w punkcie O wynosi:

- A) $\mu_0 I/(4r)$ i zwrot za kartkę
B) $\mu_0 I/(4r)$ i zwrot przed kartkę
C) $3\mu_0 I/(4r)$ i zwrot za kartkę
D) $3\mu_0 I/(4r)$ i zwrot przed kartkę

- 1196.**

Przez dwa przewodniki jeden prostoliniowy nieskończoności długi, drugi w kształcie okręgu, leżące w jednej płaszczyźnie, płyną prądy w zaznaczonym kierunku (rys.). Wypadkowy wektor natężenia pola magnetycznego w punkcie O:

A) jest prostopadły do płaszczyzny rysunku i ma zwrot za płaszczyznę rysunku
B) leży w płaszczyźnie rysunku i ma zwrot do przewodnika prostoliniowego
C) jest prostopadły do płaszczyzny rysunku i ma zwrot przed płaszczyzną rysunku
D) jest równy zero

- 1197.**

Przewodnik o długości l zgęsto w kształcie okręgu. Moment magnetyczny otrzymanego obwodu, jeżeli natężenie prądu wynosi 1, jest równy wyrażeniu:

- A) $l^2 / (4\pi)$
B) ll
C) $2rl$
D) $l^2 \pi r^2$

- 1198.** $1995MLS$

Jak będzie działać na igłę magnetyczną NS naciektryzowana paleczką zbliżaną do bieguna N?



- A) nie będzie żadnego wpływu, bo w półceczce nie płynie prąd elektryczny
 B) biegum N będzie odpływać gdy półceczka natadowana jest dodatnio
 C) biegum N będzie przyciągany gdy półceczka natadowana jest ujemnie
 D) biegum N będzie zawsze przyciągany bez względu na znak ładunku na półceczce

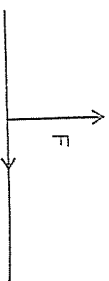
1199. 1998J.

- Przewodnik o długości 30 cm, umieszczony w jednorodnym polu magnetycznym o wartości indukcji $4 \cdot 10^{-5}$ T przepływa prąd o natężeniu 0,5 A. Jeżeli linie pola magnetycznego są prostopadłe do przewodnika, to wartość siły działającej na przewodnik jest równa:

- A) 0 B) $6 \cdot 10^{-6}$ N C) $6 \cdot 10^{-7}$ N D) $6 \cdot 10^{-8}$ N

1200.

- Na przewodnik z prądem unieszczony w polu magnetycznym o indukcijsi B, działa siła elektrodynamiczna F jak na rysunku. Wektor indukcji magnetycznej B ma:



A) kierunek i zwrot wektora F (rys.)

B) kierunek prostopadły do płaszczyzny rysunku i zwrot przed płaszczyzną

C) kierunek prostopadły do płaszczyzny rysunku

D) kierunek tworzący kąt 45° z wektorem F w płaszczyźnie rysunku

1201.

- Dwa długie przewodniki z prądem unieszczono w płaszczyznach do siebie prostopadłych (rys.). Jeżeli uwzględnimy tylko wzajemne oddziaływanie przewodników, będą one:

- A) zbliżać się do siebie

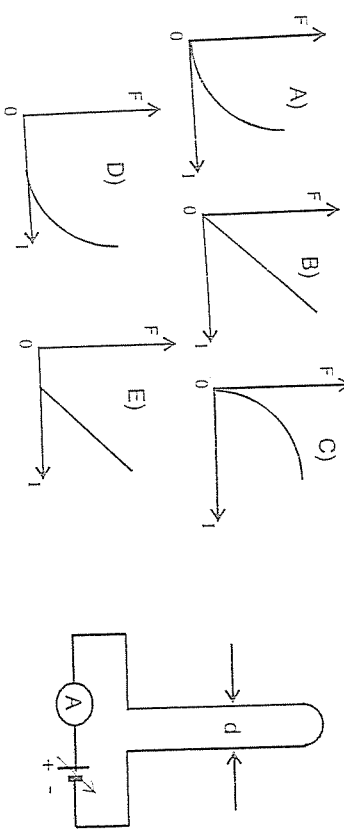
- B) oddalać się od siebie

- C) ustawiały się równolegle do siebie

- D) ustawiały się równolegle zbliżając się do siebie

1202. 1993J.

- Dwa bardzo długie, cienkie i równoległe do siebie przewody (rys.) położono szczergowo. Zależność siły wzajemnego oddziaływania przewodników od natężenia prądu I w nich płynącego przedstawia wykres:

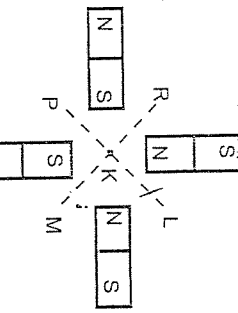


1203. 1996J.

- Odgłosie niektóre dwoma nieskończonymi długimi przewodnikami prostoliniowymi, przez które płyną jedynakowe prądy o natężeniu I, zwiększo czterokrotnie. Wartość siły wzajemnego oddziaływania tych przewodników nie zmienia się, jeżeli przez każdy przewodnik przepuszcza się prąd o natężeniu:

- A) 4 I B) 8 I C) 8 I D) 16 I

- 1204.** W punkcie K w polu czterech jednakowych magnesów sztabkowych prostopadłe do rysunku unieszczony został przewodnik (rys.). Jeżeli prąd płynie przed kątkę, to przewodnik odchylony w kierunku:



A) K.M B) K.L C) K.P D) K.R

1205. Bardzo cienki i wiółki przewodnik zgięty w połowie i przepuszczono przez niego prąd o dużym natężeniu (rys.).



W tej sytuacji części a i b przewodnika

A) pozostały w spoczynku

B) zbliżały się do siebie

C) oddalały się od siebie

D) będą się zbliżać i oddalać od siebie

1206.

- Na szeregu o współczynniku sprężystości k zawieszony jest przewodnik L.M. Jeżeli przez przewodnik płynie prąd elektryczny od punktu M do punktu L, to sprężyna dodatkowo wychyla się, jeżeli wektor indukcji magnetycznej B ma kierunek i zwrot osi:

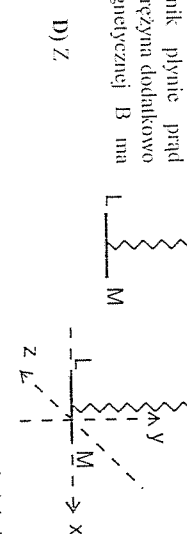
- A) X B) Y C) -Z D) Z

1207. Jeżeli długość przewodnika z poprzedniego zadania jest równa d, natężenie prądu J, wektor indukcji magnetycznej B, to dodatkowe wydłużenie sprężyny wyraża wzór:

- A) Bjld B) Blldk C) Bldk D) k/(Bjld)

1208.

- W polu magnetycznym magnesów sztabkowych umieszczono na osi, w责任心 odległości od magnesów, nieskończonym długim przewodnikiem P prostopadłe do płaszczyzny rysunku.

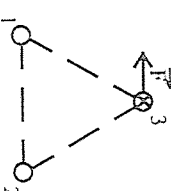


Jeżeli przez przewodnik płynie prąd elektryczny stały, to:

- A) przewodnik nie odchyla się od płaszczyzny rysunku
 B) odchyla się za płaszczyzny rysunku lub przed płaszczyznę w zależności od kierunku płynącego prądu
 C) odchyla się w góre
 D) odchyla się w dół

1209. 1990J.

- Przez wiercholki trójkąta równobocznego (rys.), przechodząc prostopadłe do płaszczyzny rysunku trzy długie przewody z prądem o natężenach $I_1 = I_2 = I_3$. Jeżeli w przewodzie 3 płynie prąd w kierunku zaznaczonym na rysunku (tj. poza płaszczyznę rysunku) i w przewodzie 1 płynie prąd w kierunku zaznaczonym na rysunku, to prądy w nich płyną:



- A) poza płaszczyzną rysunku w obu przewodach
 B) przed płaszczyzną rysunku w obu przewodach
 C) poza płaszczyzną rysunku w przewodzie I, przed płaszczyzną rysunku w przewodzie II
 D) przed płaszczyzną rysunku w przewodzie I, poza płaszczyzną rysunku w przewodzie II

1210. Jednostką wektora indukcji magnetycznej jest:

- A) $\frac{\text{A}}{\text{m}}$ B) Weber C) $\frac{\text{J}}{\text{A} \cdot \text{m}}$ D) $\frac{\text{A} \cdot \text{m}}{\text{N}}$ E) Tesla

1211. Jeżeli wzduż osi solenoidego uniesiony liniowy przewodnik z prądem, to sila ich wzajemnego oddziaływanie jest:

- A) proporcjonalna do ilorazu natężen prądu w solenoide i przewodniku
 B) odwrotnie proporcjonalna do ilorazu natężen prądu w solenoide i przewodniku
 C) zależy od gęstości nawiązań solenooidu, (tzn. liczby zwójów przypadających na jednostkę długości)
 D) równa zero
 E) przewodnik będzie wykonał ruch drgający spowodowany

1212. 1999/L Jednostka indukcji magnetycznej B , wyrażona przez podstawowe jednostki układu międzynarodowego jest:

- A) $\frac{\text{kg} \cdot \text{m}}{\text{A} \cdot \text{s}^2}$ B) $\frac{\text{kg}}{\text{A} \cdot \text{s}^2}$ C) $\frac{\text{kg}}{\text{A} \cdot \text{s}}$ D) $\frac{\text{kg} \cdot \text{m}^2}{\text{A} \cdot \text{s}}$

1213. 1984/L Ramiąca, w której płynie prąd elektryczny znajduje się w polu magnetycznym w płaszczyźnie równoległej do wektora indukcji. Na ramce w tym położeniu działa moment pary sil, którego wartość wynosi:

- A) $B \cdot a \cdot b$
 B) $(B \cdot a \cdot b)/2$
 C) $\sqrt{2} \cdot B \cdot a \cdot b$
 D) 0

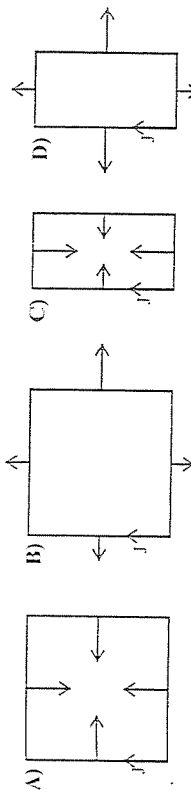
1214. Na przewodnik z prądem umieszczony w polu magnetycznym działa sila (1-natężenie prądu, B -wektor indukcji pola magnetycznego, H -wektor natężenia pola magnetycznego, L -długość przewodnika):

- A) $F = B \cdot \frac{1}{L}$ B) $F = \frac{B}{1 \cdot L}$ C) $F = H \cdot L$ D) $F = B \cdot L$ E) $F = B \cdot L \cdot \frac{H}{H}$

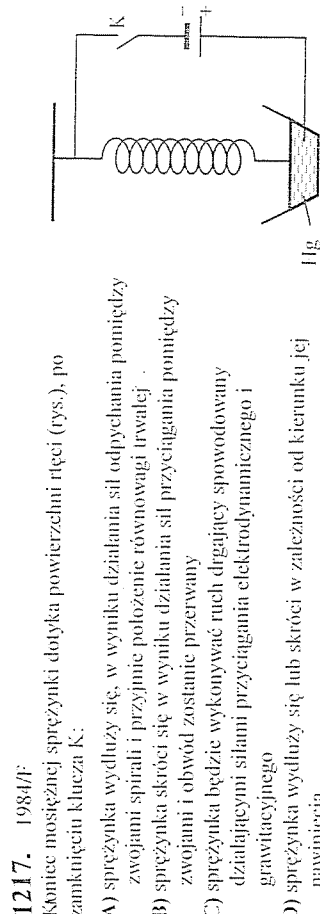
1215. 1983/L W polu magnetycznym o indukcji $1,3 \text{ T}$, prostopadłe do linii sil unieszczony jest przewodnik o długości $0,2 \text{ m}$. Jeżeli natężenie prądu płynącego przez ten przewodnik wynosi 10 A , to działa na niego sila elektrodynamiczna:

- A) $2,6 \text{ N}$ B) $1,3 \text{ N}$ C) $6,5 \text{ N}$ D) 65 N

1216. W rance prostokątnej płynie prąd o stałym natężeniu. Sily oddziaływania pomiędzy ramkami poprzednia przedstawiła rysunek.



By źadlen z rysunków, gdzie boki ramki nie oddziałują na siebie.



1217. 1984/F

Koniec mostkażnej sprężynki dotyka powierzchni ręci (rys.), po zamknięciu klawisza K:

- spążynka wydłuża się, w wyniku działania sil odpychania pomiędzy zwojami spirali i przyjmuje położenie równowagi irwalej
- spążynka skróci się w wyniku działania sil przyciągania pomiędzy zwojami i obwód zostanie przerwany
- spążynka będzie wykonywać ruch drgający spowodowany działającymi silami przyciągania elektrodynamicznego i grawitacyjnego
- spążynka wydłuża się lub skróci w zależności od kierunku jej nawiązań

1218.

Jeżeli sprężynę wykonaną z cienkiego drutu niedziałanego podłączymy do źródła prądu stałego, to:

- długość sprężyny nie ulegnie zmianie
- sprężyna wydłuży się
- długość sprężyny zmniejszy się
- sprzęyna będzie drgać, jeżeli położony ją na poziomym stole
- średnica zwojów sprężyny zmniejszy się

1219. 1996/L

W jednorodnym polu magnetycznym, którego indukcja ma wartość B ponurza się po torze kołownym o promieniu r proton o masie m i ładunku q . Wartość jego prędkości finowej V wyraża się wzorem:

$$\text{A) } V = \frac{qBr}{m} \quad \text{B) } V = \frac{2qB}{m} \quad \text{C) } V = \frac{m}{2qB} \quad \text{D) } V = \frac{m}{qBr}$$

1220. 1996/L

Przy którym z zaznaczonych na rysunku pól magnetycznych B sila działażąca na proton p poruszający się z prędkością v będzie miała największą wartość?

- A) \vec{B}_1
 B) \vec{B}_2
 C) \vec{B}_3
 D) \vec{B}_4

1221. 1986/L Pronieci tonu zakreślonego przez proton w danym polu magnetycznym jest 10 razy większy niż pronieci tonu zakreślonego w tym polu przez elektron. Prędkości V_e - elektronu i V_p - protonu, jeżeli stosunek mas protonu do masy elektronu wynosi 1840, spełniają warunek:

- A) $V_p = V_e$ B) $V_p = 184V_e$ C) $V_e = 184V_p$ D) $V_e = 1840V_p$

1222.

Jeżeli w niejednorodnym polu magnetycznym przedstawionym na rysunku \vec{B} jest wektorem indukcji pola magnetycznego w punkcie A umieszcmy nitemuchowy, dodatni ładunek elektryczny, to:

- A) pozostanie w punkcie A
 B) uzyska prędkość w kierunku punktu C
 C) uzyska prędkość w kierunku punktu D
 D) uzyska prędkość w kierunku punktu E
 E) uzyska prędkość w kierunku punktu F

1223.

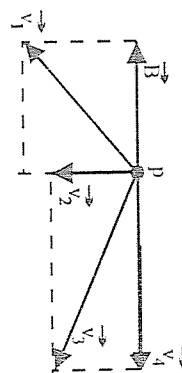
Podczas ruchu elektronu w jednorodnym polu magnetycznym

- A) nie zmienia się jego prędkość
 B) nie zmienia się jego energia kinetyczna
 C) zmiana energii kinetycznej jest wprost proporcjonalna do czasu ruchu w tym polu
 D) energia kinetyczna elektronu wzrasta, jeżeli jego prędkość ma przeciwny zwrot do kierunku linii sił pola magnetycznego
 E) wszystkie stwierdzenia są fałszywe

1224. 1988/L

W punkcie P istnieje pole magnetyczne o indukcji \vec{B} (rysunek). Przy której z zaznaczonych prędkości V pole to działaoby na naładowaną cząstkę maksymalną siłą?

- A) \vec{V}_1
 B) \vec{V}_2
 C) \vec{V}_3
 D) \vec{V}_4

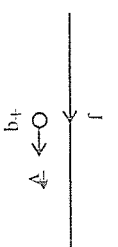


1225.

Cyklotron służy do:

- A) przyspieszania lekkich cząstek w jednorodnym polu magnetycznym
 B) przyspieszania ciężkich jonów w zmiennym polu elektrycznym
 C) przyspieszania ciężkich jonów w niejednorodnym polu magnetycznym
 D) rozszczepienia ciężkich jader
 E) produkcji protonów

1226. 1992/L
 Ladunkowi q nadano prędkość v skierowaną równolegle do przewodnika z prądem. Ladunek ten:



- A) będzie poruszał się po okręgu wokół przewodnika z prądem
 B) zatrzyma się na skutek działania przewodnika z prądem
 C) zostanie odepchnięty przez przewodnik
 D) zostanie przyciagnięty przez przewodnik
 E) będzie poruszał się nadal równolegle do przewodnika

- 1227.** 1988/F
 Przez dwa nieskończoności długie przewody a, b płyną prądy I_a i I_b takie, że elektron biegący wzdłuż prostej k (rys.) równo odległy od nich, porusza się z prędkością V_{const} . Jeżeli natężenie prądu w przewodzie b wzrośnie dwukrotnie, to elektron odchyli się:

- A) ku przewodowi a
 B) ku przewodowi b
 C) przed rysunek
 D) za rysunek

1228. 1989/L
 Jeżeli zasiskom o ładunkach q_a i q_b nadano prędkości równolegle do przewodu z prądem (rys.) i obydwie odchyliły się w stronę przewodu, to cząstki te miały ładunki:

- A) $q_a < 0$, $q_b < 0$
 B) $q_a < 0$, $q_b > 0$
 C) $q_a > 0$, $q_b > 0$
 D) $q_a > 0$, $q_b < 0$

1229. 1982/L

Przepań promieniotwórczy wysyla promieniowanie pionowo ku górze w obszar podziału magnetycznego skierowanego zgodnie z zamieszczonym rysunkiem. Cząstka α w tym polu będzie się odchylać:

- A) do bieguna N
 B) do bieguna S
 C) poza płaszczyznę kartki
 D) od płaszczyzny kartki, do patrzącego

1230. 1983/L

Cząstka o ładunku q wpadła z prędkością V prostopadle do linii sił do jednorodnego pola magnetycznego o indukcji B. Cząstka ta w polu poruszać się będzie po torze o promieniu r z prędkością kątową ω :

- A) $r = \frac{mV}{qB}$, $\omega = \frac{m}{qB}$ C) $r = \frac{mV}{qB}$, $\omega = \frac{qB}{m}$
 B) $r = \frac{qB}{mV}$, $\omega = \frac{qB}{mV}$ D) $r = \frac{m\omega}{qB}$, $\omega = \frac{m}{qB}$

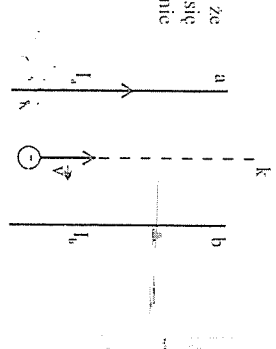
1231. 1986/F
 Proton i elektron poruszają się po okregach o różnych promieniach w jednorodnym polu magnetycznym jeżeli:

- A) wartości ich prędkości są jednakowe
 B) ich energie są jednakowe
 C) wartości ich prędkości są jednakowe
 D) zostały przyspieszone tą samą różnicą potencjalów

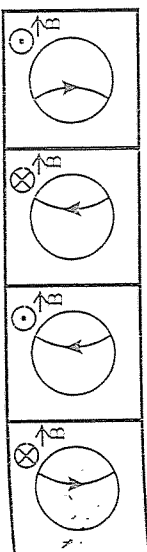
1232. 1999/L

Elektron wlaśnie w obszar jednorodnego pola magnetycznego i porusza się tak, jak to pokazuje rysunek. Wektor indukcji pola magnetycznego \vec{B} :

- A) jest prostopadły do płaszczyzny Oxy i skierowany za płaszczyznę.
 B) jest prostopadły do płaszczyzny Oxy i skierowany przed płaszczyznę.
 C) leży w płaszczyźnie Oxy i jest skierowany w dół.
 D) leży w płaszczyźnie Oxy i jest skierowany w górę.



1233. 1985/L
Rysunki przedstawiają fotografie śladów cząstek naloadowanych biegących w jednorodnym polu magnetycznym o indukcji \vec{B} w komorze Wilsona. Ktory z nich poprawnie przedstawią bieg elektronu?



A) A B) B C) C D) D

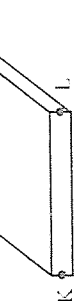
1234. 1988/L
Proton i cząstka α poruszają się po okręgu w jednorodnym polu magnetycznym. Jeżeli pędy tych cząstek są równe, to promień toru protonu r_1 i promień toru cząstki α , spełniają zależność:

$$\text{A)} \quad r_1 = \frac{p_2}{2} \quad \text{B)} \quad r_1 = r_2 \quad \text{C)} \quad r_1 = 2r_2 \quad \text{D)} \quad r_1 = 4r_2$$

1235. 1989/L
Cząstka o ładunku q porusza się po okręgu o promieniu R w jednorodnym polu magnetycznym o indukcji B . Pęd tej cząstki jest równy:
 A) $Bq R$ B) $\frac{BR}{q}$ C) $\frac{R}{Bq}$ D) $\frac{Bq}{R}$

1236. 1985/L
Półprzewodnik typu n przewodzący prąd unieszczeno w polu magnetycznym, jak na rysunku. Małezy oczekiwać, że:

- A) punkt K uzyska wyższy potencjał niż punkt L.
- B) punkt K uzyska niższy potencjał niż punkt L.
- C) między punktami K i L nie wystąpi różnica potencjałów
- D) natężenie prądu wzrosnie



1237. 1990/L
W obszarze jednorodnego pola magnetycznego o indukcji B wpadają trzy protony P_1, P_2, P_3 o pędach równych $V_1 = 2V_2 = 3V_3$ i prostopadłych do linii indukcji magnetycznej. Okresy obiegu T_1, T_2, T_3 protonów po okręgach koli w tym polu spełniają związkę:

- A) $T_1 = T_2 = T_3$
- B) $T_1 < T_2 < T_3$
- C) $T_1 > T_2 > T_3$
- D) $T_1 < T_3 < T_2$

1238. 1990/F
Proton porusza się po okręgu w polu magnetycznym o indukcji B . Jeżeli wartość indukcji wzrośnie dwukrotnie, to prędkość kątowa tej cząstki:

- A) zmniejszy się dwa razy
- B) nie zmieni się
- C) wzrośnie dwa razy
- D) wzrośnie cztery razy

1239. 1990/F
Elektron poruszający się z prędkością v przeplatuje bez zatrzymania kierunku przez obszar jednorodnych, wzajemnie prostopadłych pol: elektrycznego o natężeniu E i magnetycznego o indukcji \vec{B} . Który z wektorów zaznaczonych na rysunku może być wektorem \vec{B} , jeżeli wektor \vec{E} jest skierowany prostopadle przed płaszczyzną rysunku?

- A) \vec{K}
- B) \vec{L}
- C) \vec{M}
- D) \vec{N}

1240.

Wartość wektora \vec{B} z poprzedniego zadania spełnia warunek:

- A) $B = cvE$
- B) $B = vE$
- C) $B = \frac{v}{E}$
- D) $B = \frac{E}{v}$

1241. 1987/L

Czy proton ma w punkcie O pola magnetycznego prędkość V_1 , działa na niego sila F_1 (rysunek). Przy prędkości V_2 o wartości równej V_1 pole magnetyczne działały na proton silą F_2 o wartości:

- A) $F_2 < F_1$
- B) $F_2 = F_1$
- C) $F_2 > F_1$
- D) $F_2 > F_1$



1242. 1995/MiS/MaP
W jednorodnym i stałym polu proton porusza się ruchem jednostajnym prostoliniowym. Można stąd wnioskować, że jest to pole:

- A) magnetyczne i wektor prędkości protonu jest prostopadły do wektora indukcji
- B) magnetyczne i wektor prędkości jest równoległy do wektora indukcji
- C) elektryczne lub elektryczne, ale nie można jednoznacznie określić, które z nich
- D) magnetyczne lub elektryczne, ale nie można jednoznacznie określić, które z nich

1243. 1994/L

W pewnym jednorodnym polu magnetycznym proton zakreśla okrąg w czasie T_1 , cząstka α w czasie T_2 . Okresy obiegu tych cząstek po okręgach spełniają zależność:

- A) $T_1 = 4T_2$
- B) $T_1 = 2T_2$
- C) $T_1 = T_2$
- D) $T_1 = \frac{1}{2}T_2$

1244.

Niemuchoły elektron został umieszczony między bieganymi magnesów (rys). Jednoczesny ruch magnesów w dół spowoduje:

- A) ruch elektronu w kierunku przeciwny do osi X
- B) odchylenie elektronu za płaszczyznę rysunku
- C) odchylenie elektronu przed płaszczyznę rysunku
- D) elektron nadal będzie nieruchomo

1245.

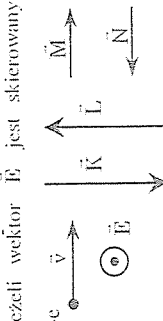
Oddalanie się od siebie magnesów z poprzedniego zadania spowoduje:

- A) ruch elektronu w kierunku przeciwny do osi X
- B) odchylenie elektronu za płaszczyznę rysunku
- C) odchylenie elektronu przed płaszczyznę rysunku
- D) elektron nadal będzie nieruchomo

1246. 1993/L

Cząstka o masie m i ładunku q porusza się prostopadłe do linii pola magnetycznego o indukcji B . Okres obiegu cząstki wynosi wzór:

- A) $T = \frac{m}{qB}$
- B) $T = 2\pi \frac{m}{qB}$
- C) $T = 2\pi \frac{m}{qB}$
- D) $T = \frac{m}{2qB}$



- 1247.** 1992-94/MIS MaP
W tym samym jednorodnym polu magnetycznym, z jednakowymi prędkościami prostopadlymi do kierunku pola, poruszają się elektron i proton. Promień orbity protonu jest w stosunku do orbity elektronu:
- około 2000 razy mniejszy
 - taki sam
 - około 200 razy większy
 - około 2000 razy większy

- 1248.**
Elektron wlaśnie do pola magnetycznego wytworzonego przez dwa nieeskortowane długie równoległe, umocowane sztywno przewodniki z prądem (rys.) Tor dalszego biegu elektronu przedstawia linia:
- c
 - a
 - b
 - d

- C) około 200 razy większy
D) około 2000 razy większy

- 1249.**
Miedzy okładkami naładowanego płaskiego kondensatora umieszczony został proton p. Jeżeli B jest wektorem indukcji magnetycznej to proton:
- pozostanie w spoczynku
 - porusza się ruchem jednostajnie zrównanym po okręgu
 - porusza się ruchem jednostajnym po elipsie
 - porusza się ruchem jednostajnym po okręgu

1250.

1992-94/MIS MaP

- Cząstka o ładunku q, wpadająca z prędkością v równolegle do osi y w pole magnetyczne o natężeniu B_0 równoległy do osi y i w pole elektryczne o natężeniu E, ruchem prostoliniowym jeżeli jej prędkość jest równa:

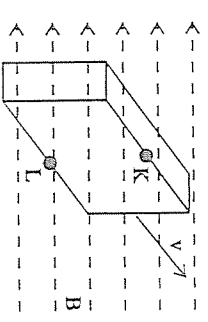
- A) v/B
B) B/E
C) $\frac{E}{qB}$
D) qB/E

- 1251.** 1997/M.
Stwierdzenie: „cząstka naładowana porusza się w polu magnetycznym po linii prostej ruchem jednostajnym” jest:
- prawdziwe dla niektórych przypadków ruchu cząstek naładowanych
 - zawsze nieprawdziwe
 - zawsze prawdziwe
 - prawdziwe tylko dla niektórych cząstek naładowanych

1252.

- Metalowa płytka prostopadłoscenna porusza się w jednorodnym polu magnetycznym o indukcji B z prędkością V prostopadła do linii sił pola magnetycznego (rys.). Wartość natężenia pola elektrycznego E między punktami K i L wynosi:

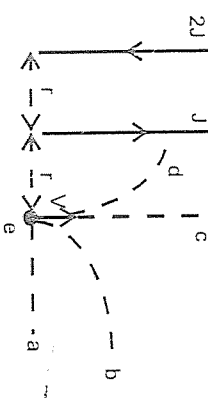
- A) V/B i zwrot od K do L
B) V/B i zwrot od K do L
C) B/V i zwrot od K do L
D) V/B i zwrot od L do K



- 1253.** 1988/F
Powierzchnie bieguna elekromagnesu mają po 10^{-2} m^2 każda, ustawione są na przeciw siebie, równolegle do siebie. Jeżeli jednorodne pole między biegunami ma natężenie 360000 A/m , a przenikalność magnetyczna próżni wynosi $12 \cdot 10^{-7} \text{ N/A}^2$, to strumień indukcji magnetycznej ma tam wartość:
- $3 \cdot 10^{-11} \text{ Wb}$
 - $3 \cdot 1 \cdot 10^{-9} \text{ Wb}$
 - $4,3 \cdot 10^3 \text{ Wb}$
 - 43 Wb

- 1254.**
Przez powierzchnię S ustawioną prostopadle do płaszczyzny kartki przetoka pole magnetyczne o indukcji B, którego linie sił tworzą z tą płaszczyzną kat α (rys.). Strumień indukcji magnetycznej przenikający przez tą powierzchnię wyraża wzór:

- A) $B \cdot S \sin \alpha$
B) $S \cos \alpha$
C) $B \cdot S$
D) $B \cdot S \tan \alpha$



- 1255.**
Miedzy biegunami silnego magnesu zawieszony jest na cienkiej nitce pętelk wykonany z białunu (diagramy). Pętelk ustawi się w pozycji:

- A) równoległą do linii sił pola magnetycznego
B) prostopadłą do linii sił pola magnetycznego
C) pozostanie nieruchomo
D) przełożony do bieguna N

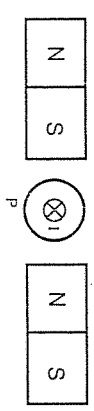
1256. 1995/MIS MaP

- W ciałach diamagnetycznychypadkowy moment magnetyczny każdego atomu jest:
- mniejszy od zera
 - większy od zera
 - mniejszy lub większy od zera
 - równy zero

1257.

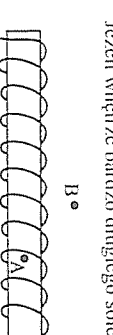
- Miedzy biegunami magnesów (rys.) umieszczono ferromagnetyczny cylinder P, a w nim przewodnik, który płynie prąd elektryczny o natężeniu I za płaszczyznę rysunku. Przewodnik:

- A) odchyli się do góry
B) odchyli się do dołu
C) odchyli się do bieguna N lub S w zależności od kierunku prądu w przewodniku



- D) pozostanie nieruchomy

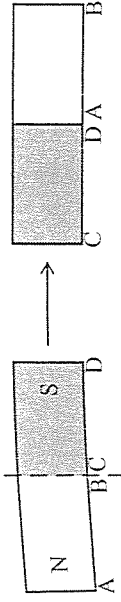
- 1258.**
Jeżeli wewnętrzne bardzo długiego solenoide z prądem wypełnione ferromagnetykiem, to:



B. \bullet

- A) wektor indukcji pola magnetycznego w punkcie A niezaznaczone wzrostnie, a w punkcie B nie ulegnie zmianie
B) wektor indukcji pola magnetycznego w punkcie B wzrostnie, a w punkcie A nie ulegnie zmianie
C) wektor indukcji pola magnetycznego w punkcie A i B wzrostnie
D) wektor indukcji pola magnetycznego w punkcie A i B nie ulegnie zmianie
E) wektor indukcji pola magnetycznego w punkcie A zwiększenie wzrostnie, a w punkcie B nie ulegnie zmianie

1259. Jeżeli magnes sztabkowy przetłumieny w połowie długości i połączony w taki sposób jak pokazano na rysunku, to:



- A) w pobliżu sztabki nie będzie już pola magnetycznego
- B) pole magnetyczne w otoczeniu sztabki nie uległo zmianie
- C) zwrot linii sił pola magnetycznego zmienił się na przeciwny
- D) pole magnetyczne będzie bardzo małe w pobliżu końców sztabki i silne w okolicach jej części środkowej
- E) pole magnetyczne będzie tylko w pobliżu końców sztabki

1260.

- Pole magnetyczne ferromagnetyków i paramagnetyków jest skierowane przeciwnie do pola magnetycznego, w którym się znajdują:
 A) ferromagnetyków i paramagnetyków jest skierowane przeciwnie do pola magnetycznego, w którym się znajdują
 B) diafarmagnetyków jest skierowane przeciwnie do pola magnetycznego, w którym się znajdują
 C) diafarmagnetyków i diuarmagnetyków jest skierowane przeciwnie do pola magnetycznego, w którym się znajdują
 D) para - dia - i ferromagnetyków nie zależy od pola magnetycznego, w jakim się znajdują
 E) ferromagnetyków jest wprost proporcjonalne do pola magnetycznego w jakim się znajdują

1261. 1979/l.

Ferromagnetyk "miękkiego" (np. żelazo) charakteryzuje się:

- A) dużym prądem korejii
- B) dużej pozostałości magnetycznej
- C) dużej przenikalnością magnetyczną
- D) dużej trwałością namagnesowania

1262. 1984/l.

Pole pętli histeresy w układzie współrzędnych B, H jest proporcjonalne do:

- A) wartości energii cieplnej wydzielonej podczas cyklu obejmującego namagnesowanie i przemagnesowanie ciałka
- B) wartości histeresy magnetycznej ciała
- C) wartości korejii magnetycznej ciała
- D) wartości magnetyzmu szczelkowego

1263. 1990/l.

Jeżeli do solenooidu w którym płynie prąd, wsuniemy rdzeń o względnej przenikalności magnetycznej $\mu = 100$, to indukcja magnetyczna wewnątrz solenooidu:

- A) zmniejszy się 100 razy
- B) zmniejszy się 100 razy
- C) wzrośnie 10² razy
- D) wzrośnie 10⁴ razy

1264. 1987/l/F.

Punktem Curie nazywany jest temperatura, w której:

- A) rozpoznaje się reakcja termojodroowa
- B) ferromagnetyk staje się paramagnetykiem
- C) para nasycona staje się para nienasycona
- D) przewodnik staje się nadprzewodnikiem

14. INDUKCJA ELEKTROMAGNETYCZNA

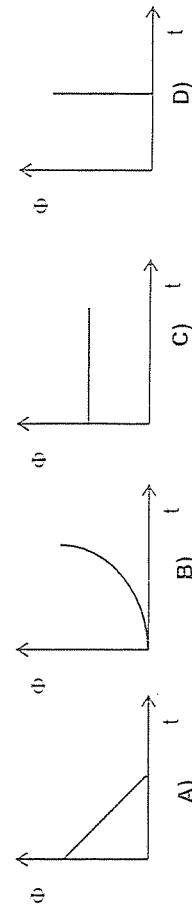
1265.

- Dwa przewodniki kołowe o promieniach r i $2r$ umieszczone są w jednorodnym polu magnetycznym B prostopadlym do płaszczyzny przewodników (rys.). Strumień indukcji magnetycznej Φ przenikający przez powierzchnię między przewodnikami jest równy wyrażeniu:

- A) $4B\pi r^2$
- B) $B\pi r^2$
- C) $3B\pi r^2$
- D) $2B\pi r$

1266.

- W zamkniętym obwodzie, znajdującym się w polu magnetycznym, indukuje się stała siła elektromotoryczna. Zmiana strumienia magnetycznego Φ przenikającego przez ten obwód przedstawia wykres:



1267. 1995/l.

- W pobliżu zwojiny zawieszono pierścień aluminiowy. Można przewidzieć, że w chwili zamykania obwodu pierścieni:
- A) wychylą się przed płaszczyzną rysunku
 - B) wychylą się za płaszczyzną rysunku
 - C) zostanie przyciagnięty przez zwójnicę
 - D) zostanie odepchnięty przez zwójnicę

1268. 1995/MiS MaP

- Pętlę z przewodnika otacza przewodnik prostoliniowy jak na rysunku. W pętli płynie prąd indukowany w kierunku wskazanym strzałką, jeśli w przewodniku prostoliniowym prąd płynie:

- A) w prawo i jest stałym
- B) w prawo i wzrasta
- C) w prawo i maleje
- D) w tej konfiguracji zjawisko indukcji nie występuje

1269. 1992-94/MiS MaP

- Strumień magnetyczny obejmowany przez pętlę z drutu zależy od czasu jak pokazuje wykres. W pętli indukuje się siła elektromotoryczna:



1270. 1994JL

W jednorodnym polu magnetycznym o indukcji magnetycznej B porusza się ze stałą prędkością V przewodnik kołowy o promieniu R , tak, że jego średnica d jest stałe prostopadła do linii sil pola magnetycznego. Siła elektromotoryczna indukowana w tym obwodzie wynosi:

- A) zero B) $2RBV$ C) $2\pi RBV$ D) $4\pi dBV$ E) $\pi R^2 BV$

1271. 1996JL

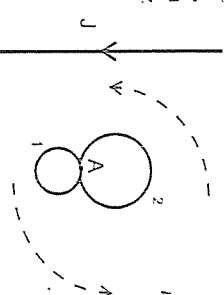
Wykres przedstawia zmianę w czasie strumienia indukcji magnetycznej $\Phi(t)$, objętego przez zwojelec (rysunk). Siła elektromotoryczna indukowana w tym obwodzie przedstawia wykres:



1272.

W polu magnetycznym przewodnika prostoliniowego nieskonczenie dłużego, w którym płynie prąd w kierunku zaznaczonym na rysunku, znajdują się dwa przewodniki kątowe 1 i 2. W czasie obrotu przewodników o kąt 90° wokół osi prostopadłej przechodzącej przez punkt A popłyne prąd indukcyjny:

- A) w przewodniku 2 przeciwne, a w przewodniku 1 zgodnie z ruchem wskaźówek zegara
 B) w przewodniku 1 przeciwne, a w przewodniku 2 zgodnie z ruchem wskaźówek zegara
 C) zgodnie z ruchem wskaźówek zegara w obu przewodnikach
 D) przeciwne do ruchu wskaźówek zegara w obu przewodnikach



1273. 1993JL

Rünka kwadratowa o boku $a = 10$ cm jest umieszczona prostopadle do linii sil jednorodnego pola magnetycznego o indukcji $B_0 = 0,5$ T. Jeśli indukcja pola magnetycznego zmalała jednostkijnie w czasie $t = 0,04$ s do wartości $B_2 = 0,1$ T, to siła elektromotoryczna indukci byla równa:

- A) 0 V B) 0,1 V C) 1 V D) 10 V E) 100 V

1274.

Prostokątna rączka jest unieszczona między dwoma równoległymi nieskonczenie długimi przewodnikami z prądem (rys.). Siła elektromotoryczna indukci w rancie nie powstanie:

- a) w czasie ruchu rączki wzdłuż osi x
 b) w czasie obracania rączki wokół osi x
 c) w czasie ruchu rączki wzdłuż osi y
 d) w czasie obracania rączki wokół osi y
 e) w czasie ruchu jednego z przewodników w stronę rączki

Poprawne są odpowiedzi:

- A) a, c B) a, b, c C) wszystkie D) c

1275. 1994JL

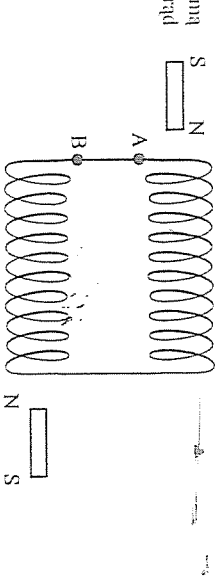
W przewodniku kołowym, poruszającym się względem magnesu sztabkowego, płynie prąd indukcyjny w kierunku zaznaczonym na rysunku, jeżeli przewodnik będzie:

- A) zbliżał i oddalał się od bieguna N
 B) zbliżał i oddalał się od bieguna S
 C) zbliżał się do bieguna N i oddalał od bieguna S
 D) zbliżał się do bieguna S i oddalał od bieguna N
 E) zbliżał się do biegunów N lub S

1276.

W trakcie jednozesnego wstawiania z taką samą prędkością jednakowych magnesów (rys.) prąd indukcyjny:

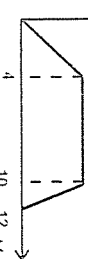
- A) nie popłyne
 B) popłyne prąd stały od punktu A do B
 C) popłyne prąd stały od punktu B do A
 D) popłyne prąd przemiany



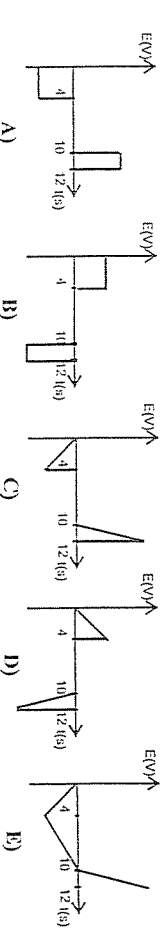
1277. 1993JL

Wewnątrz solenoidu strumień magnetyczny Φ zmienia się w czasie tak, jak pokazuje rysunek. Towarzysty temu powstanie na końcach solenoidu siły elektromotorycznej SIEM indukci.

$$\Phi(t) \text{ (Wb)}$$



Wybierz wykres przedstawiający prawidłową zależność SIEM od czasu t :



1278.

Dwie prostokątne ramki 1 i 2 wsunięto z taką samą prędkością V w jednorodne pole magnetyczne B (rys.). Bez względnie wartości sił elektro-magnetycznych indukowanych w ramkach spełniają relację:

- A) $E_1 = E_2$
- B) $E_1 > E_2$
- C) $E_1 < E_2$
- D) $E_1 \geq E_2$

1279.

Jeżeli indukcja magnetyczna zmienia się według wzoru $B = kt$, k-stała, t-ezas, to sila elektromagnetyczna indukowana w zwoju o powierzchni S ma wartość bezwzględna:

- A) $kS t^2$
- B) kS
- C) $2kS t$
- D) $2S t$

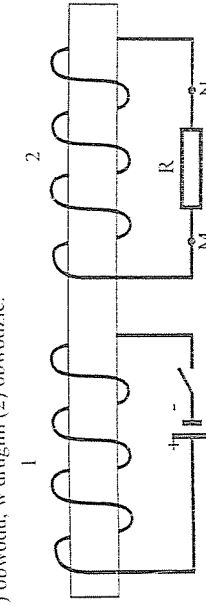
1280.

Prąd indukowany w obwodzie z poprzedniego zadania:

- A) nie płynie
- B) płynie w kierunku zgodnym z J
- C) płynie w kierunku przeciwnym do J
- D) jest prądem przeniennym

1281. 1996L

W chwili zamknięcia pierwszego (1) obwodu, w drugim (2) obwodzie:



- A) nie wzbudzi się prąd
- B) wzbudzi się prąd o zmiennym kierunku
- C) wzbudzi się prąd przepływający przez opornik od punktu M do punktu N
- D) wzbudzi się prąd przepływający przez opornik od punktu M do punktu N

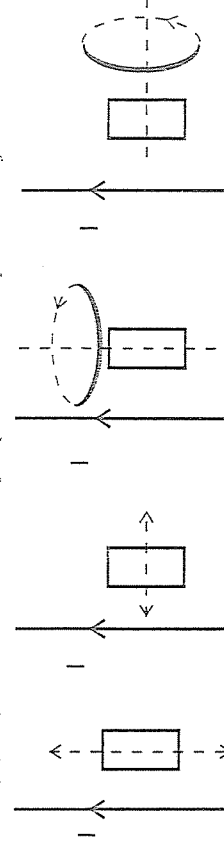
1282.

W jednorodnym polu magnetycznym o indukcji B wiruje przewódniczek o długości l wokół osi O przechodzącej przez środek pętla prostopadłej do rysunku z prędkością linową V . Prawdziwe jest, że:

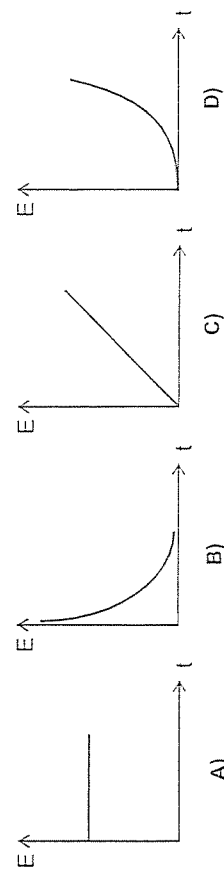
- A) między punktami K i L powstanie siła elektromagnetyczna indukcji, punkt K uzyska potencjał wyższy od punktu L
- B) między punktami K i L powstanie siła elektromagnetyczna indukcji, punkt K uzyska potencjał niższy od punktu L
- C) między punktami K i L powstanie siła elektromagnetyczna indukcji, ale przy obrocie pętla w przeciwnym kierunku
- D) siła elektromagnetyczna między punktami K i L jest równa zero, niezależnie od kierunku obracania pętla

1283.

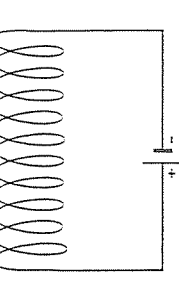
W której sytuacji w obwodzie nie indukuje się siła elektromagnetyczna indukcji:

**1284.**

W przewodniku o długości d przesuwającym prostopadłe do \vec{B} wektoru indukcyjnego magnetycznej B ruchem jednostajnie przyspieszonym, indukuje się SFM, której zależność od czasu przedstawia wykres:

**1285.**

W obwodzie (rys.) sila elektromagnetyczna indukcji w zwojnicy powstanie:

**1286.**

W polu magnetycznym o indukcji B na odizolowanych metalowych szynach o zaniedbywalnym oporze elektrycznym (rys.) porusza się dwa przewodniki równolegle do siebie, z prędkością V każdy. Między punktami K i L:

- A) płynie prąd indukcyjny o stałej wartości od punktu K do L.
- B) płynie prąd indukcyjny o stałej wartości od punktu L do K
- C) płynie prąd indukcyjny o zmiennej wartości i kierunku
- D) prąd indukcyjny nie płynie

1287.

Zwiększenie prędkości pierwszego przewodnika do $2V$ (z poprzedniego zadania) spowoduje:

- A) przepływ prądu indukcyjnego o stałym natężeniu, w kierunku zgodnym z ruchem wskazówek zegara
- B) przepływ prądu o zmiennym kierunku
- C) przepływ prądu indukcyjnego o stałym natężeniu, w kierunku przeciwnym do ruchu wskazówek zegara
- D) prąd indukcyjny nie płynie

1300. 1988r.

Miedziane magnesu wała się aluminiowa płytka (rys.). Rozpatrywany kierunek prądu wirowego w płytce oraz zwrot siły elektrodymaneticznej F , jaką pole magnesu działa na płytce. Przy przejściu płytki między biegumami magnesu:

- A) zmienia się jedynie kierunek prądu
- B) zmienia się jedynie zwrot siły F
- C) zmienia się zarówno kierunek prądu jak i zwrot siły F
- D) nie zmienia się ani kierunek prądu, ani zwrot siły F

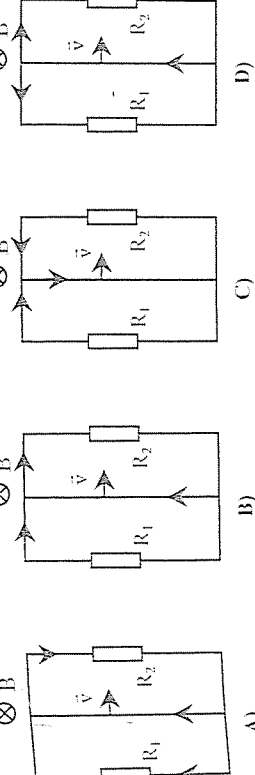
1304.

W jednorodnym polu magnetycznym o indukcji \vec{B} poruszają się z taką samą prędkością przewodniki 1 i 2. Stosunek sił elektromotorycznych indukowanych pomiędzy punktami A i B w przewodniku 1 i 2 jest:

- A) 1
- B) 2
- C) $\sqrt{2}$
- D) $\frac{\sqrt{2}}{2}$
- E) $\frac{1}{2}$

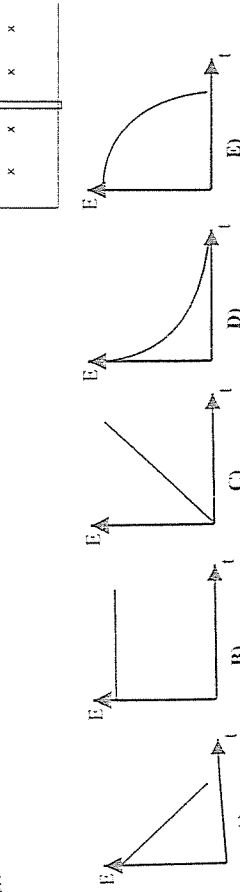
1301. 1985r.

Przedstawiony układ umieszczono w jednorodnym, prostopadlym do rysunku polu magnetycznym. Podczas przesuwania poprzeczki, w waznaczonym kierunku, w obwodzie pojawiły się prądy tak jak na rysunku:

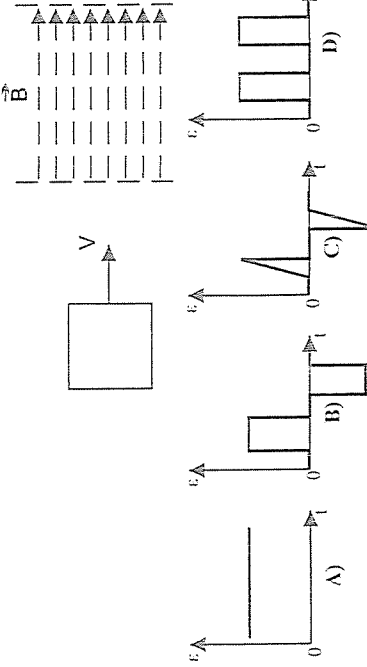


1302. 1992r.

Bok ranki umieszczony w jednorodnym polu magnetycznym przesuwa się w niewielkim jednostajnym ruchem. Zależność czasową siły elektronotorycznej E wzbudzonej w obwodzie przedstawia wykres:



1305. 1985r. W jednorodne, sektorowe pole magnetyczne wpada ramiąka ze stałą prędkością. Zależność siły elektromotorycznej od czasu poprawnie przedstawia wykres:



1306.

W czasie wzrostu natężenia prądu 1 w przewodniku kołowym b, w przewodniku a (zawieszonym na izolacyjnej nitce) prąd indukcyjny:

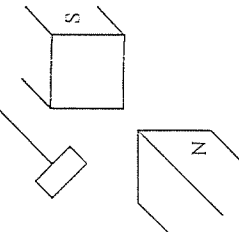
- A) nie popłynie
- B) popłynie w kierunku zgodnym z I_2 i odchodzić się w lewo
- C) popłynie w kierunku zgodnym z I_2 i odchodzić się w prawo
- D) popłynie w kierunku zgodnym z I_1 i odchodzić się w prawo
- E) popłynie w kierunku zgodnym z I_1 i odchodzić się w lewo

1307.

Podezas ruchu płytki niedzielanej przez szczelestę elektromagnesu zasilanego prądem stałym prądy wtórne powstają:

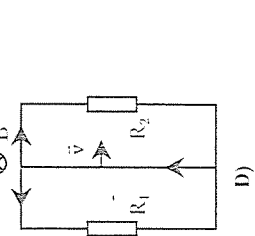
- A) w płaszczyźnie równoległej do linii sil pola magnetycznego, a zwrot pola magnetycznego prądu indukowanego jest zgodny z kierunkiem pola indukującego,
- B) w płaszczyźnie prostopadłej do linii sil pola magnetycznego, a zwrot pola magnetycznego prądu indukowanego jest przeciwnie skierowany do pola indukującego,
- C) w płaszczyźnie równoległej do linii sil pola magnetycznego, a zwrot pola magnetycznego prądu indukowanego nie zależy od kierunku pola indukującego,
- D) w płaszczyźnie prostopadłej do linii sil pola magnetycznego, a zwrot pola magnetycznego prądu indukowanego nie zależy od kierunku pola indukującego,
- E) w płaszczyźnie prostopadłej do linii sil pola magnetycznego, a kierunek pola magnetycznego prądu indukowanego zależy od faz rytmu płytki

1300.



1303. 1986r.

Metalowe półprzezki przesuwano na trzy sposoby po szynach znajdujących się w jednorodnym polu magnetycznym o indukcji B . Pędzłość poprzeczek zaznaczono na rysunkach. Wartości bezwzględne wzbudzonych w obwodzie STEIM indukcji spełniają zależność:

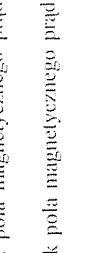
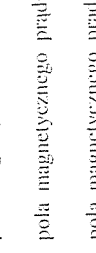
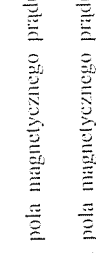
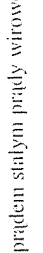


1304.

rys.1

rys.2

rys.3



1308. 1979l.

Nad aluminiową tarczą, która może się obracać wokół pionowej osi, zawieszono magnes sztabkowy (patr. rys.). W której z opisanych sytuacji nie można w tarczy powstać prądy wirowe:

- A) magnes pozostaje nieruchomy, a tarcza wiruje z prędkością kątową ω
- B) magnes i tarcza wirują z jednakowymi prędkościami kątowymi w tą samą stronę
- C) magnes i tarcza wirują z jednakowymi prędkościami kątowymi w przeciwnie stronę
- D) kierunki wirowania magnesu i tarczy są jednakowe, a wartości prędkości kątowych - różne

1309. 1998l.

Metala ranka w kształcie prostokąta przesuwana jest ze stałą prędkością z obszaru I, w którym nie ma pola magnetycznego, poprzez obszar II, gdzie jest pole jednorodne, prostopadłe do płaszczyzny rysunku, do obszaru III, gdzie pola nie ma. Rysunek przedstawia 5 chwilowych położen ranki. Prąd indukcyjny:

- A) płynie przez cały czas nach. ranki
- B) płynie tylko wtedy, gdy ranka jest cała w polu (położenie 3)
- C) płynie tylko w położeniach 2 i 4
- D) płynie tylko w położeniach I i 5

1310.

Na wykresie zależność strumienia indukcji magnetycznej przepływającej przez pewien obwód. W którym momencie, SEM indukowanego w obwodzie miała wartość największą?

- A) w chwili t_1
- B) w chwili t_2
- C) w chwili t_3
- D) w chwili t_4

1311. 1989l.

W obwodzie przedstawionym w jednorodnym polu magnetycznym przesuwano poprzeczkę o oporze R wzdłuż drutów o znikomym oporze. Jeżeli natężenie prądu w obwodzie z nieruchomą poprzeczką jest I_0 , a przy ruchu z K do L i z L do K odpowiednio I_1 i I_2 , to natężenia te spełniają zależność:

- A) $I_1 < I_0 < I_2$
- B) $I_1 > I_0 > I_2$
- C) $I_1 = I_0 = I_2$
- D) $I_1 < I_2 < I_0$

1312. 1995l.

Natężenie prądu płynącego w zwojnicę zwiększyło się o 10 A w ciągu 0,2 s. Jeżeli wzbudzona sila elektromotoryczna indukcji ma wartość 5 V, to induktywność zwojnic jest równa:

- A) 25 mH
- B) 50 mH
- C) 100 mH
- D) 250 mH

1313. 1988l.

Cewki I i II są nawinięte na rdzeni z materiału ferromagnetycznego. Sila elektromotoryczna o stałej wartości w cewce II:

- A) nie powstanie nigdy
- B) powstanie wtedy, gdy w cewce I płynie prąd stały

- C) powstanie wtedy, gdy indukcja B w rdzeniu zmienia się liniowo w funkcji czasu
- D) powstanie wtedy, gdy cewka I jest zasilana napięciem pilotażowym

1314. 1992l.

Wykres przedstawia zmianę strumienia magnetycznego wewnątrz przewodnika kątowego. Siła elektromotoryczna indukcji wzbudzonej w przewodniku ma wartość:

- A) $E = -5 \text{ V}$
- B) $E = -2 \text{ V}$
- C) $E = 2 \text{ V}$
- D) $E = 5 \text{ V}$

1315. 1994l.

Pętle z drutu o oporze R i promieniu r (rys.) usunięto z jednorodnego pola magnetycznego o indukcji B . Jaki ładunek przepływał przez przekrój poprzeczny drutu?

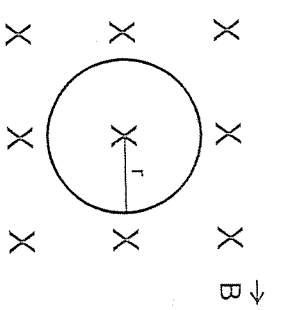
$$\text{A)} \Delta q = \frac{\Pi r^2 B}{R} \quad \text{B)} \Delta q = \frac{2\Pi r B}{R}$$

- C) nie można wyznaczyć ładunku, bo nie jest znany czas usuwania pęli z pola magnetycznego
- D) przez przekrój poprzeczkę drutu nie przepływał ładunek, bo pole magnetyczne było jednorodne

1316. 1994l.

Wykres przedstawia zależność prądu I płynącego w obwodzie o induktywności $L = 10 \text{ mH}$ od czasu t . Wartość wzbudzonej w obwodzie siły elektromotorycznej samoodukcji jest równa:

- A) 0,05 V
- B) 0,5 V
- C) 5 V
- D) 1/5 V
- E) 1/50 V

**1317.**

Przez zwojnicę o induktywności L przepływa przed zmieniający się w czasie zgodnie z równaniem:

$$J(t) = J_0 - kt^2$$

gdzie: $k = \text{const}$,

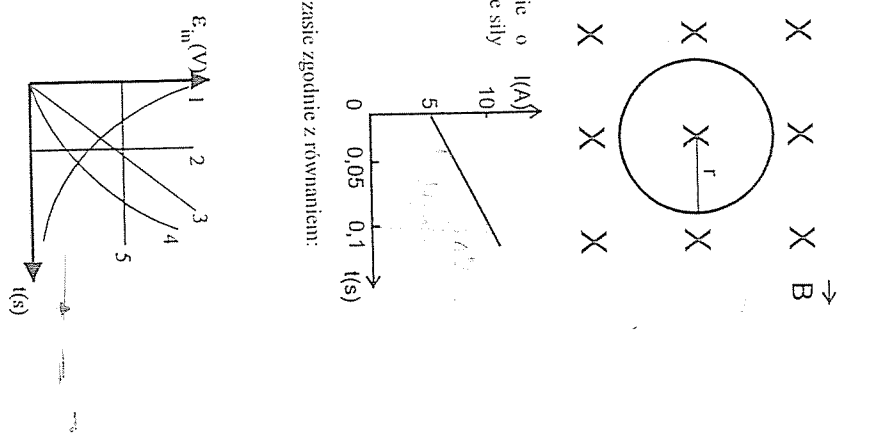
J_0 – wartość natężenia prądu w chwili t_0
Zależność od czasu, siły elektromotorycznej samoodukcji powstającej w zwojnicy, przedstawia:

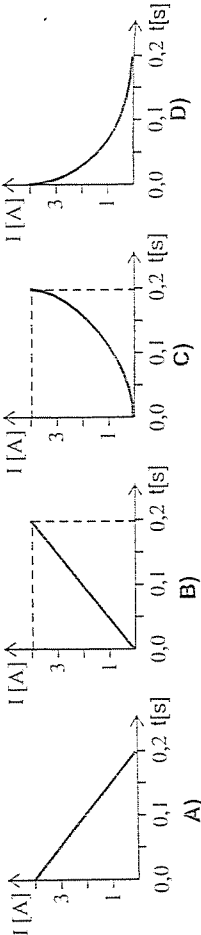
- A) hiperbolą 1

- B) prosta 2
- C) prosta 3
- D) parabolą 4
- E) prosta 5

1318. 1999l.

W zwojnicę o induktywności $L = 0,6 \text{ H}$ powstaje sila elektromotoryczna samoodukcji $E = 1 \text{ V}$. Zależność natężenia prądu I płynącego przez tą zwojnicę od czasu t przedstawia wykres:





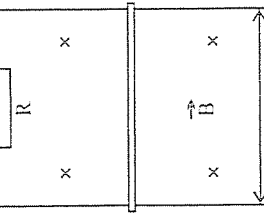
- 1320.** 1988/L
W cewce o induktyjności 18 mH prąd o natężeniu 15 A zanika po upływie $0,01\text{ s}$. SEM samoodukcji powstającej w cewce jest równa:
- A) $0,0013\text{ V}$
B) $2,7\text{ V}$
C) $13,5\text{ V}$
D) 27 V

- 1321.** 1992-94/MIS MaP
Wykonana z drutu kwadratowej rama o powierzchni $0,1\text{ m}^2$ wykonuje 1000 obrótów na sekundę wokół jednego z boków prostopadłego do jednorodnego pola magnetycznego o indukcji 10^{-2} T . Maksymalna wyindukowana siła elektromotoryczna wyniesie około:
- A) 6 V
B) $0,63\text{ V}$
C) $6,3\text{ V}$
D) $0,063\text{ V}$

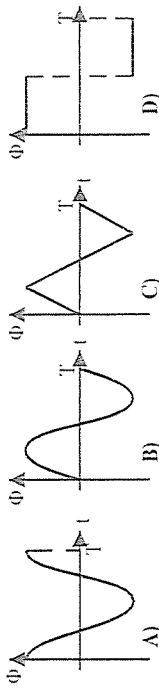
- 1322.** 1992-94/MIS MaP
Kwadratowa rama z drutu obraca się ze stałą prędkością kątową w jednorodnym polu magnetycznym. Dwukrotnie zwiększenie boku ramki zmienia natężenie indukowanego w niej prądu na:
- A) 4 razy mniejsze
B) 2 razy mniejsze
C) 2 razy większe
D) 4 razy większe

- 1323.** 1986/F
Trzy identyczne ramki wirują w jednorodnym polu magnetycznym (rys.) z tą samą prędkością kątową. Siły elektromotoryczne indukcji wzbudzone w ramkach są:
- A) $e_3 > e_2 > e_1$
B) $e_1 > e_3 > e_2$
C) $e_1 > e_2 > e_3$
D) $e_2 > e_1 > e_3$

- 1324.** 1978/L
Na wykresie przedstawiono siłę elektromotoryczną, powstającą w plastikim solenoidzie, obracającym się w polu magnetycznym, jako funkcję czasu. Jeżeli częstotliwość, z jaką obraca się solenoid wzrosnie dwukrotnie, to wykres tej funkcji będzie taki, jak na rysunku:



- 1325.**
Rama obraca się ze stałą prędkością kątową w jednorodnym polu magnetycznym o indukcji \vec{B} (rys.). W chwili poczatkowej powierzchnia ramki jest równoległa do linii sil pola magnetycznego. Który wykres poprawnie przedstawia zależność od czasu strumienia indukcyjnej Φ przechodzącego przez ramkę?
- (T — okres obrotu ramki)



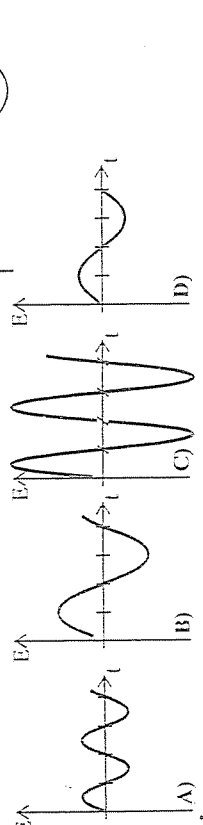
- 1326.**
Który wykres poprawnie przedstawia zależność od czasu strumienia indukowanego w ramce z poprzedniego zadania?
- SEM
SEM
SEM
SEM



- 1327.**
Dwie pionowe, bardzo długie szyny znajdują się w odległości l , spięte na końcu oporem R , umieszczone w jednorodnym polu magnetycznym o indukcji B , prostopadłym do płaszczyzny szyn. Po szynach zsuwa się bez tarcia pręt o masie m . Pomiędzy opór elektryczny szyn, można powiedzieć, że:

- A) przez cały czas pręt porusza się ruchem jednostajnie przyspieszonym z przyspieszeniem $a = g$
B) przez cały czas pręt porusza się ruchem jednostajnie przyspieszonym z przyspieszeniem $a < g$
C) poczatkowo pręt porusza się ruchem jednostajnie przyspieszonym, a później ruchem jednostajnym
D) poczatkowo pręt porusza się ruchem jednostajnie przyspieszonym, a później ruchem jednostajnym

- 1328.**
Aluminiowa tarcza o promieniu R obraca się z częstotliwością v wokół osi pionowej. Składająca pionowa indukcji pola magnetycznego Z jest B . Różnica potencjałów między środkiem i obrzeżem tarczy może być wyznaczona ze wzoru:
- A) $\frac{2\pi RBv}{v}$
B) $2\pi RBv$
C) $\pi R^2 Bv$
D) $\frac{\pi R^2 B}{v}$



1329.

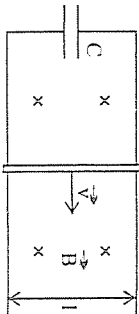
Cienki miedziany drut o długości 25 m nawinięto na cylindryczny rdzeń żelazny o długości 10 cm. Względna przenikalność magnetyczna żelaza jest równa 400, a przenikalność magnetyczna próżni $\mu_0 = 4\pi \cdot 10^{-7} \frac{\text{N}}{\text{A}^2}$. Indukcyjność tego solenoidu wynosi:

- A) 0,25 H B) 2,5 H C) 0,025 H D) 25 H

1330.

Dwie równoległe, oddalone od siebie o 1 szyny, położone są na końcach kondensatorem o pojemności C. Po szynach porusza się ze stałą prędkością v aluminiowy przęt. Układ znajduje się w jednorodnym polu magnetycznym o indukcji B prostopadlym do przęta i płaszczyzny ruchu (rysunek). Ladtunek Δq zgromadzony na kondensatorze jest:

- A) $\Delta q=0$
B) $\Delta q=BCv$
C) $\Delta q=B^2l^2Cv$
D) nemożliwy do wyznaczenia, bo nie znany czasu ruchu przęta

**15. PRĄD PRZEMIENNY I DRGANIA ELEKTROMAGNETYCZNE****1331.**

Wartość chwilowa natężenia prądu sinusoidalnego po czasie $T/12$ (rys.) wynosi

- A) 1A B) 0,5A C) $\frac{\sqrt{3}}{2}$ D) 0A

1332.

Jeżeli przez opornik o oporze 30Ω płynie prąd sinusoidalnie zmieniający się średnia moc wydzielona w tym oporze jest równa 60 W , to maksymalna wartość natężenia prądu jest równa:

- A) $\sqrt{2}\text{ A}$ B) $2\sqrt{2}\text{ A}$ C) 2 A D) 4 A

1333. 1995/II.

Przez opornik o oporze 30Ω płynie prąd sinusoidalnie zmieniający się średnia moc wydzielona w tym oporze jest równa 60 W , to maksymalna wartość natężenia prądu jest równa:

- A) $5 \cdot 10^2\text{ J}$ B) 10^3 J C) $3 \cdot 10^3\text{ J}$ D) $3 \cdot 10^4\text{ J}$
E) $4 \cdot 10^4\text{ J}$

1334. 1994/I.

Jeżeli przez przepięk o oporze $R = 50\Omega$ w ciągu 5 minut popłynął sinusoidalnie zmieniający prąd o wartości maksymalnej 2 A , to ilość wyizdolonego ciepła jest równa:

- A) $5 \cdot 10^2\text{ J}$ B) 10^3 J C) $3 \cdot 10^3\text{ J}$ D) $3 \cdot 10^4\text{ J}$
E) $4 \cdot 10^4\text{ J}$

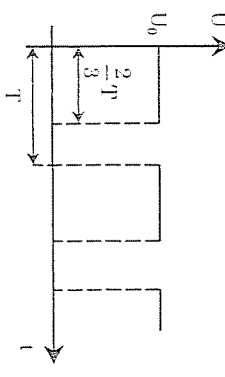
1335. 1996/I.

W obwodzie przedstawionym na rysunku płynie prąd przeniemy, który w czasie 20 s wykonuje pracę 1000 J . Amperomierz (jego opór wewnętrzny pomijany) wskazuje skutecznie natężenie prądu równe 1 A . Maksymalne napięcie źródła wynosi:

- A) 50 V B) $50\sqrt{2}$ V C) 100 V D) $100\sqrt{2}$ V

1336. Wykres obok przedstawia zależność napięcia zmiennego od czasu. Wartość skuteczna napięcia wynosi:

- A) $\frac{U_0}{\sqrt{2}}$ B) $U_0\sqrt{\frac{3}{2}}$ C) U_0 D) $U_0\sqrt{\frac{2}{3}}$ E) $\frac{U_0}{2}$

**1337.** 1989/II.

W domowym gniazdku sieciowym napięcie jest równe 220 V. Jest to wartość:

- A) skuteczna B) maksymalna C) chwilowa D) średnia

1338. 1988/II

Chwilowa wartość napięcia prądu sinusoidalnego dla fazy 30 stopni równa się 120 V. Amplituda i skuteczna wartość SiEM sią odpowiednio:

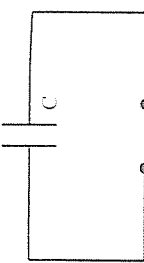
- A) 60 V; 43 V B) 150 V; 107 V C) 240 V; 170 V D) 240 V; 336 V

1339. 1979/II.

Jakiego natężenia prądu można się spodziewać, jeśli imbryk elektryczny o mocy znamionowej 1100 W/220 V zostanie włączony do sieci o napięciu 110 V?

- A) około 10 A B) około 5 A C) około 2,5 A D) około 1,25 A

- 1340.** Kondensator C podłączono do napięcia sieciowego 220V. Maksymalne napięcie do jakiego nadaje się okładki kondensatora wynosi:
- 220V
 - 157V
 - 0V
 - 110V
 - 308V



- A) moc prądu w uzwojeniu wtórnym będzie dwukrotnie mniejsza, niż w uzwojeniu pierwotnym.
B) moc prądu w uzwojeniu wtórnym będzie czterokrotnie mniejsza, niż w uzwojeniu pierwotnym.
C) moc prądu w uzwojeniu wtórnym będzie taka sama, jak w uzwojeniu pierwotnym.
D) napięcie w uzwojeniu wtórnym będzie czterokrotnie mniejsze niż w uzwojeniu pierwotnym.
E) moc prądu w uzwojeniu wtórnym będzie równa zero.

1341.

- W obwodzie przedstawionym na rysunku napięcie maksymalne wynosi 310 V, a maksymalna wartość natężenia prądu 2 A. Średnia moc wydzielana w odbiorniku oznomym R ma wartość:
- 155 W
 - 310 W
 - $310\sqrt{2}$ W
 - 620 W
 - $310\sin \omega t$

1342. 1988/P

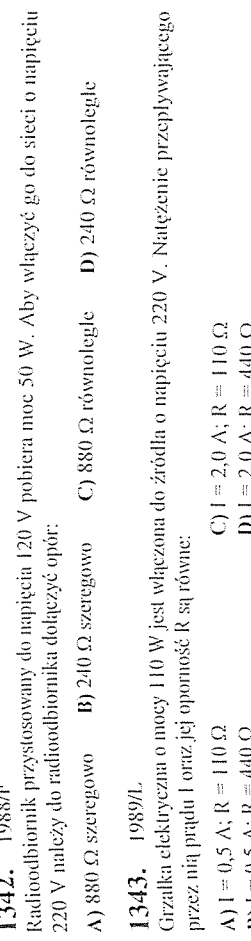
- Radioodbiornik przytłoszowany do napięcia 120 V pobiera moc 50 W. Aby włączyć go do sieci o napięciu 220 V należy do radioodbiornika dodać opór:
- 880 Ω szeregowo
 - 240 Ω szeregowo
 - 880 Ω równolegle
 - 240 Ω równolegle

1343. 1989/L

- Giralka elektryczna o mocy 110 W jest właczona do źródła o napięciu 220 V. Natężenie przepływającego przez nią prądu I oraz jej oporność R są równe:
- $I = 0,5$ A; $R = 110 \Omega$
 - $I = 2,0$ A; $R = 110 \Omega$
 - $I = 2,0$ A; $R = 440 \Omega$
 - $I = 0,5$ A; $R = 440 \Omega$

1344. 1989/P

- Prąd znicznego nie można stosować do zasilania:
A) światłówek
B) transformatorów
C) elektromagnesów
D) wanien elektrolitycznych

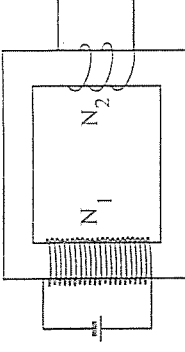


- 1345.** 1989/L
- Liczba elektronów jaka przepływa przez przekrój poprzeczny przewodnika w ciągu 1 μs dla prądu opisanego na rysunku, wynosi:
- $6,25 \cdot 10^{12}$
 - $1,6 \cdot 10^{19}$
 - $6,25 \cdot 10^{12}$
 - $1,6 \cdot 10^{-19}$
 - $1,6 \cdot 10^{12}$

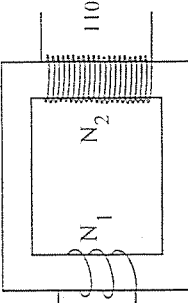
- Napięcie na generatorze wynosi 100 kV. Strata mocy przy przesyłaniu prądu z generatorka 100 MW przez linię o oporze 1Ω wynosi:
- 1%
 - 10%
 - 50%
 - 5%

- 1346.** 1989/L
- Do zasilania lampy rentgenowskiej wynagruje jest napięcie 40000 V. Jeżeli lampa ta zasilana jest z sieci prądu znicznego 220 V, to stosunek liczby zwojów w uzwojeniu wtórnym do liczby zwojów w uzwojeniu pierwotnym użytego transformatora wynosi:
- 0,05
 - 0,05
 - 20
 - 200

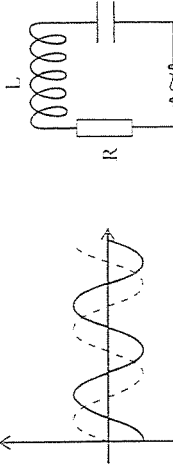
- 1347.** 1989/L
- Do zasilania lampy rentgenowskiej wynagruje jest napięcie 40000 V. Jeżeli lampa ta zasilana jest z sieci prądu znicznego 220 V, to stosunek liczby zwojów w uzwojeniu wtórnym do liczby zwojów uzupełniających w uzwojeniu pierwotnym wynosi:
- 0°
 - 90°
 - 60°
 - 45°



- 1349.** Przekładnia transformatora wynosi $n=10$. Jeżeli uzwojenie pierwotne będące pod napięciem 12V pobiera moc 6 W, to napięcie i natężenie prądu w uzwojeniu wtórnym wynoszą:
- 0,12kV
 - 1,2V
 - 120V
 - 120V
 - 0,05A
 - 0,05A
 - 0,5A
 - 5A

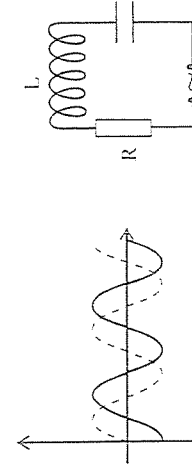


- 1350.** Na uzwojeniu wtórnym transformatora podłączonego do napięcia sieciowego (rys.) uzyskano napięcie 1100V. Przekładnia transformatora jest równa:
- 1
 - 0,5
 - 5
 - 1/5
 - 5A
 - 10A
 - 50A
 - 100A

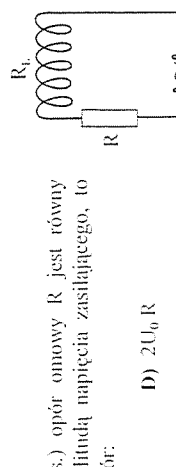


- 1351.** Jeżeli uzwojenie wtórnego transformatora (z poprzedniego zadania) obejaznyjny opornikiem o wartości 100Ω przy 100% sprawności transformatora to, prąd płynący w uzwojeniu pierwotnym ma wartość:
- 1
 - 5
 - 10
 - 50
 - 100
 - 500
 - 1000
 - 5000

- 1352.** Jeżeli na wykresie linia pizerywana jest przedstawiona zależność natężenia prądu płynącego w obwodzie od czasu (rys.), to linia ciągła przedstawia:
- napięcie na oporniku R
 - napięcie na zwojnicie L
 - napięcie zasilające obwód
 - napięcie na kondensatorze C



- 1353.** W obwodzie zasilanym pradem sieciowym (rys.) opór omówny R jest tówny oporowi indukcyjnemu RL. Jeżeli U0 jest amplitudą napięcia zasilającego, to natężenie skutecznego prądu w obwodzie wyraża wzór:
- $\frac{U_0}{R\sqrt{2}}$
 - $U_0 R \sqrt{2}$
 - $\frac{U_0}{2R} \varphi$
 - $2U_0 R$



- 1354.** Kąt przesunięcia fazowego między napięciem zasilającym obwód, z poprzedniego zadania, a natężeniem prądu wynosi:
- 0°
 - 90°
 - 60°
 - 45°

- Liczba zwójów w uzwojeniu pierwotnym transformatora jest $N_1=4 \cdot N_2$, gdzie N_2 oznacza liczbę zwójów uzupełniających w uzwojeniu wtórnym. W układzie przedstawionym na rysunku:

1355.

Jeżeli do wkręta zwojnicy z zadania 1349 wsuniemy rdzeń:

- A) natężenie prądu wzrosnie
B) natężenie na zwojnicę wzrosnie

C) napięcie n

D) napięcie z

1356.

Przy zwojnicę o indukcyjności L , przepływa prąd, który wyrażenie $I = I_0 \sin \omega t$. Sila elektromotoryczna indukcyjna własna:

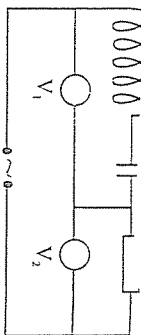
- A) $-I_0 L \cos \omega t$
B) $-I_0 L \sin \omega t$
C) $-I_0 L \sin \omega t$

A) $-I_0 L \cos \omega t$
B) $-I_0 L \sin \omega t$
C) $-I_0 L \sin \omega t$

1357.

Obwód RLC włączony jest do napięcia sieciowego (rys.). Jeżeli voltmierz V_1 wskazuje napięcie równe zero, to voltmierz V_2 wskazuje:

- A) 0 V
B) 220 V
C) 308 V
D) 110 V



1358. Kąt przesunięcia fazowego między napięciem zasilającym obwód RLC, (z poprzedniego zadania), a natężeniem prądu płynącego w tym obwodzie wynosi:

- A) 0°
B) 90°
C) 45°
D) 180°

1359.

Obwód RC (rys.) podłączony jest do źródła prądu przeniennego $U = U_0 \sin \omega t$. Jeżeli $R = R_C$, to natężenie chwilowe prądu płynącego w obwodzie jest równe wyrażeniu:

- A) $I = I_0 \sin \omega t$
B) $I = I_0 \sin(\omega t - 45^\circ)$
C) $I = I_0 \sin(\omega t + 45^\circ)$
D) $I = I_0 \cos \omega t$

1360.

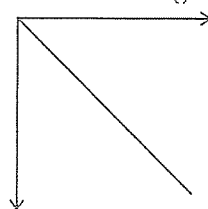
Jeżeli U_0 jest amplitudą napięcia zasilającego obwód (z poprzedniego zadania), to natężenia natężenia prądu I_0 wynosi:

- A) $\frac{U_0}{R}$
B) $U_0 R$
C) $\frac{U_0}{2R}$
D) $\frac{U_0}{R\sqrt{2}}$

1361.

Wykres przedstawia zależność oporu pojemnościowego kondensatora R_C od:

- A) częstotliwości prądu przy stałej pojemności kondensatora
B) odległości między okładkami kondensatora
C) czasu zaniku prądu przy stałej pojemności kondensatora
D) poprawne są odpowiedzi B i C

**1362.**

Jeżeli w obwodzie RL (oprócz pojedynczo włączonych) opór omowy jest równy oporowi indukcyjnemu zwijanemu, to średnia moc jest równa (I_0 - amplituda natężenia prądu i napięcia)

- A) $\frac{I_0 U_0 \sqrt{2}}{4}$
B) $\frac{I_0 U_0}{2}$
C) $I_0 U_0$
D) $2I_0 U_0$

1363.

Cewka włączona do obwodu prądu stałego stawia opór $3,14\Omega$. Włączona do obwodu prądu przeniennego o częstotliwości 50 Hz, posiada opór indukcyjny równy oporowi omowemu, jeżeli współczynnik samoodindukcji zwojnicy jest równy:

- A) 0,1 mH
B) 0,01 H
C) 100 mH
D) 10 H

1364.

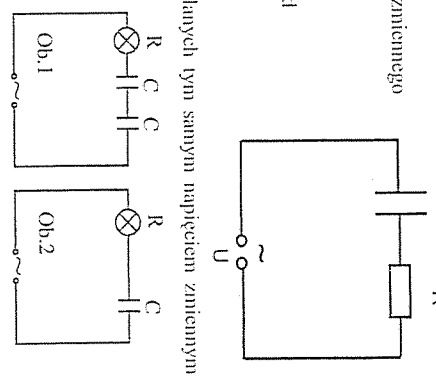
Jeżeli z kondensatora o pojemności C (rys.) w obwodzie prądu zmiennego usuniemy diodę, to prawda jest, że:

- A) zawód obwodu zmniejszy natężenie skuteczne prądu wzrosnie
C) natężenie prądu wzroszcza w fazie napięcia zasilającego obwód
D) wszystkie odpowiedzi są poprawne

1365.

Zarówka o oporze R włączona jest do dwóch obwodów zasilanych tym samym napięciem zmiennym (rys.). Prawdziwe jest:

- A) jaśniejszej świeci zarówka w obwodzie 2
B) jaśniejszej świeci zarówka w obwodzie 1
C) obie zarówki świecą tak samo
D) wszystkie odpowiedzi są fałszywe

**1366.**

W szeregowym obwodzie RLC zasilanego napięciem sinusoidalnym o amplitudzie U_0 płynie prąd o amplitudzie I_0 . Jeżeli opór indukcyjny zwojnicy jest równy oporowi pojemnościowemu kondensatora, to średnia moc wydzielona w tym obwodzie wynosi:

- A) $0,5 I_0 U_0$
B) 0
C) $0,4 I_0 U_0$
D) $2 I_0 U_0$

1367. 1992-94/MHS Mał

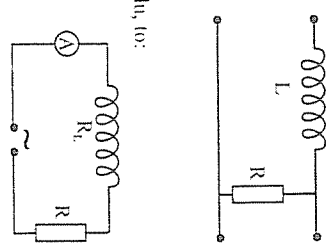
Narysowany układ jest:

- A) filtem dolnoprzepustowym
B) filmem górnoprzepustowym
C) filmem środkowo-przepustowym
D) nie jest filmem

1368. 1991/L

Jeśli w obwodzie przedstawionym na rysunku zwiększymy częstotliwość prądu, to:

- A) wzrosnie opór R
B) wzrosnie opór R_L
C) zmniejszy opór R_L
D) wzrosnie natężenie skuteczne prądu

**1369.**

Dwie żarówki mają jednakową rezystancję R . Żarówka I ma włókno proste, żarówka II ma włókno w kształcie spirali. Jeżeli podłączymy je kolejno do obwodu prądu zmiennego, to:

- A) prąd płynący w obu żarówkach będzie jednakowy
B) prąd płynący przez żarówkę I będzie mniejszy
C) prąd płynący przez żarówkę II będzie mniejszy
D) opór całkowity żarówek I jest mniejszy od oporu całkowitego żarówki II
E) poprawne są odpowiedzi C i D

1370. 1990/L

Z obwodu przedstawionego na schemacie odłączono kolecino: opornik, zwojnicę, kondensator. Jeżeli $R_L = R_C = R$, to żarówka świecić będzie najjaśniej po wyłączeniu:

- A) opornika
B) zwojnice
C) kondensatora
D) kondensatora lub zwojnice

1383. 1983/F

Zawada Z połączonych szeregowo R , L i C w obwodzie prądu sinusoidalnie zmiennego wynosi się wzorem:

$$A) Z = \sqrt{R^2 + \frac{1}{\omega^2 L^2}}; \quad Z = \sqrt{R^2 + \frac{1}{\omega^2 C^2}}$$

$$B) Z = \sqrt{R^2 + \omega^2 L^2}; \quad Z = \sqrt{R^2 + \frac{1}{\omega^2 C^2}}$$

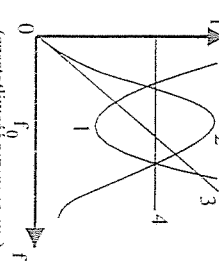
$$C) Z = \sqrt{R^2 + \frac{1}{\omega^2 L^2}}; \quad Z = \sqrt{R^2 + \omega^2 C^2}$$

$$D) Z = \sqrt{R^2 + \omega^2 L^2}; \quad Z = \sqrt{R^2 + \frac{1}{\omega^2 C^2}}$$

1384.

Zależność natężenia prądu od częstotliwości, w szeregowym obwodzie RLC zasilanym ze źródła prądu przemiennego poprawnie przedstawiono:

- A) krzywa 1
B) krzywa 2
C) prosta 3

**1385.** 1989/F

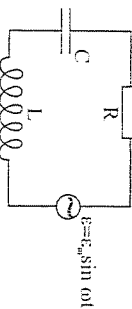
Cewka o induktywności L , i oporze omowym R dołączona jest do źródła sinusoidalnej SEM zmienniącej się z częstotością kątową ω . Opor obwodu wynosi się wzorem:

$$A) Z = R \quad B) Z = R + I_{00} \quad C) Z = \sqrt{R^2 + (I_{00})^2} \quad D) Z = \sqrt{R^2 + \frac{1}{(I_{00})^2}}$$

1386.

1988/F
W obwodzie przedstawionym na rysunku natężenie prądu i napięcie elektryczne są zgodne w fazie:

- A) jedynie na oporniku
B) na oporniku i kondensatorze
C) na kondensatorze i cewce
D) na każdym z elementów

**1387.** 1984/F

W obwodzie prądu zmiennego znajdują się połączone szeregowo: żarówka, cewka, kondensator. Wskaz wariant jaki musi być spełniony, aby żarówka świeciła najjaśniej:

- A) $X_L > X_C$ B) $R = X_L = X_C$ C) $R = X_C - X_L$ D) $X_L = X_C$

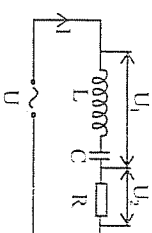
1388.

Przesunięcie fazowe między natężeniem prądu I i napięciem zasilającym U (rysunek), jeżeli amplituda całkowitego napięcia na elementach I , i C wynosi U_1 a amplituda napięcia na oporze R wynosi U_2 , jest określone wzorem:

$$A) \operatorname{tg} \alpha = \frac{U_1 - U_2}{U_1} \quad D) \operatorname{tg} \alpha = \frac{U_2}{U_1}$$

$$B) \operatorname{tg} \alpha = \frac{U_1}{U_2 - U_1} \quad E) \operatorname{tg} \alpha = 0$$

..

**1389.**

Jeżeli w szeregowym obwodzie RLC:
10V – amplituda napięcia zasilającego,
8V – amplituda napięcia na oporze R_G ,

to amplituda napięcia na oporze omowym R wynosi:

- A) 4V B) 16V C) 0V D) 10V E) 8V

1390.

Szeregowy obwód RL (rysunek) włączono do napięcia zasilającego $U = U_0 \sin(\omega t)$. Jeżeli przez ϕ oznaczony kat przesunięcia fázowego pomiędzy napięciem i natężeniem, to chwilowe natężenie prądu płynącego w tym obwodzie jest wyrażone wzorem:

- A) $I = I_0 \sin(\omega t + \phi)$ B) $I = I_0 \sin(\omega t - \phi)$ C) $I = I_0 \sin \phi$ D) $I = I_0 \sin(\omega t - \phi)$ E) $I = I_0 \sin^2 \omega t$

1391. 1984/I.

W obwodzie składającym się z szeregowo połączonych: opornika, cewki i kondensatora płynie prąd sinusoidalnie zmienny. Napięcia skuteczne wynoszą: $U_R = 12V$ na oporniku, $U_L = 15V$ na cewce i $U_C = 10V$ na kondensatorze. Na zaciskach całego obwodu panuje napięcie:

- A) 37 V B) 17 V C) 13 V D) 7 V

1392. 1987/I.

Zwojnicę o zmiennodziałalnym oporze omowym podłączono do źródła prądu sinusoidalnie zmiennego o regulowanej częstotliwości v . Zależność amplitudy natężenia prądu I_0 płynącego w zwojnicy od jego częstotliwości przedstawia wykres:

- A) A B) B C) C D) D

**1393.** 1984/I.

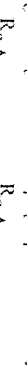
Przesunięcie fazowe między napięciem a natężeniem prądu zmiennego, jeżeli moc skuteczna tego prądu jest równa połowie mocy pozyornej, wynosi:

- A) 30 stopni B) 45 stopni C) 60 stopni D) 90 stopni

1394. 1991/I.

Zależność oporu pojemnościowego R_C od częstotliwości f prądu przedstawia wykres:

- A) A B) B C) C D) D



Przesunięcie fazowe między natężeniem prądu I i napięciem zasilającym U (rysunek), jeżeli amplituda całkowitego napięcia na elementach I , i C wynosi U_1 a amplituda napięcia na oporze R wynosi U_2 , jest określone wzorem:

$$A) \operatorname{tg} \alpha = \frac{U_1 - U_2}{U_1} \quad D) \operatorname{tg} \alpha = \frac{U_2}{U_1}$$

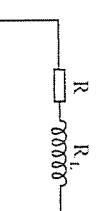
$$B) \operatorname{tg} \alpha = \frac{U_1}{U_2 - U_1} \quad E) \operatorname{tg} \alpha = 0$$

$$C) g(\alpha) = \frac{U_1}{U_2} \quad D) \omega C = 1 / (\omega L)$$

1395. 1989/I.

W przedstawionym obwodzie zasilanym prądem sinusoidalnie zmiennym natężenie skuteczne ma wartość maksymalną gdy spełniony jest warunek:

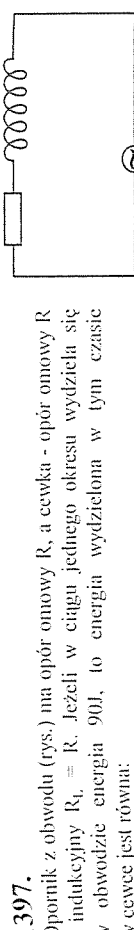
- A) $R = \omega L$ B) $\omega C = 1 / (\omega L)$ C) $R = \omega C$ D) $\omega C = \omega L$



1396. 1987/L

Mierniki włączone w obwód prądu sinusoidalnego zmienego wskazują: watomierz 550 W, woltomierz 220 V, amperomierz 5 A. W obwodzie tym napięcie jest przesunięte względem natężenia o kąt:

- A) 0 stopni B) 30 stopni C) 45 stopni D) 60 stopni



1397.

Opornik z obwodu (rys.) ma opór omowy R, a cewka - opór omowy R

i indukcyjność $L_1 = R$. Jeżeli w ciągu jednego okresu wydzieliła się

w obwodzie energia 90J, to energia wydzielona w tym czasie

w cewce jest równa:

- A) 30 J B) 45 J C) 60 J D) 90 J

1398.

W obwodzie przedstawionym na rysunku wartość napięcia na cewce indukcyjnej L_1 jest równa wartości napięcia na kondensatorze C.

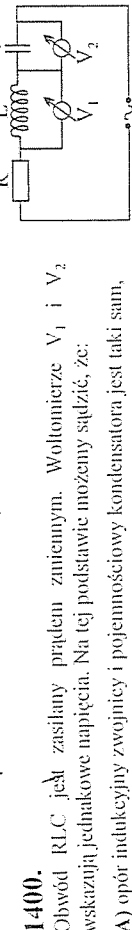
Przesunięcie w fazie pomiędzy natężeniem prądu i napięciem wynosi:

- A) π B) $\frac{\pi}{2}$ C) $-\frac{\pi}{2}$ D) 0

1399.

Natężenie skutecznne prądu w obwodzie przedstawionym w poprzednim zadaniu wynosi:

- A) $\frac{U_0}{R}$ B) $\frac{U_0 \sqrt{2}}{R}$ C) $\frac{U_0}{\sqrt{R^2 + \left(\frac{L_0}{C_0}\right)^2}}$ D) $\frac{U_0}{R\sqrt{2}}$ E) $\frac{U_0 \sqrt{2}}{R}$



1400.

Obwód RLC jest zasilany pradem zmennym. Woltomierze V₁ i V₂ wskazują jednakowe napięcia. Na tej podstawie możemy sądzić, że:

- A) opór indukcyjny zwojnicę i pojemnościowy kondensatora jest taki sam, a całkowity opór obwodu (zawada) jest równy oporowi onowemu R

B) kąt przesunięcia między napięciem zasilającym, a natężeniem prądu jest równy zero, a opór indukcyjny zwojnicę jest większy od oporu pojemnościowego kondensatora

C) napięcie na cewce jest przesunięte w fazie względem napięcia na kondensatorze o kąt π i opór indukcyjny jest równy oporowi pojemnościowemu

D) na wporze omowym R napięcie jest zgodne w fazie z natężeniem, a zawada jest równa oporowi onowemu

- E) poprawne są odpowiedzi A, C i D

1401. 1992-94/MIS MaP

W idealnie czystym (niedomieszkowanym) półprzewodniku:

- A) liczba swobodnych elektronów jest dużo większa od liczby swobodnych dziur
B) liczba swobodnych elektronów jest dokładnie równa liczbie swobodnych dziur
C) liczba swobodnych elektronów jest dużo mniejsza od liczby swobodnych dziur
D) liczba swobodnych elektronów jest różna od liczby swobodnych dziur

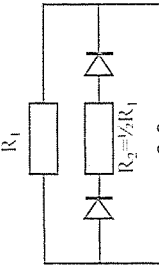
1402. 1987/L

Bariera potencjalna występująca na złączu p-n dwóch półprzewodników wytworzona jest przez:

- A) dziury w obszarze p, elektryny w obszarze n
B) elektryny w obszarze p, dziury w obszarze n
C) jony akceptora w obszarze p, jony donora w obszarze n
D) jony donora w obszarze p, jony akceptora w obszarze n

1403. 1985/L

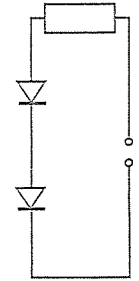
Do obwodu prądu zmienego o napięciu skutecznym $U_{ak} = 220V$ włączono oporniki o oporach R_1 i R_2 i dwa idealne diody (rys.). Hoscie ciepła Q₁ i Q₂ wydzielającego się odpowiednio w opornikach R₁ i R₂ w czasie jednego pełnego okresu spieniaja zależność:



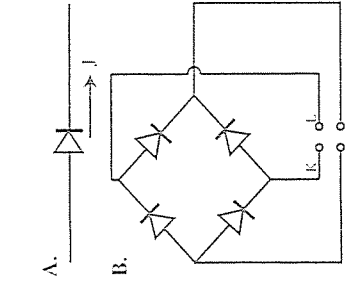
- A) Q₁ > Q₂ ponieważ R₁ > R₂
B) Q₁ < Q₂ ponieważ I₂ > I₁
C) Q₂ = 0 i Q₁ = 0
D) Q₁ = Q₂

1404. 1980/L

Jaki może być cel takiego, jak na rysunku, połączenia elementów prostowniczych:
A) zabezpieczenie prostownika przed przebiem w kierunku



- B) zabezpieczenie prostownika przed przepięciem w kierunku



- C) uzyskanie jak największego natężenia prądu wyprostowanego
D) uzyskanie prądu wyprostowanego "dwupolówkowego"

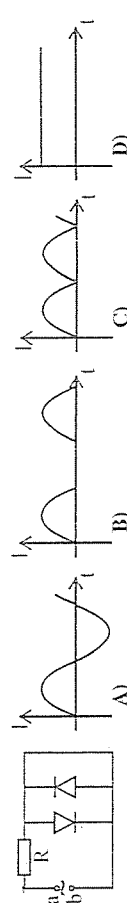
1405. 1979/L

Rysunek A przedstawia prostownik "jednopolówkowy", zaporowywny, prąd we wskazanym kierunku. Aby za pomocą obwodu przedstawionego na rysunku B uzyskać prąd wyprostowany "dwupolówkowo", należy:

- A) pomiędzy K i L, włączyć źródło prądu zmienego, a pomiędzy M i N odbiornik prądu wyprostowanego
B) pomiędzy M i N włączyć źródło prądu zmiennego, a pomiędzy K i L odbiornik prądu wyprostowanego
C) pomiędzy K i M włączyć źródło prądu zmiennego, a pomiędzy L i N odbiornik prądu wyprostowanego
D) pomiędzy L i N włączyć źródło prądu zmiennego, a pomiędzy K i M odbiornik prądu wyprostowanego

1406. 1989/L

Jeżeli do punktów a i b obwodu (rys.) przyłożycie sinusoidalne zmienne napięcie, to zależność natężenia prądu I płynącego przez opornik R od czasu przedstawia wykres:



1407.

W obwodzie drążkowym zamkniętym LC (rys.) powstaje drganie elektromagnetyczne o okresie T, jeżeli pojemność kondensatora jest równa:

- A) $\frac{2\pi L}{T}$ B) $\frac{4\pi^2 L}{T^2}$ C) $\frac{T^2}{4\pi^2 L}$ D) $\frac{4\pi^2}{4\pi^2 L}$

1408.

Jeżeli w obwodzie LC, z poprzedniego zadania, długość zwolnienia d - krotkie, przy niezmienionej liczbie zwojów, to częstotliwość drgań elektromagnetycznych:

- C) zmniejszy się 4 razy
D) zmniejszy się 2 razy

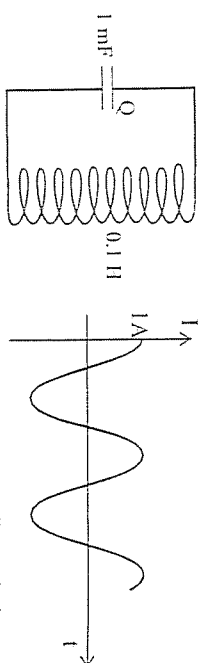
1409. 1994/l.

W obwodzie drgającym L-C zmniejszono trzykrotnie odległość między okładkami kondensatora plastikowego. Aby okres drgań obwodu nie uległ zmianie, należy inducyjność obwodu:

- A) zmniejszyć 9 razy
B) zmniejszyć 3 razy
C) zwiększyć $\sqrt{3}$ razy
D) zwiększyć 3 razy
E) zwiększyć 9 razy

1410.

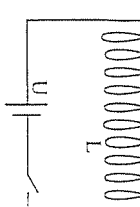
W obwodzie drgającym zamkniętym L-C (rys.) powstają drgania niesgasnące (straty na ciepło pomijany). Wykres przedstawia zależność natężenia prądu od czasu. Maksymalny ładunek Q, jaki gromadzi się na kondensatorze, wynosi:



1411.

W obwodzie zawierającym zwojenie o współczynniku indukcji właściwej 10mTl i źródło napięcia U, po zamknięciu obwodu natężenie prądu wzrosło do 2A. Strumień indukcji magnetycznej Φ przenikający przez zwojenie:

- A) wzrosło o $2 \cdot 10^{-2}$ Wb
B) zmalało o $2 \cdot 10^{-2}$ Wh
C) nie zmienił się
D) nie można obliczyć, gdyż nie jest podany czas zamknięcia obwodu



1412.

Energia pola magnetycznego nagromadzona w zwoinicy (z poprzedniego zadania) po wyłączeniu prądu jest równa:

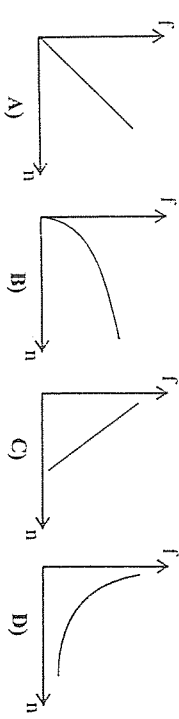
$$\text{A)} 10^{-2} \text{ J} \quad \text{B)} 0 \text{ J} \quad \text{C)} 2 \cdot 10^{-2} \text{ J} \quad \text{D)} 10^{-4} \text{ J}$$

1413. 1995/l.

Obwód drgający złożony z kondensatora o pojemności C i zwoinicy o induktywności L, posiada w pewnej chwili tylko energię pola elektrycznego. Ponownie tylko energię pola elektrycznego układ będzie posiadał po upływie czasu t równego:

$$\text{A)} t = 2\pi\sqrt{LC} \quad \text{B)} t = \frac{1}{2}\pi\sqrt{LC} \quad \text{C)} t = \pi\sqrt{LC} \quad \text{D)} t = \frac{1}{4}\pi\sqrt{LC}$$

1414. Zależność częstotliwości drgań obwodu L-C od liczby zwojów przy tej samej długości zwoinicy przedstawia wykres:



1415. 1992-94/MIS Map
W układzie L-C indukcyjność zmniejszono dwadzieściokrótnie, a pojemność zwiększo tysiąckrotnie. Częstotliwość rezonansowa układu:

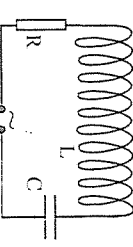
- A) wzrosła dziesięciokrotnie
B) zmalała dziesięciokrotnie

- C) wzrosła stukrótnie
D) zmalała stukrótnie

1416.

Obwód szeregowy RLC (rys.) jest w rezonansie z napięciem zasilającym. Jeżeli f_0 jest częstotliwością rezonansową to iloczyn L-C jest równy wyrażeniu:

$$\text{A)} 2\pi f_0 \quad \text{B)} \frac{1}{4}\pi^2 f_0^2 \quad \text{C)} \frac{1}{4\pi^2 f_0^2} \quad \text{D)} \frac{f_0^2}{4\pi^2}$$



1417.

Aby obwód elektryczny (z poprzedniego zadania) nie był w rezonansie, należy:

- a) wsunąć do zwoinicy rdzeń ferromagnetyczny

- b) dołączyć szeregowo drugi taki sam kondensator i zwiększyć dwa razy pole przekroju zwoinicy

- c) dołączyć równolegle do opornika R taki sam opornik

- d) zmniejszyć odległość między okładkami kondensatora

Poprawne są odpowiedzi:

- A) a, b, d

- B) b, c

- C) a, d

- D) a, b, c, d

1418.

Aby dostroić do rezonansu dwa obwody drgające L-C (rys.) należy:

- A) zmniejszyć 2 razy powierzchnie czynne kondensatora w obwodzie 2

- B) zwiększyć 2 razy odległość między okładkami kondensatora w obwodzie 2

- C) zmniejszyć 2 razy odległość między okładkami kondensatora w obwodzie 1

- D) wszystkie odpowiedzi są poprawne

1419. 1991/l.

Jeżeli przyjmiemy kondensator obwodu drgającego L-C wypełniony dielektrykiem o względnej przenikalności $\epsilon_w = 4$, to okres drgań własnych obwodu:

- A) dwukrotnie zmniejsza

- B) czterokrotnie zmniejsza

- C) czterokrotnie wzrasta

- D) dziewięciokrotnie zmniejsza

1420. 1980/l.

Okres drgań obwodu drgającego wynosi T. Wiedząc, że pojemność kondensatora znajdującej się w tym obwodzie jest równa C, znajdujemy współczynnik samoodchylki z równania:

$$\text{A)} L = \frac{T}{2\pi C} \quad \text{B)} L = \frac{T^2}{4\pi^2 C} \quad \text{C)} L = \frac{CT^2}{4\pi^2} \quad \text{D)} L = \frac{4\pi^2 C}{T^2}$$

1421. 1985/l. 1987/l.

Elektronognetyczny obwód drgający emituje falę o częstotliwości f, jeżeli wprowadzi kondensatora próżniowego w tym obwodzie wypełni dielektrykiem o stałej dielektrycznej $\epsilon_r = 9$, to częstotliwość drgań:

- A) 9-krotnie wzrosnąć

- B) 3-krotnie wzrosnąć

- C) 3-krotnie zmniejsza

- D) 9-krotnie zmniejsza

1422. 1989/l.

W obwodzie drgającym L-C zmniejszono trzykrotnie inducyjność obwodu i trzykrotnie zmniejszono odległość między okładkami kondensatora. Okres drgań tego obwodu:

- A) zmalał trzykrotnie

- B) nie uległ zmianie

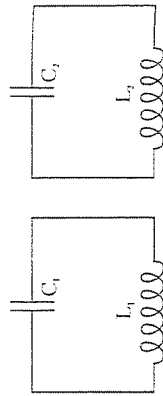
- C) wzrosł trzykrotnie

- D) wzrosł dziewięciokrotnie

1423. 1983/L

Okręsy obwodów przedstawionych na rysunku w przypadku gdy pojemności $C_1 \neq C_2$, będzie:

- A) zawsze różne
B) równe jeśli $L_1 = L_2$
C) równe jeśli $L_1 : L_2 = C_1 : C_2$
D) równe jeśli $L_1 : L_2 = C_2 : C_1$

**1424.** 1986/F

Szeregowy obwód R-L-C (rys.) jest w rezonansie ze źródłem prądu. Jeżeli do kondensatora o pojemności C dodajeśmy równolegle kondensator o pojemności C₁ to natężenie prądu w obwodzie:

- A) wzrosnie
B) zmniejsze
C) wzrosnie jeżeli $C_1 < C$
D) zmniejsze jeżeli $C_1 > C$

1425. 1985/L
W obwodzie prądu przeniesionego zawierającym szeregowo połączone: cewkę o induktywności L, kondensator o pojemności C i opornik o oporze R w warunkach rezonansu napięć, natężenie prądu I osiąga wartość:

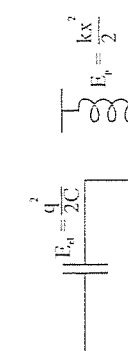
- A) $I = U / \sqrt{R^2 + (\omega L + 1/\omega C)^2}$
B) $I = U/R$
C) $I = U / \sqrt{(\omega L - 1/\omega C)^2}$
D) $I = U / \sqrt{(\omega L + 1/\omega C)^2}$

1426. 1984/L

W przedstawionych układach drgających odpowiednikami wyujących w nich wielkości elektrycznych następujące wielkości mechaniczne:

	Q	J	C	m
A)	x	V	1/k	m
B)	V	x	m	1/k
C)	1/k	m	V	x
D)	m	1/k	x	V

Pytania: 1427, 1428, 1429, 1430, 1431 dotyczą obwodu L,C przedstawionego na rysunku. Kondensator naładowany jest ładunkiem Q.

**1427.**

Po jakim czasie t od chwili zamknięcia obwodu ładunek zmniejszy się do połowy?

- A) $t = \frac{\Pi \sqrt{LC}}{3}$
B) $t = 2\Pi \sqrt{LC}$
C) $t = \frac{\Pi \sqrt{LC}}{6}$
D) $t = \Pi \sqrt{LC}$

Największa wartość natężenia prądu w obwodzie po zamknięciu wyłącznika wynosi:

- A) $\frac{Q}{\sqrt{LC}}$
B) $\frac{Q}{2\Pi \sqrt{LC}}$
C) $Q \sqrt{LC}$
D) $2\Pi Q \sqrt{LC}$

1428.

Największa wartość natężenia prądu w zwojnicie jest równa:

- A) $\frac{1}{2} Q^2 L$
B) $\frac{Q^2}{C}$
C) $\frac{Q^2}{2C}$
D) $Q^2 L$

1430.

Gdy w obwodzie płynie proud o największym natężeniu, ładunek zgromadzony na okładkach kondensatora wynosi:

- A) Q
B) $\frac{1}{2} Q$
C) $\frac{1}{4} Q$
D) zero

1431.

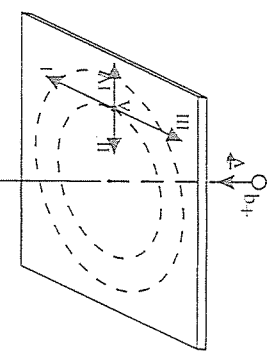
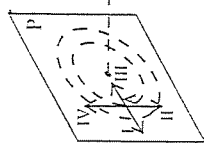
Nieprawidłej jest, że:

- A) rozładowanie kondensatora po zamknięciu wyłącznika ma charakter oscylacyjny
B) największy proud płynie w obwodzie w chwili gdy kondensator jest całkowicie rozładowany
C) natężenie na okładkach kondensatora, dzięki zjawisku indukcji elektromagnetycznej, nigdy nie spadnie do zera
D) suma energii pola elektrycznego i energii pola magnetycznego pozostaje stała

1432.

Poruszający się wzdłuż swojej osi magnes szalbkowy wytworzy pole elektryczne. W punkcie A leżącym na płaszczyźnie P, wektor natężenia tego pola w pewnej chwili, poprawnie przedstawia wektor:

- A) I
B) II
C) III
D) IV

**1433.**

Ladunek dodatni poruszający się z prędkością v wytwarza w punkcie A pole magnetyczne. Wektor indukcji magnetycznej w tym punkcie, poprawnie przedstawia wektor:

- A) I
B) II
C) III
D) IV

1434.

Punktowy ładunek o wartości $-q$ poruszający się ruchem jednostajnym wytwarza wokół siebie:

A) tylko pole elektryczne
B) tylko pole magnetyczne
C) pole elektryczne i magnetyczne wzajemnie do siebie równoległe
D) pole elektryczne i magnetyczne wzajemnie do siebie prostopadłe

1435. 1992-94/MIS MaP

Współka protonów poruszająca się w rurze akceleratora o kształcie pierścienia kolbowego traci znacząco energię na promieniowanie ze względu na:

A) ruch po zakrzywionym torze
B) zderzenia z rezylkami gazu w rurze
C) niejednorodność pola przyspieszającego
D) rozbicie protonów

1436.

Aby obwód drążający otwarty, o pojemności 1 F , emitował fale elektromagnetyczne o długości λ , indukcyjność obwodu powinna wynosić:

A) $3 \cdot 10^{-4} \text{ H}$
B) $3 \cdot 10^4 \text{ H}$
C) 3 nH
D) 0,3 nH

1437.

Nieprawidł jest, że:

- A) fala elektromagnetyczna, to rozchodzące się pole elektromagnetycznego w przestrzeni
B) długość fali elektromagnetycznej rozchodzącej się w danym ośrodku zależy od częstotliwości drgan
C) fale elektromagnetyczne odchylają się w polu elektrycznym i magnetycznym
D) fale elektromagnetyczne są falami proporcjalnymi

1438. 1992-94/MIS MaPOdległość pomiędzy okładkami kondensatora plastikowego włączonego do obwodu długich odbiornika radiowego przy przejściu od odbioru fali o długości $\lambda = 25$ m do odbioru fali $\lambda = 200$ m (przy zaniedbaniu oporu omówionego obwodu długiego) należy:

- A) zmniejszyć 64 razy B) zmniejszyć 8 razy C) zwiększyć 8 razy D) zwiększyć 64 razy

1439. 1995/L

Spośród wymienionych rodzajów promieniowania elektromagnetycznego najmniejszą długość fali posiada:

- A) światło widzialne B) promieniowanie ultrafioletowe
C) promieniowanie Roentgena D) promieniowanie podczerwone

1440. 1995/MIS MaP

Prawidłowa kolejność fali elektromagnetycznych według rosnącej długości fali to:

- A) radiowe, mikrofale, ultrafiolet C) mikrofale, ultrafiolet, gamma
B) podczerwien, X, UKF D) ultrafiolet, mikrofale, radiowe

1441. 1995/MIS MaP

Dipol anteny telewizyjnej jest zaopatrzony w reflektor, od którego fala elektromagnetyczna o długości 1 odbiija się ze zmianą fazą o π. Najsiadniejsze drgania w dipolu powstają wtedy, gdy jest on oddalony od reflektora o długość równą:

- A) 1,5 λ B) 1 C) 0,5 λ D) 0,25 λ

1442. 1988/FObwód długający emisję fali elektromagnetyczną o długości λ_0 , jeżeli pomiędzy okładkami kondensatora w tym obwodzie wprowadzony dielektryk o stałej $\epsilon_r = 9$, to długość emitowanej fali będzie równa:

- A) $\lambda = 3 \cdot \lambda_0$ B) $\lambda = \frac{1}{3} \lambda_0$ C) $\lambda = 9 \cdot \lambda_0$ D) $\lambda = 81 \cdot \lambda_0$

1443. 1990/I.Antena nadajnika emituje falę elektromagnetyczną ($c=3 \cdot 10^8$ m/s) o długości 0,03 m przez okres czasu wynoszący 0,5 s. Po zakończeniu emisji czolo fali znajduje się od źródła w odległości:

- A) $6 \cdot 10^8$ m B) $1,5 \cdot 10^8$ m C) $1,5 \cdot 10^6$ m D) $6 \cdot 10^6$ m

1444. 1992-94/MIS MaP

Anteny satelitarne TV są zwrocone w kierunku:

- A) Pałacu Kultury i Nauki C) stacjonarnego satelity księżycowej
B) masztu radiostacji w Raszynie D) stacjonarnego satelity Ziemi

16. OPTYKA**1445.** 1992-94/MIS MaP

Promieniowanie widzialne występuje w następujących granicach długości fal:

- A) 0,4 – 0,7 nm B) 40 – 70 nm C) 0,4 – 0,7 μm D) 4 – 7 μm

1446. 1997/I.Fala świetlna, której długość w próżni $\lambda = 600$ nm ($c=300\ 000$ km/s), ma częstotliwość:

- A) $5 \cdot 10^{14}$ Hz B) $5 \cdot 10^{14}$ Hz C) $0,5 \cdot 10^{14}$ Hz D) $5 \cdot 10^{11}$ Hz E) $50 \cdot 10^{11}$ Hz

1447. 1997/I.

Poprawny bieg światła po wyjściu z płytki szklanej przedstawia promień:

- A) a

- B) b

- C) c

- D) d

1448. 1992-94/MIS MaPPrzedmiot znajdujący się pod wodą i oglądany pod kątem 45° do powierzchni wody:

- A) wydaje się leżeć głębiej
B) wydaje się leżeć pływiej
C) znajduje się na takiej głębokości na jakiej go widać
D) nie jest widać z powodu całkowitego wewnętrznego odbicia

1449. 1996/I.Promień światowy pada prostopadle na płytę szklaną o grubości $x = 4$ cm i współczynniku zanamania $n = 1,5$. Czas przejścia promienia światowego przez tę płytę wyniesie ($c = 3 \cdot 10^8$ m/s):

- A) $2 \cdot 10^{-8}$ s B) $2 \cdot 10^{-10}$ s C) $4 \cdot 10^{-8}$ s D) $4 \cdot 10^{-10}$ s

1450.Promień światowy p pada na granicę dwóch ośrodków (rys.) o współczynnikach zanamania $n_a = 1,6$ i $n_b = 2$. Prawidłowy bieg promienia pokazuje linia:

- A) 1

- B) 2

- C) 3

- D) 4

- E) 1 i 4

- F) 3 i 4

- G) 1 i 3

- H) 2 i 3

- I) 1, 2 i 3

- J) 1, 2, 3 i 4

- K) 1, 2, 3, 4 i 5

- L) 1, 2, 3, 4, 5 i 6

- M) 1, 2, 3, 4, 5, 6 i 7

- N) 1, 2, 3, 4, 5, 6, 7 i 8

- O) 1, 2, 3, 4, 5, 6, 7, 8 i 9

- P) 1, 2, 3, 4, 5, 6, 7, 8, 9 i 10

- Q) 1, 2, 3, 4, 5, 6, 7, 8, 9, 10 i 11

- R) 1, 2, 3, 4, 5, 6, 7, 8, 9, 10, 11 i 12

- S) 1, 2, 3, 4, 5, 6, 7, 8, 9, 10, 11, 12 i 13

- T) 1, 2, 3, 4, 5, 6, 7, 8, 9, 10, 11, 12, 13 i 14

- U) 1, 2, 3, 4, 5, 6, 7, 8, 9, 10, 11, 12, 13, 14 i 15

- V) 1, 2, 3, 4, 5, 6, 7, 8, 9, 10, 11, 12, 13, 14, 15 i 16

- W) 1, 2, 3, 4, 5, 6, 7, 8, 9, 10, 11, 12, 13, 14, 15, 16 i 17

- X) 1, 2, 3, 4, 5, 6, 7, 8, 9, 10, 11, 12, 13, 14, 15, 16, 17 i 18

- Y) 1, 2, 3, 4, 5, 6, 7, 8, 9, 10, 11, 12, 13, 14, 15, 16, 17, 18 i 19

- Z) 1, 2, 3, 4, 5, 6, 7, 8, 9, 10, 11, 12, 13, 14, 15, 16, 17, 18, 19 i 20

- A) 1, 2, 3, 4, 5, 6, 7, 8, 9, 10, 11, 12, 13, 14, 15, 16, 17, 18, 19, 20 i 21

- B) 1, 2, 3, 4, 5, 6, 7, 8, 9, 10, 11, 12, 13, 14, 15, 16, 17, 18, 19, 20, 21 i 22

- C) 1, 2, 3, 4, 5, 6, 7, 8, 9, 10, 11, 12, 13, 14, 15, 16, 17, 18, 19, 20, 21, 22 i 23

- D) 1, 2, 3, 4, 5, 6, 7, 8, 9, 10, 11, 12, 13, 14, 15, 16, 17, 18, 19, 20, 21, 22, 23 i 24

- E) 1, 2, 3, 4, 5, 6, 7, 8, 9, 10, 11, 12, 13, 14, 15, 16, 17, 18, 19, 20, 21, 22, 23, 24 i 25

- F) 1, 2, 3, 4, 5, 6, 7, 8, 9, 10, 11, 12, 13, 14, 15, 16, 17, 18, 19, 20, 21, 22, 23, 24, 25 i 26

- G) 1, 2, 3, 4, 5, 6, 7, 8, 9, 10, 11, 12, 13, 14, 15, 16, 17, 18, 19, 20, 21, 22, 23, 24, 25, 26 i 27

- H) 1, 2, 3, 4, 5, 6, 7, 8, 9, 10, 11, 12, 13, 14, 15, 16, 17, 18, 19, 20, 21, 22, 23, 24, 25, 26, 27 i 28

- I) 1, 2, 3, 4, 5, 6, 7, 8, 9, 10, 11, 12, 13, 14, 15, 16, 17, 18, 19, 20, 21, 22, 23, 24, 25, 26, 27, 28 i 29

- J) 1, 2, 3, 4, 5, 6, 7, 8, 9, 10, 11, 12, 13, 14, 15, 16, 17, 18, 19, 20, 21, 22, 23, 24, 25, 26, 27, 28, 29 i 30

- K) 1, 2, 3, 4, 5, 6, 7, 8, 9, 10, 11, 12, 13, 14, 15, 16, 17, 18, 19, 20, 21, 22, 23, 24, 25, 26, 27, 28, 29, 30 i 31

- L) 1, 2, 3, 4, 5, 6, 7, 8, 9, 10, 11, 12, 13, 14, 15, 16, 17, 18, 19, 20, 21, 22, 23, 24, 25, 26, 27, 28, 29, 30, 31 i 32

- M) 1, 2, 3, 4, 5, 6, 7, 8, 9, 10, 11, 12, 13, 14, 15, 16, 17, 18, 19, 20, 21, 22, 23, 24, 25, 26, 27, 28, 29, 30, 31, 32 i 33

- N) 1, 2, 3, 4, 5, 6, 7, 8, 9, 10, 11, 12, 13, 14, 15, 16, 17, 18, 19, 20, 21, 22, 23, 24, 25, 26, 27, 28, 29, 30, 31, 32, 33 i 34

- O) 1, 2, 3, 4, 5, 6, 7, 8, 9, 10, 11, 12, 13, 14, 15, 16, 17, 18, 19, 20, 21, 22, 23, 24, 25, 26, 27, 28, 29, 30, 31, 32, 33, 34 i 35

- P) 1, 2, 3, 4, 5, 6, 7, 8, 9, 10, 11, 12, 13, 14, 15, 16, 17, 18, 19, 20, 21, 22, 23, 24, 25, 26, 27, 28, 29, 30, 31, 32, 33, 34, 35 i 36

- Q) 1, 2, 3, 4, 5, 6, 7, 8, 9, 10, 11, 12, 13, 14, 15, 16, 17, 18, 19, 20, 21, 22, 23, 24, 25, 26, 27, 28, 29, 30, 31, 32, 33, 34, 35, 36 i 37

- R) 1, 2, 3, 4, 5, 6, 7, 8, 9, 10, 11, 12, 13, 14, 15, 16, 17, 18, 19, 20, 21, 22, 23, 24, 25, 26, 27, 28, 29, 30, 31, 32, 33, 34, 35, 36, 37 i 38

- S) 1, 2, 3, 4, 5, 6, 7, 8, 9, 10, 11, 12, 13, 14, 15, 16, 17, 18, 19, 20, 21, 22, 23, 24, 25, 26, 27, 28, 29, 30, 31, 32, 33, 34, 35, 36, 37, 38 i 39

- T) 1, 2, 3, 4, 5, 6, 7, 8, 9, 10, 11, 12, 13, 14, 15, 16, 17, 18, 19, 20, 21, 22, 23, 24, 25, 26, 27, 28, 29, 30, 31, 32, 33, 34, 35, 36, 37, 38, 39 i 40

- U) 1, 2, 3, 4, 5, 6, 7, 8, 9, 10, 11, 12, 13, 14, 15, 16, 17, 18, 19, 20, 21, 22, 23, 24, 25, 26, 27, 28, 29, 30, 31, 32, 33, 34, 35, 36, 37, 38, 39, 40 i 41

- V) 1, 2, 3, 4, 5, 6, 7, 8, 9, 10, 11, 12, 13, 14, 15, 16, 17, 18, 19, 20, 21, 22, 23, 24, 25, 26, 27, 28, 29, 30, 31, 32, 33, 34, 35, 36, 37, 38, 39, 40, 41 i 42

- W) 1, 2, 3, 4, 5, 6, 7, 8, 9, 10, 11, 12, 13, 14, 15, 16, 17, 18, 19, 20, 21, 22, 23, 24, 25, 26, 27, 28, 29, 30, 31, 32, 33, 34, 35, 36, 37, 38, 39, 40, 41, 42 i 43

- X) 1, 2, 3, 4, 5, 6, 7, 8, 9, 10, 11, 12, 13, 14, 15, 16, 17, 18, 19, 20, 21, 22, 23, 24, 25, 26, 27, 28, 29, 30, 31, 32, 33, 34, 35, 36, 37, 38, 39, 40, 41, 42, 43 i 44

- Y) 1, 2, 3, 4, 5, 6, 7, 8, 9, 10, 11, 12, 13, 14, 15, 16, 17, 18, 19, 20, 21, 22, 23, 24, 25, 26, 27, 28, 29, 30, 31, 32, 33, 34, 35, 36, 37, 38, 39, 40, 41, 42, 43, 44 i 45

- Z) 1, 2, 3, 4, 5, 6, 7, 8, 9, 10, 11, 12, 13, 14, 15, 16, 17, 18, 19, 20, 21, 22, 23, 24, 25, 26, 27, 28, 29, 30, 31, 32, 33, 34, 35, 36, 37, 38, 39, 40, 41, 42, 43, 44, 45 i 46

- A) 1, 2, 3, 4, 5, 6, 7, 8, 9, 10, 11, 12, 13, 14, 15, 16, 17, 18, 19, 20, 21, 22, 23, 24, 25, 26, 27, 28, 29, 30, 31, 32, 33, 34, 35, 36, 37, 38, 39, 40, 41, 42, 43, 44, 45, 46 i 47

- B) 1, 2, 3, 4, 5, 6, 7, 8, 9, 10, 11, 12, 13, 14, 15, 16, 17, 18, 19, 20, 21, 22, 23, 24, 25, 26, 27, 28, 29, 30, 31, 32, 33, 34, 35, 36, 37, 38, 39, 40, 41, 42, 43, 44, 45, 46, 47 i 48

- C) 1, 2, 3, 4, 5, 6, 7, 8, 9, 10, 11, 12, 13, 14, 15, 16, 17, 18, 19, 20, 21, 22, 23, 24, 25, 26, 27, 28, 29, 30, 31, 32, 33, 34, 35, 36, 37, 38, 39, 40, 41, 42, 43, 44, 45, 46, 47, 48 i 49

- D) 1, 2, 3, 4, 5, 6, 7, 8, 9, 10, 11, 12, 13, 14, 15, 16, 17, 18, 19, 20, 21, 22, 23, 24, 25, 26, 27, 28, 29, 30, 31, 32, 33, 34, 35, 36, 37, 38, 39, 40, 41, 42, 43, 44, 45, 46, 47, 48, 49 i 50

- E) 1, 2, 3, 4, 5, 6, 7, 8, 9, 10, 11, 12, 13, 14, 15, 16, 17, 18, 19, 20, 21, 22, 23, 24, 25, 26, 27, 28, 29, 30, 31, 32, 33, 34, 35, 36, 37, 38, 39, 40, 41, 42, 43, 44, 45, 46, 47, 48, 49, 50 i 51

- F) 1, 2, 3, 4, 5, 6, 7, 8, 9, 10, 11, 12, 13, 14, 15, 16, 17, 18, 19, 20, 21, 22, 23, 24, 25, 26, 27, 28, 29, 30, 31, 32, 33, 34, 35, 36, 37, 38, 39, 40, 41, 42, 43, 44, 45, 46, 47, 48, 49, 50, 51 i 52

- G) 1, 2, 3, 4, 5, 6, 7, 8, 9, 10, 11, 12, 13, 14, 15, 16, 17, 18, 19, 20, 21, 22, 23, 24, 25, 26, 27, 28, 29, 30, 31, 32, 33, 34, 35, 36, 37, 38, 39, 40, 41, 42, 43, 44, 45, 46, 47, 48, 49, 50, 51, 52 i 53

- H) 1, 2, 3, 4, 5, 6, 7, 8, 9, 10, 11, 12, 13, 14, 15, 16, 17, 18, 19, 20, 21, 22, 23, 24, 25, 26, 27, 28, 29, 30, 31, 32, 33, 34, 35, 36, 37, 38, 39, 40, 41, 42, 43, 44, 45, 46, 47, 48, 49, 50, 51, 52, 53 i 54

- I) 1, 2, 3, 4, 5, 6, 7, 8, 9, 10, 11, 12, 13, 14, 15, 16, 17, 18, 19, 20, 21, 22, 23, 24, 25, 26, 27, 28, 29, 30, 31, 32, 33, 34, 35, 36, 37, 38, 39, 40, 41, 42, 43, 44, 45, 46, 47, 48, 49, 50, 51, 52, 53, 54 i 55

- J) 1, 2,

1453. 1982/L

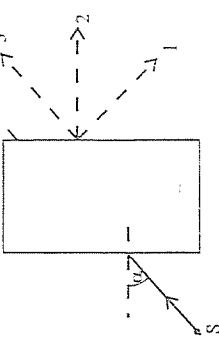
Kąt złamania promienia światłowego w szkle o współczynniku złamania $n = 1,5$ wynosi 30 stopni. Sinus kąta padania tego promienia wynosi:

- A) $\frac{2}{3}$ B) $\frac{3}{4}$ C) $\frac{4}{5}$ D) $\frac{3}{5}$

1454.

Na szklastej płytce płaskorównolegloszenną umieszczonej w powietrzu pada kątem α promień światowy pod kątem α . Przypuszcza się, że bieg tego promienia po przejściu przez płytke przedstawia wektor:

- A) 1 B) 2 C) 3 D) 4 E) żaden z nich

**1455.** 1983/L

Na powierzchni oddzielającej szkło od powierzchni padającej, od strony szkła, wiązka światła białego pod kątem granicznym odpośródającym barwie zielonej. Prawidłowy bieg promieni przedstawia najlepiej rysunek:

**1456.** 1998/L

Kąt padania światła przechodzącego z diamantu do szkła wynosi 30° . Współczynnik złamania światła dla diamantu i szkła wynosi odpowiednio 2,4 i 1,5. Sinus kąta złamania światła w szkle wynosi:

- A) 0,50 B) 0,65 C) 0,75 D) 0,80

1457. 1989/F

Jeżeli promień światowy padający pod kątem 0 stopni na płytce o grubości l , umieszczoną w próżni, przechodzi przez nią w ciągu czasu t , to sinus kąta granicznego dla tej płytki jest równy:

- A) $\sin \gamma = \frac{ct}{l}$ B) $\sin \gamma = \frac{cl}{t}$ C) $\sin \gamma = \frac{l}{ct}$ D) $\sin \gamma = \frac{t}{cl}$

1458.

Nurek stojący pod wodą widzi żółty strumień światła emitowanego z lampki umieszczonej nad powierzchnią wody. Po wyjściu z wody stwierdził, że lampka emisję światła:

- A) żółte B) zielone C) pomarańczowe D) czarne E) niebieskie

1459. 1999/L

Sziałko białe przechodząc przez przynat padło na jego drugą ścianę pod kątem granicznym α_g dla barwy zielonej (rys.). Calkowitemu we wnętrznemu odbiciu ulega promień:

- A) żółty B) czarny C) pomarańczowy D) niebieski

1460. 1985/L

Prostopadłe na płytce szklanej o grubości l_1 pada promień światowy i przechodzi w takim samym czasie jak przez płytke kwarcową o grubości l_2 w tych samych warunkach. Jeżeli bezwzględny współczynnik złamania dla szkla jest równy n_1 , to dla kwału n_2 wyraź się wzorem:

- A) $n_2 = n_1 \frac{l_1}{l_2}$ B) $n_2 = n_1 \left(1 + \frac{l_1}{l_2}\right)$ C) $n_2 = n_1 \frac{l_2}{l_1}$ D) $n_2 = n_1 \frac{\left(l_1 + l_2\right)}{l_1}$

1461. 1988/L

Współczynnik złamania szkła względem wody $n > 1$, a szkło względem kwału $n' < 1$. Porównując predkość światła w szkle v_s , w wodzie v_w i w kwału v_k otrzymujemy zależność:

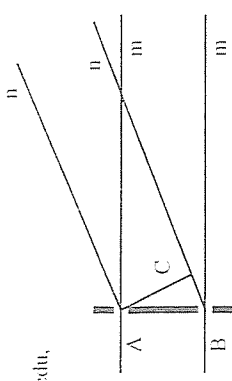
- A) $v_k < v_s < v_w$ B) $v_k > v_s > v_w$ C) $v_s < v_k < v_w$ D) $v_s > v_k > v_w$

1462.

Zjawisko dyfrakcji światła obserwujemy podczas przechodzenia światła przez:
A) płynące płaskorównoległą
B) pryzmat
C) szkło dyfrakcyjne
D) pojedynczą wąską szczelinę
E) odp. C i D

1463. 1978/L

Przyjmując, że promienie "n" tworzą jasny prążek drugiego rzędu, uczniowie sformułowali następujące wnioski - wskaz błędny:
A) kąt w wierzchołku C jest równy $11/2$ rad
B) promienie "n" tworzą jasny prążek zerowego rzędu
C) odcinek BC jest równy dłużeści fali
D) odcinek AB jest równy stałej siatki

**1464.** 1980/F

Im więcej szczezin przyпадa na 1 mm siatki dyfrakcyjnej:
A) tym większa jest długość fali światowej, której można wyznaczyć za pomocą tej siatki
B) tym gęściej ułożone są prążki na ekranie
C) tym większy jest kąt ujęcia prążka n-tego rzędu
D) tym wyższy jest rzad ostatniego, widocznego na ekranie prążka

1465. 1983/L

Na siatkę dyfrakcyjną mającą 500 rys na 1 mm, pada prostopadle światło monochromatyczne o długości fali $\lambda = 6 \cdot 10^{-7}$ m. Najwyższy rzad widma obserwowany w tym doświadczeniu wynosi:
A) I B) II C) III D) IV

1466. 1986/L

Siatkę dyfrakcyjną o 400 liniiach na 1 mm oświetlono światłem białym. Najwyższy rzad pełnego widma dyfrakcyjnego, które, można otrzymać wynosi:
A) 6 B) 5 C) 4 D) 3

- 1467.** 1980/l.
Z całego zakresu fal światła widzialnego fale światła czerwonego:

A) są najkrótsze

B) charakteryzuje się największym kątem załamania

C) charakteryzuje się największym kątem ugięcia

D) rochodzi się w ośrodkach materiałnych z najmniejszą prędkością

- 1468.**

O hezbiej prążków interferencyjnych powstających na ekranie po przejściu światła przez siatkę dyfrakcyjną decyduje:

A) odległość ekranu od siatki dyfrakcyjnej

D) odpowiedź A,B i C

E) odpowiedź B i C

C) długość fali świetlnej

- 1469.** 1990/l.

Na siatce dyfrakcyjną pada przez szczeliny światło z żarówki osłoniętej filtrem fioletowym. Na ekranie umieszczonej za siatką otrzymujemy:

A) fielowej jednorodną plamę

C) przeżk biały otoczony przeżkami fioletowymi

B) widmo światła białego

D) symetryczny układ przeżków fioletowych

- 1470.** 1988/f.

Światło o długosci fali w powietrzu λ_0 , zmienia swoją długosc na λ_2 po wejściu do wody. Sinus kąta granicznego i tangens kąta całkowitej polaryzacji dla wody można obliczyć ze związków:

$$\frac{\sin \alpha_{\text{wg}}}{\lambda_2 / \lambda_1} = \frac{\tan \alpha_p}{\lambda_1 / \lambda_0}$$

- A) λ_2 / λ_1
B) λ_1 / λ_2
C) λ_1 / λ_2
D) λ_2 / λ_1

- 1471.** 1982/l.

Calkowita polaryzacja światła na granicy powietrze - szkło zachodzi, gdy promień pada pod kątem:

- A) granicznym
B) którego sinus jest równy współczynnikowi załamania szkła
C) którego cosinus jest równy współczynnikowi załamania szkła
D) którego tangens jest równy współczynnikowi załamania szkła

- 1472.** 1986/f.

Promienie światła padają na wypolerowaną płytke metalową i na płytke szklane. Promienie odbite mogą być spolaryzowane:

- A) w obydwiu przypadkach
B) tylko po odbiciu od szkła
C) tylko po odbiciu od metalu
D) nie można udzielić odpowiedzi ponieważ nie podano współczynników załamania użytych

- 1473.** 1988/l.

Wiąza światła pada na powierzchnię cieczy o współczynniku załamania n. Jeżeli promień odbity zostaje całkowicie spolaryzowany, to kąt załamania β spełnia warunek:

- A) $\operatorname{ctg} \beta = n$
B) $\operatorname{tg} \beta = n$
C) $\sin \beta = 1/n$
D) $\cos \beta = 1/n$

- 1474.** 1989/l.

jeżeli promień padający na powierzchnię graniczną pod kątem α po odbiciu jest całkowicie spolaryzowany, to promień załamany tworzy z ta powierzchnią kąt:

A) 90 stopni + α

B) 90 stopni - α

C) 2α

D) α

- 1475.** 1985/l.

Promień odbity od powierzchni dielektryka jest całkowicie spolaryzowany jeżeli tworzy z promieniem załamującym kąt:

- A) graniczny

- B) Brewstera

- C) odbłysku

- D) prośby

- 1476.** 1984/l.

Zjawisko interferencji i polaryzacji zachodzące w przypadku fal:

- A) Poprzeczych i podłużnych
B) Poprzeczych
C) Poprzeczych
D) Podłużnych

- poprzeczych
podłużnych i poprzeczych
poprzeczych

- 1477.** 1984/l.

Światło spolaryzowane skierowane do naczynia zawierającego rozwór cukru. Skręcenie pionacyjny polaryzacji tego światła zależy od stężenia rozworu cukru oraz:

- A) nie zależy od innych czynników
B) od grubości warstwy rozworu i długosci fali światła
C) od długosci fali światła
D) od grubości warstwy rozworu

- 1478.**

Kąt całkowitej polaryzacji przy odbiciu od płytki szklanej światła o barwie czerwonej i fioletowej, jest:

- A) dla obu barw taki sam
B) większy dla barwy czerwonej
C) większy dla barwy fioletowej
D) światło monochromatyczne nie ulega polaryzacji przy odbiciu od przezroczystego dielektryka

- 1479.** 1991/l.

Promieniowanie ze źródła światła białego biegając w kierunku obserwatora przechodzi kolejno przez dwa doskonale filtry czerwony i niebieski. Dla obserwatora źródło to jest:

- A) widoczne w barwie jaka wynika ze zwiększenia barwy czerwonej i niebieskiej
B) widoczne w barwie jaka wynika ze zmniejszenia pozostałych widm światła białego
C) widoczne jako niebieskie, jeśli filtr niebieski był bliżej obserwatora niż filtr czerwony
D) niewidoczne

- 1480.**

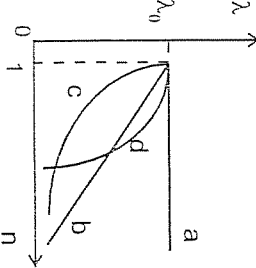
Zależność długosci fali świetlnej przedchodzącej przez różne ośrodko optyczne, od współczynnika załamania n tych ośrodków przedstawia krzywa (λ_0 – długosc fali w próżni):

A) a

B) b

C) c

D) d



1481. 1994/L

W próżni długość fali światła monochromatycznego jest równa λ_0 . Po przejściu do ośrodka o współczynniku zalanania n długość fali λ tego światła jest równa:

- A) $\lambda = \lambda_0(n+1)$ B) $\lambda = \lambda_0/n$ C) $\lambda = \lambda_0$ D) $\lambda = n\lambda_0$ E) $\lambda = (n+1)\lambda_0$

1482.

Promień światlny pada na granicę dwóch ośrodków pod kątem granicznym α (rys.). Jeżeli długość fali światlniej w powietrzu wynosi λ_0 , to długość fali w danym ośrodku równa jest wyrażeniu:

- A) $\lambda_0 / \sin \alpha$ B) $\sin \alpha / \lambda_0$ C) $\lambda_0 \sin \alpha$ D) λ_0

1483. 1994/L

Interferujące fale światlne ulegają w danym punkcie wygaszeniu, jeśli ich fazy w tym punkcie:

- A) są zgodne a amplitudy równe
B) są zgodne a amplitudy dowolne
C) różnią się o $\pi/2$ radianów a amplitudy są równe

1484.

Kąt ugęcia światła drugiego rzędu dawanego przez statkę dyfrakcyjną o stałej d wynosi 30° . Długość fali światła monochromatycznego padającego na tę statkę prostopadle wynosi:

- A) 2 d B) 0,5 d C) d/4 D) 2/d

1485.

Na szkłanym statku dyfrakcyjnym posiadającym k szczelinię na 1 mm, pada prostopadle wiązka światła monochromatycznego o długości λ . Sinus kąta ugęcia n - tego przykazu interferencyjnego, jeśli λ wyraźnie w nm, spełnia równanie:

- A) $\sin \alpha = n\lambda / k$ B) $\sin \alpha = n\lambda / k$ C) $\sin \alpha = k / (\lambda n)$ D) $\sin \alpha = \lambda k / n$

1486.

Maksymalny rzad widma, otrzymywanego w poprzecznym zadaniu, wynosi:

- A) $k\lambda$ B) $1 / (k\lambda)$ C) λ / k D) k / λ

1487. 1996/L

Na statku dyfrakcyjnym pada prostopadle wiązka światła białego (rysunek). Na ekranie pojawi się widmo 1 rzędu w pewnej odległości od punktu O. W tym widnie bliżej punktu O oraz dalej od tego punktu pojawią się odpowiednio, barwy:

- A) żółta, niebieska B) czerwona, zielona C) fioletowa, pomarańczowa D) zielona, fioletowa

1488. 1995/L

Przejście światła z próżni do pewnej cieczy towarzyszy zmianie fali o $1/4$ jej długości w próżni. Współczynnik zalanania tej cieczy jest taki:

- A) 5/4 B) 4/3 C) 3/2 D) 3/4

1489. 1992-94/MIS MaP

Za pomocą którego zjawiska można wykazać, że badana fala jest fala poprzeczna?

- A) interferencji B) dyfrakcji C) polaryzacji D) roszczepienia w pryzmacie

1490. 1993/L

Jżeli współczynnik zalanania szkła względem próżni wynosi $3/2$, a wody względem próżni $4/3$, to współczynnik zalanania wody względem szkła wynosi:

- A) 2 B) 3/2 C) 1/2 D) 8/9 E) 9/8

1491.

Na grubą taflę szkła o współczynniku zalanania n (rys.) pada wiązka światła o częstotliwości c i prędkości $v = c/\sin \alpha$. Jeżeli promień odbijającej się od powierzchni szkła, częstotwo zalanującej się w nim, wiązka promieni odbitych jest prostopadła do wązki promieni zalananych, to kąt padania spełnia warunek:

- A) $\operatorname{tg} \alpha = n$ B) $\operatorname{ctg} \alpha = n$ C) $\sin \alpha = n$ D) $\cos \alpha = n$

1492. 1993/L

Promień światowy rozchodzący się w powietrzu z prędkością c pada pod kątem α na powierzchnię plaskiej szklanej, częstotwo odbijając się, a częściowo zalanującą. Jeżeli promień odbity jest prostopadły do zalanego, to prędkość światła w szkle jest równa:

- A) $v = \operatorname{tg} \alpha$ B) $v = c / \operatorname{tg} \alpha$ C) $v = c \sin \alpha$ D) $v = c / \sin \alpha$ E) $v = c \cos \alpha$

1493.

1992-94/MIS MaP

Obserwator znajdujący się w położeniu O bada światło emitowane przez wirującą gwiazdę o kierunku obrotu zaznaczonym na rysunku. Widmo promieniowania dochodzącego do obserwatora ze strony A jest w stosunku do widma ze strony B:

- A) przesunięte w kierunku fal krótkich
B) nie przesunięte
C) przesunięte w kierunku fal długich
D) energetycznie dużo słabsze

1494.

1992-94/MIS MaP

Czerwony kolor wschodzącego i zachodzącego Słońca wynika z:

- A) obniżenia temperatury powietrza
B) rozproszenia krótkofałowej części widma w grubszej warstwie atmosfery
C) odbszczytu krótkofałowej części widma w zewnętrznej warstwie atmosfery
D) pochłonięcia długofałowej części widma w powietrzu o podwyższonej wilgotności

1495.

1998/L

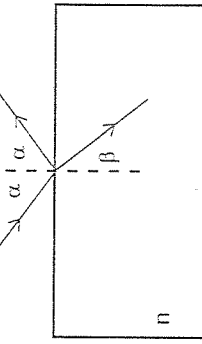
Wiązka światła czerwonego przechodząca z próżni do szkła (jego prędkość w próżni wynosi $3 \cdot 10^8$ m/s, a w szkole $2 \cdot 10^8$ m/s). Długość fali światła czerwonego w próżni wynosi $0,75 \mu\text{m}$. Po przejściu do szkła długość fali tego światła:

- A) zmniejszy się o $0,25 \mu\text{m}$
B) zwiększy się o $0,25 \mu\text{m}$
C) zmniejszy się o $0,5 \mu\text{m}$
D) zwiększy się o $0,5 \mu\text{m}$

1496. 1983/L

Na stupie, którego wysokość wynosi 4 m zawieszona jest lampa. Natężenie oświetlenia powierzchni ziemi w punkcie A wynosi 4 lx. Światłość lampy ma wartość:

- A) 75 cd B) 100 cd C) 125 cd D) 200 cd

**1497.**

1996/L

Na szkłanym statku dyfrakcyjnym pada prostopadle wiązka światła białego (rys.). Na ekranie pojawi się widmo 1 rzędu w pewnej odległości od punktu O. W tym widnie bliżej punktu O oraz dalej od tego punktu pojawią się odpowiednio, barwy:

- A) żółta, niebieska B) czerwona, zielona C) fioletowa, pomarańczowa D) zielona, fioletowa

1498.

Przejście światła z próżni do pewnej cieczy towarzyszy zmianie fali o $1/4$ jej długości w próżni. Współczynnik zalanania tej cieczy jest taki:

- A) 5/4 B) 4/3 C) 3/2 D) 3/4

1499.

1992-94/MIS MaP

Za pomocą którego zjawiska można wykazać, że badana fala jest fala poprzeczna?

- A) interferencji B) dyfrakcji C) polaryzacji D) roszczepienia w pryzmacie

**1500.**

1998/L

Na stupie, którego wysokość wynosi 4 m zawieszona jest lampa. Natężenie oświetlenia powierzchni ziemi w punkcie A wynosi 4 lx. Światłość lampy ma wartość:

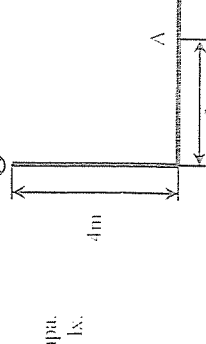
- A) 75 cd B) 100 cd C) 125 cd D) 200 cd

**1501.**

1998/L

Na stupie, którego wysokość wynosi 4 m zawieszona jest lampa. Natężenie oświetlenia powierzchni ziemi w punkcie A wynosi 4 lx. Światłość lampy ma wartość:

- A) 75 cd B) 100 cd C) 125 cd D) 200 cd



1497. 1989/F. W środku pustej kuli o promieniu 2 m unieszczono punktowe źródło światła. Jeżeli natężenie oświetlenia tej powierzchni jest równe 25 lx to światłość źródła jest równa:

- A) 100 cd B) 50 cd C) 12,5 cd D) 6,25 cd

1498. 1979/L.

Punktowe źródło światła o światłości 4 cd umieszczone w środku pustej kuli o promieniu 2 m. Natężenie oświetlenia wewnątrznej powierzchni kuli wynosi:

- A) 1 lx B) 1 lm C) 2 lx D) 2 lm

1499. 1988/F.

Przepałona żarówka o światłości 200 cd zamontowana na żarówkę o światłości 50 cd. Aby natężenie oświetlenia powierzchni pozostało taki same, należy jej odległość od lampy:

- A) 4-krotnie zwiększyć C) 2-krotnie zwiększyć
B) 4-krotnie zwiększyć D) 2-krotnie zwiększyć

1500. 1986/F.

Na powierzchnię kartki padają prostopadle promienie świetlne, aby oświetlenie kartki zwiększyć o połowę należy obrócić ją tak, aby prostą prostopadłą do kartki tworzyła z osią wizury światła kąt:

- A) 15 stopni B) 30 stopni C) 45 stopni D) 60 stopni

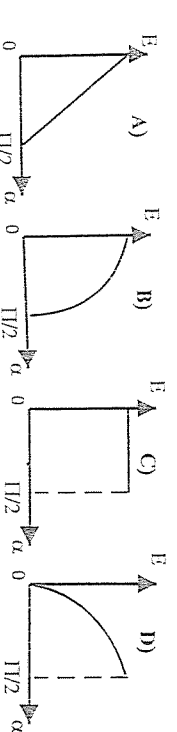
1501. 1987/L.

Aby natężenie oświetlenia w punkcie O kartonika po jego obrocie z położenia K₁ do położenia K₂ (rys.) nie uległo zmianie, przesunięto źródło światła Z wzdłuż odcinka ZO zwiększać jego odległość od punktu O:

- A) 4 razy C) $\sqrt{2}$ razy
B) 2 razy D) $3/2$ razy

1502. 1989/L.

Zależność natężenia oświetlenia powierzchni od kąta padania światła na nią przedstawia wykres:



1503. 1984/L.

Jeżeli powierzchnia źrenicy oka w ciemności wynosi $0,4 \text{ cm}^2$, a najmniejszy strumień świetlny, na który reaguje narząd wzroku wynosi $\Phi = 10^{-11} \text{ lm}$, to punkt świetlny o światłości $I = 0,25 \cdot 10^{-2} \text{ cd}$ będąc widoczny z odległości około:

- A) 62,5 m B) 625 m C) 1000 m D) 100 m

1504. 1980/F.

Jaka wartość ma całkowity strumień światowy emitowany przez źródło o natężeniu $1/(4\pi)$ cd:

- A) 21 lumenów B) 17 lumenów C) 2 lumeny D) 1 lumen

1505. 1980/L. Całkowity strumień światowy emitowany przez źródło punktowe wynosi 811 lumenów, jeżeli natężenie źródła jest równe:

- A) 1 cd B) 2 cd C) 4 cd D) 8 cd

1506. 1987/F.

W dzień okna domów wychodzą się:

- A) jaśniejsze od jasnych ścian C) jaśniejsze od ciemniejszych ścian
B) ciemniejsze od jasnych ścian D) niewidoczne na tle jasnych ścian

1507. 1986/L.

Poniędzy dwoma półkulistymi powierzchniami: jednej o promieniu $R_1 = R$, drugiej $R_2 = 2R$ znajdują się punktowe, izotropowe źródło światła Z (rys.). Strumienie światła przepływające przez te powierzchnie spełniają zależność:

- A) $\Phi_2 = \Phi_1$
B) $\Phi_2 = 2\Phi_1$
C) $\Phi_2 = 4\Phi_1$
D) $\Phi_2 = 16\Phi_1$

1508. 1988/L.

We wspólnym środku dwóch półśter o promieniach $R_1 = R$ i $R_2 = 2R$ znajduje się izotropowe źródło światła Z (rys.). Ponownując strumienie świetlne Φ_1 i Φ_2 otrzymujemy przypływanie przez te półśter oraz ich natężenia oświetlenia E_1 i E_2 otrzymujemy zależności:

- A) $\Phi_2 = \Phi_1$
B) $\Phi_2 = \Phi_1$
C) $\Phi_2 > \Phi_1$
D) $\Phi_2 > \Phi_1$
 $E_2 = E_1$

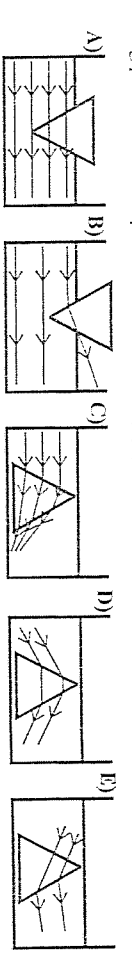
1509.

Poprawny bieg promienia przechodzącego przez pryzmat, jeżeli współczynnik załamania przyjęto jest równy współczynnikowi załamania ośrodku, przedstawi prostą:

- A) 1 B) 2 C) 3 D) 4 E) 5

1510.

Bieg promienia światła po wstawienniu do wody przyjęto powietrznego poprawnie przedstawi rysunek:



1511. 1987/L.

Na przynat o kącie laniącym 30 stopni pada promień świetlny pod kątem α takim, że kat odchylenia biegu promienia w przynatie przyjmuje największą wartość. Jeśli kat odchylenia jest równy 18 stopni, to kat α ma wartość:

- A) 6 stopni B) 12 stopni C) 24 stopni D) 48 stopni

1512. 1985/L.

W cieczy zanurzono przynat szklany. Na przynat pada wiązka światła białego (rysunek 1). W jaki sposób zostanie odchyłone promienie fioletowe i czerwone przez przynat, jeżeli założoś wspólnym załamaniem od długości fali pokazuje rysunek 2?

- A) fioletowe załania się silniej ku podstawie przyznanemu niż czerwone
 B) fioletowe załania się ku podstawie przyznanemu odzwierciadla, a czerwone ku podstawie

D) przyznanat nie będzie rozszczepiał światła

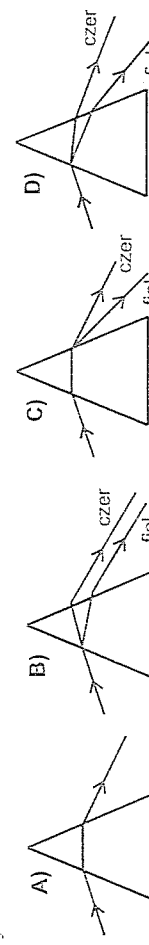
1513. 1995/MIS MaP

Na jednej ścianie szklanego przyznanatu znajdującego się w powietrzu kierujemy wiązkę światła białego tak, że po jego rozszczepieniu promień fioletowy pada na drugą ścianę pod kątem granicznym dla barwy fioletowej. W tej sytuacji promień czerwony:

- A) ulegnie całkowitemu wewnętrznemu odbiciu
 B) pobięcie stycznie do drugiej ściany przyznanatu
 C) przejdzie przez przyznanat i odchyl się ku wierzchołkowi przyznanatu
 D) przejdzie przez przyznanat i odchyl się ku wierzchołkowi przyznanatu

1514. 1996/L

Przejęcie światła białego przez szklany przyznanat znajdujący się w powietrzu poprawnie przedstawia rysunek:



1515. 1993/L

Przed pianowo zawieszonym zwierciadłem plastikim stoi chłopicz, którego wzrost wynosi 1,8 m. Aby mógł on zobaczyć odbicie całej swojej postaci, to najmniejsza wysokość zwierciadła powinna wynosić:

- A) 2 m B) 1,8 m C) 1,2 m D) 0,9 m E) 0,4 m

1516.

Obrazem przedmiotu K1, w zwierciadle plastikim Z jest:

- A) OA
 B) OB
 C) OC
 D) OD

1517.

Obraz przedmiotu K1 (z poprzedniego zadania) jest:

- A) rzeczywisty, powiększony, prosty
 B) porowny, prosty i tej samej wielkości

1518.

Zwierciadło kuliste wkleśle daje obraz rzeczywisty, odwrócony, tej samej wielkości co przedmiot gły przedmiot umieszcony:

- A) między ogniskiem a środkiem krzywizny zwierciadła
 B) w ognisku zwierciadła

1519. 1995/MIS MaP

W odległości 10 cm od zwierciadła kulistego wkleśtego, o ogniskowej ocm , ustawiono przedmiot. Odległość między przedmiotem a obrazem wynosi:

- A) 5 cm B) 10 cm C) 15 cm D) 6 cm

Rys. 2

Rys. 1

1520.

Jedzieli wysokość przedmiotu z poprzedniego zadania wynosi 1 cm, to wysokość obrazu jest równa:

- A) 1 cm B) 1,5 cm C) 2 cm D) 0,5 cm

1521.

Obrazem wektora AB w zwierciadle kulistym wypukłym jest wektor:

- A) a
 B) b
 C) c
 D) d

1522.

Obraz wektora AB z poprzedniego zadania jest:

- A) pozorny, prosty, powiększony
 B) pozorny, pomniejszony
 C) rzeczywisty, odwrócony, pomniejszony
 D) rzeczywisty, odwrócony, powiększony

1523. 1995/MIS MaP

Zwierciadło o ogniskowej f zanurzone w glicerynie. Ogniskowa zwierciadła:

- A) uległa zwiększeniu
 B) uległa zmniejszeniu

1524. 1992-94/MIS MaP

Na zwierciadło wkleśte o promieniu krzywizny R nalano wodę do wysokości h dużo mniejszej od R. Ogniskowa zwierciadła dla promieni pryztyowych:

- A) wynosi R/2
 B) jest mniejsza od R/2
 C) jest większa od R/2
 D) jest większa od R

1525.

Obraz przedmiotu uzyskany za pomocą zwierciadła kulistego wkleśtego jest trzykrotnie pomniejszony. Jeżeli przedmiot ten przesunąć o 1,5 cm w kierunku zwierciadła, to obraz będzie pomniejszony półtora razy. Ogniskowa tego zwierciadła wynosi:

- A) 1,5 cm
 B) 3 cm
 C) 15 cm
 D) 10 cm

1526.

W jakiej odległości od zwierciadła kulistego wypukłego o promieniu 15 cm należy umieścić przedmiot, aby otrzymać obraz zuminiezony 3 razy:

- A) 10 cm
 B) -10 cm
 C) 15 cm
 D) -15 cm

1527.

Gdy przedmiot unieszczono 18 cm od zwierciadła kulistego wkleśtego, otrzymano obraz w odległości 9 cm od zwierciadła. Aby obraz powstał w odległości 15 cm, należy umieścić przedmiot w odległości:

- A) 10 cm
 B) 2 cm
 C) 18 cm
 D) 2R
 E) 2R/2

1528.

Punkt świecący przesuwa się wzdłuż głównej osi optycznej zwierciadła kulistego wkleśtego o promieniu R od nieskończoności do powierzchni zwierciadła. Punkt świecący pokryje się ze swoim obrazem rzeczywistym w odległości od środka zwierciadła równej:

1529.

Miejsce, w którym punkt świecący pokryje się ze swoim obrazem pozornym (z poprzedniego zadania), znajduje się od środka zwierciadła w odległości:

- A) $2R$

B) R

C) $R/2$

D) 0

1530.

Zależność między odległością przedmiotu x , a odlegością obrazu y od zwierciadła kulistego wklęsłego o promieniu krzywizny R jest równa wyrażeniu:

- A) $y = R \cdot x / (Rx)$

B) $y = R + x / (Rx)$

C) $y = Rx / (R+x)$

D) $y = Rx / (2x-R)$

1531. 1990/l.

Przy pomocy zwierciadła oogniskowej 12 cm uzyskano obraz pozorny, powiększony 3 razy. Odległość przedmiotu od zwierciadła jest równa:

- A) 4 cm

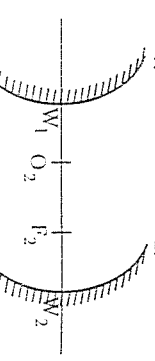
B) 8 cm

C) 16 cm

D) 20 cm

1532. 1986/l.

Aby jedno ze zwierciadeł przedstawionych na rysunku dalo powiększony, a drugie pomniejszony obraz tego samego przedmiotu, należy przedmiot ten ustawić między punktami:

**1533.**

Świecący punkt S zbliża się wzdłuż kierunku x do głównej osi optycznej zwierciadła wklęsłego, ze stałą prędkością V . Prędkość przesuwania się powstającego obrazu jest:

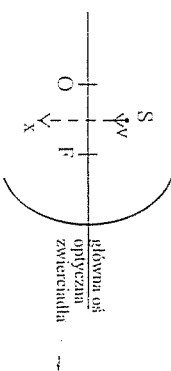
- A) taka sama co do wartości lecz ze zwrotem przeciwnym

B) większa od prędkości przedmiotu o tym samym zwrocie

C) mniejsza od prędkości przedmiotu o zwrocie przeciwnym

D) większa od prędkości przedmiotu o zwrocie przeciwnym

E) taka sama co do wartości i zwrotu

**1534.** 1980/l.

Wpływ promienia równoległych odbijających się od zwierciadła wklęsłego i skupiających po odbiciu w punkcie F . Po napełnieniu czaszy zwierciadła wodą, taka sama wizualka równoległa przejdzie przez wodę bez zmiany kierunku, odbije się od zwierciadła i wyjdzie z wody:

- A) jako wizualka ogniskującą się w punkcie F'

B) jako wizualka ogniskującą się w punkcie F''

C) jako wizualka równoległa

D) jako wizualka rozbieżna

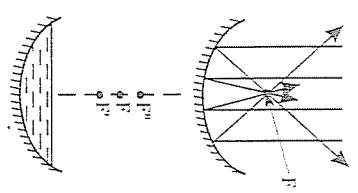
Każdy promień padający na zwierciadło kuliście wklęste i przechodzący przez:

- A) środek krzywizny, po odbiciu biegnie równolegle do głównej osi optycznej

B) środek krzywizny, po odbiciu przechodzi przez ognisko

C) ognisko, po odbiciu biegnie równolegle do głównej osi optycznej

D) ognisko, po odbiciu biegnie po tym samym torze



1535. 1984/l.

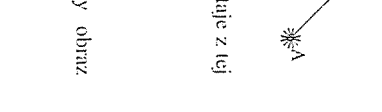
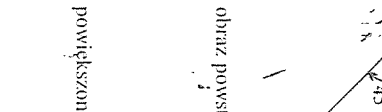
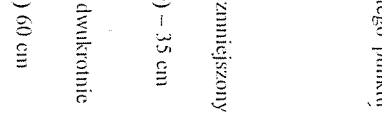
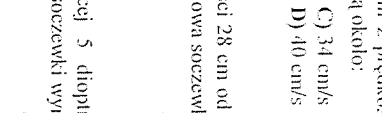
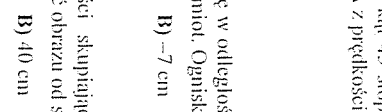
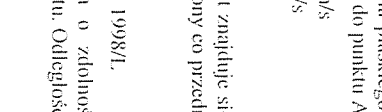
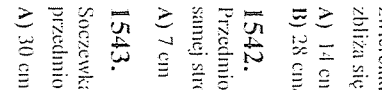
Przedmiot znajdujący się w odległości 12 cm od soczewki. Pięciokrotnie zmniejszony obraz powstaje z tej samej strony co przedmiot. Ogniskowa soczewki wynosi:

- A) 7 cm

B) -7 cm

C) 35 cm

D) -35 cm

**1536.**

Obrazem świecącego punktu S , utworzonym przez zwierciadło wypukłe jest punkt:

- A) I

B) II

C) III

D) IV

E) V

F) VI

G) VII

H) VIII

I) IX

J) X

1537. 1987/l.

Wewnątrz wypolerowanej powierzchni kulistej umieszczono mały świecący przedmiot tak, że jego obraz powstał na tej powierzchni. Powiększenie otrzymanego obrazu jest równe:

- A) 4

B) 3

C) $\frac{1}{3}$

D) $\frac{1}{4}$

E) $\sqrt{3}$

F) $\sqrt{4}$

G) $\sqrt{5}$

H) $\sqrt{6}$

I) $\sqrt{7}$

J) $\sqrt{8}$

1538.

Zwierciadło wklęsłe o promieniu krzywizny R zostało napełnione wodą o współczynniku zanamania n (rysunek). O ogniskowej tego układu można powiedzieć, że:

- A) $f = 0,5 R$

B) $0,5 R < f < R$

C) $f > R$

$$D) f = \frac{R}{2n}$$

E) nieskończoność

F) ∞

G) ∞

H) ∞

I) ∞

J) ∞

1539. 1989/l.

Ustawiając świecę w odległości 10 cm od zwierciadła kulistego uzyskano jej obraz pozorny, powiększony 3 razy. Ogniskowa tego zwierciadła jest równa:

- A) 7,5 cm

B) 15 cm

C) 20 cm

D) 30 cm

E) 40 cm

F) 50 cm

G) 60 cm

H) 70 cm

I) 80 cm

J) 90 cm

1540. 1985/l.

Ille obrazów punktu S otrzymany przy pomocy układu dwóch prostopadnych do siebie zwierciadeł płaskich:

- A) I

B) 2

C) 3

D) nieskończoność

E) ∞

F) ∞

G) ∞

H) ∞

I) ∞

J) ∞

1541. 1983/l.

Punkt A porusza się ruchem jednostajnym po linii prostej tworzącej z powierzchnią zwierciadła płaskiego kąt 45 stopni z prędkością 20 cm/s. Obraz A'' tego punktu zbliża się do punktu A z prędkością około:

- A) 14 cm/s

B) 28 cm/s

C) 34 cm/s

D) 40 cm/s

E) 45 cm/s

F) 50 cm/s

G) 55 cm/s

H) 60 cm/s

I) 65 cm/s

J) 70 cm/s

1542.

Przedmiot znajduje się w odległości 28 cm od soczewki. Pięciokrotnie zmniejszony obraz powstaje z tej samej strony co przedmiot. Ogniskowa soczewki wynosi:

- A) 7 cm

B) -7 cm

C) 35 cm

D) -35 cm

E) 40 cm

F) 50 cm

G) 60 cm

H) 70 cm

I) 80 cm

J) 90 cm

1543. 1998/l.

Soczewka o zdolności skupiającej 5 dioptrią daje rzeczywisty i dwukrotnie powiększony obraz każdego przedmiotu. Odległość obrazu od soczewki wynosi:

- A) 30 cm

B) 40 cm

C) 50 cm

D) 60 cm

E) 70 cm

F) 80 cm

G) 90 cm

H) 100 cm

I) 110 cm

J) 120 cm

1544. 1993/l.

Rzeczywisty i dwukrotnie pomniejszony obraz powstaje w odległości 15 cm od soczewki skupiającej. Zdolność skupiająca tej soczewki jest równa:

- A) 0,01 D

B) 0,1 D

C) 5 D

D) 10 D

E) 15 D

- 1545.** 1995/MIS MaP
Na rysunku przedstawiono wzajemne położenie głównej osi optycznej soczewki, punktowego źródła światła P i jego obrazu P' . Wnioskienny stąd, że:
- soczewka jest skupiąjąca, a obraz rzeczywisty
 - soczewka jest rozpraszająca, a obraz pozorny
 - soczewka jest skupiąjąca, a obraz pozorny
 - soczewka jest rozpraszająca, a obraz rzeczywisty

1546. 1992-94/MIS MaP

Poprawny bieg promienia 1 przeprowadzonego przez kroplę wody o kształcie kuliściej przedstawia linia:



- a
- b
- c
- d

- 1547.** 1995/L
W odległości 0,5 m od soczewki o zdolności skupiącej 5D umieszczono przedmiot. Obraz tego przedmiotu jest:

- pozorny, powiększony
- rzeczywisty, powiększony
- pozorny, powiększony
- rzeczywisty, powiększony

- 1548.** 1992-94/MIS MaP
Obraz rzeczywisty, zuniesiony i odwrócony otrzymany dla (f jest ogniskową elementu optycznego, a x odległośćą przedmiotu):

- $x = 2f$
- $f < x < 2f$
- $0 < x < f$
- $x > 2f$

- 1549.** 1992-94/MIS MaP
W odległości $1,5f$ od soczewki skupiącej o ogniskowej f umieszczono przedmiot AB (rys.)
Powiekszenie otrzymanego obrazu wynosi:



- 1550.** 1998/L
W ognisku soczewki rozpraszającej umieszczono przedmiot. Obraz tego przedmiotu:
- jest powiększony, pozorny, odwrócony
 - jest powiększony, pozorny, prosty
 - nie powstanie
 - jest zuniesiony, pozorny, prosty

- 1551.** 1998/L
Ogniskowa soczewki skupiącej ma wartość 10 cm. Przedmiot znajduje się w odległości 15 cm od soczewki. Powstający obraz jest:

- rzeczywisty, powiększony i odwrócony
- rzeczywisty, powiększony i prosty
- rzeczywisty, zuniesiony i odwrócony
- pozorny, powiększony i odwrócony

- 1552.** 1992-94/MIS MaP
Obraz rzeczywisty, powiększony i odwrócony otrzymany dla (f jest ogniskową elementu optycznego, a x odległośćą przedmiotu):

- $x = 2f$
- $f < x < 2f$
- $0 < x < f$
- $x > 2f$

1553. 1996/L

Przedmiot umieszczono w odległości $3f$ od soczewki skupiącej (f - ogniskowa soczewki). Utworzony przez soczewkę obraz jest:

- dwukrotnie pomniejszony
- trzykrotnie pomniejszony
- dwukrotnie powiększony
- trzykrotnie powiększony

1554. 1994/L

Soczewka skupiąjąca o ogniskowej f utworzy dwukrotnie powiększony obraz rzeczywisty, jeżeli odległość przedmiotu od soczewki będzie równa:

- $\frac{1}{2}f$
- $\frac{2}{3}f$
- $\frac{3}{2}f$
- $\frac{4}{3}f$
- $\frac{3}{4}f$

1555. 1993/L

Przedmiot świecący ustawiono przed soczewką skupiącą tak, że powstał jego obraz rzeczywisty, odwrócony, tej samej wielkości co przedmiot. Jeżeli te soczewki zastąpić inną o dwukrotnie mniejszej zdolności skupiącej, to:

- powstanie obraz rzeczywisty, odwrócony, powiększony
- powstanie obraz rzeczywisty, odwrócony, pomniejszony
- powstanie obraz pozorny, prosty, pomniejszony
- powstanie obraz pozorny, prosty, powiększony
- obraz nie powstanie

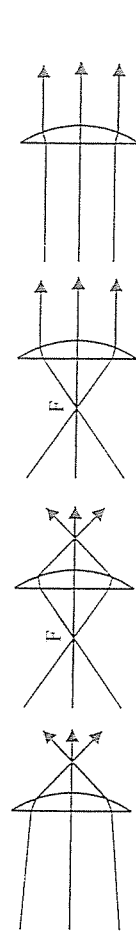
1556. 1990/L

Przedmiot w odległości 0,5 m przed ogniskiem soczewki o zdolności skupiącej 2 doliczyć umieścić przedmiot, to jego obraz powstanie w odległości:

- Im
- Im
- 2m
- 2m

1557. 1980/L

Z niżzej przedstawionych rysunków, ukazujących bieg promieni światła przez soczewkę płasko - wypukłą, poprawnie wykonane są:



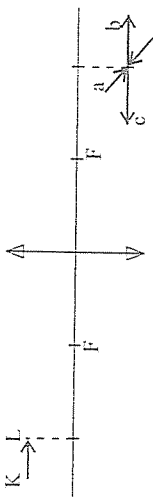
- i 2
- i 3
- 2 i 3
- 2 i 4

1558. 1985/L
Obrazem przedmiotu AB jest odcinek:

- $A'B'$
- $A'C'$
- $A'D'$
- AE'
- AF'

1559. 1985/L
Obraz przedmiotu KL umieszczonego przed soczewką skupiącą poprawnie przedstawia:

- a
- b
- c
- d



1560.1987/F
Wypukła soczewka o ogniskowej f znajduje się na hawie optycznej między umocowanymi w odległości mniejszej od $4f$ przedmiotem świecącym i ekranem. Na ekranie obraz:

- A) powstanie rzeczywisty i powiększony
B) nie powstanie

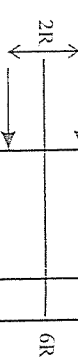
1561.1978/L
Otrzymywanie obrazów powiększonych zapewniają nam:

- A) soczewki wypukłe i soczewki wklęsłe
C) soczewki wklęsłe i zwierciadła wklęsłe
D) zwierciadła wypukłe i zwierciadła wklęsłe

1562.1988/L
Wieżka równolegich promieni o przekroju kołowym

- i średnicy $2R$ po przejściu przez soczewkę S oświetla część ekranu E stanowiącą koło o średnicy $6R$ (rys.). Ogniskowa soczewki ma wartość:

- A) -5 cm
B) -10 cm
C) -20 cm
D) -30 cm

**1563.**1988/L
Soczewka skupiąca daje w tym samym punkcie obrazy dwóch przedmiotów odległych od niej o 5 cm

- i 15 cm . Ogniskowa tej soczewki jest równa:
A) 5 cm B) $7,5\text{ cm}$ C) 10 cm D) 15 cm

1564.1987/L
Za pomocą soczewki uzyskano rzeczywisty i powiększony obraz świeciki. Gdy wymieniono soczewkę na inną o dwukrotnie większej ogniskowej otrzymano obraz świeciki:

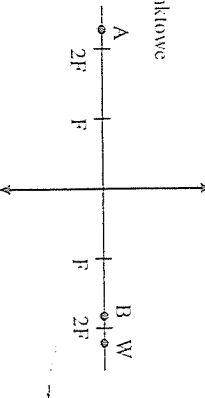
- A) również rzeczywisty, powiększony
C) pozorny, powiększony
B) rzeczywisty, pomniejszony
D) pozorny, pomniejszony

1565.

Na osi optycznej soczewki w punkcie A umieszczone punktowe

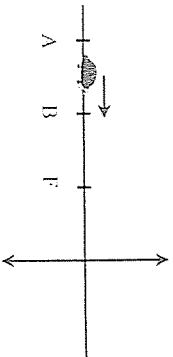
- źródło światła. Obraz tego przedmiotu:

- A) nie powstanie
D) powstaje w punkcie B
B) jest obrazem pozornym
E) powstaje w punkcie W

**1566.**1997/L
Wzdłuż drogi optycznej soczewki poruszał się żuczek ze stałą prędkością v od punktu A do B (rysunek).

- Obraz żuczka poruszał się w tym czasie z prędkością średnią:

- A) mniejszą od v takim samym zwrotem
B) równą i takim samym zwrotem
C) większą od v takim samym zwrotem
D) większą od v przeciwnym zwrotem

**1567.**Najmniejsza odległość l między przedmiotem, a jego rzeczywistym obrazem otrzymanym za pomocą j

- soczewki o ogniskowej f wynosi:

- A) $l=4f$
B) $l=f$
C) $l=2f$
D) $l=3f$

1568.1992-94/MIS MaP
Powietrzna soczewka wklęsło-wklęsła (bardzo cienka warstwa szkła wypełniona powietrzem) zamurzona w wodzie:

- A) jest skupiąjąca
B) jest rozpraszająca
C) działa jak przyzmat
D) nie działa jako soczewka

1569.Umieszczona w próżni soczewka dwuwklęsła o współczynniku zanurzenia $n = 1,5$ o jednakowych promieniach krzywizn równych 20 cm , posiada ogniskową f i zdolność skupiąjącą D, odpowiednio:

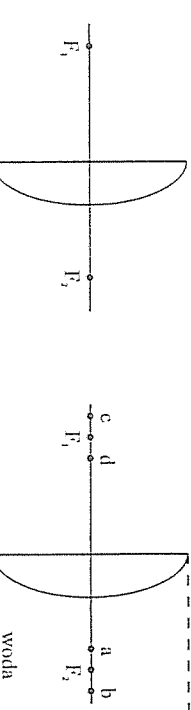
$f\text{ (cm)}$	$Z\text{ (D)}$
A) -20	$1/20$
B) 20	5
C) $1/20$	20
D) -20	-5

1570.Złożoność skupiąjąca soczewki płasko-wypukłej wykonanej z materiału o bezwzględnym współczynniku zanurzenia światła $1,5$ wynosi w powietrzu $5D$. Promień krzywizny tej soczewki jest równy:

- A) 20 cm
B) $0,2\text{ cm}$
C) 10 cm
D) $0,1\text{ cm}$

1571.Płaska-wypukła soczewka szklana umieszczona w powietrzu posiada ognisko rzeczywiste w punktach F_1

- i F_2 (rys.). Umieszczenie tej soczewki w wodzie spowoduje przesunięcie ogniska F_2 do punktu:

**1572.**1991/L
Soczewka szklana ($n=1,51$) ma w powietrzu ogniskową 5 cm . Po włożeniu tej soczewki do wody ($n=1,33$) jej ogniskowa f będzie miała wartość:

- A) 5 cm
B) mniejszą niż 5 cm
C) większą niż 5 cm
D) ujemną

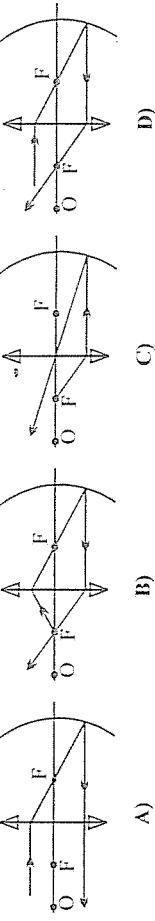
1573.1990/F
Soczewka skupiąca o jednakoowych promieniach krzywizny umieszczona w próżni ma ogniskową równą

- promieniowi krzywizny jeżeli jej współczynnik zanurzenia ma wartość:

$$A) \frac{1}{2} \quad B) \frac{3}{2} \quad C) 2 \quad D) 2,5$$

1574.1988/L
Przed soczewką płasko-wypukłą o promieniu krzywizny R i współczynniku zanurzenia $n = 2$ umieszczono przedmiot w odległości $2R$ i otrzymano obraz:

- A) rzeczywisty, odwrócony, pomniejszony
B) rzeczywisty, odwrócony, powiększony
C) rzeczywisty, odwrócony, wielkości przedmiotu
D) pozorny, prosty, powiększony

**1575.** 1999/L

Soczewka skupiająca o ogniskowej 10 cm daje pozorny obraz przedmiotu w odległości 30 cm od soczewki. Obraz ten jest:

- A) czterokrotnie mniejszy
B) dwukrotnie mniejszy
C) dwukrotnie powiększony
D) czterokrotnie powiększony

1576.

Zdolność skupiającą soczewki zależy od:

- D) odpowiedź A,B i C
E) odpowiedź A i C

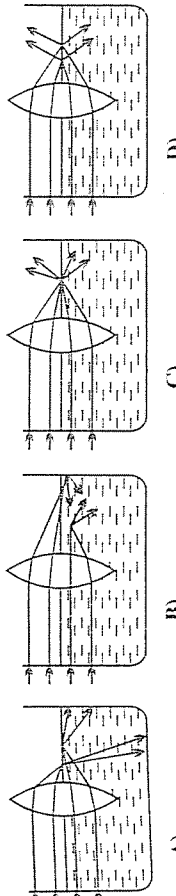
1577. 1989/F

Dwuwypukła soczewka szklana ($n = 3/2$) przeniesiono z powietrza do wody ($n = 4/3$). Jej zdolność skupiającą:

- A) nie zmieniła się
B) wzrosła 4-krotnie
C) zmniejszała 4-krotnie
D) zmalała 2-krotnie

1578. 1982/L

Prawidłowy bieg promieni padających na dwustronne wypukłą soczewkę szklaną, równoległe do jej osi opłyucznej, w przypadku gdy dolna połowa soczewki zanurzona jest w wodzie, a górną wystaje ponad powierzchnię wody przedstawia rysunek:

**1579.** 1988/F

Dwie soczewki dwuwypukłe o jednakowych promieniach krzywizny wykonano z różnych rodzin szkła, ciężkiego ($n_1 = 1,8$) i lekkiego ($n_2 = 1,5$). Ich ogniskowe, w tym samym ośrodku, f_1 i f_2 są:

- A) $f_1 = f_2$
B) $f_1 > f_2$
C) $f_1 < f_2$
D) $f_1 \gg f_2$

1580. 1984/F

Ogniskowa pewnej cienkiej symetrycznej soczewki dwuwypukiej jest w powietrzu równa promieniowi krzywizny powierzchni soczewki. Współczynnik załamania materiału, z którego wykonano soczewkę wynosi:

- A) $n = 1,25$
B) $n = 1,5$
C) $n = 1,75$
D) $n = 2$

1581.

Z dwóch przylegających jedna do drugiej soczewek utworzono obiektyw o zdolności skupiającej -51 . Aby zdolność skupiającą obiektywu wynosiła $+51$ należał dostawić soczewkę o ogniskowej równej:
A) 10 cm
B) -10 cm
C) 5 cm
D) -5 cm

1582.

Prawidłowy bieg promieni w układzie soczewka skupiająca - zwierciadło kuliste o wspólnym ognisku F przedstawiony jest na rysunku:

- A) $\frac{1}{9}$ D
B) 45 D
C) $\frac{20}{9}$ D
D) 90 D

1583. 1993/L

Ogniskowa układu dwóch cienkich soczewek polożonych blisko siebie wynosi f . Jeżeli ogniskowa pierwszej soczewki wynosi f_1 , to ogniskowa drugiej soczewki spełnia związek:

- A) $f_1 = f_2$
B) $f_2 = f \cdot f_1$
C) $f_2 = f + f_1$
D) $f_2 = f \cdot f_1 / (f_1 - f)$
E) $f_2 = f \cdot f_1 / (f_1 + f)$

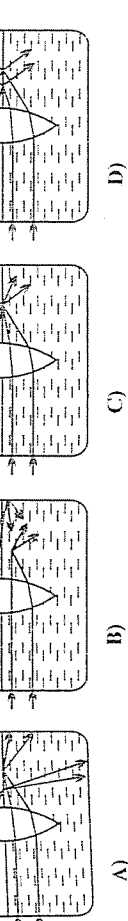
1584.

Dwie soczewki płasko-wypukła i płasko-wleksta o jednakowych promieniach i jednakowych współczynnikach załamania światła złożono jak na rysunku. Prawda jest że:

- A) układ soczewek I jest skupiający, a II rozpraszający
B) zdolność skupiająca układu I jest równa zero, układu II różna od零
C) zdolność skupiająca układu I i II jest równa zero
D) układ soczewek I jest rozpraszający, a układu II skupiający

1585.

Dwie soczewki o jednakowych promieniach krzywizny i takich samych współczynnikach załamania światła, jedna skupiająca, a druga rozpraszająca, umieszczone na wspólnej osi optycznej w odległości $4f$ od siebie (rys.).

**1586.**

Obrzezem przedmiotu OA jest wektor

- A) a
B) b
C) c
D) d

1587. 1991/L

Dwie soczewki dwuwypukłe mają ogniskowe $f_1 = 4\text{cm}$, $f_2 = 5\text{cm}$. Zdolność skupiająca układu zbudowanego z tych soczewek, ustawionych obok siebie na wspólnej osi wyniesie:

- A) $\frac{1}{9}$ D
B) 45 D
C) $\frac{20}{9}$ D
D) 90 D

17. OKO

1603.

- Odległość od obiektywu obrazu preparatu, jaki daje obiektyw, jest równa:
- 6 mm
 - 5 mm
 - 30 mm
 - 30 mm

1604.

- Jaka powinna być odległość pomiędzy obrazem preparatu utworzonym przez obiektyw, a okularem?

- 2,6 cm
- 3,5 cm
- 25 cm
- 6 cm

1605. 1994/L

- Dwa układy soczewek o zdolnościach skupiających 100 D i 20 D ustawiiono w odległości 100 mm. Zbudowany w ten sposób mikroskop dla odległości dobrego widzenia $d = 25$ cm ma powiększenie:

- 5
- 50
- 200
- 500
- 500

1606.

- Powiększenie liniowe mikroskopu jest równe p. Zwiększać zdolność skupiającą obiektywu dwukrotnie i nie zmieniając ogniskowej okularu uzyskany w mikroskopie powiększenie wynoszące:

- p
- 0,5 p
- 4 p
- 2 p

1607. 1995/L

- Na szkła soczewki pada promień światła białego (rysunek). Po przejściu przez soczewkę, w punktach K i L, leżących na osi optycznej powstają ogniska dla barw:

- | | |
|---------------|-------------|
| K | L |
| A. żółtej | fiolowej |
| B. czerwonej | zielonej |
| C) zielonej | niebieskiej |
| D) fioletowej | żółtej |

1608.

- Na soczewkę rozpraszającą pada równoległy wiązka światła będącego mieszaniną światła czerwonego i żółtego. Na białym ekranie E ustawionym za soczewką powstanie:

- czerwone koło z żółtym pierścieniem
- żółte koło z czerwonym pierścieniem
- żółte koło z żółtym pierścieniem
- żółte koło z żółtym pierścieniem
- wszystkie odpowiedzi są fałszywe

1609. 1985/L

- Na soczewkę skupiającą o dużej dyspersji pada wiązka promieni równoległych do osi. Wiązka ta ma przekrój kołowy i jest mieszaniną światła czerwonego i żółtego. Na białym ekranie ustawionym za ogniskiem barwy czerwonej powstaje obraz w postaci:

- czerwonego koła z żółtym pierścieniem
- żółtego koła z żółtym pierścieniem
- żółtego koła z czerwonym pierścieniem
- żółtego koła

1610. 1994/L

- Zwiększać zdolność skupiającą obiektywu dwukrotnie i nie zmieniając ogniskowej okularu uzyskany w mikroskopie powiększenie wynoszące:

- 5
- 50
- 200
- 500

1611.

- Krótkowidz czyta z odległości 16 cm. Ogniskowa soczewki, jakiej powinien używać do czytania z odległości 24 cm, jest równa:

- 16 cm
- 48 cm
- 48 cm
- 24 cm

1612. 1984/L

- Jeżeli człowiek przeniesie wzrok z książki na odległą gwiazdę to zdolność skupiająca twojego oka:

- ogniskowa układu optycznego oka jest równa liczbowo (n-1); n - współczynnik zalamania ośrodków optycznych oka
- zdolność skupiająca układu optycznego oka jest równa 1/doptrii
- zdolność skupiająca układu optycznego oka jest mniejsza, niż przy obserwacji przedmiotów bardziej odległych
- ogniskowa układu optycznego oka jest krótsza, niż długość galki ocznej

1613. 1985/L

- Jeżeli przeniesie wzrok z książki na odległą gwiazdę to zdolność skupiająca twojego oka:

- zwiększenie o około 4 D
- zwiększenie o około 25 D
- wzrost o około 1/4 D
- nie ulegnie zmianie

1614. 1988/F

- Zdolność skupiająca oka ludzkiego jest:

- zawsze jednakowa
- największa przy oglądaniu bliskich przedmiotów
- największa przy oglądaniu dalekich przedmiotów
- zależna od barwy obserwowanych obiektów

1615. 1983/M

- W procesie widzenia narząd wzroku człowieka nie dokonuje analizy:

- rozmięcenia źródła fal
- fazy fal
- amplitudy fal
- częstotliwości fal

1616. 1980/L

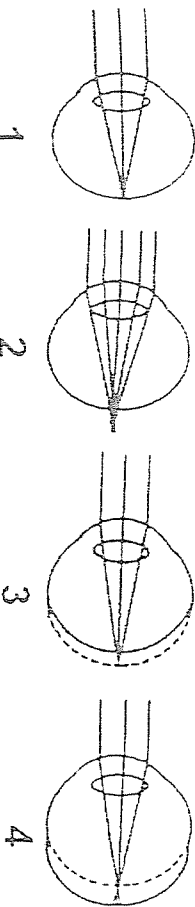
- Oko ludzkie wykazuje różną wrażliwość na barwy. Człowiek widzi najlepiej przy oświetleniu promieniami:

- niebieskimi i fioletowymi
- żółtymi i zielonymi
- połarańcowymi i czerwonymi
- niebieskimi i czerwonymi

- 1617.** 1980L Na białym kartonie zrobiono napis czerwoną farbą. Napis nie będzie widoczny, jeżeli patrzeć będziemy na:
- przez żółtą szybkę
 - przez zieloną szybkę
 - przez czerwoną szybkę
 - przez niebieską szybkę

- 1618.** 1980L Długość fali światła czerwonego w wodzie jest taka sama, jak długość fali światła zielonego w powietrzu. Gdy wodę oświetlony z góry światłem czerwonym, to patrząc w góre pod wodą:
- człowiek zobaczy światło czerwone
 - człowiek zobaczy światło zielone
 - człowiek zobaczy światło białe
 - człowiek nie zobaczy nic, prócz ciemności

- 1619.** 1998L Na poniższym schemacie oko „kielkowzroczne” oznaczono cyfrą:
- 1 2 3 4
- A) 1 B) 2 C) 3 D) 4



- 1620.** 1976L, 1979L Przy obserwacji przedmiotów położonych bliżej oka normalnowzrocznego:
- rogówka oka ma mniejszy promień krzywizny
 - oko ma mniejszą długość
 - soczewka oczna ma większą zdolność skupiąjącą
 - żrenica ma większą średnicę

- 1621.** 1975L, 1979L Akomodacja normalnowzrocznych oczu ludzkich polega na zmianie:
- położenia gałek ocznych przez równoczesne kierowanie ich na określony przedmiot
 - kata zatamania promieni świetlnych w zależności od kąta ich padania
 - położenia soczewki względem siatkówki, w zależności od odległości oglądanych przedmiotów
 - średnicy otworów żrenicy just zbyt mala i nie może się zwiększyć

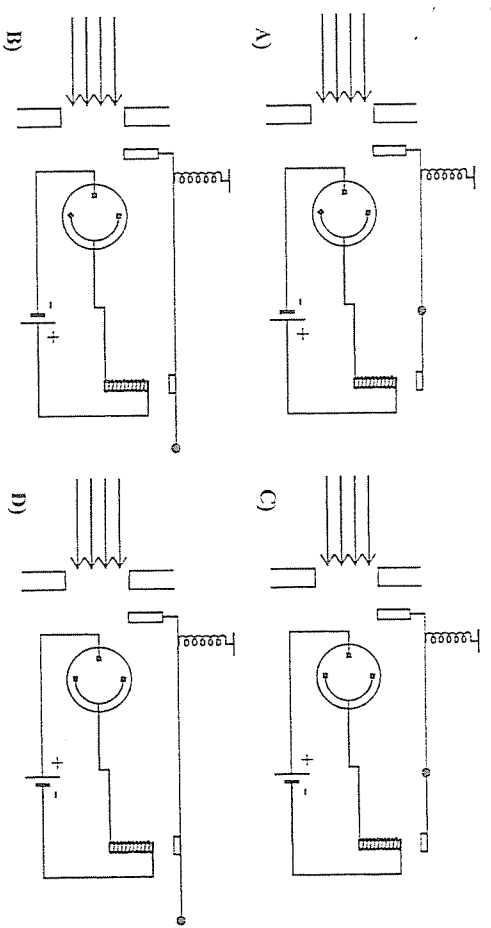
- 1622.** 1975L, 1979L Szkło soczewkach rozpraszających do stałego noszenia konieczne są w przypadku gdy:
- soczewka oka jest zbyt wypukła albo gałka oczna zbyt dłuża
 - środek krzywizny rogówki bądź soczewki nie pokrywa się ze środkiem geometrycznym gałki ocznej
 - soczewka oka jest zbyt płaska albo gałka oczna zbyt krótką
 - średnica otworów żrenicy jest zbyt mala i nie może się zwiększyć

- 1623.** 1977L, 1978L Gdyby możliwy był taki zabieg chirurgiczny, to można by oko krótkowidza doprowadzić do normalnowzroczności przez:
- wyniesienie soczewki ocznej na inną, o mniejszej zdolności skupiąjącej
 - „rozciągnięcie” gałki ocznej wzduż jej osi optycznej
 - wyniesienie rogówki na inną, o większej zdolności skupiąjącej
 - wyniesienie soczewki na inną, o mniejszej zdolności akomodacyjnej

- 1624.** 1977L Gdyby możliwa była tego rodzaju operacja, to oko dalekowidza można by doprowadzić do normalnowzroczności przez:
- „rozciągnięcie” gałki ocznej wzduż jej osi optycznej
 - zwiększenie soczewki ocznej inną, o mniejszej zdolności skupiąjącej
 - wyniesienie rogówki na inną, o mniejszej zdolności skupiąjącej
 - wyniesienie rogówki i soczewki na inną, o mniejszych zdolnościach skupiąjących

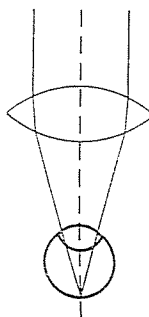
- 1625.** 1981L, 1982L Ogniskowa układu optycznego oka nie akomodującego wynosi 20 mm, a akomodującego 17 mm. Zmiana zdolności skupiąjącej układu optycznego oka wywołana akomodacją wynosi:
- 3 mm
 - 18,5 mm
 - 0,009 dptr
 - 9 dptr

- 1626.** 1976L, 1977L Dostosowanie średnicy żrenicy oka do ilości światła docierającego do oka, uzyskiwanie jest dzięki istniejącemu układowi z ujemnym sprzężeniem zwrotnym. Prawidłowy model tego układu przedstawia rysunek:



1627. 1976/L

Po zapoznaniu się z ryciną przedstawiającą bieg promieni światła do oka, zaopatrzonego w soczewkę korekcyjną, uczanowie stornowali przedstawione niżej wnioski. Wskaz wniosek błędny:



A) jest to oko dalekowzroczne

B) na siatkówce utworzony jest obraz przedmiotu położonego bardzo daleko od oka

C) ogniskowa układu: soczewka korekcyjna + soczewka oczna jest krótsza niż ogniskowa soczewki ocznej

D) zdolność skupiająca układu: soczewka korekcyjna + soczewka oczna maleje w miarę zbliżania się przedmiotu

18. ELEMENTY FIZYKI RELATYWISTYCZNEJ**1628.** 1990/I.

Cdy elektron porusza się z prędkością równą $4/5$ prędkości światła, to stosunek jego masy spoczynkowej do masy relatywistycznej powinien wynieść:

- A) $5 : 3$ B) $5 : 4$ C) $4 : 5$ D) $3 : 5$

1629.

Jesli elektron porusza się z prędkością równą połowie prędkości światła, to stosunek jego masy spoczynkowej do masy relatywistycznej powinien wynieść:

- A) 0,5 B) 0,25 C) 0,57 D) 0,87

1630. 1984/L.

Elektron ($m_0 = 9,1 \cdot 10^{-31} \text{ kg}$) porusza się z prędkością $2 \cdot 10^8 \text{ m/s}$. Jego energia kinetyczna E ma wartość:

- A) $7,8 \cdot 10^{-15} \text{ J}$ B) $13 \cdot 10^{-15} \text{ J}$ C) $18 \cdot 10^{-15} \text{ J}$ D) $28 \cdot 10^{-15} \text{ J}$

1631. 1983/L.

Pięćdość elektronu, przy której jego masa jest równa trzykrotnej masy spoczynkowej ma wartość:

- A) $2\sqrt{2} \cdot 10^8 \text{ m/s}$ B) $\frac{\sqrt{2}}{2} \cdot 10^8 \text{ m/s}$ C) $3\sqrt{2} \cdot 10^8 \text{ m/s}$ D) $\frac{\sqrt{2}}{3} \cdot 10^8 \text{ m/s}$

1632.

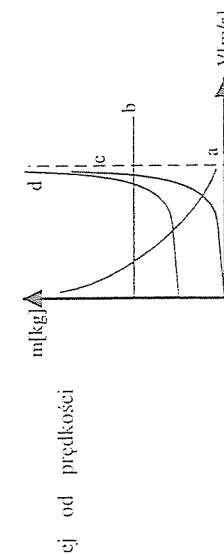
Elektron o mase spoczynkowej m_0 porusza się z prędkością równą $\frac{3}{5}$ prędkości światła. Stosunek masy spoczynkowej do masy relatywistycznej elektronu wynosi:

- A) 1 B) $\frac{3}{4}$ C) $\frac{4}{5}$ D) $\frac{4}{3}$ E) $\frac{5}{4}$

1633.

Wykres zależności masy relatywistycznej od prędkości poruszającego się ciała przedstawia:

A) krzywa a
B) krzywa b
C) krzywa c
D) krzywa d

**1634.** 1988/I.

Wzęli zaniedbać efekty relatywistyczne, to można stwierdzić, że 16-krotny zmianie energii kinetycznej elektronu odpowiada:

- A) 4-krotny wzrost jego prędkości
B) 2-krotna zmiana jego prędkości
C) 4-krotna zmiana jego prędkości
D) 2-krotnie zmniejszenie jego prędkości

Poniższy tekst dotyczy zadań: 1635, 1636, 1637 i 1638

Dwa pojazdy kosmiczne o długości 100m każdy zbliżają się do siebie ze stałymi prędkościami o wartościach $v_1 = v_2 = 0,5 c$ względem Ziemi.

1635.

Predkość jednego pojazdu względem drugiego wynosi:

- A) $0.8c$ B) $\frac{5}{4}c$ C) $\frac{4}{3}c$ D) c E) $\frac{3}{4}c$

1636.

Pasażer jednego z pojazdów stwierdził, że długość drugiego wynosi:

- A) $50\sqrt{3}$ m B) 60 m C) 100 m D) 200 m E) 120 m

1637.

Według obserwatora stojącego na Ziemi każdy przelatujący nad nim pojazd ma długość:

- A) $50\sqrt{3}$ m B) 60 m C) 100 m D) 200 m E) 120 m

1638.
Długość pojazdu zmierzona przez lecącego nim pasażera wynosi:

- A) $50\sqrt{3}$ m B) 60 m C) 100 m D) 200 m E) 120 m

1639. 1992-94/MIS MaP
Czas życia niutonu wynoszący $2 \cdot 10^{-6}$ sekundy, po jego rozpięciu do prędkości $0,995 c$ (gdzie c jest prędkością światła) wyniesie:

- A) 10^{-6} s B) $2 \cdot 10^{-6}$ s C) 10^{-5} s D) $2 \cdot 10^{-5}$ s

1640. 1992-94/MIS MaP
Czas życia niezonu π^+ wynosi (średnio) $2,5 \cdot 10^{-8}$ s. Jaka musi być prędkość niezona π^+ , żeby średnia droga przed rozbiciem wynosiła 10 m:

- A) $4 \cdot 10^7$ m/s B) $2 \cdot 10^8$ m/s C) $3 \cdot 10^8$ m/s D) $4 \cdot 10^8$ m/s

1641.

Czas życia cząstek zwanych niutonami zmierzony zegarem w laboratorium wynosi $2 \cdot 10^{-6}$ s. Jest to (zw. czas własny życia cząstki). Jaka droga przebędzie ta cząstka względem laboratorium, jeśli porusza się z prędkością $v = 0,6 c$?

- A) 600 m B) 288m C) 360m D) 450m E) 120m

1642.

Jakią drogę przebyłyby cząstki (z poprzedniego zadania) względem laboratorium gdyby nie było relatywistycznej dyfatacji czasu?

- A) 600m B) 288m C) 360m D) 450m E) 120m

1643.
Poniższy tekst dotyczy zadań **1643** i **1644**
W środku wagonu poruszającego się ze stałą prędkością znajduje się obserwator, który wysyla sygnały świetlne. Światło po dotarciu do drzwi z przodu i z tyłu wagonu powoduje ich otwarcie.

Pasażer wagonu zauważał, że:

- A) drzwi z przodu i z tyłu otwierają się równocześnie
B) wcześniej otworzyły się drzwi z przodu wagonu
C) wcześniej otworzyły się drzwi z tyłu wagonu
D) jeżeli prędkość wagonu jest mniejsza od c , to drzwi otworzyły się równocześnie
E) jeżeli prędkość wagonu jest większa od c , to drzwi otworzyły się równocześnie

1644.

Obserwator znajdującej się na peronie stwierdza, że:

- A) drzwi z przodu i z tyłu otwierają się równocześnie
B) wcześniej otworzyły się drzwi z przodu wagonu
C) wcześniej otworzyły się drzwi z tyłu wagonu
D) jeżeli prędkość wagonu jest mniejsza od c , to drzwi otworzyły się równocześnie
E) jeżeli prędkość wagonu jest większa od c , to drzwi otworzyły się równocześnie

1645.

Z jaką prędkością powinna poruszać się cząstka, aby jej energia kinetyczna była równa energii spoczynkowej:

- A) $\frac{1}{2}c$ B) $\frac{1}{4}c$ C) $\frac{2\sqrt{3}}{3}c$ D) $2\sqrt{2}c$ E) $\frac{\sqrt{3}}{2}c$

1646.
Jaka część energii całkowitej jest energią kinetyczną cząstki poruszającej się z prędkością $v=0,6c$:

- A) 80% B) 75% C) 60% D) 40% E) 20%

1647.

Które zdanie dotyczące prędkości światła jest falszowe?

- A) nie można związać układu odniesienia z promieniem świetlnym
B) wartość prędkości światła nie zależy od nocy źródła bądź obserwatora
C) energię kinetyczną cząstki można zwiększać nieograniczenie lecz jej prędkość nigdy nie osiągnie wartości c
D) żaden obiekt o niezerowej masie spoczynkowej nie może poruszać się z prędkością większą od prędkości światła, lecz co najwyżej może mieć prędkość równą c

1648.

Spośród poniższych zdani wybierz zdanie falszowe:

- A) w mechanice klasycznej długość oraz odstęp czasu mają charakter absolutny, a w mechanice relatywistycznej długość jest względna i odstęp czasu jest względny
B) zdarzenia jednocześnie w jednym układzie odniesienia nie muszą być jednocześnie w innym układzie
C) aby opisać zdarzenie w teorii względności należy podać jego współrzędne w czterowymiarowej czasoprzestrzeni
D) zgodnie z zasadą względności relatywistyczne skrócenie zachodzi we wszystkich kierunkach, niezależnie od prędkości ciała

1649.

Masa ciała równa jest trzykrotnie masy spoczynkowej. Jaka pracę wykonano rozprężając to ciało?

- A) $W = \frac{mc^2}{2}$ B) $W = 3m_0c^2$ C) $W = 2m_0c^2$

1650.

Długość ciała w układzie w którym ono spoczyna:

- A) jest najmniejsza
B) jest największa
C) jest taka sama we wszystkich układach odniesienia
D) zależy od prędkości układu odniesienia
E) brak poprawnej odpowiedzi

19. DUALIZM KORPUSKULARNO – FALOWY

1651. Czas życia nietrwałej cząstki elementarnej:

- A) jest najdłuższy w układzie inertialnym względem którego cząstka spoczywa
- B) jest najkrótszy w układzie inertialnym którego cząstka porusza się
- C) jest jednakowy we wszystkich inertjalnych układach odniesienia
- D) jest najdłuższy w układzie inertialnym względem którego cząstka porusza się z $v > c$
- E) jest najdłuższy w układzie inertialnym którego cząstka porusza się z $v < c$

1652.

Potwierdzeniem słuszności wzoru $E = mc^2$ jest:

- A) powstawanie par cząstka – antycząstka
- B) anihilacja par cząstka – antycząstka
- C) wydzielenie energii przy rozszczepieniu ciężkich jader
- D) wydzielenie energii przy syntezie lekkich jader
- E) wszystko co powiedziano powyżej

1653.

Transformacja Galileusza jest słuszna gdy układ S' porusza się względem układu inertjalnego S z prędkością v :

- A) dowolna
- B) $v > c$
- C) $v < c$
- D) $v = c$
- E) brak poprawnej odpowiedzi

1654. 1984/M

Maksimum natężenia promieniowania ciała doskonale czarnego w temperaturze T przypada na długość fali λ . Jeżeli zwiększy się temperatura tego ciała o $1/4$ T , to długość fali dla której przypada maksimum natężenia promieniowania:

- A) wzrośnie o $1/4$
- B) wzrośnie o $1/5$
- C) zmniejszy się o $1/4$
- D) zmniejszy się o $1/5$

1655. 1984/M/F

Jeżeli temperatura ciała doskonale czarnego podniesiemy od 300 K do 600 K, to całkowita ilość energii emitowanej w jednostce czasu przez to ciało zwiekszy się:

- A) 2 razy
- B) 4 razy
- C) 8 razy
- D) 16 razy

1656. 1986/I/F

Rysunek przedstawia widma promieniowania ciała doskonale czarnego dla temperatur T_1 i T_2 . O temperaturach tych oraz o mocach emitowanego promieniowania P_1 i P_2 można powiedzieć, że:

- A) $T_1 > T_2$ $P_1 = P_2$
- B) $T_1 > T_2$ $P_1 > P_2$
- C) $T_1 < T_2$ $P_1 < P_2$
- D) $T_1 = T_2$ $P_1 > P_2$

1657. 1992-94/MIS MaP

W białej błzie, w porównaniu z czarną będzie nam:

- A) chłodniej w promieniach słońca, ale cieplej zimną nocą
- B) cieplej w promieniach słońca i zimną nocą
- C) chłodniej w promieniach słońca i zimną nocą
- D) wszystko jedno

1658. 1992-94/MIS MaP

Dlugosć fali przy której natężenie promieniowania gwiazdy osiąga maksimum:

- A) zależy od odległości od gwiazdy
- B) zależy od temperatury powierzchni gwiazdy
- C) jest wspólna dla wszystkich gwiazd Galaktyki
- D) zależy od położenia gwiazdy w Galaktyce

1659.

Długość fali, dla której przypada maksimum promieniowania ciała doskonale czarnego, którego temperatura równa się 37°C , wynosi (stąd Wiena $C = 2898 \mu\text{m}\cdot\text{K}$):

- A) $9,35 \mu\text{m}$
- B) $78,3 \mu\text{m}$
- C) $12,3 \mu\text{m}$
- D) $9,35 \text{ nm}$

1660. 1992-94/MIS MaP

Dwie jednakowe planety (które można traktować jak ciała doskonale czarne) krażą w odległościach r i $2r$ od gwiazdy. Stosunek ich temperatur powierzchniowych wynosi odpowiednio:

- A) $2 : 1$
- B) $1 : 2$
- C) $\sqrt{2} : 1$
- D) $4 : 1$

1661.

W czasie ogrzewania ciała doskonale czarnego maksimum promieniowania przesunęło się od λ_1 do λ_2 . Temperatura ciała:

- A) wzrosła $\frac{\lambda_1}{\lambda_2}$ razy B) wzrosła $\frac{\lambda_2}{\lambda_1}$ razy C) zmalała $\frac{\lambda_1}{\lambda_2}$ razy D) nie uległa zmianie

1662.

Energia wyemitowana w jednostce czasu przez jednostkę powierzchni ciała doskonale czarnego (z poprzedniego zadania):

- A) wzrosła $\left(\frac{\lambda_1}{\lambda_2}\right)^2$ razy
B) zmalała $\left(\frac{\lambda_1}{\lambda_2}\right)^2$ razy
C) wzrosła $\left(\frac{\lambda_1}{\lambda_2}\right)^4$ razy
D) zmalała $\left(\frac{\lambda_1}{\lambda_2}\right)^4$ razy

1663. 1992-94/MLS Małp

Czula waga o identycznych szalkach (jednej posobrzonej, a drugiej pokrytej sadzą) znajduje się w ciemności w stanie równowagi. Waga znajduje się w próżni. W pewnej chwili nad wagą zapalone lampki. W efekcie:

- A) równowaaga nie została zachwiana
B) szalka z sadzą obniżyła się
C) szalka posobrzana obniżyła się
D) szalki waga zostały wprowione w ruch wahadłowy

1664.

Zależność pędu fotonu p od częstotliwości w przedstawia wyrażenie:

- A) $h\nu'$
B) $c(h\nu)$
C) $h\nu/c$
D) $v\nu h$

1665. 1992-94/MLS Małp

Dla którego spośród nizzej wymienionych zakresów promieniowania elektromagnetycznego pędy fotonów osiągają największe wartości:

- A) światło widzialne
B) promienie X
C) promienie podczerwone
D) promienie gamma

1666. 1994/I.

Jesli pęd fotonu zmalał dwa razy, to jego energia:

- A) zmalała 4 razy
B) zmalała 2 razy
C) nie uległa zmianie
D) zmalała 1/2 razy

1667. 1998/I.

W którym z podanych nizzej zestawień energię fotonów promieniowania elektromagnetycznego są uszeregowane rosnaco?

- A) światło widzialne, promieniowanie ultrafioletowe, promieniowanie gamma
B) promieniowanie gamma, promieniowanie ultrafioletowe, światło widzialne
C) światło widzialne, promieniowanie podczerwone, promieniowanie X
D) promieniowanie X, światło widzialne, promieniowanie ultrafioletowe

1668. 1992-94/MLS Małp

Przy przejściu światła z jednego ośrodku do drugiego (o innym współczynniku załamania) nie ulega zmianie:

- A) $n_{ex} = n_f = n_i$
B) $n_{ex} < n_f < n_i$
C) $n_{ex} > n_f > n_i$
D) natężenie

1669. 1997/I.

W pewnym ośrodku energia fotonu o długości fali λ ma wartość E. Współczynnik załamania n tego ośrodku można obliczyć ze wzoru (c - prędkość światła w próżni, h - stała Plancka):

- A) $n = \frac{E\lambda}{h}$
B) $n = \frac{ch}{E\lambda}$
C) $n = \frac{\lambda h}{cE}$
D) $n = \frac{c}{E\lambda}$

1670.

Źródło monochromatyczne o mocy $P = 10^{-2}$ W wysyla $n = 10^{13}$ fotonów na sekundę. Jeżeli stała Plancka jest równa $6,625 \cdot 10^{-34}$ Js, to długość fali wysyłanych fotoniów jest równa:

$$A) 19,875 \cdot 10^{-11} \text{ m}$$

$$B) 19,875 \cdot 10^{-11} \text{ m}$$

$$C) 19,875 \cdot 10^1 \text{ m}$$

$$D) 19,875 \cdot 10^{11} \text{ m}$$

1671. 1990/F

Foton o energii $9 \cdot 10^{-19}$ J ma pęd równy:

- A) $3 \cdot 10^{-27} \text{ kgm/s}$
B) 10^{-3} kgm/s
C) 10^{-35} kgm/s
D) $3 \cdot 10^{-11} \text{ kgm/s}$

1672. 1998/I.

Długości fal światła niebieskiego i żółtego wynoszą, odpowiednio, $\lambda_1 = 0,45 \text{ } \mu\text{m}$, $\lambda_2 = 0,60 \text{ } \mu\text{m}$. Pędy fotoniów tych barw, odpowiednio, p₁ i p₂ spełniają związek:

- A) $p_2 = \frac{9}{16} p_1$
B) $p_2 = \frac{3}{4} p_1$
C) $p_2 = \frac{4}{3} p_1$
D) $p_2 = \frac{16}{9} p_1$

1673. 1986/F

Energia fotonu A jest dwa razy większa od energii fotonu B. Pędy tych fotonów spełniają związek:

$$A) P_A / P_B = 1/2$$

$$B) P_A / P_B = 1$$

$$C) P_A / P_B = 2$$

$$D) P_A / P_B = 4$$

1674.

Największa energia mają fotony światła o barwie:

$$A) fioletowej$$

$$B) zielonej$$

$$C) niebieskiej$$

$$D) żółtej$$

$$E) czerwonej$$

1675. 1983/F

Jesli p - pęd, λ - długość fali, h - stała Plancka, c - prędkość światła, to dla fotonu prawdziwy jest wzór:

$$A) p = h\lambda$$

$$B) p = \lambda / h$$

$$C) p = \lambda / h$$

$$D) p = hc / \lambda$$

$$D) p = h/\lambda$$

1676. 1984/I, 1987/I

Energia kwantu promieniowania rentgenowskiego o długości fali $\lambda_R = 5 \cdot 10^{-9} \text{ m}$, jeśli większa od energii fotoniów światła widzialnego o długości fali $\lambda_s = 0,4 \text{ } \mu\text{m}$:

$$A) 80 \text{ razy}$$

$$B) 125 \text{ razy}$$

$$C) 800 \text{ razy}$$

$$D) 1250 \text{ razy}$$

1677. 1988/F

Słotnosc energii fotonu promieniowania rentgenowskiego o długości fali 10^{-10} m do energii fotonu światła fioletowego o długości $4 \cdot 10^{-7} \text{ m}$ jest równy:

$$A) 4 \cdot 10^{-7}$$

$$B) 2,5 \cdot 10^{-4}$$

$$C) 2,5 \cdot 10^2$$

$$D) 4 \cdot 10^{-13}$$

1678. 1986/I.

Trzy, źródła światła wysyłają promieniowanie o jednakowej mocy. Pierwsze z nich emisuje światło czarwone, drugie - zielone, trzecie - fioletowe. Liczby fotoniów n_{ex} , n_f , n_i emitowanych przez te źródła w jednostce czasu spełniają zależności:

$$A) n_{ex} = n_f = n_i$$

$$B) n_{ex} < n_f < n_i$$

$$C) n_{ex} > n_f > n_i$$

$$D) n_{ex} > n_f = n_i$$

1679. 1997/L

Metalowa kula, o zerowym potencjał elektrostaticznym, zawieszona na nieprzewodzącej nici, oświetlono światłem fotelowym, powodując zjawisko fotoelektryczne. Przy stałym natężeniu oświetlenia potencjał elektryczny kuli z upływem czasu:

- A) pozostaje zerowy, kula jest obojętna elektrycznie
- B) rośnie lub maleje, w zależności od rodzaju metalu
- C) maleje i kula elektryzuje się ujemnie
- D) rośnie i kula elektryzuje się dodatnio

1680.

Kula metalowa jest oświetlona fotonami o energii $h\nu > W$ (W - praca wyjścia elektronów z kuli). Potencjał, do jakiego nataduje się kula, jest równy:

- A) $(h\nu - W)e^{-1}$
- B) $h\nu/W$
- C) 0
- D) $(h\nu + W)e^{-1}$

1681.

Praca wyjścia elektronów dla płytki wykonanej z cezu jest 1,9 eV. Minimalna częstotliwość fotonu wywołującego fotoefekt zewnątrzny wynosi. Stała Plancka $6,625 \cdot 10^{-34}$ Js.

- A) $0,28 \cdot 10^{14}$ Hz
- B) $0,46 \cdot 10^{15}$ Hz
- C) $0,28 \cdot 10^{14}$ Hz
- D) $0,46 \cdot 10^{15}$ Hz

1682. 1992-94/MIS MaP

Iakin światłem halogenowym oświetlić powierzchnię metalu, aby uzyskać elektryny o jak największych predkościach:

- A) fioletowym
- B) żółtym
- C) zielonym
- D) niebieskim

1683. 1992-94/MIS MaP

Korpuskularna natura światła ujawnia się w zjawisku:

- A) fotoelektrycznym
- B) interferencji
- C) dyfrakcji
- D) zalamania

1684. 1992-94/MIS MaP

Energia kinetyczna elektronów wybijanych przez światło z powierzchni metalu zależy od:

- A) natężenia padającego światła oraz pracy wyjścia z metalu
- B) długości fali padającego światła oraz pracy wyjścia z metalu
- C) natężenia oraz długości fali padającego światła
- D) tylko pracy wyjścia z metalu

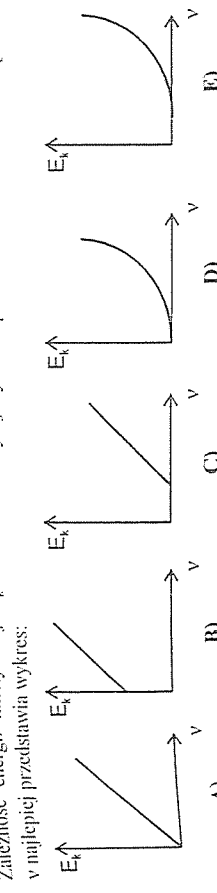
1685. 1995/L

Jeżeli W oznacza pracę wyjścia elektronów z pewnego metalu, c - prędkość rozchodzązenia się światła w przód, to minimalna wartość pędu fotonu wywołującego zjawisko fotoelektryczne jest równa:

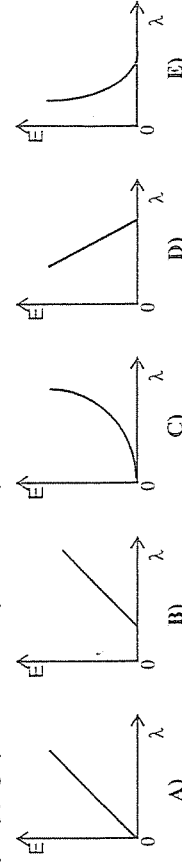
$$\text{A)} 2W/c \quad \text{B)} W/c \quad \text{C)} W/2c \quad \text{D)} \sqrt{\frac{2W}{c}}$$

1686. 1993/L

Zależność energii kinetycznej E_k elektronów wybijanych z powierzchni metalu od częstotliwości v najlepiej przedstawia wykres:

**1687.** 1994/L

Zależność energii kinetycznej E fotoelektronu wybijego z metalu przez światło od długości fali λ padającego promieniowania przedstawia rysunek:

**1688.** 1984/L

Praca wyjścia elektronów z wapnia wynosi 3eV. Maksymalne liczby elektronów n_1 i n_2 wybitych z płytki wapniowej odpowiednio przez 500 fotonów o energii 6eV i przez 1000 fotonów o energii 1,5 eV są równe:

- A) $n_1 = 500$, $n_2 = 1000$
- B) $n_1 = 1000$, $n_2 = 500$
- C) $n_1 = 500$, $n_2 = 0$
- D) $n_1 = 1000$, $n_2 = 0$

1689. 1989/F

Wykresy przedstawiają zależność maksymalnej energii kinetycznej E fotoelektronów od:
 A) natężenia światła dla dwóch metali
 B) częstotliwości światła dla dwóch metali
 C) częstotliwości światła przy dwóch jego natężeniach
 D) natężenia światła przy dwóch jego częstotliwościach

1690. 1992/L

Predkość elektronów wybijanych przez światło z katody fotokomórki zależy:
 A) od natężenia padającego światła i materiału katody
 B) od częstotliwości padającego światła i jego natężenia
 C) tylko od rodzaju materiału, z którego zbudowana jest katoda
 D) tylko od natężenia padającego na katodę światła
 E) od długości fali światła i pracy wyjścia elektronów z katody

1691. 1989/L

Na płytę metalową pada foton o energii E i wybiija elektron nadając mu pewną energię kinetyczną. Podwojenie energii padającego fotonu powoduje trzykrotny wzrost energii kinetycznej fotoelektronu. Praca wyjścia elektronów z tego metalu jest równa:

- A) $W = 2E$
- B) $W = E$
- C) $W = \frac{E}{2}$
- D) $W = \frac{E}{3}$
- E) $W = \frac{3}{4}E$

1692. 1986/F

Energia fotonu bombardującego metal jest trzy razy większa od pracy wyjścia elektronu opuszczającego metal. Jaka część energii fotonu stanowi energia kinetyczna elektronu opuszczającego metal:

- A) $\frac{1}{3}$
- B) $\frac{1}{2}$
- C) $\frac{2}{3}$
- D) $\frac{3}{4}$

1693.

Zjawisko Comptona polega na:

- termoemisji elektronów z metalu
- fotonemisji elektronów z powierzchni metalu
- przejścia elektronu z wyższego poziomu energetycznego na niższy
- przejścia elektronu z niższego poziomu energetycznego na wyższy
- rozpraszaniu promieniowania elektromagnetycznego w zderzeniach ze swobodnymi elektronami

1694.

Zjawisko Comptona można wyjaśnić w oparciu o:

- zasadę zachowania pędu
- zasadę zachowania energii
- teorię kwantową
- odpowiedzi A, B i C
- odpowiedzi A i C

1695.

O kwantowej naturze promieniowania elektromagnetycznego świadczy:

- polaryzacja światła
- efekt fotoelektryczny i interferencja promieni X
- zjawisko Comptona i całkowite weewnętrzne odbięcie
- odbięcie promieni X od powierzchni kryształu dla ściśle określonych kątów padania
- efekt fotoelektryczny i zjawisko Comptona

1696.

1992-94/MLS MaP Długość fali promieniowania rozproszonego na skutek zjawiska Comptona jest w stosunku do długości fali promieniowania padającego:

- większa
- większa lub mniejsza zależnie od stosowanego promieniowania
- mniejsza
- większa lub mniejsza zależnie od materiału rozpraszającego

1697.

1992-94/MLS MaP Efekt Comptona świadczy o:

- falowej naturze elektronu
- ujemnym ładunku elektronu
- korpuskularnej naturze promieniowania elektromagnetycznego
- fałowej naturze promieniowania elektromagnetycznego

1698.

1995/l. Kwantowa natura światła ujawnia się w zjawisku:

- dyspersji światła
- dyfrakcji światła
- odbięcia światła
- emitacji elektronów pod działaniem światła

1699.

1985/l. Z poniższejka się cząstka o masie m skojarzona jest fala de Broglie'a o długości λ . Energia kinetyczna tej cząstki jest równa:

- $\frac{mv^2}{2\lambda}$
- $\frac{mv^2}{2h^2}$
- $\frac{h^2}{2m\lambda^2}$
- $\frac{2h^2}{m\lambda^2}$
- $\frac{h^2}{m\lambda^2}$

1700. 1999/l.

Dwie cząstki o masach m_1 i m_2 posiadają jednakołe energie kinetyczne a $m_2 = 900 m_1$. Stosunek długości fal de Broglie'a λ_1/λ_2 odpowiadających tym cząstkom jest:

$$\text{A)} \frac{1}{900} \quad \text{B)} \frac{1}{30} \quad \text{C)} 30 \quad \text{D)} 900$$

1701. 1998/l.

Długość fali de Broglie'a odpowiadającej elektronowi (ładunek = e, masa = m) przyspieszonemu różnicą potencjałów U można wyrazić wzorem (\hbar = stała Plancka):

$$\text{A)} \lambda = \frac{\hbar}{\sqrt{2emU}} \quad \text{B)} \lambda = \frac{\hbar}{2emU} \quad \text{C)} \lambda = \frac{U}{2ime} \quad \text{D)} \lambda = \frac{U}{\sqrt{2ime}}$$

1702. 1992/l.

Energia kinetyczna elektronu zwiększała się czterokrotnie. Długość fali de Broglie'a odpowiadająca temu elektronowi:

$$\text{A)} \text{zwiększała się czterokrotnie} \quad \text{D)} \text{zwiększała się czterokrotnie} \\ \text{B)} \text{zwiększała się dwukrotnie} \quad \text{E)} \text{nie zmieniała się} \\ \text{C)} \text{zwiększała się dwukrotnie}$$

1703. 1984/l.

Wiązce elektronów w mikroskopie elektronowym można przypisać długość fali de Broglie'a porównywającą z długością fali promieniowania:

$$\text{A)} \text{podczerwonego} \quad \text{B)} \text{widzialnego} \quad \text{C)} \text{nadmigdałowego} \quad \text{D)} \text{rentgenowskiego}$$

1704. 1986/l.

Niepewność położenia elektronu wynosi $0,5 \cdot 10^{-10}$ m, co odpowiada promieniowi pierwszej orbity Bohra w atomie wodoru. Stała Plancka $\hbar = 6,62 \cdot 10^{-34}$ Js. Niepewność określenia pędu wynosi:

$$\text{A)} \Delta p > 2,11 \cdot 10^{-24} \text{ kg m/s} \quad \text{C)} \Delta p < 3,31 \cdot 10^{-44} \text{ kg m/s} \\ \text{B)} \Delta p = 13,24 \cdot 10^{-24} \text{ kg m/s} \quad \text{D)} \Delta p = 3,31 \cdot 10^{-44} \text{ kg m/s}$$

1705. 1992-94/MLS MaP

W mikroskopie elektronowym po podwojeniu przyłożonego napięcia następują następujące zmiany właściwości elektronów:

- podwojenie energii, pędu i długości fali de Broglie
- powiększenie o czynnik $\sqrt{2}$ energii, pędu i długości fali de Broglie
- podwojenie energii oraz powiększenie o czynnik $\sqrt{2}$ pędu i długości fali de Broglie
- podwojenie energii, powiększenie o czynnik $\sqrt{2}$ pędu oraz zmniejszenie o czynnik $\sqrt{2}$ długości fali de Broglie

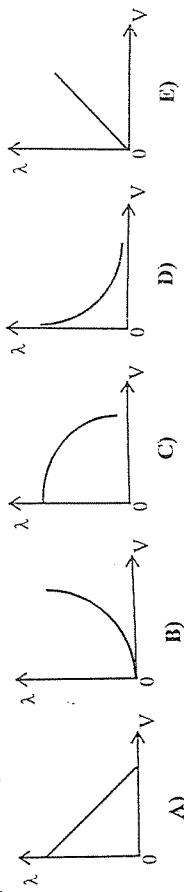
1706. 1994/l.

Jeśli długość fali de Broglie'a odpowiadających elektronowi i protonowi są równe, to pęd cząstek p_e i p_p oraz ich energie kinetyczne E_{ke} i E_{kp} spełniają zależności:

$$\text{A)} \quad p_e = p_p \quad E_{ke} > E_{kp} \\ \text{B)} \quad p_e < p_p \quad E_{ke} = E_{kp} \\ \text{C)} \quad p_e = p_p \quad E_{ke} = E_{kp} \\ \text{D)} \quad p_e = p_p \quad E_{ke} < E_{kp} \\ \text{E)} \quad p_e > p_p \quad E_{ke} > E_{kp}$$

1707. 1993/L

Zależność długości fali de Broglie'a λ związannej z poruszającą się cząstką od prędkości V tej cząstki prawidłowo przedstawia wykres:



20. PROMIENIOWANIE RENTGENOWSKIE

1708.

Promieniowanie rentgenowskie powstaje w wyniku:
 A) zderzenia elektronu z atomem
 B) hamowania elektronów w katodzie
 C) hamowania elektronów w anodzie
 D) hamowania protonów w katodzie
 E) odpowiedź A i C

1709. 1990/F

Jeżeli kąt odbicia promieni rentgenowskich o długości fali λ , odbitych od powierzchni dwóch różnych kryształów K i L, przy obserwacji pierwotnych wzmacnieni są $\Theta_K = \frac{1}{2}\Theta_L$, to odległość między sąsiednimi warstwami atomów, odpowiednio, d_K i d_L spełniają zależność:

$$\text{A)} \frac{d_K}{d_L} = \frac{1}{2} \quad \text{B)} \frac{d_K}{d_L} = 2 \quad \text{C)} \frac{d_K}{d_L} = \frac{1}{2 \cos \Theta_K} \quad \text{D)} \frac{d_K}{d_L} = 2 \cos \Theta_K$$

1710.

Kierunek rozechodzenia się promieniowania rentgenowskiego można zmienić w celu określania odległości pomiędzy płaszczyznami krystalograficznymi wykorzystując:

- A) podczas odbicia wiązki od powierzchni kryształu
- B) podczas odbicia wiązki od powierzchni kryształu tylko dla części określonych kątów padania
- C) po przejściu przez silne, sektorowe pole magnetyczne
- D) po przejściu przez silne, sektorowe pole elektryczne
- E) odpowiedź C i D

1711.

W celu określania odległości pomiędzy płaszczyznami krystalograficznymi wykorzystuje się:

- A) zjawisko odbicia i interferencji promieniowania X
- B) zjawisko odbicia i polaryzacji promieniowania X
- C) zjawisko pochłaniania promieniowania X
- D) zjawisko dyfrakcji i pochłaniania promieniowania X
- E) zjawisko odbicia i załamania promieniowania X w warstwie przypowierzchniowej

1712.

Długość fali promieniowania X odbitego od kryształu wyraża się wzorem:
 (α – kąt polysku; h – stała Plancka; n = 1,2,3,...; U – napięcie przypieszające w lampie rentgenowskiej.
 V – prędkość elektronów)

$$\text{A)} \lambda = d \sin \alpha$$

$$\text{B)} \lambda = \frac{hc}{eU}$$

$$\text{C)} \lambda = \frac{h}{nV}$$

$$\text{D)} \lambda = \frac{2d}{n} \cdot \sin \alpha$$

$$\text{E)} \text{brak prawidłowej odpowiedzi}$$

1713. 1984/L

Jeśli dla promieniowania rentgenowskiego o $\lambda = 30 \text{ nm}$ odbić pierwszego rzędu obserwuje się pod kątem 45 stopni, to odległość pomiędzy płaszczyznami kryształu wynosi:
 A) $2,1 \cdot 10^{-10} \text{ m}$
 B) $3,0 \cdot 10^{-10} \text{ m}$
 C) $4,2 \cdot 10^{-10} \text{ m}$
 D) $2,1 \cdot 10^{-8} \text{ m}$

1714. 1992-94/MIS MaP
Po oświetleniu struktury kryształczej promieniami Rentgena powstają obrazy dyfrakcyjne dlatego, że:

- A) odległości pomiędzy atomami w kryształku są dużo większe od długości fali promieni Rentgena
- B) odległości pomiędzy atomami w kryształku są zbliżone do długości fali promieni Rentgena
- C) odległości pomiędzy atomami w kryształku są dużo mniejsze od długości fali promieni Rentgena
- D) odległości pomiędzy atomami w kryształku są duzo mniejsze od długości fali promieni Rentgena

1715. 1992-94/MIS MaP
Wiązka promieni X pada na kryształ pod kątem 30° (rys.).

Warunek wzmocnienia dla określonej długości fali λ promieni Rentgena odnychodzących od płaszczyzny kryształu spełnia równanie:

$$C) \lambda = d$$

$$D) \lambda = \frac{\sqrt{3}d}{2}$$

1716. 1991/L

Promień X powstający w lampie rentgenowskiej:

- a) odchyla się w polu elektrycznym
- b) rozechodzi się po liniach prostych
- c) mają charakter falowy i cząsteczkowy
- d) nie odchyla się w polu magnetycznym
- e) są niewidoczne dla oka ludzkiego

Poprawne są odpowiedzi:
 A) abc B) bcede
 C) abede D) adcd

1717.

Częstotliwość odpowiadająca krótkofałowej granicy promieniowania X w zależności od napięcia przyspieszającego elektronów w lampie rentgenowskiej przedstawia wykres:

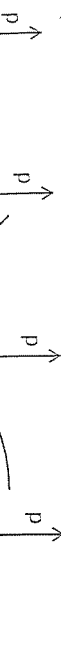


1718. 1992-94/MIS MaP
Napięcie przyspieszające lampę rentgenowską wynosi 100 kV. Maksymalna energia kwantów promieniowania rentgenowskiego wyniesie:

- A) 50 keV
- B) 100 keV
- C) 200 keV
- D) 100 kJ

1719.

Zależność prędkości fotona odpowiadającego krótkofałowej granicy promieniowania X od napięcia U między katodą i anodą w lampie rentgenowskiej przedstawia wykres:



1720. 1992-94/MIS MaP
Promienie rentgenowskie:

- A) nie podlega zjawiskom dyfrakcji i interferencji
- B) odchylają się w polu magnetycznym
- C) odchodzą się w polu elektrycznym
- D) wywołują jonizację gazów i wzbudzają luminescencję

1721. 1991/L

Płytki metalowe o grubości d zmniejsza natężenie promieniowania rentgenowskiego dwukrotnie. Płytki z tego samego materiału o grubości 4 razy zwiększa natężenie promieniowania:

- A) 2 razy
- B) 4 razy
- C) 8 razy
- D) 16 razy

1722. 1990/F

Lampa rentgenowska emituje fotony o maksymalnej częstotliwości równej $9,5 \cdot 10^{18} \text{ Hz}$. Jeżeli przyjąć, że stosunek stałej Plancka do ładunku elektronu $h/e = 4 \cdot 10^{-15} \text{ Vs}$, to napięcie przyspieszające w tej lampie jest równe około:

- A) $3 \cdot 10^3 \text{ V}$
- B) $38 \cdot 10^3 \text{ V}$
- C) $38 \cdot 10^4 \text{ V}$
- D) $30 \cdot 10^5 \text{ V}$

1723.

Na płytkę o określonej grubości pada wiązka promieniowania rentgenowskiego. Natężenie wiązki przechodzącej będzie największe w przypadku, gdy płytka jest z:

- A) ołowiu
- B) złota
- C) węgla
- D) srebra
- E) boru

1724. 1990/L

Spośród czterech osi o jednakowej grubości, wykonanych z aluminium, miedzi, srebra, cyny najbardziej osiąbi wąską wiązkę promieniowania rentgenowskiego osiąona wykonana z:

- A) aluminium ($Z = 13$)
- B) miedzi ($Z = 20$)
- C) srebra ($Z = 47$)
- D) cyny ($Z = 50$)

1725. 1978/L, 1980/F

Zastosowanie promieni rentgenowskich w diagnostyce lekarskiej możliwe jest, ponieważ:

- A) promieniowanie rtg wywołuje jonizację
- B) współczynnik absorpcji promieniowania rtg jest zależny od liczby atomowej pierwiastka absorbera
- C) ukanki zbadowane są z pierwiastków o mniejszej liczbie atomowej
- D) promieniowanie rtg nie odchyla się w polu magnetycznym ani w polu elektrycznym

1726. 1987/L

Zmniejszenie napięcia między anodą i katodą lampy rentgenowskiej o ΔU spowodowało dwukrotne zwiększenie długości fali odpowiadającej krótkofałowej granicy ciągłego widma rentgenowskiego. Początkowa wartość tej granicy można obliczyć z wyrażenia:

$$A) \frac{hc}{eAU}$$

$$B) \frac{2eAU}{hc}$$

$$C) \frac{eAU}{2hc}$$

$$D) \frac{hc}{2eAU}$$

1727. 1978/L

Który z níżej wymienionych czynników decyduje o przenikliwości promieni powstających w lampie rentgenowej:

- A) odległość między katodą i anodykatodą
- B) napięcie między katodą i anodykatodą
- C) pole powierzchni anodykatodą
- D) temperatura katody

1728.

Krótkofalowa grajająca promieniowania rentgenowskiego zależy od:

- A) materiału katody
- B) napięcia pomiędzy anodą i katodą
- C) temperatury katody
- D) rodzaju antykatody
- E) ciśnienia i rodzaju gazów resztkowych w lampie rentgenowskiej

1729. 1983/L

W otrzymujących widmach charakterystycznych promieni rentgenowskich, w miarę wzrostu liczby atomowej materiału antykatody, liczba serii składających się na dane widmo:

- A) maleje i długosć fal linii należących do określonej serii również maleje
- B) rośnie, a długosć fal linii należących do określonej serii maleje
- C) maleje, a długosći fal linii należących do określonej serii rosną
- D) rośnie i długosći fal linii należących do określonej serii również rosną

1730. 1988/L

Znajęcie predkosc̄ światła c, ładunków elementarnych e oraz minimalną długosć fal promieniowania rentgenowskiego wyysłanego przez lampa zasilaną napięciem U, można wyliczyć rosnąć korzystając z zależności:

$$\text{A)} \ h = \frac{e\lambda}{c} \quad \text{B)} \ h = \frac{c}{eU} \quad \text{C)} \ h = \frac{eU}{c\lambda} \quad \text{D)} \ h = \frac{c\lambda}{eU}$$

1731. 1988/L

W wyniku naswietlenia promieniami Roentgena metalowa płyta została naładowana. Znak jej ładunku jest:

- A) dodatni i równy ładunkowi elektronu
- B) ujemny i równy wielokrotności ładunku elektronu
- C) dodatni i równy wielokrotności ładunku elektronu
- D) ujemny i równy ładunkowi elektronu

1732. 1988/L

Jeżeli anode lampy rentgenowskiej bombardują elektryny o pedzlu p, masie m i ładunku q, to maksymalny ped kwantów emitowanego przez nią promieniowania jest równy:

$$\text{A)} \ \frac{p^2}{2mc} \quad \text{B)} \ \frac{p^2}{mc} \quad \text{C)} \ \frac{p^2}{2mc^2} \quad \text{D)} \ p$$

1734. 1981/L

Czarniejsze miejsca na rentgenogramie odpowiadają tkankom miękkim, ponieważ promieniowanie rig o dłuższej falii jest mniej przenikliwe:

- A) I
- B) II
- C) III
- D) IV

1735.

Lampa rentgenowska emisuje:

- A) widmo ciągłe
- B) widmo charakterystyczne atomów katody
- C) widmo charakterystyczne atomów anody

1736.

W widmie promieniowania lampy rentgenowskiej obserwujemy na tle widma ciągłego linie charakterystyczne. Położenie tych linii zależy od:

- A) napięcia pomiędzy anodą i katodą
- B) natężenia wiązki protonów emitowanych z katody
- C) materiału antykatody
- D) odległości pomiędzy anodą i katodą
- E) temperatury katody

1737.

W badaniach struktur kryształów wykorzystuje się :

- A) widmo ciągłe promieniowania rentgenowskiego
- B) promieniowanie X o ścisłe określonej długosci fali
- C) pochłanianie promieniowania X
- D) zjawisko zatańania promieni X
- E) zjawisko odbicia i zatańania promieniowania X

1738.

Jeżeli U_{ak} oznacza napięcie, a I_{ak} jest natężeniem prądu pomiędzy anodą i katodą, to natężenie i przenikalność promieniowania X zależy od:

	NATĘŻENIE	PRZENIKLIWOŚĆ
A)	I_{ak}	U_{ak}
B)	I_{ak}	I_{ak}
C)	I_{ak}	$I_{ak}^{-\infty}$
D)	I_{ak}, U_{ak}	U_{ak}
E)	nie zależy ani od I_{ak} ani od I_{ak}	zależy od I_{ak} i U_{ak}

1739. 1984/L

Natężenie promieni X otrzymane przy napięciu 50 kV zostaje zmniejszone do połowy po przejściu przez 6 cm warstwie substancji. Grubość warstwy tej substancji potrzebna do zredukowania do 1/8 natężenia początkowego wynosi:

- A) 12 cm
- B) 18 cm
- C) 24 cm
- D) 32 cm

1740. 1979/L

Jeśli z podanych poniżej wersji zakonczenia zdania jest nieprawdziwa – wskaz laj:

- Zwiększenie napięcia przyłożonego do elektrod próżniowej lampy rentgenowskiej spowoduje A) wzrost natężenia promieniowania
- B) pojawiение się fal krótkich
- C) zmniejszenie przenikalności promieniowania rentgenowskiego antykatodą
- D) wzrost prędkości elektronów bombardujących antykatodę

1733. 1981/F

Ciągłe widmo promieniowania rentgenowskiego na granicę od strony fal krótkich, ponieważ wzrost napięcia anodowego powoduje zwiększenie energii kinetycznej elektronów hamowanych na antykatodzie:

- A) II
- B) II
- C) III
- D) IV

21. BUDOWA ATOMU

1741. 1985/I.
Aby z lampy r_{tg} (schemat) otrzymać wiązkę promieniowania rentgenowskiego o największym natężeniu i najbardziej przejrzystym, przechętniki P₁ i P₂ należy ustawić w położeniu:

	P ₂	P ₁
A)	1	d
B)	4	a
C)	1	a
D)	4	d

1742.

Promieniowanie rentgenowskiego nie emituje:

- A) telewizor
B) monitor komputera
C) fotokomórka

- D) odpowiedź A i B
E) odpowiedź A, B i C

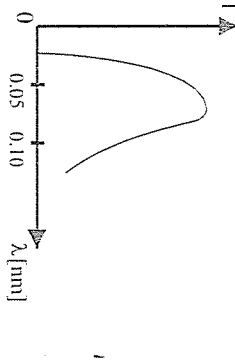
1743. 1981/I.

Pomiędzy napięciem anodowym lampy rentgenowskiej i krótkofalową granicą widma promieni r_{tg} istnieje zależność:

$$U = \frac{B}{\lambda_{\text{gr}}^{\alpha}}, \text{ gdzie stała } B = 1,25 \cdot 10^{-6} \text{ Vm}$$

Z przedstawionego wykresu widma promieniowania pewnej lampy wynika, że zasięgana jest ona napiętem:

- A) $2,5 \cdot 10^5 \text{ V}$
B) $5 \cdot 10^5 \text{ V}$
C) $2,5 \cdot 10^4 \text{ V}$
D) $5 \cdot 10^4 \text{ V}$



1744.

Promienie katodowe to:

- A) neutrony
B) protony
C) deuteryony
D) cząstki α
E) elektrony

1745.

Doświadczenie J.Francka i E.Hertza wykazało, że:

- A) czas życia atomu w stanie wzmaczony jest czasem skończonym
B) istnieje wzmaczony stan atomu o dyskretnej wartości energii
C) energia jonizującej atomu r_c wynosi 10.4 eV
D) emisja wymuszona jest zjawiskiem rezonansowym

1746.

W doświadczeniu Rutherforda większość cząstek α przelotowała przez cienkie folie metalowe. Fakt ten można tłumaczyć tym, że:

- A) cząstki α trafiały w przestrzeń międzymiądłowej
B) dodatni ładunek jest skupiony w jądrze atomu o bardzo malej objętości
C) cząstki α są wystarczająco małe aby przechodzić swoobodnie przez dowolny rodzaj materii
D) cząstki α były przyspieszane w polu elektronów
E) A i B

1747. 1992-94/MIS MaP

Rozmiary atomu są rzędu:

- A) 10^{-8} m

- B) 10^{-8} cm

- C) $10^{-8} \mu\text{m}$

- D) 10^{-8} nm

1748.

Wartość momentu pędu elektronu w atomie wodoru zmienia się o wartość $\frac{h}{2\pi}$ przy przejściu elektronu:

- A) między dwiema sąsiednimi orbitami
B) tylko między pierwszą a drugą orbitą
C) między dowolnymi orbitami
D) wszystkie odpowiedzi są prawdziwe

1749.

Moment pędu elektronu w atomie wodoru, przy przejściu z orbity trzeciej na drugą:

- A) wzrosła o $\frac{h}{2\pi}$
B) wzrosła o $\frac{h}{\pi}$
C) maleje o $\frac{h}{2\pi}$
D) maleje o $\frac{h}{\pi}$

1750.

Na której powłoce w atomie wodoru Bohra moment pędu elektronu wynosi $\frac{2h}{\pi}$:

- A) $n = 1$

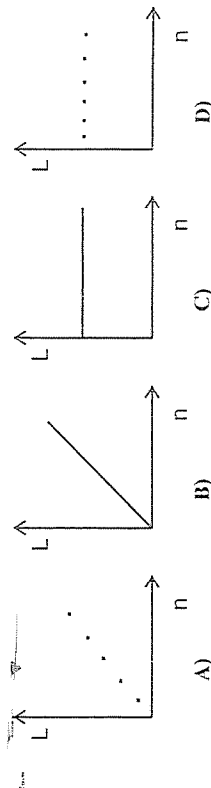
- B) $n = 2$

- C) $n = 3$

- D) $n = 4$

1751.

Zależność momentu pędu L elektronu krążącego wokół jądra w atomie wodoru od głównej liczby kwantowej n przedstawia wykres:

**1752.**

Energia kinetyczna elektronu w atomie wodoru przy przejściu z orbity pierwszej na orbitę drugą:

- A) wzrośnie 4 razy B) zmniejsze 2 razy C) nie zmieni się D) wzrośnie 2 razy

1753.

Energia potencjalna elektronu w atomie wodoru przy przejściu z orbity pierwszej na orbitę drugą:

- A) nie zmieni się B) zmniejsze 2 razy C) wzrośnie 4 razy D) zmniejsze 4 razy

1754.

1992–94/MIS MaP

Energia jonizacji atomu wodoru wynosi około:

- A) 14 keV B) 14 eV C) 14 meV D) 14 MeV

1755.

Prawdziwą jest że:

- A) całkowita energia krążącego elektronu wokół jądra w atomie wodoru jest większa na orbicie K niż na orbicie L
 B) moment pędu elektronu krążącego wokół jądra maleje wraz ze wzrostem promienia orbity
 C) energia potencjalna elektrostatyczna elektronu w atomie wodoru maleje, gdy promień orbity rośnie
 D) prędkość liniowa elektronu krążącego wokół jądra maleje wraz ze wzrostem promienia orbity

1756. 1992–94/MIS MaP

Elektron w atomie wodoru przechodzi ze stanu o liczbie kwantowej n do stanu o liczbie kwantowej m ($n > m$). Przejście to wiąże się z:

- A) emisją promieniowania B) absorpcją promieniowania C) jonizacją atomu D) rozpadem promieniotwórczym

1757.

Energia fotonu odpowiadającego granicy serii widłowej Balmera wynosi:

- A) 10,2 eV B) 13,6 eV C) – 3,4 eV D) 3,4 eV

1758.

Energia jonizacji atomu wodoru znajdującej się w stanie podstawowym wynosi E_0 . Pęd fotonu emitowanego przy przejściu z orbity drugiej na orbitę pierwszą jest równy:

- A) $\frac{E_0}{4c}$ B) $\frac{3E_0}{4c}$ C) $\frac{E_0}{2c}$ D) $\frac{E_0}{c}$

1759.

Przejście elektronu z orbity pierwszej na orbitę drugą zwijane jest z : (R – stała Rydberga)

- A) wyprzemiennianiem energii równej $\frac{3}{4} hcR$
 B) pochłonięciem energii równej $\frac{1}{4} hcR$
 C) pochłonięciem energii równej $\frac{3}{4} hcR$
 D) wyprzemiennianiem energii równej $\frac{1}{4} hcR$

1760. 1993/I.

Jeżeli energia elektronu na pierwszej orbicie jest E_0 , to energia fotonu emitowanego podczas powrotu elektronu z trzeciej orbity na pierwszą równa jest wyrażeniu:

- A) $E_0 / 9$ B) $E_0 / 3$ C) $E_0 / \sqrt{3}$ D) $8E_0 / 9$ E) E_0

1761.

Elektronowy krążączek wokół jądra na pierwszej orbicie o promieniu r można przypisać falę de Broglie'a o długości równej:

- A) $\frac{\hbar}{\pi r}$ B) $2\pi r$ C) $\frac{\hbar}{2\pi r}$ D) $\frac{\hbar^2}{\pi r}$

1762. 1995/MIS MaP

W widmie pewnego pierwiastka znalazcono 3 linie o długościach fal λ_1 , λ_2 oraz λ_3 . Okazało się, że między tymi trzema wielkościami istnieje prosta zależność. Najbardziej logiczny jest zwijzek:

- A) $\lambda_1 = \lambda_2 + \lambda_3$, gdyż interferencja dwóch fal daje w wyniku trzecią
 B) $1/\lambda_1 = 1/\lambda_2 + 1/\lambda_3$, gdyż długość fali jest powiększana z różnicą energii poziomów
 C) $\lambda_1^2 = \lambda_2^2 + \lambda_3^2$, co wynika z zależności energii poziomu od liczby kwantowej n
 D) $1/\lambda_1^2 = 1/\lambda_2^2 + 1/\lambda_3^2$, co wynika z zależności energii poziomu od liczby kwantowej n

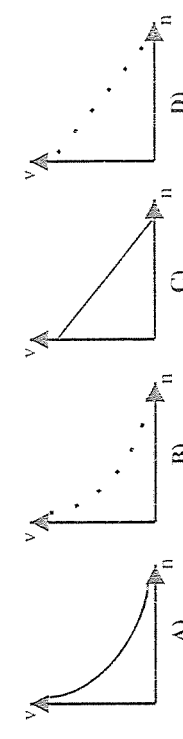
1763. 1988/F

Sposób obliczenia energii kinetycznej E_k elektronu w atomie wodoru według Bohra do jego energii potencjalnej E_p jest taki:

- A) $\frac{E_k}{E_p} = \frac{1}{2}$ B) $\frac{E_k}{E_p} = -\frac{1}{2}$ C) $\frac{E_k}{E_p} = 2$ D) $\frac{E_k}{E_p} = -2$

1764. 1986/L

Zależność prędkości v elektronu w atomie wodoru od głównej liczby kwantowej n najlepiej przedstawia rysunek:



1765.

Energia elektronu na pierwszej orbicie w atomie wodoru wynosi -13.6 eV . Energia elektronów na drugiej, trzeciej i czwartej orbicie, wyrażone weV, wynoszą odpowiednio:

	2	3	4
A)	-6.8	-4.53	-3.4
B)	-3.4	-4.53	-6.8
C)	-3.4	-1.51	-0.85
D)	-3.4	-1.51	-0.54
E)	-0.85	-1.51	-3.4

1766. 1992/l.

Energia elektronu w atomie wodoru, wg Bohra, w stanie podstawowym wynosi $E_1 = -13.6 \text{ eV}$. Energia jonizacji tego atomu ma wartość:

- A) 27.2 eV B) $\frac{13.6}{2} \text{ eV}$ C) $\frac{13.6}{4} \text{ eV}$ D) około $\frac{13.6}{9} \text{ eV}$ E) 13.6 eV
- A) 1.5 eV B) 4.5 eV C) 9.1 eV D) 12.1 eV

1767. 1990/l.

Energia elektronu na pierwszej orbicie dozwolonej w atomie wodoru ma wartość $E_1 = -13.6 \text{ eV}$. Przeskakując z tej orbity na trzecią orbitę elektron pochłania kwant energii o wartości:

- A) 1.5 eV B) 1.9 eV C) 0.85 eV D) 1.5 eV E) 12.1 eV

1768. 1990/l.

Energia elektronu na pierwszej orbicie w atomie wodoru wynosi -13.6 eV . Podczas przejścia elektronu z trzeciej orbity na drugą jest emitowany kwant energii równy:

- A) 3.4 eV

$$\text{Długość fali odpowiadającej granicy serii widmowej w atomie wodoru obliczany za wzorem:}$$

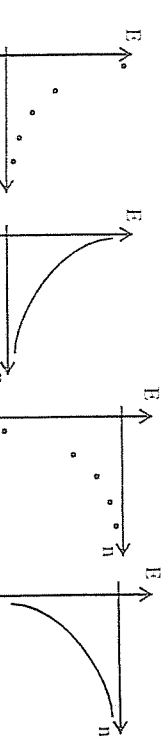
$$\text{A)} \frac{1}{\lambda} = cR \left(\frac{1}{n^2} - \frac{1}{k^2} \right) \quad \text{C)} \frac{1}{\lambda} = \frac{cR}{n^2}$$

$$\text{B)} \frac{1}{\lambda} = \frac{R}{n^2} \quad \text{D)} \frac{1}{\lambda} = cR \left(\frac{1}{n^2} + \frac{1}{k^2} \right)$$

1769. 1983/l.

Wodor nadświetlany promieniowanym przejście elektronu z powłoki K na powłokę M wywoła własne promieniowanie, w którym można wyróżnić:

- A) jedną linię serii Balmera
B) jedną linię serii Lymana
C) dwie linie serii Balmera
D) dwie linie serii Lymana i jedną linię serii Balmera
E) jedną linię serii Lymana i jedną linię serii Balmera

**1770.** W atomie wodoru, promieniowanie jest emitowane w zakresie widzialnym przy przejściu elektronu z powłoki:

- A) N na M B) M na L C) L na K D) I, na M

1771. Seria Lymana w widmie atomu wodoru występuje:

- A) w zakresie widzialnym
B) w podczerwieni
C) w nadfiolecie

1772. Symbole n i k w wyrażeniu na liczbę falową:

$$\frac{1}{\lambda} = R \left(\frac{1}{n^2} - \frac{1}{k^2} \right)$$

odpowiadające pierwszej lini serii Balmera, czyli prążkowi o minimalnej energii, przyjmują wartości:

- A) $n = 1$ k = 2
B) $n = 2$ k = 1
C) $n = 2$ k = 3
D) $n = 3$ k = 2
E) $n = 3$ k = 4

1773. 1980/l.

W czasie przeskoku elektronu w atomie wodoru z orbity trzeciej na drugą, na miejsce:

- A) absorpcji kwantu energii $h\nu = E_3 - E_2$,
B) absorpcji kwantu energii $h\nu = E_2 - E_1$,
C) emisja kwantu dającego w widmie prążek należący do serii Paschena,
D) emisja kwantu dającego w widmie prążek należący do serii Balmera.

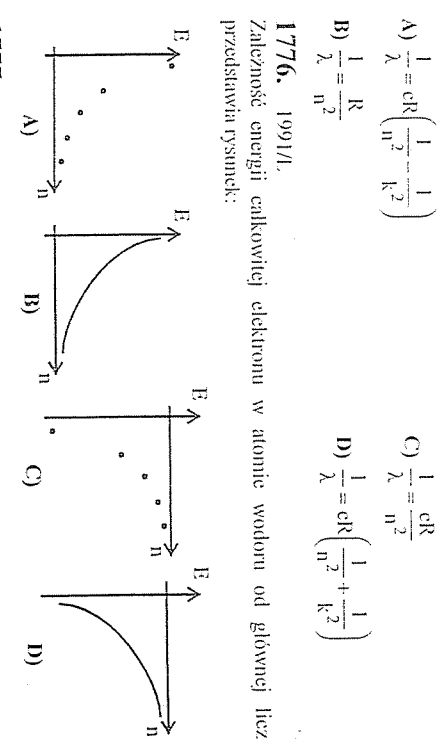
1774. 1978/l.

Częstotliwość pierwszej linii widmowej serii Balmera:

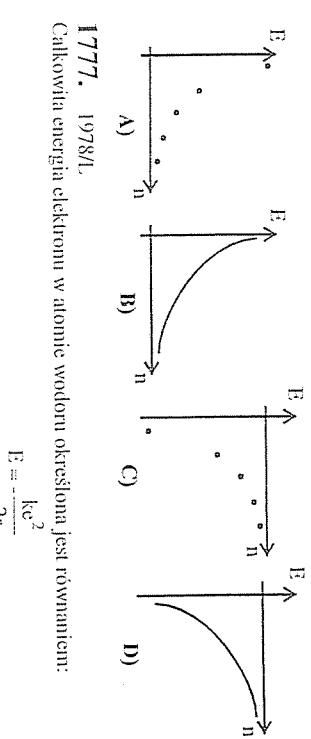
- A) jest równa częstotliwości pierwszej linii widmowej serii Lymana;
B) jest większa od częstotliwości pierwszej linii serii Lymana;
C) jest równa częstotliwości drugiej linii widmowej serii Lymana;
D) jest równa różnicy częstotliwości dwóch linii widmowych serii Lymana;

1775. 1983/l.

Zależność energii całkowitej elektronu w atomie wodoru od głównej liczby kwantowej najlepiej przedstawić rysunkiem:

**1776.** 1991/l.

Zależność energii całkowitej elektronu w atomie wodoru od głównej liczby kwantowej najlepiej przedstawić rysunkiem:

**1777.** 1978/l.

Calkowita energia elektronu w atomie wodoru określona jest równaniem:

$$E = -\frac{ke^2}{2r}$$

Z faktu, że energia elektronu jest zawsze ujemna wynika:

- A) że na drugiej orbicie jest ona większa niż na pierwszej;
B) że na drugiej orbicie jest ona mniejsza niż na pierwszej;
C) że energia protonu jest dodatnia;
D) że przy przechodzienu z orbity pierwszej na drugą elektron traci energię.

1778. 1980/I.

Wiadomo, że na trzeciej orbicie atomu wodoru elektron posiada energię 9-krotnie większą niż na pierwszej. Energia elektronu na drugiej orbicie stanowi:

- A) 1/4 energii na pierwszej orbicie;
- B) 1/3 energii na pierwszej orbicie;
- C) trzykrotną wartość energii elektronu na pierwszej orbicie;
- D) czterokrotną wartość energii elektronu na pierwszej orbicie.

1779.

Atom wodoru wyemitował foton o długości fali λ . Jeżeli masa atomu wodoru jest m , to energia kinetyczna odzysku atomu wodoru może być obliczona ze wzoru:

$$\text{A)} E_k = mc^2 \quad \text{B)} E_k = \frac{\hbar^2}{2m\lambda^2} \quad \text{C)} E_k = \frac{\hbar c}{\lambda} \quad \text{D)} E_k = \frac{mc^2}{2\hbar^2}$$

1780. 1992–94/MiS MaP

Wodór podobny atom nionowy zbudowany jest z protonu i nionu ujennego μ^- o masie około 200 razy większej od masy elektronu. Promień pierwszej orbity Bohra atomu nionowego jest w stosunku do atomu wodoru:

- A) taki sam
- B) 200 razy większy
- C) 40000 razy mniejszy
- D) 200 razy mniejszy

1781. 1995/MiS MaP

Liniowe widmo absorpcyjne powstaje w wyniku rozszczepienia światła wysyłanego przez:

- A) gorący świecyce gaz
- B) rogarzane ciała stałe
- C) rogorzane ciała ciekłe
- D) źródło promieniowania ciągłego, po przepuszczeniu (tego światła) przez jednoatomowy zimny gaz lub parę

1782. 1992–94/MiS MaP

Świetłowa kula tej samej mocy co żarówka wydziela więcej światła gdyż:

- A) ma lepszy kształt
- B) wysyla mniej promieniowania cieplnego
- C) wysyla mniej promieniowania ultrafioletowego
- D) pracuje w wyższej temperaturze

1783. 1995/MiS MaP

Aby zidentyfikować światło laserowe wystarczy sprawdzić:

- A) stan polaryzacji
- B) monochromatyczność
- C) zdolność do interferencji przy dużej różnicy dróg optycznych
- D) rozbieżność i zdolność do zogniskowania

1784.

Poniżej podano kilka informacji dotyczących liczb kwantowych:

- I. Główna liczba kwantowa n decyduje o rozmiarach obszaru orbitalnego.
- II. Pobooczna liczba kwantowa l decyduje o kształcie obszaru orbitalnego.
- III. Magnetyczna liczba kwantowa m decyduje o orientacji przestrzennej obszaru orbitalnego.
- IV. Dopuszczalne wartości magnetycznej liczby kwantowej mieszczą się w przedziale $< -l < l >$.

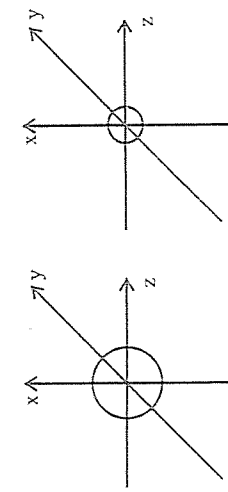
Poprawnymi stwierdzeniami są zdania:

- A) I i II
- B) III i IV
- C) II, III i IV
- D) I, II, III
- E) wszystkie

1785. 1987/F.

Kształt orbitalu atomowego określany za pomocą liczby kwantowej:

- A) głównej
- B) poboocznej
- C) spinowej
- D) magnetycznej



1786. 1983/F.

Dwa przedstawione orbitale tego samego typu różnią się liczbą kwantową:

- A) pobooczna
- B) spinowa
- C) główną
- D) magnetyczną

1787. 1982/F.

O orientacji przestrzennej obszaru orbitalnego w ramach danej podołyki decyduje:

- A) główna
- B) pobooczna
- C) magnetyczna
- D) spinowa

1788. 1981/L.

Zbiór stanów kwantowych o tych samych wartościach: głównej, pobocznej i magnetycznej liczby kwantowej nazywany:

- A) powłoką
- B) podołyką
- C) położeniem orbitalnym (orbitalem)
- D) konfiguracją elektronową atomu

1789. 1986/F.

Które z poniższych elektronów opisanych liczbami kwantowymi n, l, m, m_s znajdują się na tej samej podołyce energetycznej?

	n	l	m	m_s
I.	3	2	0	+1/2
II.	4	2	1	+1/2
III.	3	2	1	-1/2
IV.	2	3	2	+1/2
V.	3	1	0	-1/2

1790. 1986/F.

Elektrony o których mowa w zadaniu 1789 znajdują się na:

	powłoki	podołyki
A)	2	2p
B)	3	2s
C)	4	4f
D)	3	3d

1791. 1981/l:

Który zespół wartości liczb kwantowych może opisywać elektrony $3p^2$?

22. JĄDRO ATOMOWE I CZĄSTKI ELEMENTARNE

1792. 1989/L
W podpowiadce f mogą wystąpić następujące wartości magnetycznej liczby kwantowej:

- A) -3, -2, -1, 0, +1, +2, +3, +4
 C) -4, -3, -2, -1, 0, +1, +2, +3, +4
 D) -1, 0, +1

1793. 1981/L
Kolejność zajmowania stanów kwantowych w danej podpowiadce jest określona przez:

- A) regułę Hunda
 B) zakaz Pauliego
 C) zasadę Heisenberga
 D) prawo Mendelejewa

1794. 1990/L
Który zestaw liczb kwantowych dotyczy elektronów atomu helu:

jeden elektron			drugi elektron		
n	m	m _l	n	m	m _l
A)	1	1	0	-1/2	1
B)	1	0	0	-1/2	1
C)	1	0	1	0	0
D)	1	1	-1/2	1	1

1795. 1982/L
Dla głównej liczby kwantowej n = 4 maksymalne ilości elektronów na podpowłokach wynoszą odpowiednio:

- A) 8, 8, 8; B) 2, 8, 8, 14; C) 2, 6, 10, 14; D) 2, 8, 14, 2;

1796. 1979/AR
Atom pierwiastka o liczbie atomowej 23 posiada na poszczególnych powłokach elektronowych następującą liczbę elektronów:

- A) K² L³ M⁸ N³; B) K² L¹ M¹³ N²; C) K² L³ M¹¹ N²; D) K² L³ N⁷;

1797.

Konfiguracja elektronowa pierwiastka może być przedstawiona za pomocą konfiguracji gazu szlachetnego. Która z przedstawionych poniżej konfiguracji chromu jest poprawna?

- A) [Ar] 4s²3d⁵ B) [Ar] 4s¹3d⁵ C) [Ar] 3d⁶ D) [Ar] 4s²4p³ E) [Ar] 4s⁴p³

1798. 1984/L
Maksymalna liczba elektronów w atomach posiadających jednakowe liczby kwantowe n wynosi X, n i l wynosi Y, n, l i m wynosi Z. Prawidłowe przyporządkowanie podaje odpowiedź:

X	Y	Z
A)	2n ²	2(2l+1)
B)	n ²	2l+1
C)	2n ²	2(2l+1)
D)	2n ²	n ²
E)	2n ²	2(n+l)

1801. 1989/L
Naturalny chlор o masie atomowej 35,45 jest mieszaniną dwóch nuklidów ^{35}Cl i ^{37}Cl . Procentowa zawartość tych nuklidów w naturalnym chlorzec wynosi:

	^{35}Cl	^{37}Cl
A)	64,5	35,5
B)	22,5	77,5
C)	24,5	75,5
D)	77,5	22,5

1802. 1990/L
Masa atomowa pierwiastka stanowiącego mieszaninę dwóch izotopów o liczbie masowej 69 i zawartości procentowej 60,2% oraz o liczbie masowej 71 i zawartości procentowej 39,8%, wynosi:

A) 69,79u

B) 70,25u

C) 70,85u

D) 71,69u

1803. 1986/L
Masa atomowa pierwiastka zawierającego 75% izotopu mającego w jądrze 63 nukleony, oraz 25% izotopu mającego 65 nukleony, wynosi około:

A) 63,5

B) 64,0

C) 64,5

D) 65,0

1804. 1984/L
Naturalna mieszanka składa się z izotopów ^{63}Cu i ^{65}Cu . Stosunek liczby atomów ^{63}Cu do liczby atomów ^{65}Cu w mieszaninie jest równy 8/3. Średnia masa atomowa wynosi:

A) 63,35

B) 63,54

C) 64,00

D) 64,05

1805. 1977/L

Wzorcem mas atomowych jest izotop węgla o masie atomowej 12,000. W tabelach mas atomowych określonych natomiast, że masa atomowa węgla wynosi 12,01115. Z porównania tych dwóch wartości wynika, że:

- A) masa atomowa izotopu węgla ^{12}C podana jest w przybliżeniu;
- B) pierwiastek węgiel składa się co najmniej z dwóch izotopów, przy czym masa atomowa drugiego izotopu musi być większa od 12;
- C) wartość 12,01115 określa masę atomową zupełnie innych atomów, wchodzących w skład pierwiastka węgla;
- D) izotopy węgla w rzeczywistości nie istnieją, stanowią jedynie teoretyczny model mas atomowych.

1806. 1976/L

W celu obliczenia liczby neutronów znajdujących się w jądrze danego nuklidu trzeba znać:

- A) liczbę elektronów i liczbę protonów znajdujących się w atomie;
- B) liczbę atomową i masę atomową tego pierwiastka;
- C) liczbę atomową i liczbę masową tego pierwiastka;
- D) liczbę masową i masę atomową tego pierwiastka.

1807. 1975/L

Która para nuklidów stanowi izotopy? (Nuklidy oznaczono ogólnym symbolem E).

- A) ^{35}E i ^{37}E B) ^{36}E i ^{38}E C) ^{40}E i ^{40}E D) ^{35}E i ^{39}E

1808. 1974/L

Różnicę między pojęciem izotopu, a pojęciem nuklidu wyjaśnia zdanie:

- A) izotopami nazywany odniany danego pierwiastka, a nuklidami odniany izotopowe wszystkich pierwiastków;
- B) pojęcie izotopu odnosi się do odniania pierwiastka, różniących się liczbą masową, a atomy poszczególnych izotopów noszą nazwę nuklidów;
- C) izotopy się odniany pierwiastka różniące się liczbą masową, a nuklidy są to składniki jądra;
- D) izotopy są to odniany promieniotwórcze pierwiastka, a nuklidy są to odniania różniące się liczbą masową.

1809. 1989/F

Masa atomowa $_{40}^{40}\text{Zr}$ wynosi 91,22u. Informacja ta pozwala na następujące stwierdzenie:

- A) każdy atom cyrkonu zawiera 51 neutronów;
- B) każdy atom nuklidu cyrkonu zawiera 51 neutronów;
- C) jeżeli istnieje nuklid $^{91}_{40}\text{Zr}$ to jego atom zawiera 51 neutronów;
- D) naturalny cyrkon stanowi mieszankę dwóch izotopów $^{90}_{40}\text{Zr}$ i $^{92}_{40}\text{Zr}$.

1810. 1979/AR

Jednakowa liczba neutronów w jądrze zawiera następująca para atomów:

- A) $^{17}_{8}\text{O}$ i $^{9}_{5}\text{F}$ B) $^{19}_{10}\text{K}$ i $^{40}_{20}\text{Ca}$ C) $^{35}_{17}\text{Cl}$ i $^{37}_{17}\text{Cl}$ D) $^{12}_{6}\text{C}$ i $^{13}_{6}\text{C}$

1811. 1985/L

Wodór, deuter i tryt różnią się między sobą liczbą:

- A) protonów;
- B) elektronów;
- C) atomów;
- D) neutronów.

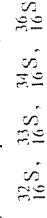
1812. 1980/F

Jaka liczba pierwiastków chemicznych przeceniuje następujący zbiór nuklidów:

- A) ^2_1H , $^{18}_9\text{B}$, $^{19}_8\text{C}$, $^{18}_8\text{D}$, $^{13}_7\text{E}$, $^{18}_9\text{F}$, $^{12}_5\text{G}$
 B) pięć C) sześć D) siedem

1813. 1978/AR

Czym różniat się atomy siarki, których symbole podano niżej?



- A) liczbę elektronów w atomie, która kolejno wynosi 32, 33, 34, 36;
- B) liczbę protonów, która wynosi kolejno 16, 17, 18, 20;
- C) liczbę neutronów, która wynosi kolejno 16, 17, 18, 20;
- D) liczbę neutronów, która wynosi kolejno 32, 33, 34, 36.

1814. 1979/AR

Praktycznie o masie atomu decydują:

- A) tylko neutrony;
- B) tylko protony;
- C) protony i elektrony;
- D) tylko nukleony.

1815. 1984/F

Srednica jądra $^{23}_{13}\text{Al}$ jest większa od średnicy jądra $^{11}_1\text{H}$ około:

- A) 27 razy; B) 13 razy; C) 5 razy; D) 3 razy.

1816. 1995/MIS Map

Izotopy uranu różnią się między sobą:

- A) właściwościami chemicznymi;
- B) ilością protonów w jądrze;
- C) gęstością;
- D) konfiguracją elektronową.

1817. 1992-94/MIS Map

Masa cząstkialfa jest:

- A) większa od sumy mas dwóch protonów i dwóch neutronów;
- B) mniejsza od sumy mas dwóch protonów i dwóch neutronów;
- C) taka sama mas dwóch protonów i dwóch neutronów;
- D) równa sumie mas czterech neutronów.

1818. 1992-94/MIS Map

Energia wiązania jądra atomowego o masie M_p liczbie atomowej Z i liczbie masowej A jest równa wyrażeniu: $(m_p - m_n)c^2$ – masa protonu, m_n – masa neutronu, c – prędkość światła w próżni

- C) $[Zm_p + (A-Z)m_n - M_p]c^2$
 D) $[Zm_n + (A-Z)m_p - M_p]c^2$

1819. 1992-94/MIS Map

Masa jądra deuteru jest:

- A) większa od sumy mas protonu i neutronu;
- B) mniejsza od sumy mas protonu i neutronu;
- C) równa sumie mas protonu i neutronu;
- D) równa sumie mas dwóch protonów.

1820.

Ille wynosi deficyt masy deuteru wiedząc, że:

- masa protonu wynosi 1,007277 u
- masa neutronu wynosi 1,008665 u
- masa jądra ^2_1D wynosi 2,014102 u
- A) 0,001840 u
 B) 1,005437 u
 C) 0,001388 u
- D) 1,006825 u
 E) 1,007277 u

1821. Które z poniższych zdani są prawdziwe:

- I. proces łagowania jąder atomowych w bardzo wysokich temperaturach nazywany syntezą termojądrową

II. energię wyzzieloną podczas tego procesu nazywaną energią termojądrową reakcje termojądrowe są to reakcje jądrowe w których rozpadowi jąder atomowych towarzyszy bardzo duży pobór energii

III. reakcje termojądrowe nie są możliwe w warunkach ziemskich, natomiast zachodzą we wnętrzu gwiazd

- A) I i II B) tylko IV C) I i IV D) I, II i IV E) tylko III

1822. 1982/I. W procesie najprostszej reakcji termojądrowej wyzwała się duża ilość energii, a to w związku z tym, że:

- A) suma mas spoczynkowych dwóch jąder ciężkiego wodoru jest większa od masy spoczynkowej powstającego z nich jądra helu

B) suma mas spoczynkowych dwóch jąder ciężkiego wodoru jest mniejsza od masy spoczynkowej powstającego z nich jądra helu

- C) suma mas dwóch jąder ciężkiego wodoru jest większa od masy powstającego z nich jądra helu

D) suma mas dwóch jąder ciężkiego wodoru jest mniejsza od masy powstającego z nich jądra helu

1823. 1987/I. Reakcje syntez jąder lekkich mogą zachodzić w temperaturze:

- A) odpowiednio niskiej, w której odległość między jądrami są małe

B) dowolnej, ponieważ są reakcjami egzotenergetycznymi

- C) odpowiednio wysokiej, ponieważ są reakcjami endoenergetycznymi

D) odpowiednio wysokiej, w której jądra mogą pokonać siły odpychania

1824. W reaktorach jądrowych istnieje możliwość sterowania reakcji rozszczepienia tak, aby przebiegały one z kontrolowaną szybkością. Szybkość reakcji jest regulowana głębokością wsunięcia prętów kontrolnych do rdzenia reaktora. Pręty te wykonane są z pierwiastków, których jądra charakteryzuje się łatwością wychwytu neutronów. Zwykle stosuje się pręty wykonane z:

- A) baru B) kadmu C) ołowiu D) grafitu E) uranu

1825. 1986/F. W reaktorze jądrowym moderator służy do:

- A) spowalniania neutronów C) wytwarzania neutronów
B) przyspieszania neutronów D) rejestracji neutronów

1826. Rolę moderatora w rdzeniu reaktora jądrowego pełnić może:

- A) bor B) kadm C) grafit D) D_2O E) odpowiedzi C i D

1827. Który z wymienionych pierwiastków jest "paliwem" w reaktorze jądrowym:

- A) U B) Th C) T D) Cd

1828. 1982/F. Reakcji rozszczepienia jądra atomowego towarzyszy wydzielanie dużej ilości energii w związku z tym, że:

- A) masa jądra rozpadającego się jest większa od sumy mas spoczynkowych produktów rozpadu

C) masa spoczynkowa jądra rozpadającego się jest mniejsza od sumy mas spoczynkowych produktów rozpadu

- D) masa jądra rozpadającego się jest mniejsza od sumy mas produktów rozpadu

1829. 1983/I.

Przy wytwarzaniu 1g helu 4He z protonów i neutronów wydzielają się $6 \cdot 10^{11}$ J energii. Ilu ładu można stopić tą ilością energii bez zmiany temperatury ($L=3,35 \cdot 10^5$ J/kg):

- A) 200ton B) 200ton C) 20ton D) 2tony

1830. 1980/I.

Podeczas rozszczepienia 1 jądra uranu ^{235}U wydziela się około 200MeV energii. Ilość energii ΔE wydzielijącej się podeczas rozszczepienia 1g uranu jest równa:

- A) $\Delta E = \frac{6,023 \cdot 10^{23}}{235} \cdot 200\text{MeV}$
B) $\Delta E = 3 \cdot 10^8 \cdot 235 \cdot 200\text{MeV}$
C) $\Delta E = \frac{1,6 \cdot 10^{19}}{235} \cdot 200\text{MeV}$
D) $\Delta E = 6,6 \cdot 10^{-34} \cdot 235 \cdot 200\text{MeV}$

1831.

Wiedząc, że 1 jednostkę masy atomowej odpowiada energia równa 931 MeV, oblicz ilość energii wydzielonej podeczas przemiany jądra rutenu o masy 225,9778u w jądro radonu o masy 221,9711u, jeśli podeczas tej przemiany wydzielona została cząsteczka α o masy 4,0015u. Wydzielona energia wynosi:

- A) 9,81 MeV B) 98,1 MeV C) 4,8 MeV D) 48 MeV E) 981 MeV

1832. 1982/I.

Kapiele radonowe, stosowane w fizykoterapii, zawierają $1,8 \cdot 10^6$ atomów radonu w 1dm^3 wody. Oszacuj najbardziej prawdopodobną liczbę cząsteczek wody przypadających na 1 atom radonu w tej wannie:

- A) $1,85 \cdot 10^{23}$ B) $1,85 \cdot 10^{21}$ C) $1,85 \cdot 10^{19}$ D) $1,85 \cdot 10^{17}$

1833. 1992-94/MIS MaP

Główna przeszkoła w tworzeniu coraz to cięższych jąder pierwiastków transuranowych jest:

- A) rosnące odpychanie kultombowskie związane ze wzrostem liczby protonów w jądrze,
B) zapadanie grawitacyjne jądra związane ze wzrostem jego masy,
C) spadanie elektronów z powłok atomowych na jądro o coraz to większym ładunku dodatnim,
D) nie ma żadnej fizycznej barierki hamującej proces powstawania tego typu jąder atomowych.

1834. 1992-94/MIS MaP

Główym źródłem energii gwiazd jest:

- A) syntaza helu z wodorem,
B) syntaza uranu z lekkich pierwiastków,
C) rozpad uranu na lejsze pierwiastki,
D) rozpad helu na wodór.

1835. 1992-94/MIS MaP

Jakie zjawisko jest odpowiedzialne za przekazywanie energii słonecznej na Ziemię?

- A) konwekcja, B) przewodnictwo, C) promieniowanie, D) zderzenia sprząstki.

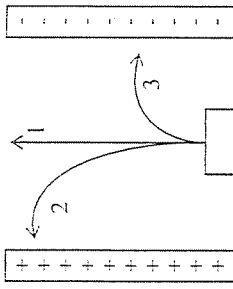
1836. 1997/I.

Promieniowanie β^- stanowi:

- A) elektrony wyzarcione z jąder atomowych pierwiastków promieniotwórczych,
B) elektrony wyzarcione z orbit walencyjnych atomów pierwiastków promieniotwórczych,
C) kwanty promieniowania elektromagnetycznego emitowane z jąder atomowych,
D) ujemne cząstki mniejsze od elektronów powstające podeczas reakcji jądrowych.

1837.

Pochemiany promieniotwórcze radu i pierwiastków będących wyproduktem jego rozpadu zachodzą zwykle równoczesnie wywołując wyższe wszystkich trzech rodzajów promieniowania: α , β i γ , które w polu elektrostatycznym rozdzielają się na trzy strumienie: prawidłowe przyporządkowanie oznaczeń cyfrowych odpowiednim cząsteczkom podaje:



A)	1	2	3
B)	γ	β	α
C)	α	β	γ
D)	α	γ	β
E)	β	γ	α

1838.

W powietrzu zasięg promieniowania wysyłanego przez źródła promieniotwórcze, w zależności od podziału tego promieniowania wahą się od kilku centymetrów do wielu metrów. Różnicę on w szeregu:

- A) α , β , γ B) γ , β , α C) β , γ , α D) α , γ , β

1839.

Należenie wiązki elektronów zostaje zmniejszone do połowy po przejściu przez 5cm warstwy substancji Y. Jaka grubość (w cm) powinna mieć warstwa substancji Y, aby należenie początkowe promieniowania zmalało 16-krotnie?

- A) 10 B) 20 C) 30 D) 40 E) 50

1840.

Liczba jonów wytworzonych na jednostkę drogi w absorbencie, przez promieniowanie o takiej samej energii jest:

- A) największa dla promieniowania γ
B) największa dla promieniowania α
C) największa dla promieniowania β
D) największa dla promieniowania β'
E) jednakowa dla wszystkich rodzajów promieniowania
f) są szkodliwe dla zdrowia

1841.

Promieniowanie jądrowe α , β , γ , oddziaływało się w polu elektrycznym i magnetycznym
a) wywoływało jonizację powietrza
b) promieniowało tak samo jak przed stopniem,
c) przestanie promieniowania,

- A) a, b, c B) b, c C) a, b D) a, c

1842. 1992-94/MIS Mał

Kawałek radu umieszczono w piecu, skutkiem czego nastąpiło jego stopienie. Próbka po stopieniu będzie:
A) chemiczne, których niektóre cząsteczki zawierają atomy pierwiastków promieniotwórczych
B) chemiczne, złożone z dwóch pierwiastków promieniotwórczych
C) chemiczne, których wszystkie cząsteczki zawierają atomy pierwiastka promieniotwórczego
D) organiczne, służące w medycynie do oznaczania narządu wymagającego leczenia promienianiem α , β , γ lub X

1843.

Które z poniższych zdani dotyczących oddziaływanego promieniowania α na organizm ludzki są prawdziwe:
I. promieniowanie α ze względu na mały zasięg i jednocześnie znaczązą zdolność do jonizacji jest bardzo szkodliwe tylko w przypadku gdy preparat emitujący cząsteczki α zostanie wprowadzony do wnętrza organizmu
II. cząstki α przy zewnętrznym napromieniowaniu nie stanowią poważniejszego zagrożenia, ponieważ są praktycznie całkowicie pochłaniane w zgraniczającej warstwie naskórka
III. szkodliwe działanie promieniowania α polega na zakłócaniu procesów biochemicznych w organizach żywych, a także może powodować zmiany genetyczne komórek (mutacje popromienne)

- A) tylko I B) I i III C) II i III D) I, II i III E) tylko III

1844. 1992/L

Jeden rad jest jednostką:

- A) dawki promieniowania
B) natężenia promieniowania
C) aktywności źródła promieniowania

1845.

Promieniowanie α , β i γ wykazuje różną zdolność do wywoływanego jonizacji. W celu umożliwienia porównywania skutków działania różnych rodzajów promieniowania na organizm ludzki wprowadzono pojęcie równoważnika dawki, którego jednostką jest:

- A) rad B) rem C) bekerel D) sivert E) B i D

1846. 1982/L

Najbardziej wrażliwe na promieniowanie jonizujące są:

- A) gruczoły płciowe B) tarczyna C) nerki D) skora E) B i D
- A) promieniowanie ionizujące powoduje mutacje poproniennie
B) promieniowanie szkodliwego działania promieniowania na organizm ludzki niektóre substancje promieniotwórcze wykorzystuje się przy leczeniu chorób nowotworowych ze względu na fakt, że:
C) promieniowanie ionizujące powoduje emisję cząstek α powodujących martwicę nowotworu
D) promieniowanie ionizujące powoduje emisję cząstek β powodujących martwicę nowotworu
E) promieniowanie ionizujące powoduje zanik jonizacji wywołanej obecnością nowotworu

1847. 1983/L

Promieniowanie ionizujące powoduje mutacje poproniennie z zanikiem nowotworów zwiększa zdolność do naprawy uszkodzeń poproniennych, niż komórki zdrowe.

- A) komórki nowotworowe mają mniejszą zdolność do naprawy uszkodzeń poproniennych, niż komórki zdrowe
B) promieniowanie ionizujące powoduje mutacje poproniennie
C) promieniowanie ionizujące powoduje emisję cząstek α powodujących martwicę nowotworu
D) promieniowanie ionizujące powoduje emisję cząstek β powodujących martwicę nowotworu
E) promieniowanie ionizujące powoduje zanik jonizacji wywołanej obecnością nowotworu

1848. 1983/L

Promieniotwórczy izotop kobaltu używany w medycynie do leczenia nowotworów otrzymuje się z kobaltu w wyniku:

- A) przeniania alfa
B) dzialania neutronów
C) przeniania beta minus
D) wychwytu elektronów
W praktyce biologicznej często stosuje się preparaty zwane związkami zmarzonymi. Są to związki:
A) chemiczne, których niektóre cząsteczki zawierają atomy pierwiastków promieniotwórczych
B) chemiczne, złożone z dwóch pierwiastków promieniotwórczych
C) chemiczne, których wszystkie cząsteczki zawierają atomy pierwiastka promieniotwórczego
D) organiczne, służące w medycynie do oznaczania narządu wymagającego leczenia promienianiem α , β , γ lub X

UWAGA!

W pytanach 1850 i 1851 zaznacz jako poprawną odpowiedź:

- A) jeśli obie części zdania są prawdziwe i druga uzasadnia pierwszą
 B) jeśli obie części zdania są prawdziwe lecz druga nie uzasadnia pierwszej
 C) jeśli pierwsza jest prawdziwa, a druga fałszywa
 D) jeśli pierwsza jest fałszywa, a druga prawdziwa

1850. 1981/l.

Wy promieniowanie przez jądro cząstki β^- jest wynikiem przeniany w nim neutronu w proton, ponieważ na skutek tej przemiany wzrasta o 1 liczba masowa i nie zmienia się liczba parzatkowa:

- A) B) C) D)

1851. 1981/l.

Promień γ wykorzystuje się w terapii nowotworów, ponieważ promieniowanie γ jest promieniowaniem elektromagnetycznym o widmie liniowym:

- A) B) C) D)

1852.

Promieniowanie γ może być stosowane:

- A) do sterylizacji produktów żywnościowych D) w leczeniu chorób nowotworowych
 B) w defektoskopii radiograficznej E) wszystkie odpowiedzi są poprawne
 C) w diagnostyce medycznej

1853. 1992–94/MIS MaP

Samoisny rozpad β^- jądra atomowego powoduje:

- A) wzrost liczby masowej jądra
 B) wzrost masy jądra
 C) spadek masy jądra
 D) spadek liczby masowej jądra

1854. 1992–94/MIS MaP

Jądra pierwiastka wykorzystujące promień β^- :

- A) zmniejszają liczbę masową o 1 C) zmniejszają liczbę atomową o 1
 B) zwiększą liczbę masową o 1 D) zwiększą liczbę atomową o 1

1855. 1975/l.

Jeśli jedyną reakcją w atomie pierwiastka ${}^{\Lambda}X$ będzie emisja elektronu z jądra, to atom stanie się:

- A) ujemnym jonenem pierwiastka ${}^{A-1}Y$; C) dodatnim jonenem pierwiastka ${}^{A+1}Y$;
 B) ujemnym jonenem pierwiastka ${}^{A+1}Y$; D) dodatnim jonenem pierwiastka ${}^{A+1}Y$.

1856. 1975/l.

Emisja elektronu z jądra atomu towarzyszy:

- A) zmniejszenie o 1 liczby neutronów i zwiększenie o 1 liczby protonów;
 B) zwiększenie o 1 liczby neutronów i zmniejszenie o 1 liczby protonów;
 C) zmniejszenie o 1 liczby nukleonów;
 D) zwiększenie o 1 liczby nukleonów.

1857. 1990/l.

W wyniku trzech przemian α i dwóch przemian β^- z jądra ${}^{238}_{92}\text{U}$ powstanie:

- A) ${}^{226}_{88}\text{Ra}$ B) ${}^{233}_{88}\text{Ra}$ C) ${}^{235}_{94}\text{Pu}$ D) ${}^{235}_{90}\text{Th}$

1858. 1990/l.
 Jądro izotopu ołowiu ${}^{214}_{94}\text{Pb}$ wyemitowało cząstkę β^- . W jądrze, które powstało znajduje się:

- A) 214 protonów C) 214 neutronów
 B) 214 nukleonów D) 131 neutronów i 82 protony

1859. 1976/l.

Jądro pierwiastka o liczbie masowej Λ i liczbie atomowej Z uległo dwukrotnie przenianie α i dwukrotnie przenianie β^- . Pierwiastek, który powstał w wyniku tych przemian:

- A) ma liczbę masową $\Lambda_1 = \Lambda - 10$ i liczbę atomową $Z_1 = Z$;
 B) ma liczbę masową $\Lambda_1 = \Lambda - 8$ i liczbę atomową $Z_1 = Z$;
 C) ma liczbę masową $\Lambda_1 = \Lambda - 8$ i liczbę atomową $Z_1 = Z - 2$;
 D) ma liczbę masową $\Lambda_1 = \Lambda - 4$ i liczbę atomową $Z_1 = Z + 2$.

1860. 1980/l.

Jądro atomu ${}^{\Lambda}Z\text{X}$ po 6 rozpadach α i po 2 rozpadach β^- staje się jądem atomu Y, którego liczba masowa i liczba atomowa mają wartości:

- A) $\Lambda_Y = \Lambda - 24$ C) $\Lambda_Y = \Lambda - 12$ Z_Y = Z - 10;
 B) $\Lambda_Y = \Lambda - 24$ D) $\Lambda_Y = \Lambda - 12$ Z_Y = Z - 4.

1861. 1975/l.

Jeśli pierwiastek promieniotwórczy ${}^{\Lambda}Z\text{X}$ ulegnie dwukrotnie przenianie α , trzykrotnie przenianie β^- i raz przenianie β^+ , to produktem końcowym tych przemian będzie pierwiastek:

- A) ${}^{\Lambda-2}Y$; B) ${}^{\Lambda-2}Y$; C) ${}^{\Lambda-4}Y$; D) ${}^{\Lambda-8}Y$.

1862. 1985/l.

Promieniotwórczy izotop ${}^{232}_{90}\text{Th}$ emisję cząstki α przechodzić w izotop Ra, który emisję cząstki β^- .

W wyniku tych przemian otrzymano izotop ${}^{\Lambda}Z\text{X}$, gdzie Λ i Z odpowiednio wynoszą:

- A) 230 i 89; B) 230 i 87; C) 228 i 89; D) 228 i 87.

1863. 1984/l.

Wskaz grupę i okres pierwiastka otrzymanego z radu w wyniku wysłania przez jądro czterech cząstek α i dwóch cząstek β^- :

	Grupa	Okres
A)	IV	VI
B)	V	III
C)	III	V
D)	V	VI

1864. 1977/l.

Radioaktywny pierwiastek po stracie jednej cząstki α i dwóch cząstek β^- przekształcił się w jądro

${}^{235}_{92}\text{U}$. Był to pierwiastek, który:

- A) $Z = 90$ i $\Lambda = 239$;
 B) $Z = 90$ i $\Lambda = 235$;

1865. 1992/L

Jądro $^{218}_{83}\text{Po}$ przekształca się w wyniku kolejnych przemian w jądro $^{214}_{81}\text{Po}$. Podczas tych przemian zostały wyemitowane:

- A) cząstka α i cząstka β^-
- B) 2 cząstki α i 2 cząstki β^+
- C) cząstka α i 2 cząstki β^-

1866. 1982/L

Jeśli cząstek α i β^- wyemituje atom ołowiu $^{208}_{82}\text{Pb}$, przemieniając się w atom rtęci $^{209}_{80}\text{Hg}$?

- A) 2α i $2\beta^-$
- B) 2α i $3\beta^-$
- C) 1α i $4\beta^-$
- D) 3α i $2\beta^-$

1867. 1975/L

Jeśli wiemy, że $^{A-4}_{Z-1}X$ jest produktem przemiany promieniotwórczej pierwiastka $^{A}_{Z}X$, to many prawo przypuszczać, że zawsze:

- A) 2 przemiana α i 1 przemiana β^-
- B) 2 przemiana α i 1 przemiana β^+
- C) 1 przemiana α i 1 przemiana β^-
- D) 1 przemiana α i 1 przemiana β^+

1868. 1978/L

Pierwiastek $^{220}_{86}\text{Rn}$ ulega przemianie α , a pierwiastek $^{214}_{88}\text{Ra}$ przemianie β^- . W wyniku tych przemian różnica liczb masowych tych pierwiastków:

- A) zwiększy się o 4;
- B) zwiększy się o 1;
- C) zmniejszy się o 1;
- D) zmniejszy się o 4.

1869. 1977/L

Radioizotop kobaltu emisja cząstki β^- i γ . Emisja ta powoduje przemianę izotopu $^{60}_{27}\text{Co}$ w izotop:

- A) $^{61}_{27}\text{Co}$;
- B) $^{59}_{27}\text{Co}$;
- C) $^{60}_{26}\text{Fe}$;
- D) $^{60}_{28}\text{Ni}$.

1870. 1977/L

Izotop $^{11}_{6}\text{C}$ emisja poziton. W wyniku przemiany jądrowej powstaje:

- A) $^{12}_{6}\text{C}$;
- B) $^{11}_{7}\text{N}$;
- C) $^{11}_{5}\text{B}$;
- D) $^{10}_{6}\text{C}$.

1871. 1998/L

W wyniku przemiany jądrowych jądro $^{226}_{88}\text{Ra}$ przekształca się w jądro $^{218}_{85}\text{At}$. Są przy tym emitowane:

- A) cząstka β^- i cząstka α ;
- B) 2 cząstki β^- i cząstka α ;
- C) cząstka β^- i 2 cząstki α ;
- D) 2 cząstki β^- i 2 cząstki α .

1872. 1997/L

Symbole X i Y w następujących reakcjach jądrowych oznaczają:



A)	X	Y
B)	proton	cząstka alfa
C)	neutron	cząstka alfa
D)	duter	proton

1873. 1982/I

Jakie cząstki wysyłają kolejno jadra pierwiastków przedstawionego szeregu:



A)	a	b	c	d	e
B)	α	β^-	α	α	α
C)	α	β^-	β^-	α	β^-
D)	α	β^-	α	α	α

1874. 1987/L

Promieniotwórczy izotop krzemu $^{27}_{14}\text{Si}$ przechodzi w wyniku rozpadu w aluminium $^{27}_{13}\text{Al}$ i wyproniemie neutrino oraz:

- A) elektron;
- B) poziton;
- C) foton;
- D) neutron.

1875. 1986/I

W podanym schemacie przemian, brakuje liczyby 10:

$^{224}_{X}\text{Ra}$	α	\longrightarrow	$^{220}_{86}\text{Rn}$	α	\longrightarrow	$^{216}_{84}\text{Po}$	β^-	\longrightarrow	$^{216}_{82}\text{At}$
A)	X		Y		Z				
B)	88		216		85				
C)	87		220		82				
D)	84		224		84				
E)	88		228		86				

1876. 1999/L

W wyniku jednej przemiany α i jednej przemiany β^- z promieniotwórczego izotopu $^{232}_{90}\text{Th}$ powstał pierwiastek, w którego jądrze znajdowało się:

- A) 89 protonów i 139 neutronów
- B) 88 protonów i 228 neutronów
- C) 89 protonów i 228 neutronów
- D) 89 protonów i 139 neutronów

1877. 1993/L

W wyniku rozpadu promieniotwórczego jądra $^{210}_{84}\text{Po}$ przekształca się w jądro $^{206}_{82}\text{Pb}$. Przejście to nastąpiło w wyniku emisji:

- A) cząstki β^-
- B) cząstki β^+
- C) neutronu
- D) cząstki α
- E) protonu

1878. 1996/L

Pierwiastek promieniotwórczy $^{222}_{86}\text{Rn}$ w wyniku dwóch przemian α i dwóch przemian β^- przechodzi w pierwiastek $^{222}_{Z}X$, gdzie:

- A) $Z = 214$, $Z = 84$
- B) $Z = 218$, $Z = 84$
- C) $Z = 214$, $Z = 82$
- D) $Z = 218$, $Z = 82$

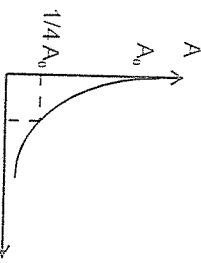
1879. 1994/L

Jądro $^{238}_{92}\text{U}$, przechodząc w jądro $^{226}_{88}\text{Ra}$, ulega:

- A) 2 przemianom α i 1 przemianie β^-
- B) 2 przemianom α i 2 przemianie β^-
- C) 2 przemianom α i 3 przemianie β^-
- D) 3 przemianom α i 2 przemianom β^-
- E) 2 przemianom α i 2 przemianom β^-

1880. Wykresu przedstawiającego zależność aktywności pierwioska promieniotwórczego od czasu (rys.) wynika, że okres połowicznego zaniku jest równy:

- A) 30 h
B) 7,5 h
C) 60 h
D) 15 h



1881. Średni czas życia jądra atomowego (z poprzedniego zadania), wynosi około:

- A) 21,6 h
B) 0,05 h
C) 15 h
D) 30 h

1882. 1993/l. W ciągu 12 godzin liczba jąder pierwioska promieniotwórczego maleje ośmiokrotnie. Okres połowicznego rozpadu tego pierwioska jest równy:

- A) (1/4) h
B) (4/3) h
C) 2 h
D) 4 h
E) 8 h

1883. 1995/l. Preparat promieniotwórczy zawiera 10^8 jąder promieniotwórczych o okresie połowicznego rozpadu 10 h. Ile jąder rozpadnie się po upływie 30 h.

- A) $8,75 \cdot 10^7$
B) $7,5 \cdot 10^7$
C) $1,25 \cdot 10^7$
D) $7,5 \cdot 10^8$
E) 8 h

1884. Zmieszano dwa różne preparaty promieniotwórcze o aktywnościach Λ_1 i Λ_2 . Aktywność mieszaniny jest równa:

- A) $\Lambda_1 + \Lambda_2$
B) $\Lambda_1 - \Lambda_2$
C) Λ_1 / Λ_2
D) $\Lambda_1 \cdot \Lambda_2$

1885. Na czas przebywania pierwioska promieniotwórczego w organizmie ludzkim mają wpływ dwa czynniki:

- fizyczny czas życia pierwioska;
- biologiczny czas jego cyrkulacji w organizmie.

Przyjęto, że efektywny czas połowicznego zaniku (τ_c) radionuklidu w organizmie określony jest przez jego okres połowicznego rozpadu: fizyczny (τ_f) i biologiczny (τ_b). Wielkość te związuje się zależnością:

$$\frac{1}{\tau_c} = \frac{1}{\tau_f} + \frac{1}{\tau_b}$$

Wiedząc, że ^{137}Cs ma $\tau_f = 30$ lat oraz $\tau_b = 140$ dni przewidywany efektywny okres przebywania tego radioizotopu w organizmie ludzkim będzie wynosił:

- A) 140 dni
B) 138 dni
C) 30 lat
D) 12,5 dnia

1886. 1996/l. Pierwiastek promieniotwórczy ma okres połowicznego rozpadu T , $7/8$ początkowej liczby jąder tego pierwiastka rozpadnie się w czasie:

- A) 2 T
B) 3 T
C) 4 T
D) 5 T

1887. 1991/l.

W ciągu 12 godzin uległo rozpadowi 75% początkowej liczby jąder izotopu promieniotwórczego. Czas połowicznego zaniku tego izotopu wynosi:

- A) 9 godzin
B) 6 godzin
C) 4 godziny
D) 3 godziny

1888. 1990/F. Zawartość izotopu promieniotwórczego w preparacie zmniejsza się czterokrotnie w ciągu czterech lat. Okres połowicznego rozpadu jest równy:

- A) 0,5 roku
B) 1 rok
C) 2 lata
D) 4 lata

1889. 1986/l.

Średni czas życia jądra pierwioska promieniotwórczego jest równy:

- A) większy niż okres połowicznego rozpadu
B) równy okresowi połowicznego rozpadu
C) mniejszy niż okres połowicznego rozpadu
D) mniejszy lub większy niż okres połowicznego rozpadu w zależności od rodzaju jądra

1890. 1985/l.

Czas połowicznego zaniku izotopu ^{210}Po wynosi 3,03 min. Stąd można obliczyć, że średni czas życia jednego nuklidu wynosi: ($\ln 2 = 0,693$)

- A) 6,1 min;
B) 4,4 min;
C) 0,227 min;
D) 0,44 min.

1891. 1979/l.

Wykres przedstawia liczbę jąder pierwioska promieniotwórczego pewnego preparatu w funkcji czasu. Okres połowicznego zaniku tego pierwioska wynosi:

- A) 100 s;
B) 150 s;
C) 200 s;
D) 350 s.



1892. 1976/l. (1980/F). Preparat promieniotwórczy zawiera 10^{12} atomów pierwioska promieniotwórczego, którego okres połowicznego zaniku jest równy $T_{1/2} = 6$ dni. Liczba atomów pierwioska promieniotwórczego, które pozostały w preparacie po 12 dniach jest równa:

- A) 0

- B) 10^3

- C) 10^6

- D) $2,5 \cdot 10^{10}$

1893. 1977/l.

Po czasie równym czterem okresom połowicznego rozpadu, z początkowej liczby atomów pierwioska promieniotwórczego pozostałe w preparacie:

- A) 0%
B) 6,25%
C) 25%
D) 50%

1894. 1982/l.

Okres połowicznego zaniku pierwioska wynosi 5 dni, a jego masa początkowa $16g$. W ciągu 15 dni rozpadnie się tego pierwioska:

- A) 14g
B) $5 \frac{1}{3}$ g
C) 2g
D) 1g

1895. 1978/l.

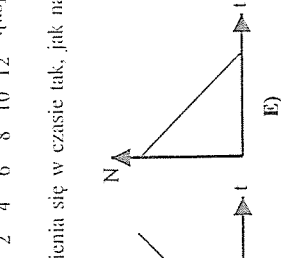
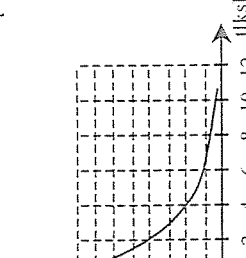
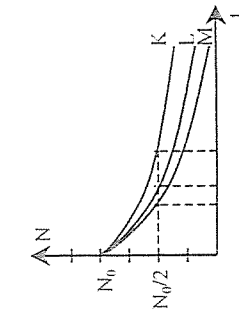
W ciągu 4 godzin 75% początkowej liczby jąder izotopu promieniotwórczego uległo rozpadowi. Czas połowicznego zaniku tego izotopu wynosi:

- A) 12 godz.
B) 6 godz.
C) 4 godz.
D) 2 godz.

- [196.] 1974/F. Izotop promieniotwórczy P ma okres połowiczny rozpadu 14 dni. Po 70 dniach pozostało tego pierwiastka około:
 A) 1%
 B) 3%
 C) 6%
 D) 20%

- [197.] 1988/L. Okres połowicznego rozpadu izotopu kobaltu ^{60}Co jest równy 5 lat. Próbka zawierająca obecnie 0,01 g tego izotopu, 10 lat temu zawierała go:
 A) 10g
 B) 1g
 C) 0,1g
 D) 0,01g

- [198.] 1985/L. Izotop raduonu ^{222}Rn o czasie połowicznego rozpadu $T_{1/2}$ powstał połom ^{218}Po w ilości 15/16 pierwiastkowej ilości atomów radonu. Nastąpiło to po czasie:
 A) $3T_{1/2}$
 B) $3T_{1/2}$
 C) $4T_{1/2}$
 D) $8T_{1/2}$



D) $\frac{15}{16}N_0$ jader

- A) 100 dni;
 B) 138 dni;
 C) 277 dni;
 D) 400 dni.

- 1904.** 1998/L. Próbka zawiera N_0 jader promieniotwórczych o czasie połowicznego rozpadu T . W czasie $4T$ rozpadnie się:
 A) $\frac{1}{16}N_0$ jader
 B) $\frac{1}{8}N_0$ jader
 C) $\frac{7}{8}N_0$ jader
 D) $\frac{15}{16}N_0$ jader

- 1905.** 1988/F.

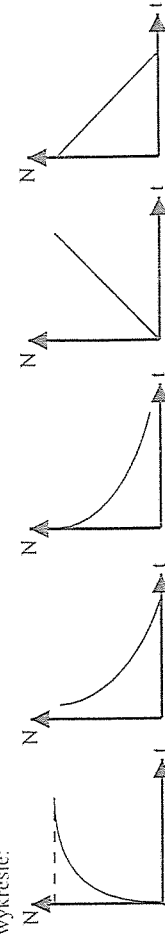
Wykres przedstawia zależność ilości atomów, które nie uległy rozpadowi w funkcji czasu, dla trzech promieniotwórczych pierwiastków K, L, M. Średni czas życia tych pierwiastków jest:
 A) najmniejszy dla K
 B) najmniejszy dla L
 C) najmniejszy dla M
 D) jednakowy dla K, L, M.

- 1906.** 1981/L.

Na wykresie przedstawiono zależność liczby jader pierwiastka promieniotwórczego w źródle promieniowania od czasu. Z wykresu wynika, że okres połowicznego rozpadu i stała rozpadu promieniotwórczego tego pierwiastka wynosi:
 A) $T_{1/2} = 1$ ks, $\lambda = 7,0 \cdot 10^{-4} \text{ s}^{-1}$
 B) $T_{1/2} = 1$ ks, $\lambda = 3,5 \cdot 10^{-4} \text{ s}^{-1}$
 C) $T_{1/2} = 2$ ks, $\lambda = 7,0 \cdot 10^{-4} \text{ s}^{-1}$
 D) $T_{1/2} = 2$ ks, $\lambda = 3,5 \cdot 10^{-4} \text{ s}^{-1}$.

- 1907.** 1992/L.

Liczba jader pierwiastka promieniotwórczego, które uległy rozpadowi zmienia się w czasie tak, jak na wykresie:



E)

D)

C)

B)

A)

[199.] 1981/L. Na wykresie przedstawiono zależność wzajemnego natężenia na większość czasu dla dwóch źródeł promieniowania, panelejowania i zaniku pierwiastków, Z . Sosmek określony źródła wynosi:



D)

C)

B)

A)

D)

B)

C)

D)

E)

- [200.] 1977/L. Podano dożywne 1cm^3 roztopu izotopu promieniotwórczego, nie adsorbowanego pacjenta pod okiem Λ_1 . Aktywność 1cm^3 krwi pobranej od pacjenta po 30 minutach wynosiła Λ_2 , wogórnymie, czas połowicznego rozpadu tego izotopu promieniotwórczego wynosił $T_{1/2} = 30$ min, to objętość krwi pacjenta wyrażona w cm^3 była równa:
 A) $0,25\Lambda_1/\Lambda_2$
 B) $0,5\Lambda_1/\Lambda_2$
 C) Λ_1/Λ_2
 D) $2\Lambda_1/\Lambda_2$.

- [201.] 1988/L. Okres połowicznego rozpadu jader pierwiastka X, zachodzących w danej próbce w jednostce czasu, w znaczu upływu czasu:
 A) maleje, gdy ulega jader tego pierwiastka;
 B) maleje, gdy zmniejsza się aktywności tej próbki;
 C) nie zmienia się, bo w każdym okresie politrwania rozpadu ulega połowa jader atomowych;
 D) nie zmienia się.

- [202.] 1980/L. Okres połowicznego rozpadu izotopu ^{14}C wynosi 5600 lat. Tkanki roślinne obumierające przestają bracić CO₂ w wyniku czego szybkość rozpadu C zmniejsza się w nich odpowiednio do upływu czasu od chwili obumierania. Zamierzono szybkość rozpadu węgla w przedmiocie wykonanym z drewna, czasu "datowania" powyzszego przedmiotu stwierdzając, że połowa jąder promieniotwórczego izotopu ^{14}C jest 8 razy mniejsza niż w świeżo skrytym kawałku drewna. Wyznaczony wiek eksponatu wynosi około:
 A) 560 lat
 B) 11000 lat
 C) 17000 lat
 D) 45000 lat
 E) 220000 lat

- [203.] 1988/L. Czas połowicznego rozpadu (zanieiku) pierwiastka promieniotwórczego jest:
 A) równy średniemu czasowi życia jader pierwiastka promieniotwórczego
 B) dwa razy większy od średniego czasu życia jader pierwiastka promieniotwórczego

296

- C) d) na największy od średniego czasu życia jader pierwiastka promieniotwórczego
D) e) na największy od średniego czasu życia jader pierwiastka promieniotwórczego
E) f) na największy od średniego czasu życia jader pierwiastka promieniotwórczego

1916. Cząstki X w poniższych reakcjach jądrowych są kolejno:

A) $^{14}_7\text{N} + \text{X} \longrightarrow ^{12}_6\text{C} + ^3\text{H}$
 $^1_1\text{p} + ^{14}_7\text{N} \longrightarrow ^{13}_7\text{N} + \text{X}$
 $\text{X} + ^{16}_8\text{O} \longrightarrow ^{19}_9\text{F} + ^1_1\text{p}$
 $^1_0\text{n} + ^{235}_9\text{U} \longrightarrow ^{98}_{40}\text{Zr} + ^{136}_{52}\text{Te} + 2\text{X}$

- 1917.** 1983/F
 W poniższej reakcji:
 $^{9}_4\text{Be} + ^{4}_2\text{He} \longrightarrow ^{12}_6\text{C} + \text{X}$
 zamiast X należy wpisać:
- A) n, d, α , n B) p, d, α , p C) d, p, β^- , α D) n, α , α , n E) p, α , d, n

1918. 1983/I

W wyniku bombardowania jąder atomów berylu ^4_4Be cząstki α powstają atomy węgla $^{12}_6\text{C}$ oraz

- A) protony B) neutrony C) elektrony D) pozytony

1919. 1974/I

1912. 1974/I
 Jądro atomu olejnego przejmujące jądro pierwiastku typu ((α, p)). Równanie tej reakcji jest następujące:

- A) $^{A+1}_ZX + ^1_1\text{p} \longrightarrow ^{A+2}_{Z+1}\text{Y} + ^1_1\text{p}$
 C) $^{A+2}_{Z+1}\text{Y} + ^1_1\text{p} \longrightarrow ^{A+1}_ZX + ^1_1\text{p}$
 B) $^{A+1}_ZX + ^1_1\text{p} \longrightarrow ^{A+2}_{Z+1}\text{Y} + ^1_1\text{p}$
 D) $^{A+2}_{Z+1}\text{Y} + ^1_1\text{p} \longrightarrow ^{A+1}_ZX + ^1_1\text{p}$

1920. 1984/I
 W atmosferze ziemskiej pod działaniem promieni kosmicznych powstaje β promieniotwórczy izotop ^{14}C w wyniku reakcji jądrowej:



X	Y
A) n	p
B) d	p
C) α	n
D) n	d
E) n	β^-

- 1921.** 1984/I
 1915. 1984/I
 W poniższych równaniach reakcji jądrowej

1922.

W wyniku anihilacji pary elektron-pozitron powstaje:

- A) dwa foton y
B) jeden foton y
C) neutrino i antyneutrino

1923. 1987/F:

Barionami są:

- A) elektron, proton, neutrino
B) pozitron, antiproton, antyneutrino

- C) proton, antiproton, neutron
D) elektron, proton, neutron

1924. 1989/L:

Najmniej energii straci neutron w zderzeniu sprzężystym z jądrem:

- A) uranu B) miedzi C) helu

1925. 1988/L:

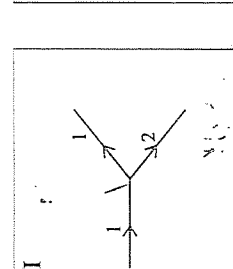
Poruszający się neutron traci najwięcej energii podczas zderzenia z nieruchomym jądrem:

- A) ^{206}Pb B) ^{137}Ba C) ^{12}C

- D) ^1H

1926.

Rysunki I i II przedstawiają ślad cząstek elementarnych 1 i 2 w wyniku uderzenia:



- A) rys.I. hiperonu Σ w proton
B) rys.I. cząstki α w hiperon Σ
C) rys.I. protonu w cząstce α
D) rys.I. protonu w proton
E) rys.I. neutronu w proton

1927. 1993/L:

Proton i cząstka α mają jednakowe pędę. Energia protonu ma się taka do energii cząstki α, jak:

- A) 1 : 1 B) 1 : 2 C) 2 : 1 D) 4 : 1 E) 1 : 4

1928. 1992-94/MIS MaP

Która z wymienionych cząstek ma masę spoczynkową równą zeru:

- A) proton, B) neutron, C) foton, D) cząstka alfa.
A) wodoru; B) węgla; C) ołowiu; D) uranu.

1929. 1995/MIS MaP

Szybko pedując protony najlepiej można spowalniać w wyniku zderzeń (sprzęznych) z jadrami:

- A) wodoru; B) węgla; C) ołowiu; D) uranu.

1930.Spoczywający mezon f^0 rozpadła się na dwa lekkowate cząstki:

Energia spoczynkowa mezonu f^0 wynosi 135 MeV, stała Plancka $h = 6,62 \cdot 10^{-34}$ Js, prędkość światła w próżni $c=3 \cdot 10^8$ m/s, ładunek elektronu $e=1,6 \cdot 10^{-19}$ C. Długość fali promieniowania y ma wartość około:
A) $2,9 \cdot 10^{-7}$ m B) $1,6 \cdot 10^{-13}$ m C) $1,8 \cdot 10^{-10}$ m D) $1,8 \cdot 10^{-14}$ m

1991
Przeczytaj nawiązane poniżej tekst z dziedziny fizyki. 10 zadań następujących bezpośrednio po tekście należą rozwijających opierając się na zawartych w nim informacjach

NARAŻENIE NA DZIAŁANIE PROMIENIOWANIA JONIZUJĄCEGO

Naturalne promieniowanie jonizujące pochodzi: a) z przestrzeni kosmicznej, b) radionuklidów znajdujących się w skorupie ziemskiej i powietrzu ^{238}U , ^{232}Th , produkty ich rozpadu, ^{40}K i innych. Szczególne promieniowanie jonizujące pochodzi głównie z niektórych urządzeń medycznych, przemysłowych, elektrowni jądrowych i konwencjonalnych oraz ze źródeł stosowanych w badaniach naukowych.

Promieniowanie jonizujące wywiera szkodliwy wpływ na procesy zachodzące w komórkach, poprzez radiolizę wody (wytwarzanie rodzinek i nadlenków), niszczenie enzymów, zmiany w cząsteczkach DNA, blonach komórkowych. Wcześniej skutki silnego napromieniowania obserwuje się w tkance krwiotwórczej, w przewodzie pokarmowym, układzie sercowo - naczyniowym, mózgu i skórze. Do późniejszych następstw napromieniowania zalicza się nowotwory, skrócenie życia, przyspieszone starzenie się oraz zmiany genetyczne.

Do ilościowej oceny skutków działania promieniowania jonizującego wprowadzono pojęcia dawek (dawka pochłonięta D, równoważnik dawki H). Jednostką dawki pochłoniętej D jest grej – Gy; jest to dawka, przy której 1 J energii promieniowania pochłonięty jest przez substancję o masie 1 kg, 1 Gy = 1 J/kg. Różne rodzaje promieniowania jonizującego charakteryzują się różną skutecznością biologiczną, dlatego wprowadza się tzw. współczynnik jakości promieniowania Q. Wartości liczbowe współczynnika Q dla różnych typów promieniowania podaje tabela.

Rodzaj promieniowania	Q
Promieniowanie X i γ elektryonu i promieniowanie β o energii maksymalnej powyżej 30 keV.	1
Elektryon i promieniowanie β o energii maksymalnej ponizej 30 keV	1,7
Proton o energii do 10 MeV	10
Cząstki ciężkie jądra odrzutu	20
Neutrony (w zależności od prędkości)	3-15

Równoważnik dawki H jest określony jako iloczyn współczynnika jakości i dawki pochłoniętej. Jednostkami równoważnika dawki są sterw (Sv) oraz rem (1 rem = $Q \cdot 1 \text{ rad}$). Jeżeli dawka pochłonięta wyrażona w grach, to równoważnik dawki wyrażany w sterwach. Natomiast gdy pochłonięta dawka jest wyrażona w radach, to równoważnik dawki wyrażany w sterwach. Skuteczność promieniowania jonizującego narzuca konieczność wprowadzenia tzw. dawki dopuszczalnej – różnej dla różnych grup ludności z uwzględnieniem wrażliwości pracy, największa roczna norma przyjętych w Polsce dla osób dorosłych, narażonych na promieniowanie jądrowe, – według dawki dopuszczalnej dla jednej grupy ludności. Wtedyg dawka graniczna na całe ciało wynosi 5 remów, a tygodniowa 0,1 rema. Przy napromieniowaniu całego ciała dawka śmiertelna wynosi 400 radów, co odpowiada pochłonięciu energii $4 \cdot 10^{-3}$ J w 1g tkanki. Związek jest z tym wzrost jej temperatury o około 0,001°C.

W ochronie przed napromieniowaniem zewnętrznym uwzględnia się trzy podstawowe czynniki: oddległość od źródła promieniowania, rodzaj i grubość osłony oraz czas napromieniania. Dla punktowych źródeł natężenie promieniowania maleje z kwadratem odległości. Osłony mają na celu wyhamowanie cząstek jonizujących bezpośrednio (prom. α i β) oraz osłabienie promieniowania elektromagnetycznego

(X i γ). Na osłony przed promieniowaniem β najczęściej stosuje się szkło organicane lub zwykłe, aluminium i inne lekkie materiały, ponieważ przy oddziaływaniu z atomami pierwiastków ciężkich (duże Z) powstaje promieniowanie X. Ostabiante elektromagnetycznego promieniowania jonizującego dla wiązek monochromatycznych i skolmionowanych opisuje wzór:

$$I = 10e^{\frac{-\mu}{d}}$$

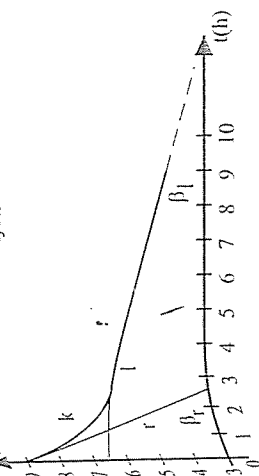
gdzie:
 μ – zależy od energii fotonów i liczby porządkowej materialów osłony
 d – grubość osłony

Charakteryzuje właściwości ochronne materiałów posługujemy się równoważnikiem ołowiu dla danego materiału. Równoważnik ołowiu materiału ochronnego jest to warstwa tego materiału o taka samej grubości, która osłabi promieniowanie elektromagnetyczne tak, jak warstwa ołowiu o grubości 1 mm.

Fizyka dla kandydatów

Jest to funkcja malejąca typu $y = A - Bt$. Na rys.2 przedstawiony jest wykres aktywności tej samej jądrowej w funkcji czasu.
Punkti w pierwiastku promieniotwórczym składają się z dwóch pierwiastków promieniotwórczych o różnych parametach rozpadu λ_1 i λ_2 , to mierząc jego całkowitą aktywność w chwilach czasu $0, t_1, t_2 \dots t_n$ oraz wykresie zależność logarytmu całkowitej aktywności w funkcji czasu i analizując otrzymaną zależność wykresie znaleźć state rozpadu każdego ze składników. Jest to możliwe tylko dla pierwiastków których aktywność nie zależy od siebie, a ich state rozpadu wyrażone siedmiu różnicą. Zależność $\ln A$ od czasu dla pierwiastku złożonego z dwóch pierwiastków nie jest linią prostą (Rys.3.).

Rys.3



1944.

Największa stała rozpadu promieniotwórczego na pierwiastek zawarty w próbce, której zmiana aktywności w czasie przedstawia na wykresie linią:

- A) 1
B) 2
C) 3
D) 4

1945.

Linie a i b na wykresie (rys.) pokazują zależność aktywności próbek a i b w funkcji czasu. Prawda jest, że stała rozpadu pierwiastków zawartych w tych próbках są:
A) różne
B) większa stała ma pierwiastek w próbce a
C) większa stała ma pierwiastek w próbce b
D) stałe są równe

1946.

Stała rozpadu promieniotwórczego pierwiastka zawartego w próbce, której aktywność zmienia się jak na wykresie (rys.) nie jest równa liczbowo:
A) tg α
B) ctg α
C) tg β
D) $(\ln A_0 - \ln A_1) / t$

1947.

Aby znaleźć aktywność krótkożyjowego składnika preparatu w chwili $t = 0$ należy wykonać operację:

- A) $\ln A_{0k} - \ln A_{0f}$
B) $\ln A_{0f} - \ln A_{0k}$
C) $A_{0k} - A_{0f}$
D) $\ln A_{0k} - A_{0f}$

1948.

Stała rozpadu promieniotwórczego pierwiastków a, b, c zawartych w próbkach, których aktywności zmieniają się w czasie jak na wykresie (rys.) odpowiednio równe $\lambda_a, \lambda_b, \lambda_c$ spełniają związek:

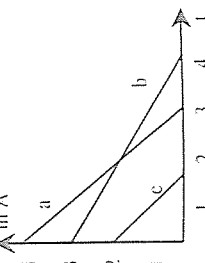
- A) $\lambda_a > \lambda_b > \lambda_c$
B) $\lambda_a < \lambda_b < \lambda_c$
C) $\lambda_a = \lambda_b = \lambda_c$
D) $\lambda_a = \lambda_c > \lambda_b$

1949.

Aktywność preparatu wzrasta z upływem czasu:
A) maleje liniowo
B) maleje wykładniczo
C) rośnie liniowo
D) rośnie wykładniczo

Jeżeli aktywność preparatu zmalała e -krotnie po czasie 8 min. to okres połowicznego rozpadu był równy:
A) 8 min
B) 8 ln 2 min
C) $\frac{8}{\ln 2}$
D) 28 min

Wynikiem stałej rozpadu promieniotwórczego jest:
A) s^{-1}
B) s
C) s^{-1}
D) s^{-2}



1941.

Aktywność pierwiastka wyraża się wzorem:
$$\frac{|AN|}{|M|} \cdot \frac{1}{t^n}$$

- A) $\frac{\lambda \cdot N}{M}$
B) $\lambda \cdot t$
C) $\frac{1}{s}$
D) $\frac{\Delta N}{\lambda \cdot t}$

1942.

Wynikiem aktywności pierwiastka jest:
$$\frac{1}{M^{\frac{n}{m}}}$$

Wynikiem stałej rozpadu promieniotwórczego jest:
$$\frac{N}{M^{\frac{1}{n}}}$$

23. ODPOWIEDZI DO ZADAŃ TESTOWYCH

- 1. FIZYKA**
1. J. Pijlowski: Fizyka - krotki kurs, WNT (1993).
 2. C. Porowski, T. Swiatkowski: Poradnik matematyczny, PWN (1985).
 3. J. Dzialubinski: Fizyka kl. I. Podrecznik dla liceum ogólnokształcącego, WSiP (1987)
 4. J. Dzialubinski: Fizyka kl. II. Podrecznik dla liceum ogólnokształcącego, WSiP (1990)
 5. J. Gajter: fizyka dla klasy III. Podrecznik dla liceum ogólnokształcącego, WSiP (1990)
 6. J. Gajter, A. Kaledynski, L. Widomski: Podstawy fizyki dla kandydatów na wyższe
 7. M. Herman: PWN (1995).
 8. "Węglarz, Z. Słownik: Seria testów z fizyki, WSiP (1991).
 9. M. Kaczmarek, Z. Słownik: Fizyka w przykładach i zadaniach (dla naturzystów i nie tylko ...)
 10. A. Kaczmarska: Fizyka Wydawnictwo Edukacyjne (1995).
 11. A. G. ŻAK Wydawnictwo Quadrivium
 12. "Mędrzak": Jak rozwiązywać zadania z fizyki, Oficyna Wydawnicza QUADRIVIUM
 13. J. Kieul: Jak rozwiązywać zadania z fizyki, Oficyna Wydawnicza QUADRIVIUM
 14. J. Kieul: Fizyka - krotki kurs, WNT (1993).
 15. J. Kieul: Fizyka - krotki kurs, WNT (1993).
 16. J. Kieul: Fizyka - krotki kurs, WNT (1993).
 17. J. Kieul: Fizyka - krotki kurs, WNT (1993).
 18. J. Kieul: Fizyka - krotki kurs, WNT (1993).
 19. J. Kieul: Fizyka - krotki kurs, WNT (1993).
 20. J. Kieul: Fizyka - krotki kurs, WNT (1993).
 21. J. Kieul: Fizyka - krotki kurs, WNT (1993).
 22. J. Kieul: Fizyka - krotki kurs, WNT (1993).
 23. J. Kieul: Fizyka - krotki kurs, WNT (1993).
 24. J. Kieul: Fizyka - krotki kurs, WNT (1993).
 25. J. Kieul: Fizyka - krotki kurs, WNT (1993).
 26. J. Kieul: Fizyka - krotki kurs, WNT (1993).
 27. J. Kieul: Fizyka - krotki kurs, WNT (1993).
 28. J. Kieul: Fizyka - krotki kurs, WNT (1993).
 29. J. Kieul: Fizyka - krotki kurs, WNT (1993).
 30. J. Kieul: Fizyka - krotki kurs, WNT (1993).
 31. J. Kieul: Fizyka - krotki kurs, WNT (1993).
 32. J. Kieul: Fizyka - krotki kurs, WNT (1993).
 33. J. Kieul: Fizyka - krotki kurs, WNT (1993).
 34. J. Kieul: Fizyka - krotki kurs, WNT (1993).
 35. J. Kieul: Fizyka - krotki kurs, WNT (1993).
 36. J. Kieul: Fizyka - krotki kurs, WNT (1993).
 37. J. Kieul: Fizyka - krotki kurs, WNT (1993).
 38. J. Kieul: Fizyka - krotki kurs, WNT (1993).
 39. J. Kieul: Fizyka - krotki kurs, WNT (1993).
 40. J. Kieul: Fizyka - krotki kurs, WNT (1993).
 41. J. Kieul: Fizyka - krotki kurs, WNT (1993).
 42. J. Kieul: Fizyka - krotki kurs, WNT (1993).
 43. J. Kieul: Fizyka - krotki kurs, WNT (1993).
 44. J. Kieul: Fizyka - krotki kurs, WNT (1993).
 45. J. Kieul: Fizyka - krotki kurs, WNT (1993).
 46. J. Kieul: Fizyka - krotki kurs, WNT (1993).
 47. J. Kieul: Fizyka - krotki kurs, WNT (1993).
 48. J. Kieul: Fizyka - krotki kurs, WNT (1993).
 49. J. Kieul: Fizyka - krotki kurs, WNT (1993).
 50. J. Kieul: Fizyka - krotki kurs, WNT (1993).
 51. J. Kieul: Fizyka - krotki kurs, WNT (1993).
 52. J. Kieul: Fizyka - krotki kurs, WNT (1993).
 53. J. Kieul: Fizyka - krotki kurs, WNT (1993).
 54. J. Kieul: Fizyka - krotki kurs, WNT (1993).
 55. J. Kieul: Fizyka - krotki kurs, WNT (1993).
 56. J. Kieul: Fizyka - krotki kurs, WNT (1993).
 57. J. Kieul: Fizyka - krotki kurs, WNT (1993).
 58. J. Kieul: Fizyka - krotki kurs, WNT (1993).
 59. J. Kieul: Fizyka - krotki kurs, WNT (1993).
 60. J. Kieul: Fizyka - krotki kurs, WNT (1993).
 61. J. Kieul: Fizyka - krotki kurs, WNT (1993).
 62. J. Kieul: Fizyka - krotki kurs, WNT (1993).
 63. J. Kieul: Fizyka - krotki kurs, WNT (1993).
 64. J. Kieul: Fizyka - krotki kurs, WNT (1993).
 65. J. Kieul: Fizyka - krotki kurs, WNT (1993).
 66. J. Kieul: Fizyka - krotki kurs, WNT (1993).
 67. J. Kieul: Fizyka - krotki kurs, WNT (1993).
 68. J. Kieul: Fizyka - krotki kurs, WNT (1993).
 69. J. Kieul: Fizyka - krotki kurs, WNT (1993).
 70. J. Kieul: Fizyka - krotki kurs, WNT (1993).
 71. J. Kieul: Fizyka - krotki kurs, WNT (1993).
 72. J. Kieul: Fizyka - krotki kurs, WNT (1993).
 73. J. Kieul: Fizyka - krotki kurs, WNT (1993).
 74. J. Kieul: Fizyka - krotki kurs, WNT (1993).
 75. J. Kieul: Fizyka - krotki kurs, WNT (1993).
 76. J. Kieul: Fizyka - krotki kurs, WNT (1993).
 77. J. Kieul: Fizyka - krotki kurs, WNT (1993).
 78. J. Kieul: Fizyka - krotki kurs, WNT (1993).

2. Dynamika punktu materialnego.

1. D	2. C	3. E	4. A	5. B	6. C	7. C
8. D	9. D	10. C	11. C	12. C	13. A	14. B
15. B	16. B	17. C	18. B	19. D	20. B	21. D
22. B	23. C	24. A	25. A	26. A	27. A	28. A
29. D	30. A	31. B	32. C	33. B	34. D	35. B
36. B	37. C	38. D	39. B	40. D	41. C	42. E
43. B	44. B	45. A	46. B	47. D	48. C	49. C
50. C	51. B	52. D	53. C	54. A	55. A	56. A
57. C	58. D	59. A	60. B	61. D	62. E	63. A
64. B	65. C	66. C	67. C	68. A	69. A	70. D
71. D	72. B	73. C	74. B	75. A	76. C	77. D
78. D						

3. Ruch obrotowy

274. B	275. D	276. C	277. C	278. E	279. D	280. D
281. B	282. B	283. A	284. B	285. D	286. E	287. C

288. C	289. B	290. C	291. B	292. B	293. D	294. B
295. A	296. D	297. A	298. D	299. D	300. C	301. D
302. E	303. B	304. C	305. E	306. B	307. A	308. B
309. A	310. B	311. A	312. C	313. A	314. C	315. B
316. D	317. A	318. D	319. A	320. B	321. A	322. A
323. D	324. B	325. A	326. B	327. D	328. E	329. C

4. Pole grawitacyjne

330. E	331. C	332. A	333. D	334. A	335. B	336. B
337. D	338. C	339. D	340. E	341. A	342. C	343. A
344. B	345. C	346. C	347. B	348. A	349. C	350. B
351. A	352. C	353. D	354. C	355. A	356. B	357. B
358. A	359. B	360. D	361. B	362. D	363. A	364. C
365. A	366. D	367. B	368. A	369. B	370. C	371. E
372. B	373. B	374. A	375. B	376. B	377. B	378. C

5. Ciągi stałe

379. C	380. C	381. A	382. A	383. C	384. E	385. B
386. A	387. C	388. C	389. C	390. A	391. B	392. D
393. D	394. E	395. D	396. B	397. A	398. D	399. D
400. A	401. B	402. A	403. C	404. B	405. C	406. D
407. D	408. D	409. D	410. D	411. C	412. C	413. B

6. Ciegee

414. A	415. B	416. A	417. D	418. C	419. A	420. C
421. B	422. C	423. E	424. D	425. D	426. C	427. B
428. C	429. B	430. D	431. A	432. D	433. B	434. D
435. B	436. B	437. C	438. B	439. A	440. B	441. B
442. B	443. C	444. B	445. C	446. B	447. B	448. D
449. A	450. B	451. A	452. A	453. E	454. A	455. B
456. B	457. D	458. D	459. C	460. D	474. A	475. A

7. Gazy

461. E	462. E	463. D	464. D	465. B	466. D	467. D
470. E	471. C	472. C	473. B	474. C	475. D	476. C
477. C	478. B	479. D	480. B	481. E	482. A	483. C
484. C	485. A	486. D	487. D	488. D	489. B	490. B
491. E	492. C	493. D	494. A	495. B	496. A	497. A
498. A	499. B	500. B	501. B	502. D	503. C	504. C
505. D	506. A	507. C	508. E	509. B	510. B	511. C
512. C	513. A	514. C	515. C	516. A	517. A	518. D
519. B	520. E	521. C	522. C	523. A	524. B	525. A

8. I. Iii zasada termodynamiki

526. D	527. B	528. A	529. D	530. A	531. D	532. C
533. A	534. B	535. A	536. C	537. D	538. C	539. A
540. A	541. A	542. D	543. B	544. A	545. C	546. D
547. D	548. B	549. B	550. C	551. C	552. C	553. D
554. B	555. D	556. A	557. C	558. B	559. A	560. D

9. Prąd elektryczny i elektrochemia

561. B	562. D	563. B	564. D	565. B	566. D	567. B
568. E	569. D	570. D	571. B	572. D	573. B	574. A
575. A	576. B	577. C	578. B	579. A	580. A	581. C
582. D	583. D	584. D	585. B	586. A	587. A	588. C
589. B	590. A	591. B	592. C	593. D	594. C	595. A
596. D	597. E	598. B	599. D	600. B	601. B	602. C

9. Zniany stanu skupienia ciał

10. Elektryzatyka

603. D	604. A	605. B	606. A	607. D	608. D	609. C
610. C	611. D	612. D	613. D	614. B	615. B	616. A
617. A	618. D	619. B	620. B	621. B	622. A	623. A
624. B	625. D	626. C	627. C	628. E	629. A	630. C
631. B	632. D	633. B	634. C	635. A	636. B	637. A
638. D	639. C	640. E	641. C	642. D	643. C	644. D

11. Prąd elektryczny i elektrochemia

648. C	649. D	650. C	651. C	652. D	653. C	654. D
655. D	656. D	657. C	658. D	659. C	660. D	661. C
660. A	661. C	662. E	663. C	664. D	665. C	666. D
667. D	668. C	669. C	670. B	671. A	672. A	673. B
673. D	674. D	675. D	676. D	677. B	678. D	679. B
680. E	681. C	682. A	683. C	684. D	685. C	686. B
687. C	688. D	689. D	690. B	691. A	692. C	693. D
694. D	695. E	696. E	697. C	698. C	699. B	700. B
701. B	702. B	703. D	704. D	705. A	706. C	707. E
708. A	709. B	710. B	711. D	712. D	713. D	714. E
715. A	716. C	717. D	718. D	719. B	720. A	721. A
722. C	723. B	724. C	725. A	726. B	727. A	728. D
729. B	730. C	731. D	732. B	733. D	734. D	735. A
736. C	737. D	738. C	739. D	740. E	741. B	742. D
743. A	744. B	745. D	746. A	747. C	748. A	749. B
750. B	751. D	752. B	753. B	754. D	755. C	756. C
757. A	758. B	759. B	760. D	761. E	762. D	763. C
764. D	765. A	766. C	767. B	768. C	769. C	770. A
771. C	772. C	773. B	774. C	775. D	776. C	777. A
778. C	779. D	780. C	781. B	782. C	783. D	784. A
785. D	786. A	787. D	788. D	789. A	790. B	791. B
792. C	793. A	794. E	795. A	796. A	797. B	798. D
799. B	800. C	801. C	802. B	803. B	804. B	805. A
806. A	807. A	808. C	809. A	810. D	811. A	812. A
813. A	814. B	815. B	816. A	817. A	818. A	819. D
820. C	821. D	822. C	823. C	824. C	825. C	826. C

862.	C	863.	C	864.	A	865.	A	866.	E	867.	D	868.	D	1183.	A
869.	B	870.	C	871.	B	872.	C	873.	C	874.	C	875.	C	1189.	B
876.	D	877.	B	878.	B	879.	C	880.	B	881.	C	882.	A	1190.	C
883.	C	884.	D	885.	C	886.	C	887.	A	888.	C	889.	B	1196.	A
890.	B	891.	C	892.	D	893.	C	894.	A	895.	B	896.	A	1197.	A
897.	D	898.	C	899.	D	900.	B	901.	C	902.	B	903.	D	1201.	A
904.	B	905.	A	906.	C	907.	D	908.	A	909.	C	910.	C	1203.	A
911.	A	912.	C	913.	B	914.	C	915.	B	916.	D	917.	A	1204.	A
918.	D	919.	D	920.	B	921.	D	922.	D	923.	D	924.	A	1205.	C
925.	A	926.	B	927.	D	928.	A	929.	D	930.	D	931.	D	1211.	D
932.	B	933.	B	934.	D	935.	B	936.	C	937.	D	938.	C	1218.	C
939.	D	940.	A	941.	D	942.	A	943.	A	944.	D	945.	D	1219.	A
946.	B	947.	C	948.	C	949.	D	950.	D	951.	D	952.	C	1224.	A
953.	B	954.	C	955.	C	956.	B	957.	B	958.	B	959.	A	1225.	B
960.	C	961.	C	962.	C	963.	B	964.	B	965.	A	966.	C	1226.	D
967.	D	968.	A	969.	B	970.	D	971.	B	972.	A	973.	A	1227.	A
974.	B	975.	D	976.	A	977.	C	978.	B	979.	C	980.	D	1228.	B
981.	D	982.	C	983.	A	984.	C	985.	D	986.	C	987.	D	1229.	C
988.	B	989.	C	990.	A	991.	D	992.	A	993.	D	994.	D	1230.	A
995.	A	996.	A	997.	C	998.	D	999.	C	1000.	B	1001.	A	1231.	A
1002.	D	1003.	C	1004.	C	1005.	A	1006.	B	1007.	B	1008.	B	1232.	C
1009.	A	1010.	B	1011.	C	1012.	A	1013.	C	1014.	C	1015.	D	1233.	C
1016.	A	1017.	A	1018.	B	1019.	A	1020.	B	1021.	B	1022.	D	1234.	C
1023.	E	1024.	A	1025.	B	1026.	C	1027.	B	1028.	B	1029.	A	1235.	D
1030.	C	1031.	D	1032.	D	1033.	C	1034.	C	1035.	B	1036.	C	1236.	A
1037.	C	1038.	B	1039.	A	1040.	C	1041.	A	1042.	B	1043.	B	1237.	A
1044.	A	1045.	B	1046.	D	1047.	C	1048.	A	1049.	A	1050.	A	1238.	B
1051.	A	1052.	A	1053.	C	1054.	A	1055.	A	1056.	D	1057.	B	1239.	A

12. Organia i fale mechaniczne	1057.	B	1331.	B	1332.	A	1333.	C	1334.	D	1335.	B	1336.	D	1337.	A
1058.	E	1059.	D	1060.	D	1061.	C	1062.	D	1063.	B	1064.	A	1340.	B	
1065.	C	1066.	D	1067.	D	1068.	C	1069.	C	1070.	B	1071.	C	1345.	A	
1072.	B	1073.	A	1074.	D	1075.	A	1076.	B	1077.	C	1078.	C	1352.	D	
1079.	A	1080.	C	1081.	B	1082.	B	1083.	C	1084.	D	1085.	A	1359.	C	
1086.	A	1087.	C	1088.	D	1089.	B	1090.	C	1091.	E	1092.	D	1366.	A	
1093.	D	1094.	B	1095.	E	1096.	D	1097.	D	1098.	D	1099.	C	1373.	B	
1100.	D	1101.	D	1102.	D	1103.	D	1104.	B	1105.	A	1106.	D	1374.	B	
1107.	A	1108.	B	1109.	A	1110.	B	1111.	C	1112.	D	1113.	C	1380.	D	
1114.	C	1115.	C	1116.	D	1117.	C	1118.	E	1119.	A	1120.	C	1388.	C	
1121.	C	1122.	D	1123.	C	1124.	A	1125.	C	1126.	C	1127.	C	1387.	D	
1128.	A	1129.	E	1130.	D	1131.	A	1132.	D	1133.	D	1134.	B	1394.	D	
1135.	D	1136.	C	1137.	D	1138.	B	1139.	D	1140.	E	1141.	A	1401.	B	
1142.	B	1143.	C	1144.	D	1145.	C	1146.	C	1147.	A	1148.	B	1408.	B	
1149.	C	1150.	D	1151.	E	1152.	C	1153.	D	1154.	A	1155.	A	1422.	B	
1156.	B	1157.	A	1158.	B	1159.	C	1160.	B	1161.	D	1162.	B	1423.	A	
1163.	B	1164.	D	1165.	A	1166.	A	1167.	D	1168.	A	1169.	C	1424.	B	
1170.	B	1171.	C	1172.	D	1173.	D	1174.	D	1175.	C	1176.	A	1425.	D	
1177.	B	1178.	A	1179.	C	1180.	C	1181.	B	1182.	A	1183.	B	1426.	A	

13. Magnetyzm	1445.	C	1446.	B	1447.	B	1448.	B	1449.	B	1450.	E	1451.	B	1452.	B
1184.	B	1185.	C	1186.	B	1187.	D	1188.	D	1189.	B	1190.	C	1191.	B	
1191.	B	1192.	A	1193.	D	1194.	E	1195.	A	1196.	A	1197.	A	1198.	D	
1198.	D	1199.	D	1200.	B	1201.	D	1202.	A	1203.	A	1204.	A	1205.	C	
1205.	C	1206.	C	1207.	B	1208.	A	1209.	C	1210.	E	1211.	D	1212.	C	
1212.	B	1213.	A	1214.	D	1215.	A	1216.	D	1217.	C	1218.	C	1219.	A	
1219.	A	1220.	A	1221.	C	1222.	A	1223.	B	1224.	A	1225.	B	1226.	D	
1226.	D	1227.	A	1228.	B	1229.	C	1230.	C	1231.	A	1232.	B	1233.	C	
1233.	C	1234.	C	1235.	A	1236.	A	1237.	A	1238.	C	1239.	A	1240.	D	
1240.	D	1241.	C	1242.	B	1243.	D	1244.	C	1245.	D	1246.	B	1247.	D	
1247.	D	1248.	A	1249.	B	1250.	A	1251.	A	1252.	B	1253.	C	1254.	A	
1254.	A	1255.	B	1256.	D	1257.	D	1258.	E	1259.	B	1260.	B	1261.	B	

14. Indukcja elektromagnetyczna	1265.	C	1266.	D	1267.	D	1268.	D	1269.	B	1270.	A	1271.	C	1272.	B
1275.	C	1276.	A	1277.	A	1278.	C	1279.	B	1280.	B	1281.	D	1282.	D	
1282.	D	1283.	A	1284.	C	1285.	D	1286.	D	1287.	C	1288.	B	1289.	B	
1289.	B	1290.	D	1291.	B	1292.	B	1293.	B	1294.	D	1295.	C	1296.	C	
1296.	C	1297.	C	1298.	E	1299.	D	1300.	A	1301.	D	1302.	B	1303.	A	
1303.	A	1304.	D	1305.	E	1306.	B	1307.	E	1308.	B	1316.	B	1310.	B	
1310.	B	1311.	A	1312.	C	1313.	C	1314.	D	1315.	A	1323.	C	1317.	C	
1317.	C	1318.	A	1319.	C	1320.	D	1321.	C	1322.	C	1330.	B	1324.	C	
1324.	C	1325.	B	1326.	A	1327.	D	1328.	C	1329.	A	1337.	A	1331.	B	

15. Prąd przemianujący i drgania elektromagnetyczne	1335.	B	1336.	D	1337.	A	1338.	C	1339.	C	1340.	E	1341.	B	1342.	B
1345.	A	1346.	A	1347.	D	1348.	E	1349.	D	1350.	C	1351.	B	1352.	D	
1352.	D	1353.	C	1354.	D	1355.	B	1356.	A	1357.	B	1358.	A	1359.	C	
1359.	C	1360.	D	1361.	D	1362.	A	1363.	B	1364.	C	1365.	A	1366.	A	
1366.	A	1367.	A	1368.	B	1369.	E	1370.	A	1371.	E	1372.	C	1373.	B	
1373.	B	1374.	B	1375.	B	1376.	E	1377.	B	1378.	A	1386.	A	1380.	D	
1380.	D	1381.	C	1382.	D	1383.	B	1384.	B	1385.	C	1386.	A	1388.	C	
1388.	C	1389.	E	1390.	D	1391.	C	1392.	D	1393.	C	1400.	D	1394.	B	
1394.	D	1395.	B	1396.	D	1397.	B	1398.	D	1399.	D	1407.	D	1401.	C	
1401.	B	1402.	C	1403.	D	1404.	A	1405.	A	1406.	A	1414.	D	1408.	B	
1408.	B	1409.	B	1410.	A	1411.	A	1412.	C	1413.	C	1421.	C	1415.	B	
1415.	B	1416.	C	1417.	C	1418.	D	1419.	A	1420.	B	1428.	A	1422.	B	
1422.	B	1423.</														

D	1472.	B	1473.	A	1474.	D	1475.	D	1476.	A	1477.	B
C	1479.	D	1480.	C	1481.	B	1482.	C	1483.	E	1484.	C
A	1486.	B	1487.	C	1488.	B	1489.	C	1490.	D	1491.	A
B	1493.	A	1494.	B	1495.	A	1496.	C	1497.	A	1498.	A
C	1500.	D	1501.	C	1502.	B	1503.	C	1504.	D	1505.	B
B	1507.	A	1508.	B	1509.	D	1510.	E	1511.	C	1512.	B
C	1514.	D	1515.	D	1516.	B	1517.	D	1518.	D	1519.	A
B	1521.	A	1522.	B	1523.	C	1524.	B	1525.	D	1526.	C
A	1528.	A	1529.	D	1530.	D	1531.	B	1532.	B	1533.	D
A	1535.	C	1536.	A	1537.	B	1538.	D	1539.	B	1540.	C
B	1542.	A	1543.	D	1544.	D	1545.	A	1546.	C	1547.	D
D	1549.	A	1550.	D	1551.	C	1552.	B	1553.	A	1554.	C
E	1556.	A	1557.	B	1558.	D	1559.	A	1560.	B	1561.	B
B	1563.	B	1564.	C	1565.	D	1566.	A	1567.	A	1568.	A
D	1570.	C	1571.	B	1572.	B	1573.	B	1574.	C	1575.	D
D	1577.	C	1578.	A	1579.	C	1580.	B	1581.	A	1582.	D
E	1584.	C	1585.	B	1586.	E	1587.	B	1588.	A	1589.	D
C	1591.	B	1592.	D	1593.	B	1594.	A	1595.	D	1596.	B
A	1598.	C	1599.	C	1600.	D	1601.	A	1602.	A	1603.	D
A	1605.	B	1606.	D	1607.	D	1608.	C	1609.	B	1610.	A

21. Budowa atomu

1744.	E	1745.	B	1746.	E	1747.	B	1748.	A	1749.	C	1750.	D
1751.	A	1752.	A	1753.	D	1754.	B	1755.	D	1756.	A	1757.	D
1758.	B	1759.	C	1760.	D	1761.	B	1762.	B	1763.	B	1764.	B
1765.	C	1766.	E	1767.	D	1768.	B	1769.	D	1770.	B	1771.	C
1772.	C	1773.	C	1774.	D	1775.	B	1776.	C	1777.	A	1778.	D
1779.	B	1780.	D	1781.	D	1782.	B	1783.	C	1784.	E	1785.	B
1786.	C	1787.	C	1788.	C	1789.	C	1790.	D	1791.	C	1792.	A
1793.	A	1794.	B	1795.	C	1796.	C	1797.	R	1798.	R	1799.	R

22. Jądro atomowe i cząstki elementarne

C	1661.	A	1662.	C
A	1668.	A	1669.	B
D	1675.	D	1676.	A
B	1682.	A	1683.	A
C	1689.	B	1690.	E
E	1696.	A	1697.	C

Zmiany w rencji menowskiej

SPIS TREŚCI

1. Kinematyka punktu materialnego.....	5
2. Dynamika punktu materialnego	17
3. Ruch obrotowy	45
4. Pole grawitacyjne.....	53
5. Ciała stałe	59
6. Cieze	65
7. Gazy	73
8. I i II zasada termodynamiki	83
9. Zmiany stanu skupienia ciał	93
10. Elektrostatyka	104
11. Prąd elektryczny i elektrochemia	129
12. Drgania i fale mechaniczne	165
13. Magnetyzm	185
14. Indukcja elektromagnetyczna	199
15. Prąd przemienny i drgania elektromagnetyczne	213
16. Optyka	229
17. Oko.....	251
18. Elementy fizyki relatywistycznej.....	255
19. Dualizm korpuskularno – falowy	259
20. Promieniowanie rentgenowskie.....	267
21. Budowa atomu	273
22. Jądro atomowe i cząstki elementarne.....	281
23. Odpowiedzi do zadań testowych	305

